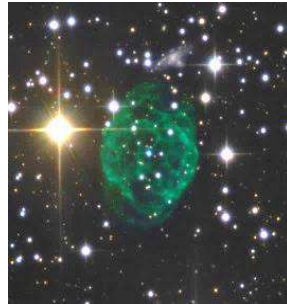
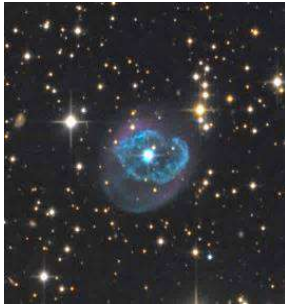


Planetarische Nebel



Planetarische Nebel: 175

Stand: Oktober 2019



© Astro Kooperation

Rene Merting
Christopher Hay

Planetarische Nebel

Aufsuchkarten für alle im BAFK enthaltenen PN

Name	SBK	RA	DEC	Seite im IsDSA	Filter	Größe	Gesamt helligkeit	Flächen helligkeit	Entfernung	Helligkeit ZS
Abell 2	Cas	00h45m35s	+57°57'35"	S.15	O	0,6' x 0,6'	14m5	12m9	--	--
Abell 4	Per	02h45m24s	+42°33'05"	S.26	O	0,3' x 0,3'	14m6	12m0	--	19m3
Abell 7	Lep	05h03m08s	-15°36'22"	S.73	O	13' x 13'	--	--	1.800 Lj.	15m4
Abell 10	Ori	05h31m46s	+06°55'51"	S.61	--	0,6' x 0,6'	13m9	12m4	--	19m7
Abell 12	Ori	06h02m24s	+09°38'28"	S.48	O	0,6' x 0,6'	12m2	10m9	8.000 Lj.	19m7
Abell 13	Ori	06h04m48s	+03°56'36"	S.60	--	2,5' x 2,5'	15m3	--	3.000 Lj.	19m8
Abell 20	CMi	07h22m58s	+01°45'33"	S.60	--	1,1' x 1,1'	13m9	13m9	6.000 Lj.	16m6
Abell 21	Gem	07h29m03s	+13°14'48"	S.48	U	10' x 10'	11m5	16m4	7.800 Lj.	16m0
Abell 22	CMi	07h36m08s	+02°42'28"	S.60	--	1,4' x 1,4'	15m4	--	10.000 Lj.	19m6
Abell 24	CMi	07h51m38s	+03°00'21"	S.60	--	5,9' x 5,9'	14m3	17m9	1.000 Lj.	17m2
Abell 25	Mon	08h06m46s	-02°52'35"	S.59	--	2,8' x 2,8'	15m4	--	--	18m9
Abell 30	Cnc	08h46m53s	+17°52'47"	S.47	--	2,1' x 2,1'	13m8	--	5.500 Lj.	14m4
Abell 31	Cnc	08h54m13s	+08°53'53"	S.47	O	16' x 16'	12m2	--	1.000 Lj.	18m0
Abell 33	Hya	09h39m09s	-02°48'32"	S.59	O	4,5' x 4,5'	12m9	15m9	2.700 Lj.	15m5
Abell 35	Hya	12h53m33s	-22°52'23"	S.59	O	12' x 12'	13m3	18m7	520 Lj.	9m6
Abell 36	Vir	13h40m41s	-19°52'55"	S.69	O	7,5' x 5,5'	--	--	780 Lj.	11m5
Abell 37	Vir	14h04m26s	-17°13'41"	S.68	UO	0,7' x 0,7'	13m9	13m4	--	--
Abell 39	Her	16h27m34s	+27°54'34"	S.31	O	2,9' x 2,9'	13m7	--	6.800 Lj.	15m5
Abell 43	Oph	17h53m32s	+10°37'24"	S.43	U	1,3' x 1,3'	14m7	15m0	6.800 Lj.	14m1
Abell 46	Lyr	18h31m19s	+26°56'12"	S.30	UO	1,1' x 1,1'	13m7	13m5	--	15m0
Abell 50	Dra	18h59m20s	+48°27'55"	S.18	U	0,6' x 0,6'	13m4	11m8	13.000 Lj.	19m0
Abell 55	Aql	19h10m26s	-02°20'23"	S.54	O	1' x 1'	13m1	12m9	--	--
Abell 56	Aql	19h13m06s	+02°52'48"	S.54	--	3' x 3'	14m1	--	--	19m8
Abell 57	Vul	19h17m06s	+25°37'30"	S.30	O	0,7' x 0,6'	14m4	12m9	--	17m6
Abell 58	Aql	19h18m20s	+01°46'59"	S.54	--	0,7' x 0,7'	--	--	13.000 Lj.	19m4
Abell 61	Cyg	19h19m10s	+46°14'52"	S.18	UO	3,3' x 3,3'	14m4	--	--	17m4
Abell 62	Aql	19h33m18s	+10°37'04"	S.42	O	2,7' x 2,7'	14m7	--	--	--
Abell 63	Sge	19h42m10s	+17°05'14"	S.42	--	0,7' x 0,7'	17m0	15m9	--	14m7
Abell 67	Aql	19h58m27s	+03°03'00"	S.54	O	1,1' x 1,1'	13m5	13m4	--	--
Abell 70	Aql	20h31m33s	-07°05'18"	S.53	O	0,7' x 0,7'	14m3	13m5	10.000 Lj.	18m4
Abell 71	Cyg	20h32m23s	+47°20'50"	S.17	O	2,6' x 2,6'	--	--	--	18m9
Abell 72	Del	20h50m02s	+13°33'30"	S.41	O	2,1' x 2,1'	12m9	13m9	2.300 Lj.	16m1
Abell 75	Cep	21h26m24s	+62°53'32"	S.8	UO	0,9' x 0,9'	13m5	13m1	--	18m0
Abell 78	Cyg	21h35m29s	+31°41'45"	S.29	O	2,0' x 1,8'	--	--	1,4 Lj.	13m2
Abell 79	Lac	22h26m17s	+54°49'38"	S.8	O	0,9' x 0,8'	15m0	--	4.200 Lj.	18m7
Abell 81	Cep	22h42m25s	+80°26'32"	S.2	--	0,6' x 0,5'	14m4	12m4	17.000 Lj.	12m7
Abell 82	Cas	23h45m48s	+57°03'58"	S.8	UO	1,6' x 1,6'	12m7	--	--	15m0
Abell 84	Cas	23h47m44s	+51°23'57"	S.8	--	2,4' x 1,9'	14m4	--	5.000 Lj.	18m5
CRL 915	Mon	06h19m58s	-10°38'15"	S.72	--	stellar	9m2	--	2.300 Lj.	--
CRL 2688	Cyg	21h02m18s	+36°41'37"	S.29	--	0,5' x 0,2'	12m0	--	3.000 Lj.	--
CRL 5237	Pup	07h42m17s	-14°42'50"	S.72	--	0,6' x 0,1'	--	--	4.500 Lj.	--
CTSS 3	Aql	19h03m07s	+14°05'38"	S.42	--	10' x 10'	--	--	4.500 Lj.	17m8
DdDM 1	Her	16h40m18s	+38°42'20"	S.19	UO	stellar	13m3	3m0	32.000 Lj.	15m5
Hb 12	Cas	23h26m15s	+58°10'55"	S.8	O	stellar	13m0	--	--	13m8
He 1-4	Cyg	19h59m18s	+31°54'39"	S.29	UO	0,4' x 0,4'	14m0	11m6	--	21m1
He 1-5	Sge	20h11m56s	+20°20'05"	S.41	UO	0,5' x 0,5'	16m4	14m5	8.150 Lj.	--
He 2-438	Cyg	19h34m45s	+30°30'59"	S.30	H	stellar	13m3	8m6	3.900 Lj.	12m5
He 3-1475	Sgr	17h45m14s	-17°56'47"	S.67	--	0,25' x 0,1'	--	--	18.000 Lj.	--
HFG 1	Cas	03h03m49s	+64°53'29"	S.15	O	15' x 15'	--	--	1.200 Lj.	15m0
HoCr 1	Gem	06h21m41s	+23°35'13"	S.36	U	1' x 1'	--	--	--	--
Hu 1-1	Cas	00h28m16s	55°57'55"	S.15	UO	stellar	12m2	6m5	--	19m1
Hu 1-2	Cyg	21h33m08s	+39°38'01"	S.17	UO	0,3' x 0,15'	11m7	7m1	9.900 Lj.	17m3
Hu 2-1	Her	18h49m48s	+20°50'39"	S.42	UO	stellar	12m6	5m5	--	13m3
IC 289	Cas	03h10m19s	+61°19'01"	S.14	U	0,8' x 0,8'	13m3	12m4	4.200 Lj.	15m9
IC 351	Per	03h47m33s	+35°02'49"	S.38	--	0,2' x 0,2'	11m9	9m0	--	15m0
IC 418	Lep	05h27m28s	-12°41'50"	S.73	--	0,2' x 0,2'	8m4	5m5	2.000 Lj.	9m8
IC 1295	Sct	18h54m37s	-08°49'39"	S.54	UO	1,5' x 1,5'	12m5	13m1	3.300 Lj.	15m0
IC 1747	Cas	01h57m36s	+63°19'18"	S.15	--	0,3' x 0,3'	12m0	9m3	6.700 Lj.	15m2

Planetarische Nebel

Aufsuchkarten für alle im BAFK enthaltenen PN

Name	SBK	RA	DEC	Seite im IsDSA	Filter	Größe	Gesamt helligkeit	Flächen helligkeit	Entfernung	Helligkeit ZS
IC 2003	Per	03h56m22s	+33°52'29"	S.38	--	0,2' x 0,2'	11m4	8m4	--	15m0
IC 2149	Aur	05h56m24s	+46°06'17"	S.25	O	0,2' x 0,2'	10m6	9m1	3.600 Lj.	11m0
IC 3568	Cam	12h33m07s	+82°33'49"	S.4	--	0,2' x 0,2'	10m6	6m5	4.500 Lj.	13m4
IC 4593	Her	16h11m45s	+12°04'17"	S.43	O	0,7' x 0,7'	10m7	9m7	12.000 Lj.	11m2
IC 4634	Oph	17h01m34s	-21°49'33"	S.67	--	0,4' x 0,4'	10m9	8m7	12.000 Lj.	13m0
IC 4732	Sgr	18h33m55s	-22°38'41"	S.78	OU	stellar	12m1	8m5	--	--
IC 4846	Aql	19h16m28s	-09°02'36"	S.66	--	0,2' x 0,2'	11m9	7m9	--	13m0
IC 4997	Sge	20h20m09s	+16°43'54"	S.41	O	0,2' x 0,2'	10m7	7m0	8.000 Lj.	14m4
IC 5117	Cyg	21h32m31s	+44°35'48"	S.17	O	stellar	11m5	7m7	--	17m0
IC 5217	Lac	22h23m56s	+50°58'01"	S.16	OU	stellar	11m3	8m0	9.400 Lj.	15m0
IRAS 09371	Leo	09h39m54s	+11°58'54"	S.47	--	0,4' x 0,1'	11m0	8m1	10.000 Lj.	--
J 900	Gem	06h25m57s	+17°47'28"	S.48	--	stellar	11m6	7m3	16.000 Lj.	17m8
JnEr 1	Lyn	07h57m51s	+53°25'17"	S.13	O	5' x 5'	12m1	--	2.500 Lj.	16m8
Jones 1	Peg	23h35m53s	+30°28'06"	S.28	OU	5,3' x 5,3'	12m1	16m3	2.300 Lj.	16m1
K 2-1	Aur	05h07m08s	+30°49'19"	S.37	--	3' x 2'	12m6	--	3.500 Lj.	18m8
K 3-27	Lyr	19h14m30s	+28°40'46"	S.30	--	0,25' x 0,25'	14m8	11m7	--	17m2
K 3-36	Aql	19h32m40s	+07°27'52"	S.42	--	0,2' x 0,2'	15m8	12m0	--	17m3
K 3-51	Sge	20h02m36s	+17°36'50"	S.41	O	stellar	14m6	11m4	--	--
K 4-8	Sct	18h54m20s	-08°47'33"	S.54	O	stellar	14m1	8m8	--	--
LoTr 5	Com	12h55m34s	+25°53'31"	S.33	O	8,8' x 8,8'	8m7	13m2	--	8m7
M 27	Vul	19h59m36s	+22°43'16"	S.30	O	8' x 6'	7m3	10m9	275 Lj.	13m5
M 57	Lyr	18h53m35s	+33°01'45"	S.30	--	1,3' x 1,3'	8m8	10m7	2.300 Lj.	14m7
M 76	Per	01h42m20s	+51°34'31"	S.15	--	1,4' x 0,7'	10m1	12m3	2.600 Lj.	15m9
M 97	UMa	11h14m48s	+55°01'09"	S.12	--	2,8' x 2,8'	9m9	11m9	4.100 Lj.	16m0
Merrill 1-1	Aql	19h39m10s	+15°56'47"	S.42	O	stellar	13m2	8m6	--	14m1
Merrill 2-1	Lib	15h22m19s	-23°37'31"	S.80	--	stellar	11m4	6m2	16.000 Lj.	17m3
Merrill 2-2	Lac	22h31m44s	+47°48'04"	S.16	UO	stellar	12m6	7m0	--	16m1
Mink 1-7	Gem	06h37m21s	+24°00'36"	S.36	--	0,4' x 0,2'	13m5	8m9	--	19m6
Mink 1-8	Mon	06h53m34s	+03°08'25"	S.60	--	0,3' x 0,3'	14m1	11m2	--	21m4
Mink 1-9	Mon	07h05m19s	+02°46'59"	S.60	--	0,2' x 0,2'	13m5	9m5	--	15m6
Mink 1-54	Sgr	18h36m08s	-16°59'53"	S.66	O	0,3' x 0,2'	13m0	8m8	--	--
Mink 1-56	Sgr	18h37m47s	-17°05'46"	S.66	O	stellar	13m2	9m0	--	16m2
Mink 1-57	Sct	18h40m20s	-10°39'47"	S.66	U	stellar	13m3	8m8	--	16m3
Mink 1-59	Sct	18h43m20s	-09°04'49"	S.66	O	stellar	12m4	--	--	--
Mink 1-64	Lyr	18h50m02s	+35°14'35"	S.30	--	0,3' x 0,3'	13m3	9m8	--	--
Mink 1-66	Aql	18h58m26s	-01°03'44"	S.54	--	0,2' x 0,1'	13m1	9m0	--	--
Mink 1-73	Aql	19h41m09s	+14°56'59"	S.42	U	stellar	13m9	8m3	--	14m5
Mink 1-74	Aql	19h42m19s	+15°09'08"	S.42	UO	stellar	12m7	7m0	--	18m1
Mink 1-77	Cyg	21h19m08s	+46°18'48"	S.17	--	stellar	19m7	14m8	--	12m1
Mink 1-79	Cyg	21h37m01s	+48°56'02"	S.17	U	0,6' x 0,6'	13m2	11m6	--	19m1
Mink 1-80	Cep	22h56m20s	+57°09'22"	S.8	O	stellar	13m2	8m6	--	--
Mink 1-92	Cyg	19h36m19s	+29°32'51"	S.30	--	stellar	11m7	7m8	8.000 Lj.	--
Mink 2-9	Oph	17h05m38s	-10°08'35"	S.67	--	1,9' x 0,3'	14m7	--	2.100 Lj.	15m7
Mink 2-51	Cep	22h16m04s	+57°28'35"	S.8	OU	1,2' x 1'	13m5	12m3	--	20m4
Mink 2-52	Cep	22h20m31s	+57°36'19"	S.8	--	0,2' x 0,2'	13m9	10m5	--	--
Mink 2-55	Cep	23h31m51s	+70°22'14"	S.2	U	0,7' x 0,6'	14m3	13m1	--	21m1
Mink 3-27	Her	18h27m48s	+14°29'07"	S.42	UO	stellar	14m0	4m8	--	15m5
Mink 4-17	Cyg	20h09m02s	+43°43'44"	S.18	U	0,3' x 0,3'	14m5	11m2	--	--
Necklace N.	Sge	19h44m00s	+17°09'01"	S.42	--	0,3' x 0,2'	--	--	15.000 Lj.	--
NGC 40	Cep	00h13m01s	+72°31'19"	S.7	OH	1,2' x 0,8'	12m3	12m3	3.500 Lj.	11m6
NGC 246	Cet	00h47m03s	-11°52'19"	S.75	UO	4,1' x 4,1'	9m0	13m7	1.600 Lj.	11m0
NGC 1360	For	03h33m15s	-25°52'18"	S.86	UO	6,4' x 6,4'	9m4	13m2	1.500 Lj.	11m0
NGC 1501	Cam	04h06m59s	+60°55'14"	S.14	UO	0,9' x 0,8'	11m8	10m9	5.000 Lj.	14m4
NGC 1514	Tau	04h09m17s	+30°46'33"	S.37	U	2,2' x 2,2'	10m9	12m4	900 Lj.	9m0
NGC 1535	Eri	04h14m16s	-12°44'22"	S.73	--	0,8' x 0,8'	9m6	9m0	5.000 Lj.	12m2
NGC 2022	Ori	05h42m06s	+09°05'10"	S.49	--	0,7' x 0,7'	11m6	10m4	7.000 Lj.	15m0
NGC 2346	Mon	07h09m23s	-00°48'24"	S.60	UO	0,9' x 0,9'	11m6	11m0	2.000 Lj.	11m0
NGC 2371	Gem	07h25m35s	+29°29'26"	S.36	UO	0,4' x 0,2'	11m2	--	4.300 Lj.	15m5

Planetarische Nebel

Aufsuchkarten für alle im BAFK enthaltenen PN

Name	SBK	RA	DEC	Seite im IsDSA	Filter	Größe	Gesamt helligkeit	Flächen helligkeit	Entfernung	Helligkeit ZS
NGC 2392	Gem	07h29m11s	+20°54'42"	S.48	O	0,8' x 0,7'	9m1	8m6	5.000 Lj.	10m5
NGC 2438	Pup	07h41m51s	-14°44'08"	S.72	O	1,3' x 1,3'	10m8	11m1	2.900 Lj.	17m5
NGC 2440	Pup	07h41m55s	-18°12'30"	S.72	--	1,3' x 1,3'	9m1	9m7	4.000 Lj.	14m0
NGC 2610	Hya	08h33m23s	-16°08'58"	S.71	U	0,7' x 0,7'	12m7	11m7	7.000 Lj.	15m0
NGC 3242	Hya	10h24m46s	-18°38'33"	S.70	--	1,1' x 1,1'	7m7	7m6	2.500 Lj.	12m1
NGC 4361	Crv	12h24m31s	-18°47'05"	S.69	--	2,1' x 2,1'	10m9	12m3	4.300 Lj.	13m0
NGC 6058	Her	16h04m27s	+40°40'56"	S.19	UO	0,7' x 0,7'	12m8	11m8	13.000 Lj.	13m5
NGC 6210	Her	16h44m29s	+23°48'00"	S.31	--	0,3' x 0,3'	8m8	6m3	6.200 Lj.	12m0
NGC 6309	Oph	17h14m04s	-12°54'36"	S.67	O	0,3' x 0,3'	11m5	8m8	8.700 Lj.	16m6
NGC 6369	Oph	17h29m20s	-23°45'35"	S.79	U	0,5' x 0,4'	11m4	10m1	3.500 Lj.	15m6
NGC 6445	Sgr	17h49m15s	-20°00'34"	S.67	--	0,7' x 0,7'	11m2	10m3	--	19m0
NGC 6537	Sgr	18h05m13s	-19°50'35"	S.66	UO	0,4' x 0,4'	11m6	7m5	5.000 Lj.	19m0
NGC 6543	Dra	17h58m33s	+66°38'00"	S.3	--	0,8' x 0,4'	8m1	5m4	3.600 Lj.	10m9
NGC 6563	Sgr	18h25m42s	-33°52'07"	S.78	UO	0,9' x 0,7'	11m0	10m3	7.700 Lj.	18m0
NGC 6565	Sgr	18h11m53s	-28°10'42"	S.78	U	0,2' x 0,2'	11m6	8m2	7.000 Lj.	19m0
NGC 6572	Oph	18h12m06s	+06°51'13"	S.54	U	0,6' x 0,4'	8m1	4m8	3.300 Lj.	13m6
NGC 6629	Sgr	18h12m03s	-23°12'10"	S.66	U	0,3' x 0,3'	11m3	8m2	6.000 Lj.	12m0
NGC 6741	Aql	19h02m37s	-00°26'57"	S.54	U	stellar	11m8	6m8	6.500 Lj.	14m0
NGC 6751	Aql	19h05m56s	-05°59'33"	S.54	U	0,4' x 0,4'	11m9	9m8	6.500 Lj.	15m4
NGC 6765	Lyr	19h11m06s	+30°32'43"	S.30	O	0,7' x 0,7'	13m1	11m8	--	16m0
NGC 6772	Aql	19h14m36s	-02°42'25"	S.54	U	1,3' x 1'	12m7	13m2	--	18m4
NGC 6778	Aql	19h18m25s	-01°35'47"	S.54	--	0,6' x 0,6'	12m3	11m0	3.200 Lj.	15m0
NGC 6781	Aql	19h18m28s	+06°32'19"	S.54	UO	1,9' x 1,9'	11m4	12m5	5.000 Lj.	16m2
NGC 6790	Aql	19h22m57s	+01°30'46"	S.54	O	0,2' x 0,2'	10m5	6m4	4.000 Lj.	13m0
NGC 6803	Aql	19h31m16s	+10°03'22"	S.42	OU	0,2' x 0,2'	11m4	7m3	6.000 Lj.	15m0
NGC 6804	Aql	19h31m35s	+09°13'31"	S.42	U	1,1' x 1,1'	12m0	11m9	4.200 Lj.	14m0
NGC 6807	Aql	19h34m34s	+05°41'03"	S.54	UO	stellar	12m0	7m3	15.000 Lj.	14m0
NGC 6818	Sgr	19h43m58s	-14°09'13"	S.66	O	0,8' x 0,8'	9m3	8m5	6.000 Lj.	15m0
NGC 6826	Cyg	19h44m48s	+50°31'30"	S.17	O	0,6' x 0,6'	8m8	7m4	4.000 Lj.	10m8
NGC 6833	Cyg	19h49m47s	+48°57'40"	S.17	O	stellar	12m1	8m1	7.000 Lj.	14m0
NGC 6842	Vul	19h55m02s	+29°17'22"	S.30	OU	1' x 1'	13m5	12m7	4.500 Lj.	16m0
NGC 6852	Aql	20h00m39s	+01°43'40"	S.54	UO	0,5' x 0,5'	12m6	10m7	8.800 Lj.	18m0
NGC 6879	Sge	20h10m27s	+16°55'21"	S.41	U	stellar	12m5	8m1	--	15m0
NGC 6884	Cyg	20h10m24s	+46°27'40"	S.17	UO	0,18' x 0,18'	10m9	7m6	8.000 Lj.	13m0
NGC 6886	Sge	20h12m43s	+19°59'23"	S.41	--	stellar	11m4	7m3	7.000 Lj.	15m0
NGC 6891	Del	20h15m09s	+12°42'16"	S.41	--	0,3' x 0,3'	10m5	8m0	3.000 Lj.	12m4
NGC 6894	Cyg	20h16m24s	+30°33'53"	S.29	UO	0,9' x 0,9'	12m3	11m9	7.500 Lj.	15m0
NGC 6905	Del	20h22m23s	+20°06'16"	S.41	--	1,3' x 0,7'	11m1	11m2	3.800 Lj.	14m3
NGC 7008	Cyg	21h00m33s	+54°32'39"	S.8	--	1,4' x 1,4'	10m7	11m2	2.800 Lj.	12m0
NGC 7009	Aqr	21h04m11s	-11°21'48"	S.65	--	0,6' x 0,6'	8m3	6m5	2.500 Lj.	12m8
NGC 7026	Cyg	21h06m18s	+47°51'07"	S.17	U	0,4' x 0,2'	10m7	10m0	6.000 Lj.	14m8
NGC 7027	Cyg	21h07m02s	+42°14'10"	S.17	U	0,3' x 0,2'	8m5	5m2	3.500 Lj.	16m3
NGC 7048	Cyg	21h14m15s	+46°17'16"	S.17	U	1' x 1'	12m0	11m9	--	18m0
NGC 7094	Peg	21h36m53s	+12°47'19"	S.41	O	1,6' x 1,6'	13m4	14m1	5.500 Lj.	13m0
NGC 7139	Cep	21h46m09s	+63°47'29"	S.8	UO	1,3' x 1,3'	13m3	13m6	4.300 Lj.	18m0
NGC 7293	Aqr	22h29m39s	-20°50'14"	S.64	UO	16' x 12'	7m3	13m3	700 Lj.	13m6
NGC 7354	Cep	22h40m20s	+61°17'09"	S.8	UO	0,6' x 0,6'	12m2	10m8	7.000 Lj.	15m0
NGC 7662	And	23h25m54s	+42°32'06"	S.16	U	0,9' x 0,7'	8m3	7m0	1.800 Lj.	13m0
PB 9	Aql	19h27m45s	+10°24'22"	S.42	OU	0,2' x 0,2'	14m6	10m9	--	--
PC 22	Aql	19h42m04s	+13°50'38"	S.42	OU	0,3' x 0,2'	14m3	11m6	--	18m1
PuWe 1	Lyn	06h19m35s	+55°36'42"	S.13	--	20' x 20'	--	--	500 Lj.	--
Sh 1-89	Cyg	21h14m08s	+47°46'22"	S.17	UO	0,6' x 0,6'	14m4	13m0	--	--
Sh 2-71	Aql	19h02m00s	+02°09'11"	S.54	OU	2,5' x 1,2'	12m1	13m7	--	13m8
Sh 2-174	Cep	23h45m02s	+80°57'00"	S.2	OUH	12' x 10'	--	--	1.000 Lj.	--
Sh 2-216	Per	04h43m21s	+46°42'06"	S.25	--	90' x 90'	--	--	390 Lj.	12m7
Simeis 22	Cas	01h30m33s	+58°24'51"	S.15	O	8' x 3'	--	--	2.800 Lj.	--
Steph 3-1	Mon	07h06m51s	-03°05'06"	S.60	O	stellar	--	--	--	--
Vy 1-2	Her	17h54m23s	+27°59'58"	S.31	U	stellar	12m1	6m3	15.300 Lj.	17m6
Vy 2-2	Aql	19h24m22s	+09°53'56"	S.54	U	0,2' x 0,2'	12m7	9m2	--	14m6

Abell 2

RA 00h45m35s

DEC +57°57'35"

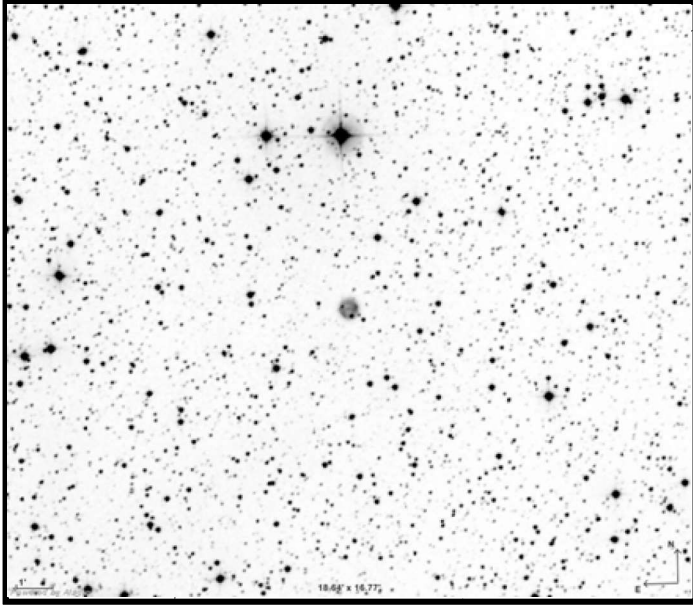
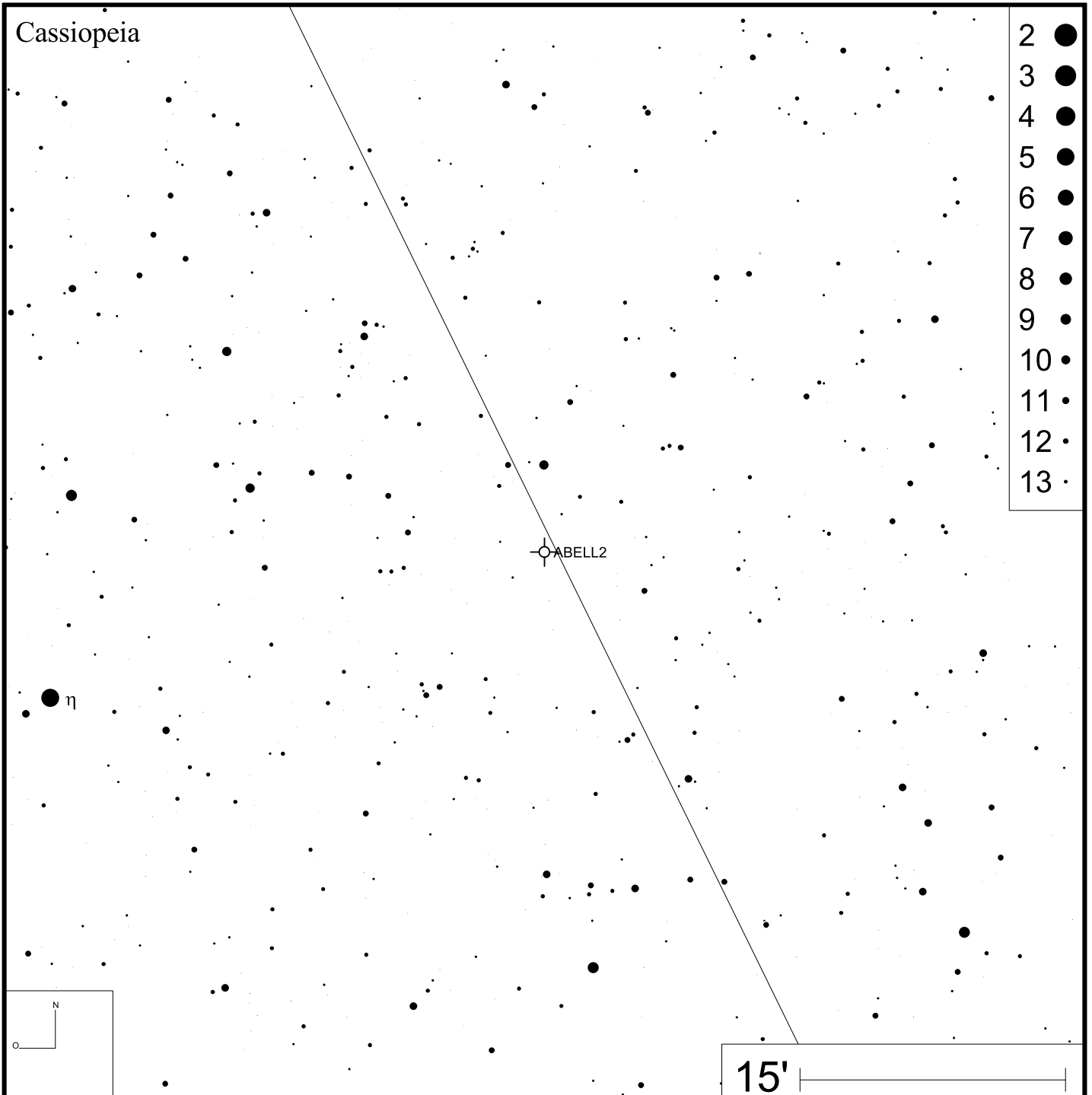
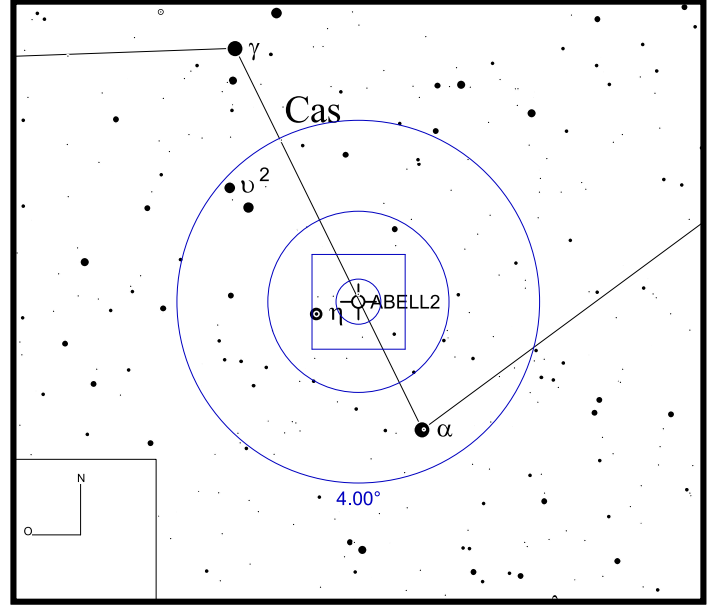


Bild: DSS



Abell 4

RA 02h45m24s DEC +42°33'05"

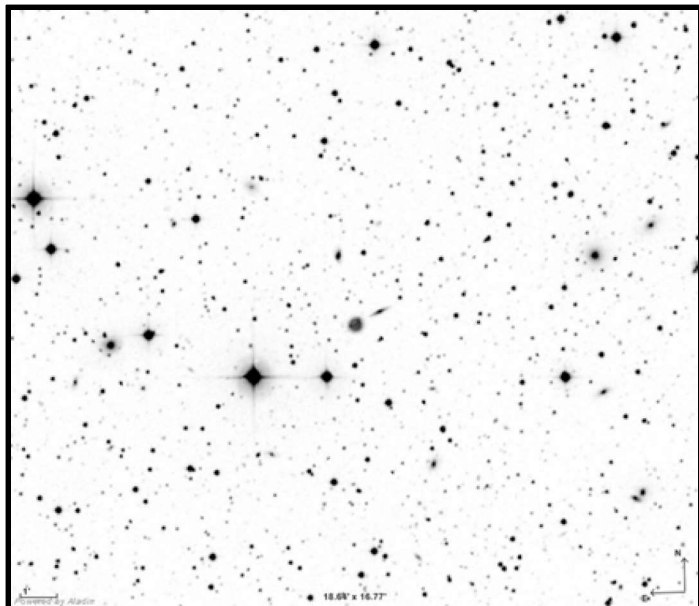
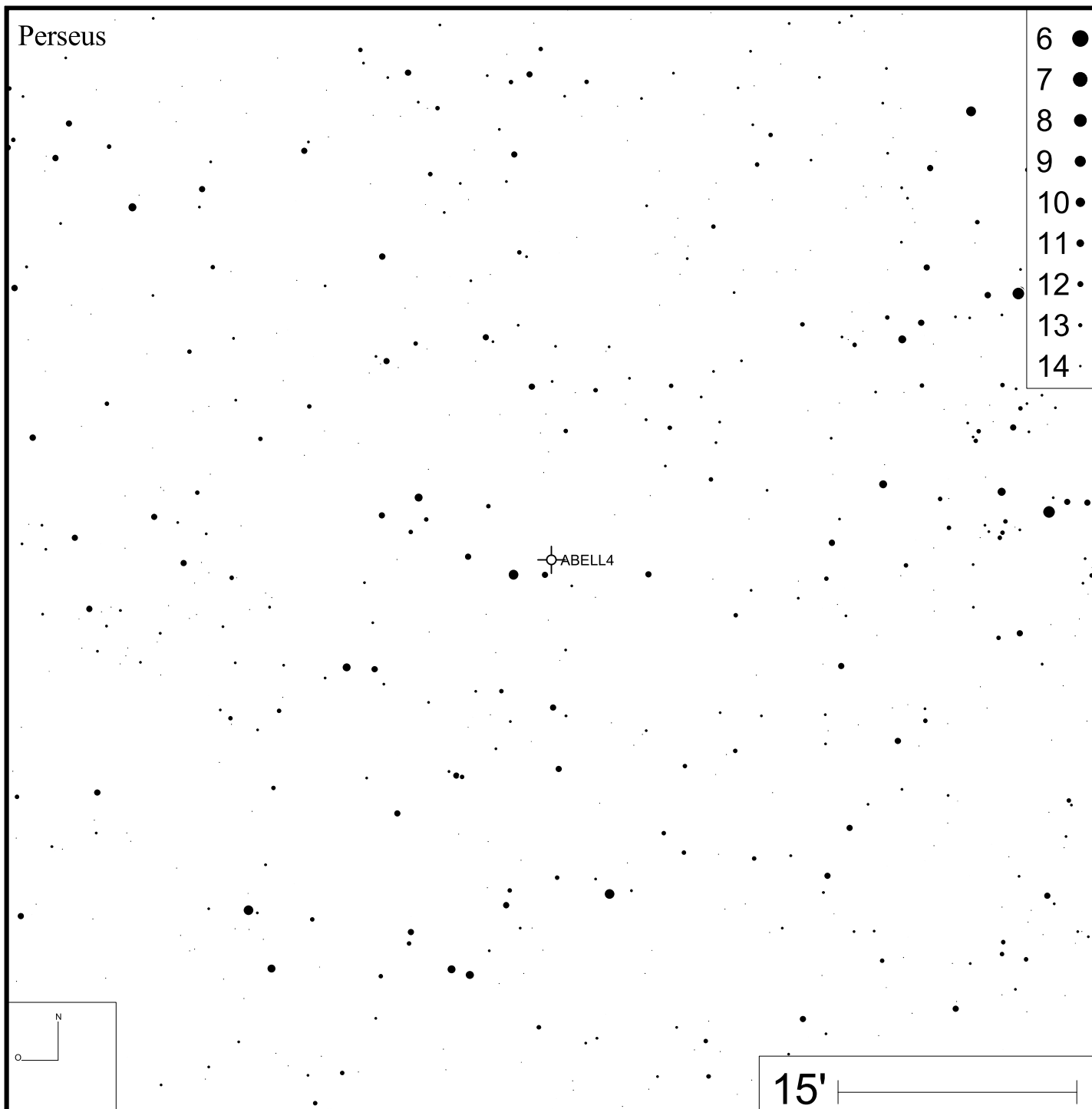
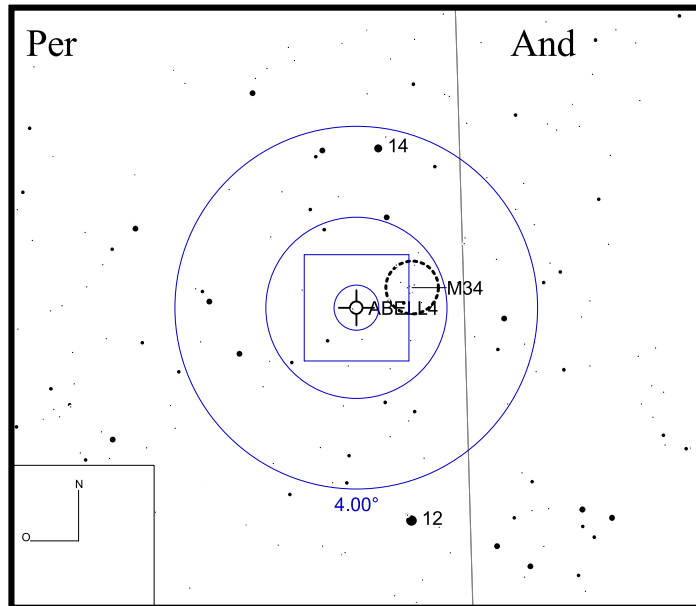


Bild: DSS



Abell 7

RA 05h03m08s DEC -15°36'22"

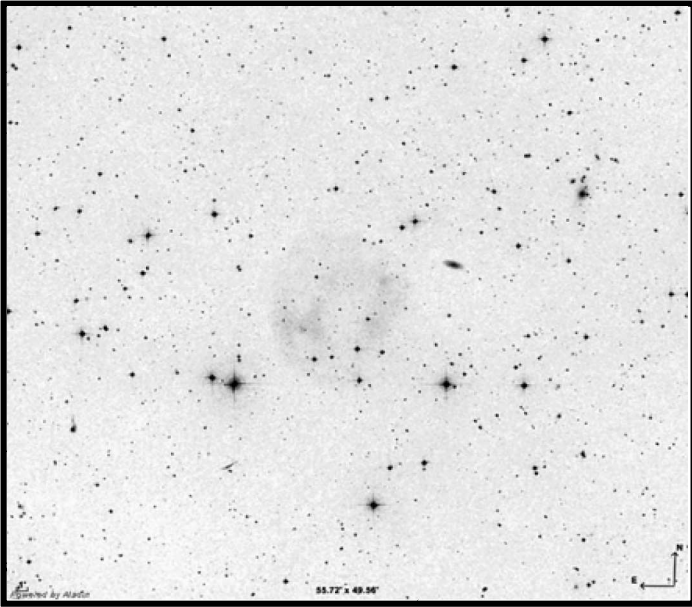
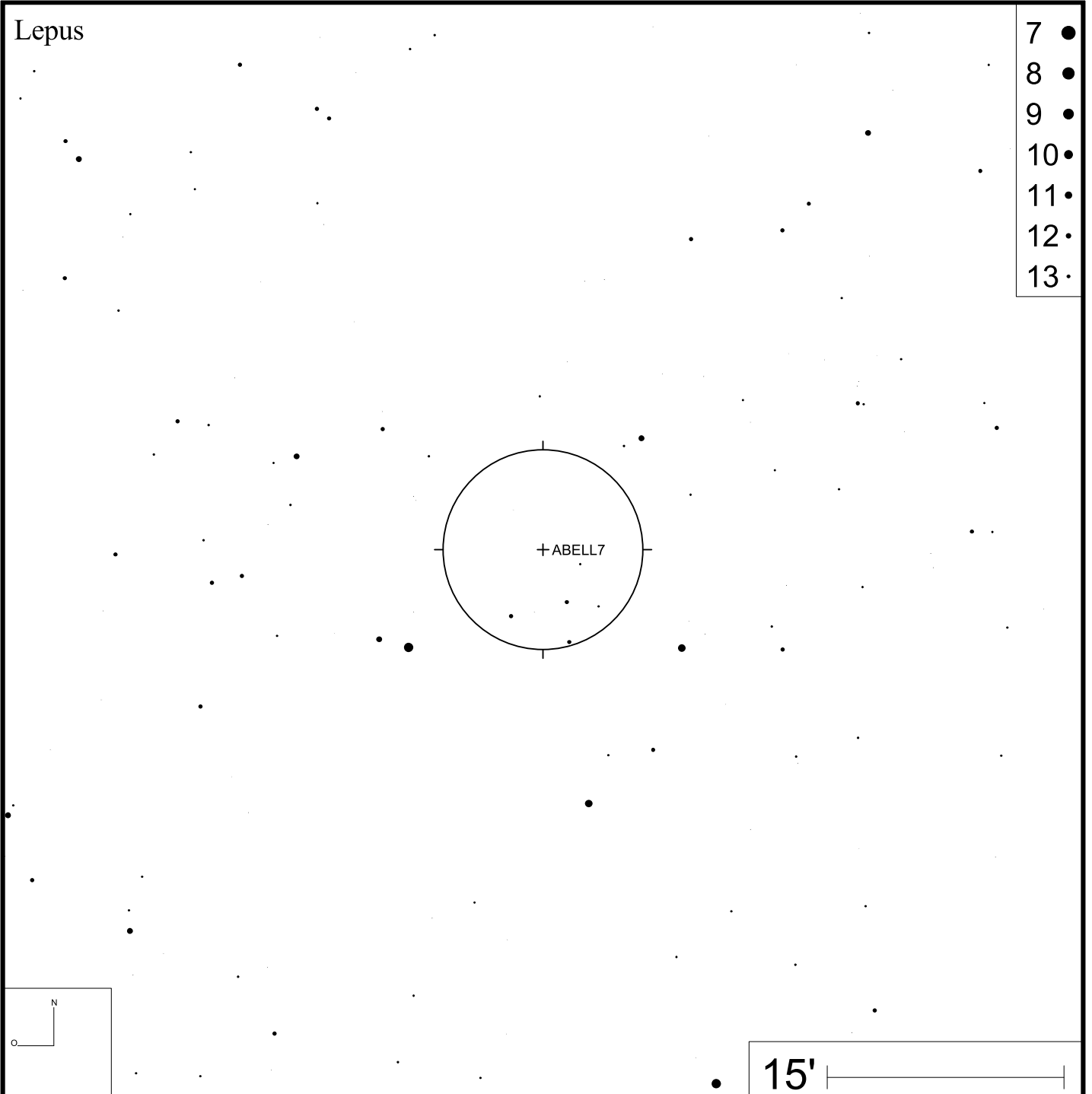
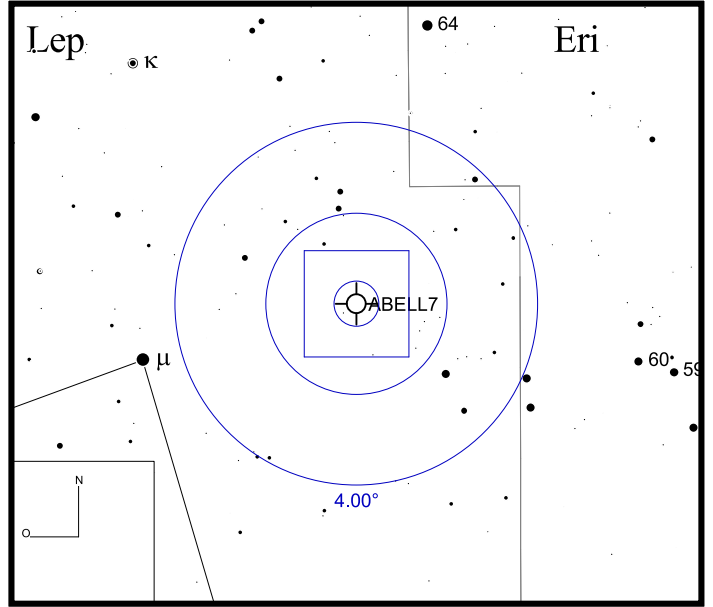


Bild: DSS



Abell 10

RA 05h31m46s DEC +06°55'51"

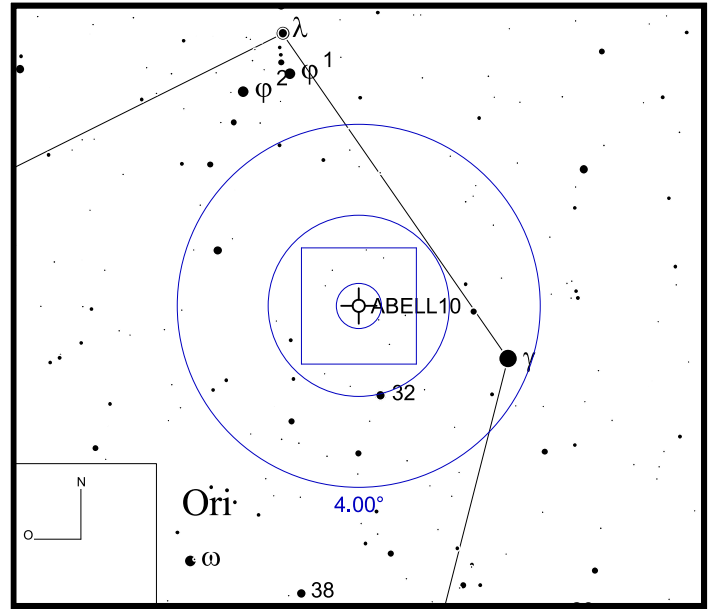
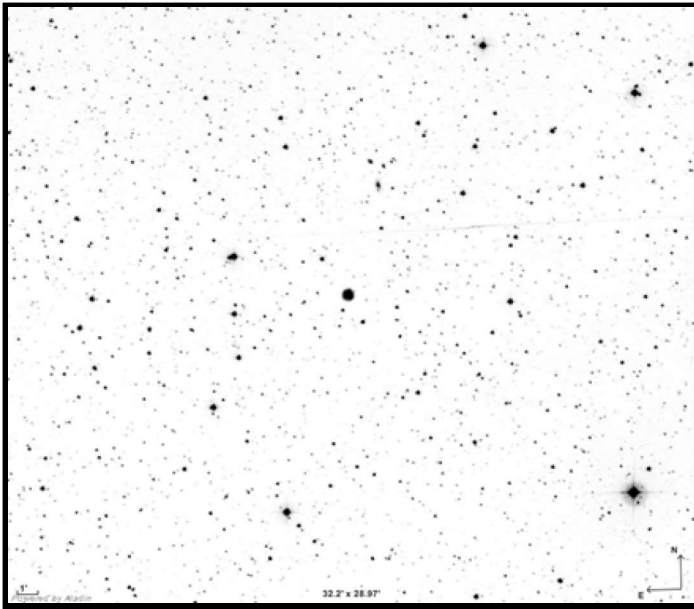
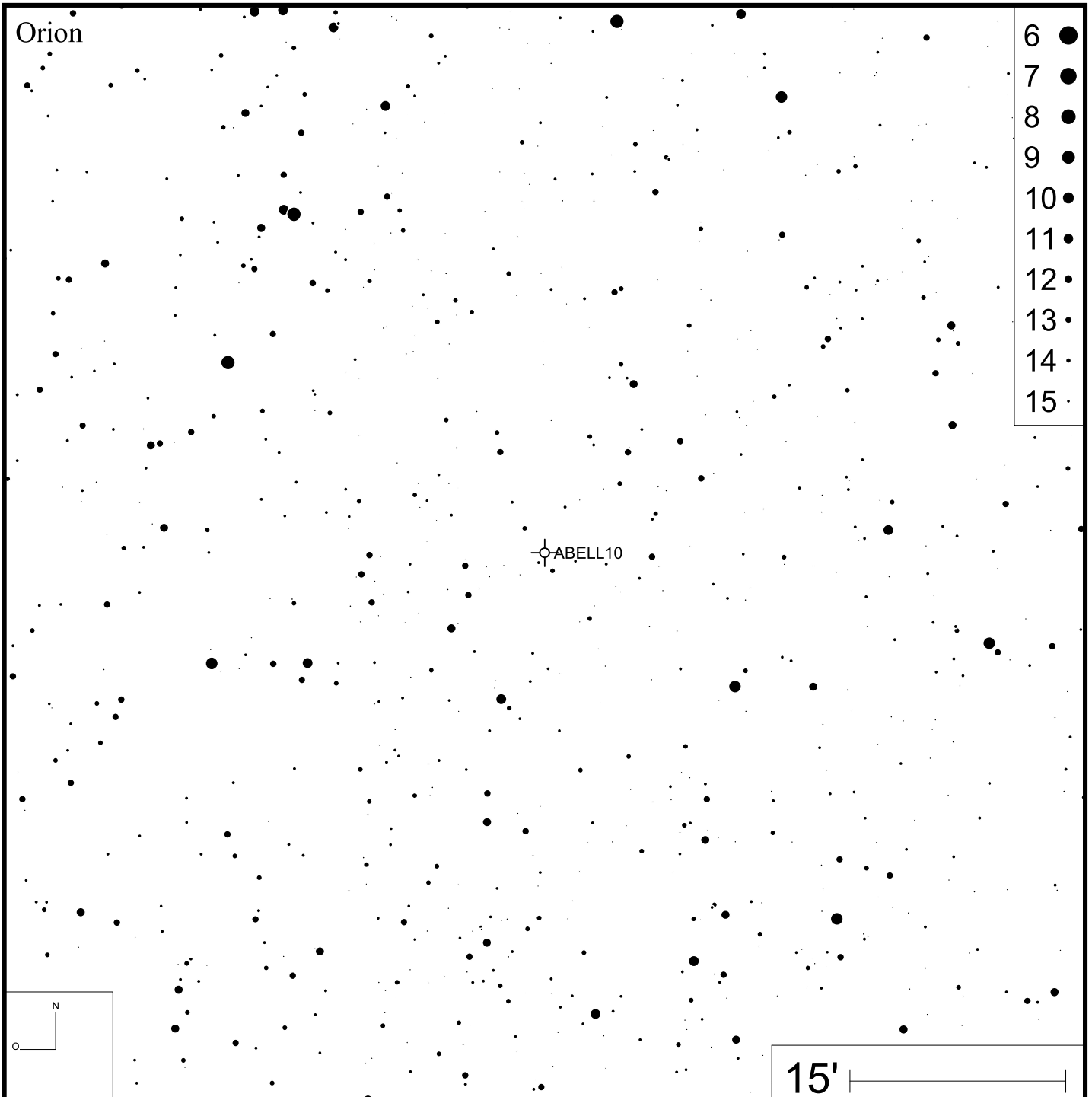


Bild: DSS



Abell 12

RA 06h02m20s

DEC +09°39'14"

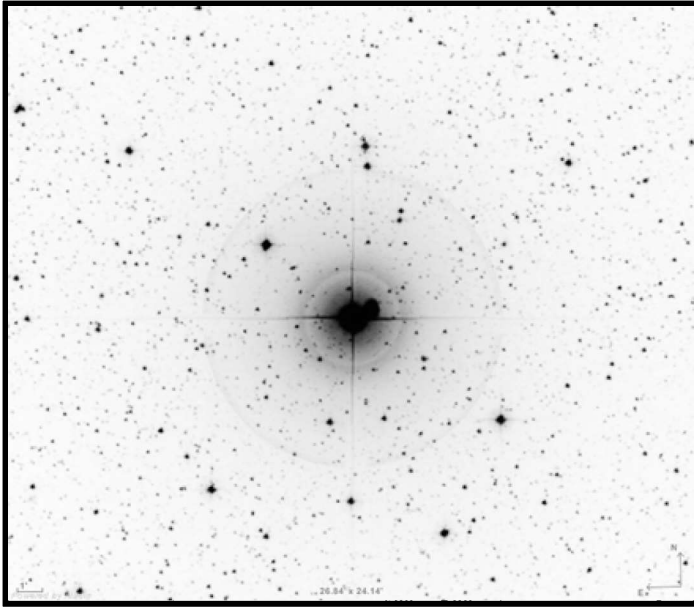
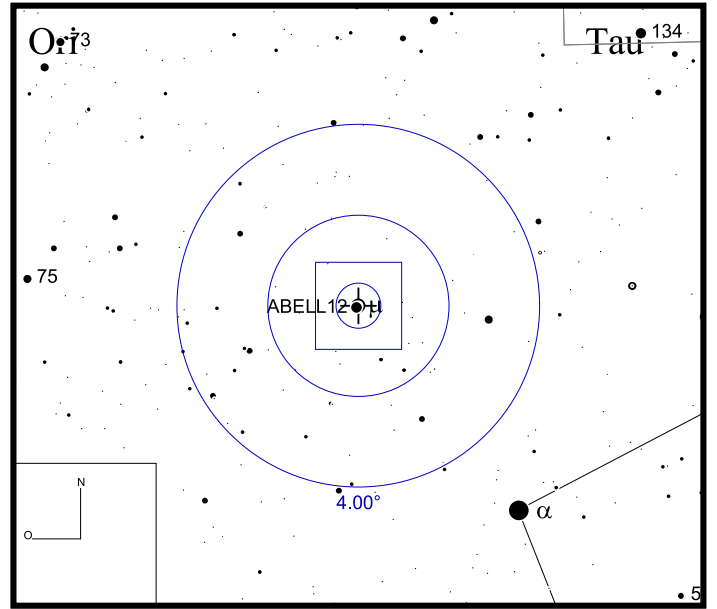
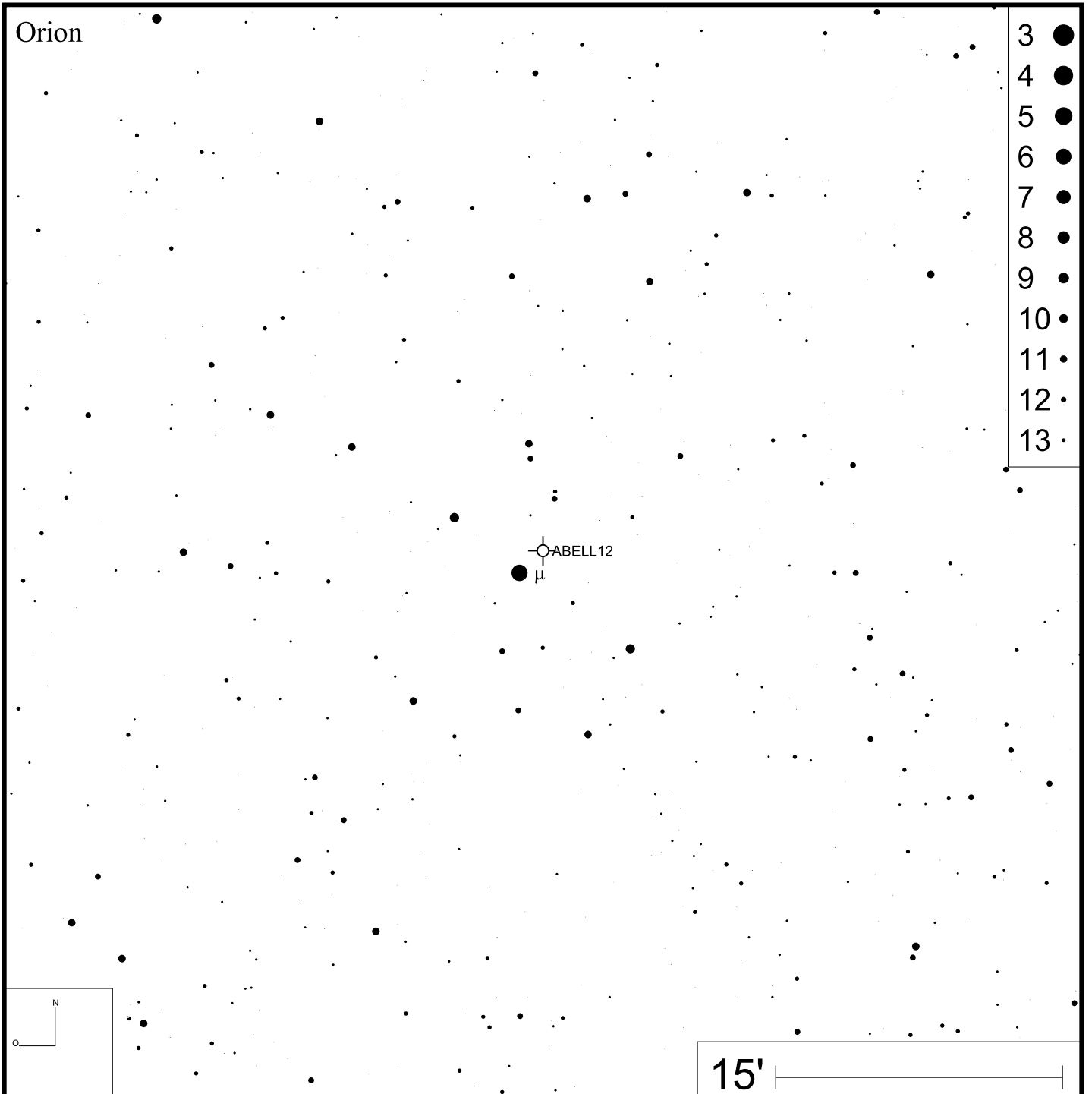


Bild: DSS



Orion



Abell 13

RA 06h04m48s

DEC +03°56'36"

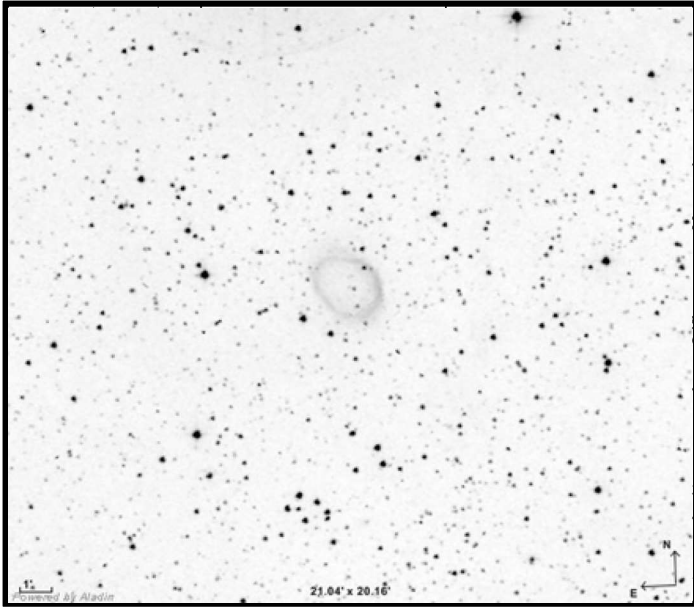
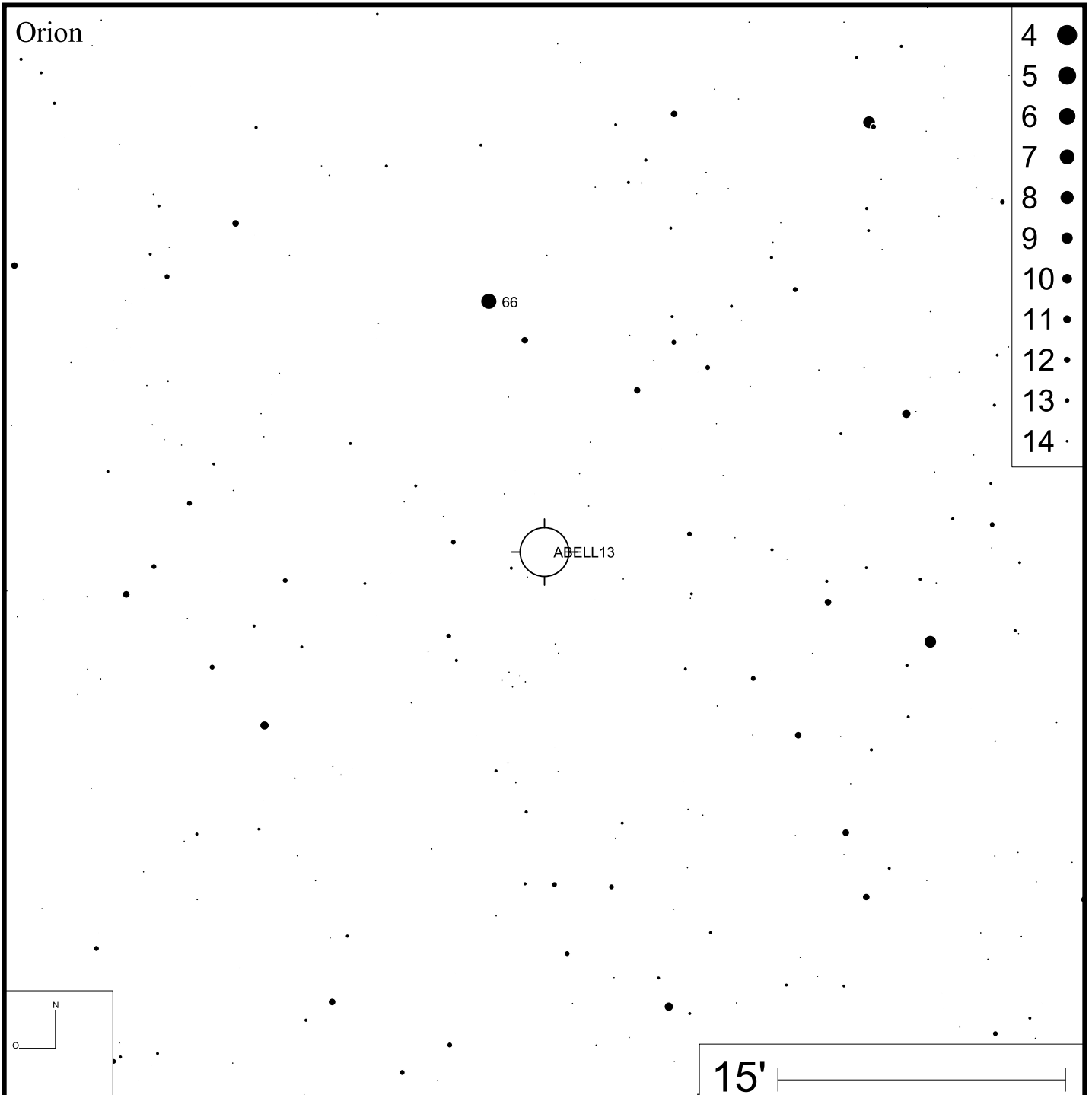
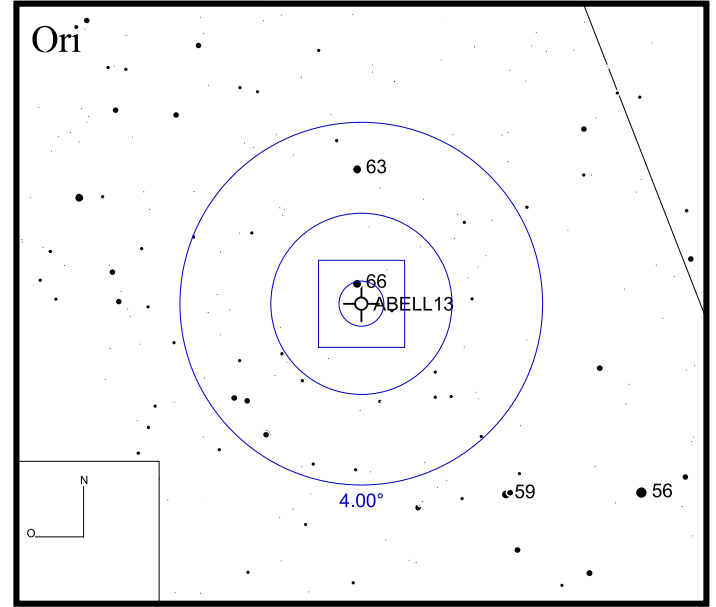


Bild: DSS



Abell 20

RA 07h22m58s

DEC +01°45'33"

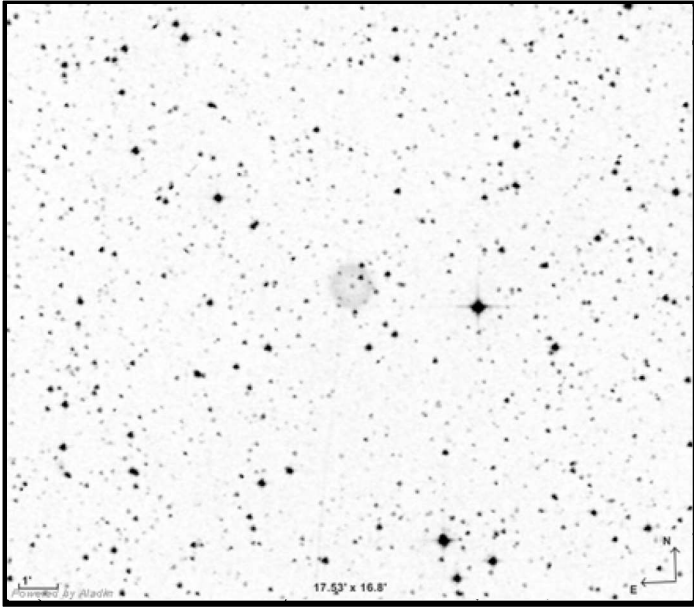
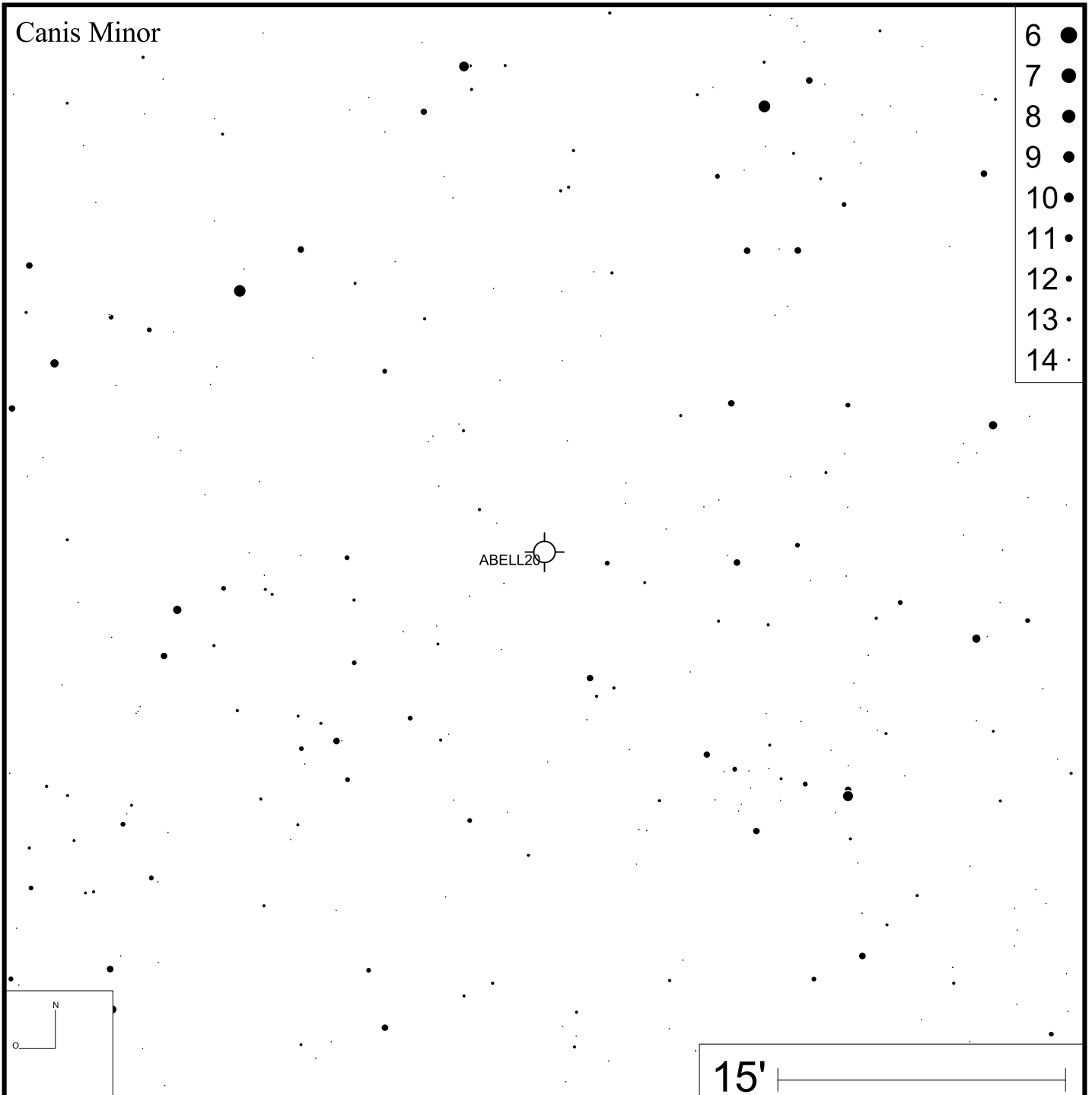
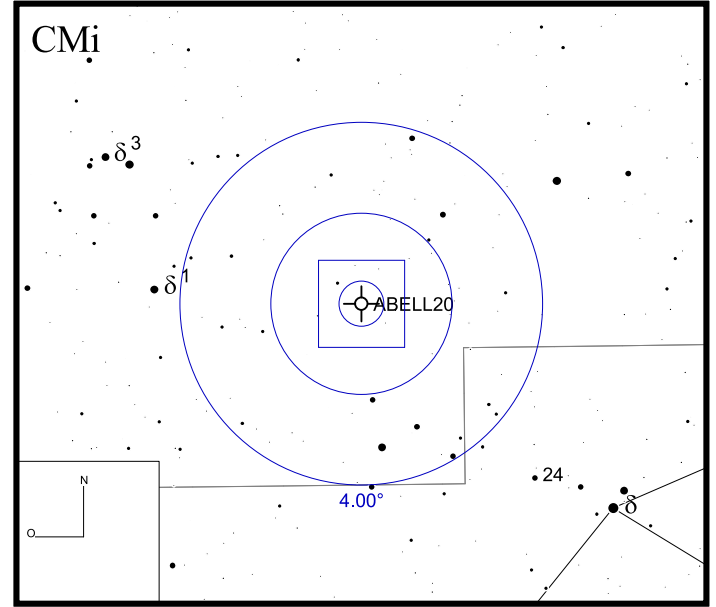


Bild: DSS



Abell 21

RA 07h29m03s

DEC +13°14'48"

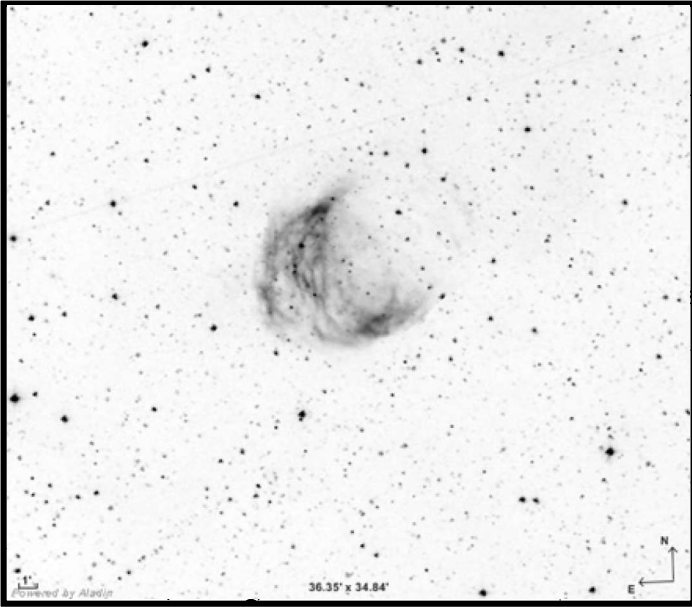
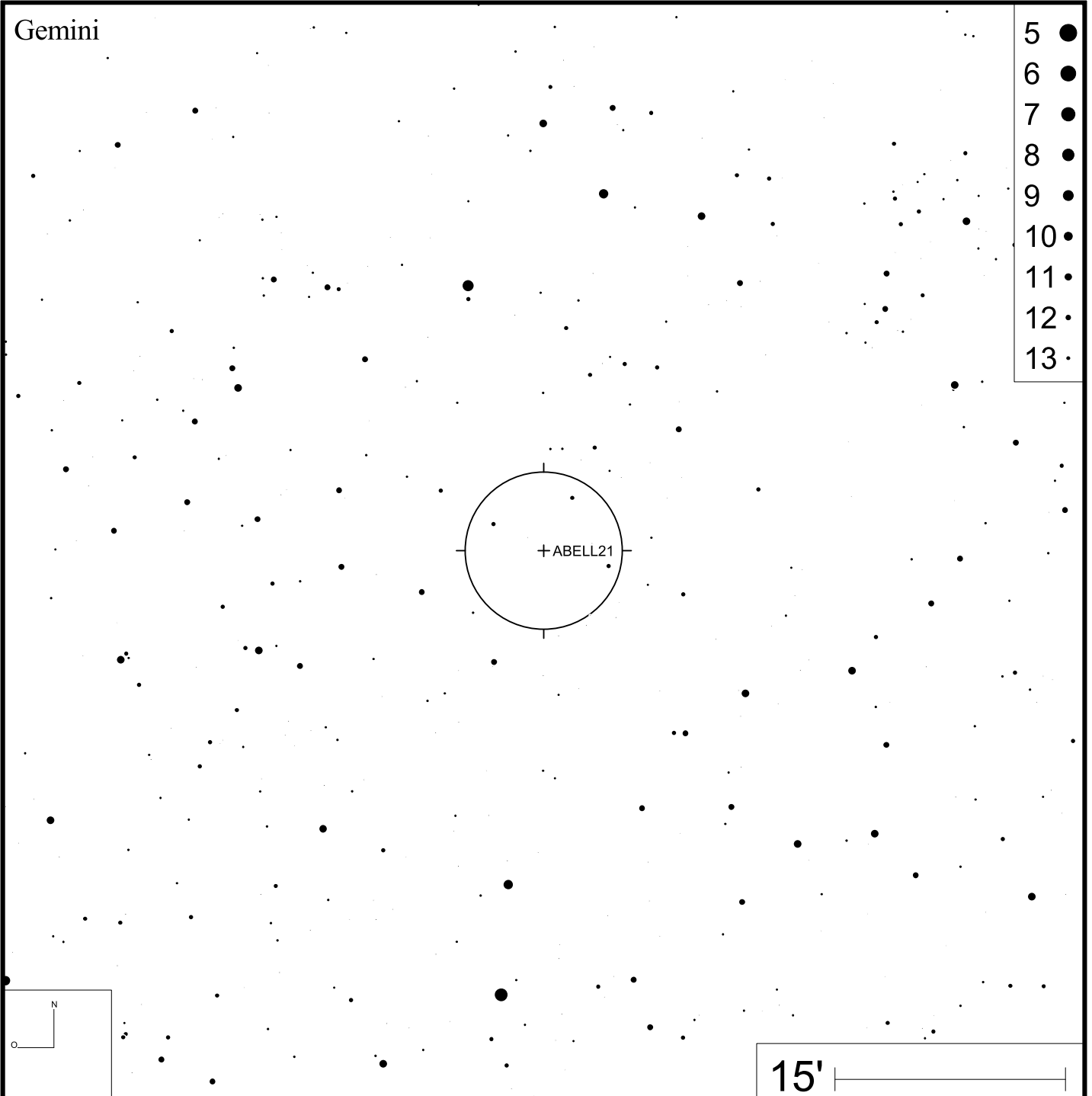
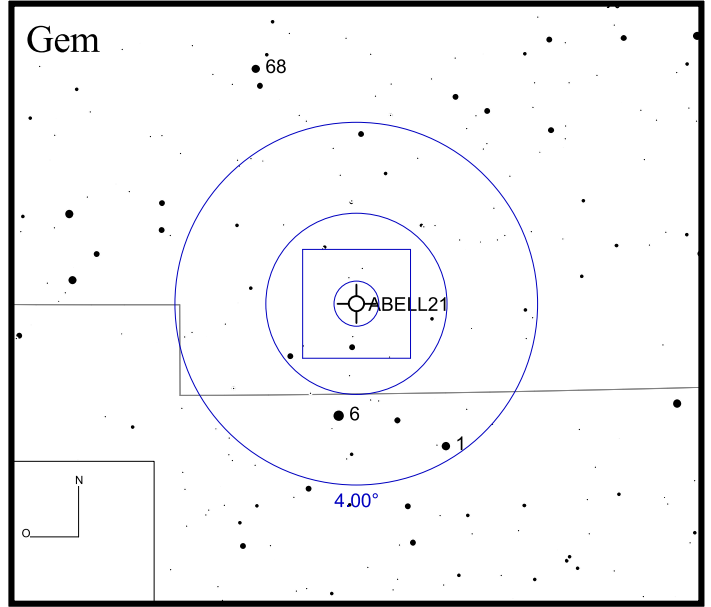


Bild: DSS



- 5 ●
- 6 ●
- 7 ●
- 8 ●
- 9 ●
- 10 ●
- 11 ●
- 12 ●
- 13 ●

Abell 22

RA 07h36m08s

DEC +02°42'28"

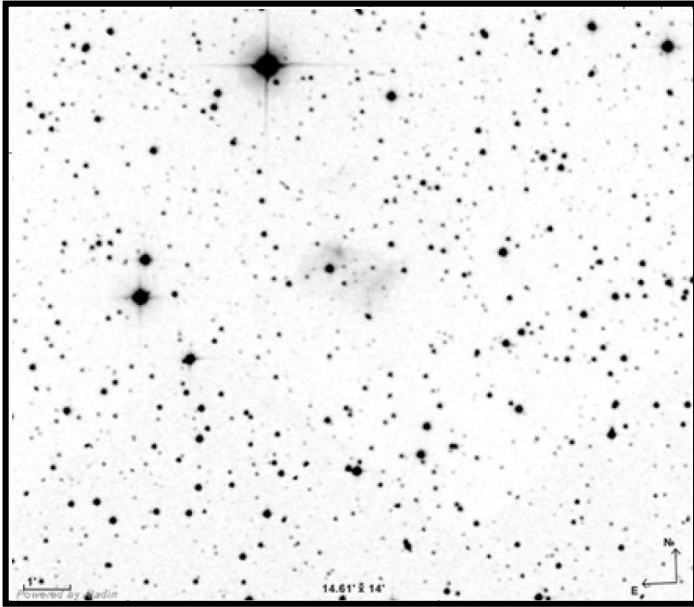
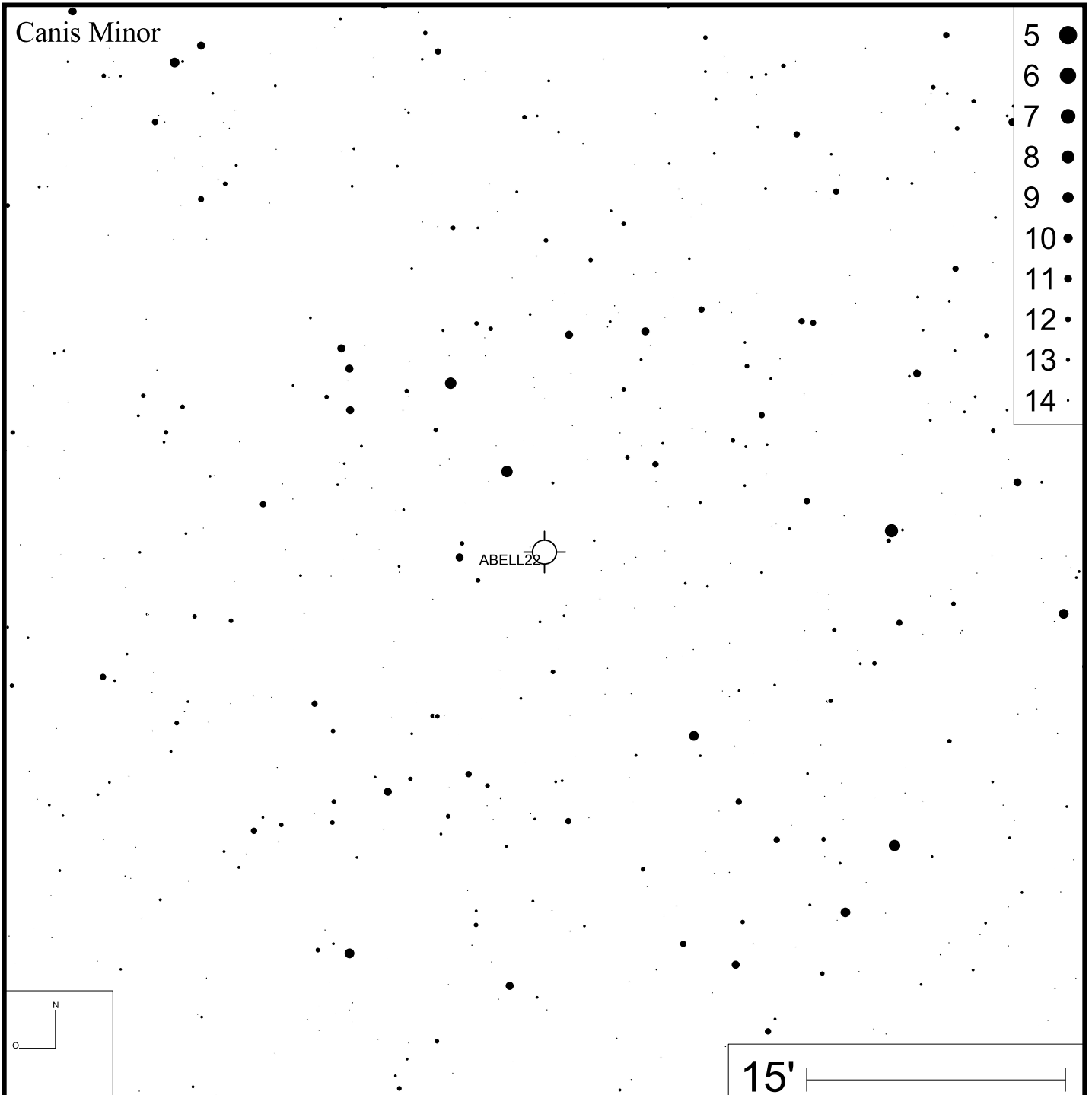
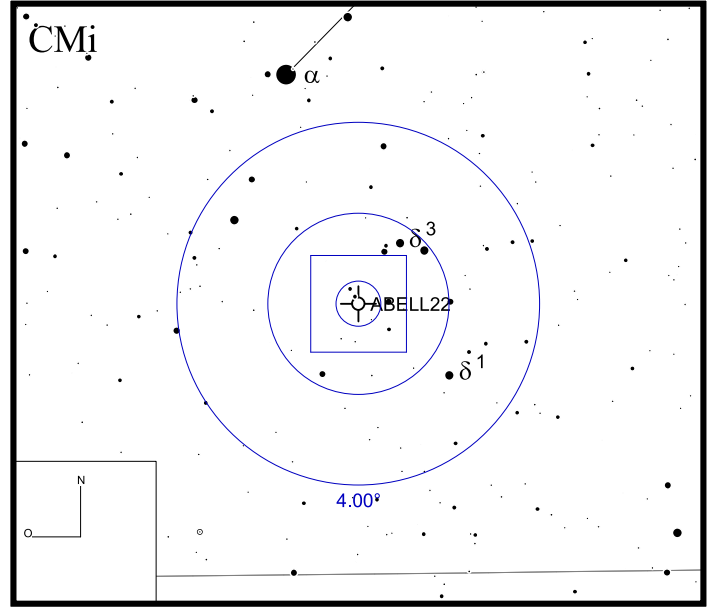


Bild: DSS



Abell 24

RA 07h51m38s

DEC +03°00'21"

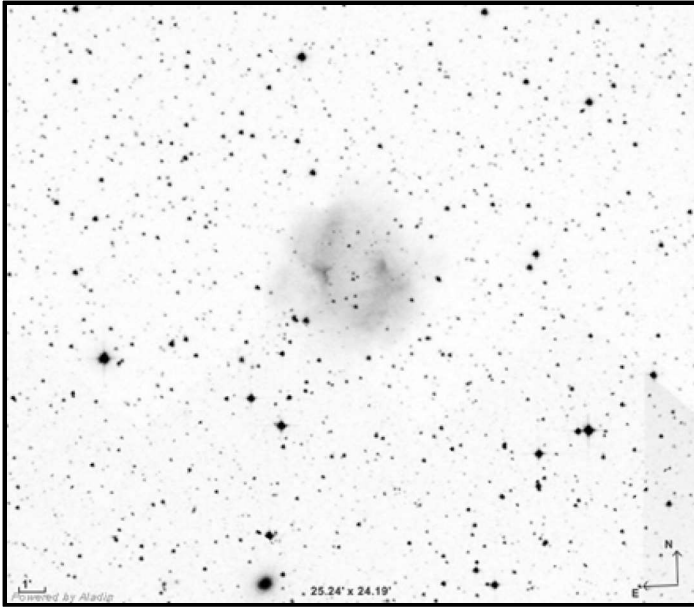
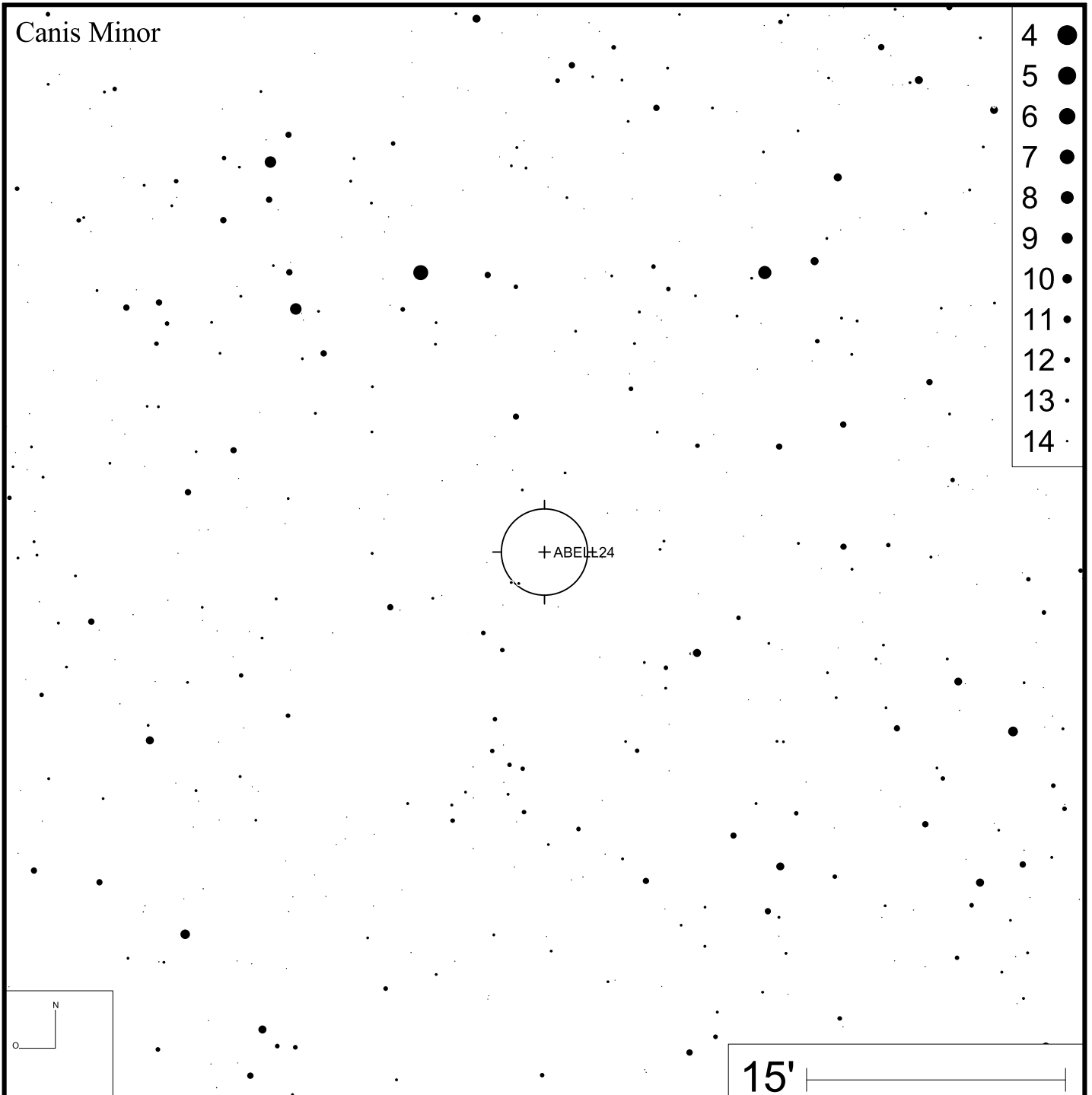
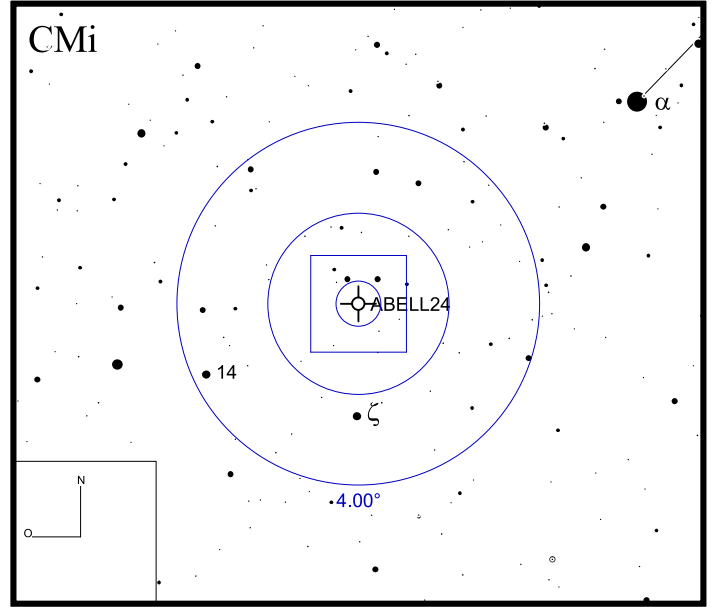


Bild: DSS



- 4 ●
- 5 ●
- 6 ●
- 7 ●
- 8 ●
- 9 ●
- 10 ●
- 11 ●
- 12 ●
- 13 ●
- 14 ●

Abell 25

RA 08h06m46s

DEC -02°52'35"

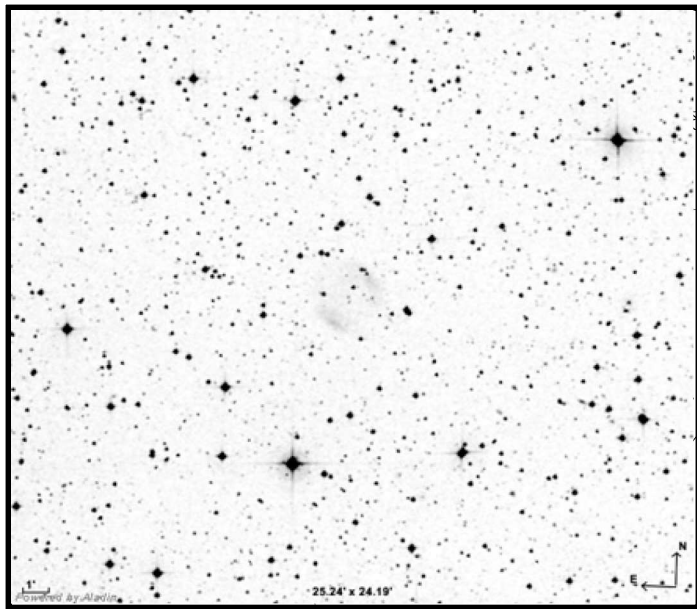
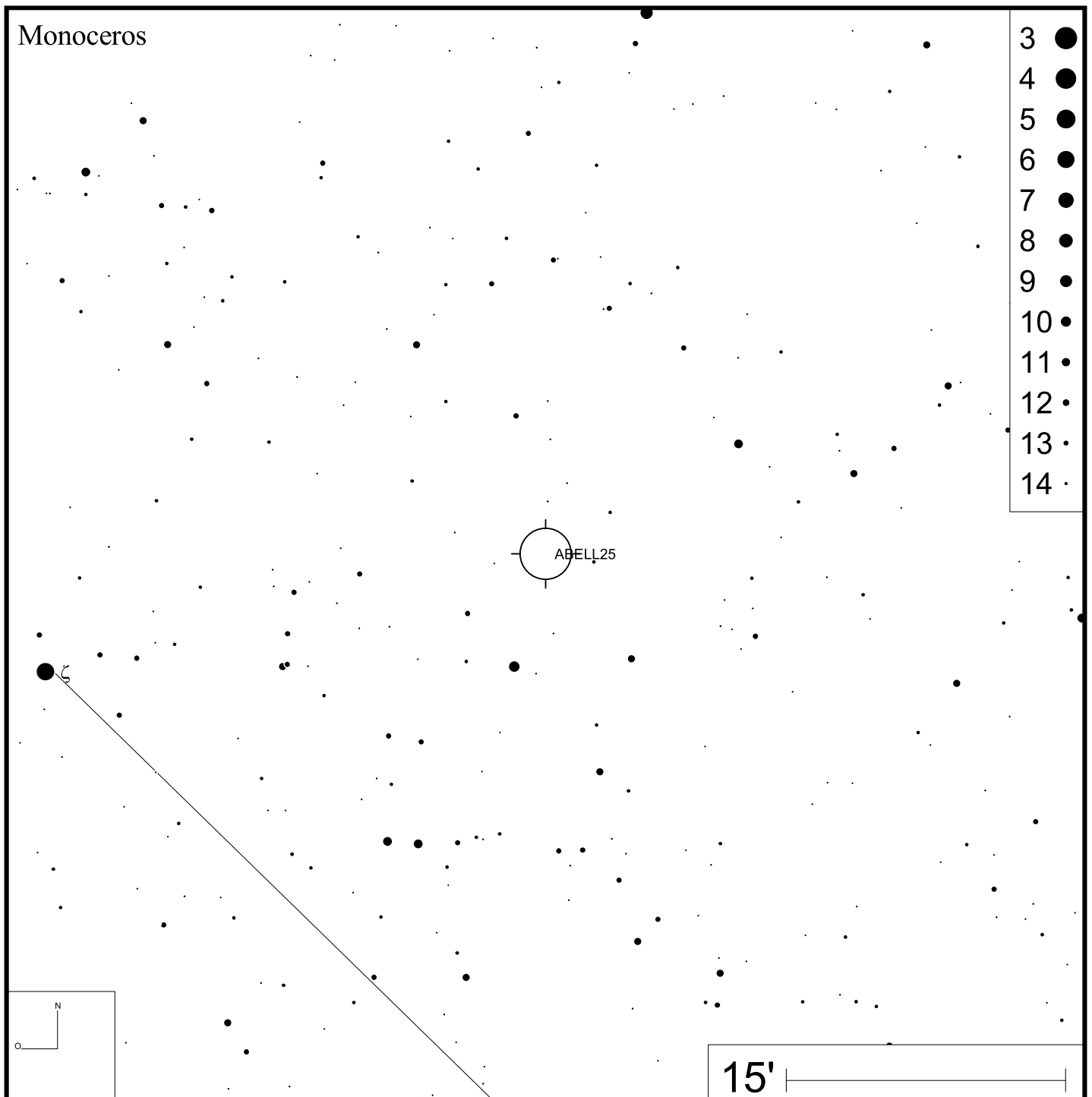
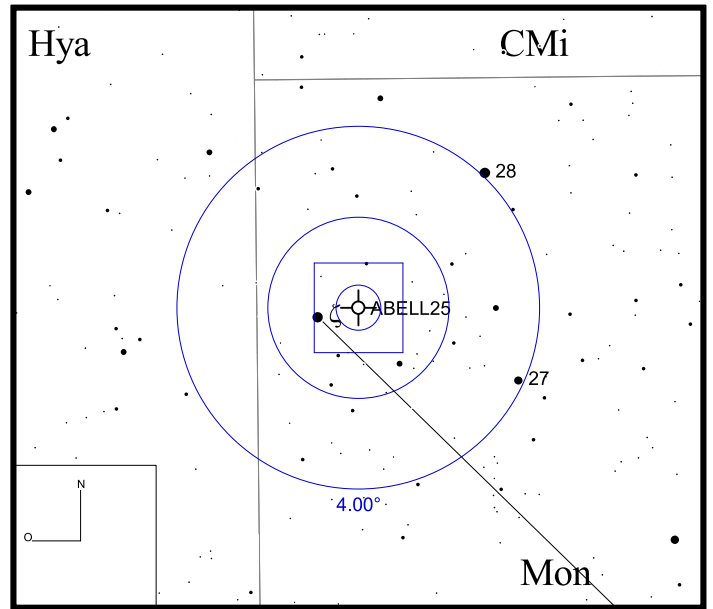


Bild: DSS (kontrastverstärkt)



Abell 30

RA 08h46m53s DEC +17°52'47"

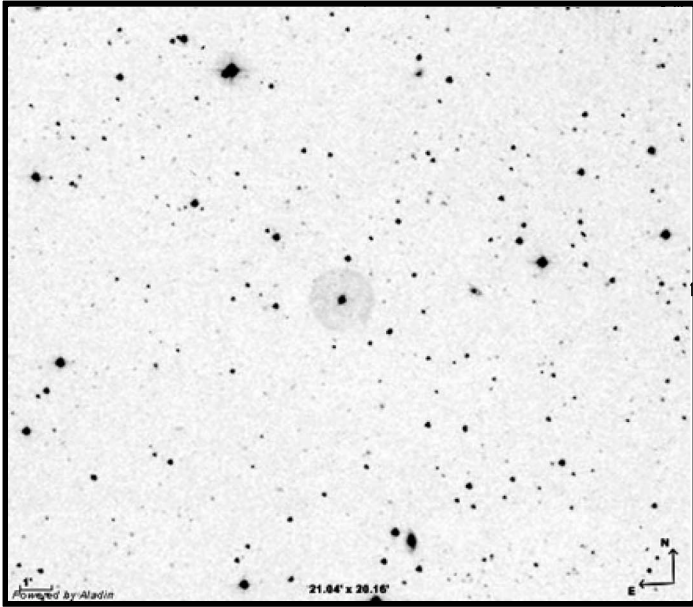
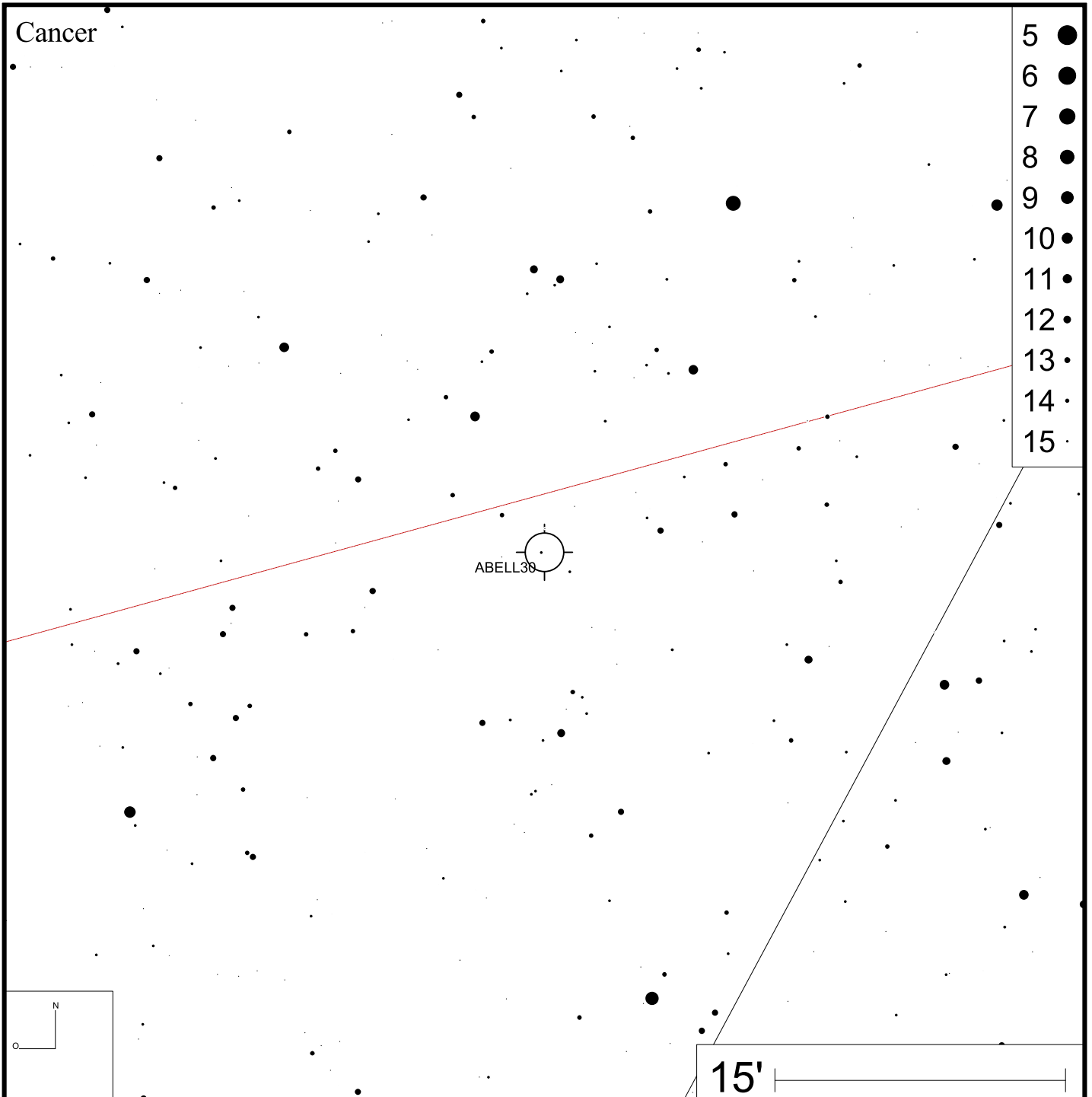
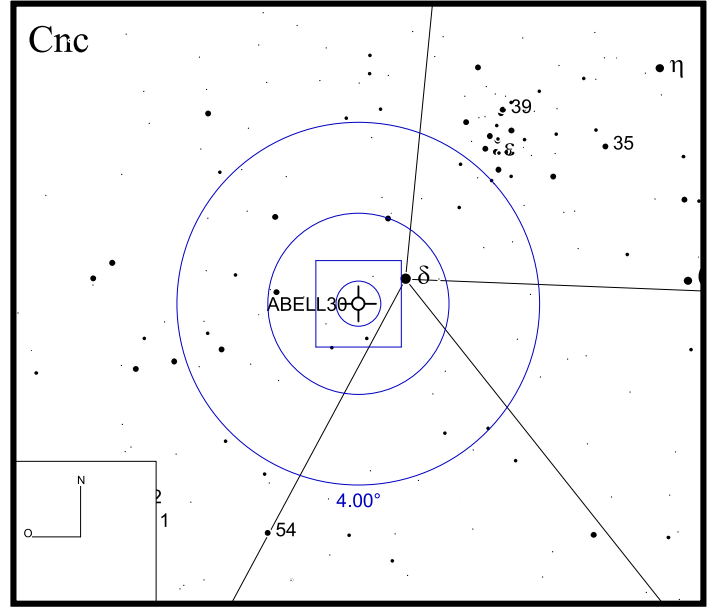


Bild: DSS (kontrastverstärkt)



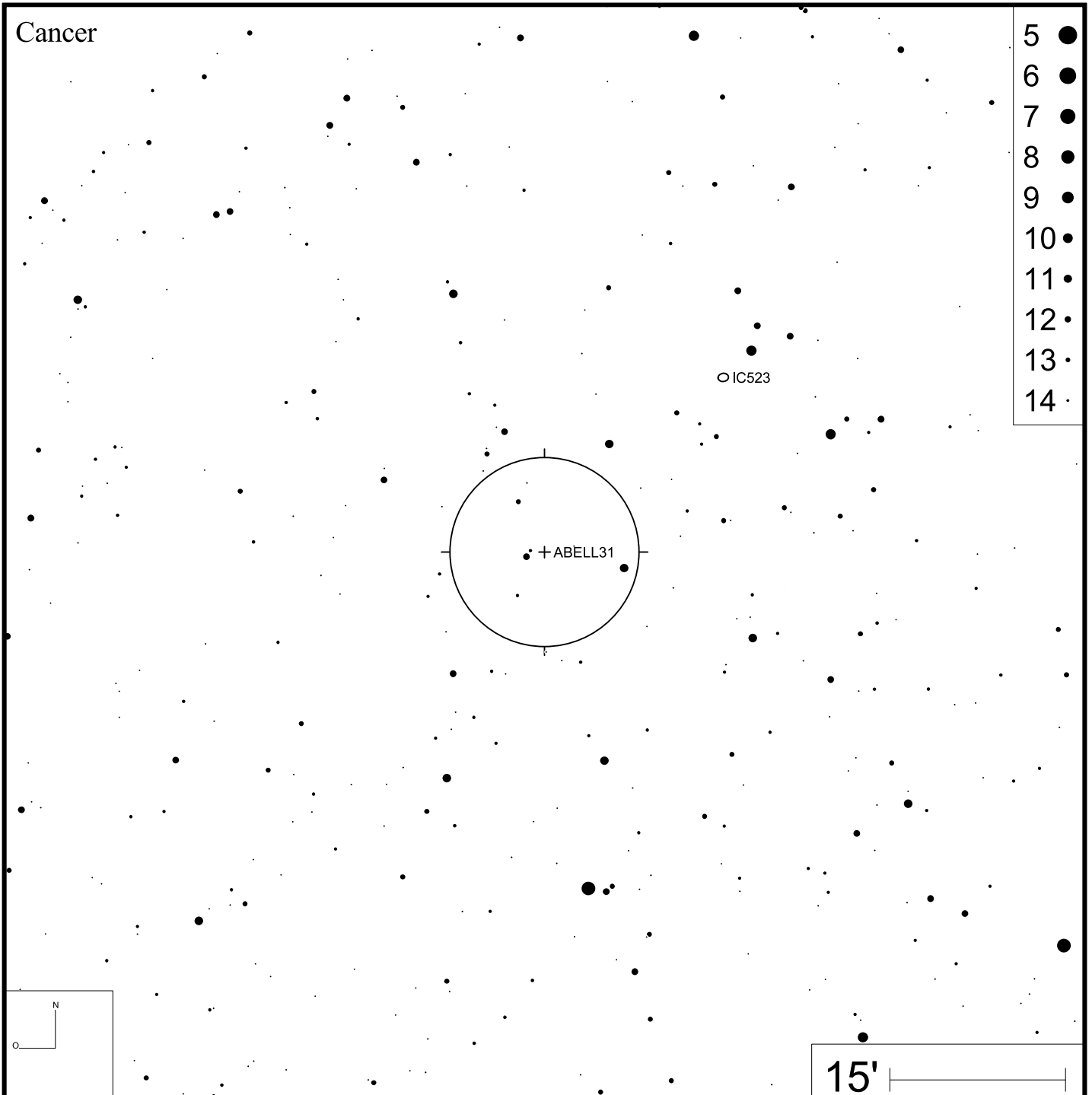
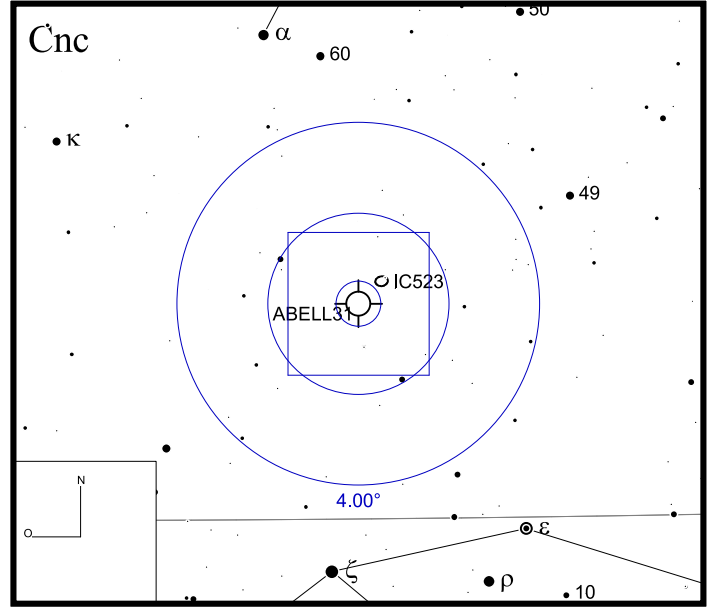
Abell 31

RA 08h54m13s

DEC +08°53'53"



Bild: DSS (kontrastverstärkt)



Abell 33

RA 09h39m09s

DEC -02°48'32"

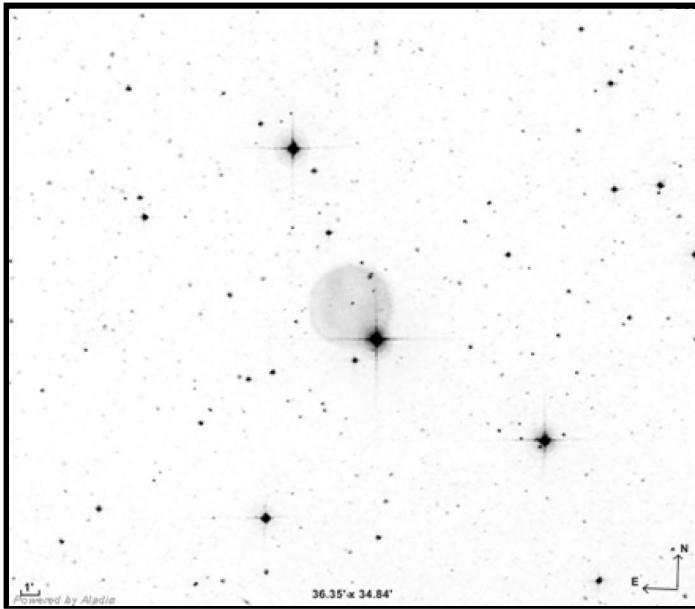
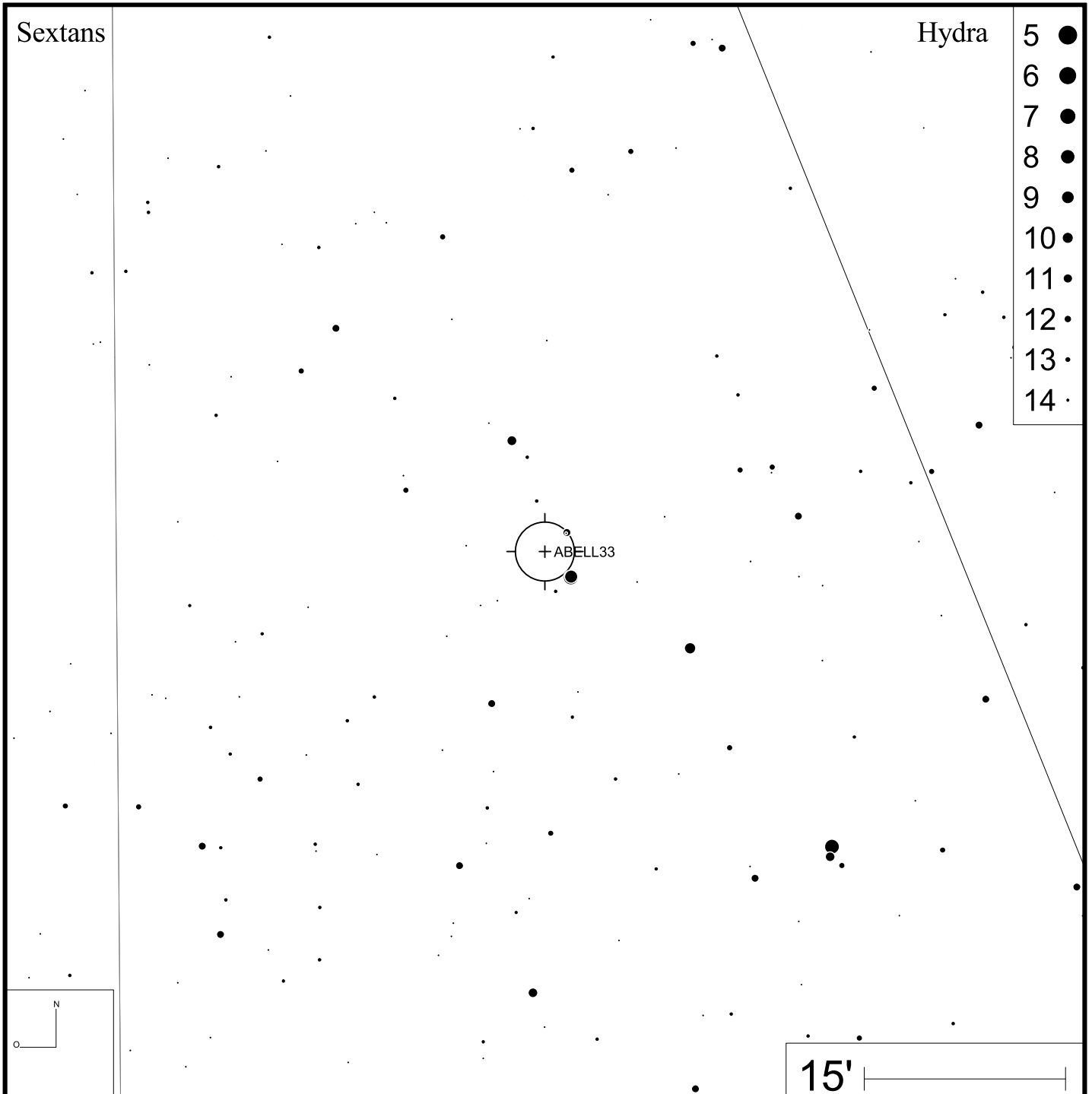
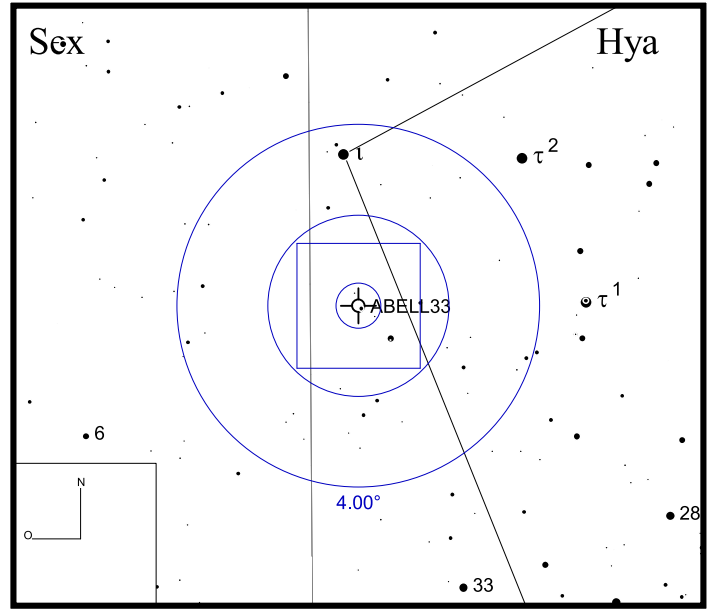


Bild: DSS



Abell 35

RA 12h53m33s

DEC -22°52'23"

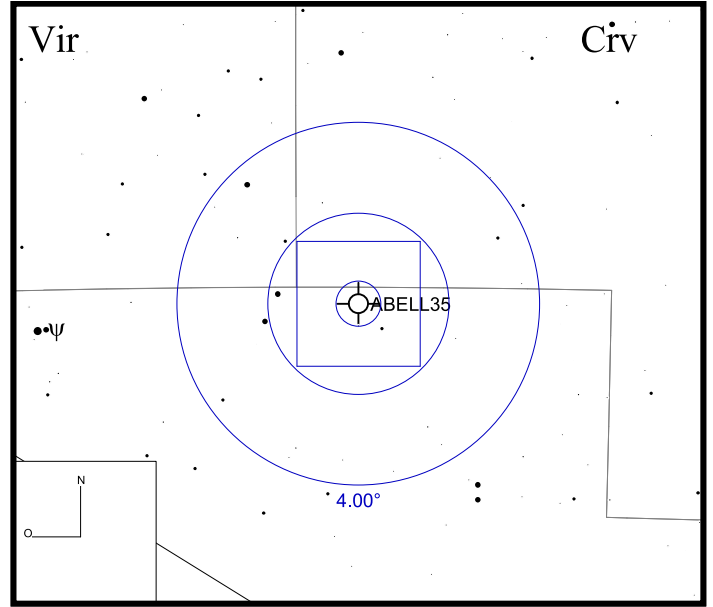
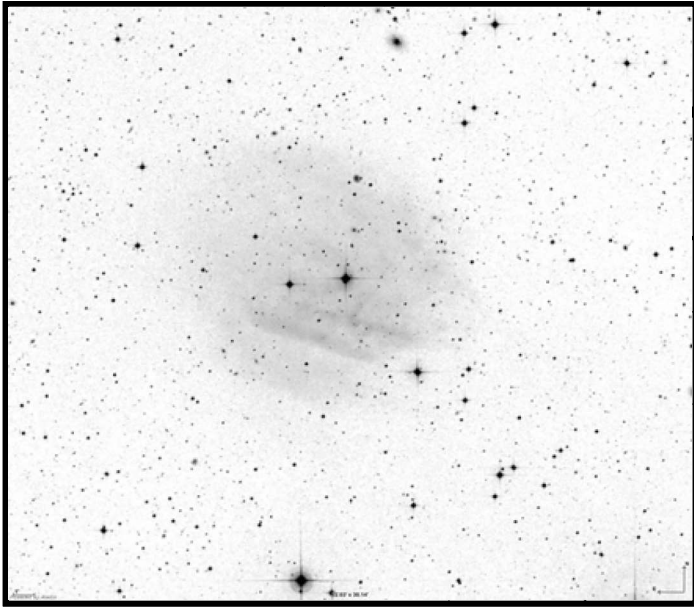
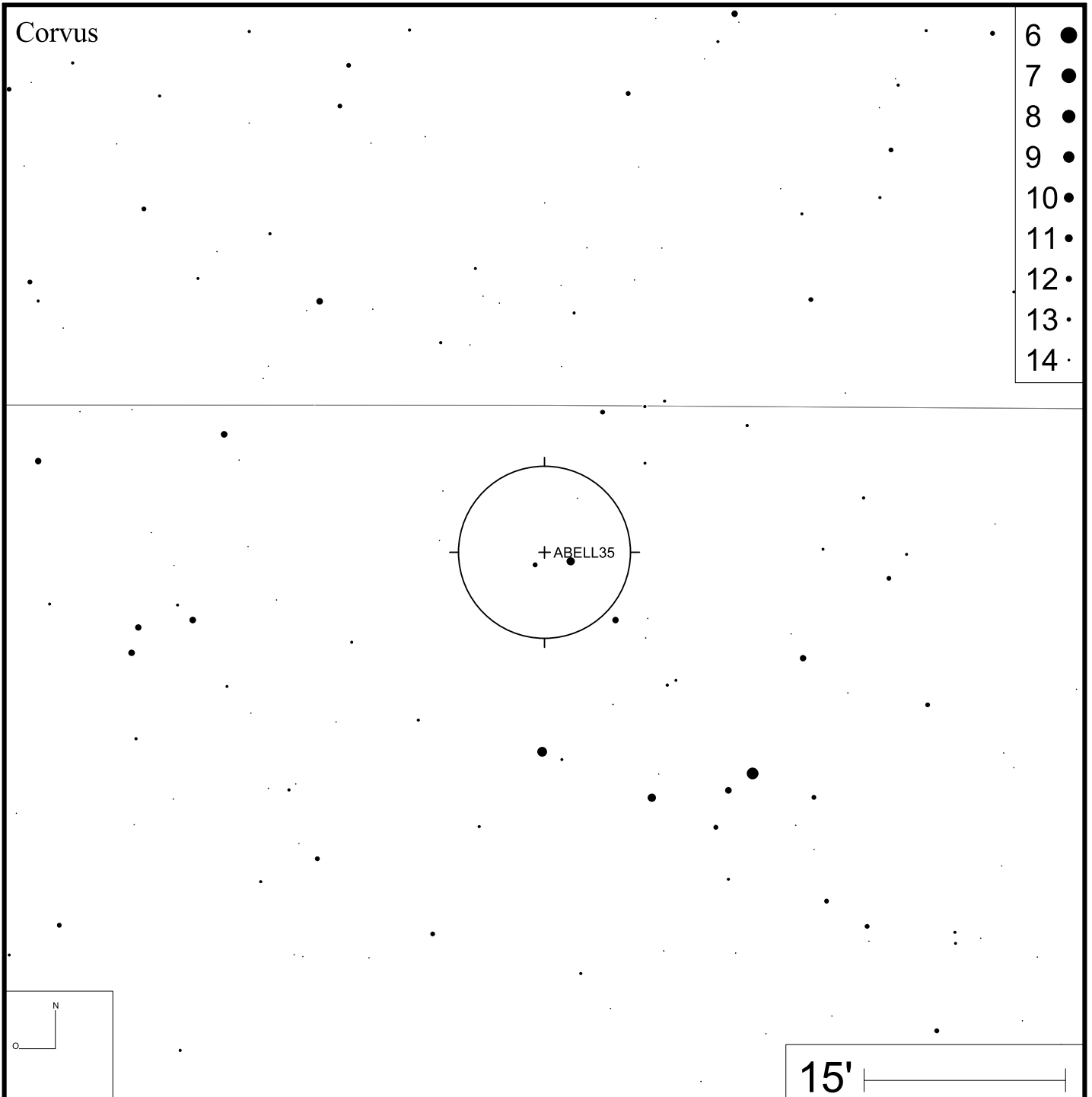


Bild: DSS (kontrastverstärkt)



- 6 ●
- 7 ●
- 8 ●
- 9 ●
- 10 ●
- 11 ●
- 12 ●
- 13 ●
- 14 ●

Abell 36

RA 13h40m41s

DEC -19°52'55"

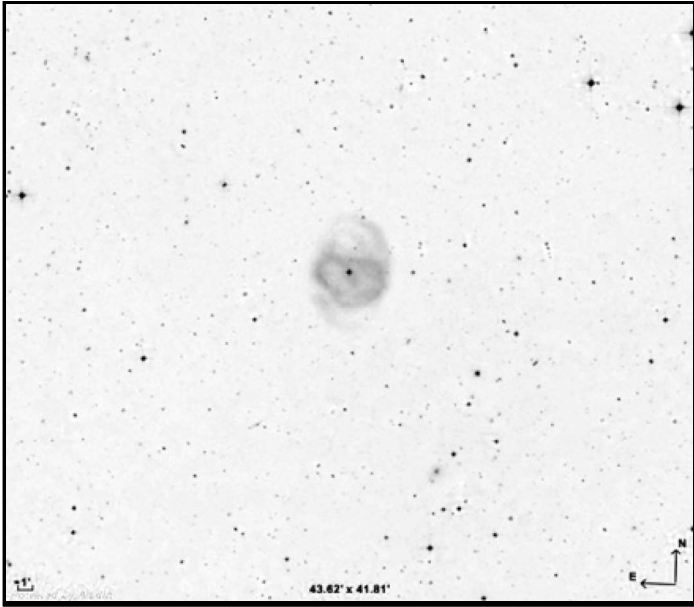
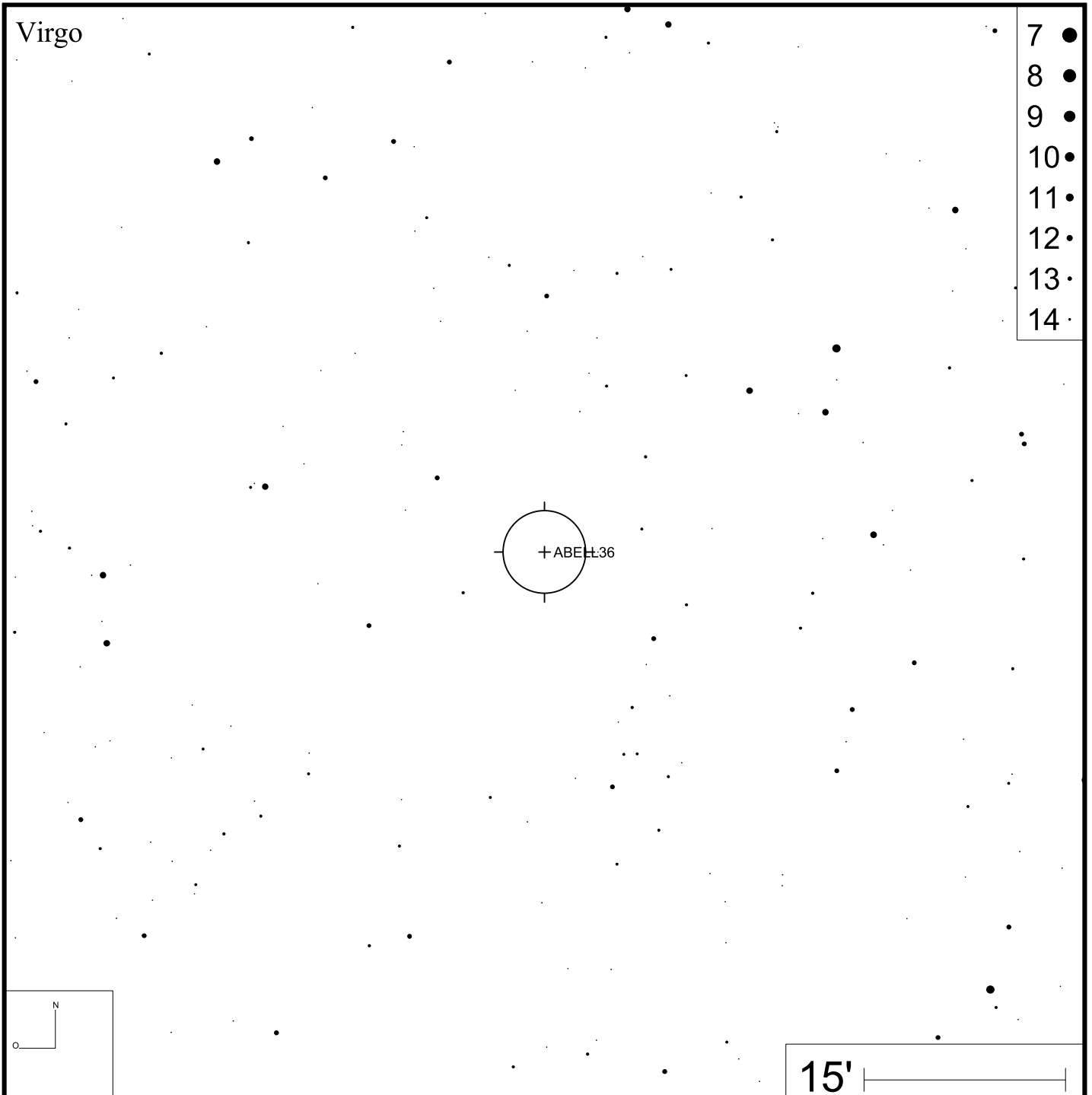
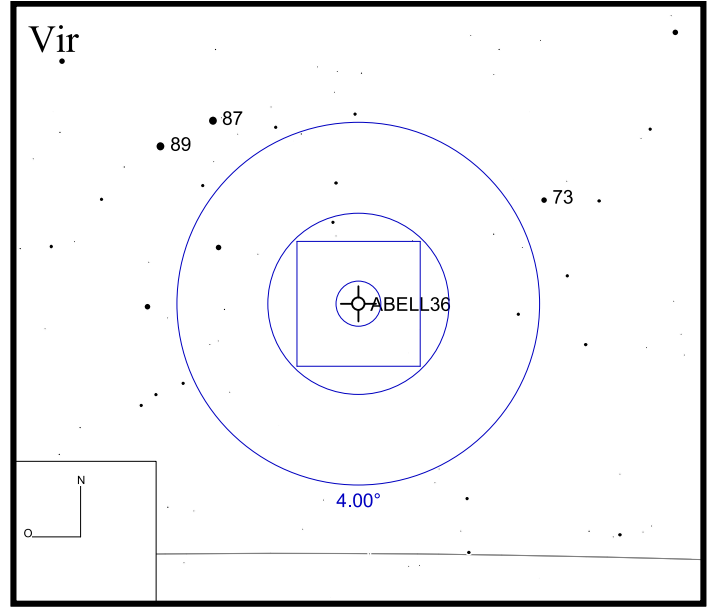


Bild: DSS



Abell 37 (IC 972)

RA 14h04m26s

DEC -17°13'41"

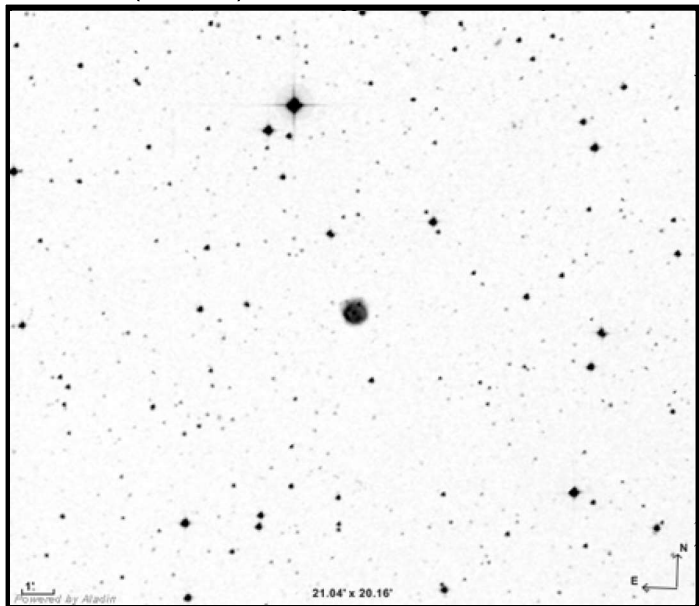
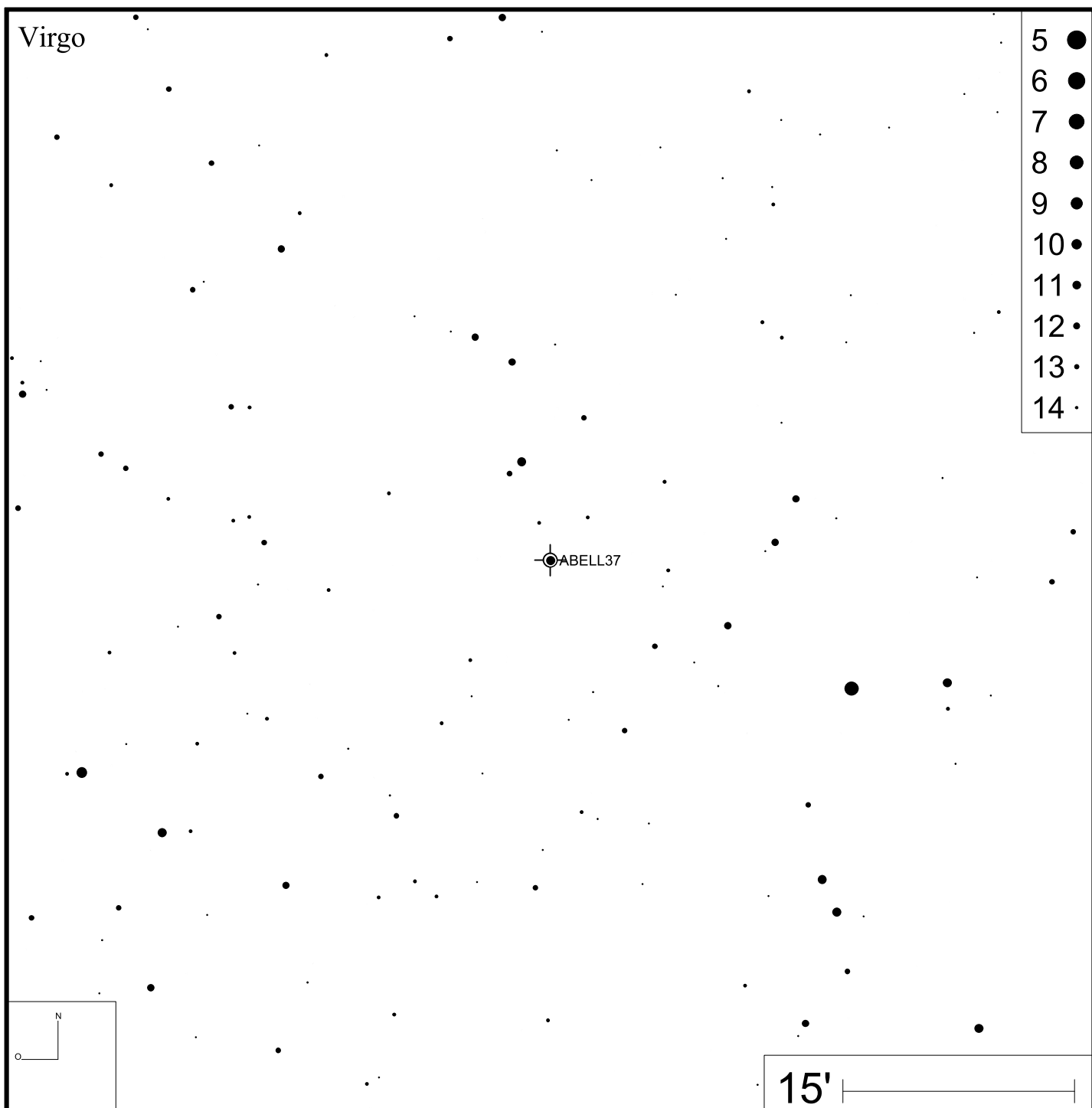
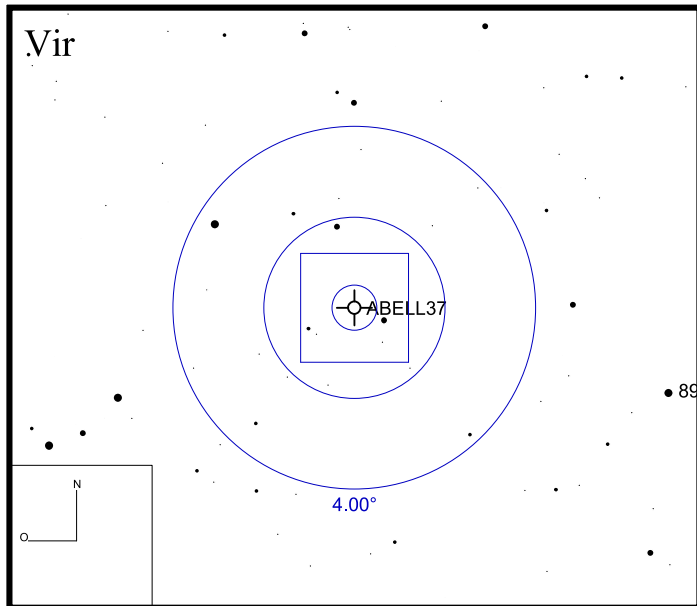


Bild: DSS



Abell 39

RA 16h27m34s DEC +27°54'34"

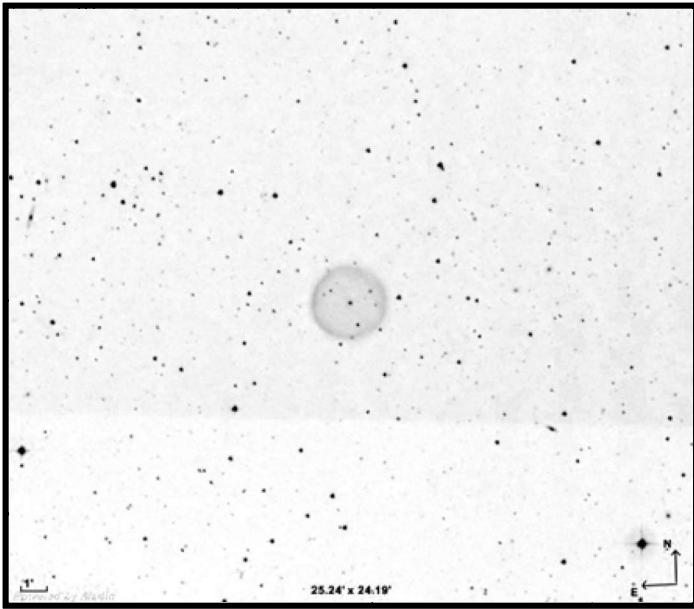
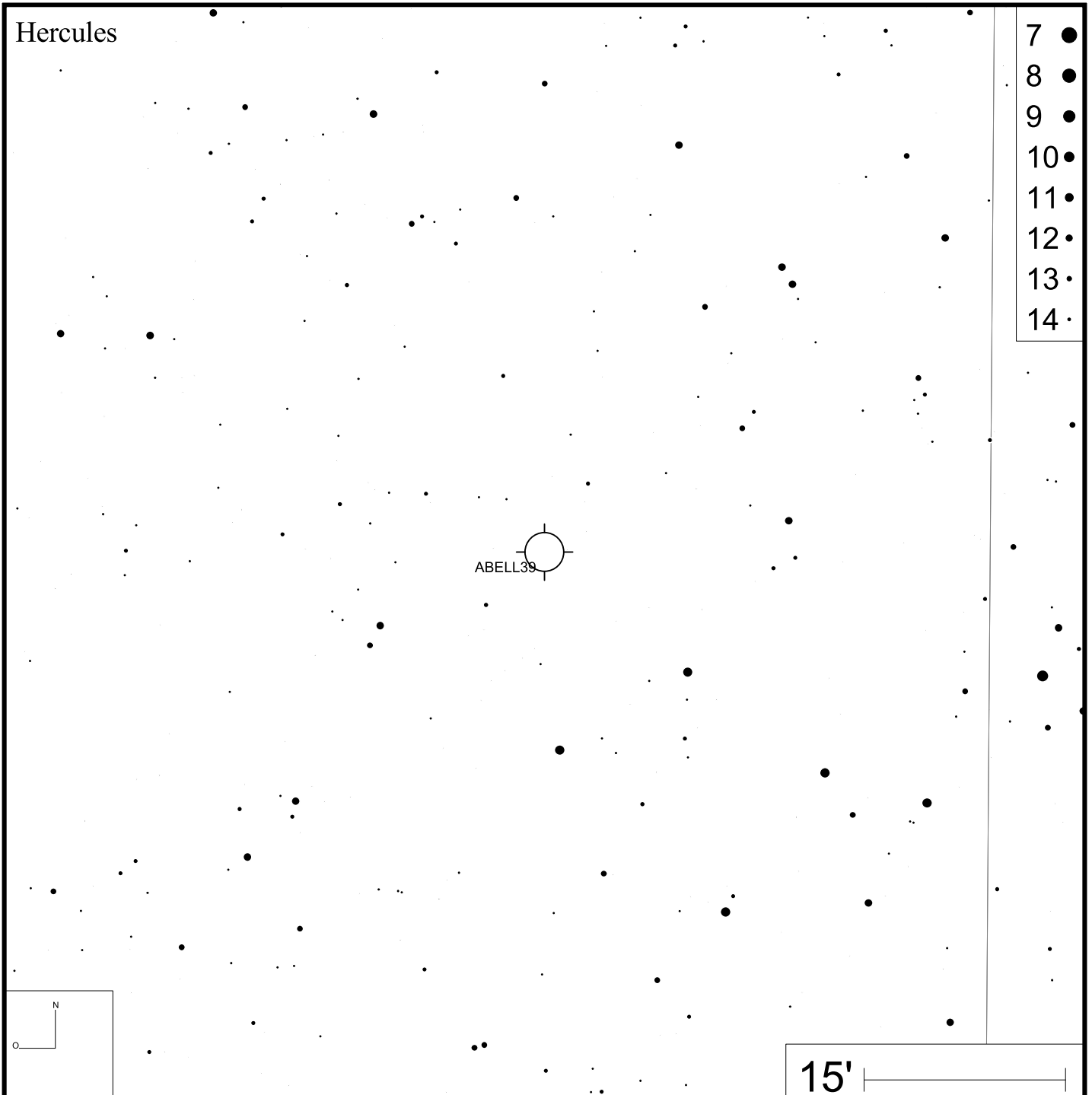
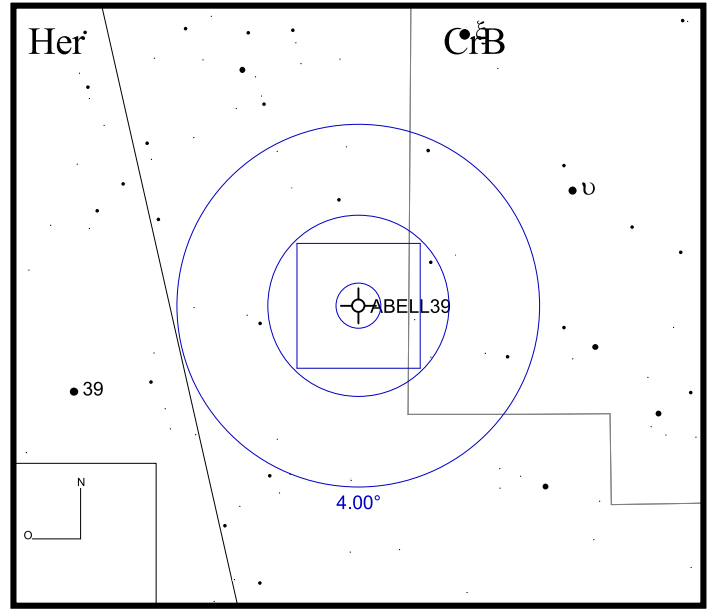


Bild: DSS



Abell 43

RA 17h53m32s

DEC +10°37'24"

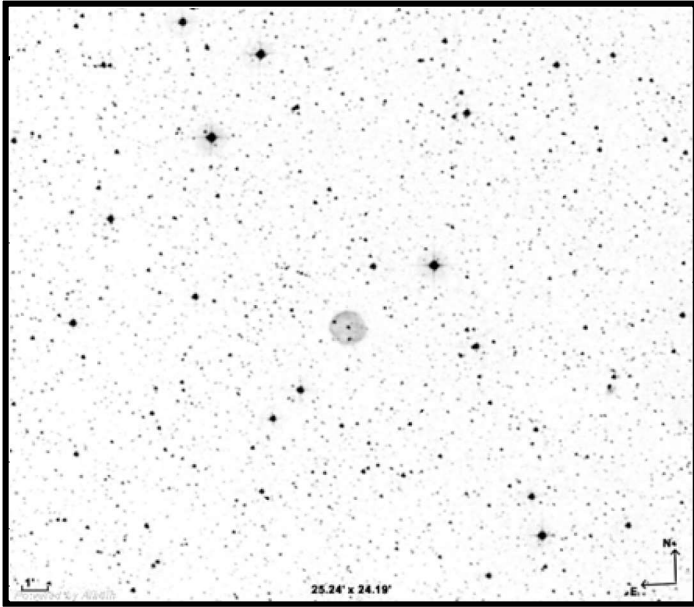
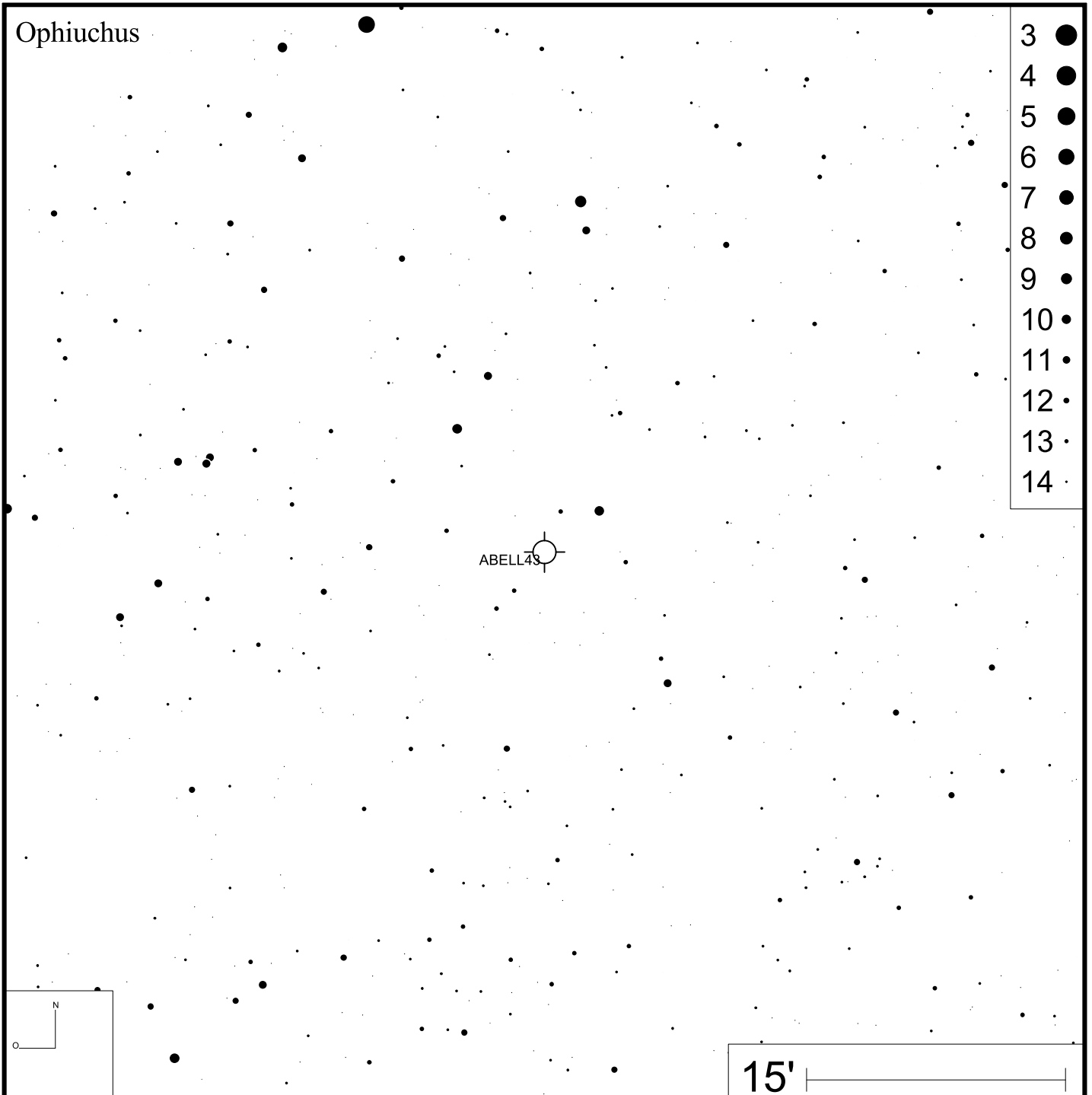
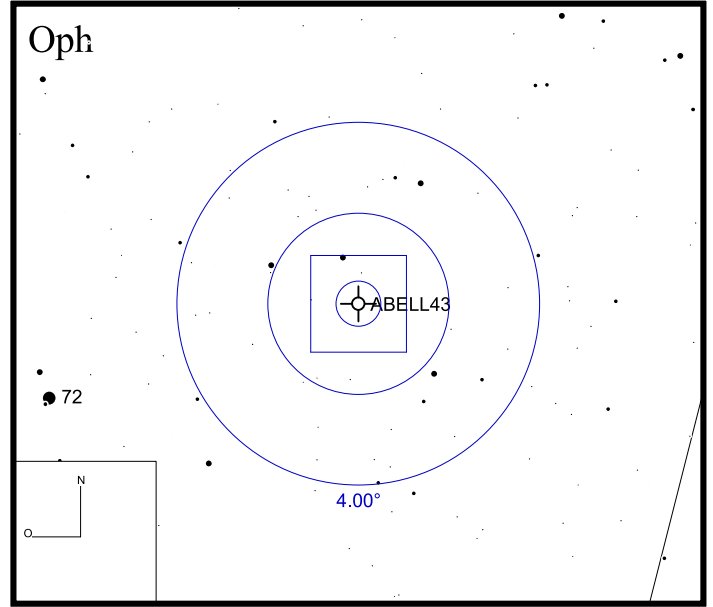


Bild: DSS



Abell 46

RA 18h31m19s

DEC +26°56'12"

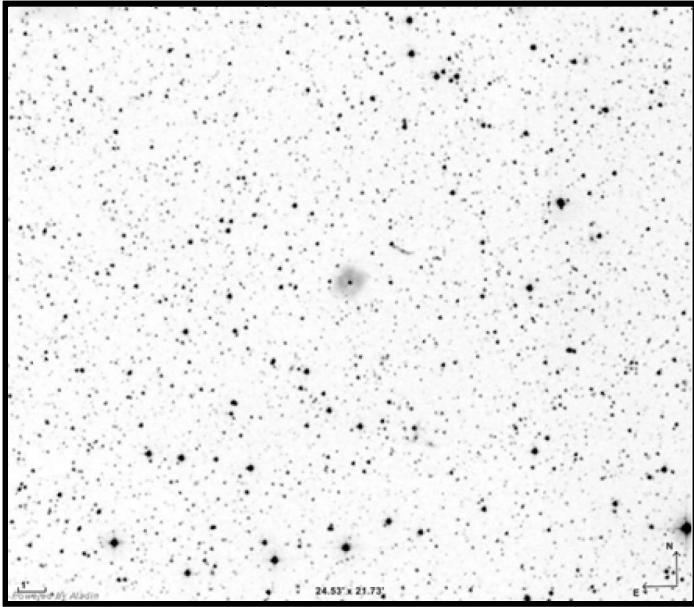
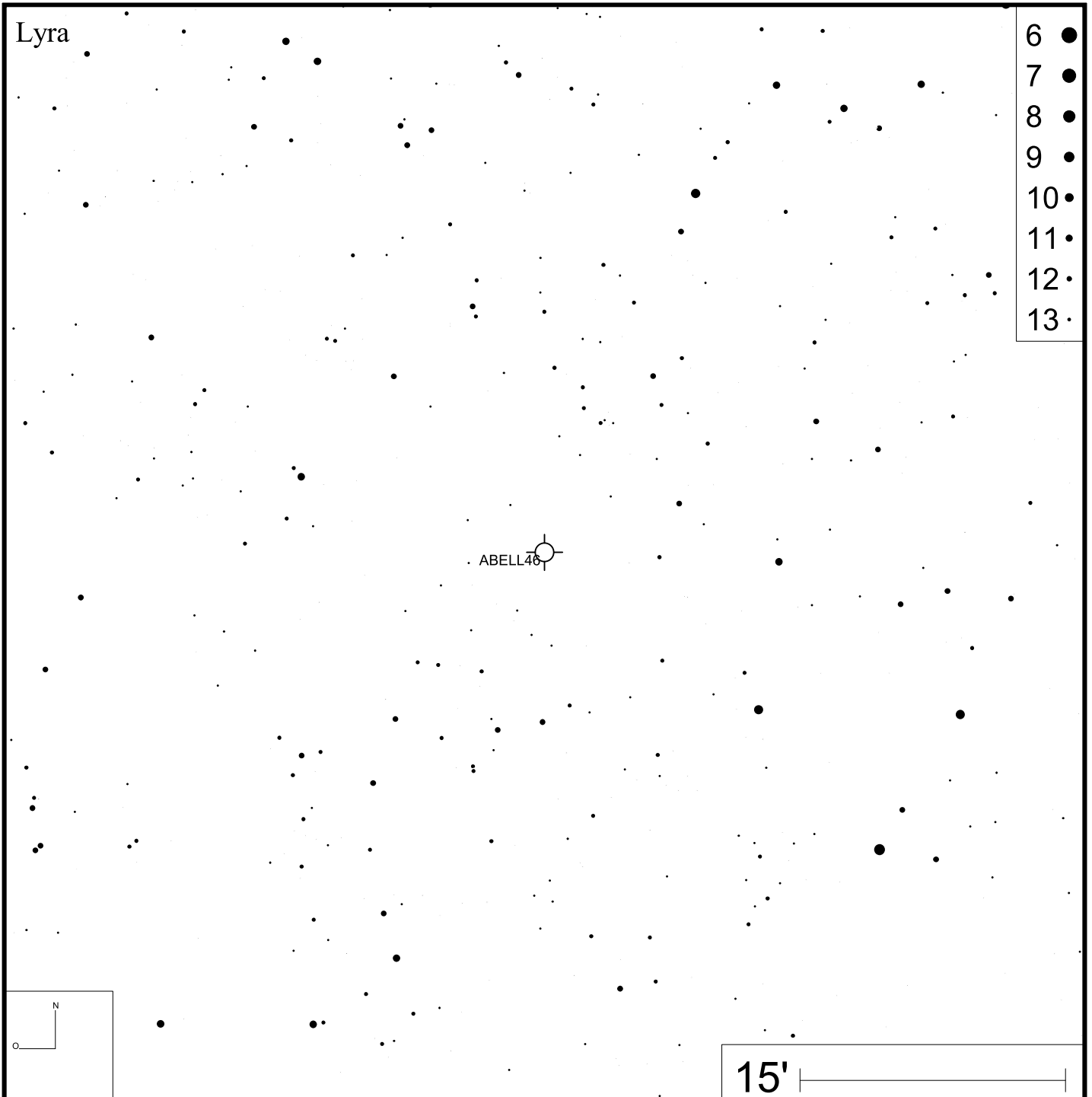
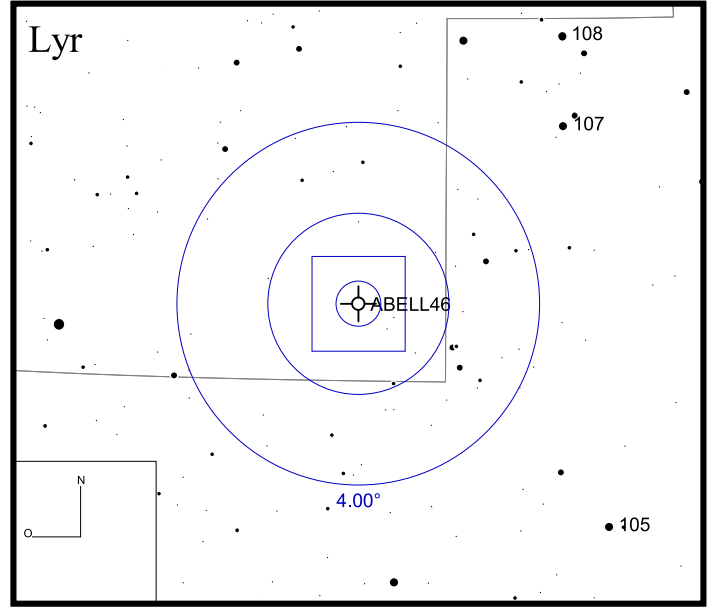


Bild: DSS



Abell 50 (NGC 6742)

RA 18h59m20s

DEC +48°27'55"

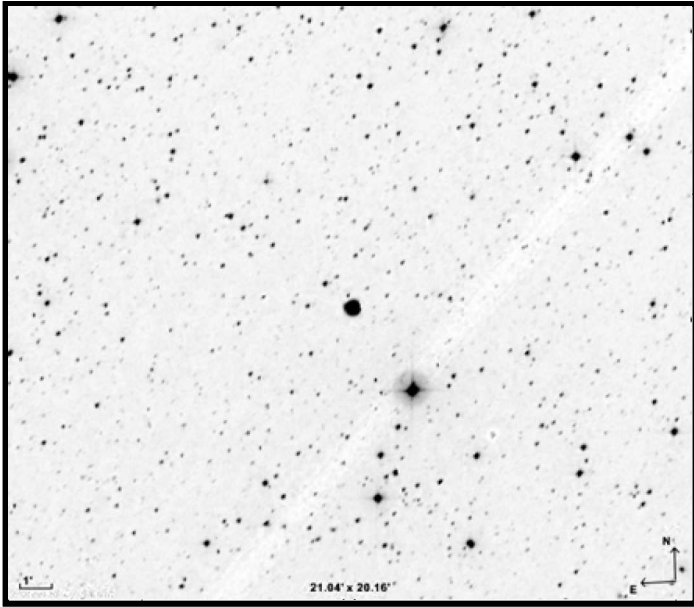
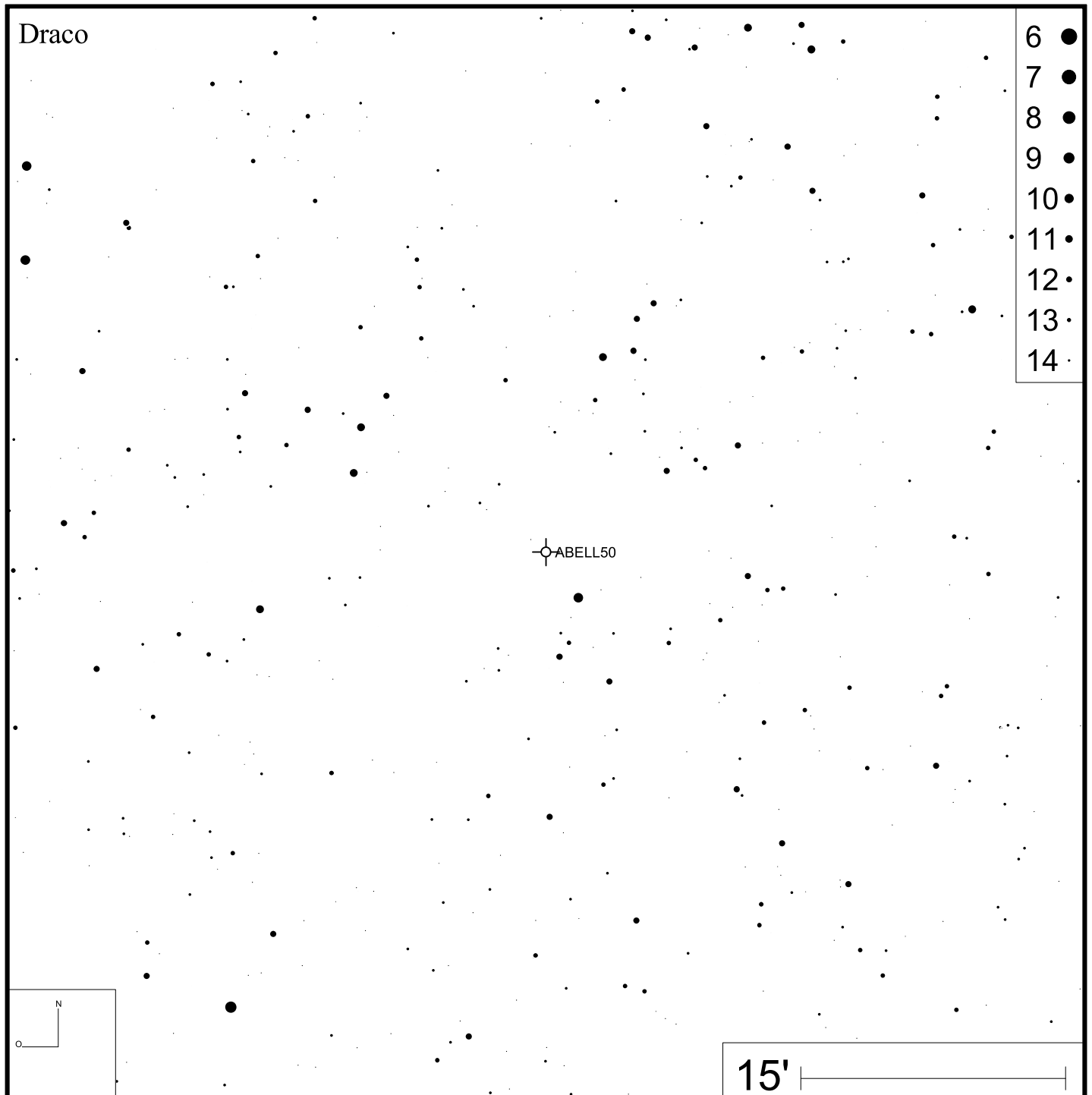
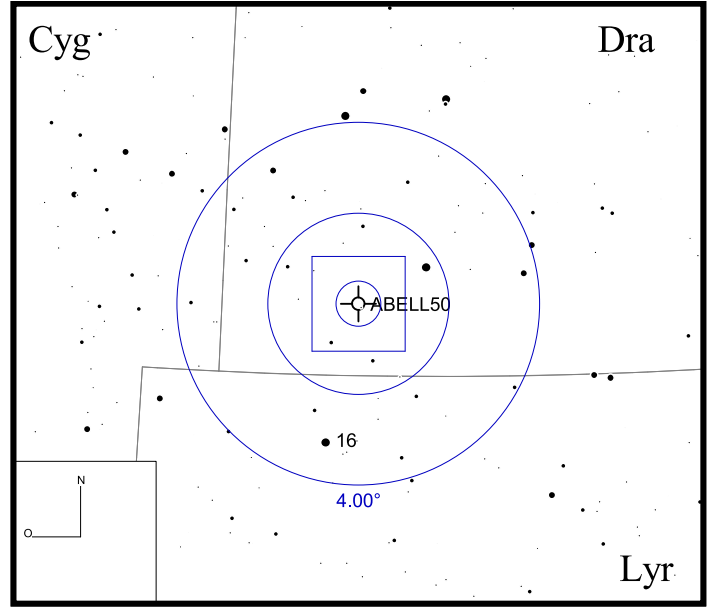


Bild: DSS



Abell 55

RA 19h10m26s

DEC -02°20'23"

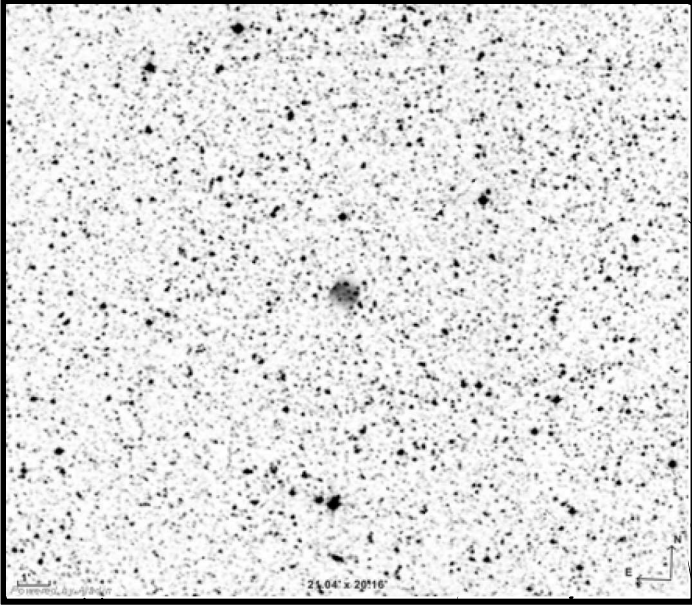
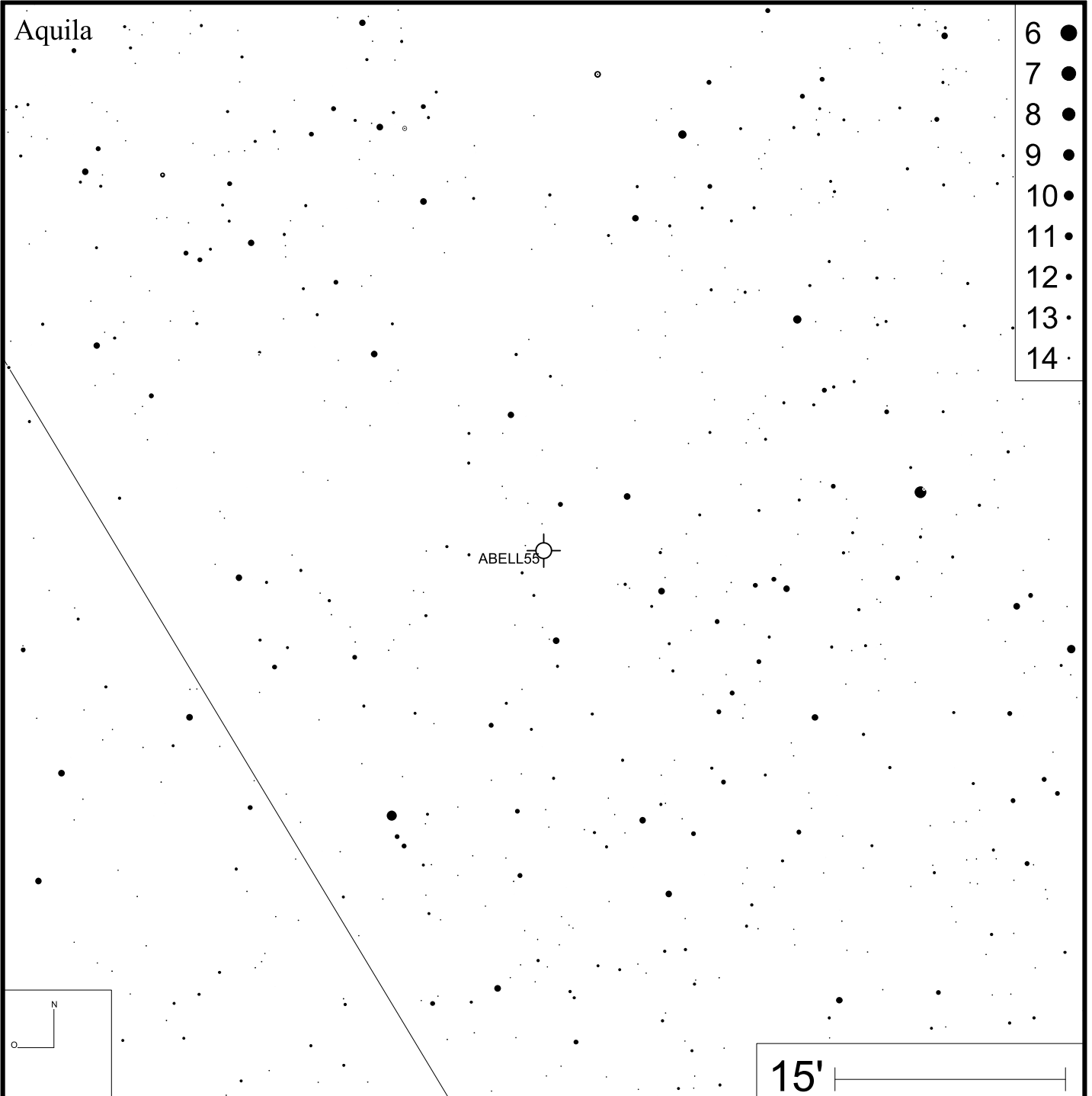
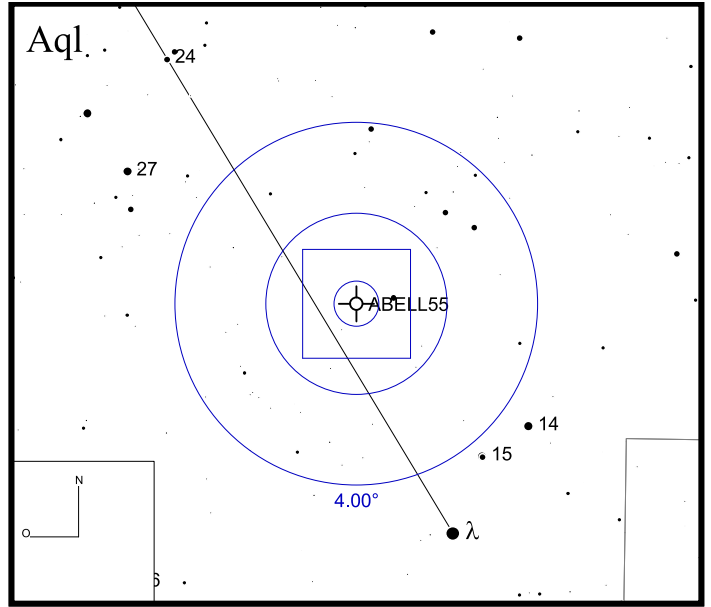


Bild: DSS



Abell 56

RA 19h13m06s

DEC +02°52'48"

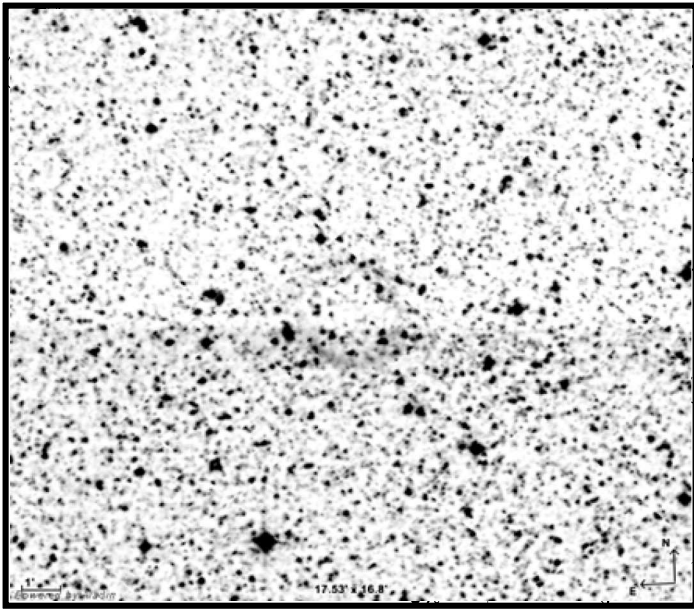
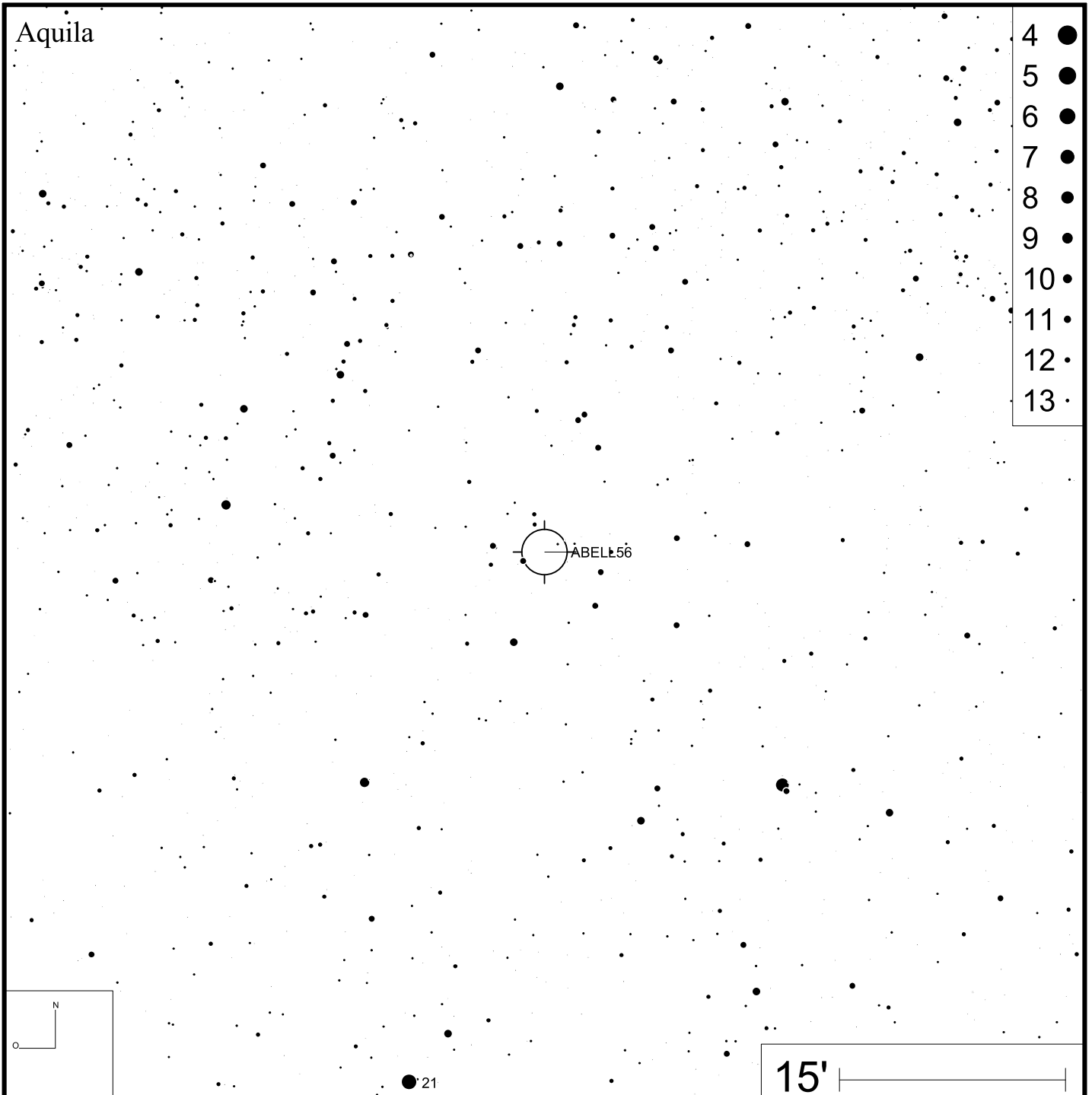
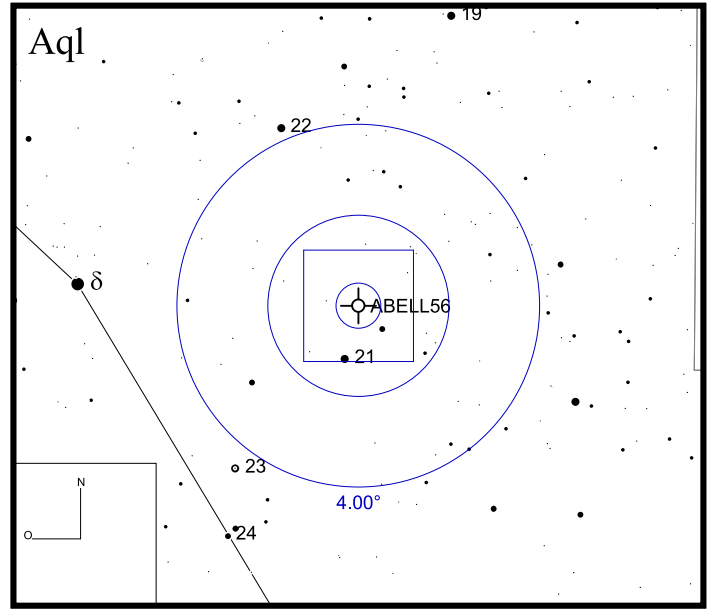


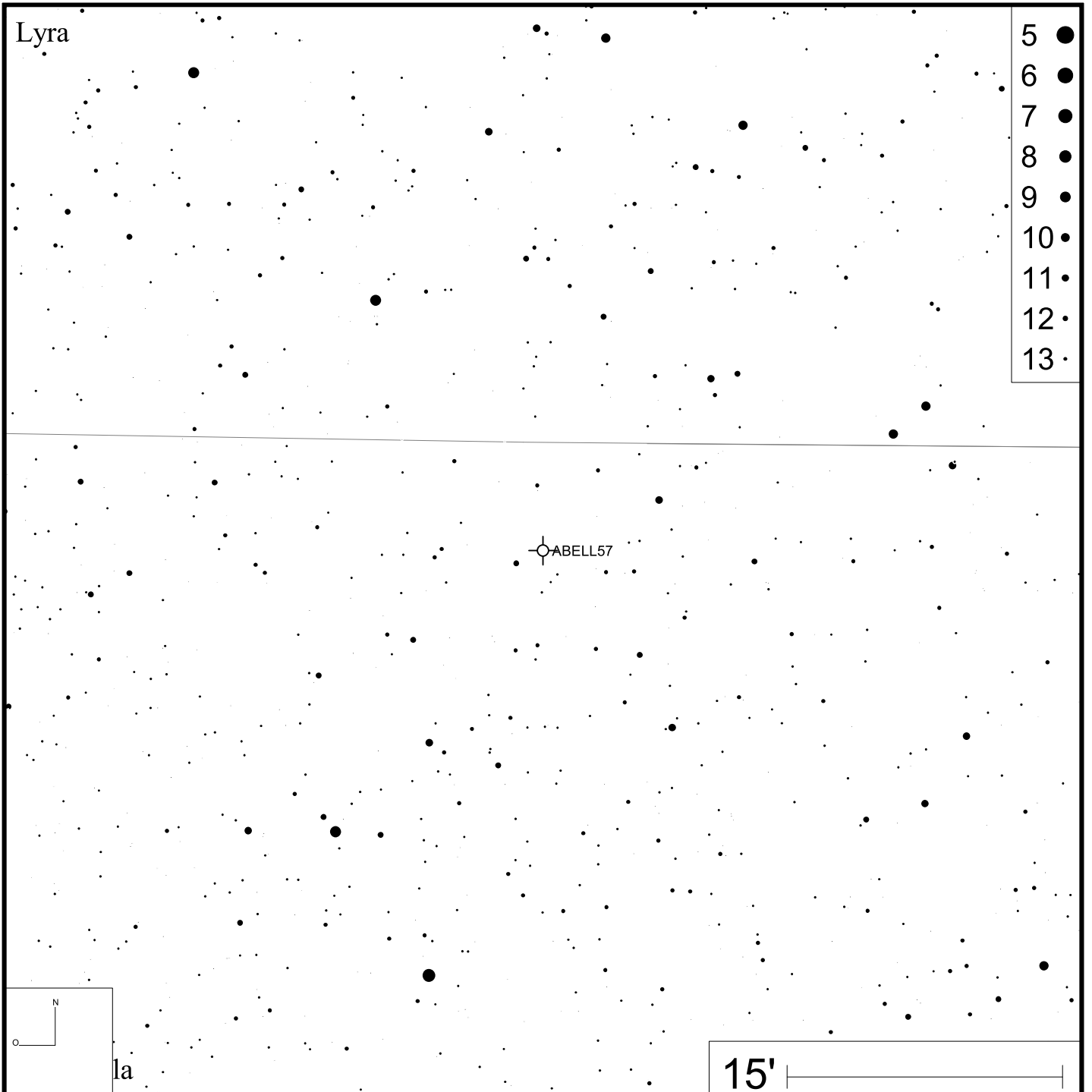
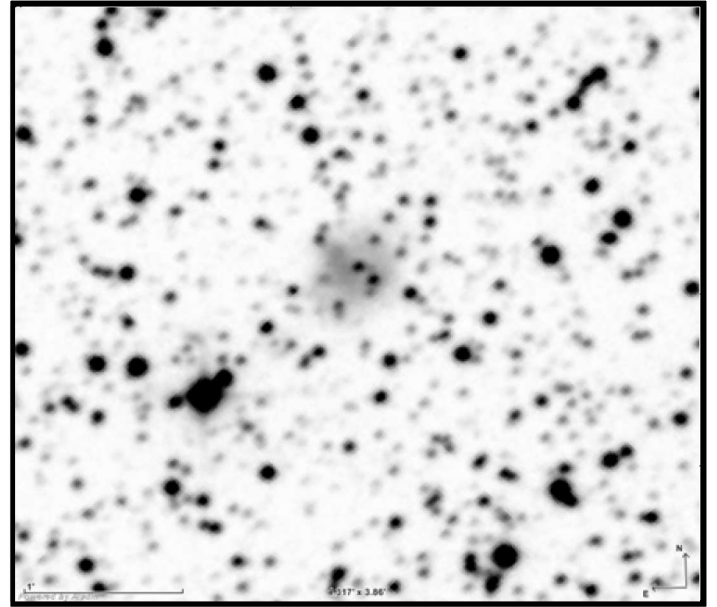
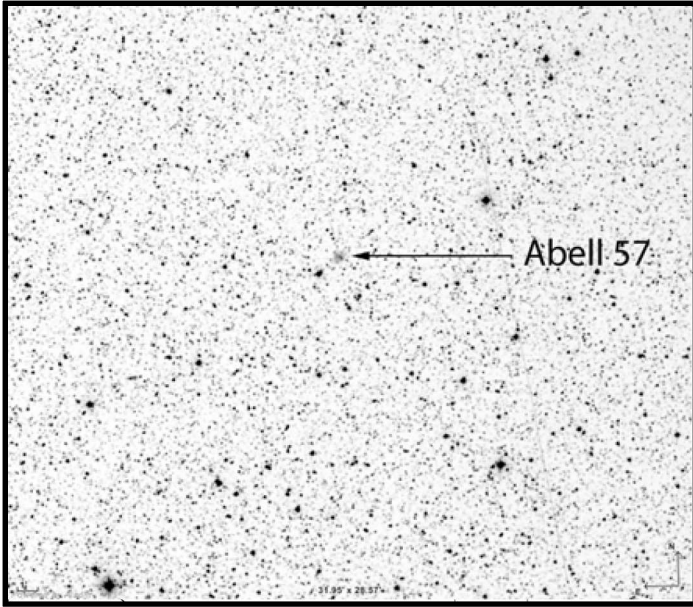
Bild: DSS



Abell 57

RA 19h17m06s

DEC +25°37'30"



Abell 58

RA 19h18m20s DEC +01°46'59"

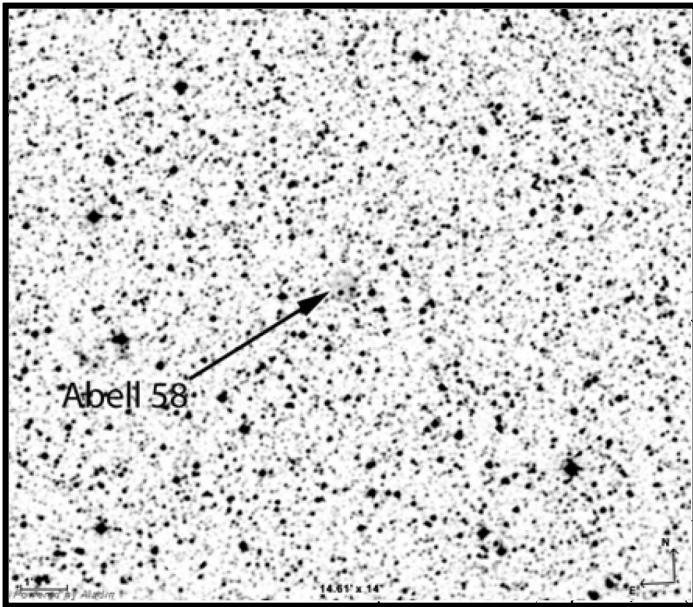
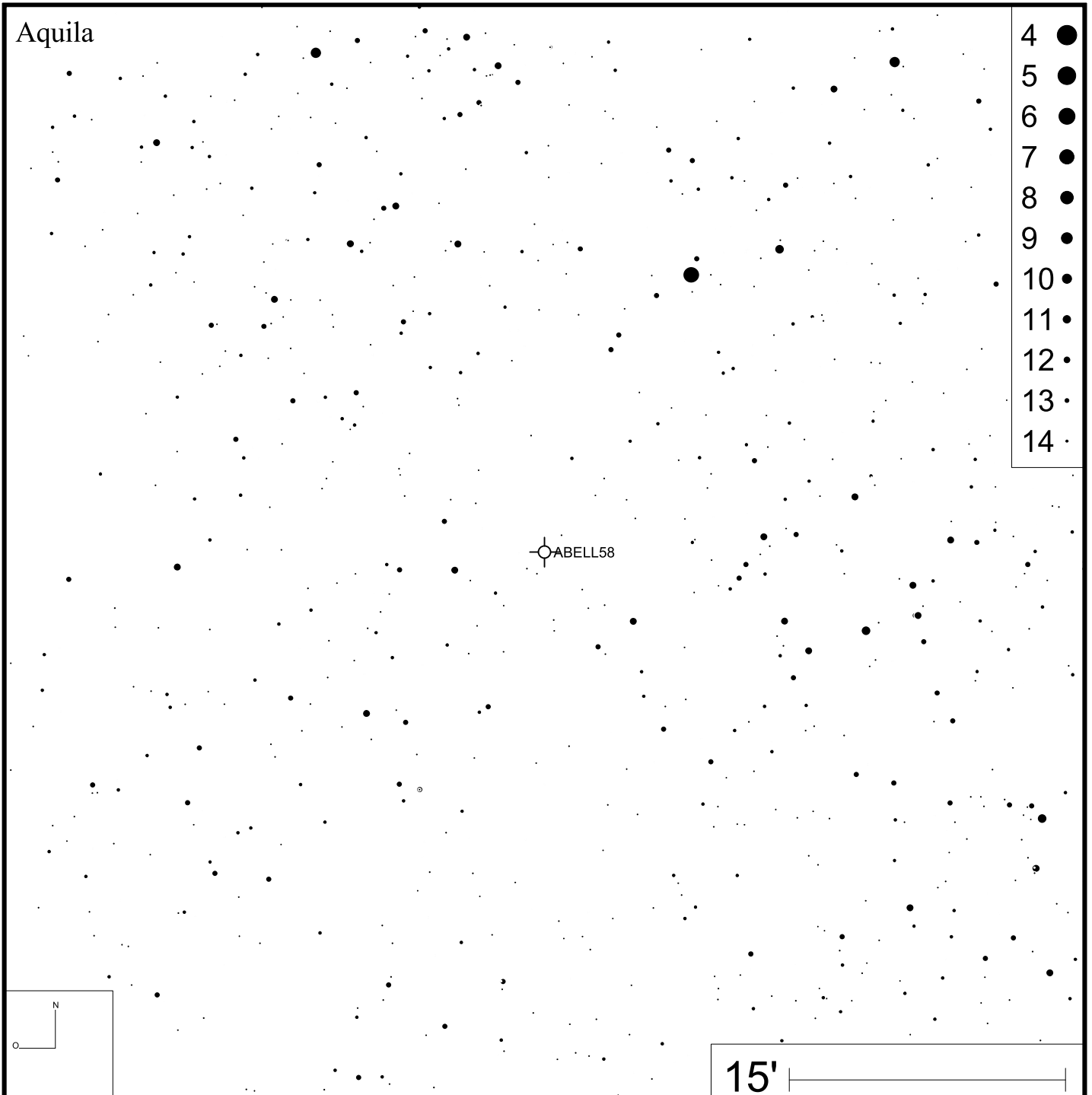
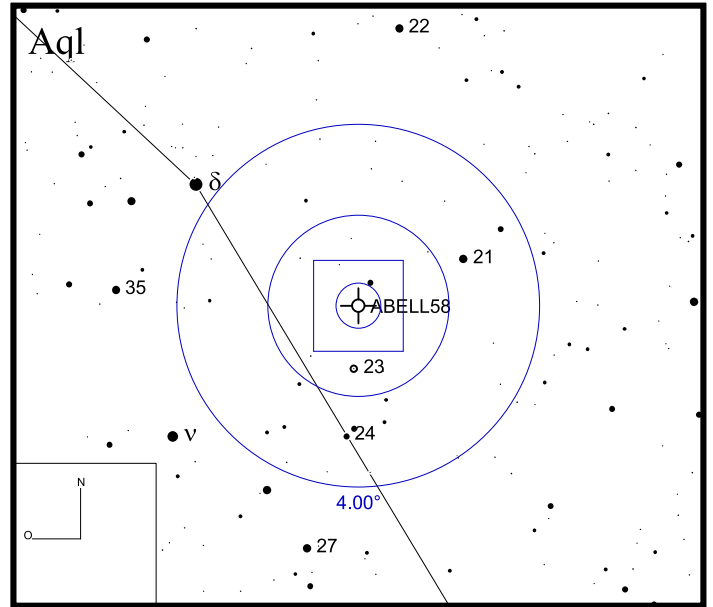


Bild: DSS



Abell 61

RA 19h19m10s

DEC +46°14'52"

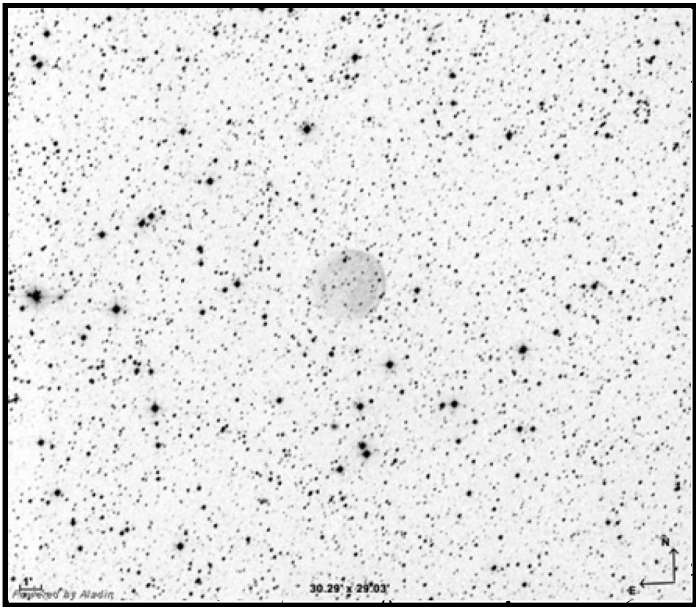
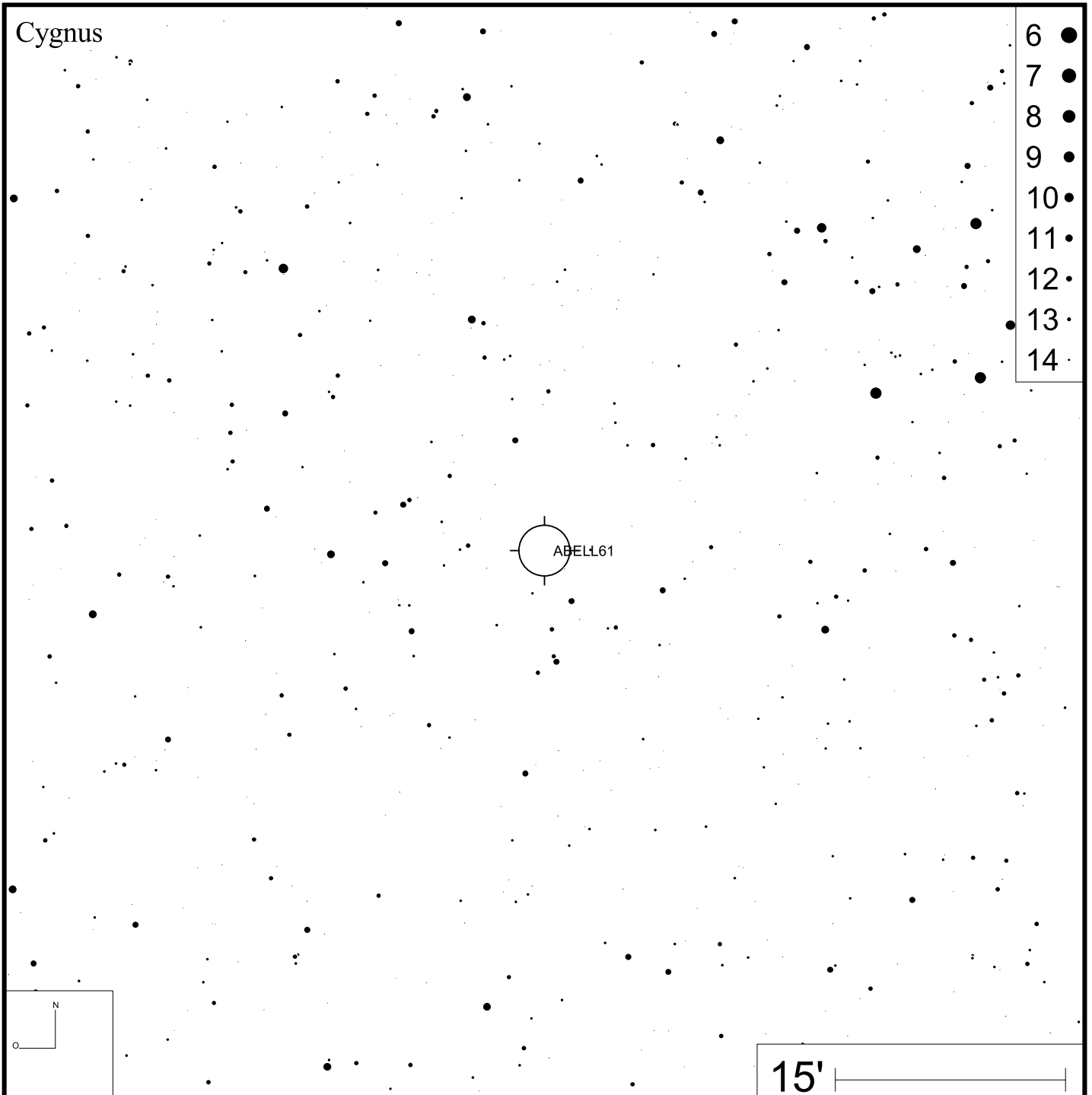
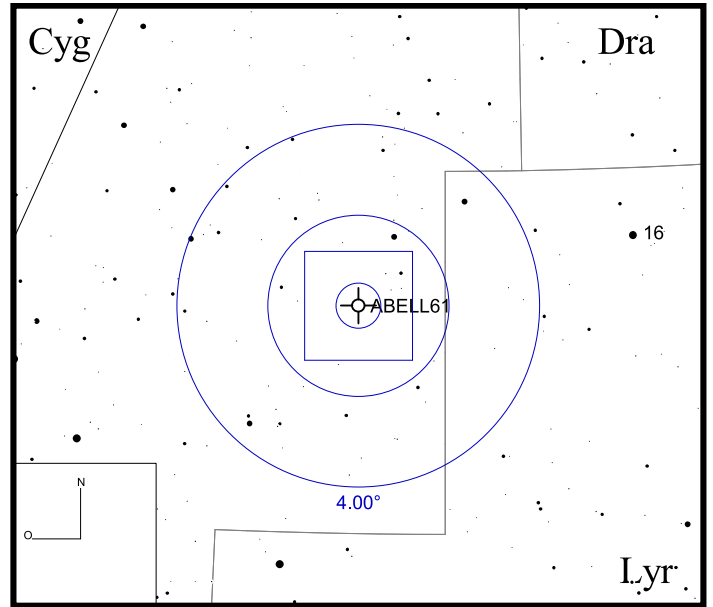


Bild: DSS



Abell 62

RA 19h33m18s

DEC +10°37'04"

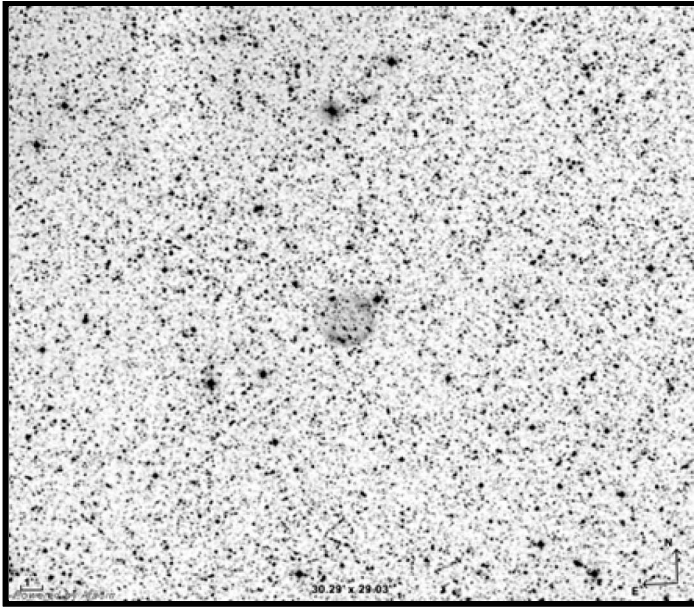
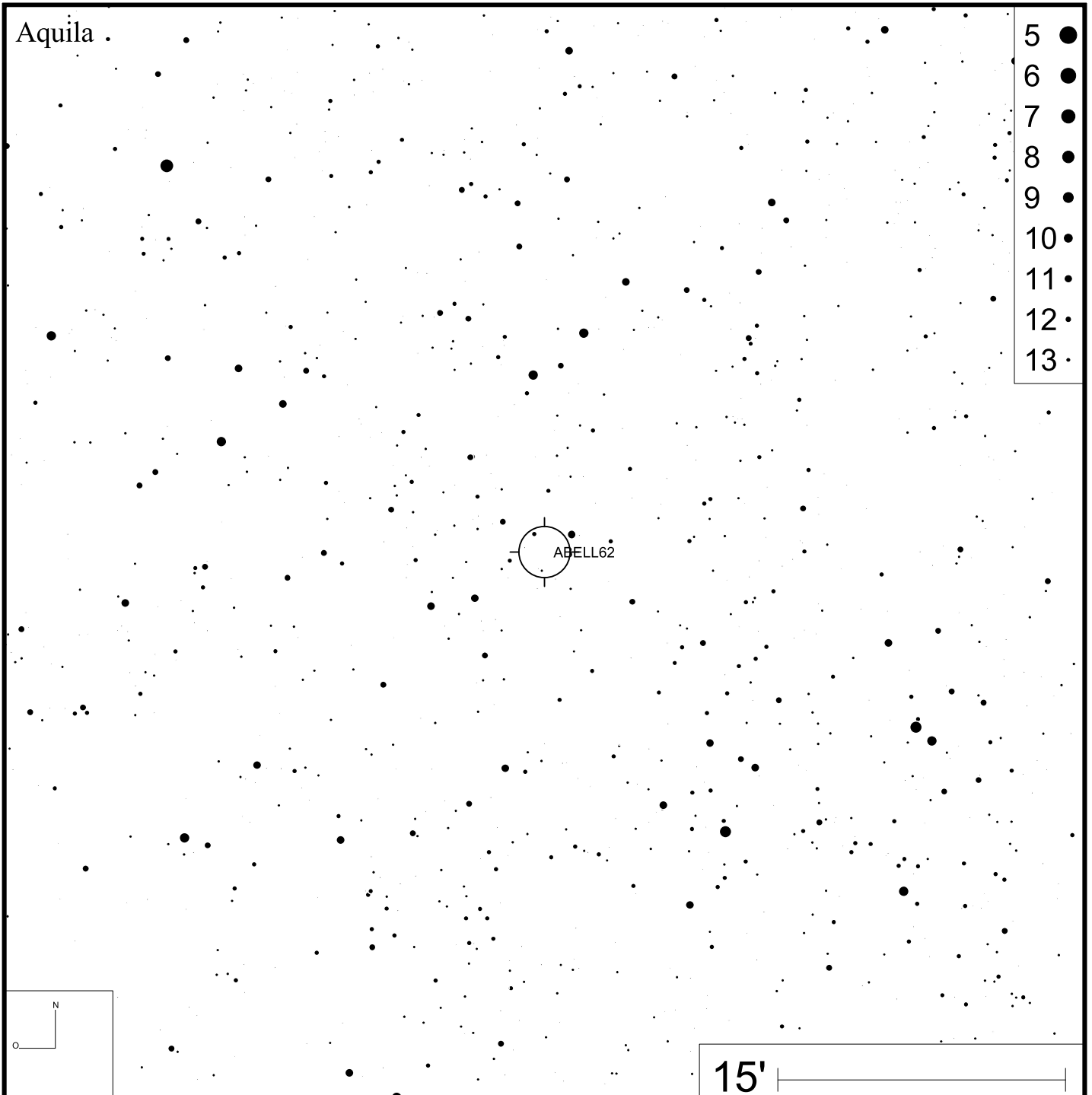
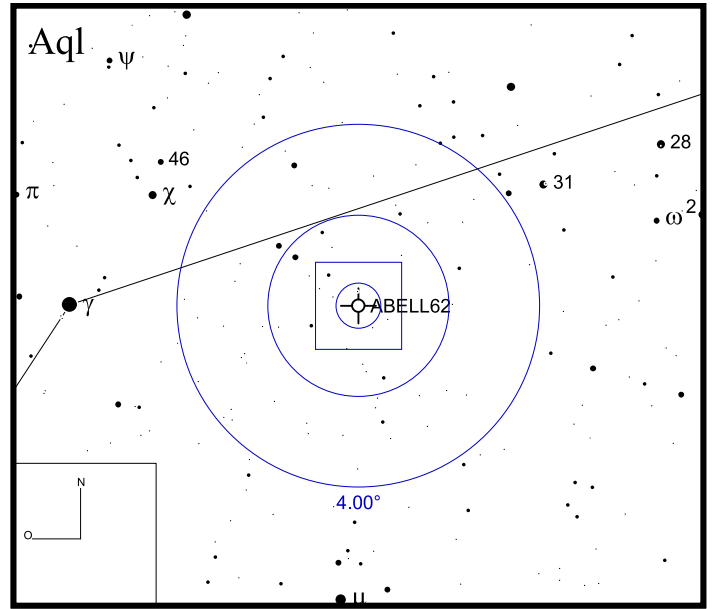


Bild: DSS



Abell 63

RA 19h42m10s

DEC +17°05'14"

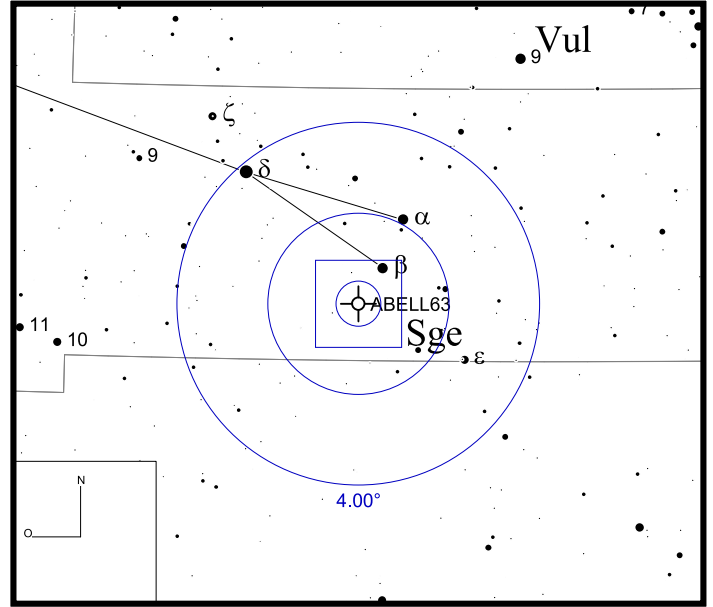
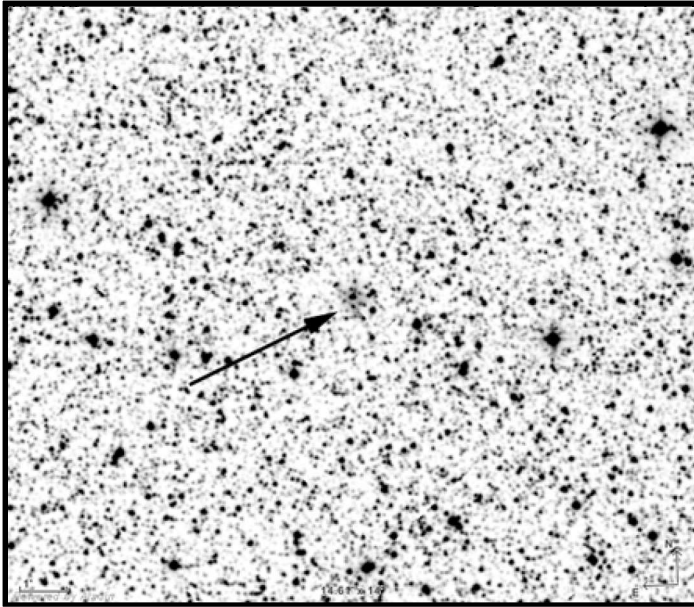
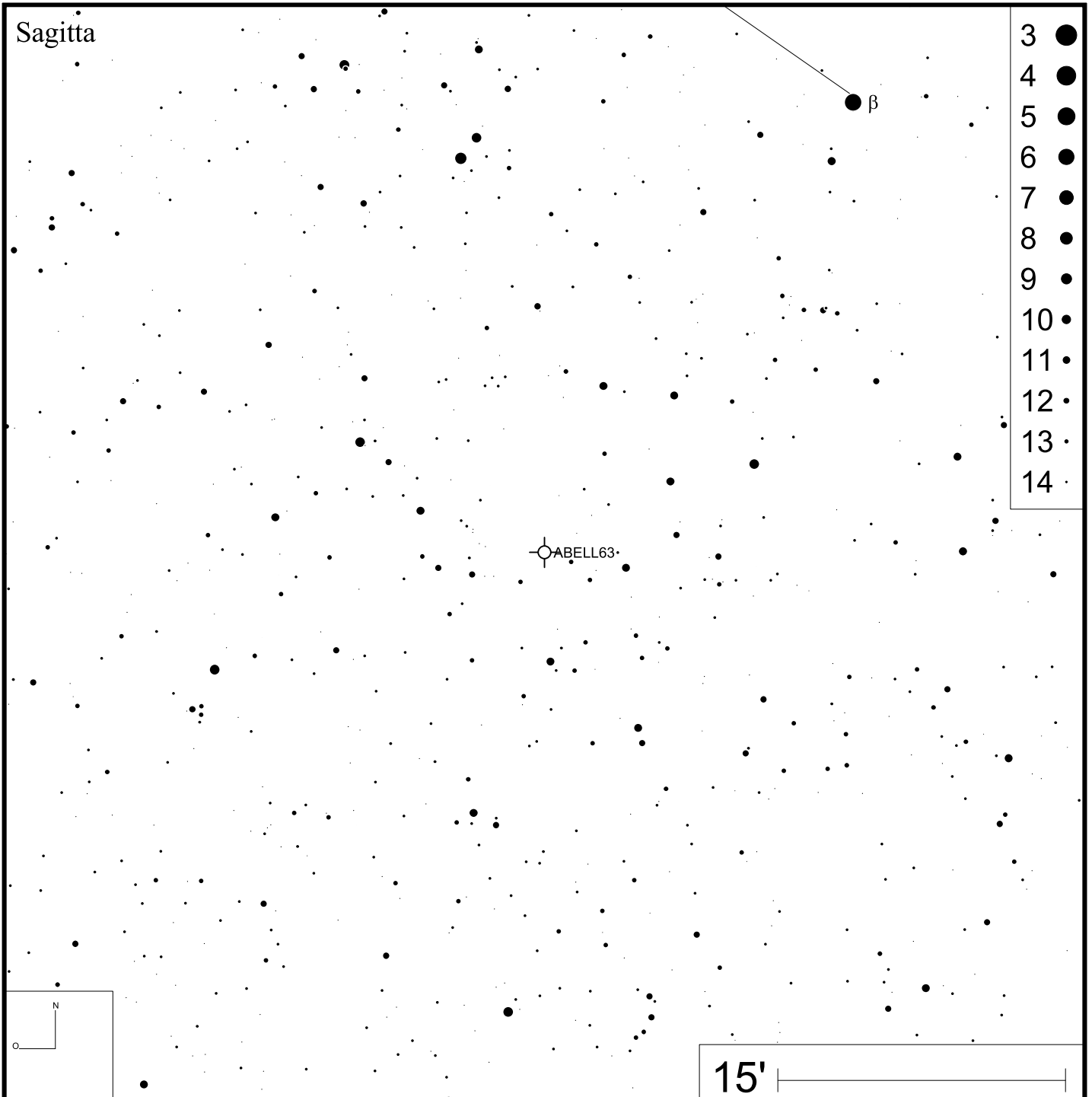


Bild: DSS



Abell 67

RA 19h58m27s

DEC +03°03'00"

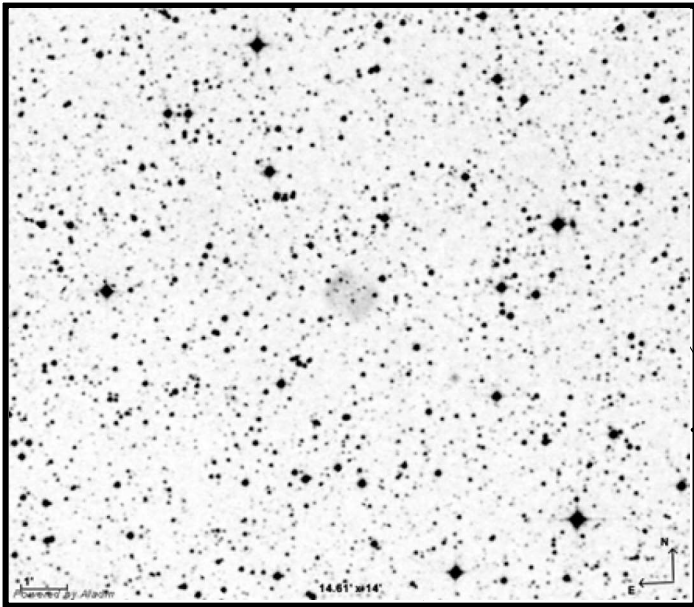
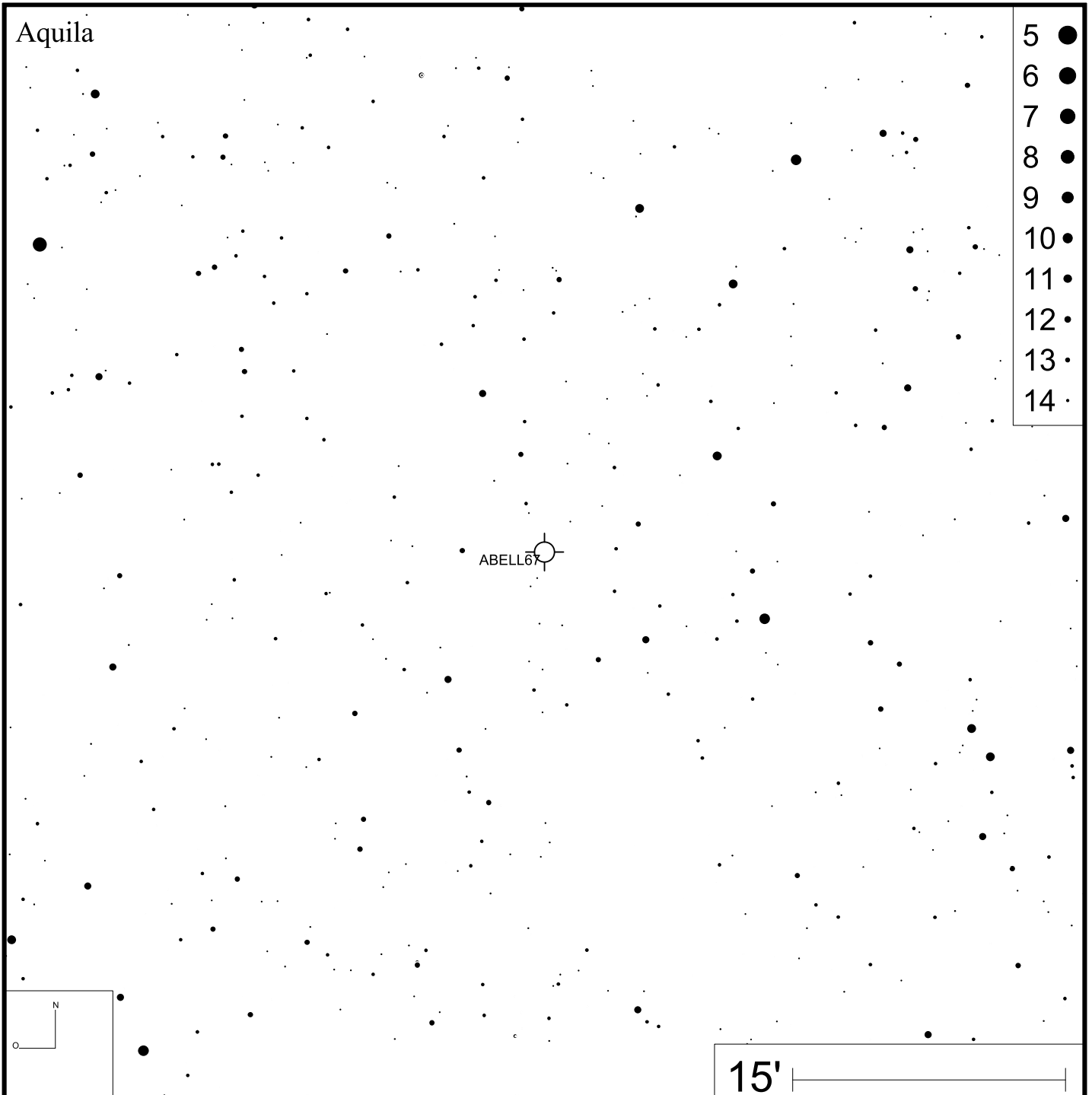
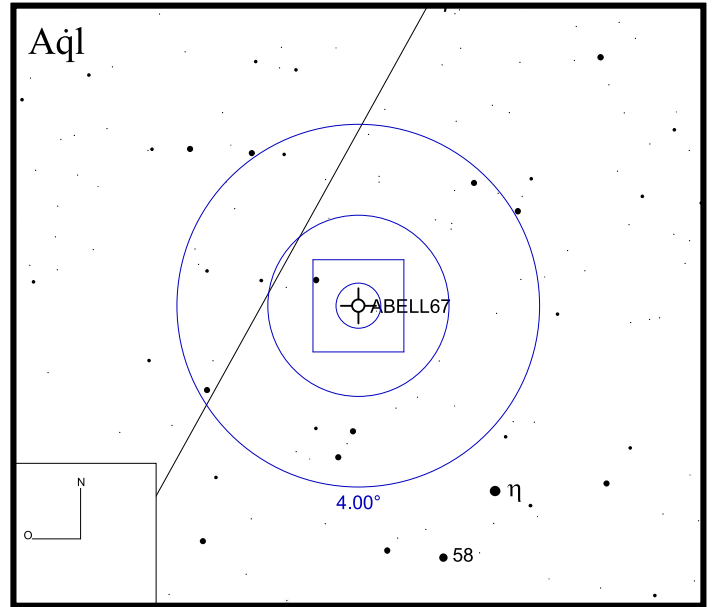


Bild: DSS



Abell 70

RA 20h31m33s

DEC -07°05'18"

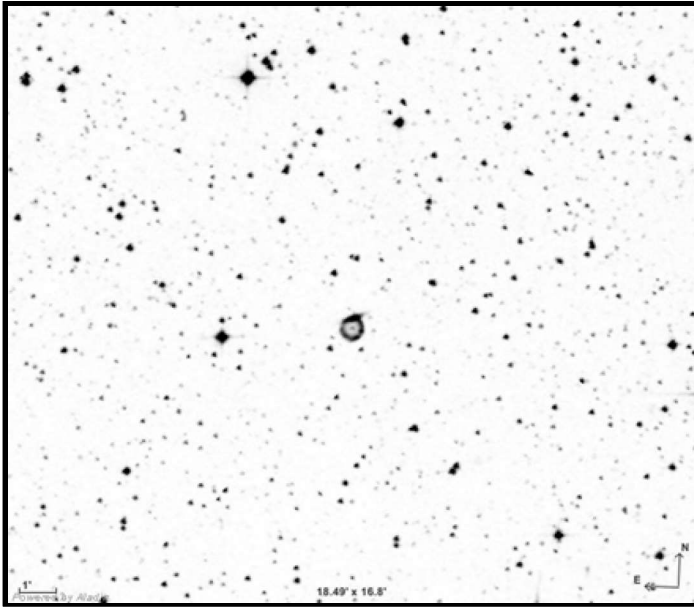
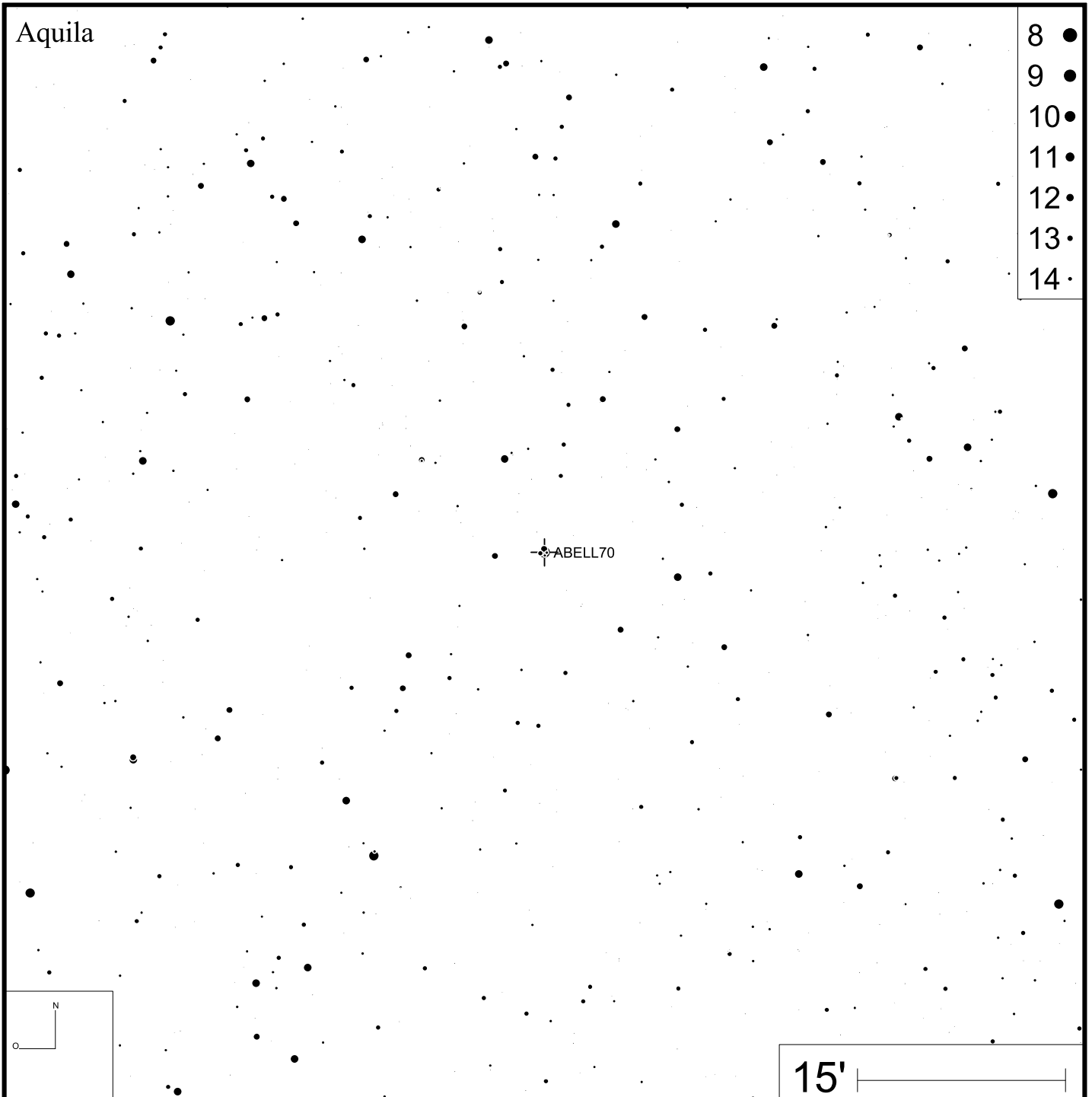
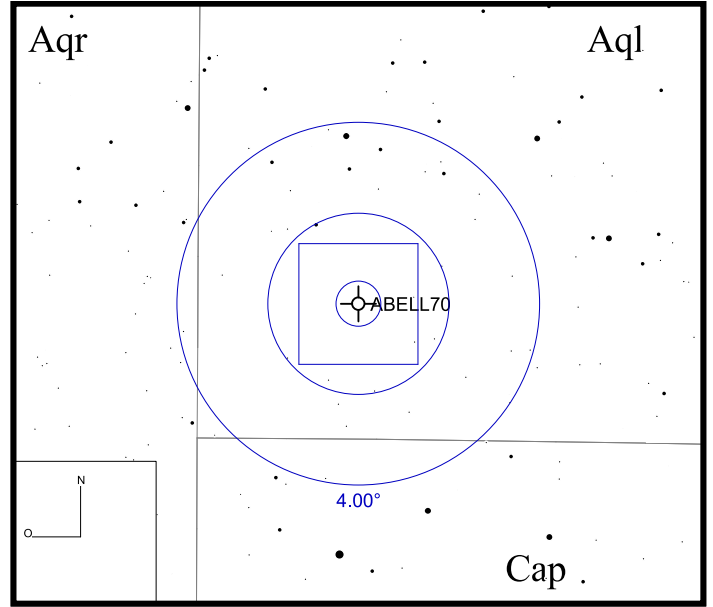


Bild: DSS



Abell 71

RA 20h32m23s

DEC +47°20'50"

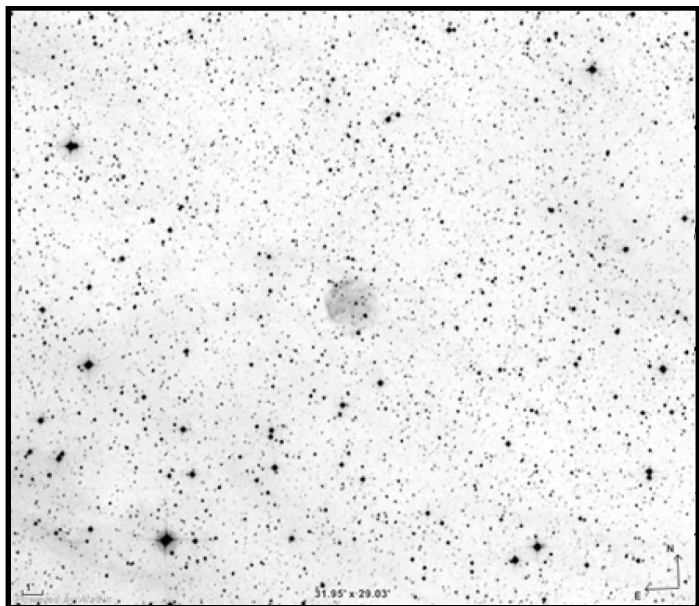
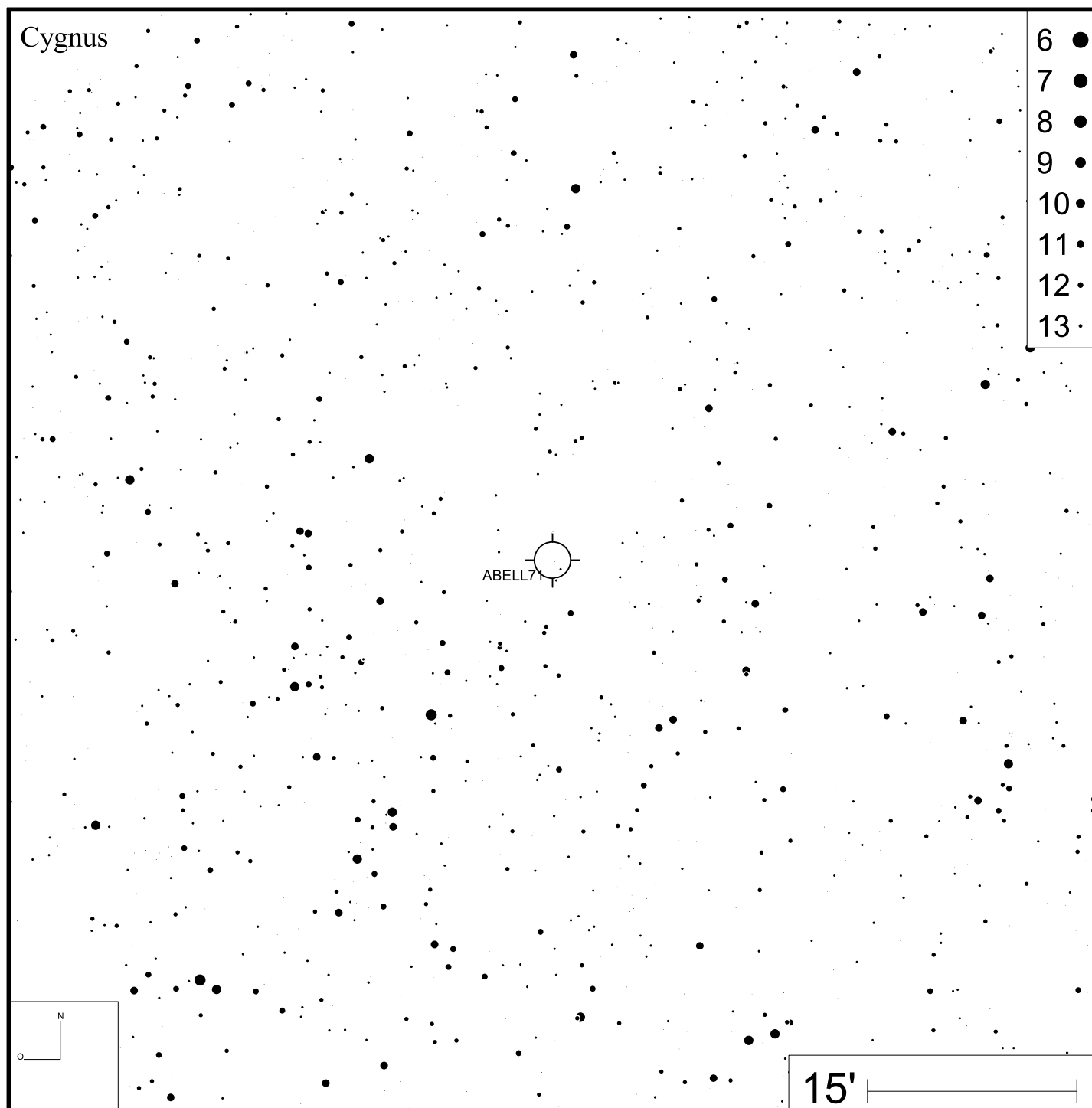
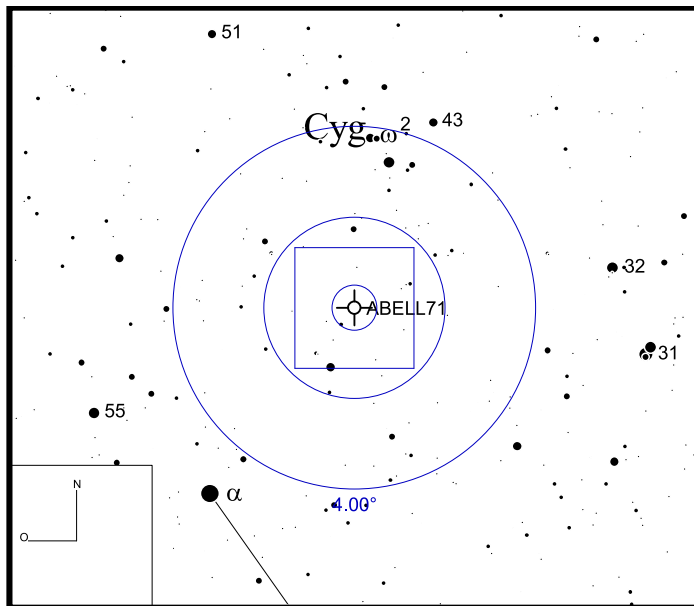


Bild: DSS



Abell 72

RA 20h50m02s

DEC +13°33'30"

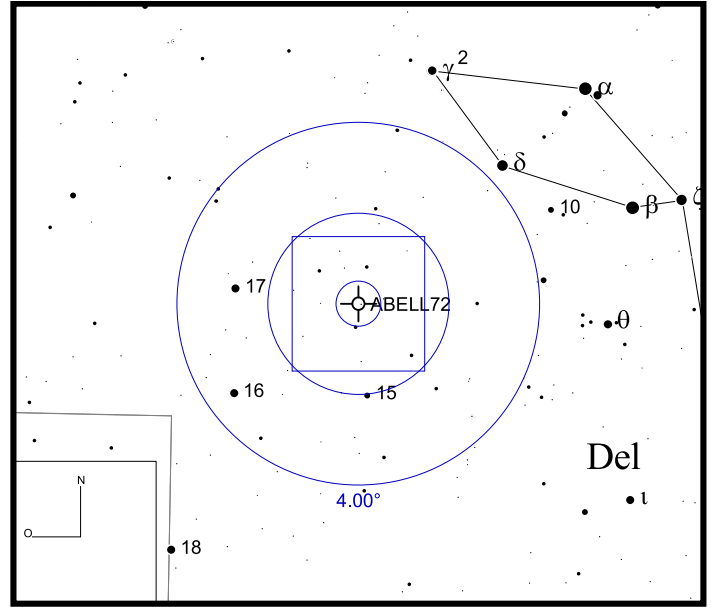
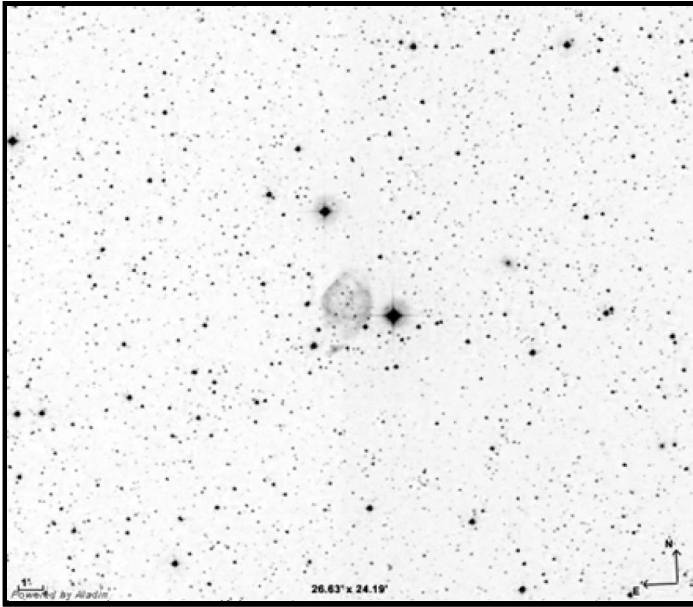
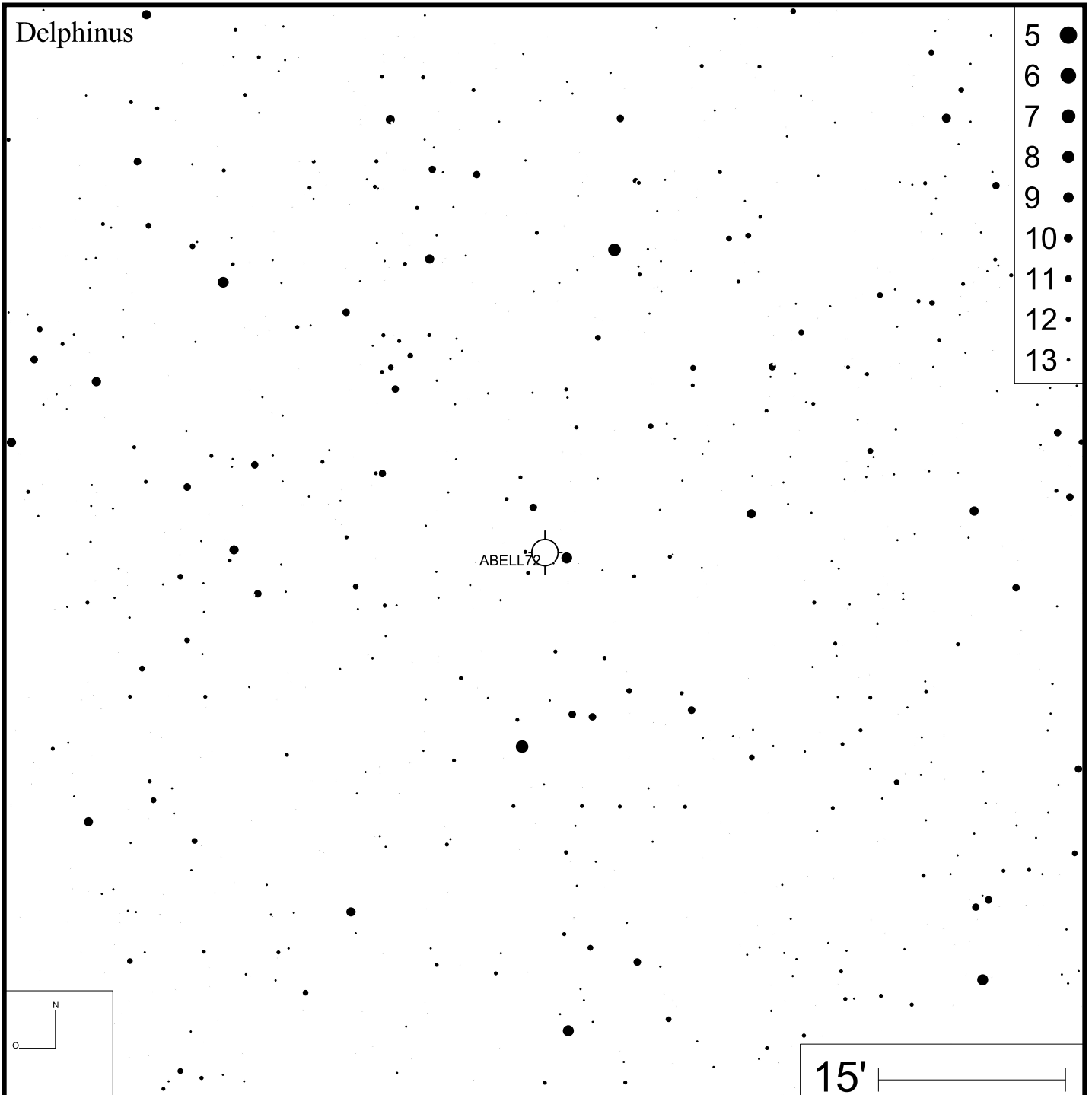


Bild: DSS



Abell 75 (NGC 7076)

RA 21h26m24s

DEC +62°53'32"

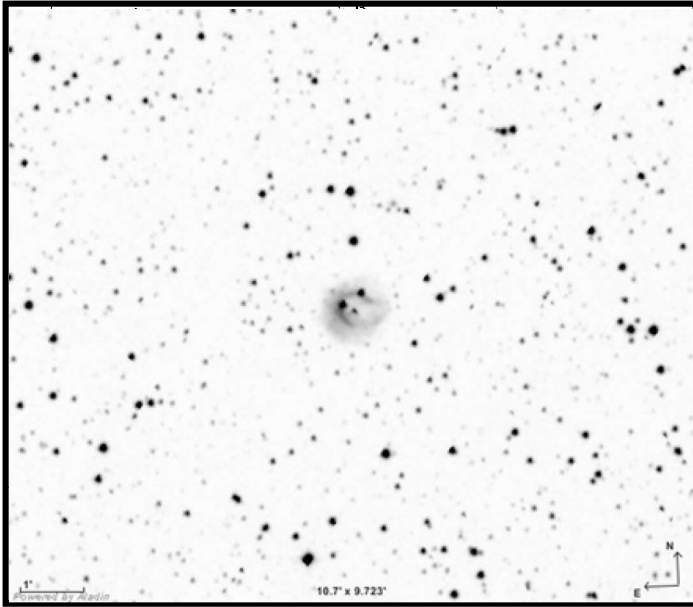
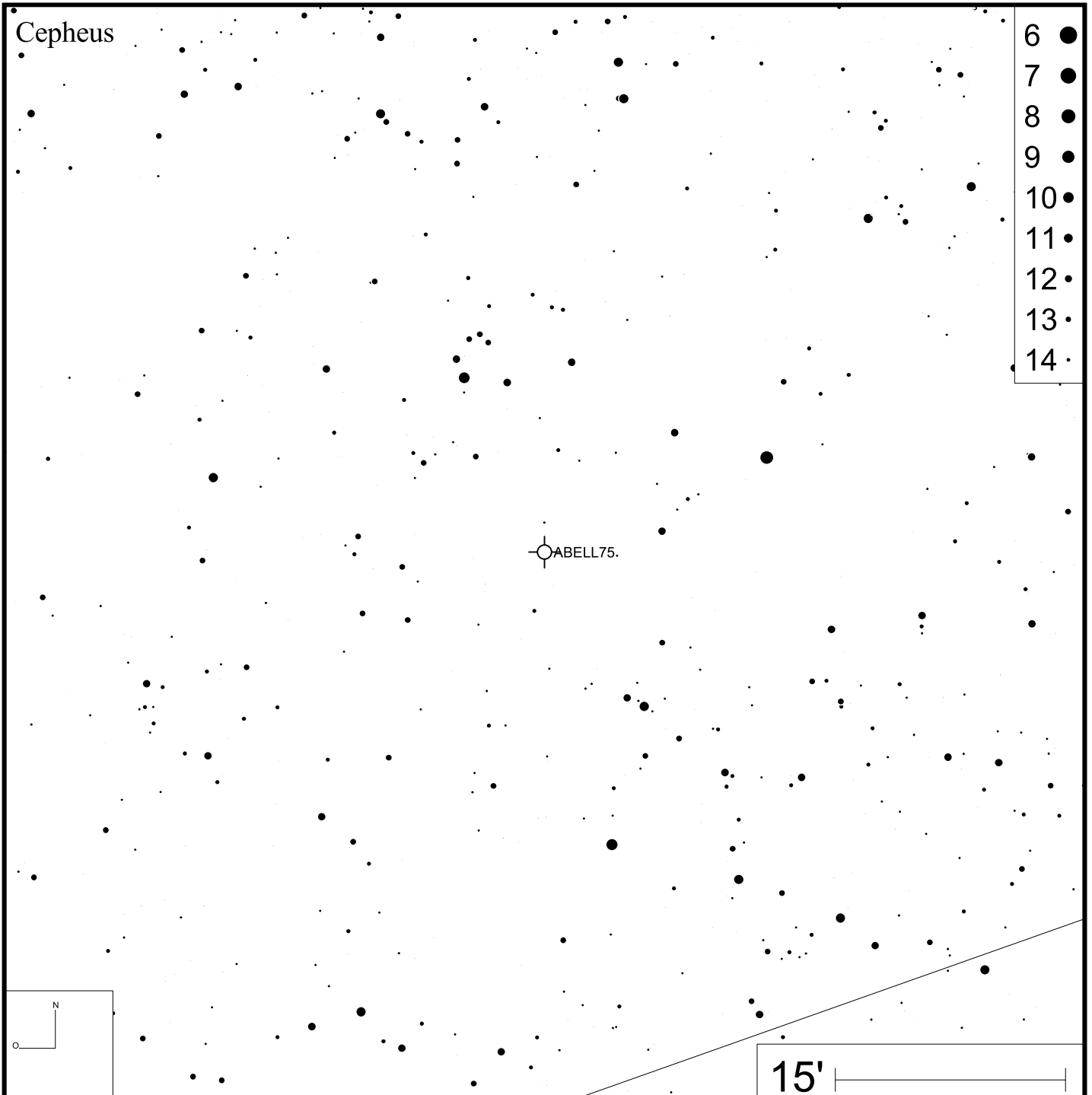
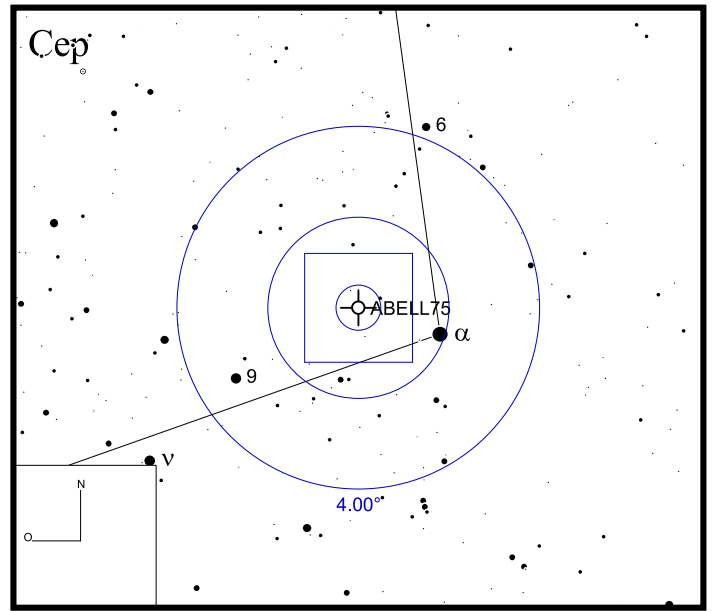


Bild: DSS



Abell 78

RA 21h35m29s

DEC +31°41'45"

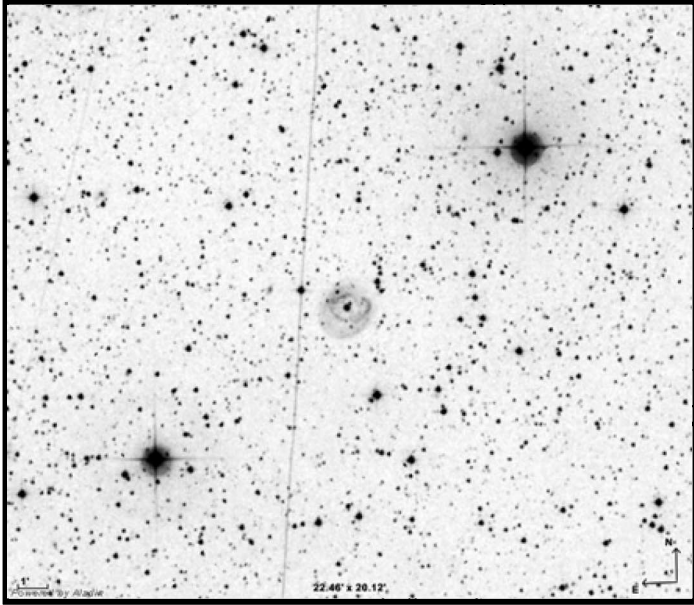
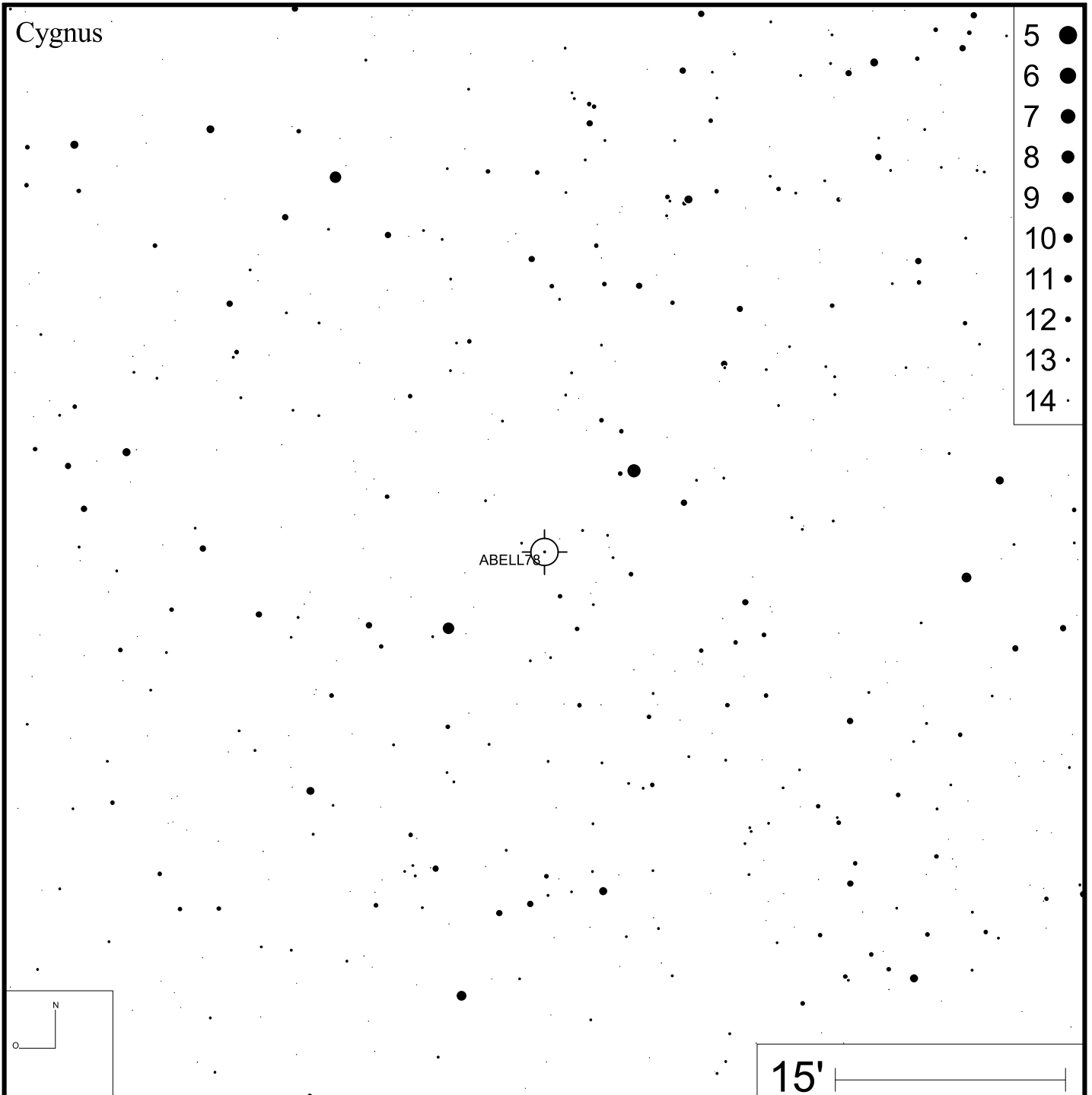
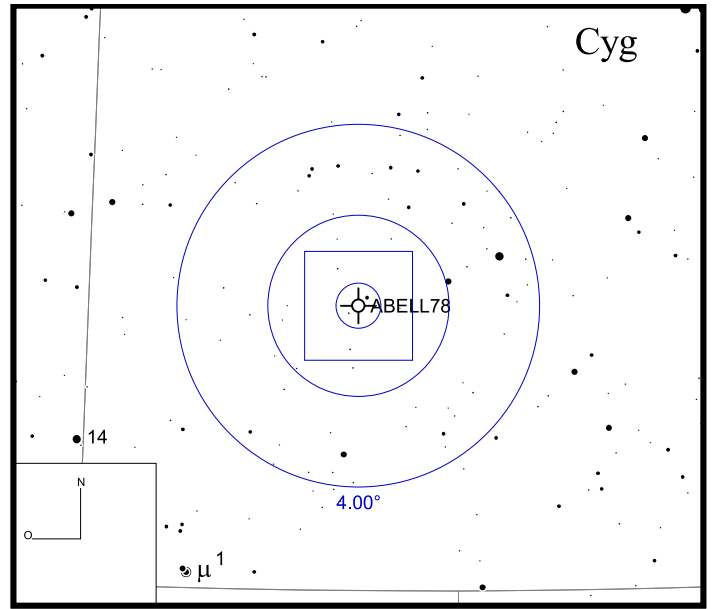


Bild: DSS



Abell 79

RA 22h26m17s DEC +54°49'38"

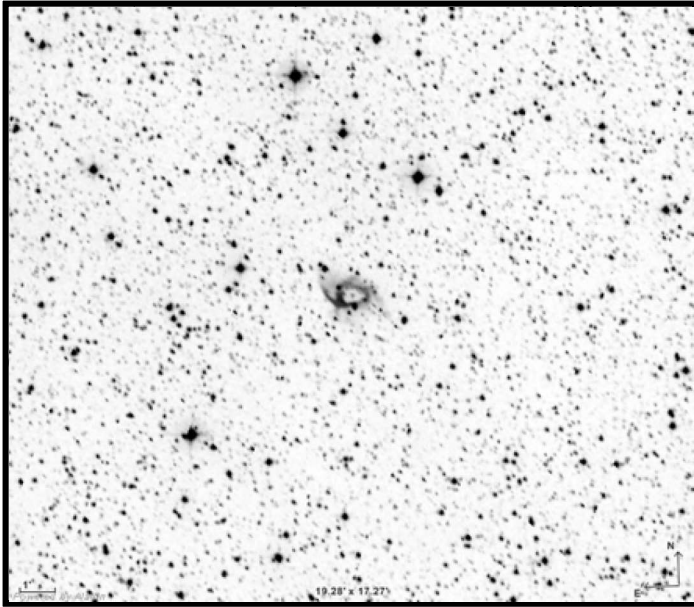
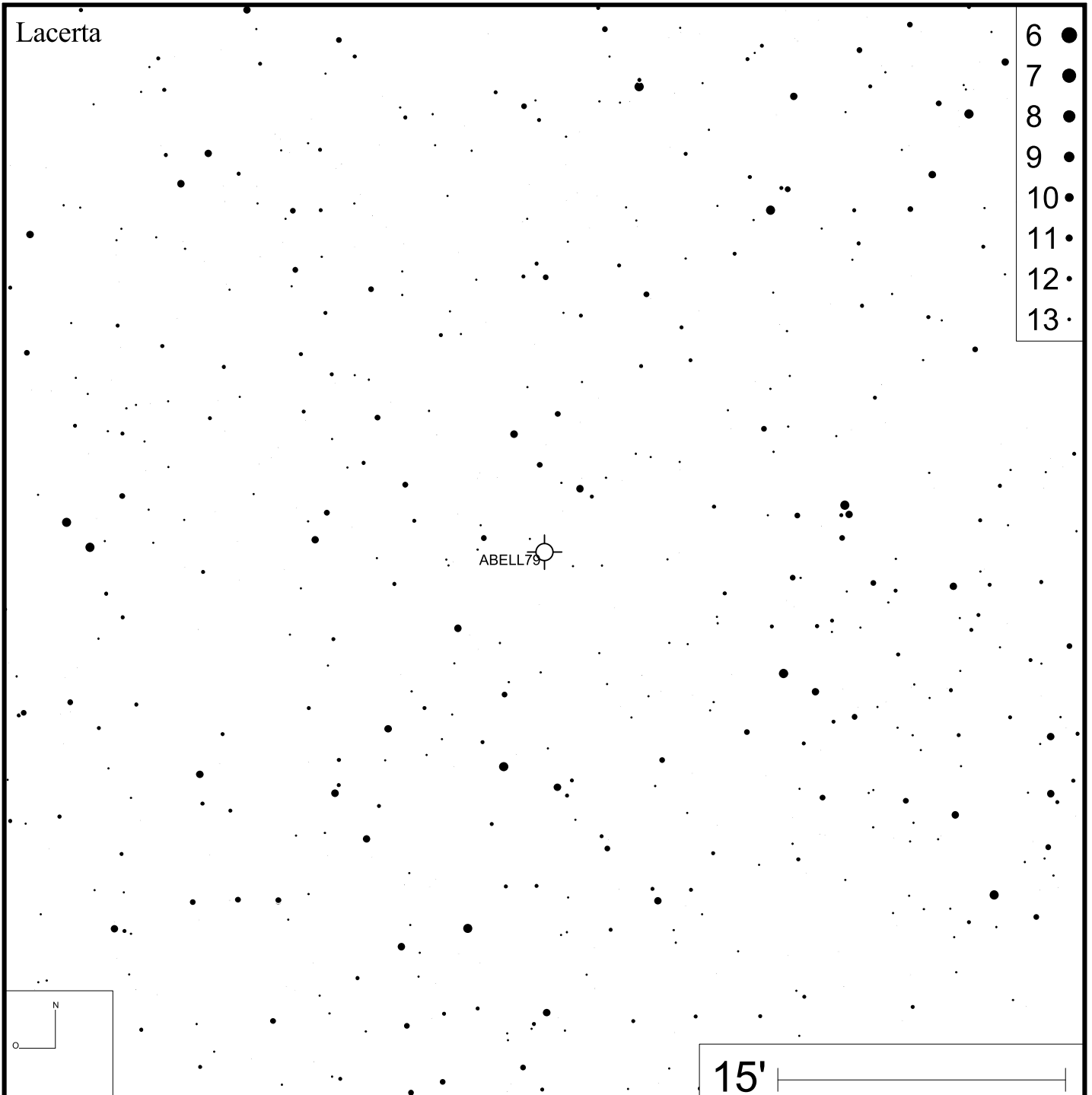
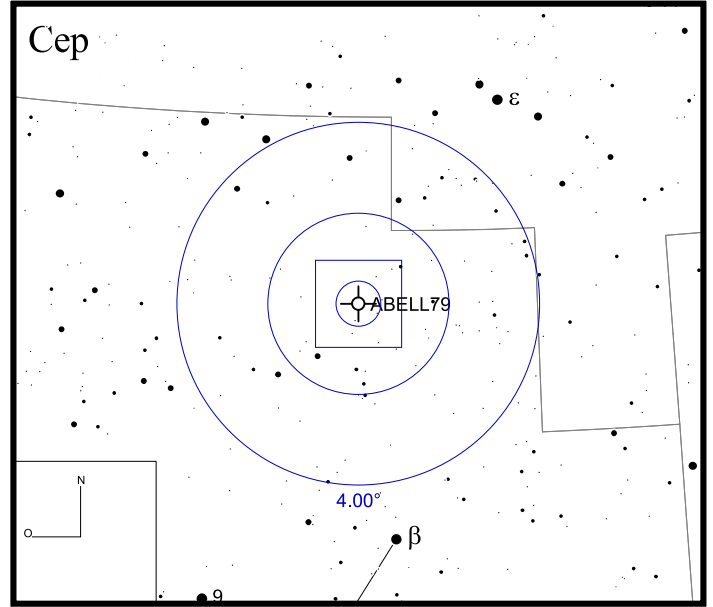


Bild: DSS



- 6 ●
- 7 ●
- 8 ●
- 9 ●
- 10 ●
- 11 ●
- 12 ●
- 13 ●

Abell 81 (IC 1454)

RA 22h42m25s

DEC +08°26'32"

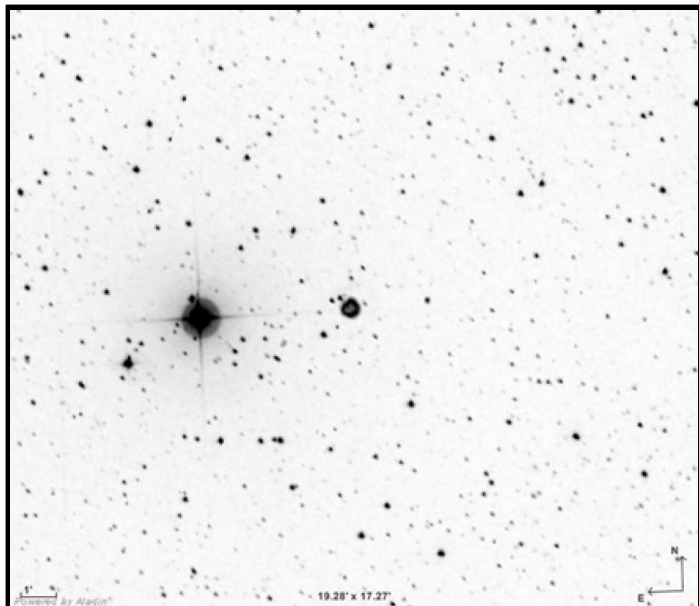
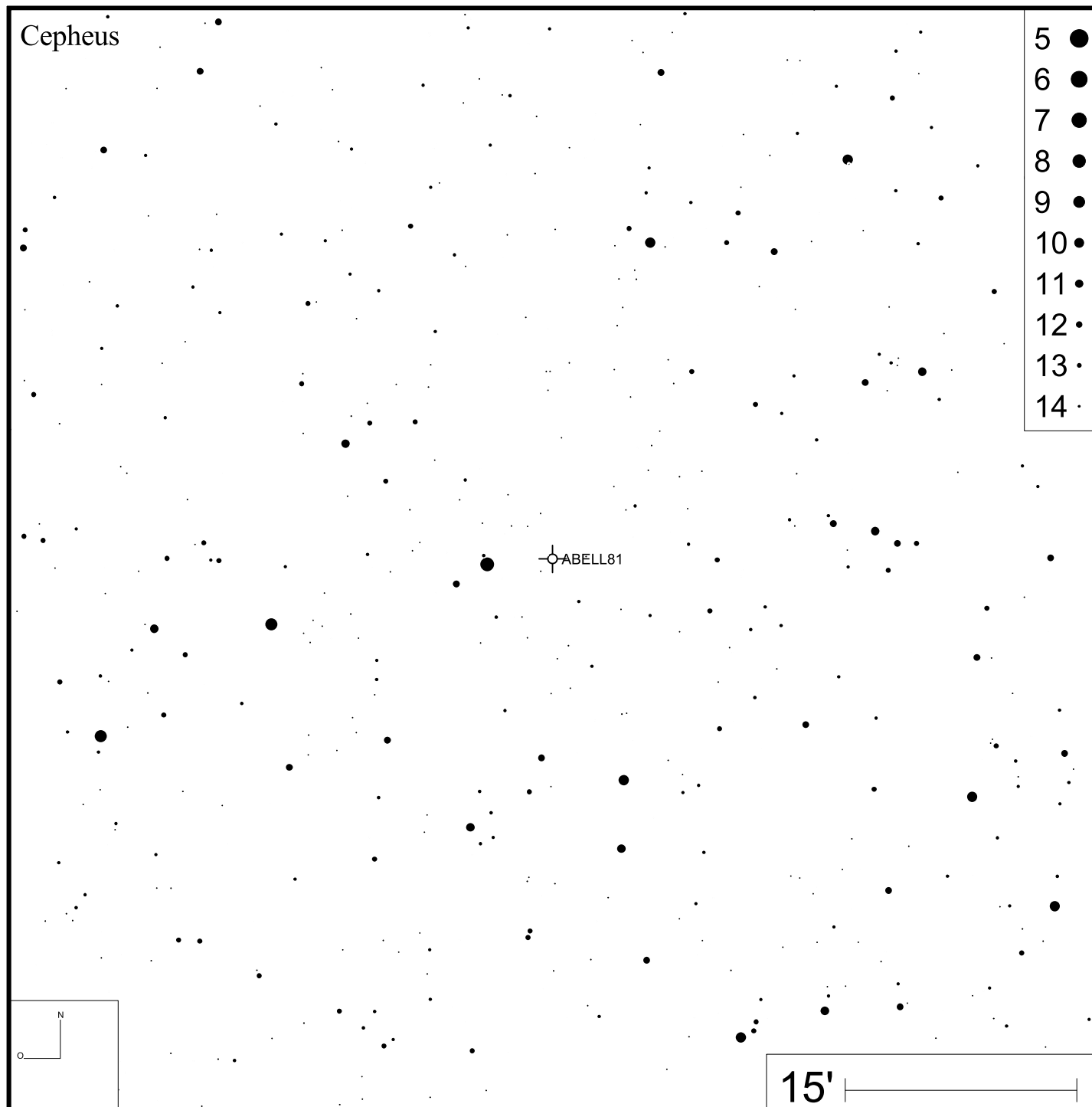
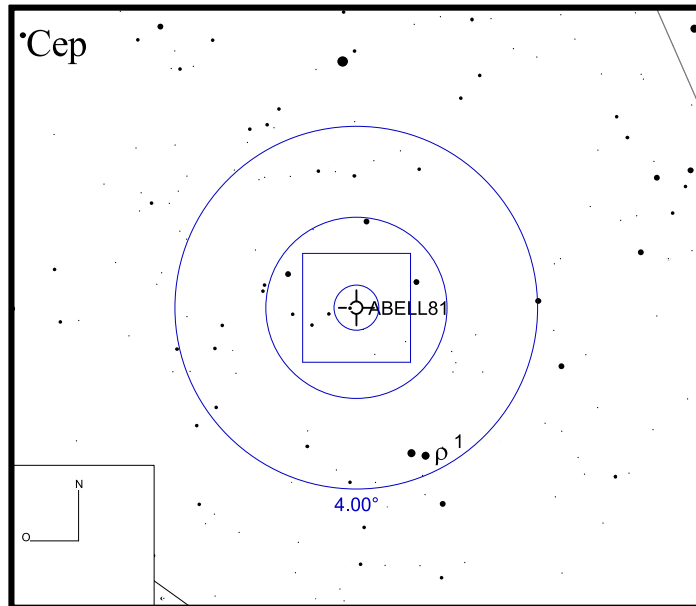


Bild: DSS



- 5 ●
- 6 ●
- 7 ●
- 8 ●
- 9 ●
- 10 ●
- 11 ●
- 12 ●
- 13 ●
- 14 ●

Abell 82

RA 23h45m48s

DEC +57°03'58"

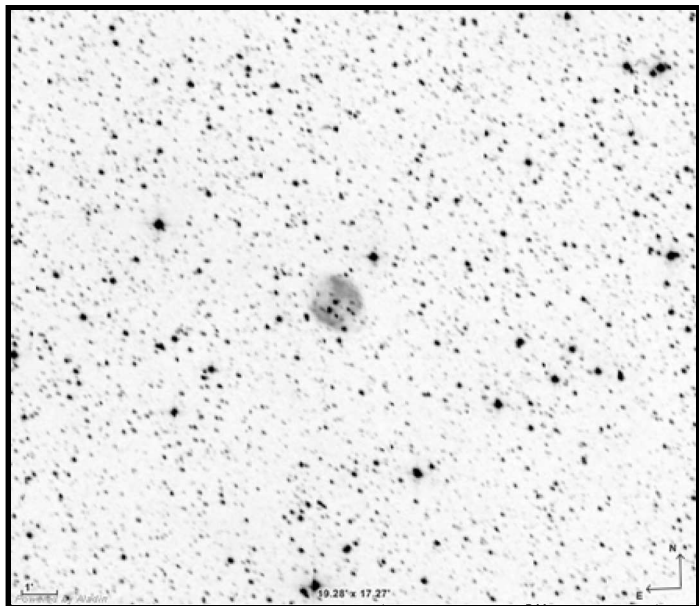
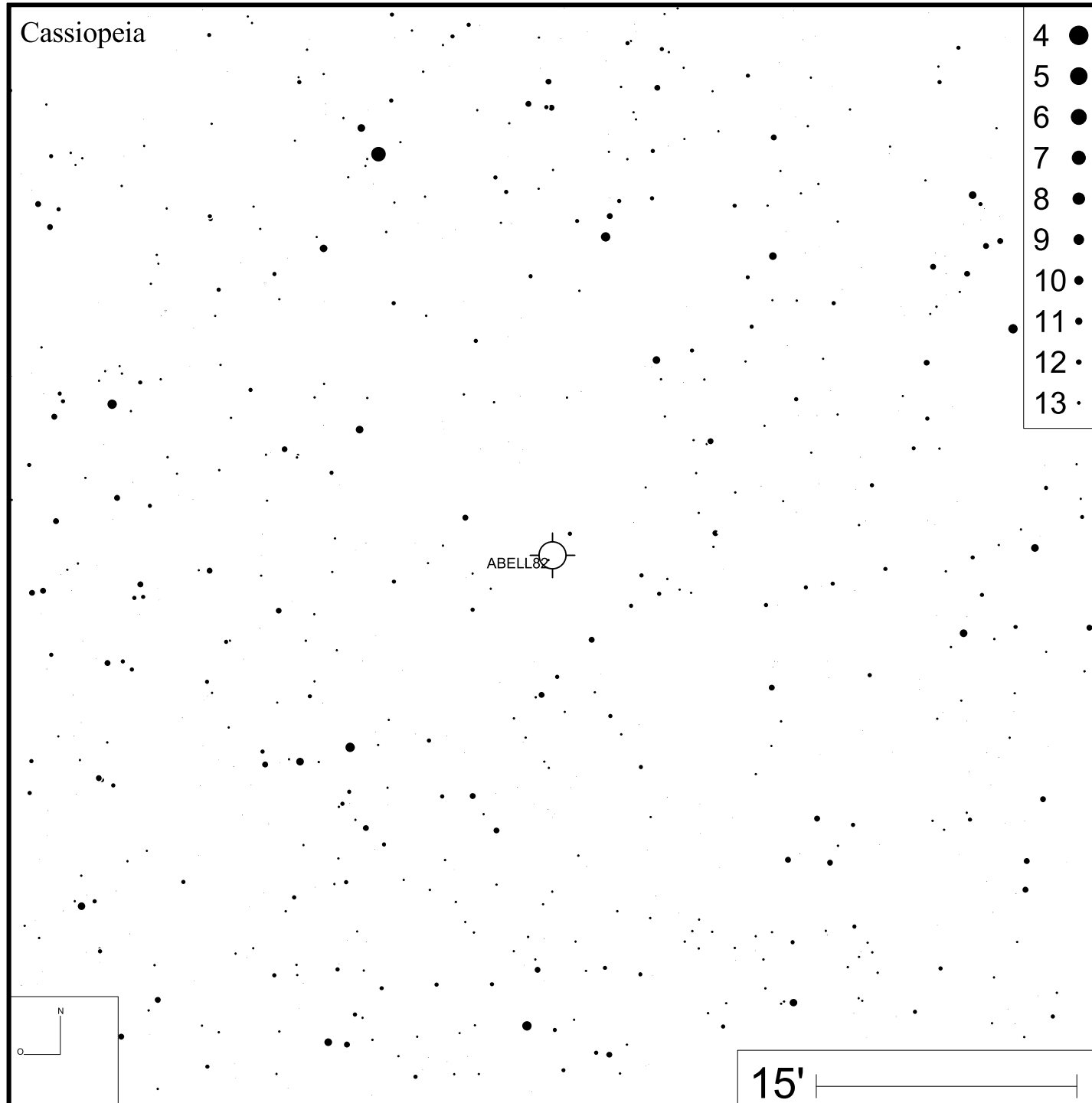
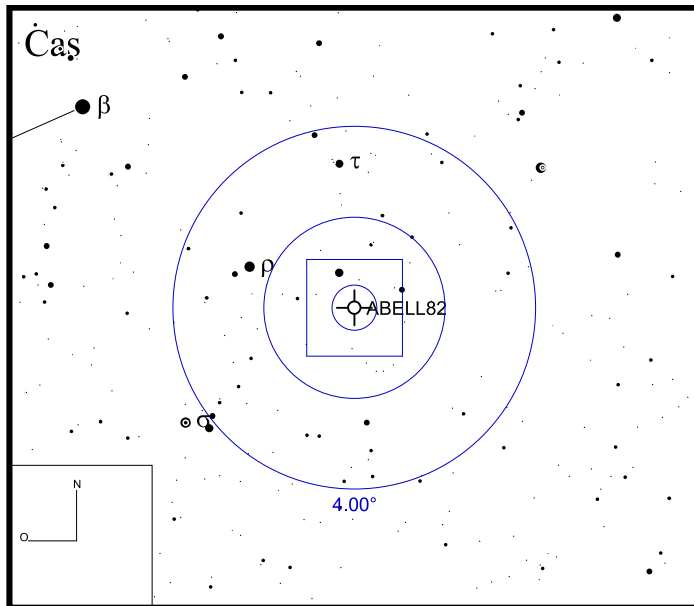


Bild: DSS



Abell 84

RA 23h47m44s

DEC +51°23'57"

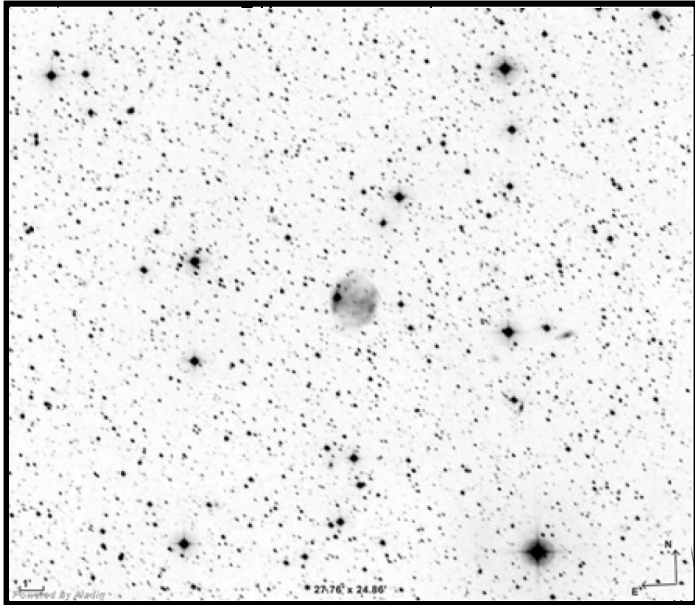
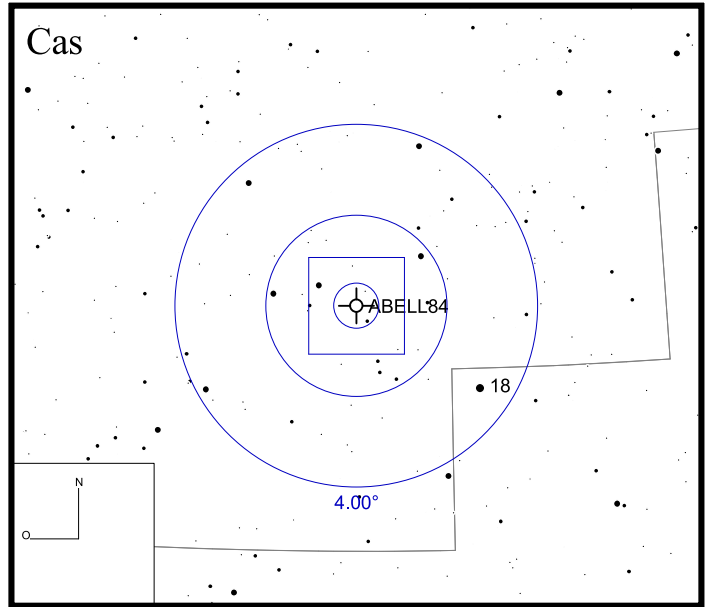
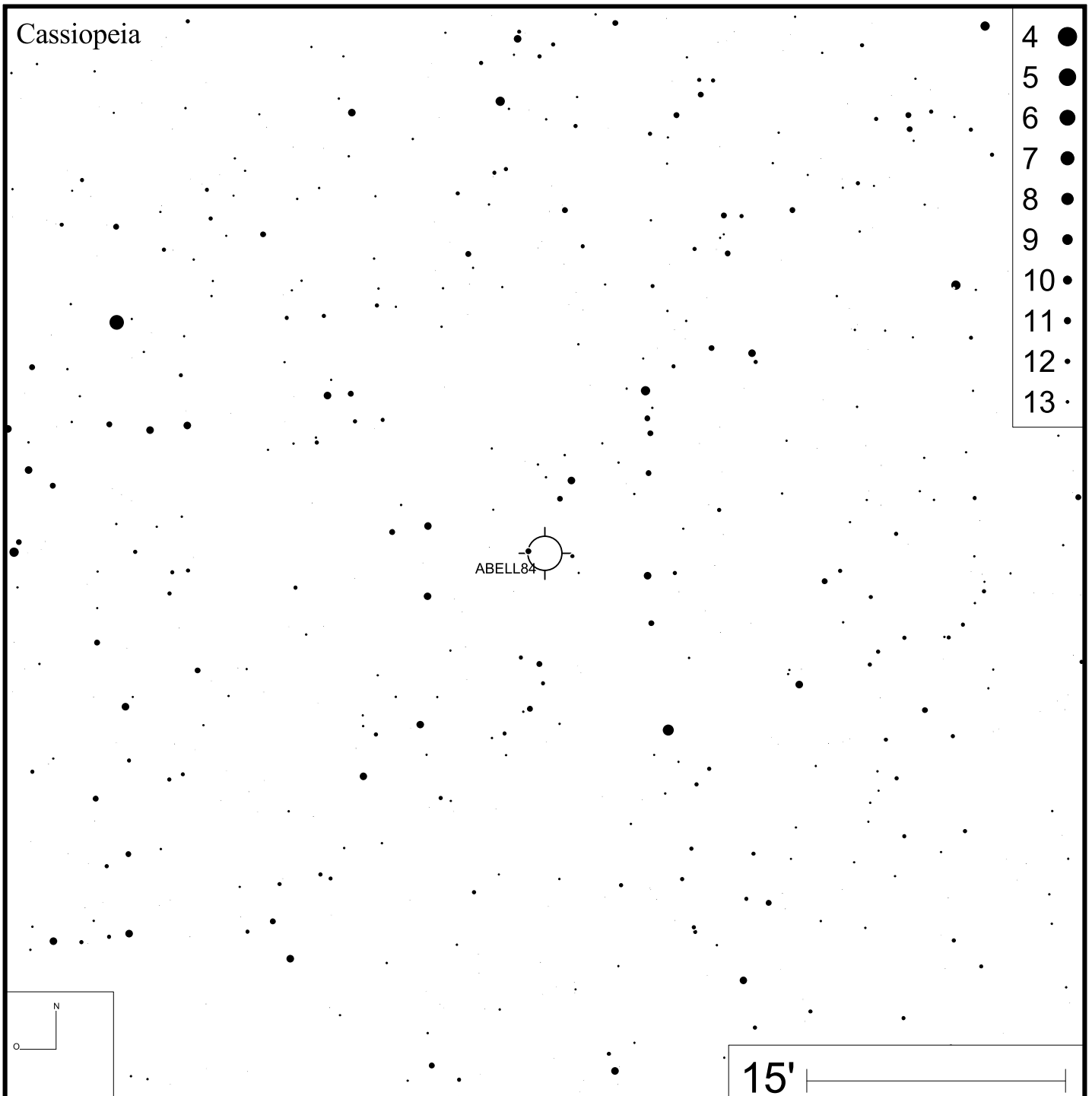


Bild: DSS

Cas



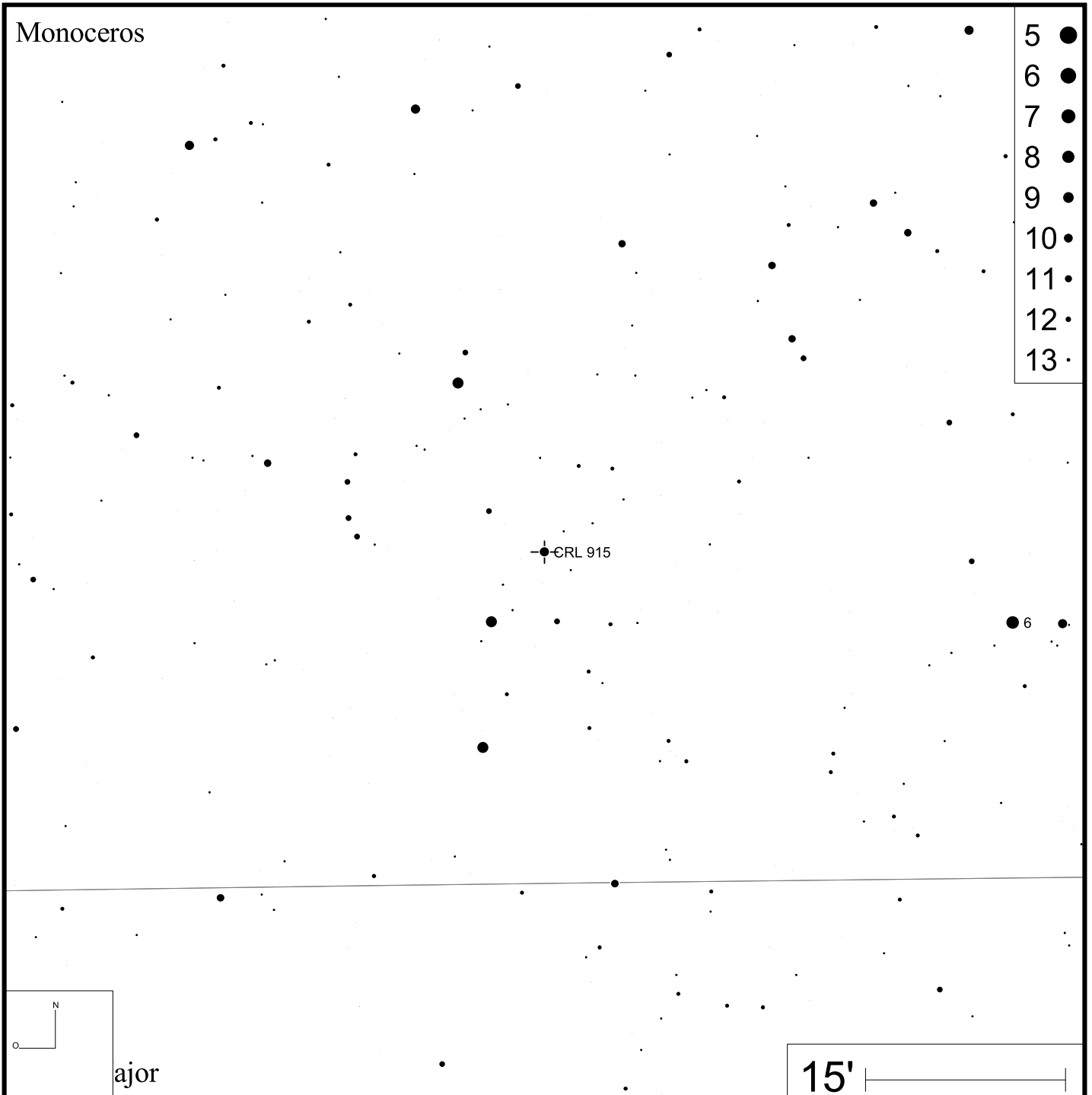
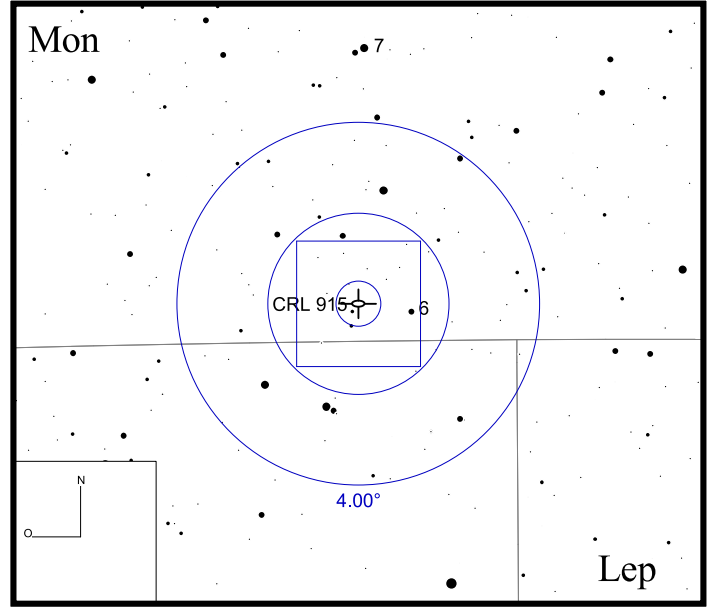
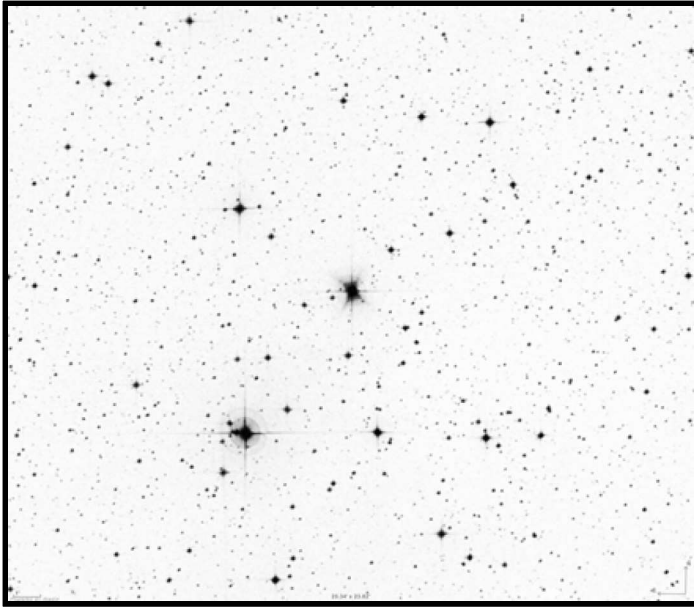
Cassiopeia



CRL 915

RA 06h19m58s

DEC -10°38'15"



CRL 2688

RA 21h02m18s

DEC +36°41'37"

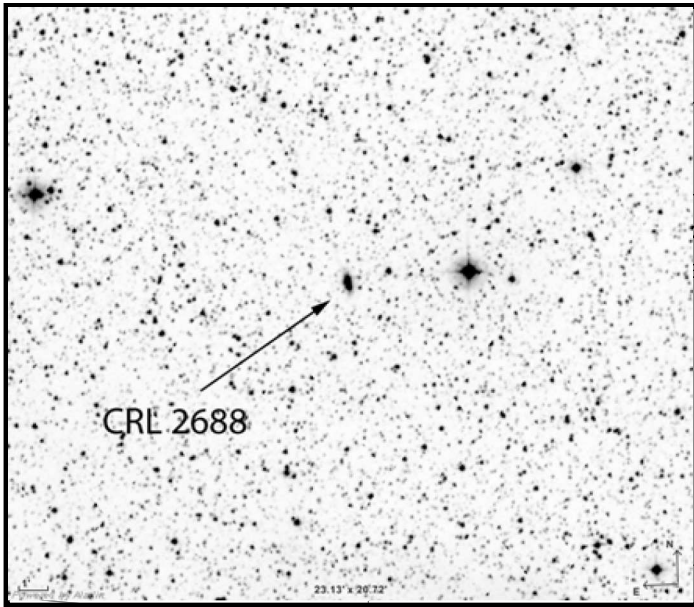
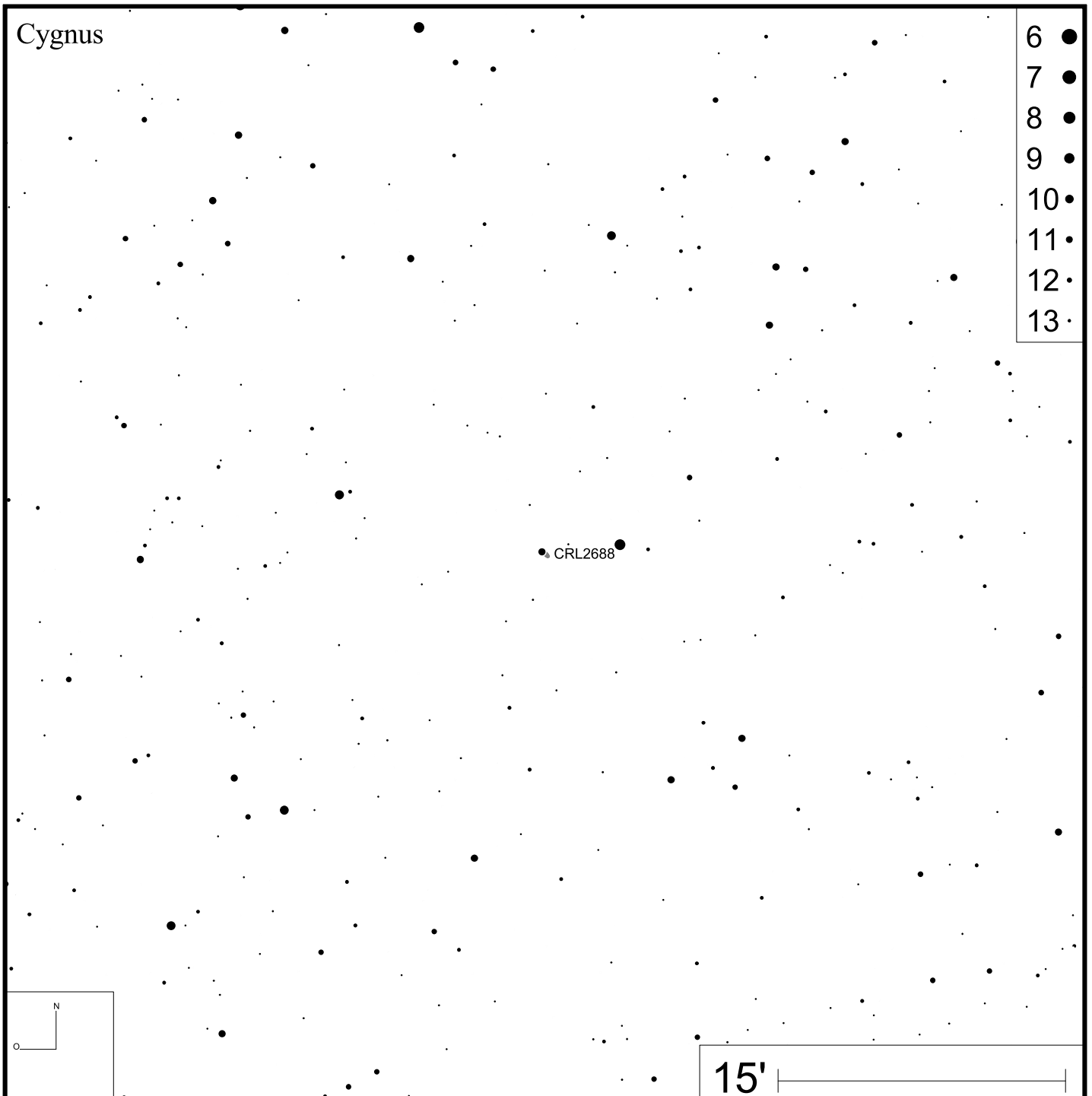
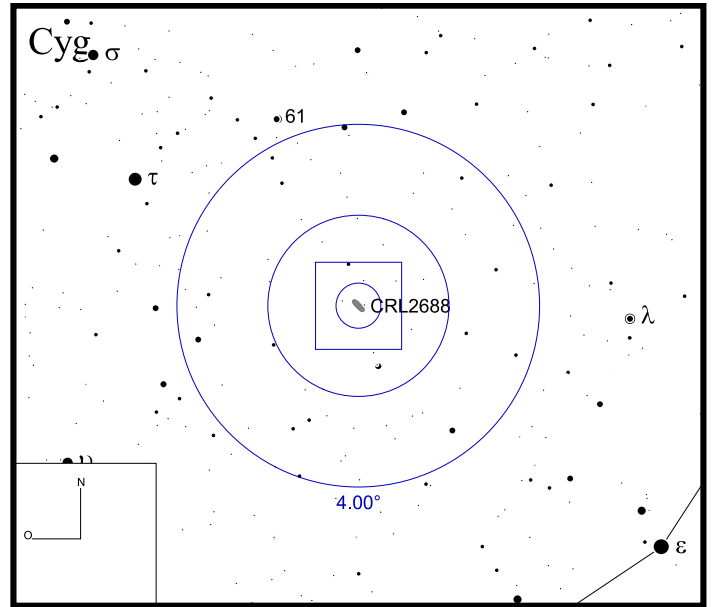


Bild: DSS



CRL 5237

RA 07h42m17s

DEC -14°42'50"

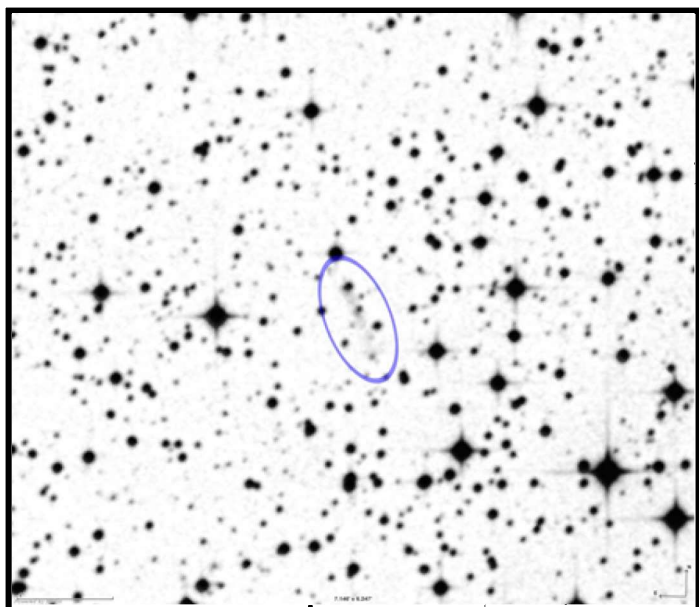


Bild: DSS

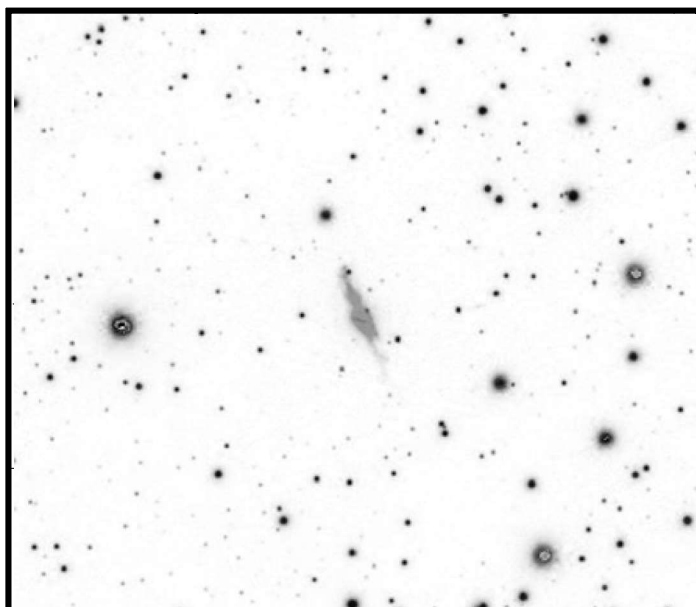
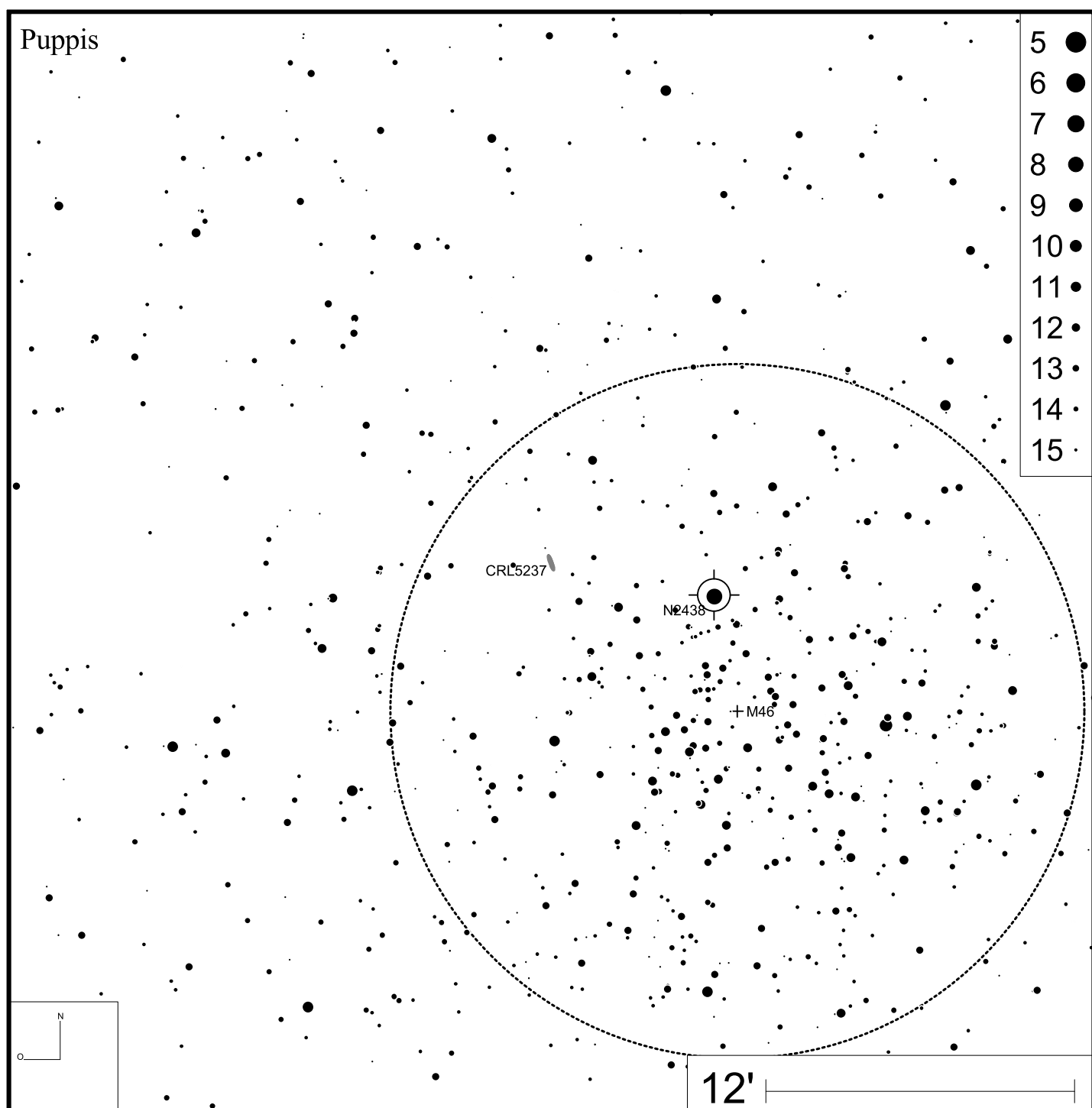


Bild: PanSTARRS



CTSS 3

RA 19h03m07s

DEC +14°05'38"

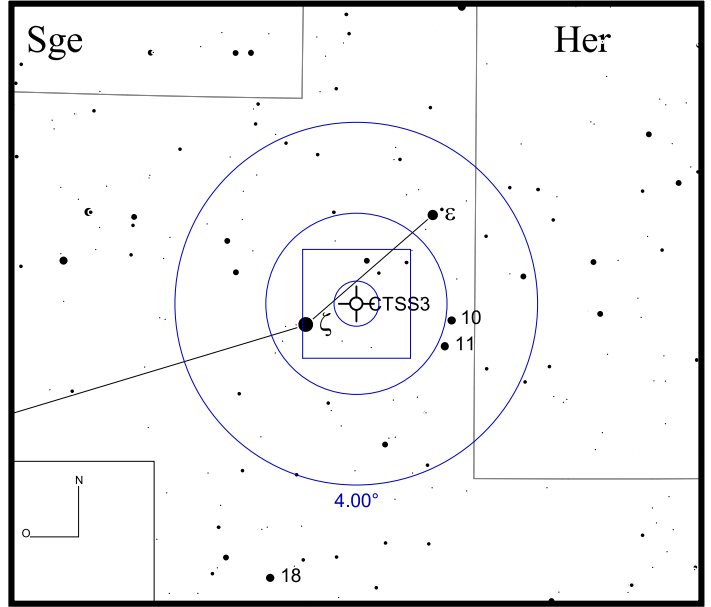
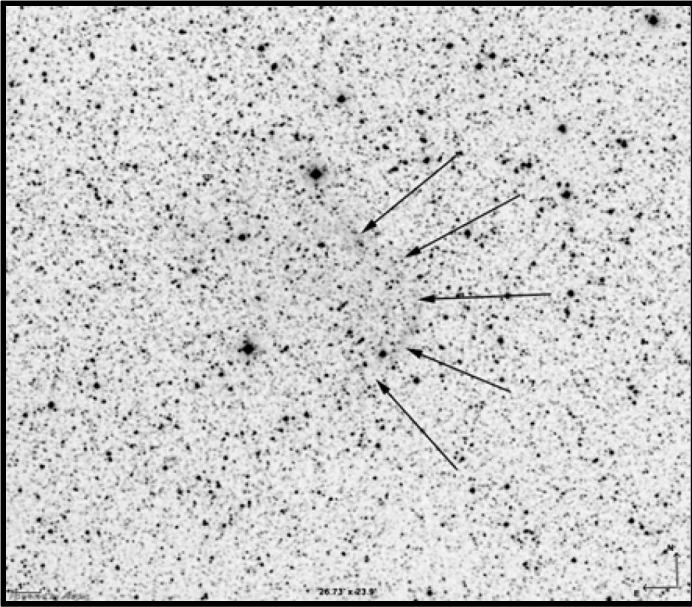
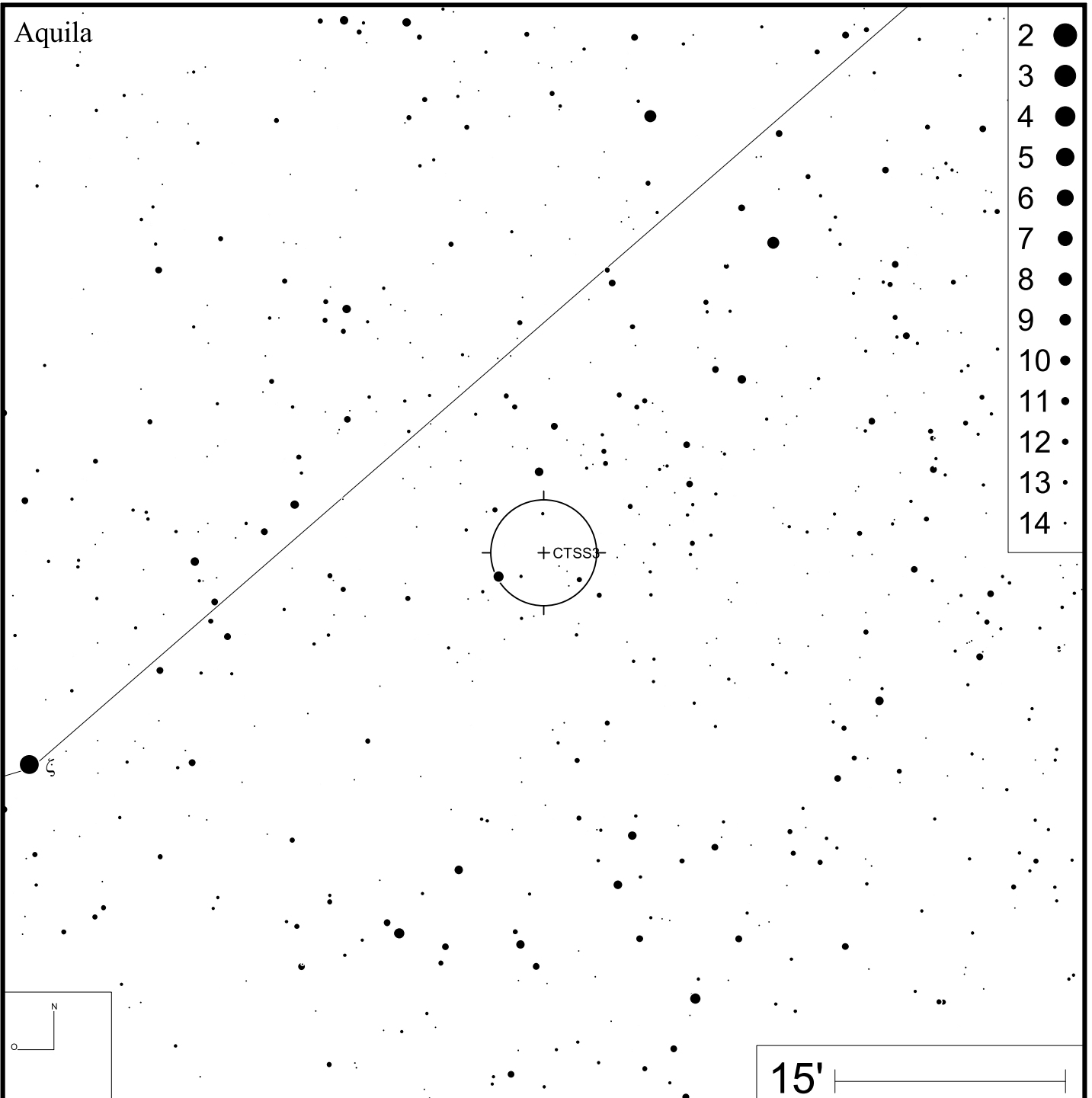


Bild: DSS



DdDM 1

RA 16h40m18s

DEC +38°42'20"

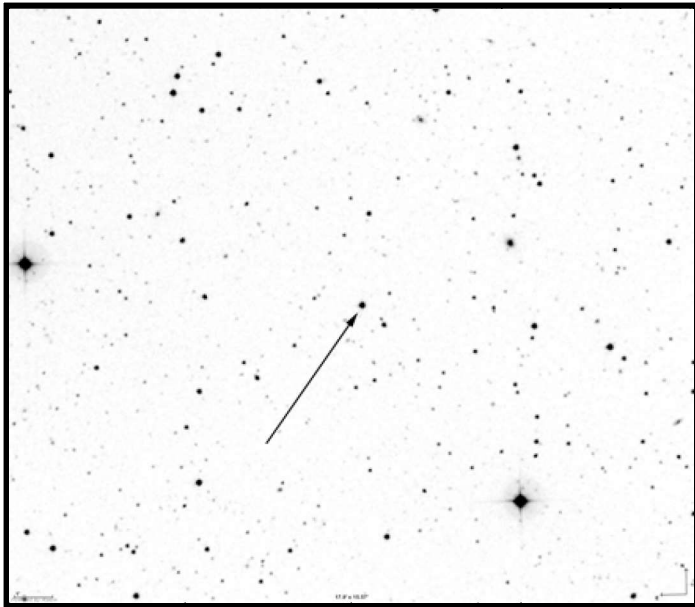
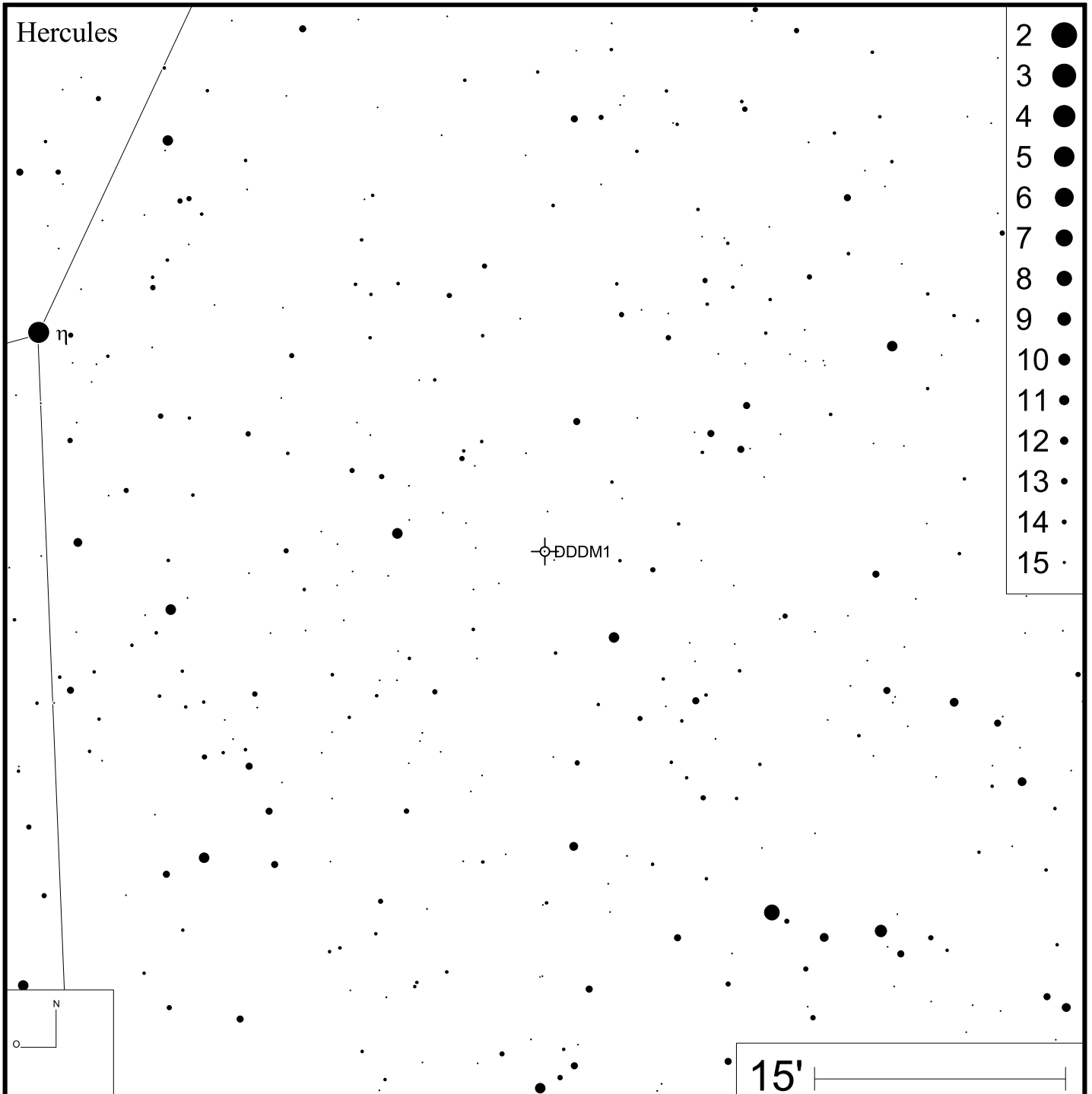
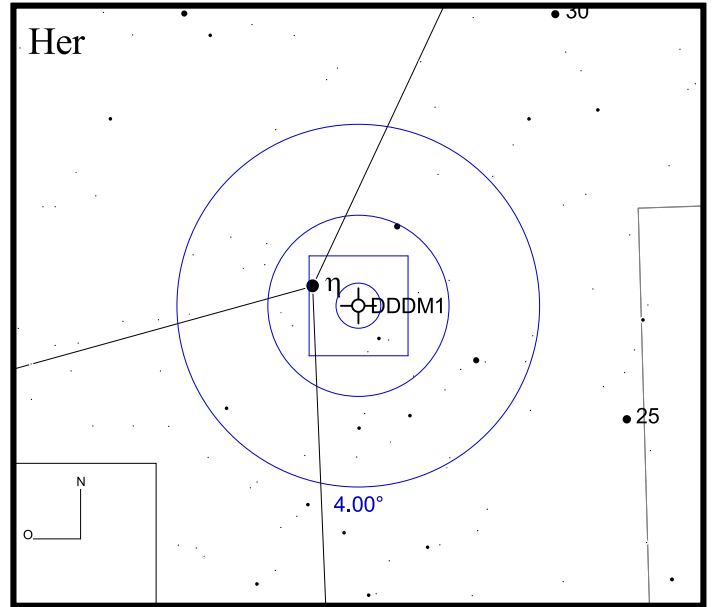


Bild: DSS



Hb 12

RA 23h26m15s

DEC +58°10'55"

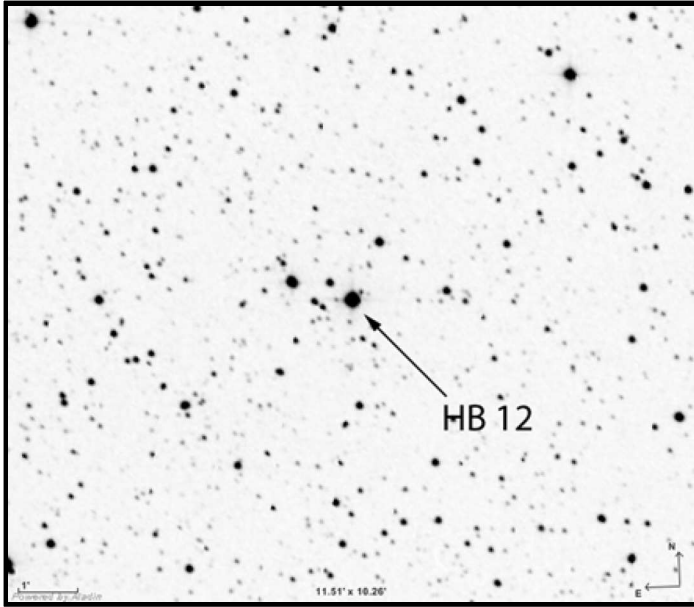
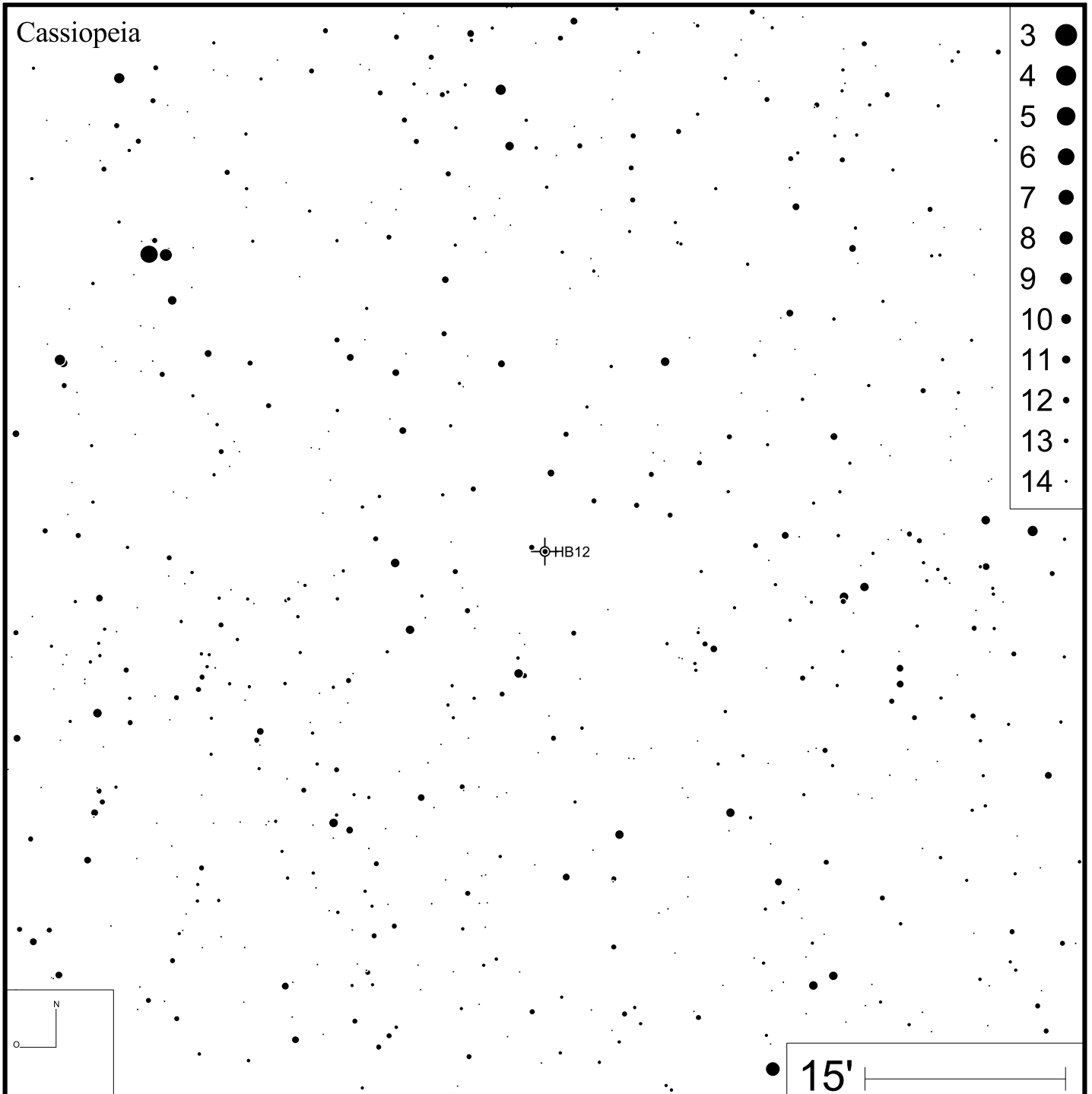
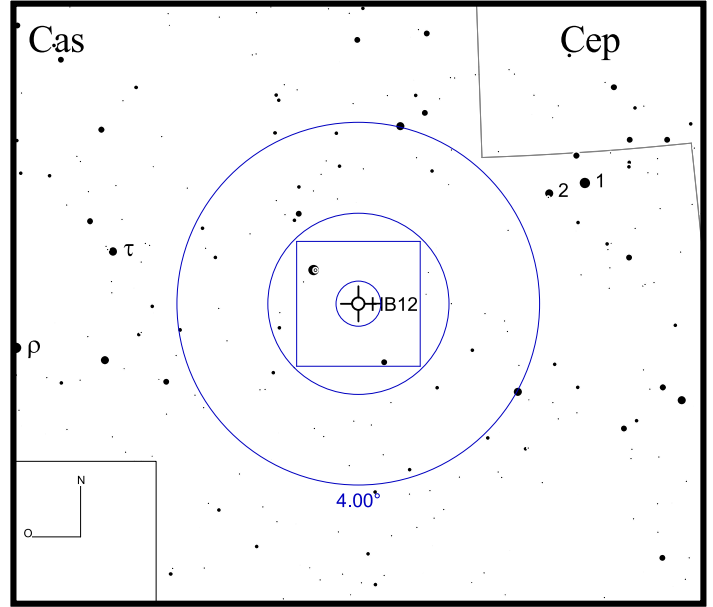


Bild: DSS



He 1-4 (Henize 1-4)

RA 19h59m18s

DEC +31°54'39"

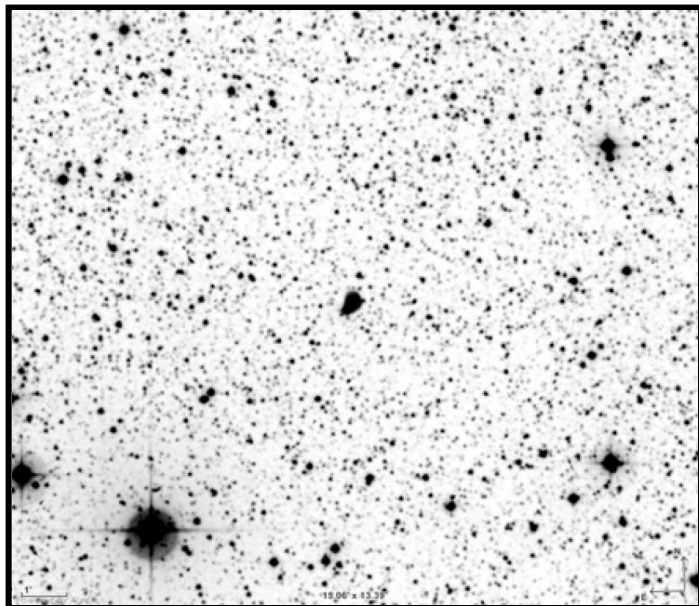


Bild: DSS

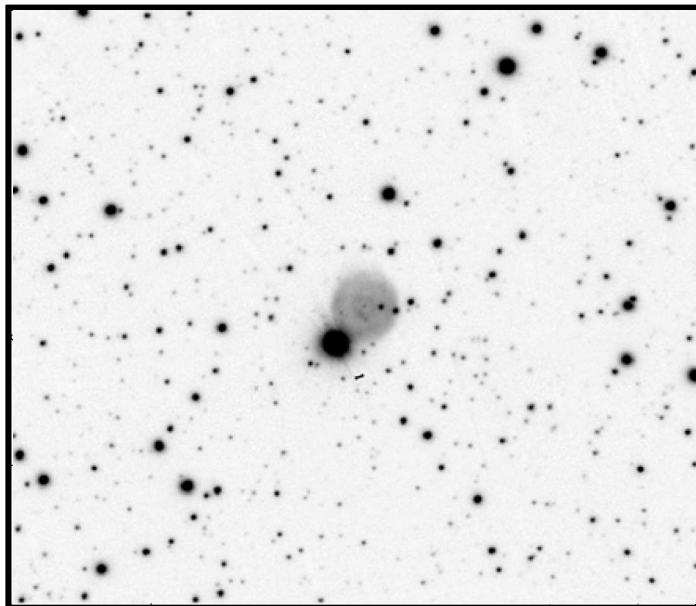
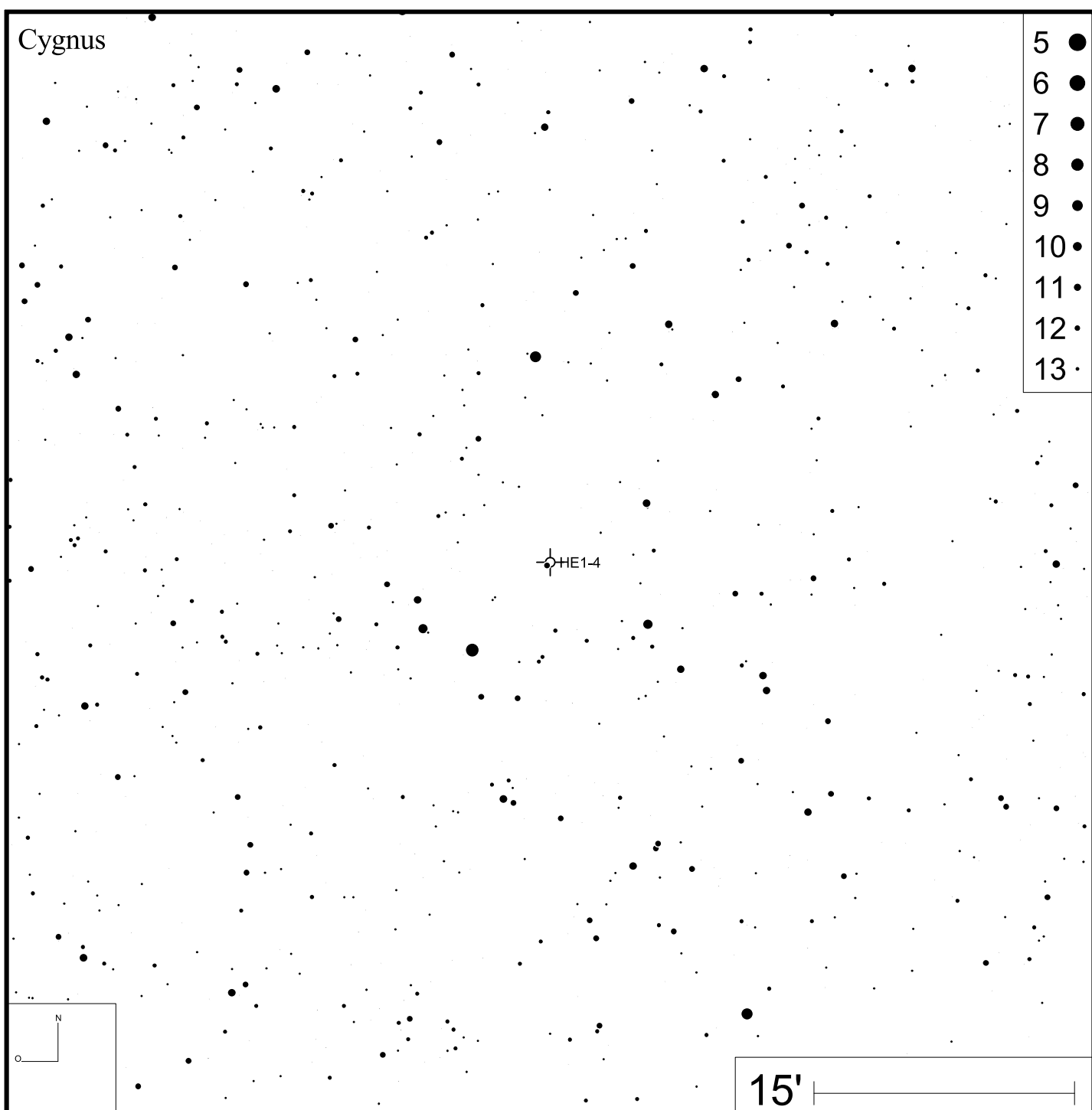


Bild: PanSTARRS (grün)



He 1-5

RA 20h11m56s

DEC +20°20'05"

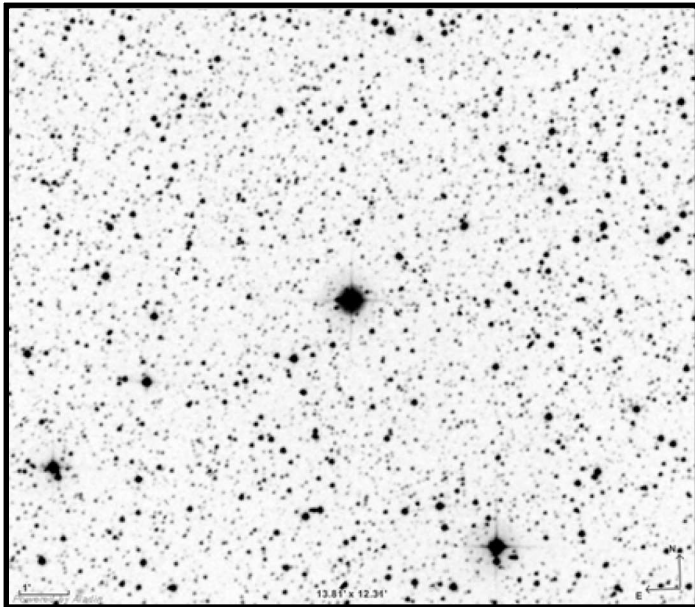


Bild: DSS

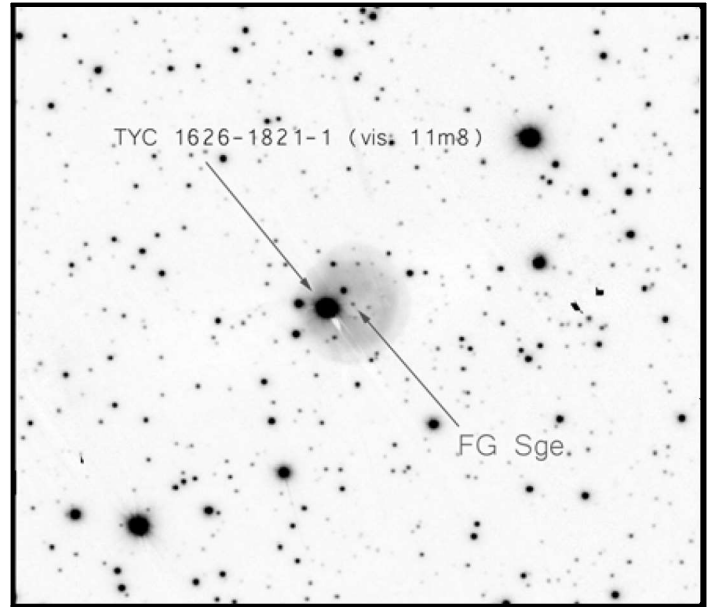
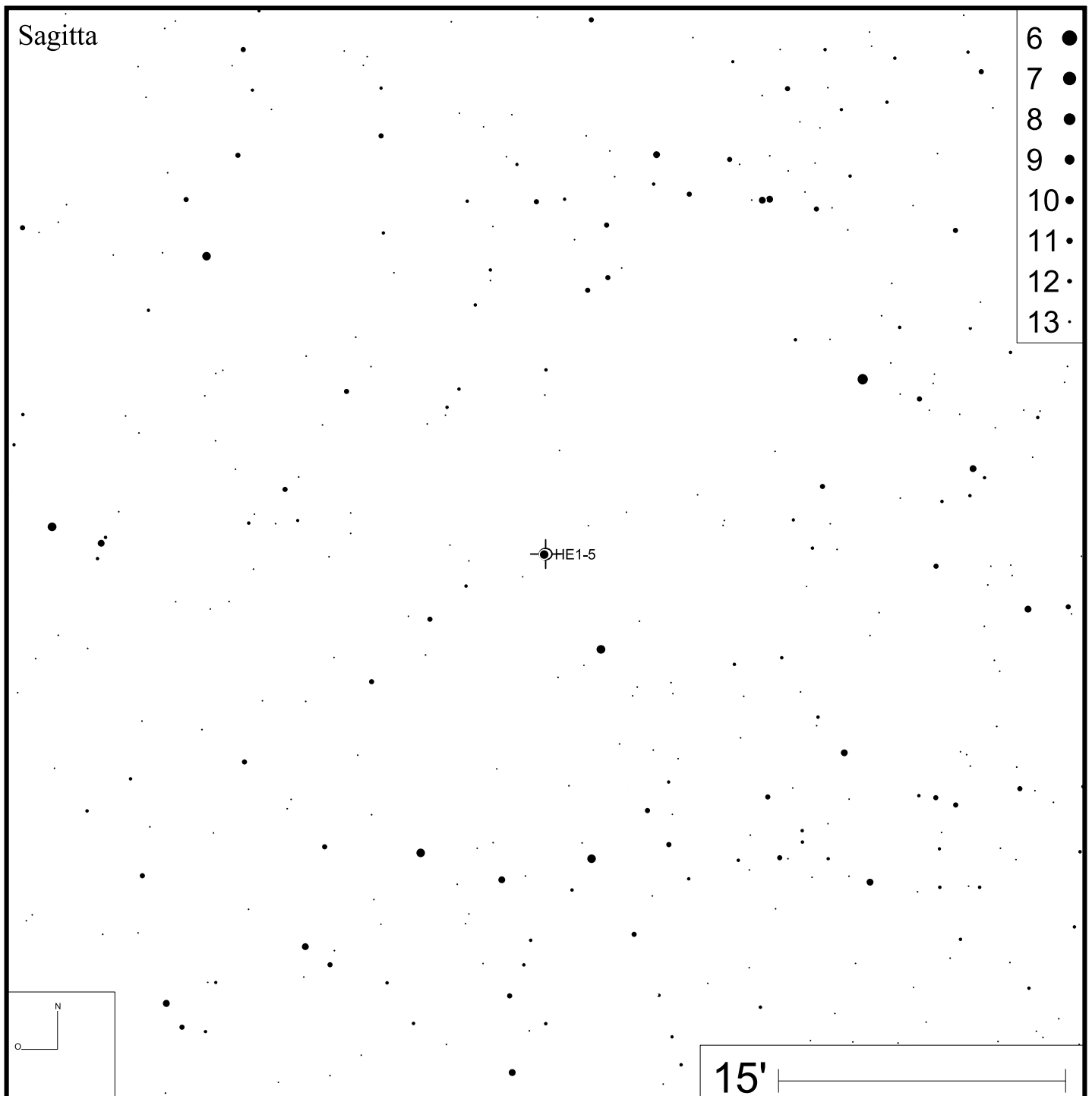


Bild: PanSTARRS (red)

Sagitta



- 6 ●
- 7 ●
- 8 ●
- 9 ●
- 10 ●
- 11 ●
- 12 ●
- 13 ●

He 2-438

RA 19h34m45s

DEC +30°30'59"

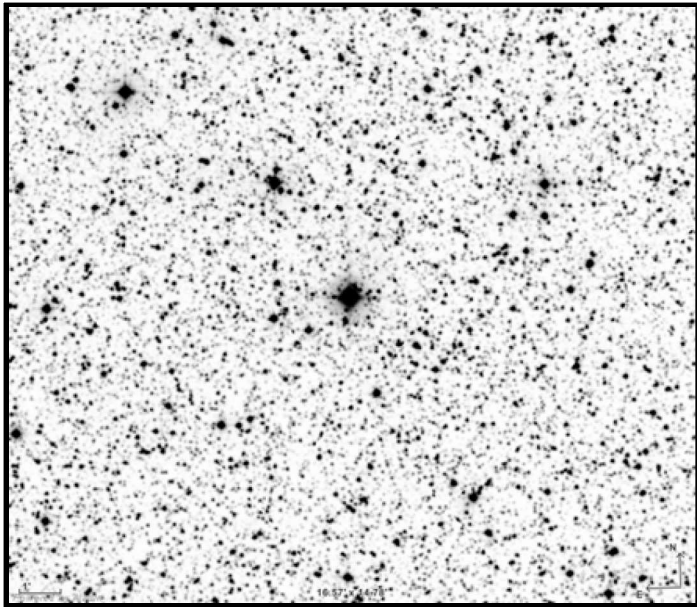
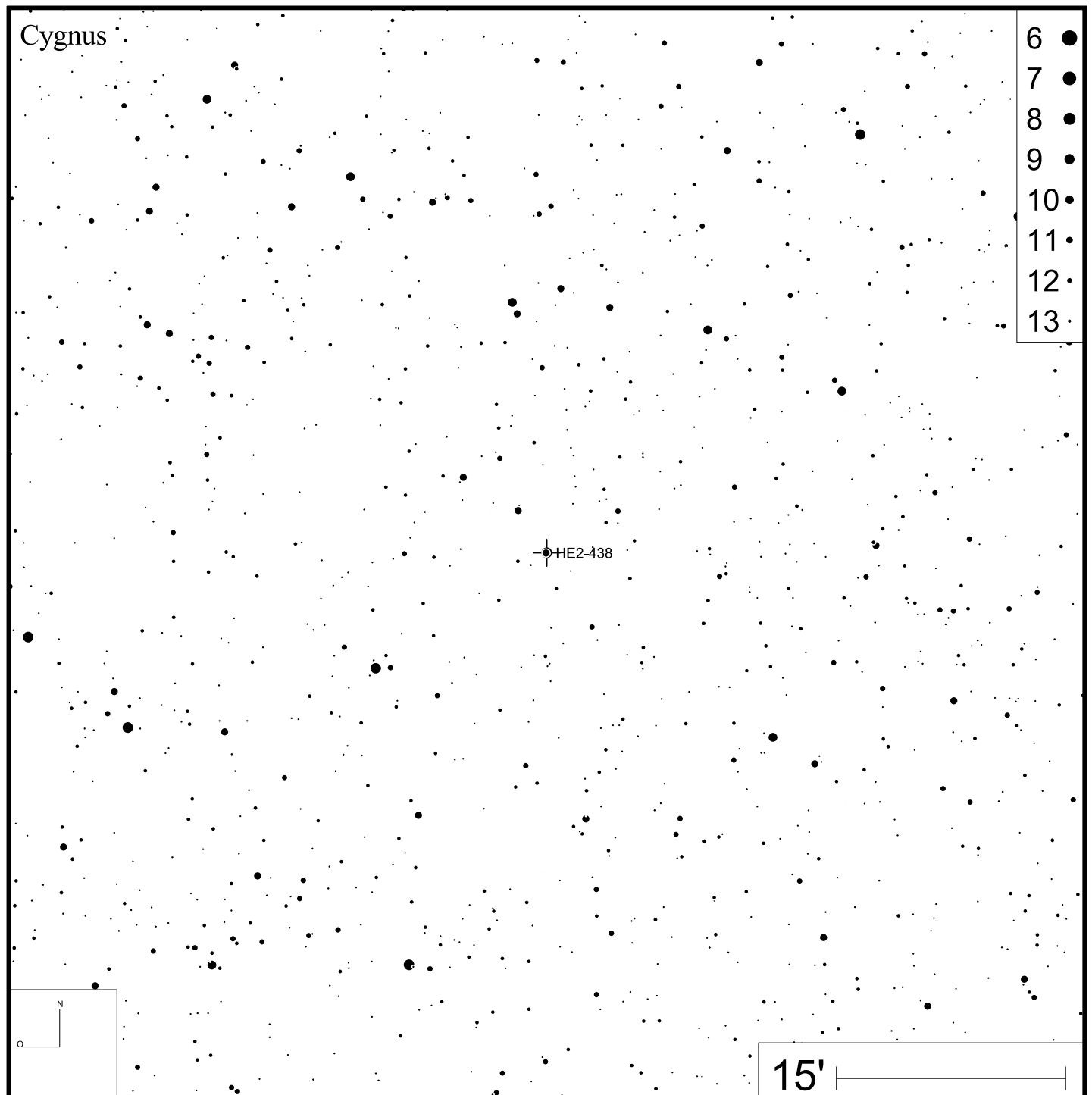
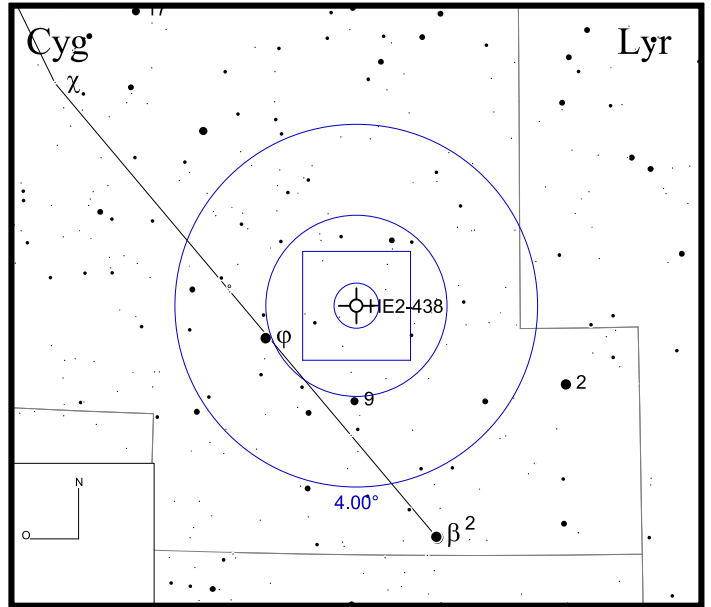


Bild: DSS



He 3-1475

RA 17h45m14s

DEC -17°56'47"

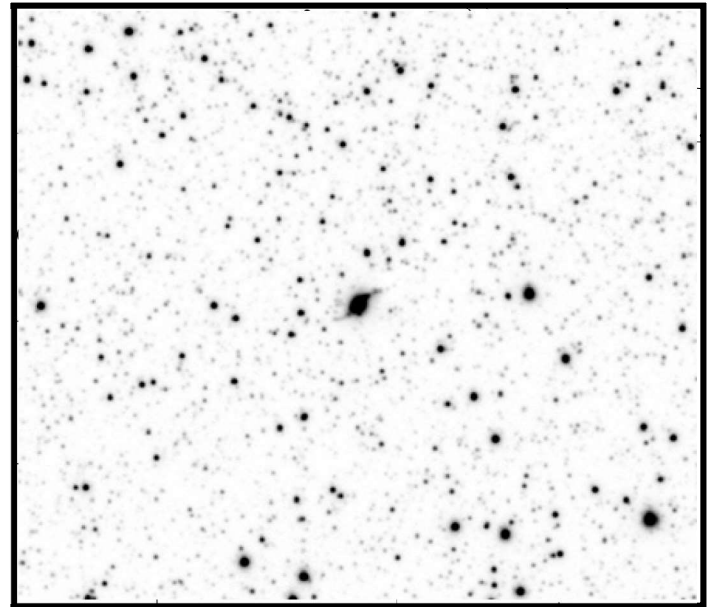
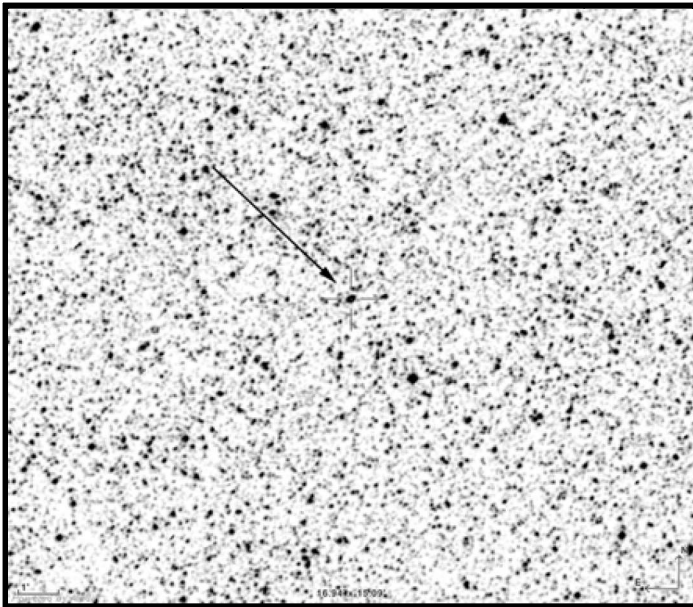
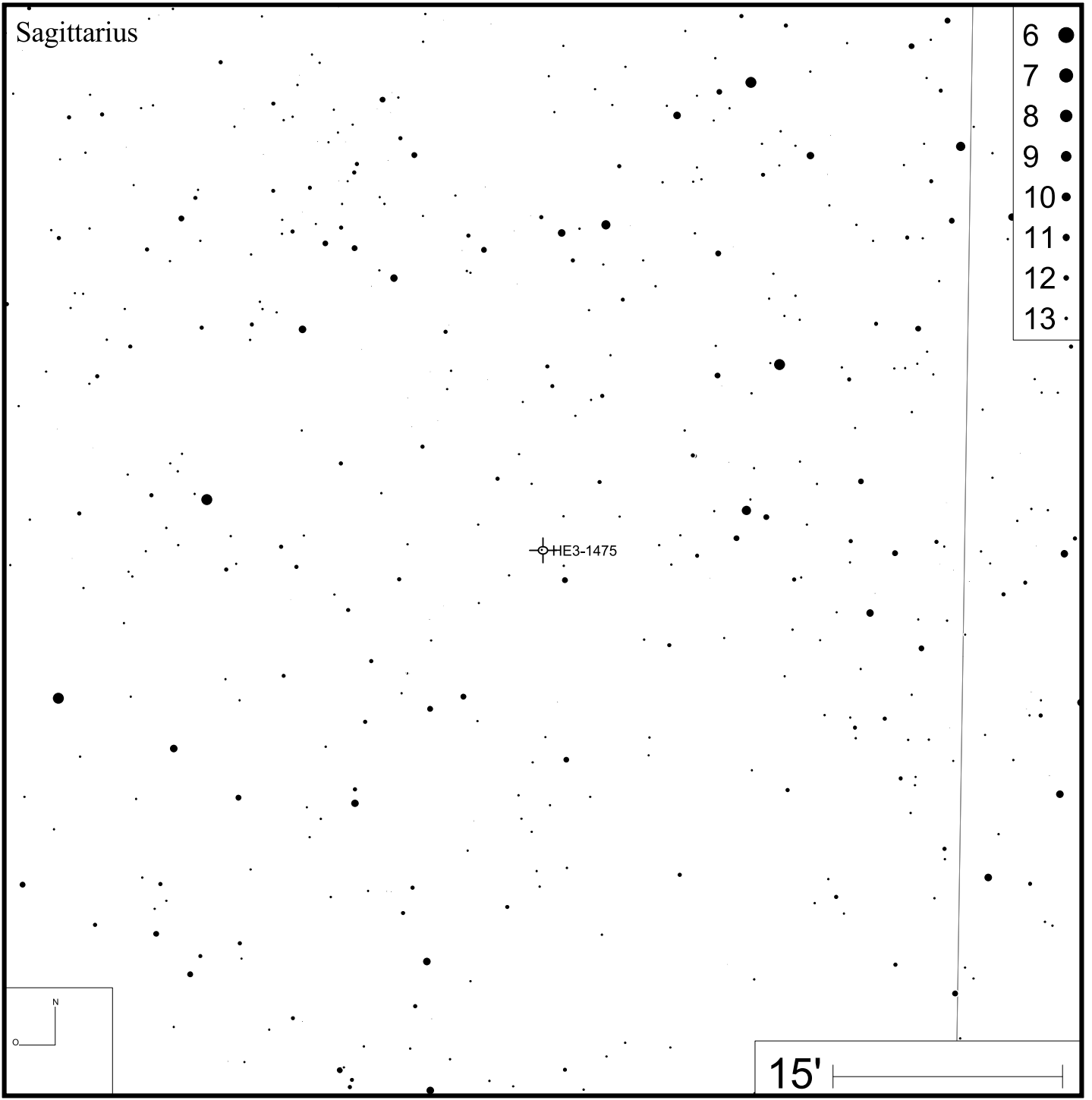


Bild: DSS

Bild: PanSTARRS (green)



HFG 1

RA 03h03m49s DEC +64°53'29"

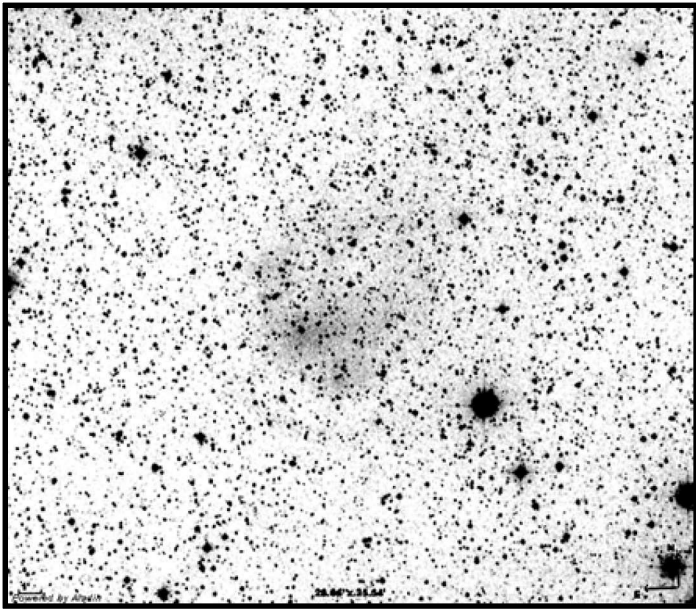
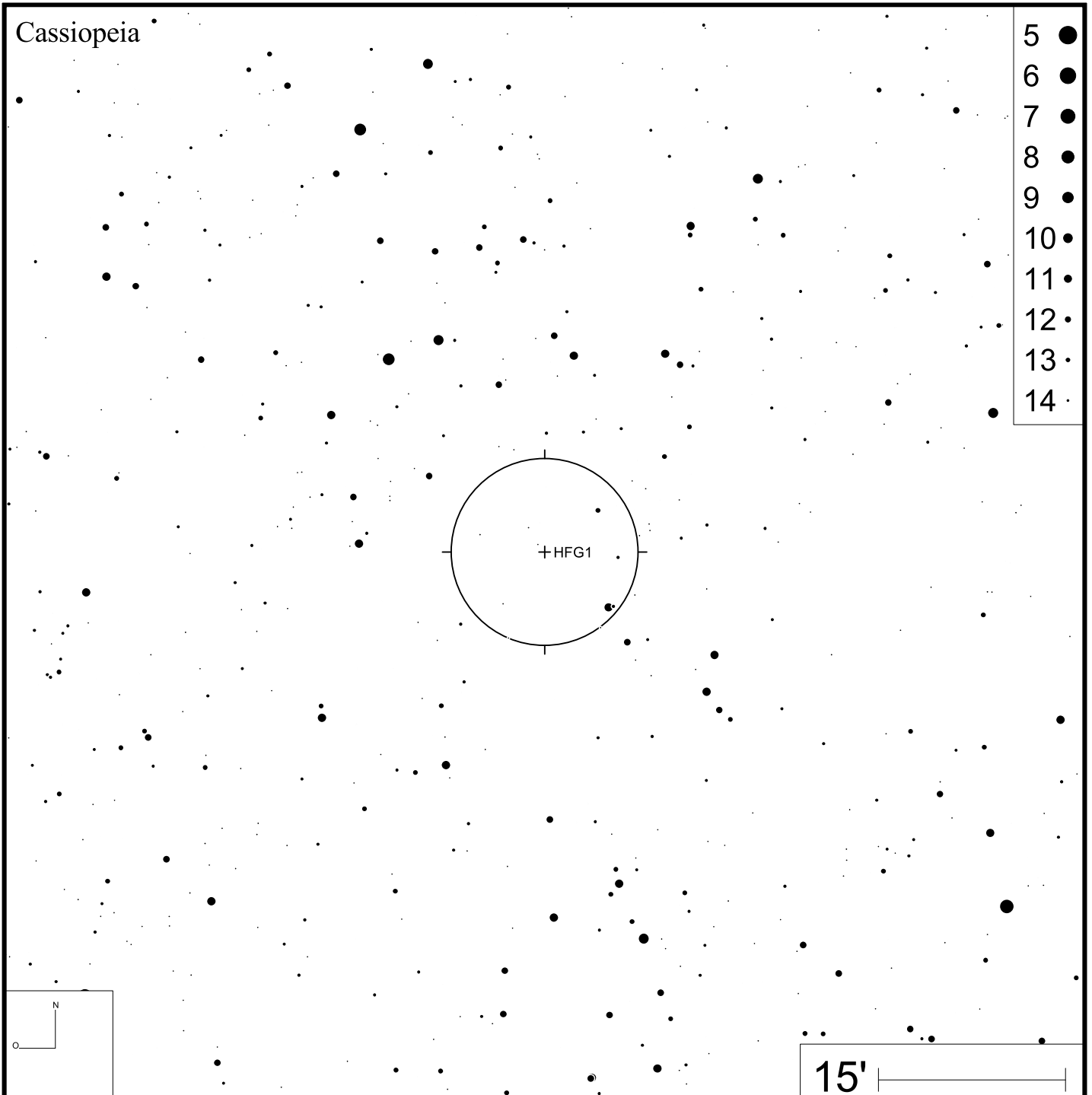
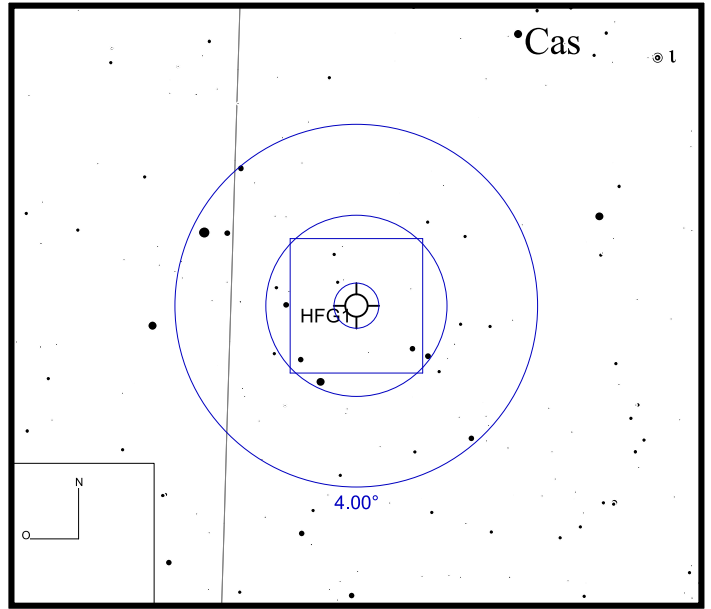


Bild: DSS (extrem kontrastverstärkt)



HOCR 1

RA 06h21m41s

DEC +23°35'13"

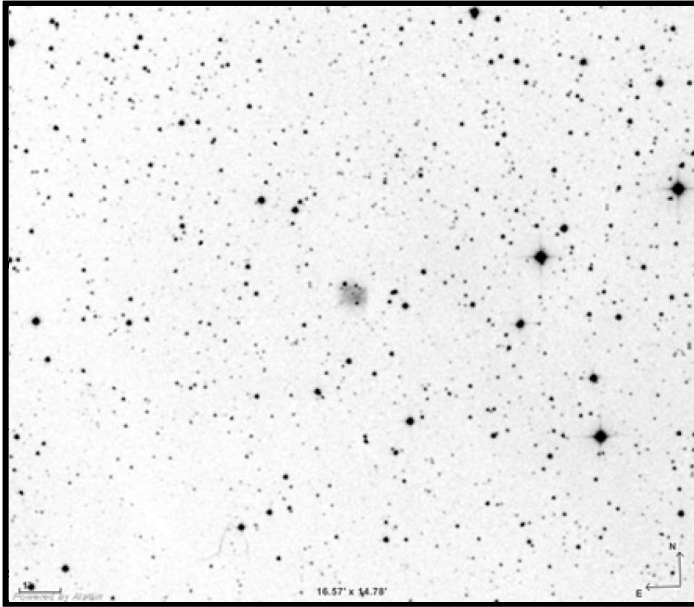
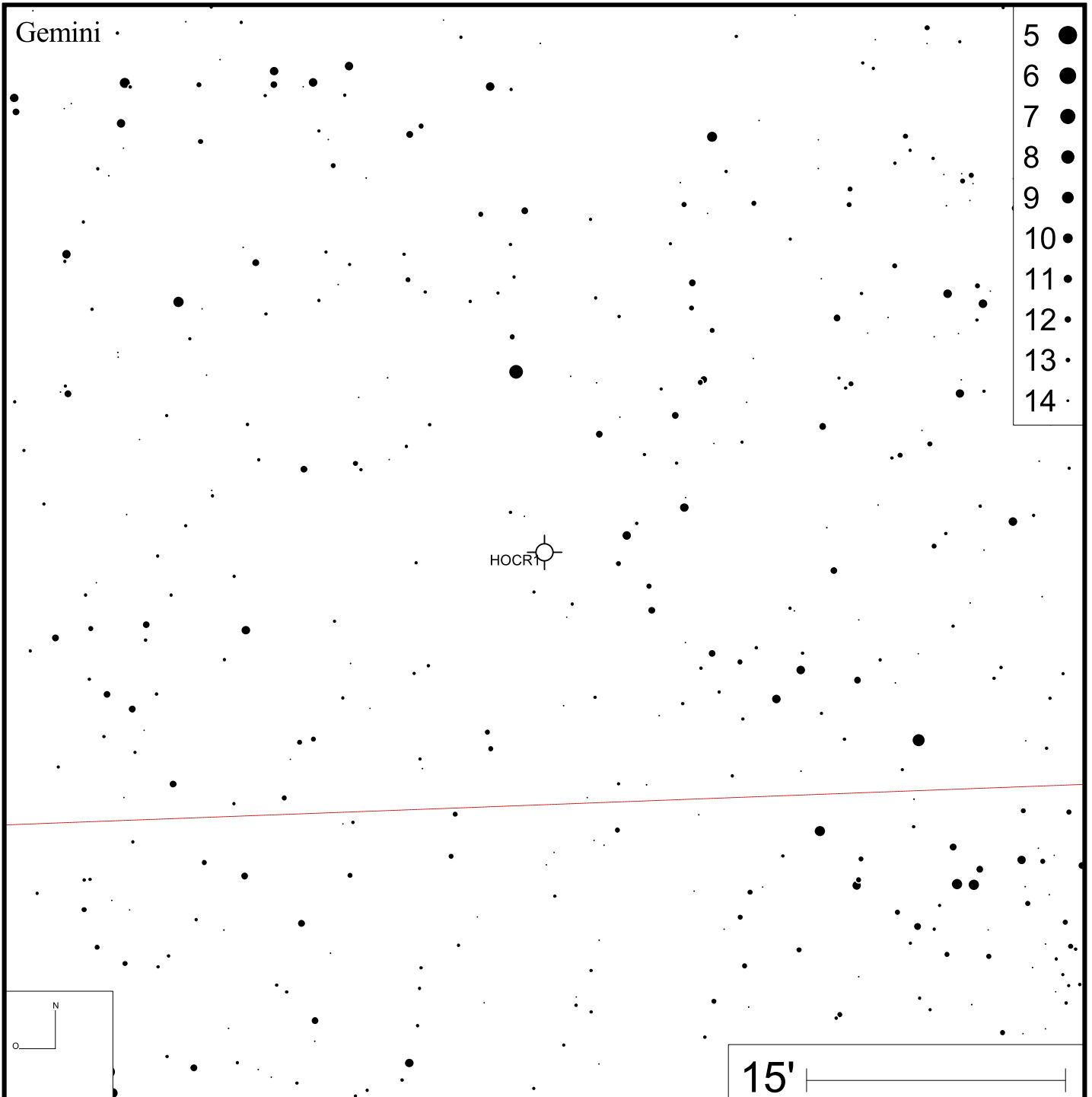
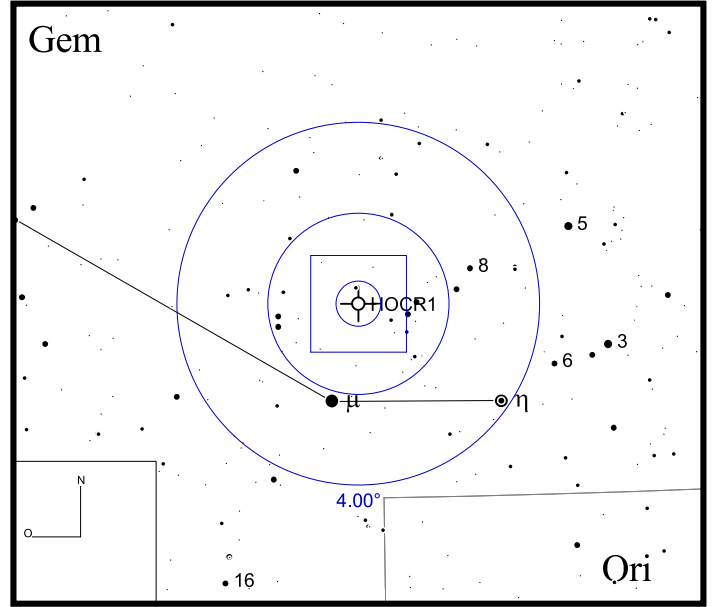


Bild: DSS



Hu 1-1

RA 00h28m16s

DEC +55°57'55"

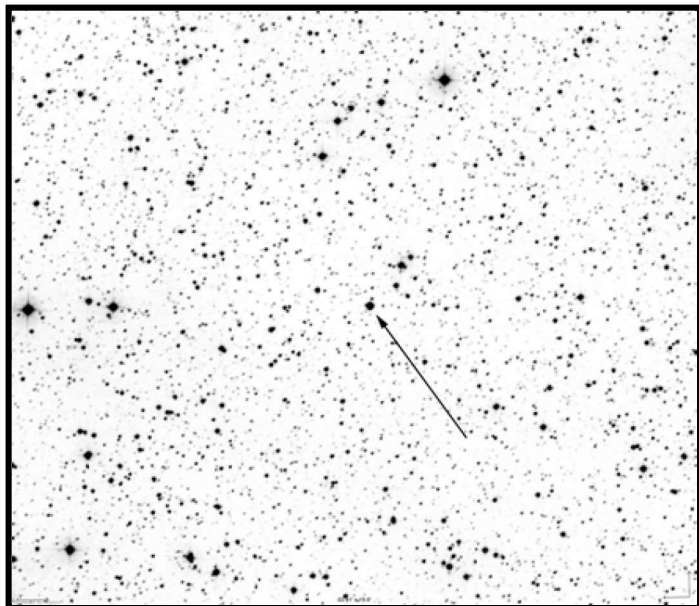
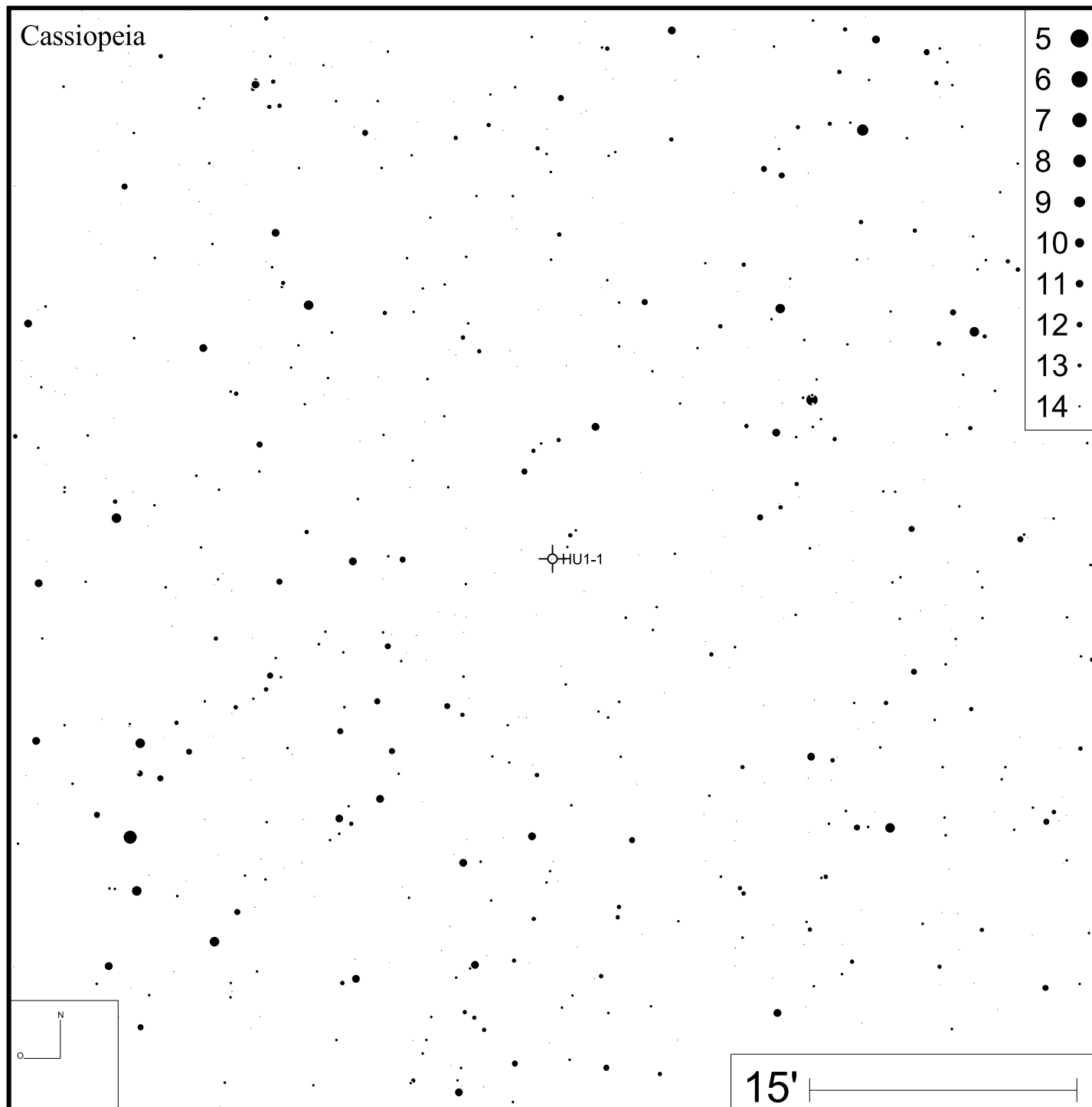
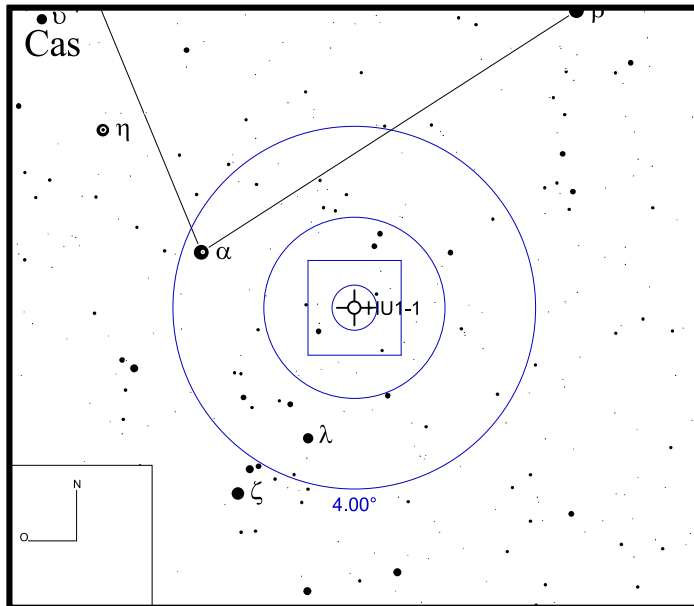


Bild: DSS



Hu 1-2

RA 21h33m08s

DEC +39°38'01"

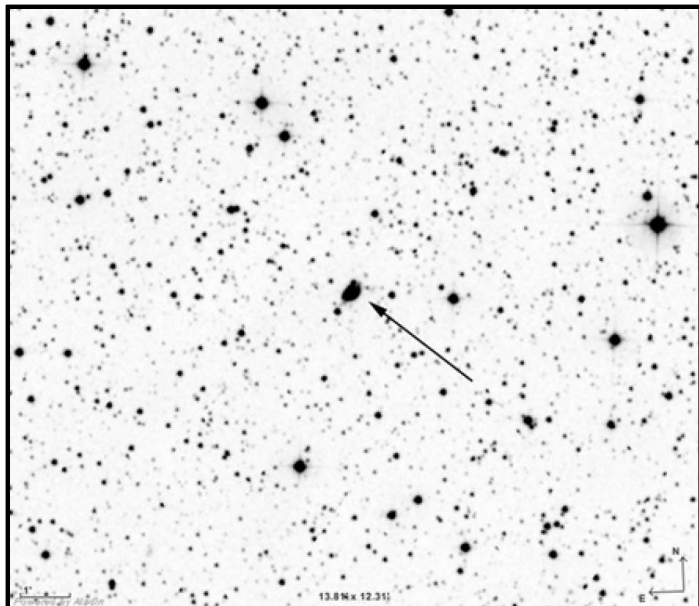


Bild: DSS

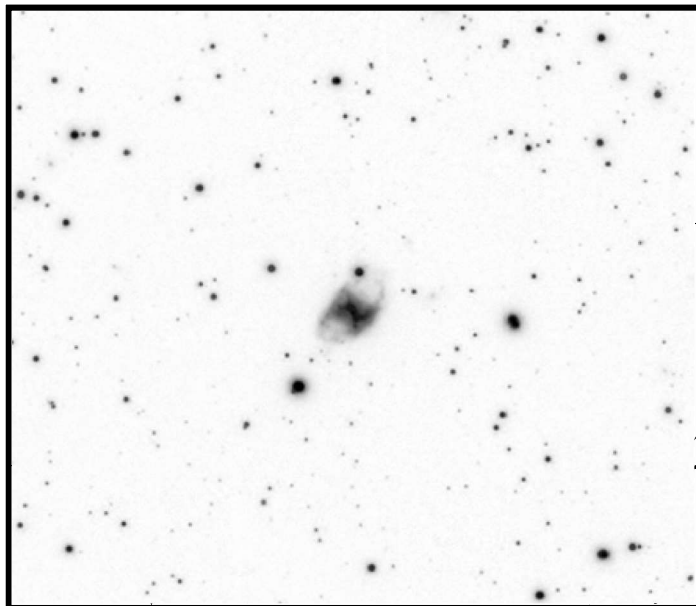
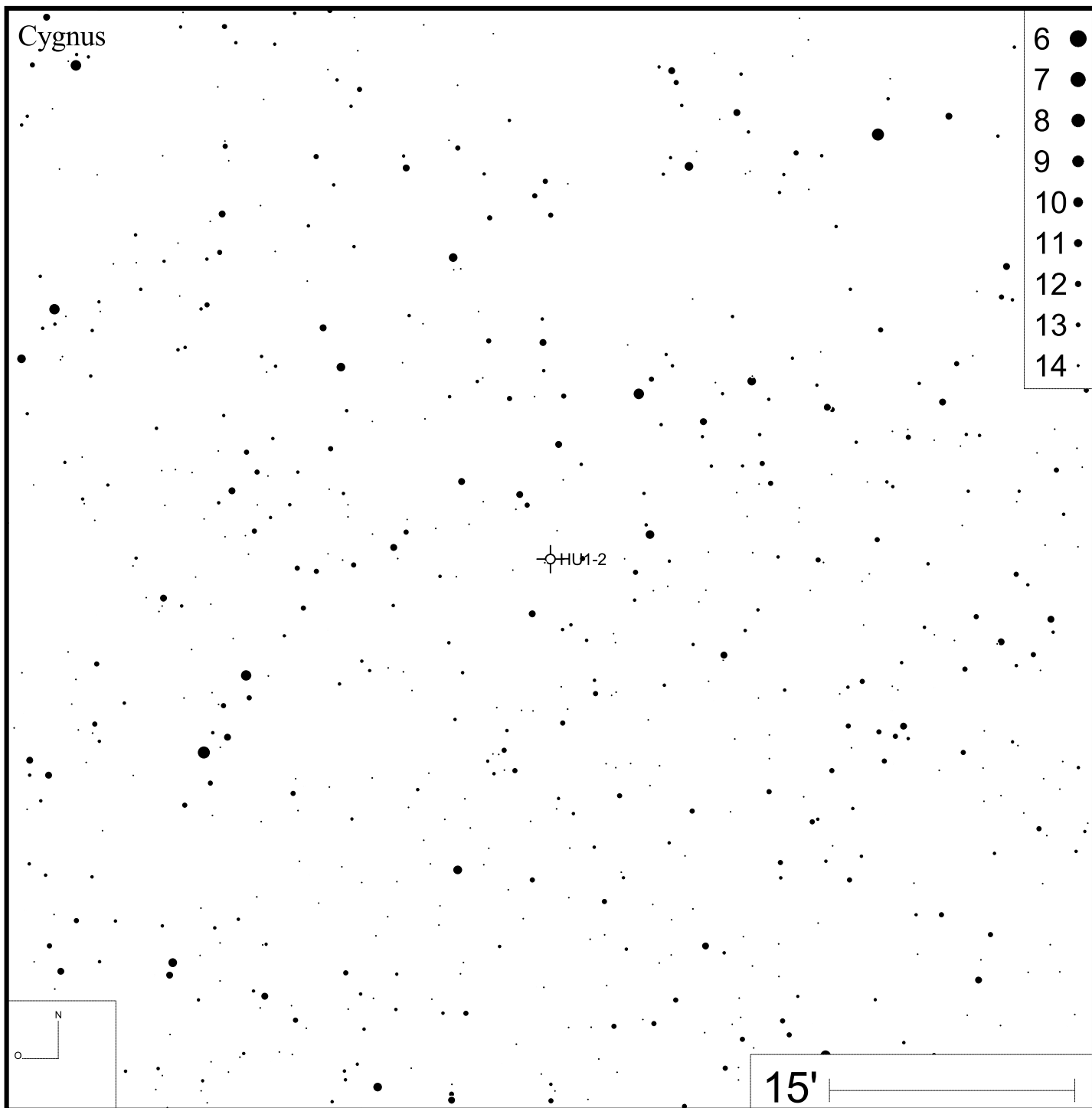


Bild: PanSTARRS



Hu 2-1

RA 18h49m48s

DEC +20°50'39"

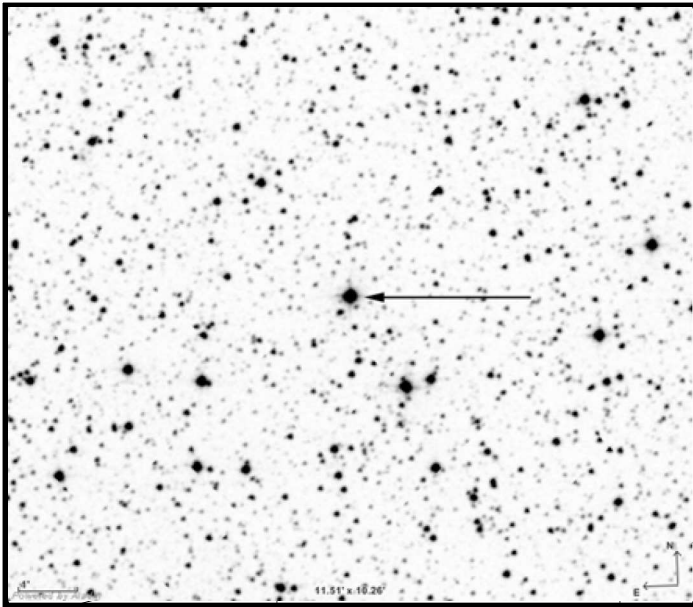
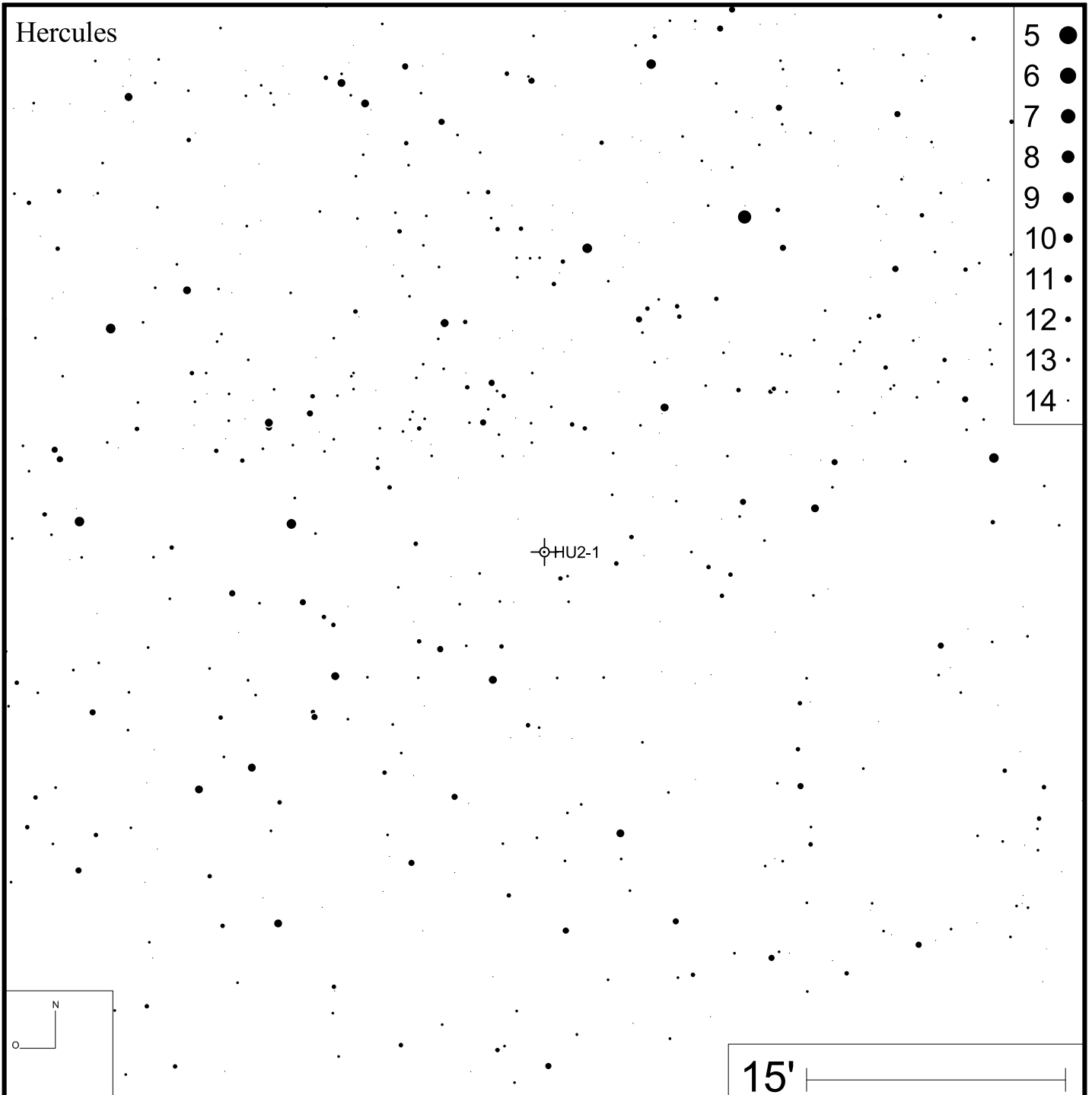
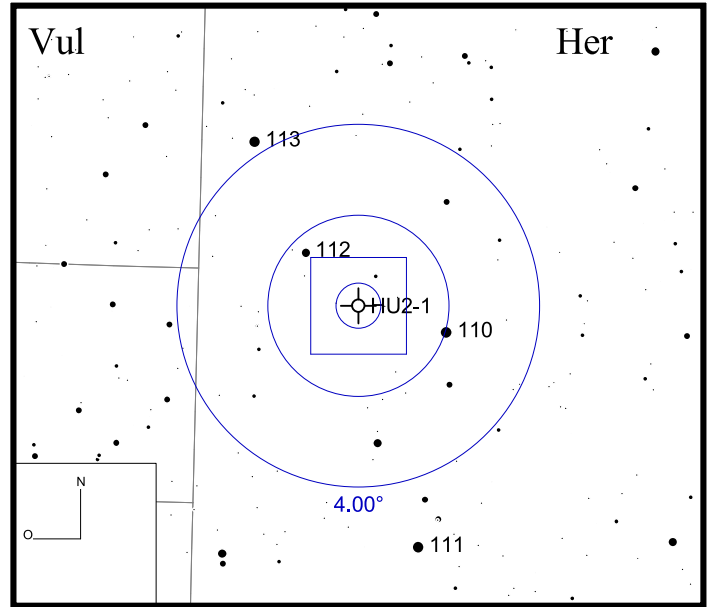


Bild: DSS



IC 289

RA 03h10m19s

DEC +61°19'01"

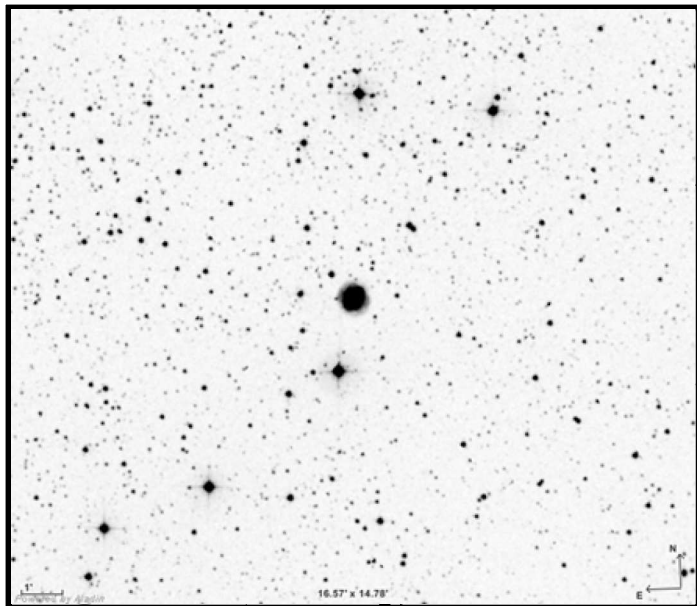


Bild: DSS

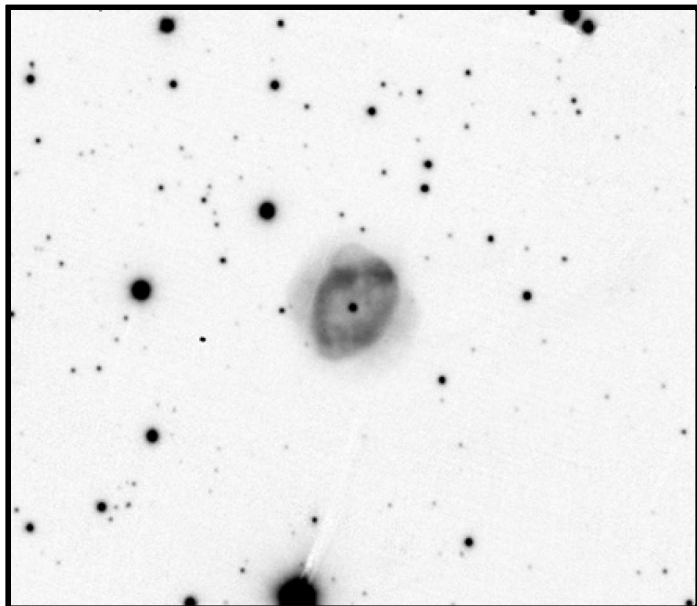
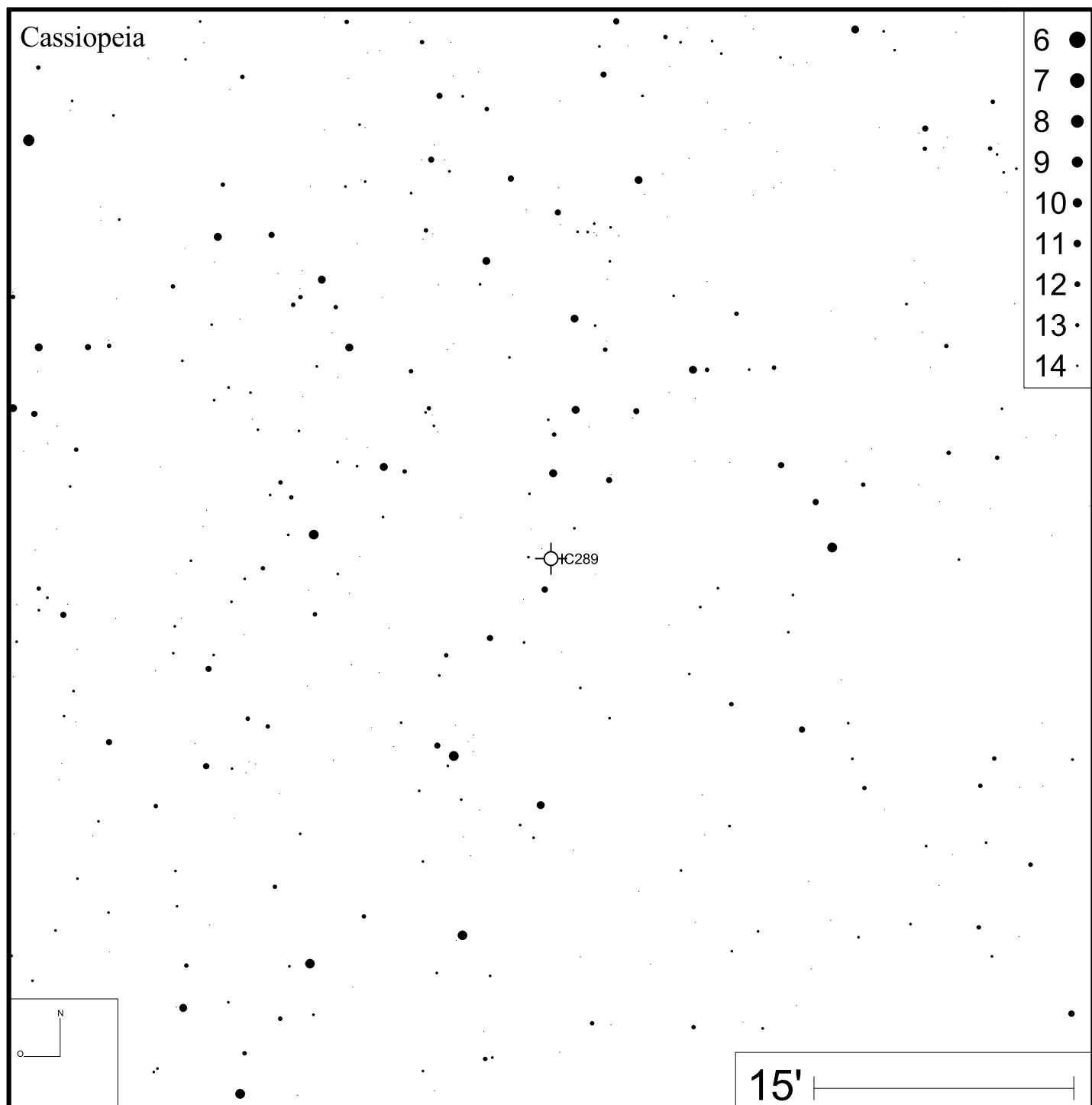


Bild: PanSTARRS (green)



IC 351

RA 03h47m33s

DEC +35°02'49"

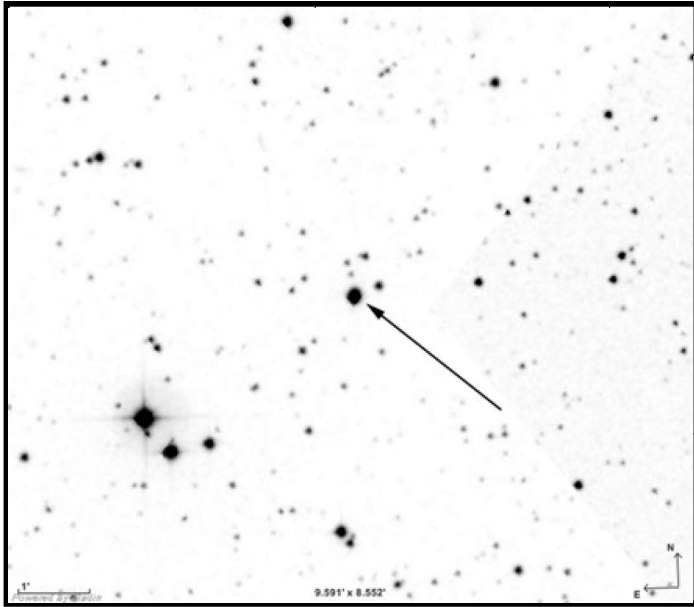
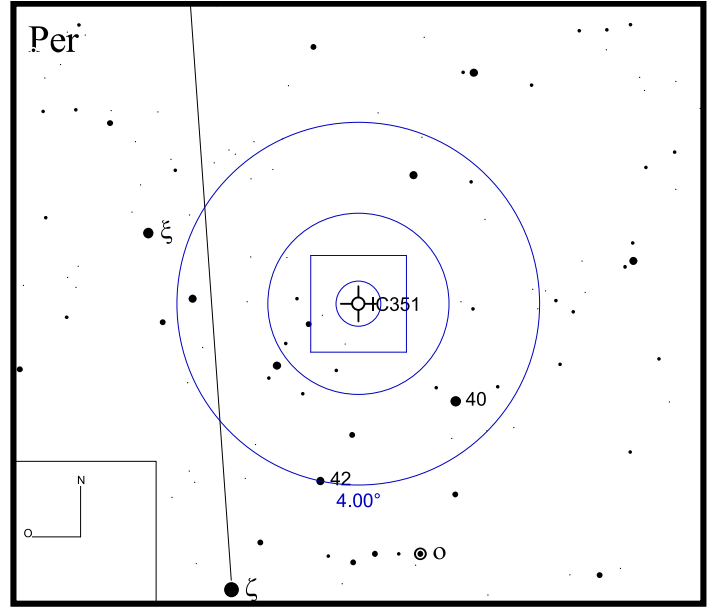
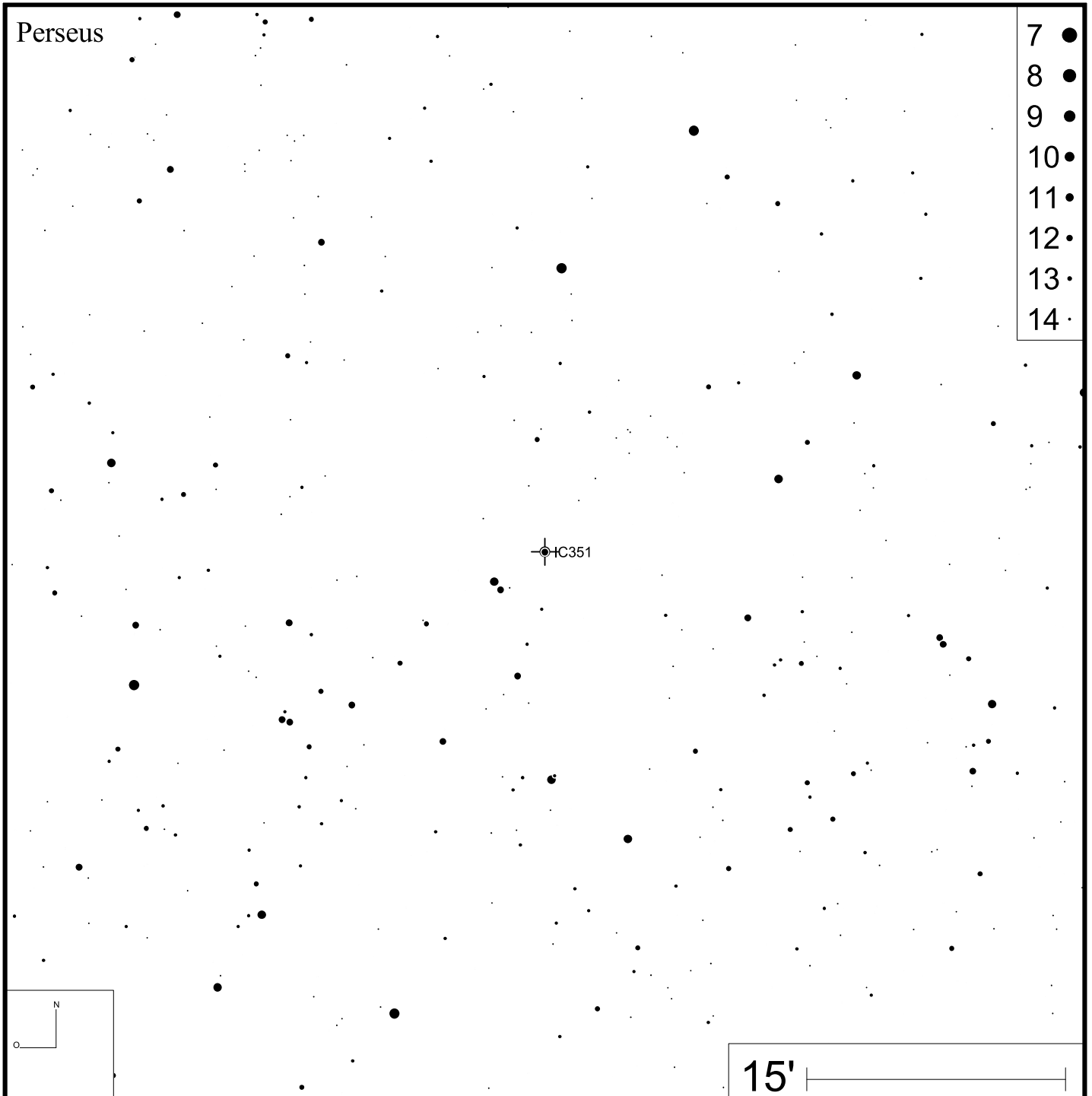


Bild: DSS



Perseus



- 7 ●
- 8 ●
- 9 ●
- 10 ●
- 11 ●
- 12 ●
- 13 ●
- 14 ●

IC 418

RA 05h27m28s

DEC -12°41'50"

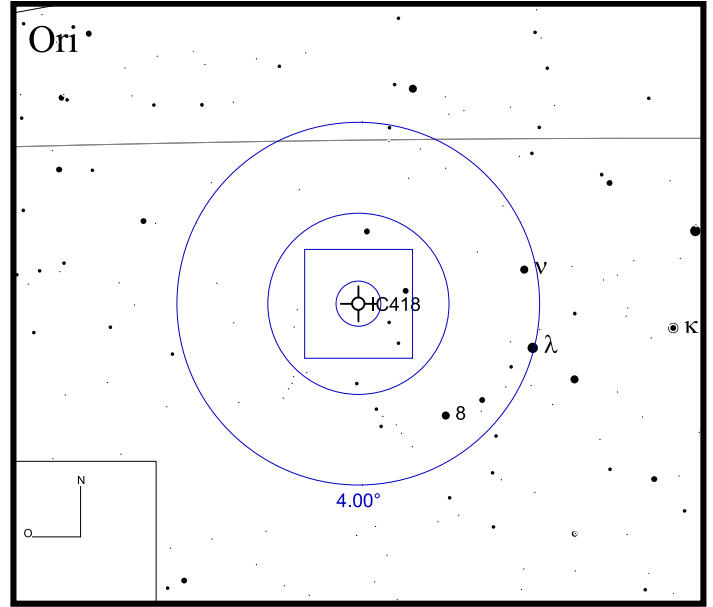
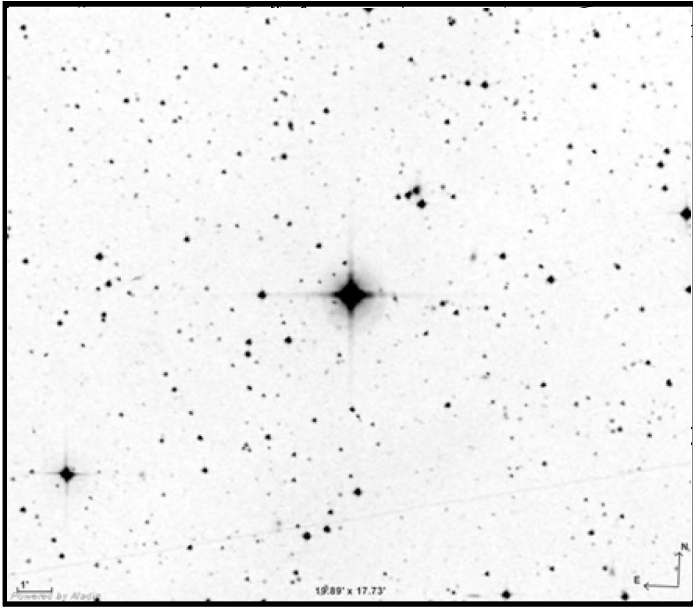
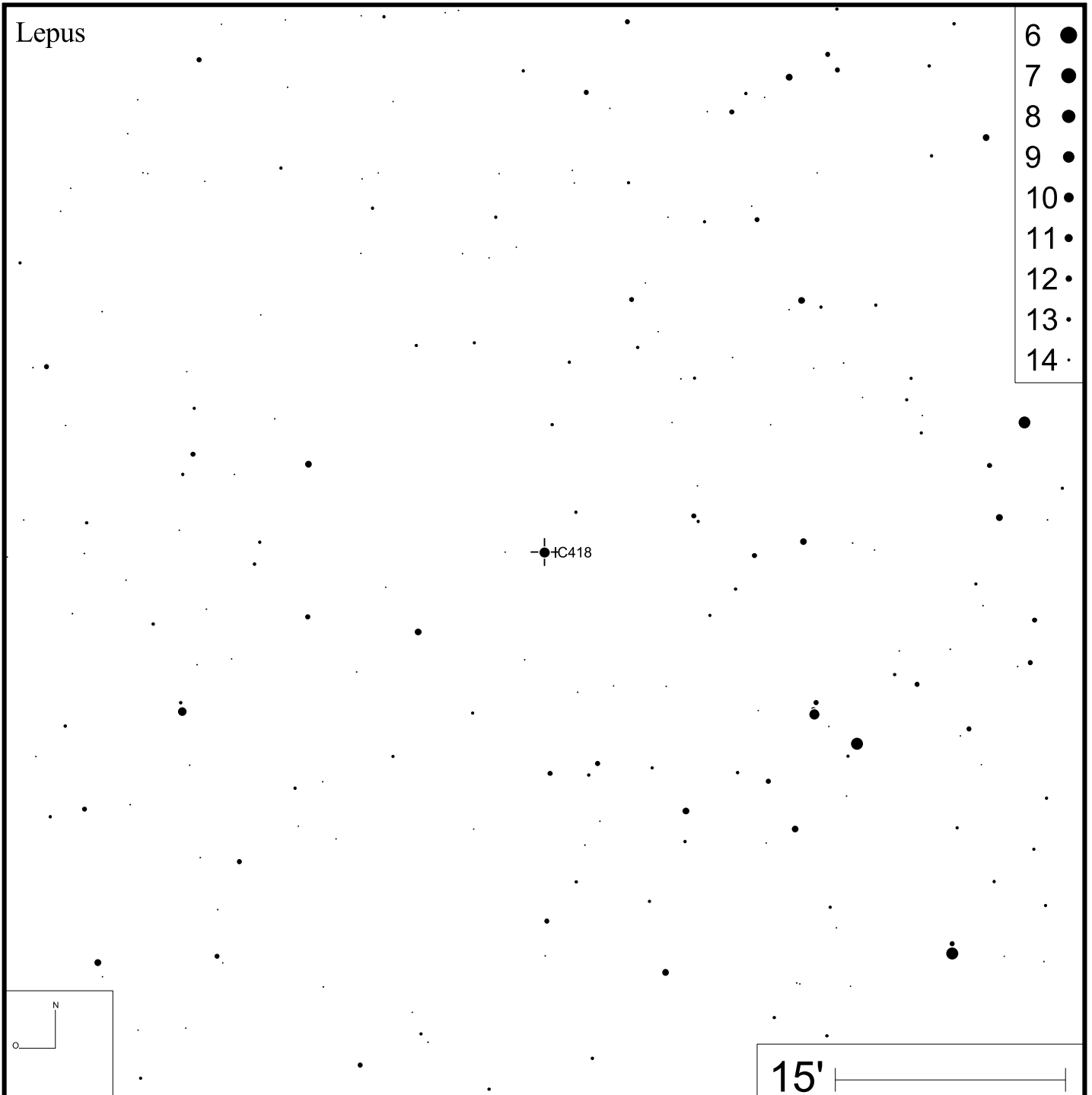


Bild: DSS



IC 1295

RA 18h54m37s

DEC -08°49'39"

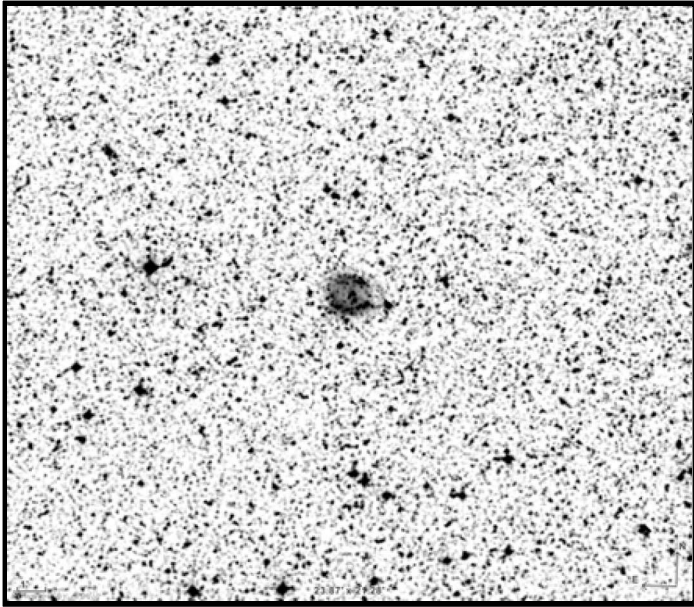
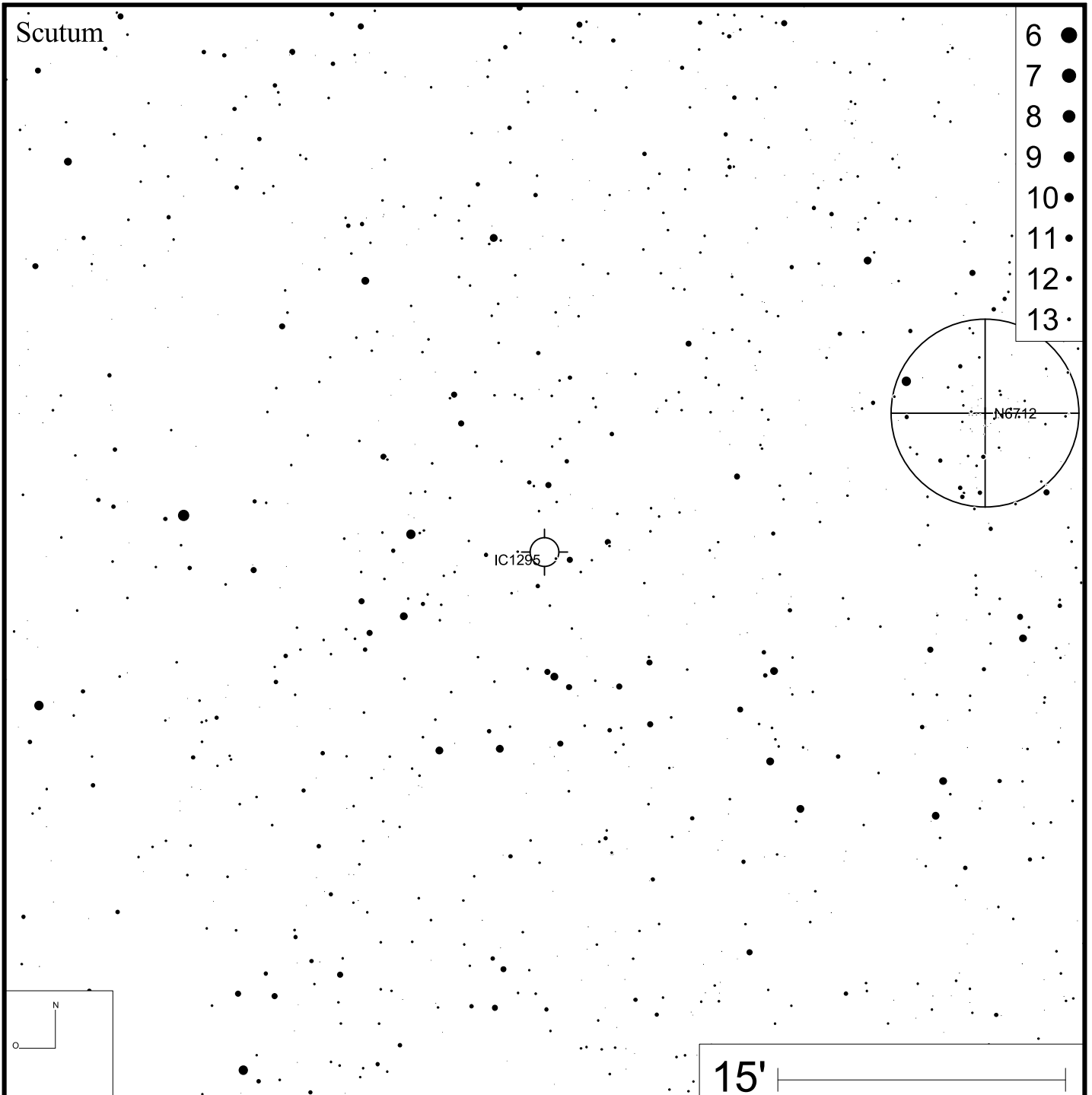
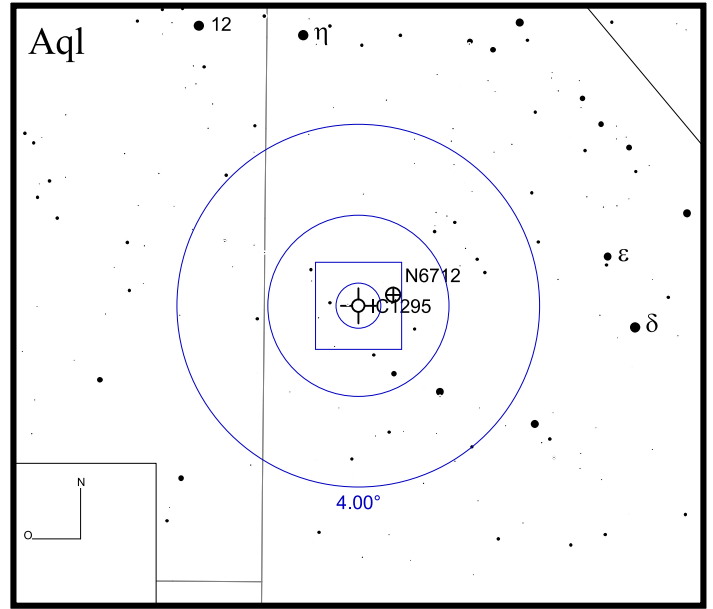


Bild: DSS



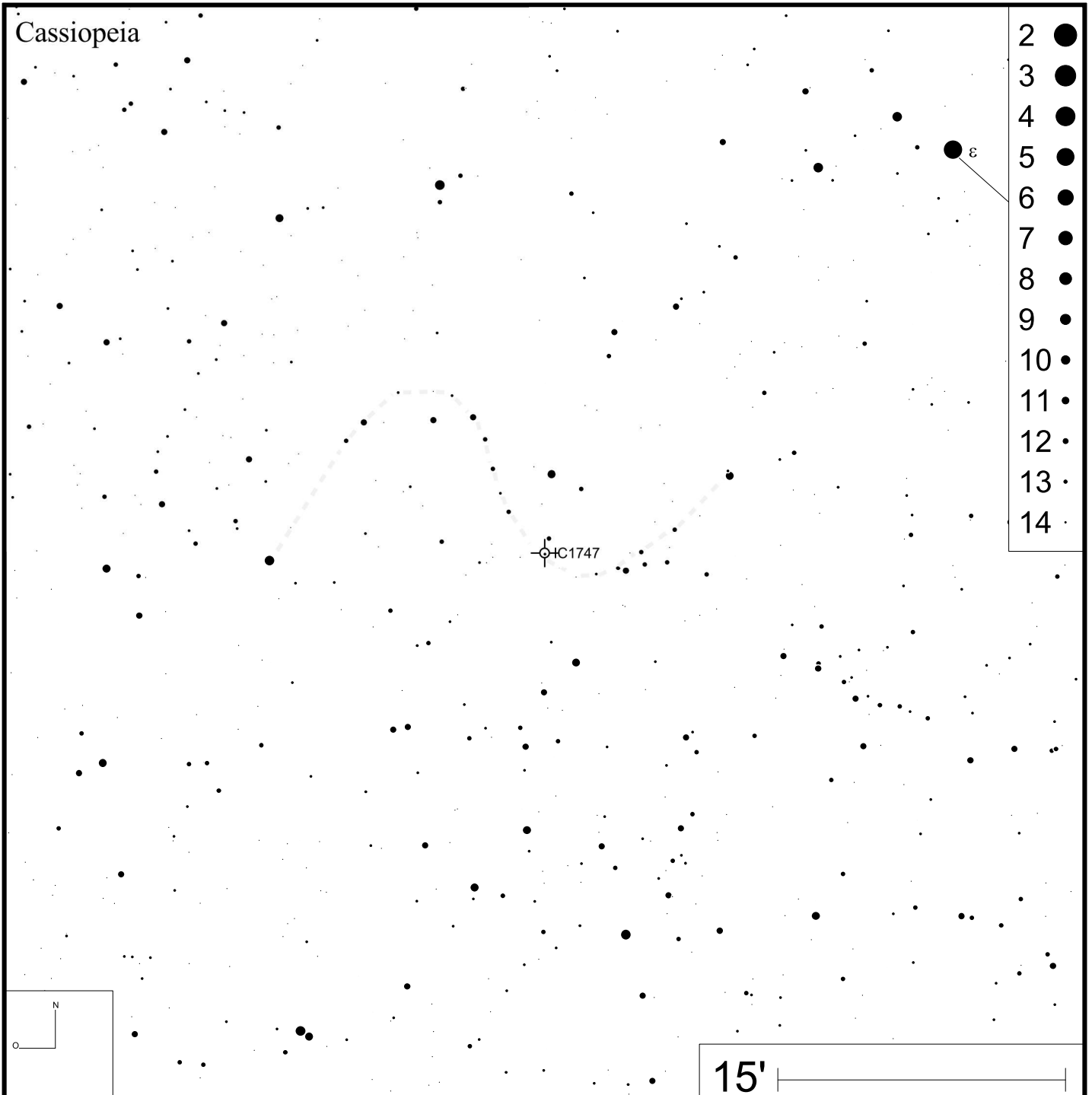
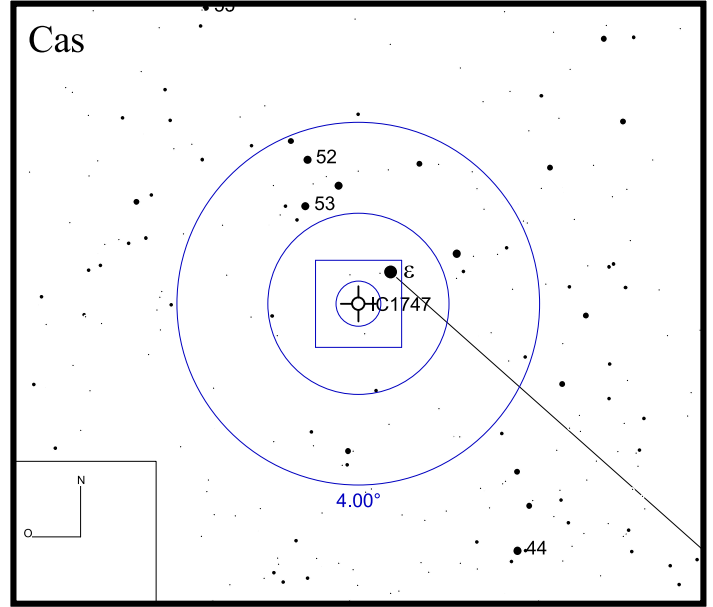
IC 1747

RA 01h57m36s

DEC +63°19'18"



Bild: DSS



IC 2003

RA 03h56m22s

DEC +33°52'29"

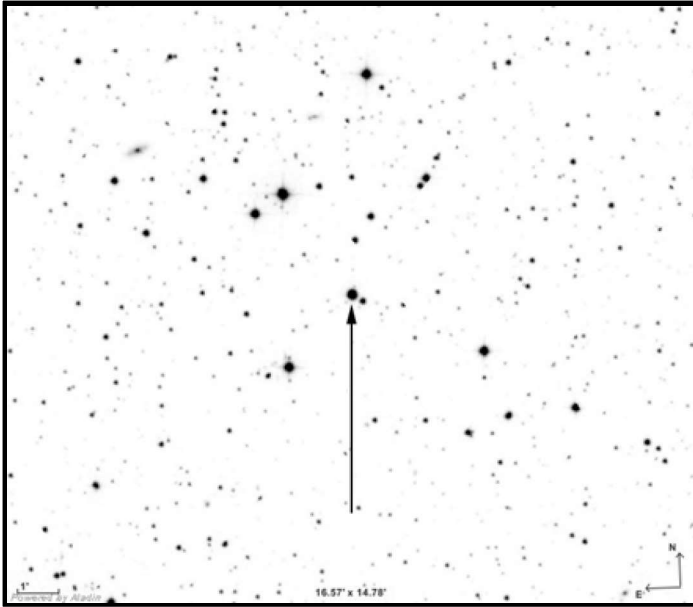
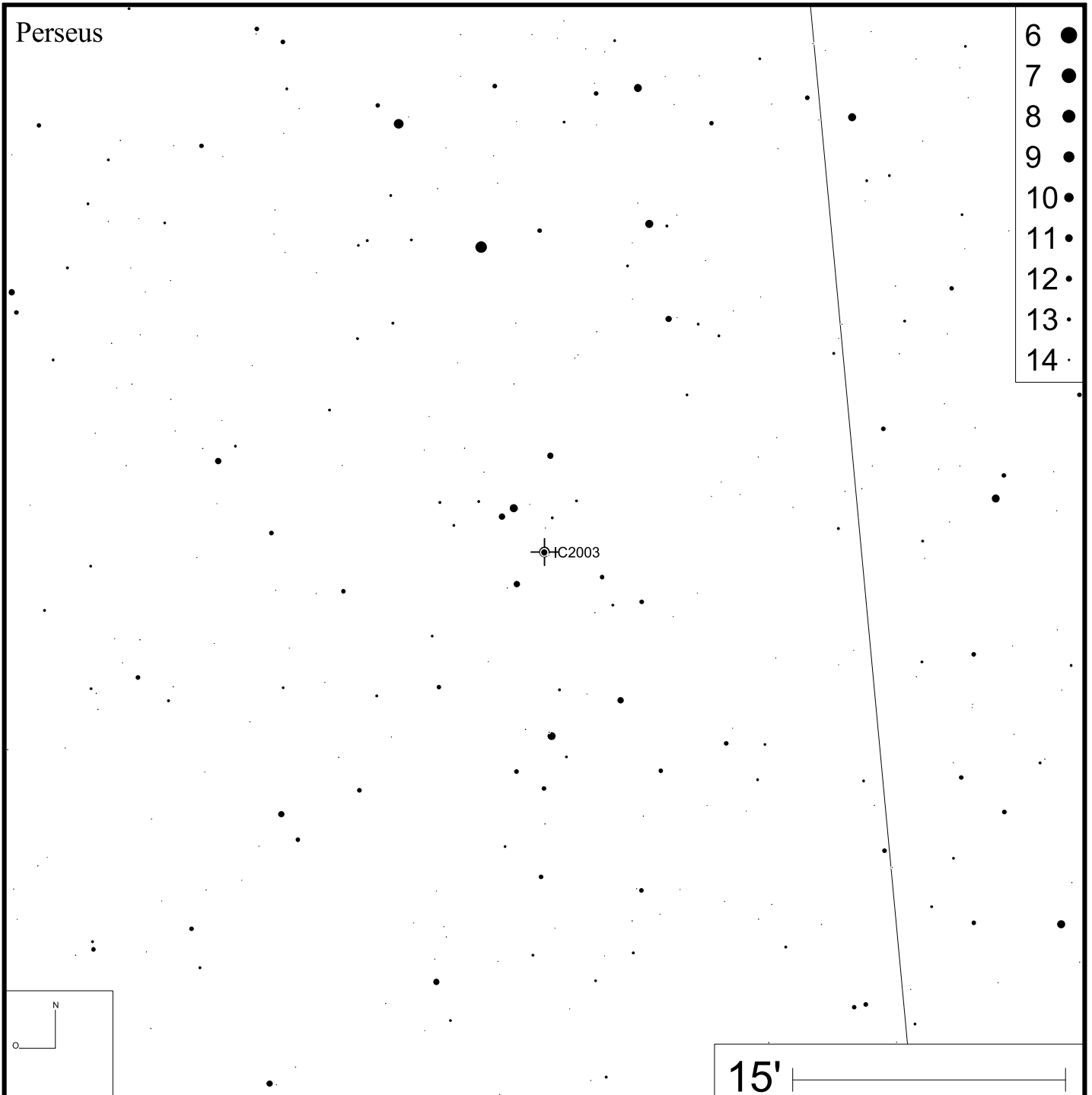
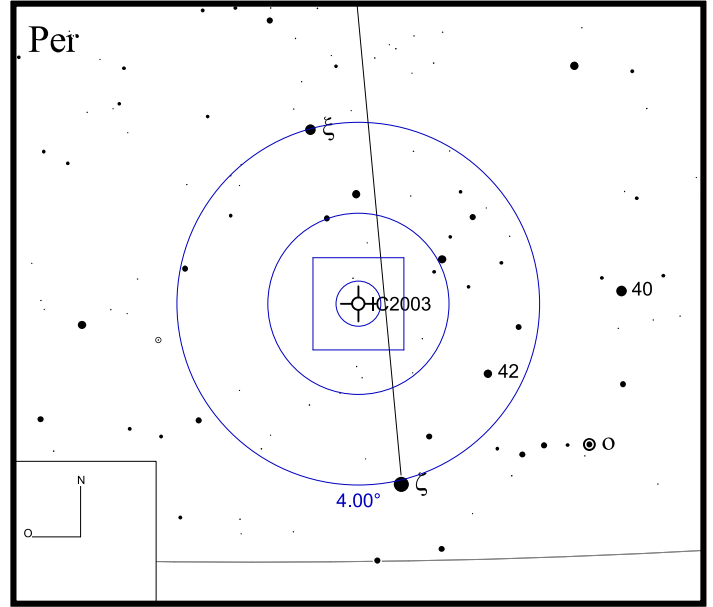


Bild: DSS



IC 2149

RA 05h56m24s

DEC +46°06'17"

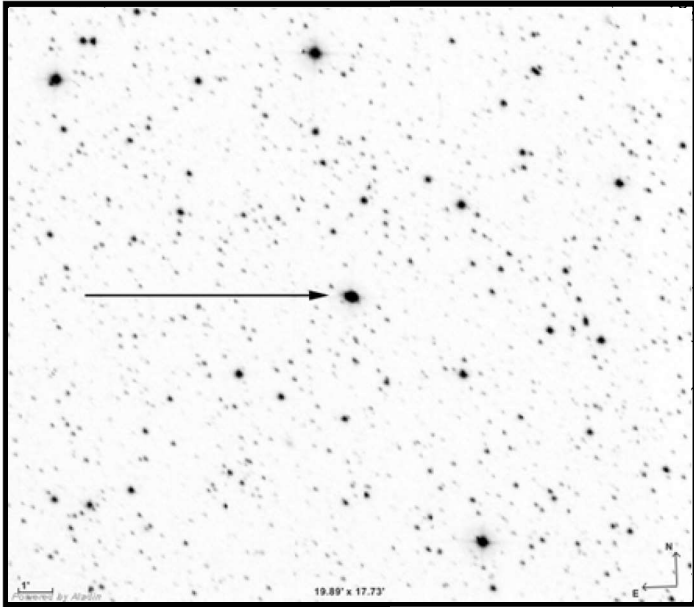
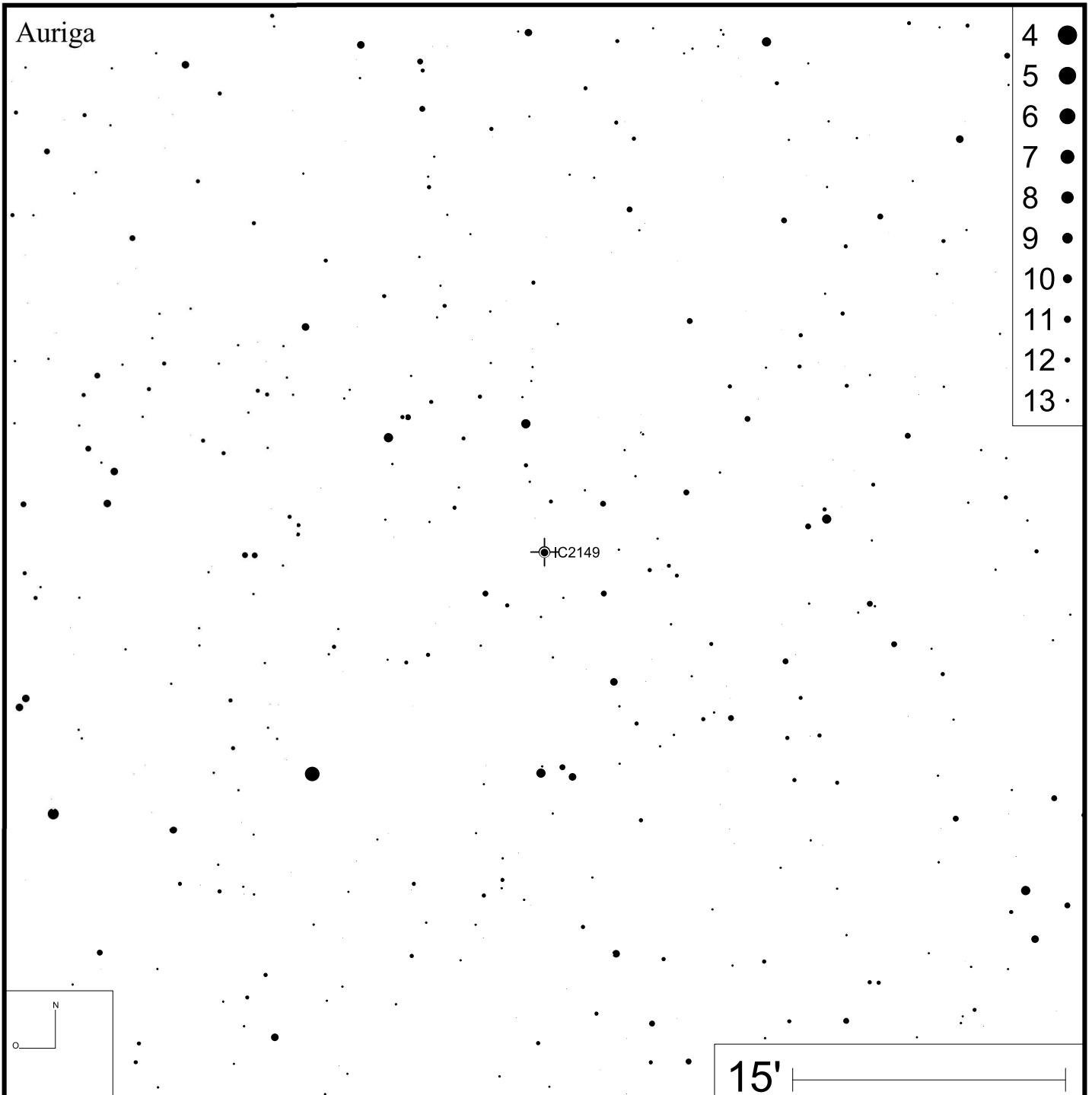
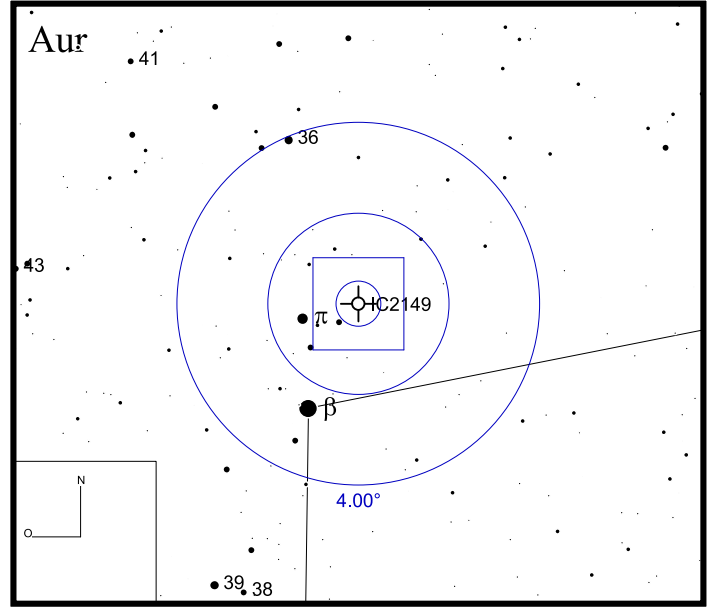


Bild: DSS



IC 3568

RA 12h33m07s

DEC +82°33'49"

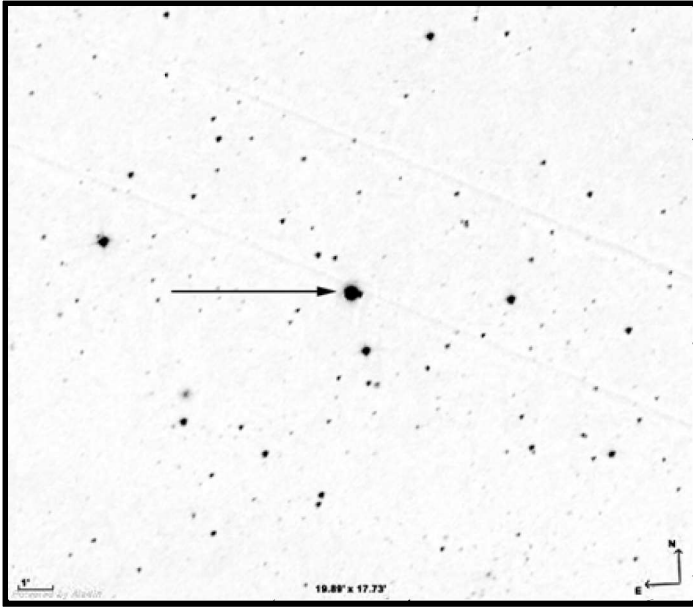
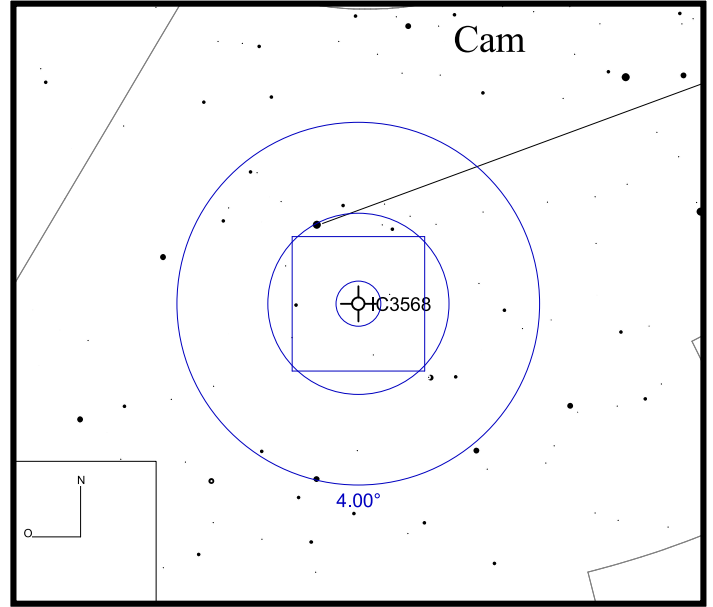
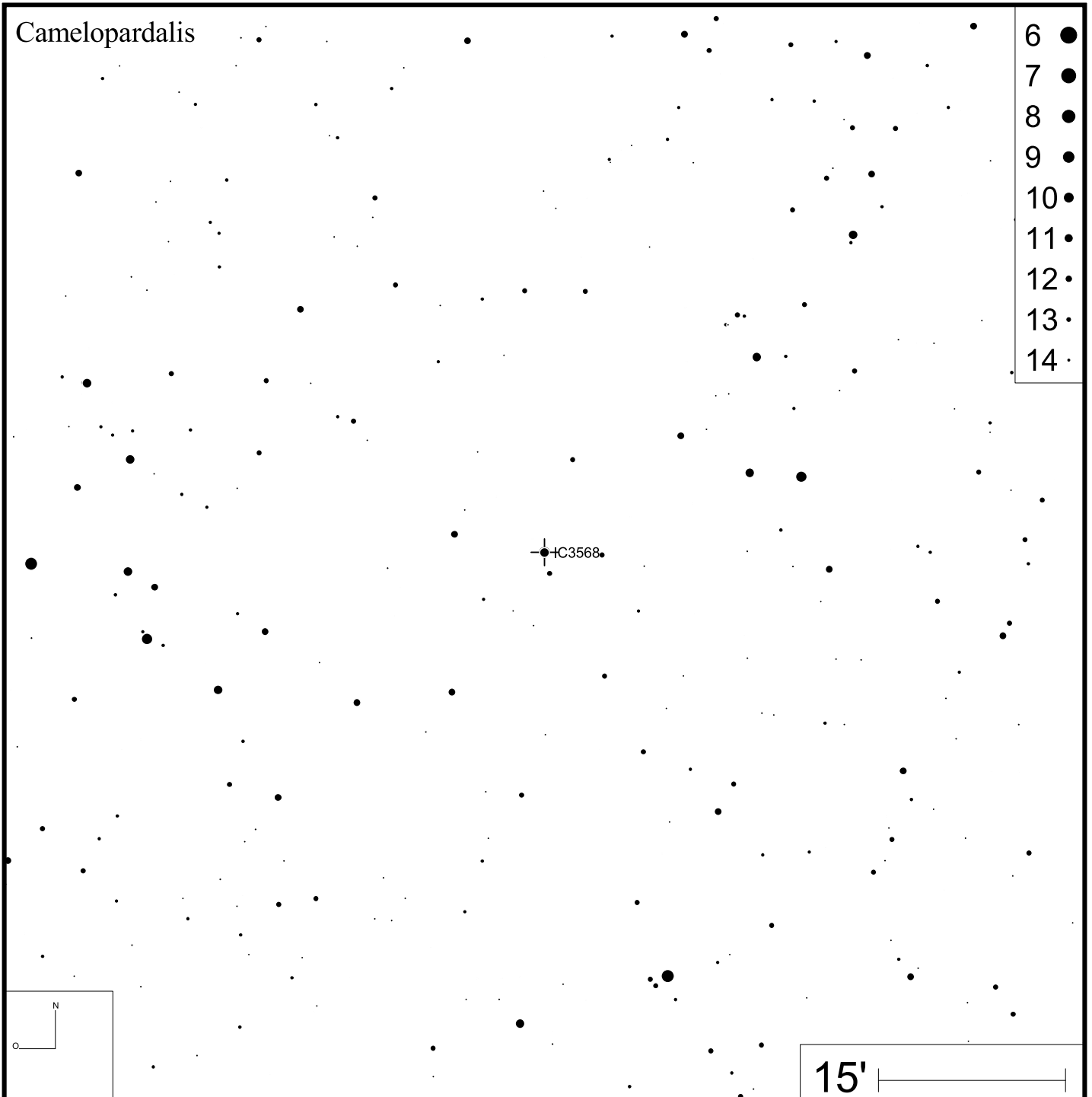


Bild: DSS



Camelopardalis



IC 4593

RA 16h11m45s

DEC +12°04'17"

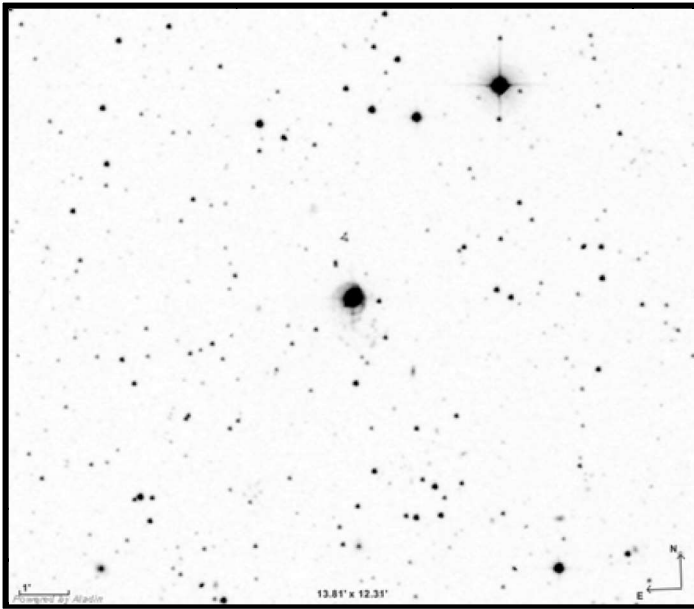
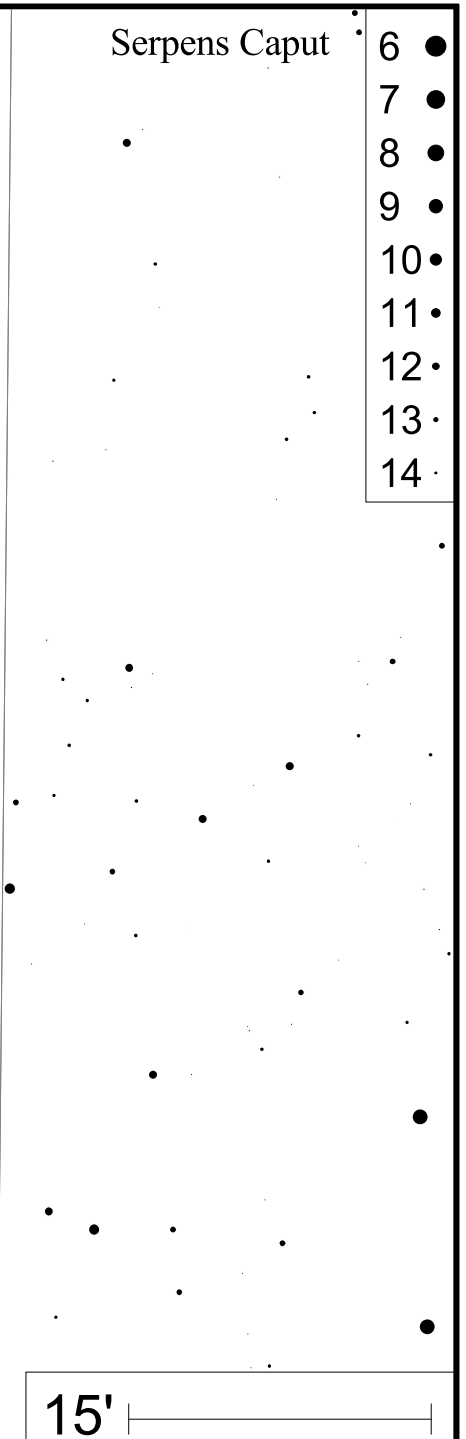
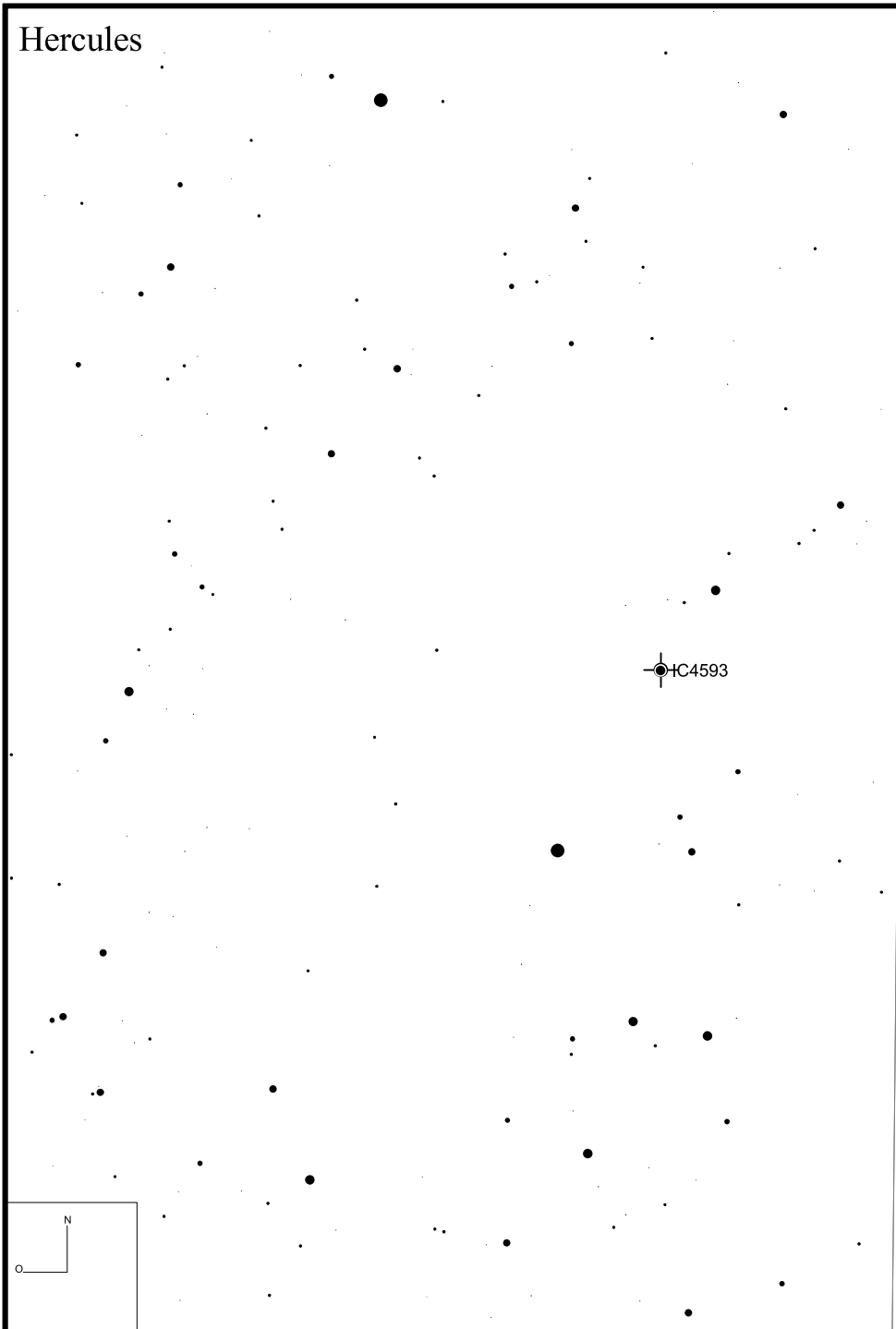
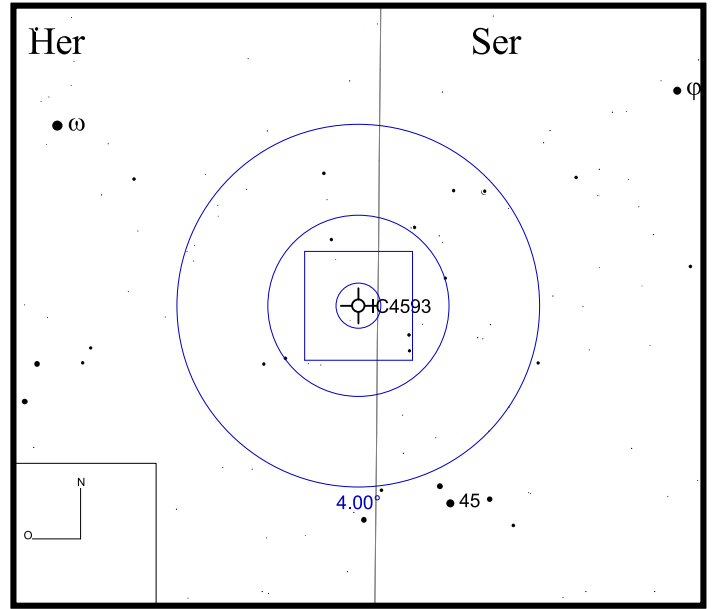


Bild: DSS



15'

IC 4634

RA 17h01m34s

DEC -21°49'33"

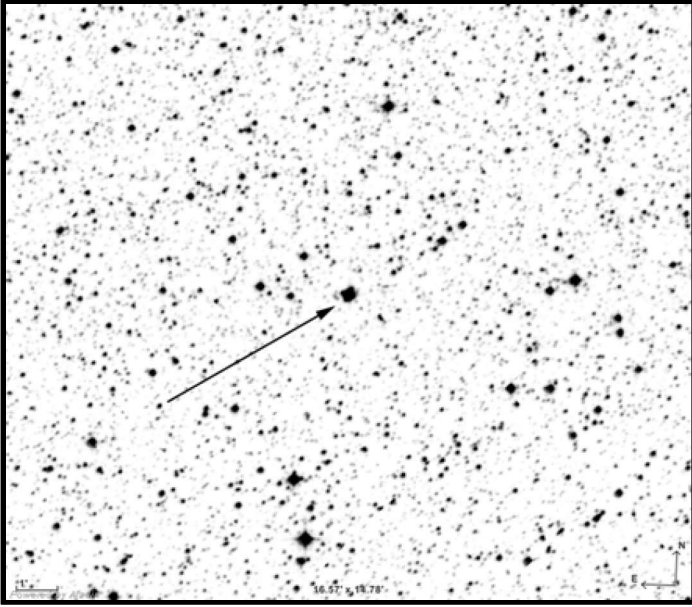
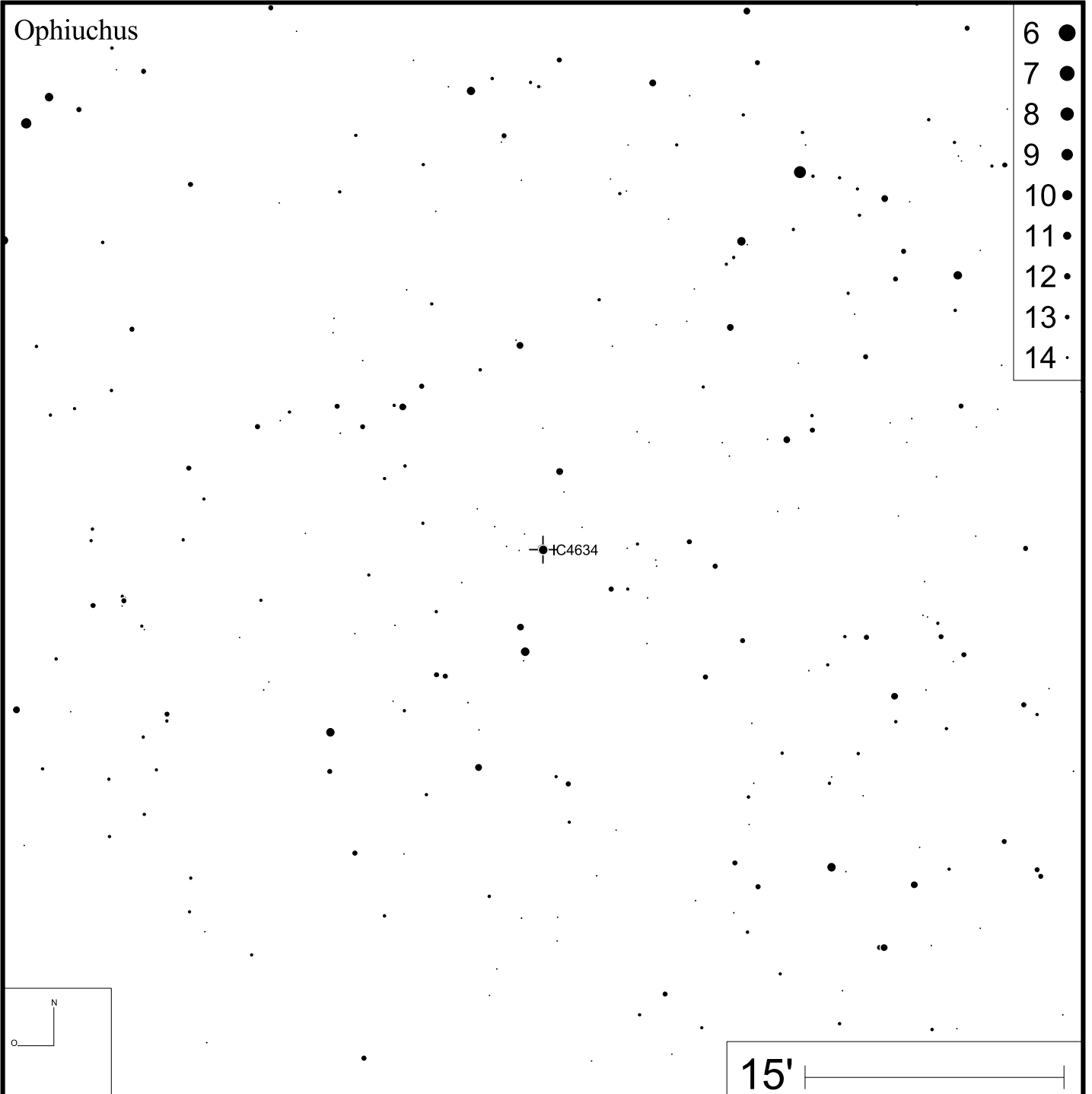
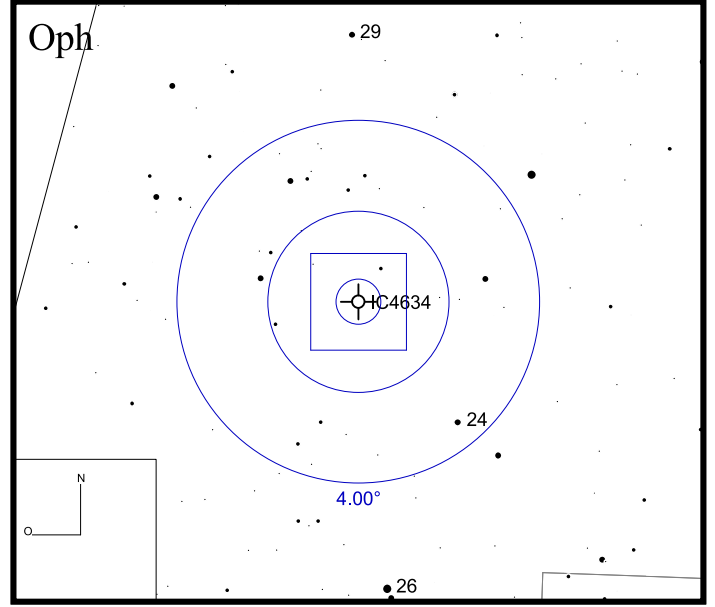


Bild: DSS



IC 4732

RA 18h33m55s

DEC -22°38'41"

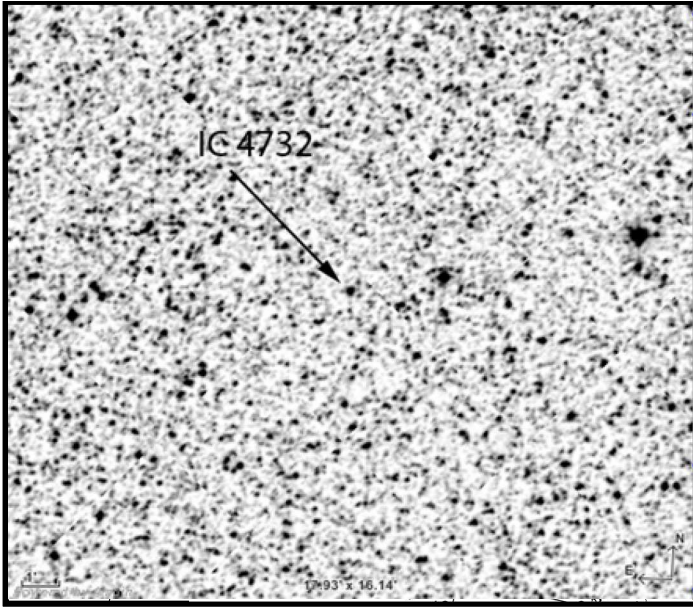


Bild: DSS

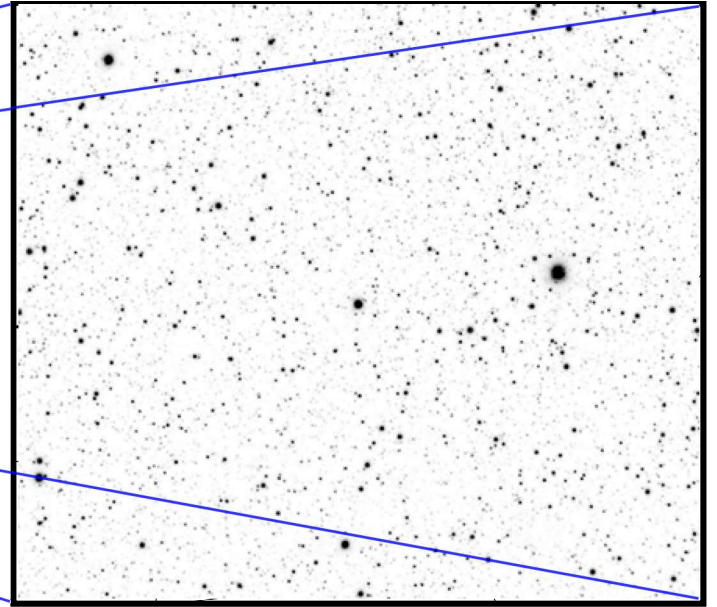
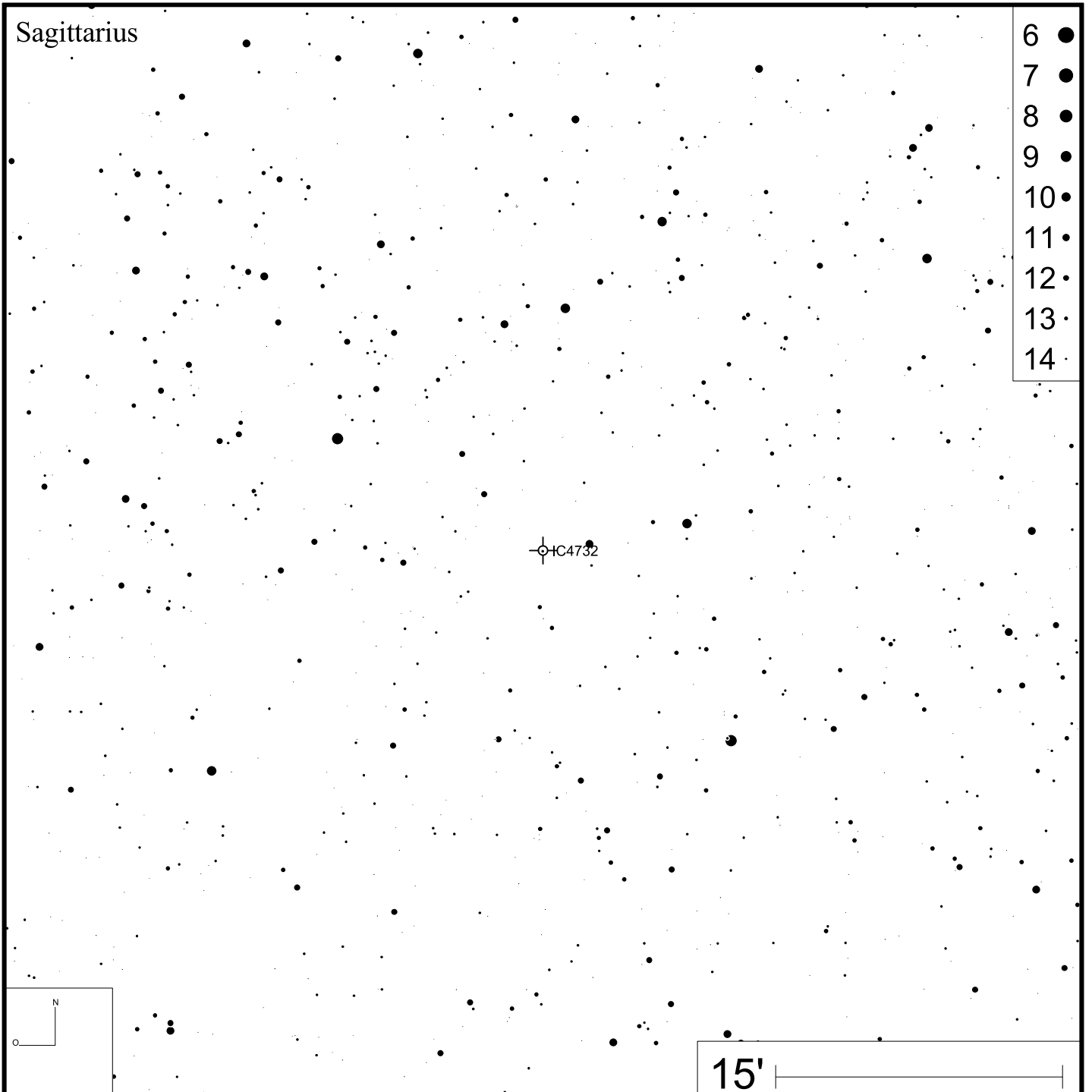


Bild: PanSTARRS



Sagittarius

- 6 ●
- 7 ●
- 8 ●
- 9 ●
- 10 ●
- 11 ●
- 12 ●
- 13 ●
- 14 ●

IC4732

15'

IC 4846

RA 19h16m28s

DEC -09°02'36"

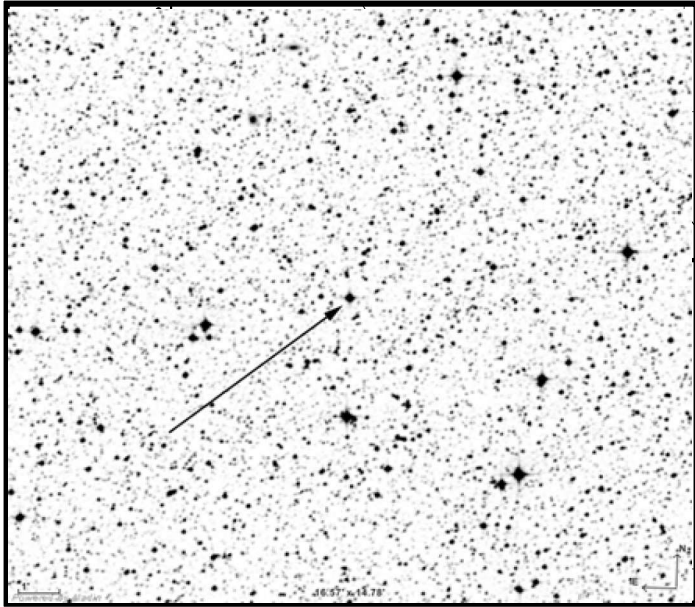
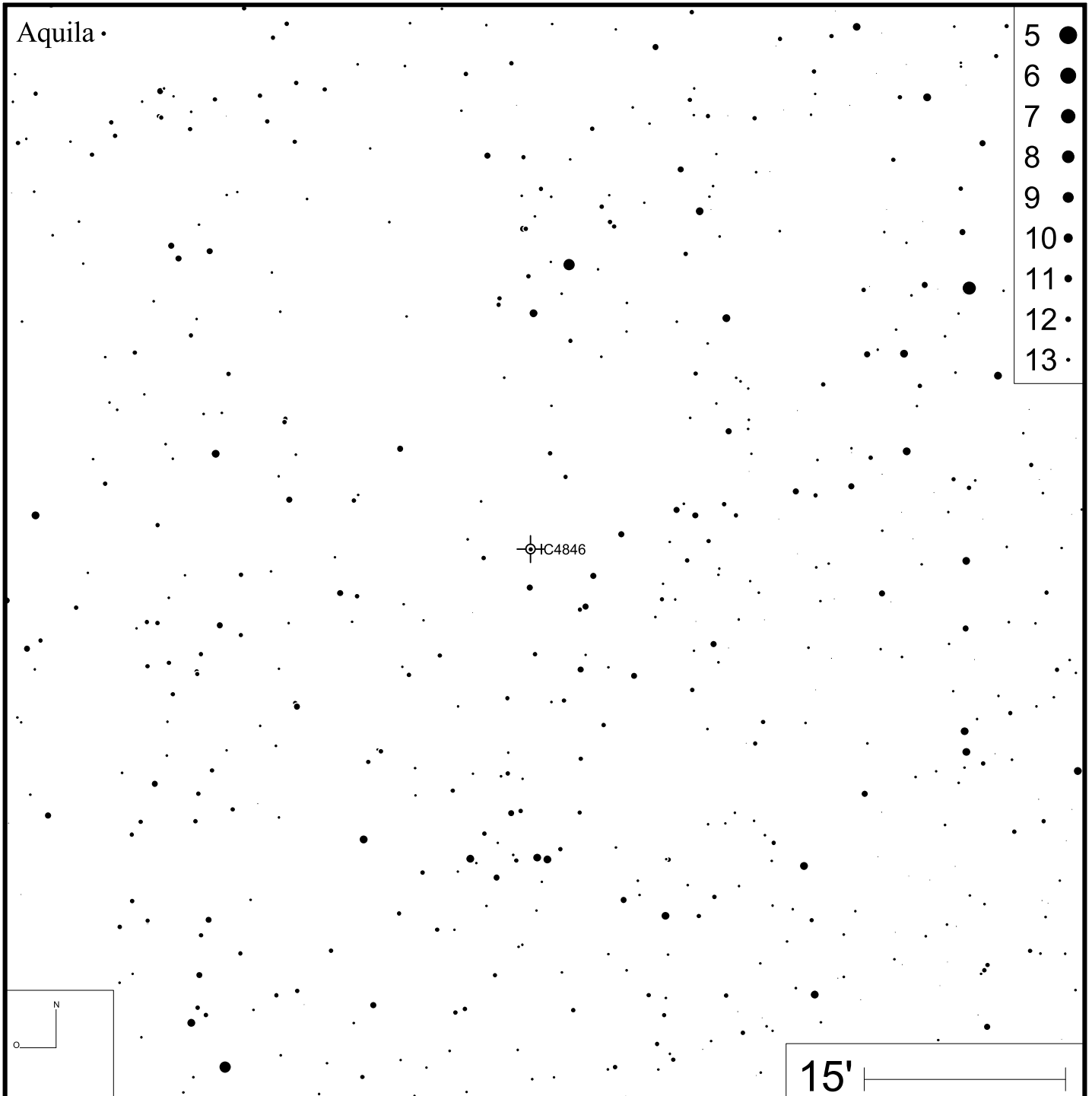
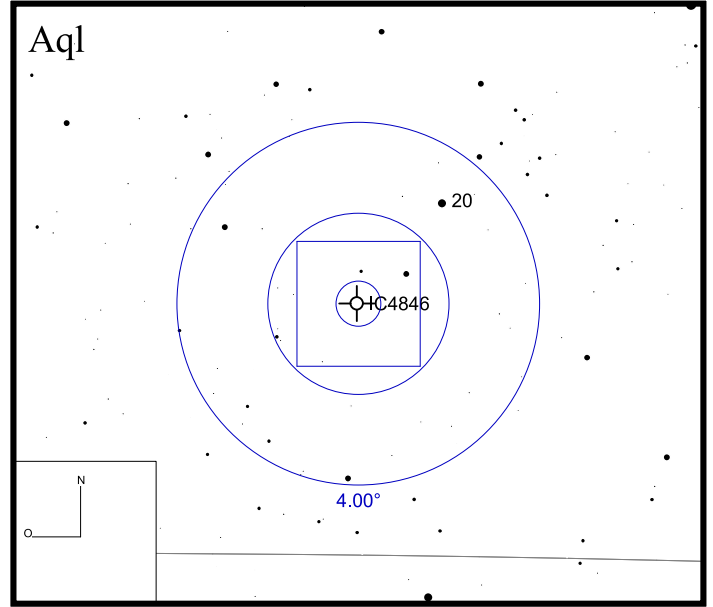


Bild: DSS



IC 4997

RA 20h20m09s

DEC +16°43'54"

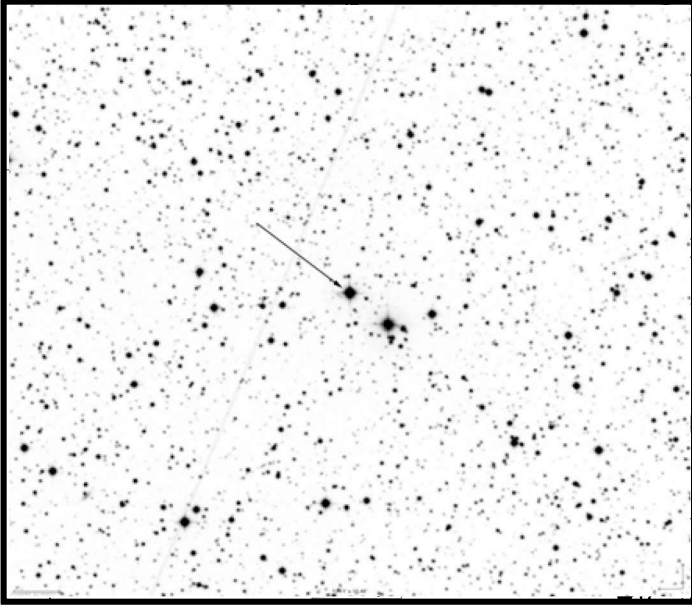
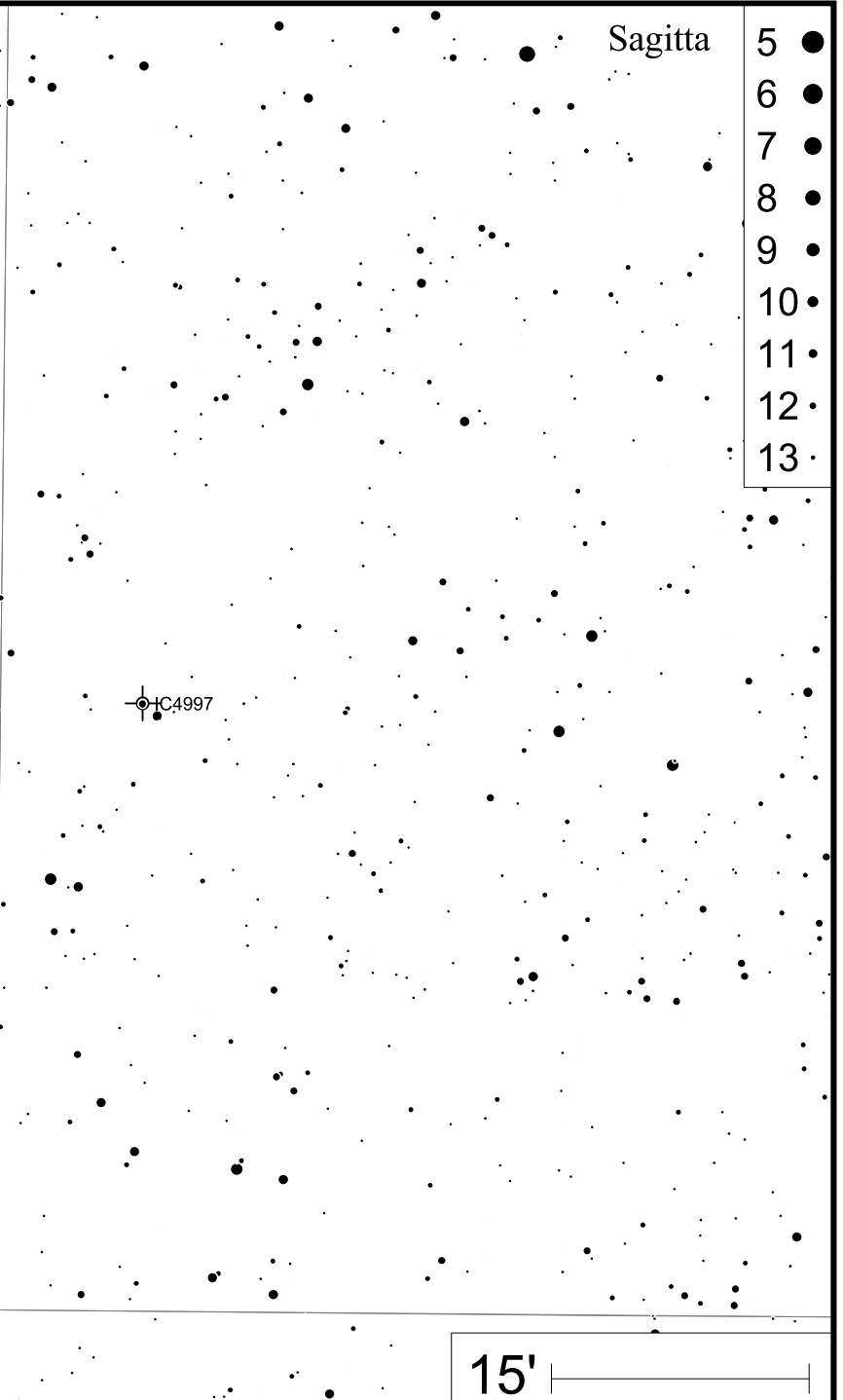
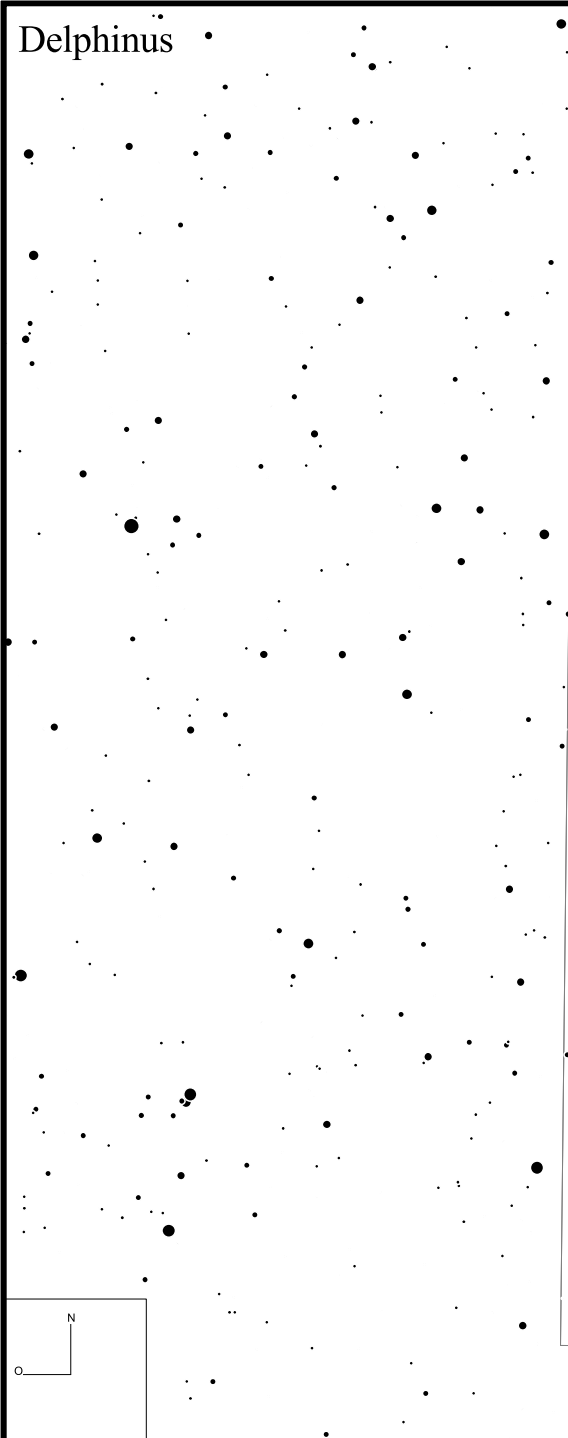
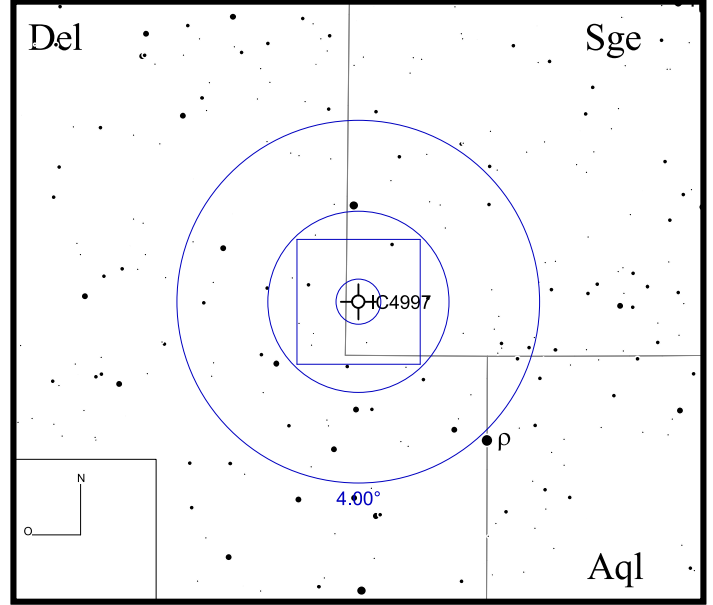


Bild: DSS



IC 5117

RA 21h32m31s

DEC +44°35'48"

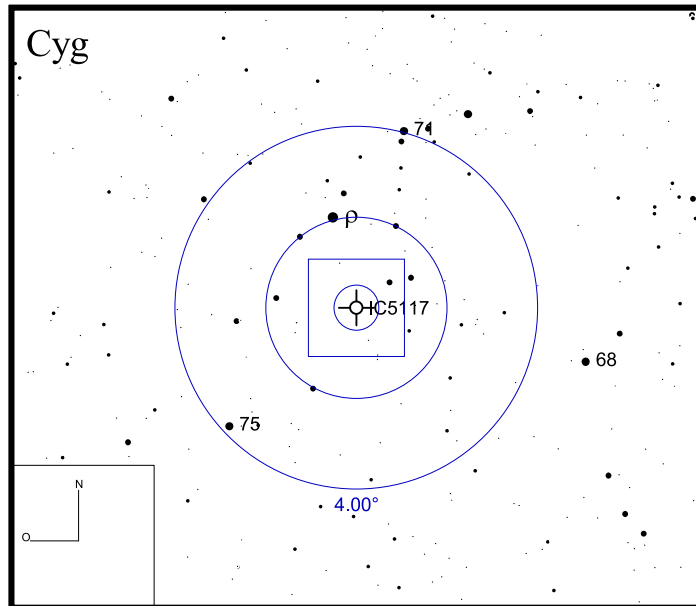
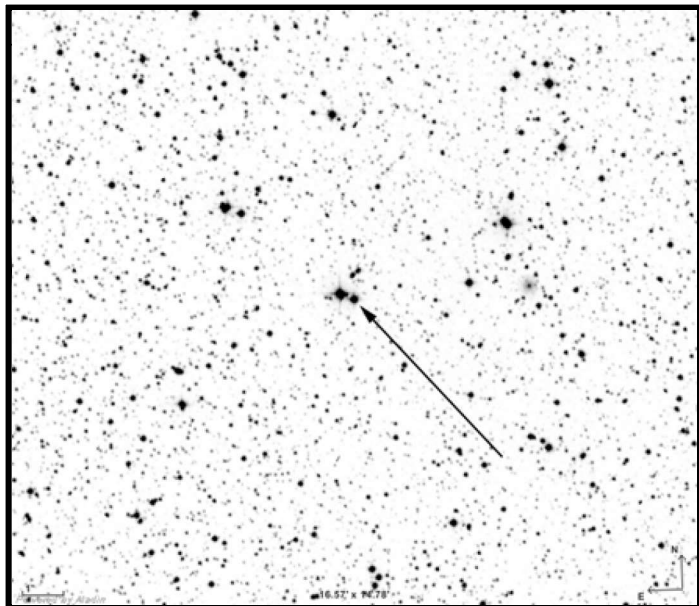
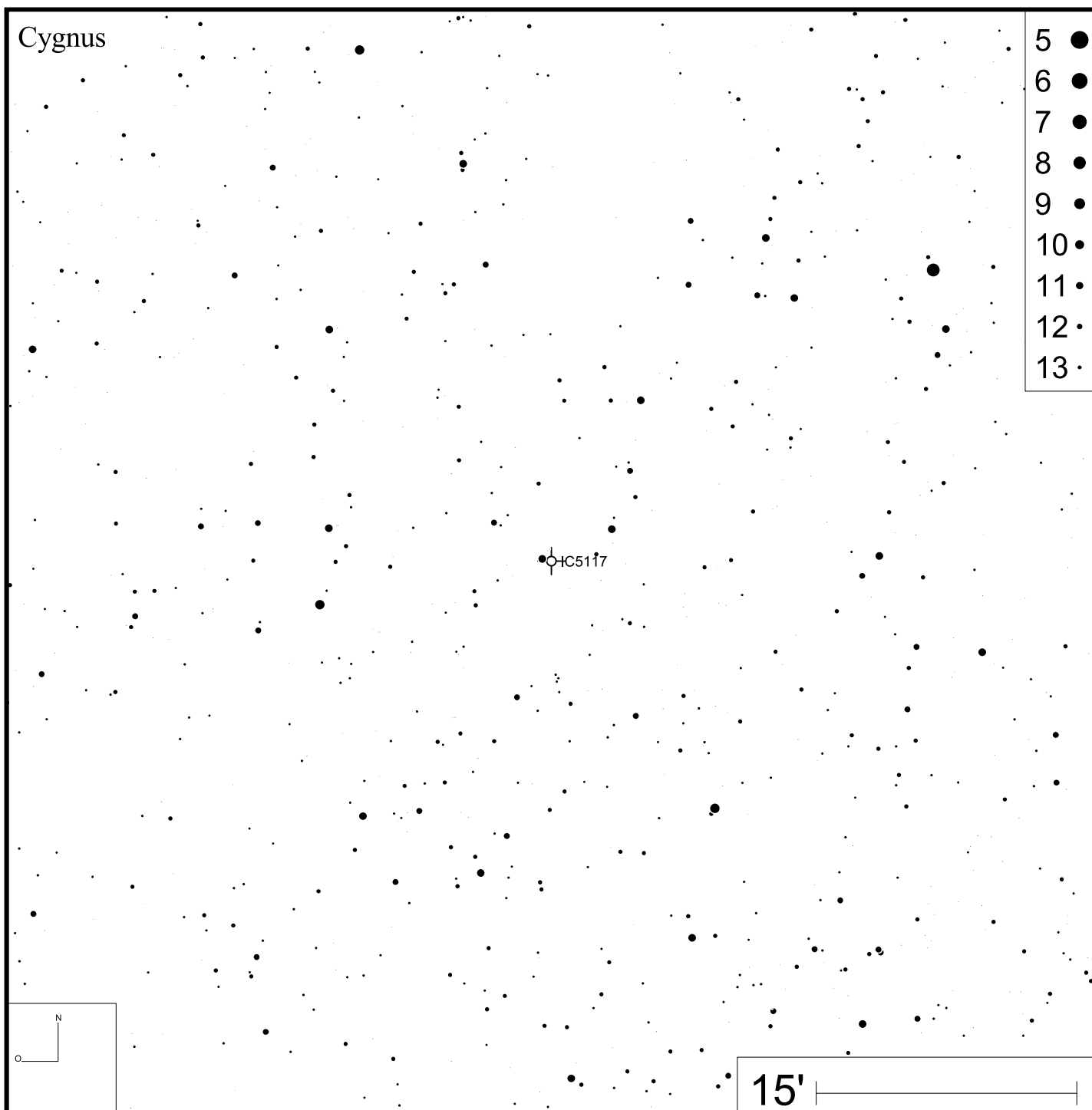


Bild: DSS



IC 5217

RA 22h23m56s

DEC +50°58'01"

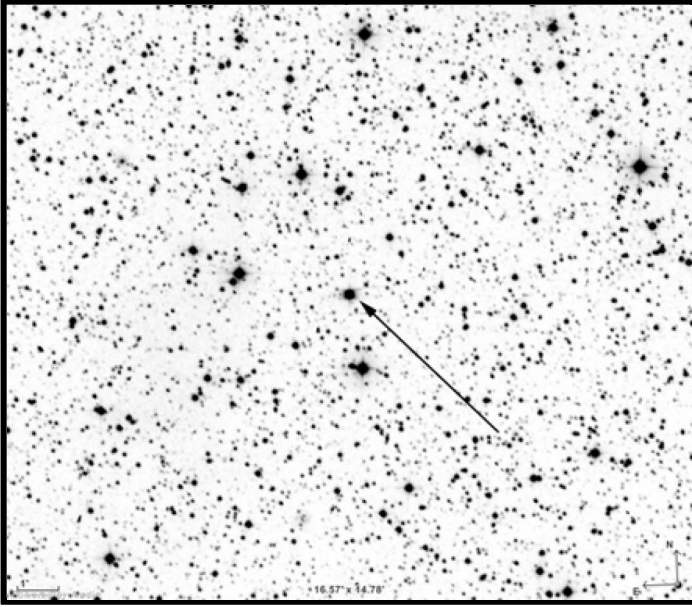
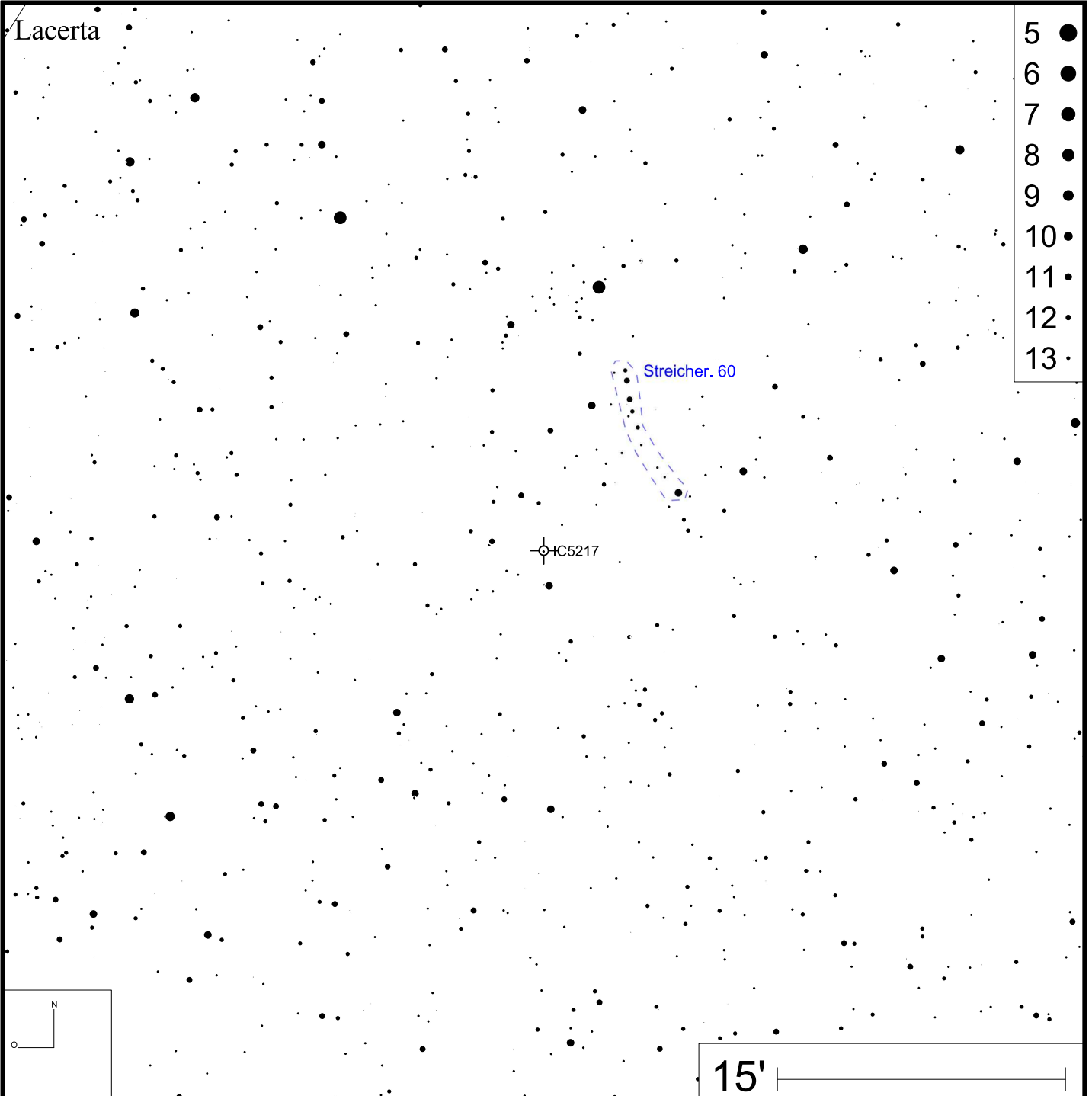
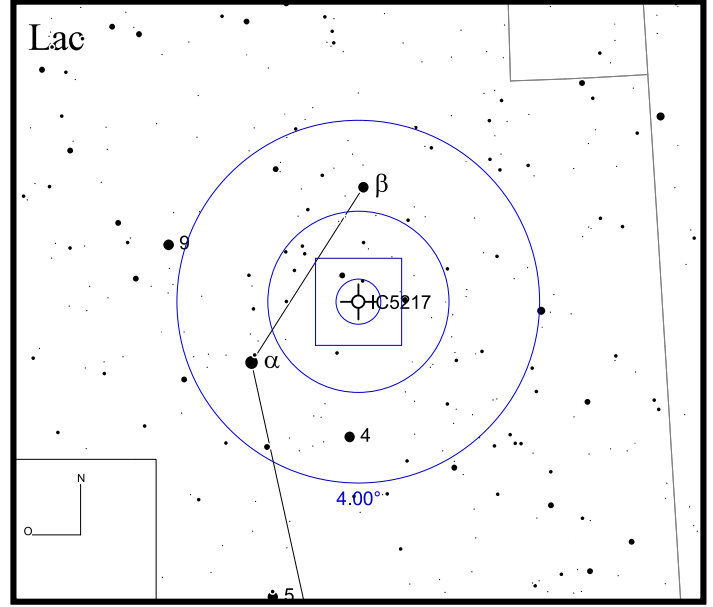


Bild: DSS



IRAS 09371+1212 (Frosty Leo)

RA 09h39m54s

DEC +11°58'53"

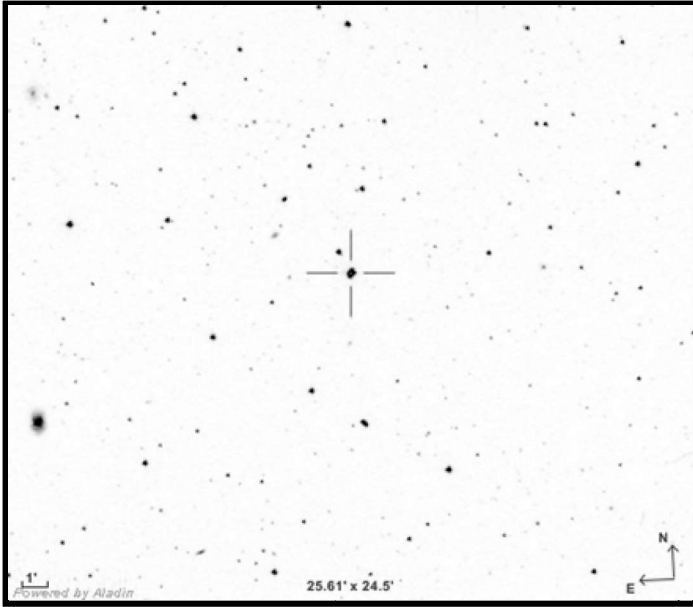
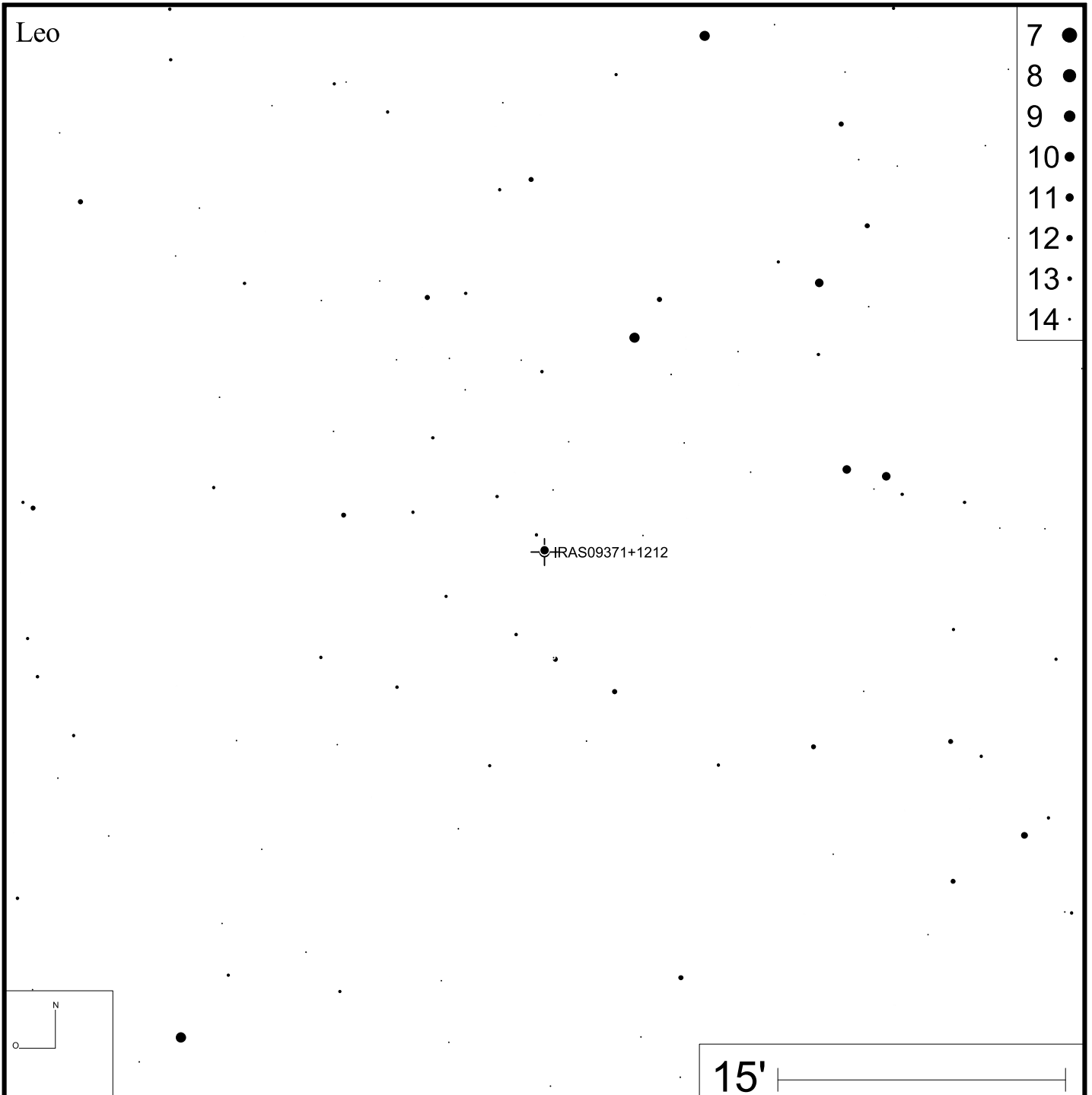
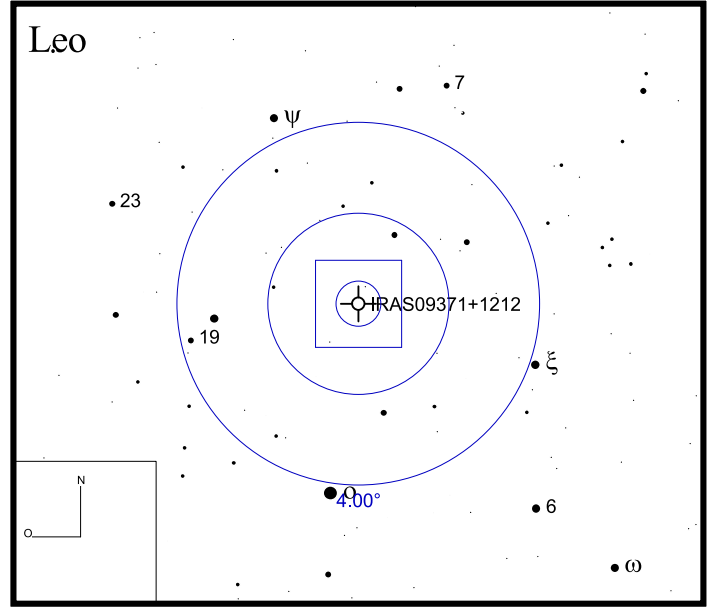


Bild: DSS



- 7 ●
- 8 ●
- 9 ●
- 10 ●
- 11 ●
- 12 ●
- 13 ●
- 14 ●

J 900 (Jonckheere 900)

RA 06h25m57s

DEC +17°47'28"

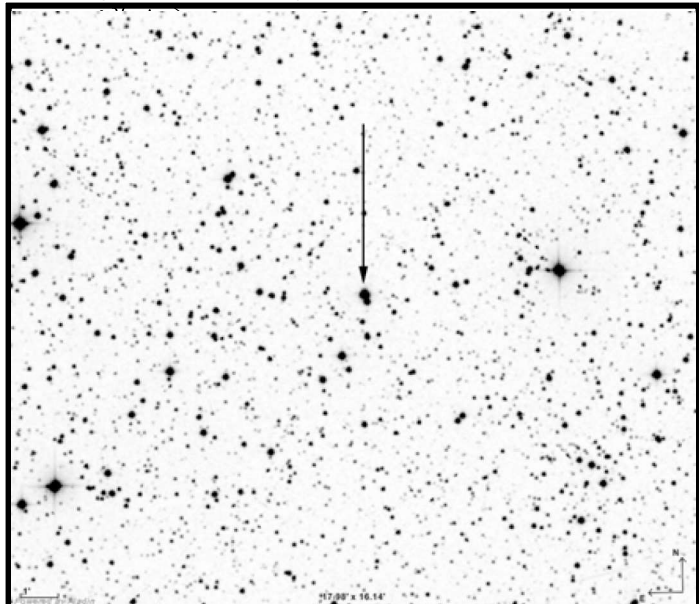
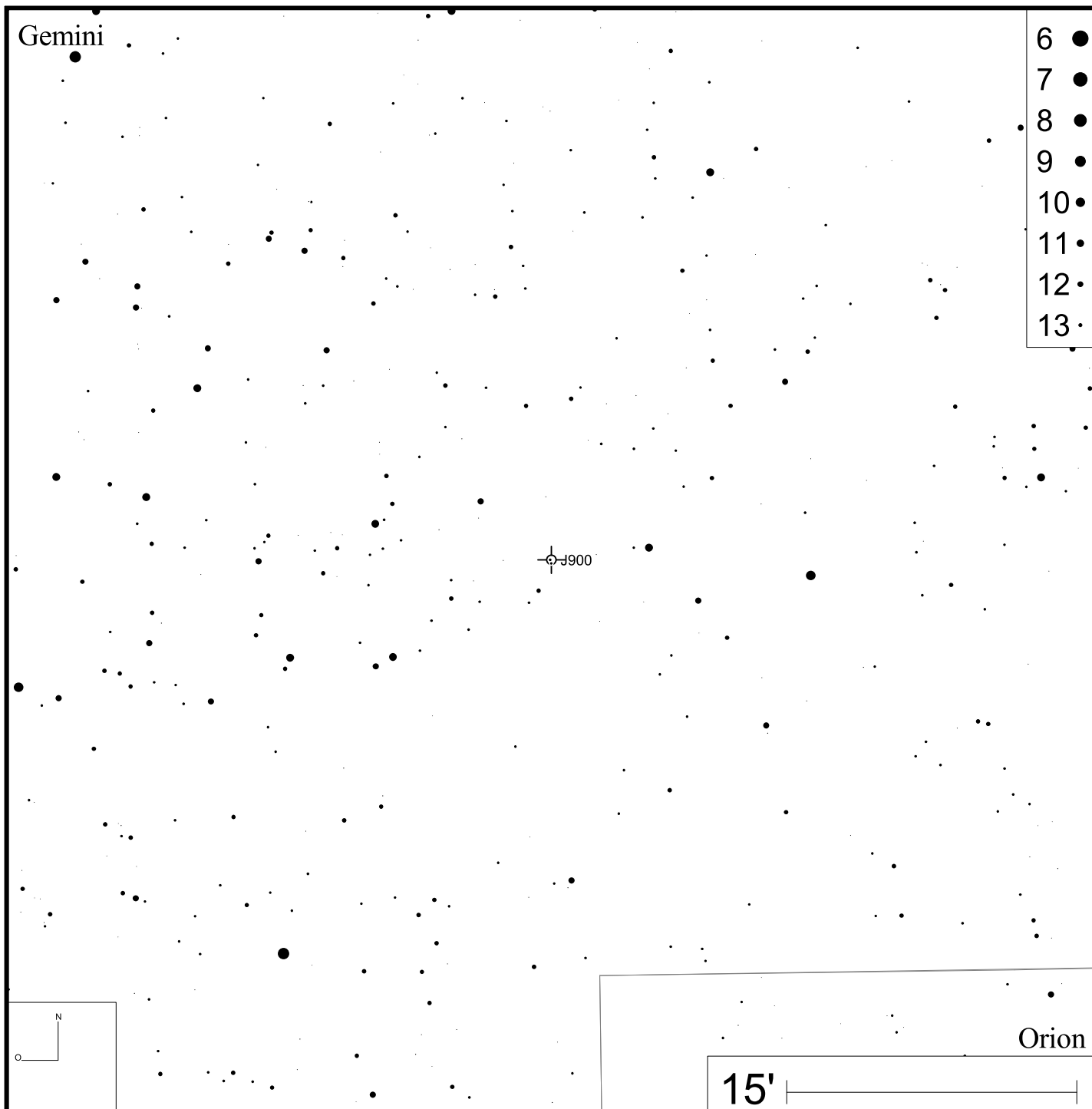
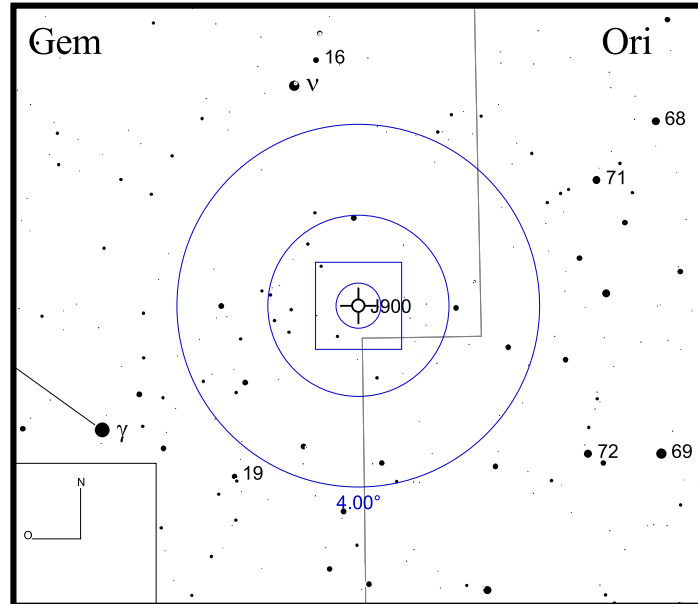


Bild: DSS



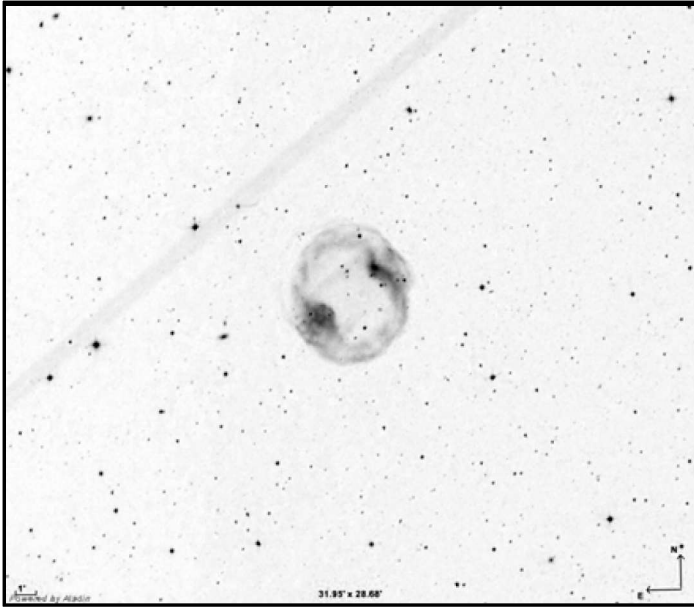
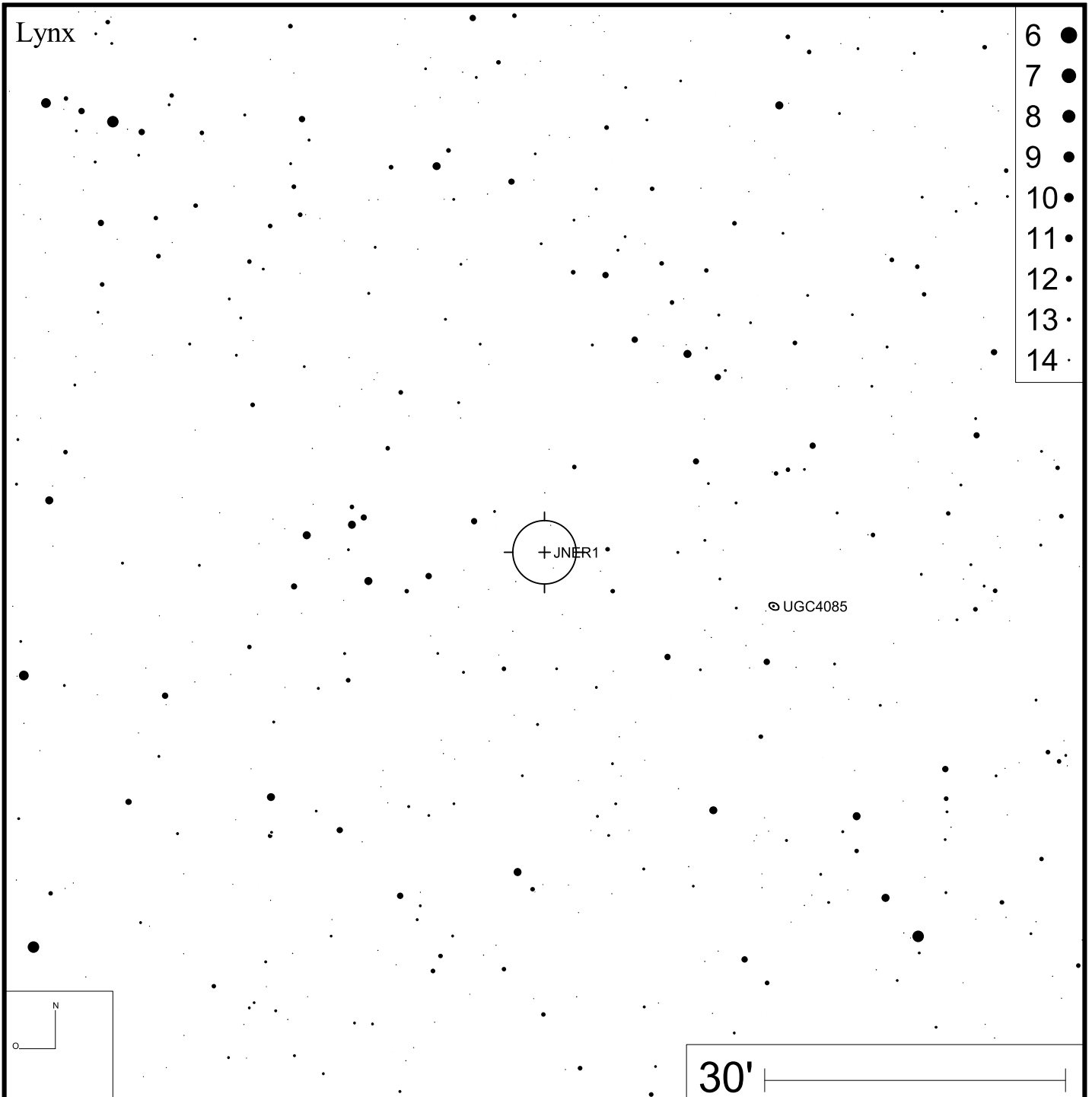
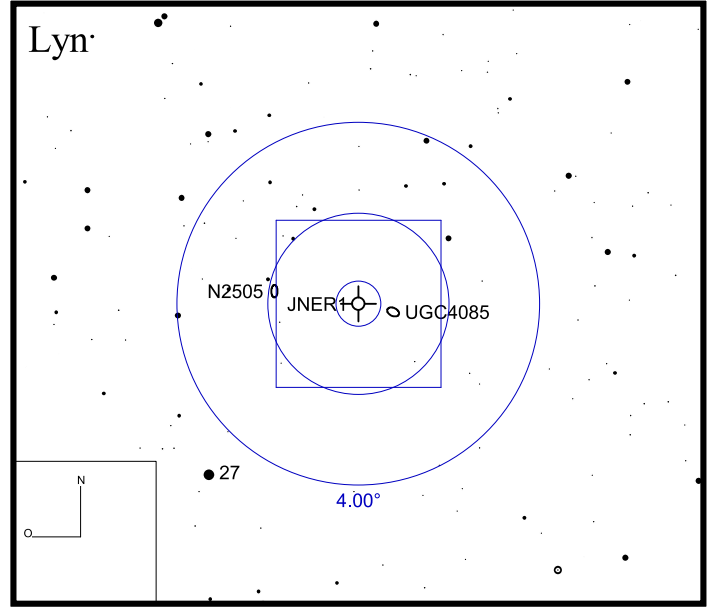


Bild: DSS



- 6 ●
- 7 ●
- 8 ●
- 9 ●
- 10 ●
- 11 ●
- 12 ●
- 13 ●
- 14 ●

Jones 1

RA 23h35m53s

DEC +30°28'06"

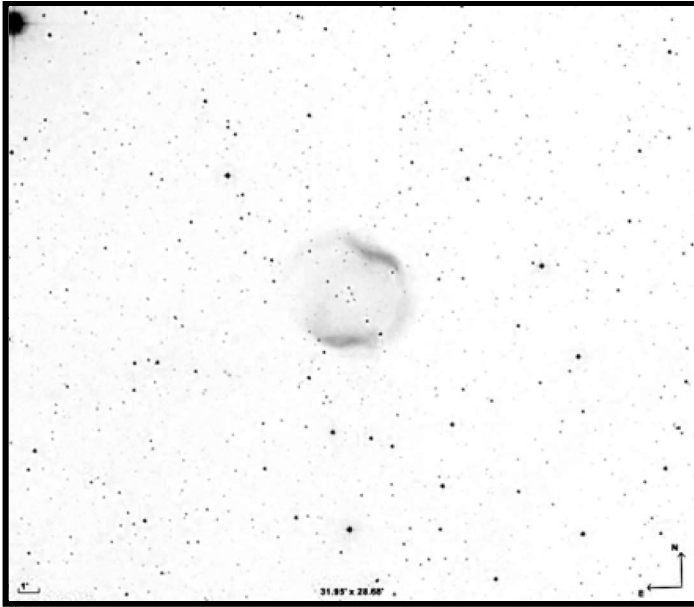
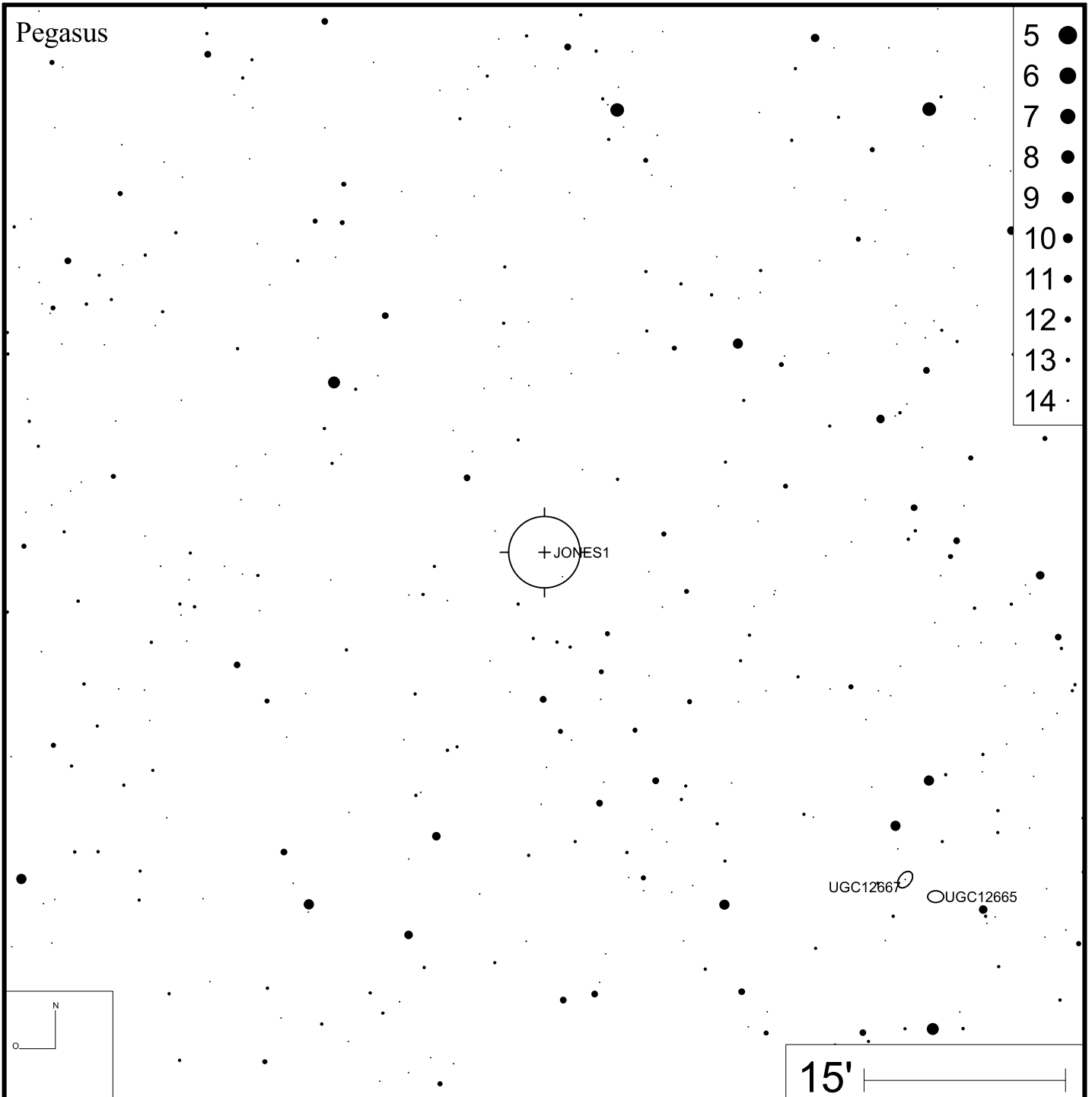
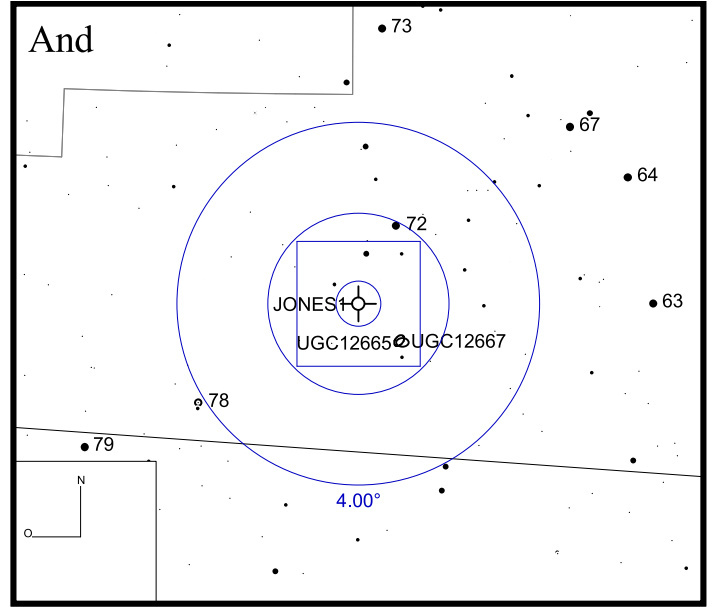


Bild: DSS



K 2-1

RA 05h07m08s

DEC +30°49'19"

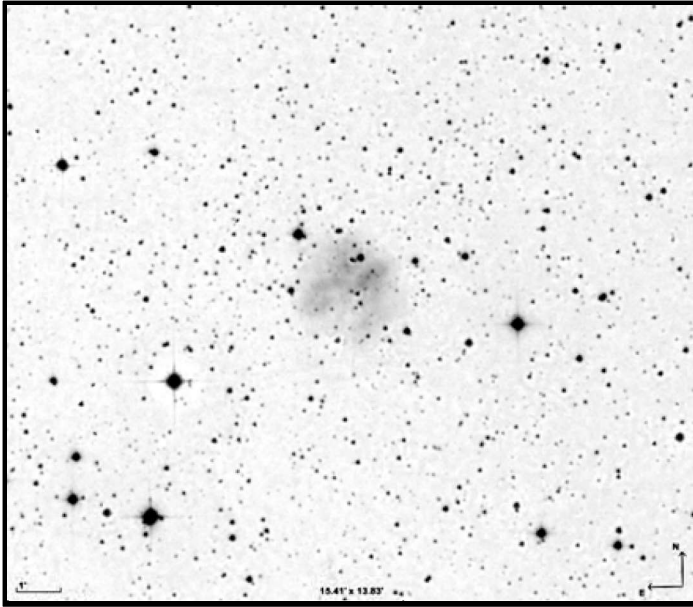
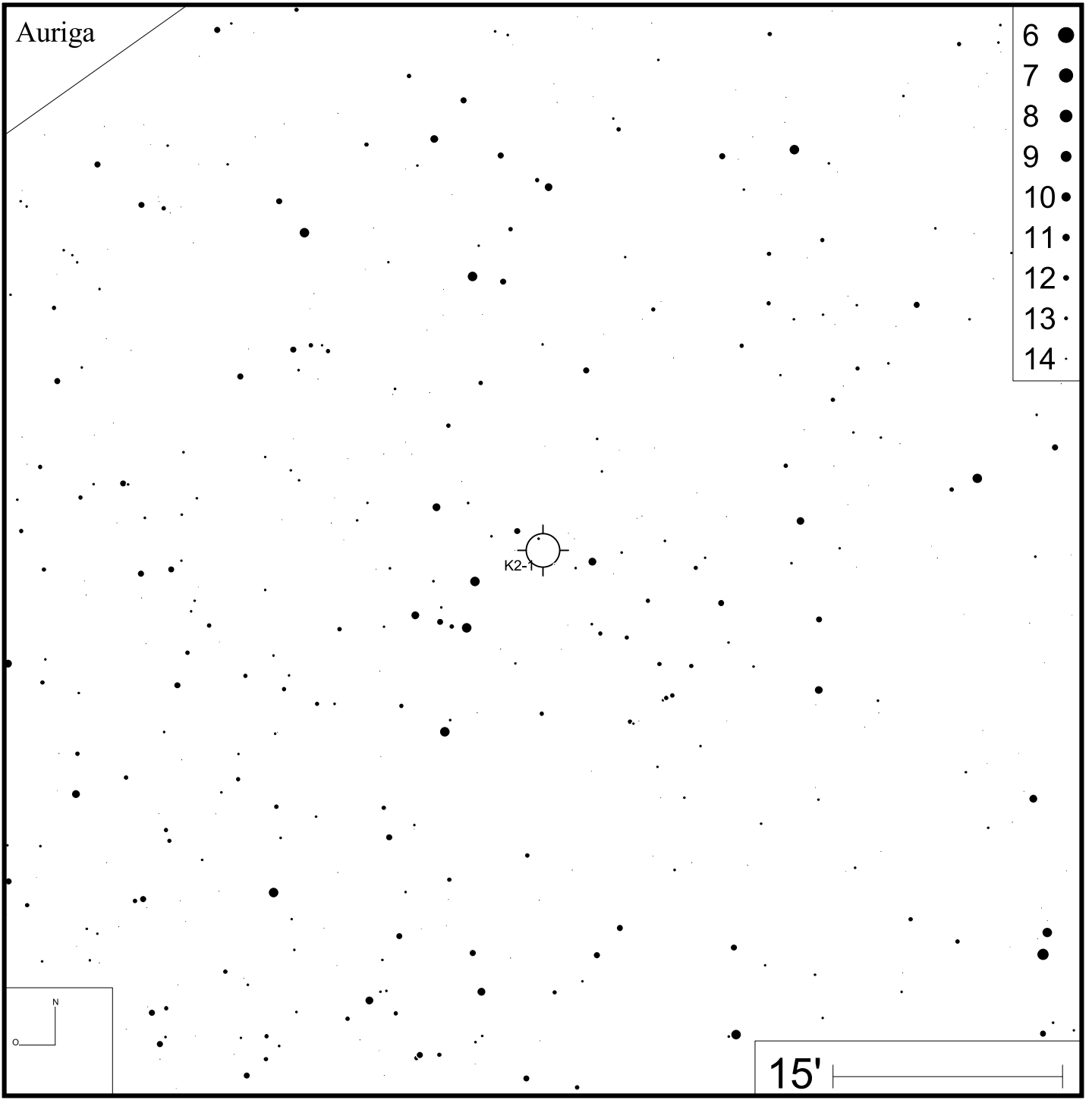
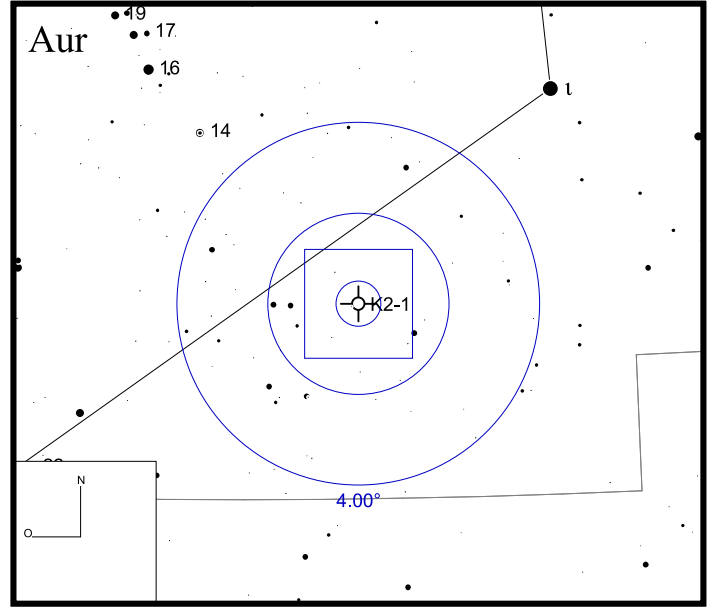


Bild: DSS



- 6 ●
- 7 ●
- 8 ●
- 9 ●
- 10 ●
- 11 ●
- 12 ●
- 13 ●
- 14 ●

K 3-27

RA 19h14m30s

DEC +28°40'46"

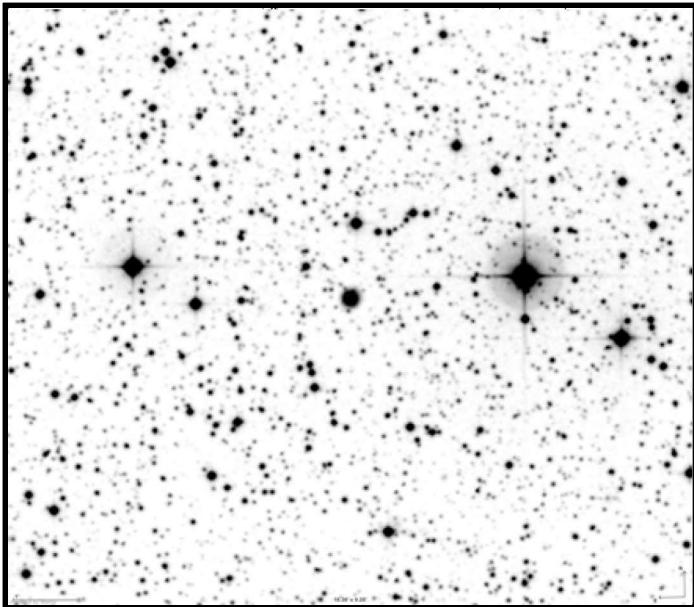


Bild: DSS

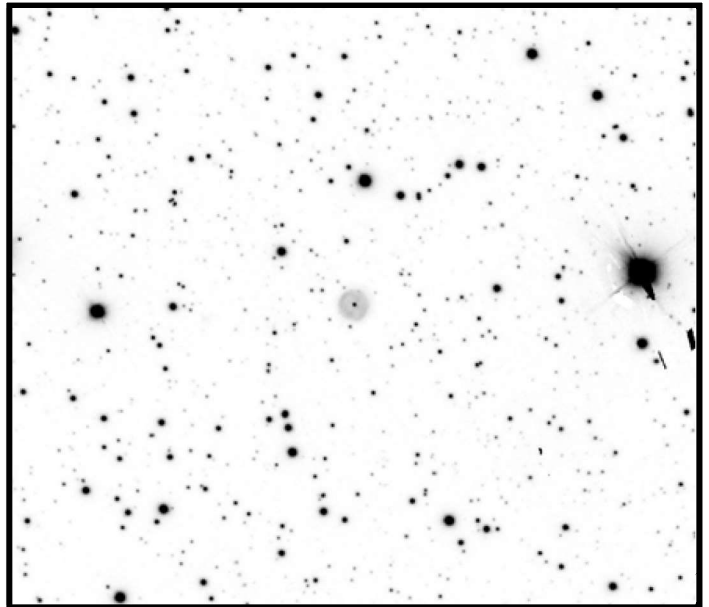
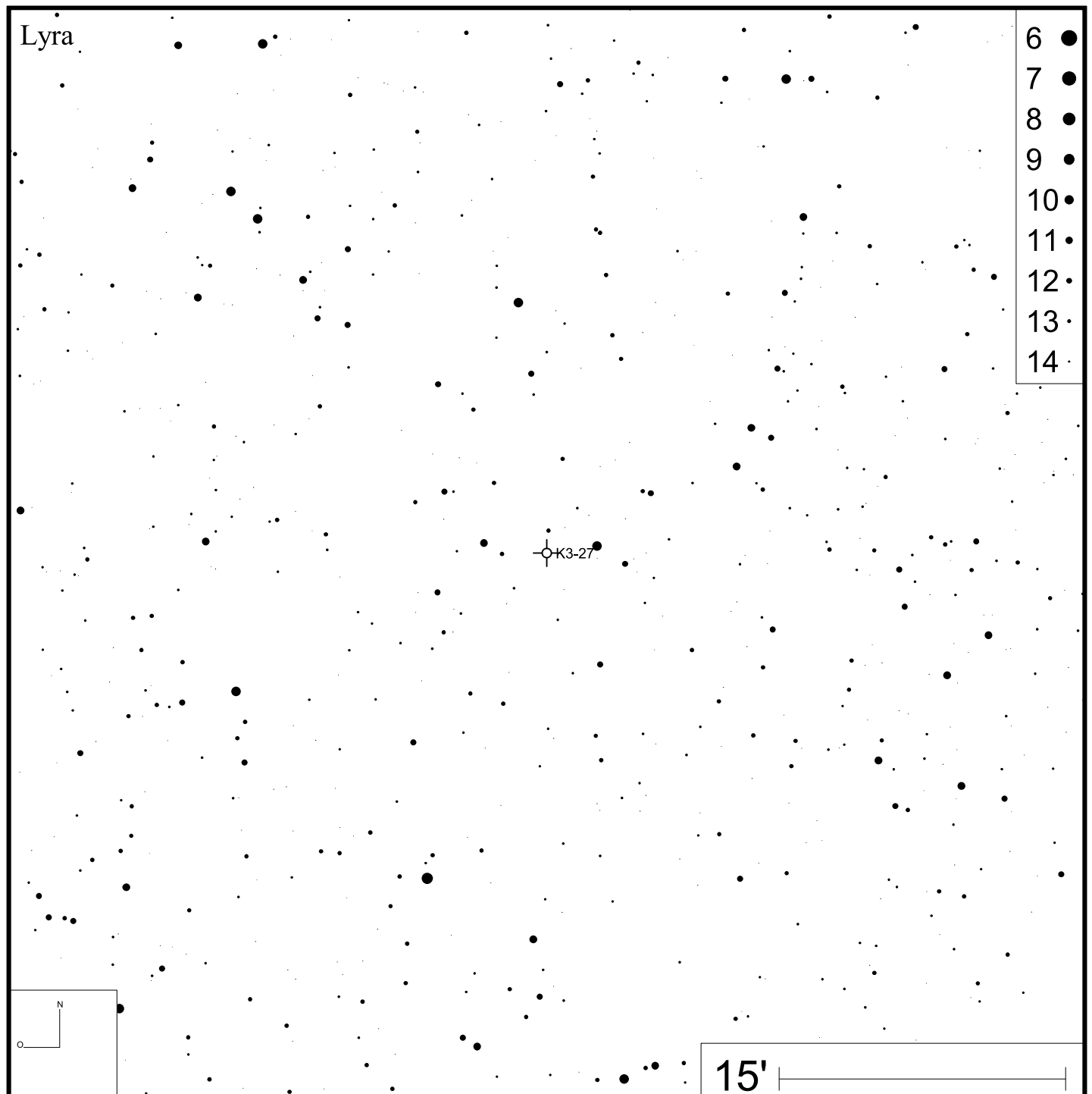


Bild: PanSTARRS (green)



K 3-36

RA 19h32m40s

DEC +07°27'52"

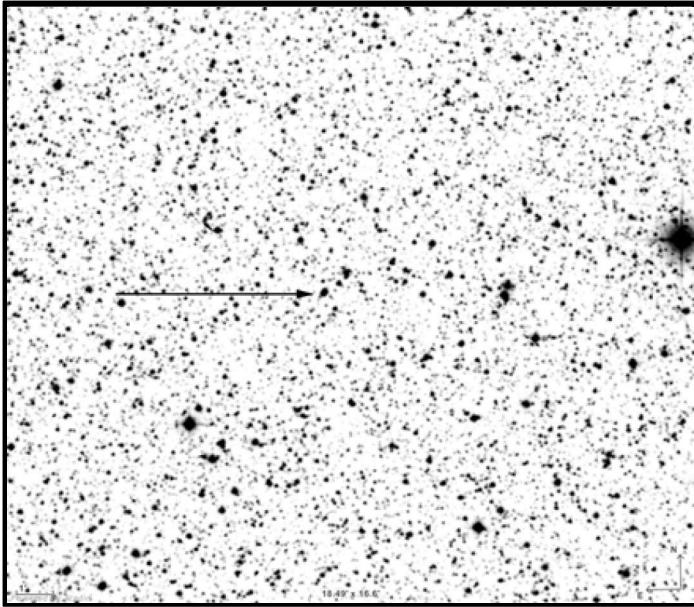


Bild: DSS

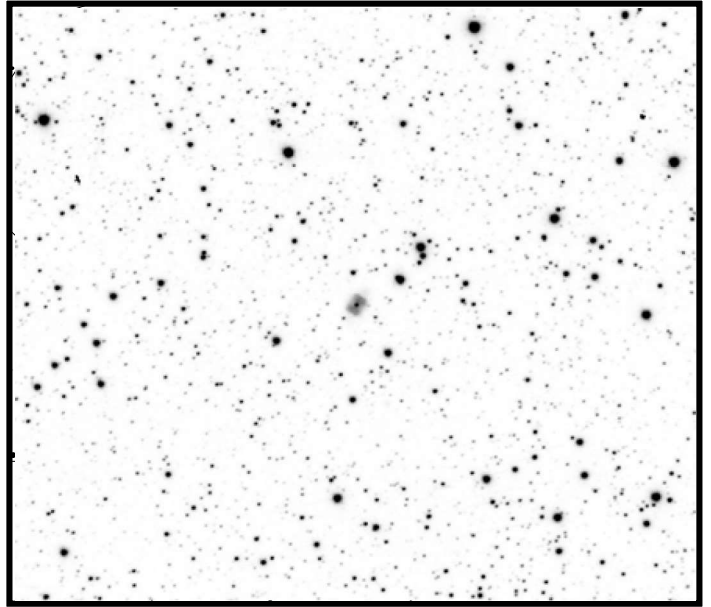
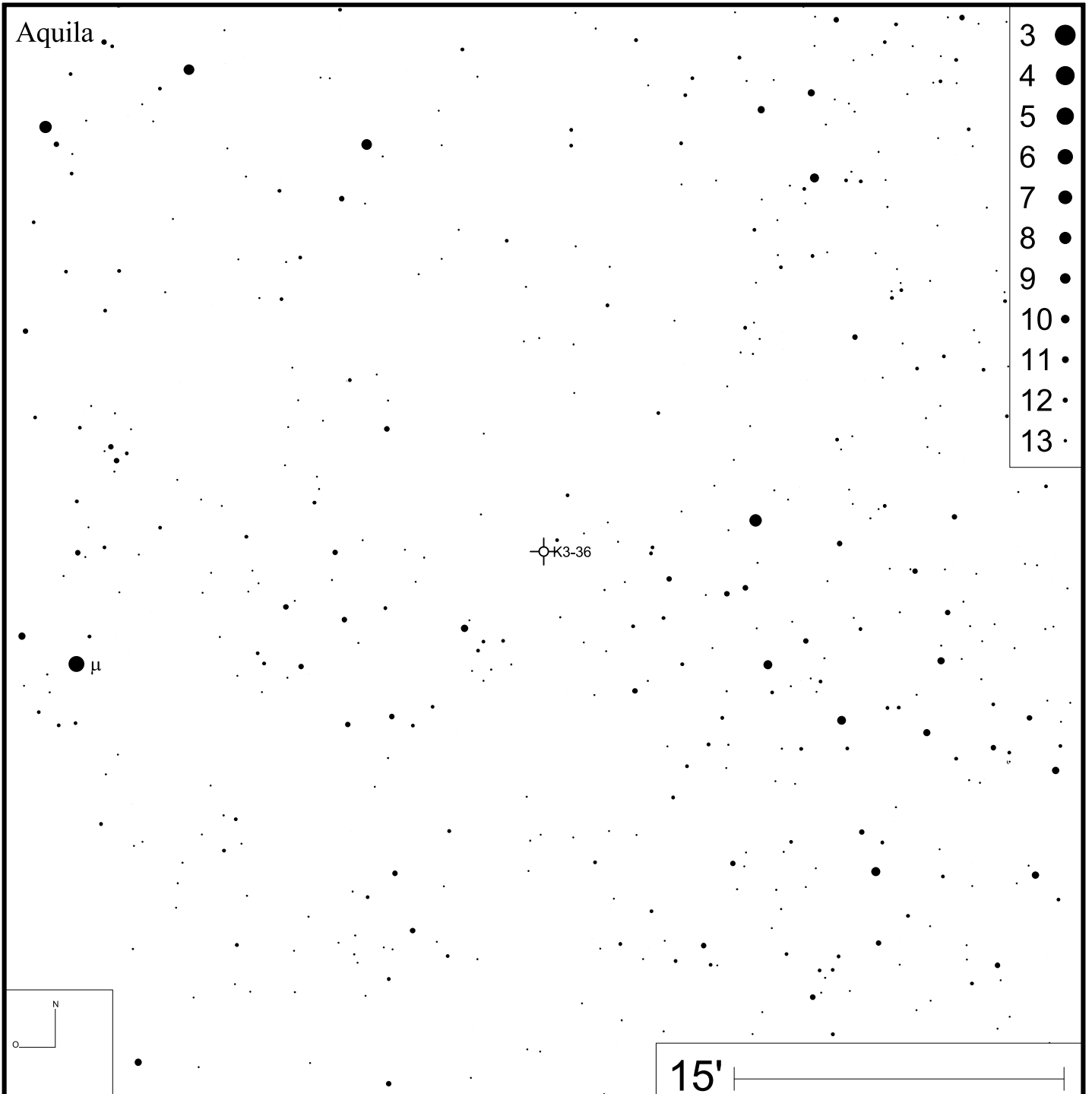


Bild: PanSTARRS (green)



K 3-51

RA 20h02m36s DEC +17°36'50"

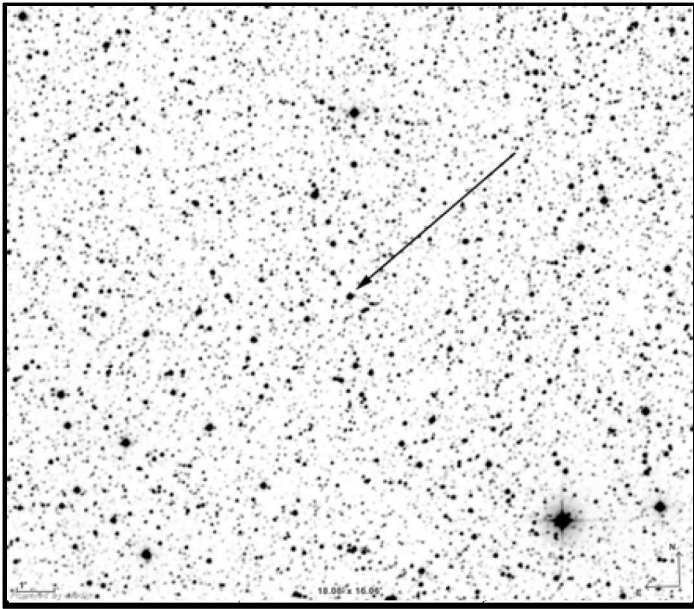
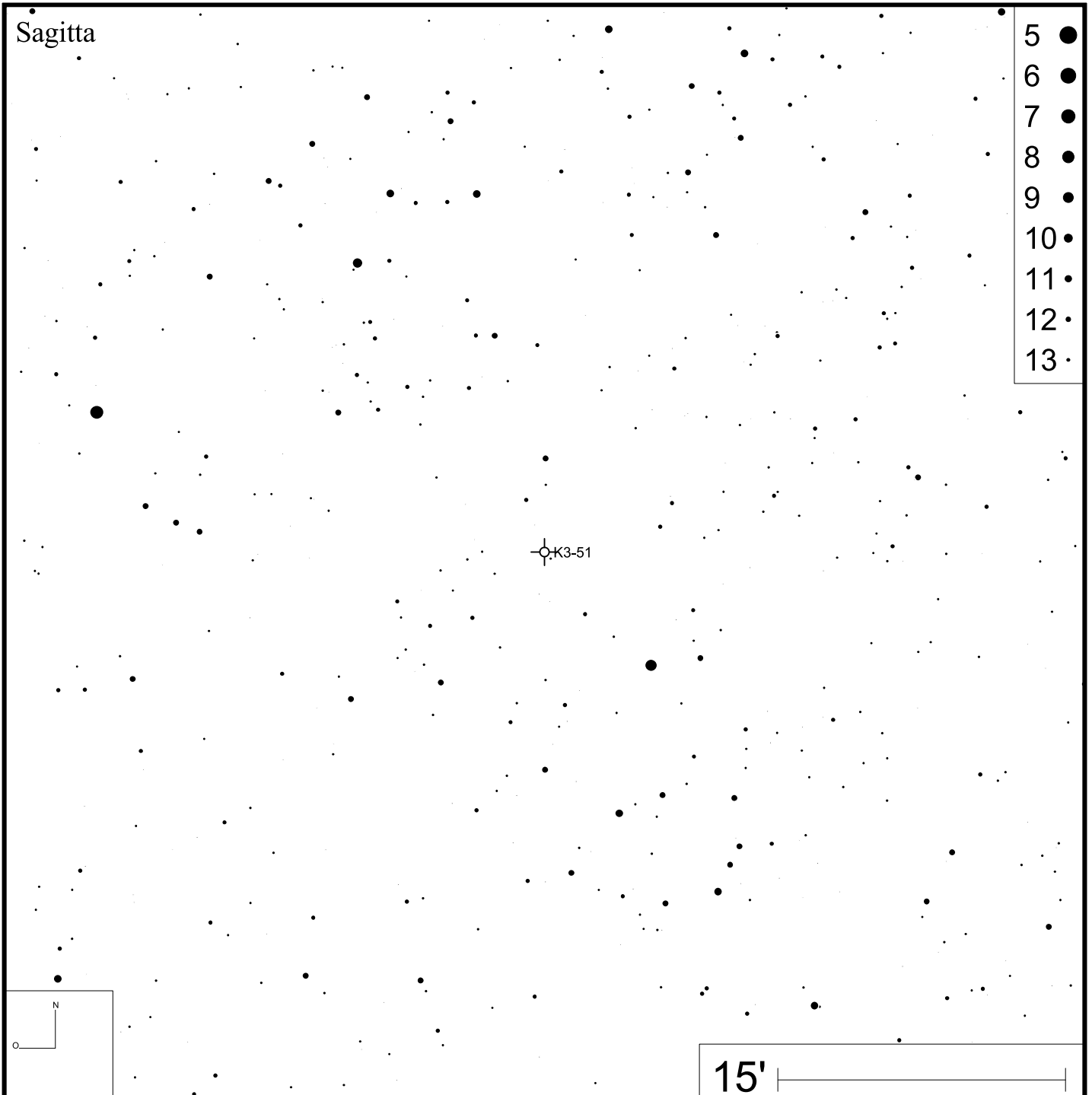
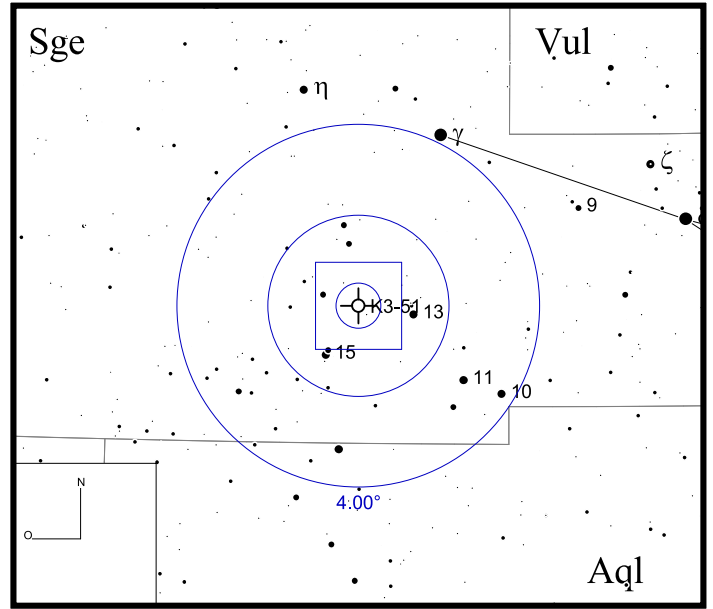


Bild: DSS



K 4-8

RA 18h54m20.05s

DEC -08°47'33.5"

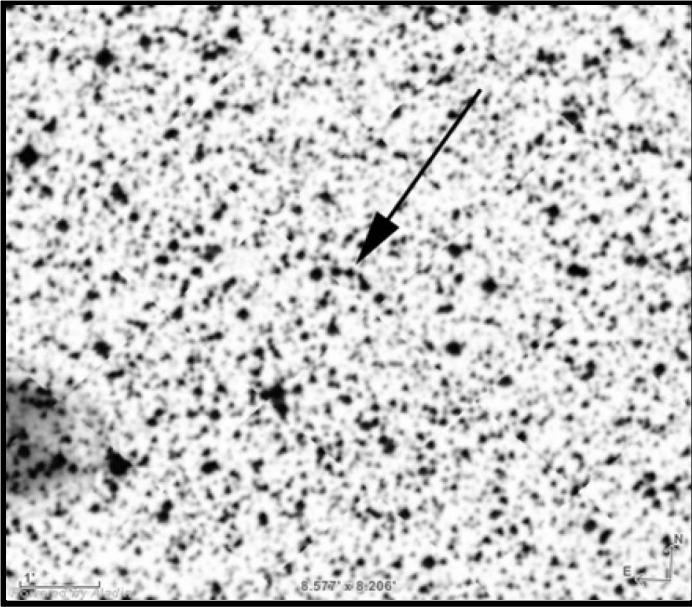


Bild: DSS

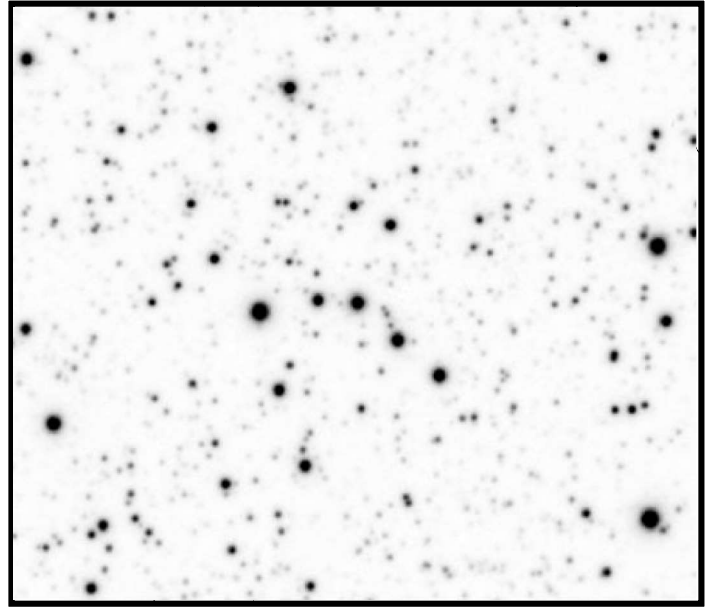
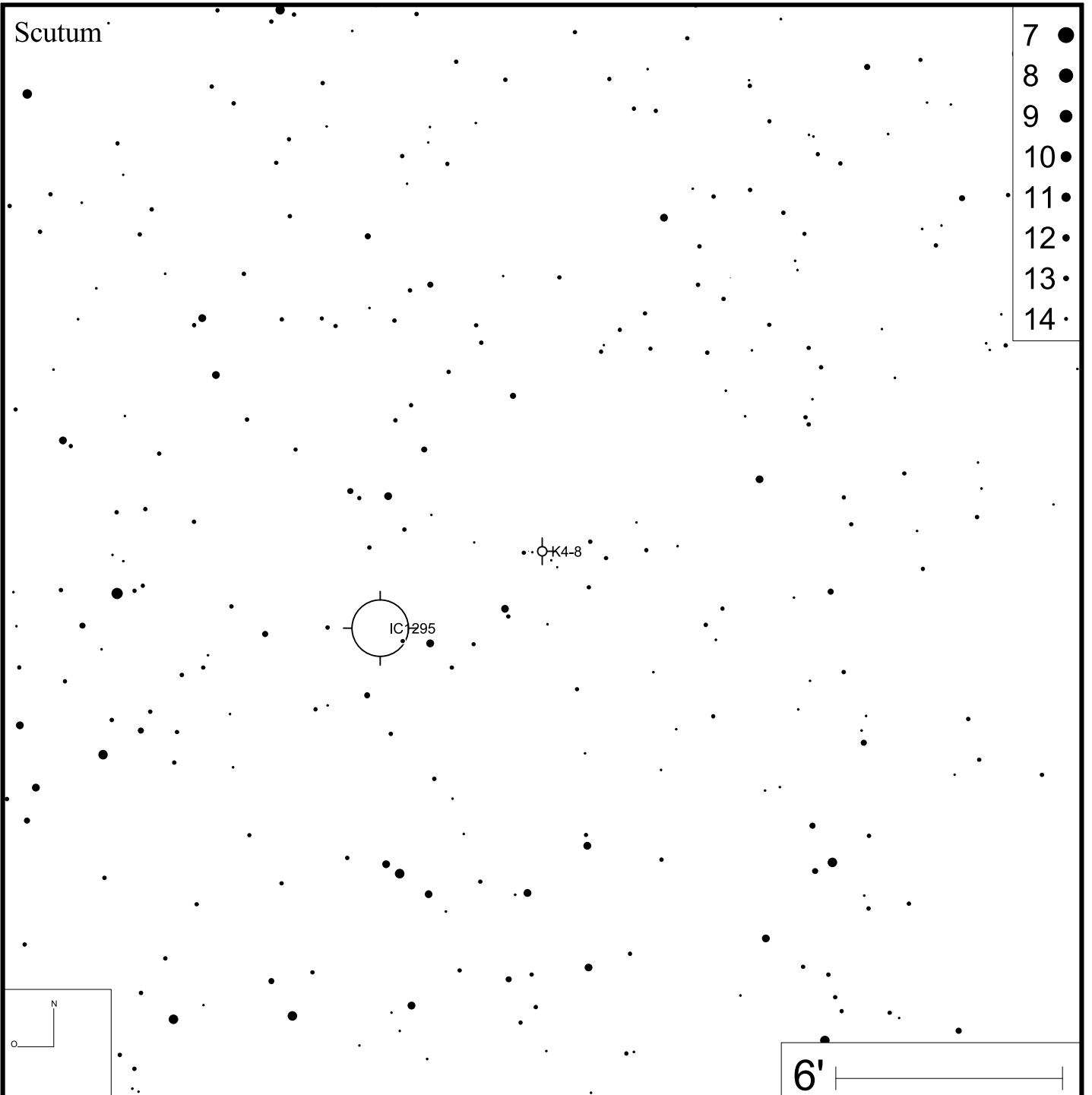


Bild: PanSTARRS (green)



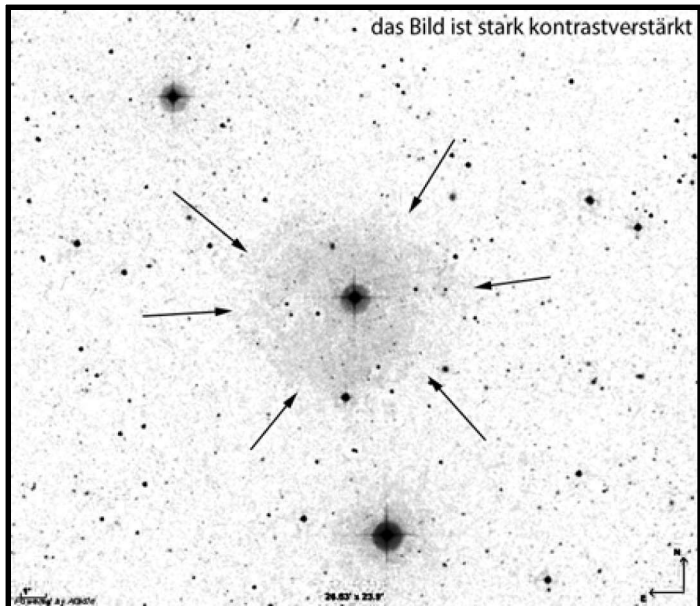
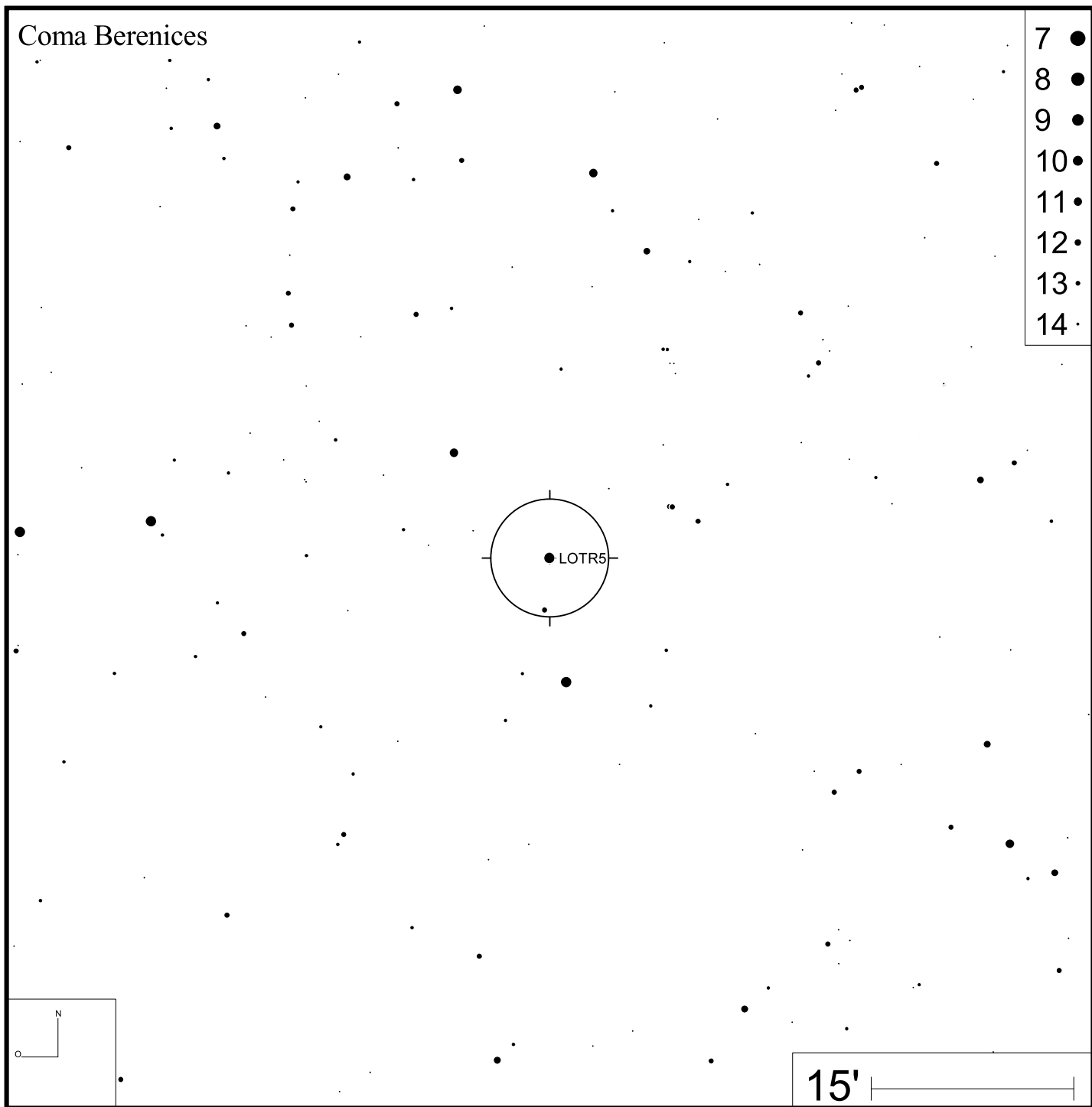
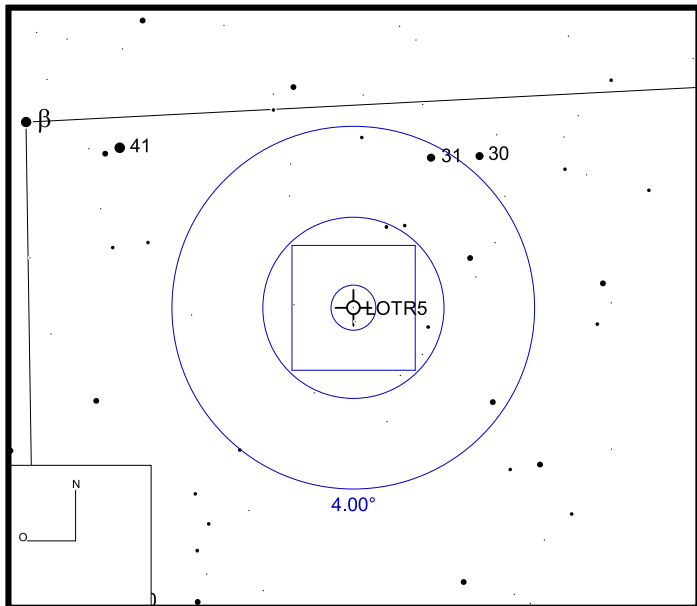


Bild: DSS (kontrastverstärkt)



M 27

RA 19h59m36s

DEC +22°43'16"

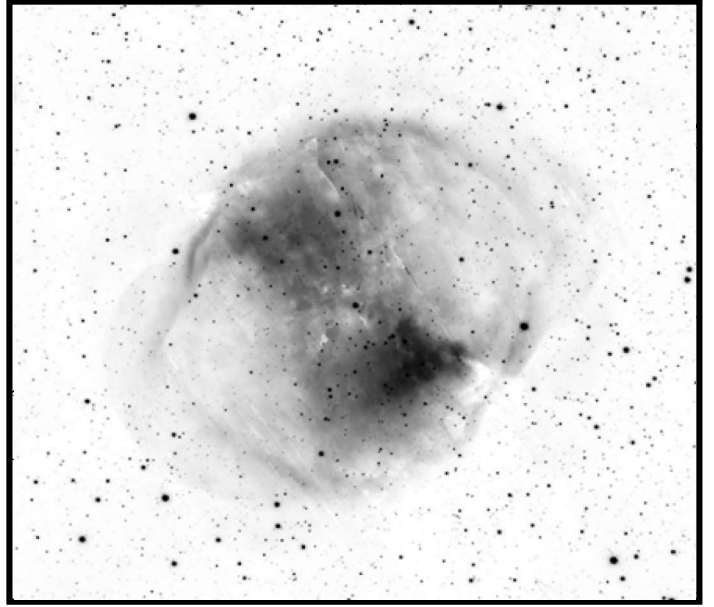
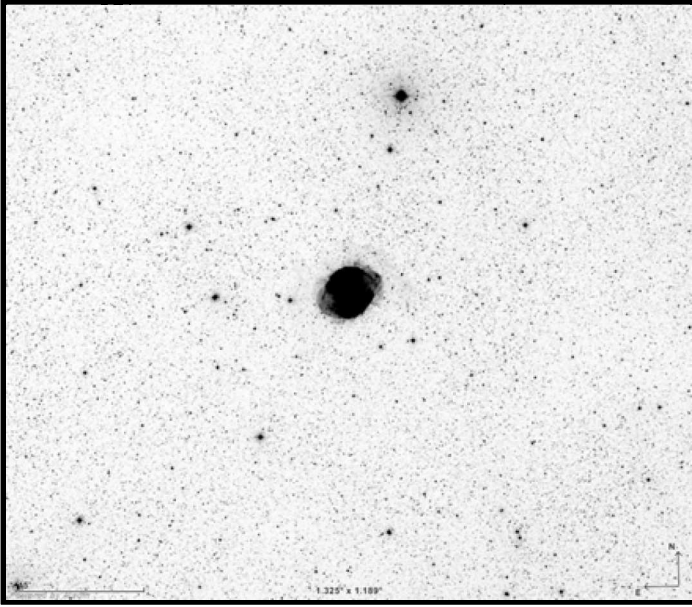
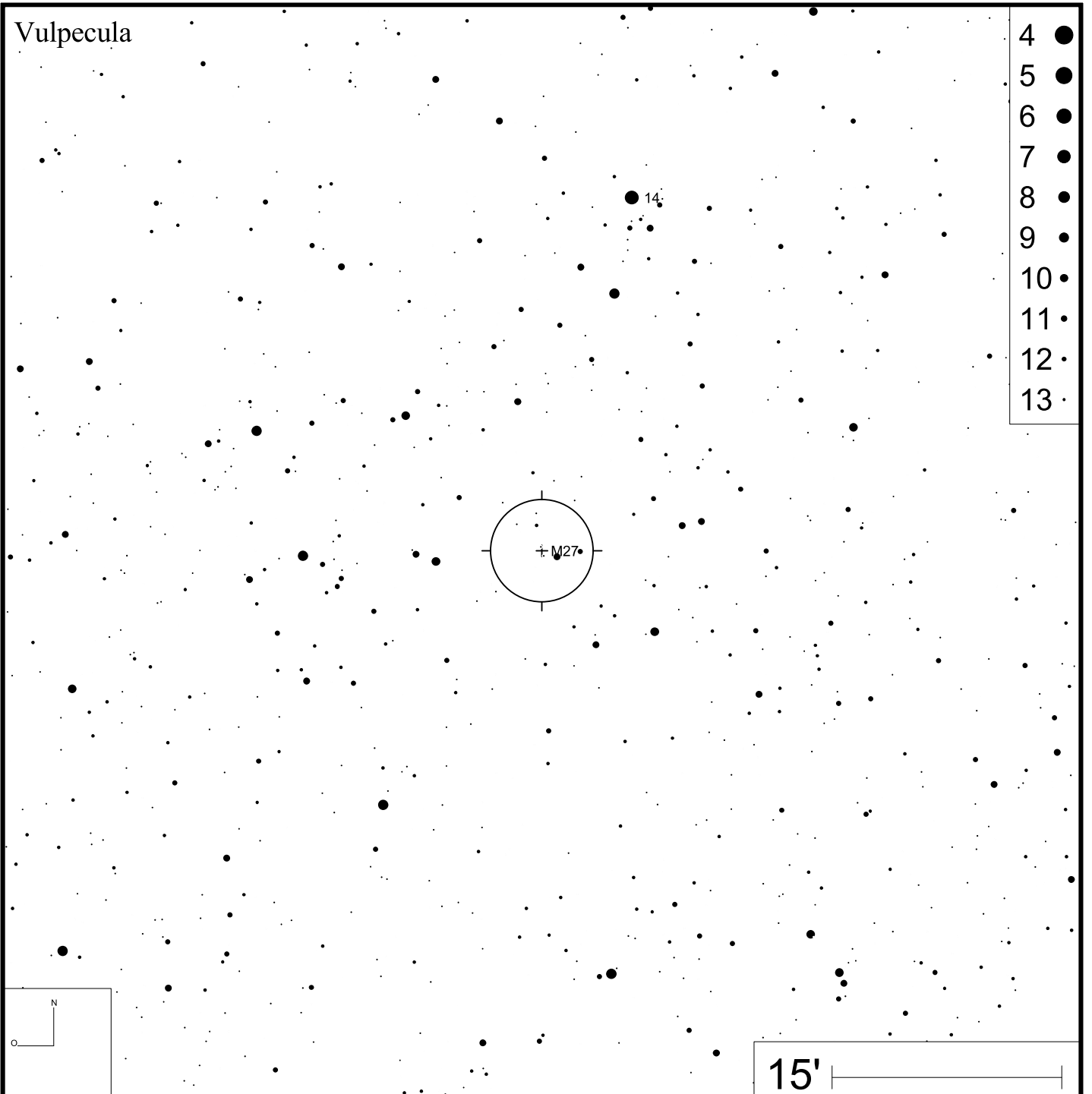


Bild: DSS

Bild: PanSTARRS (green)

Vulpecula



- 4 ●
- 5 ●
- 6 ●
- 7 ●
- 8 ●
- 9 ●
- 10 ●
- 11 ●
- 12 ●
- 13 ●

15'

M 57

RA 18h53m35s

DEC +33°01'45"

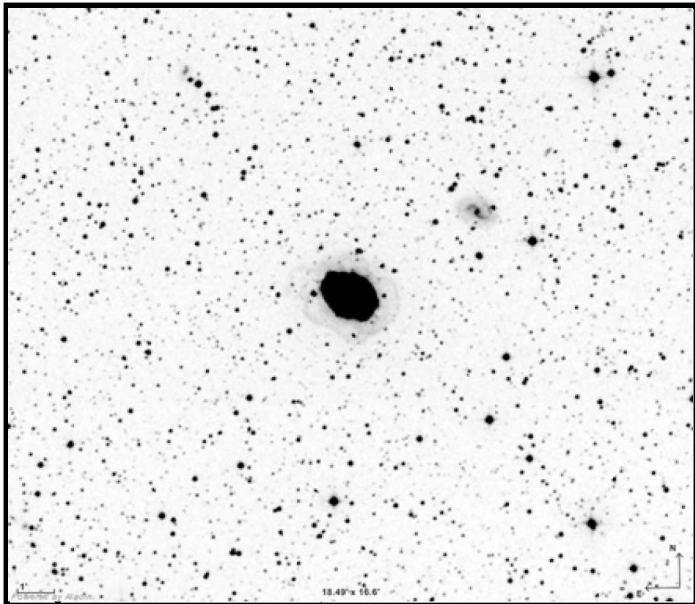


Bild: DSS

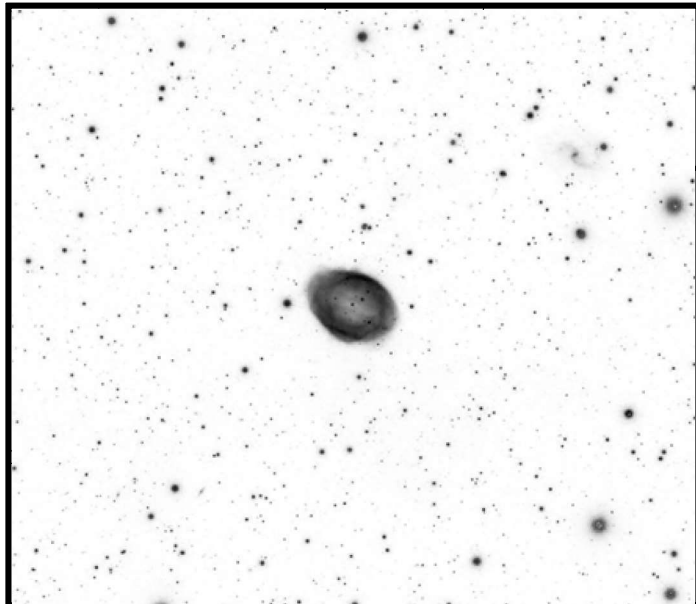
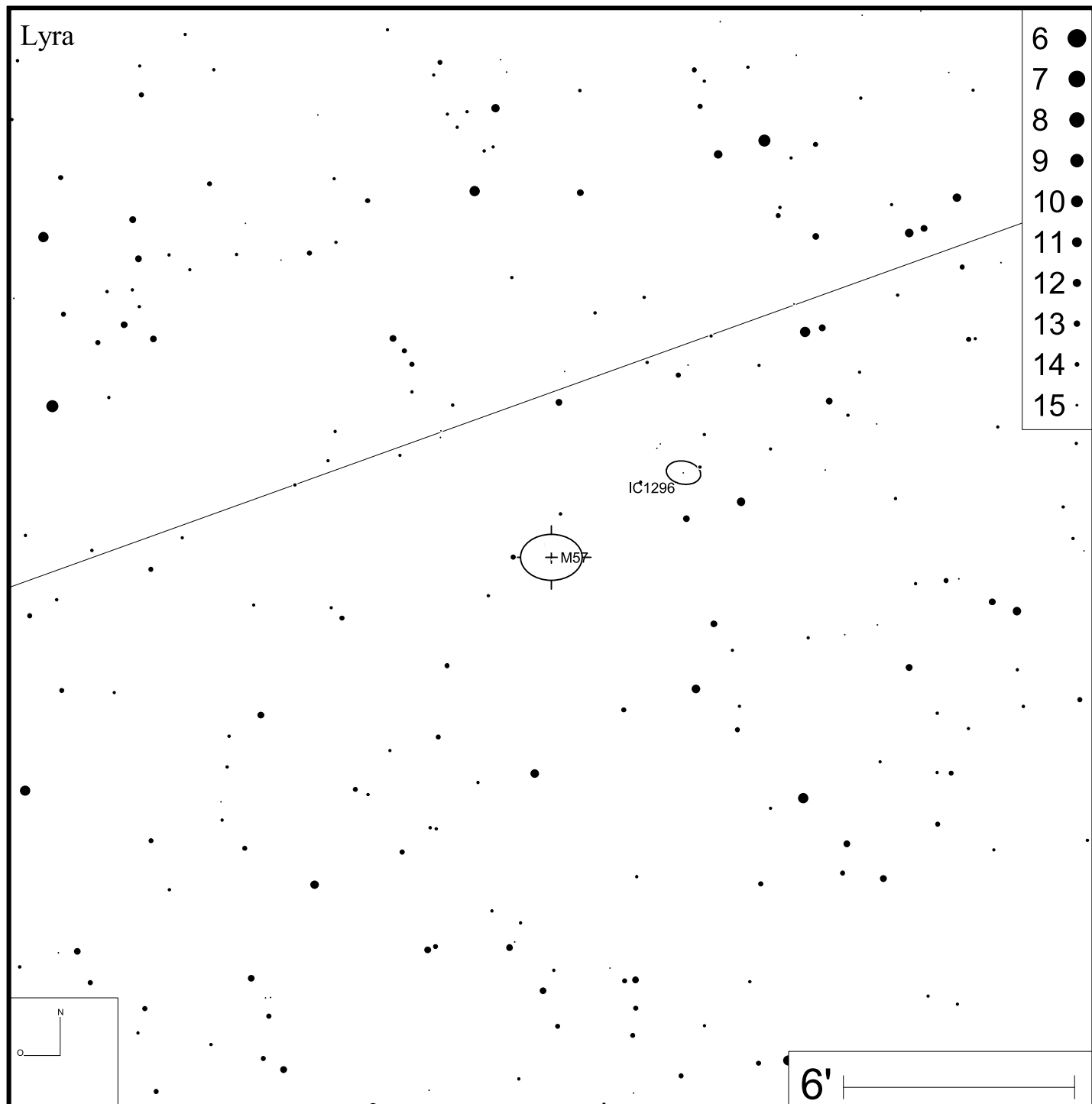


Bild: PanSTARRS



Lyra

- 6 ●
- 7 ●
- 8 ●
- 9 ●
- 10 ●
- 11 ●
- 12 ●
- 13 ●
- 14 ●
- 15 ●

IC 1296

+ M 57

6'

M 76

RA 01h42m20s

DEC +51°34'31"

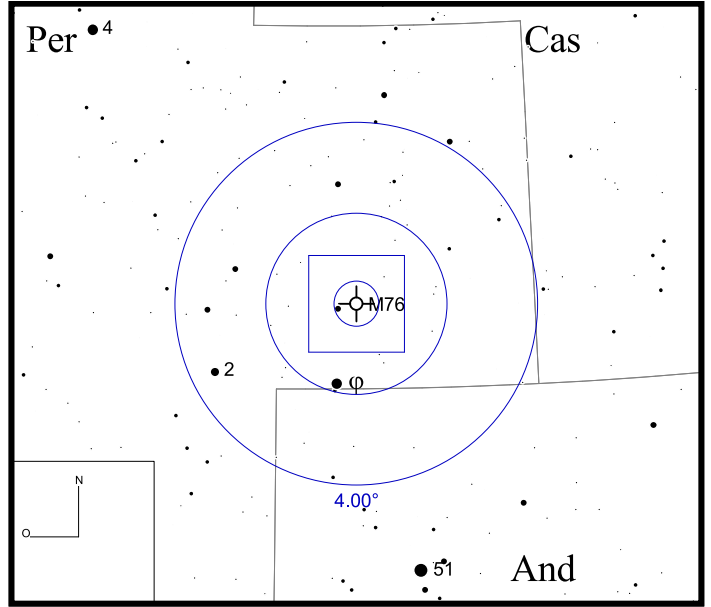
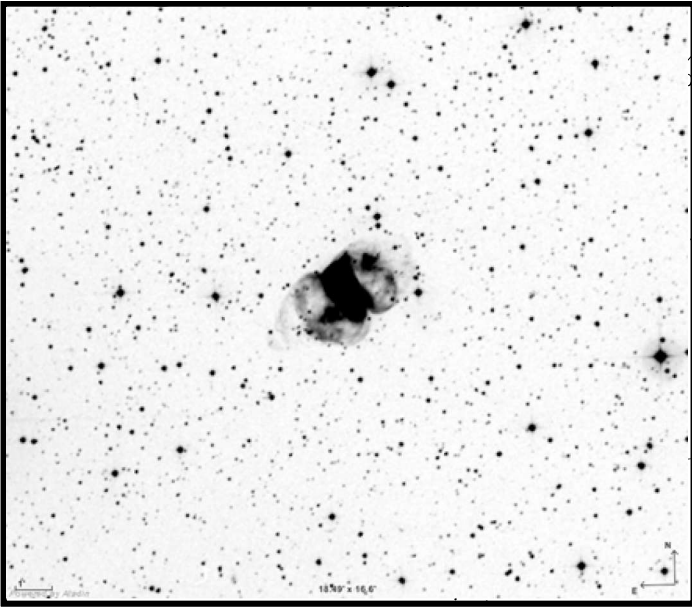
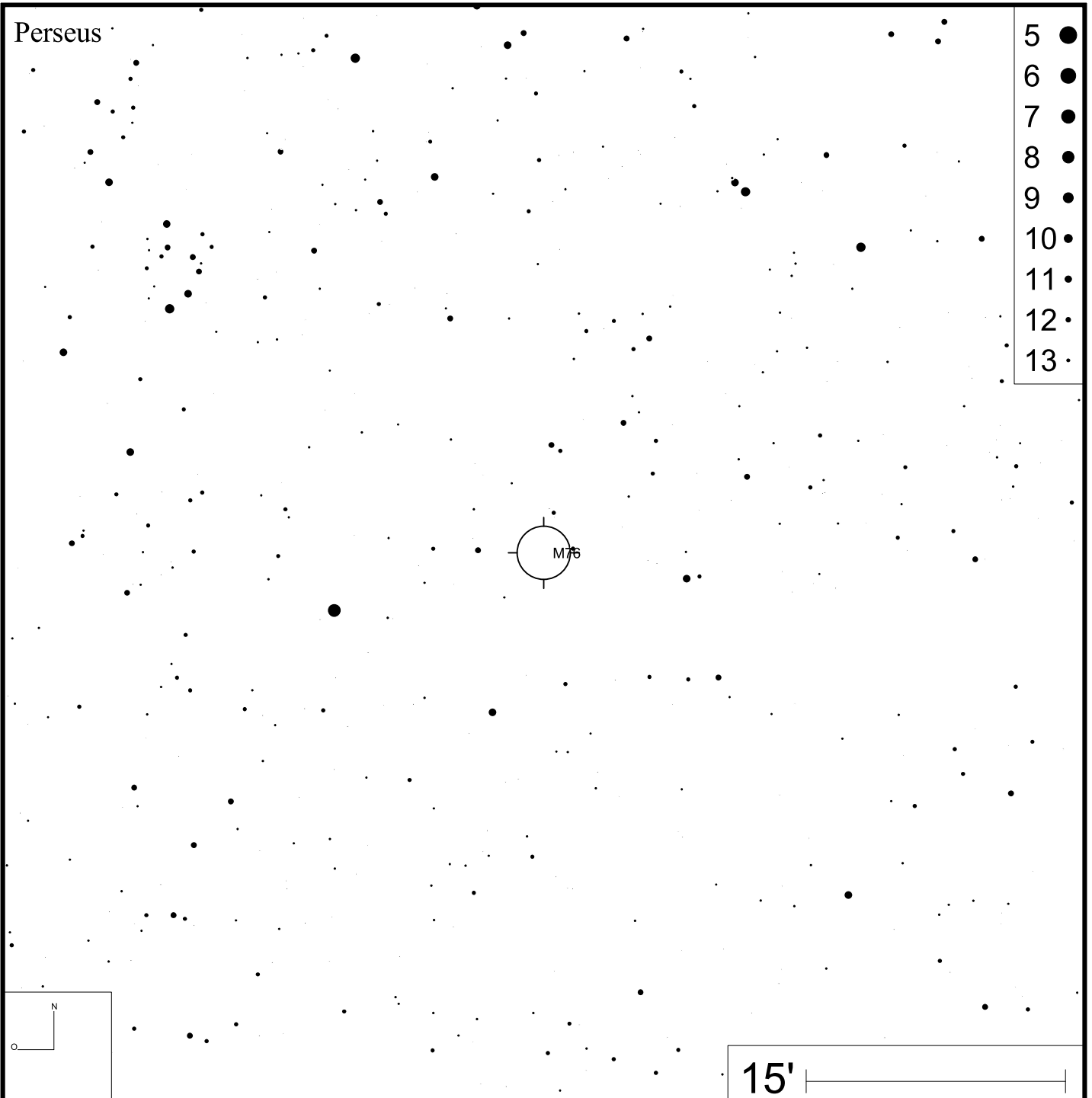


Bild: DSS



M 97

RA 11h14m48s

DEC +55°01'09"

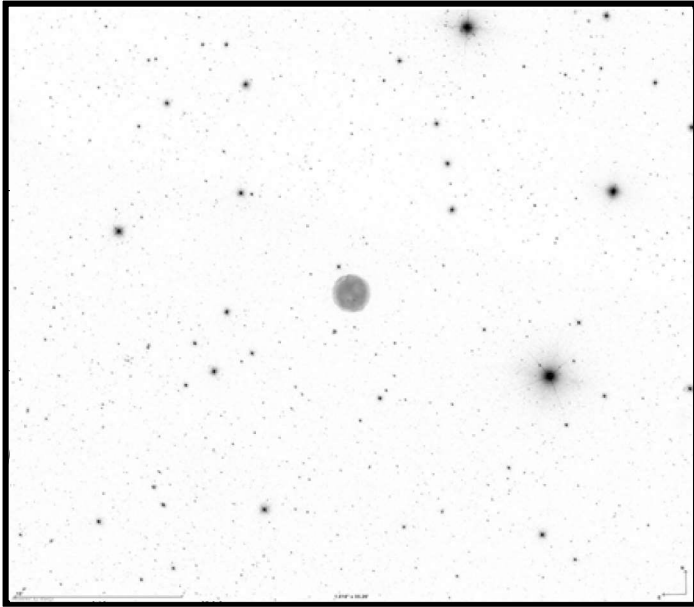


Bild: SDSS

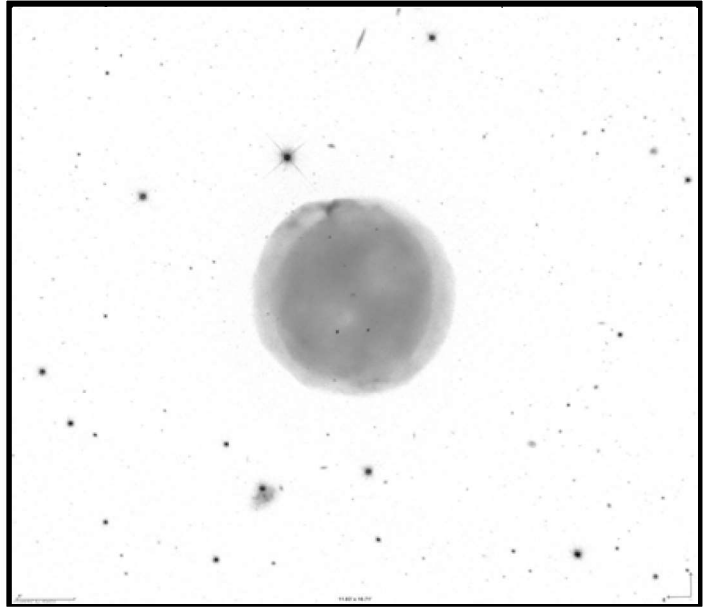
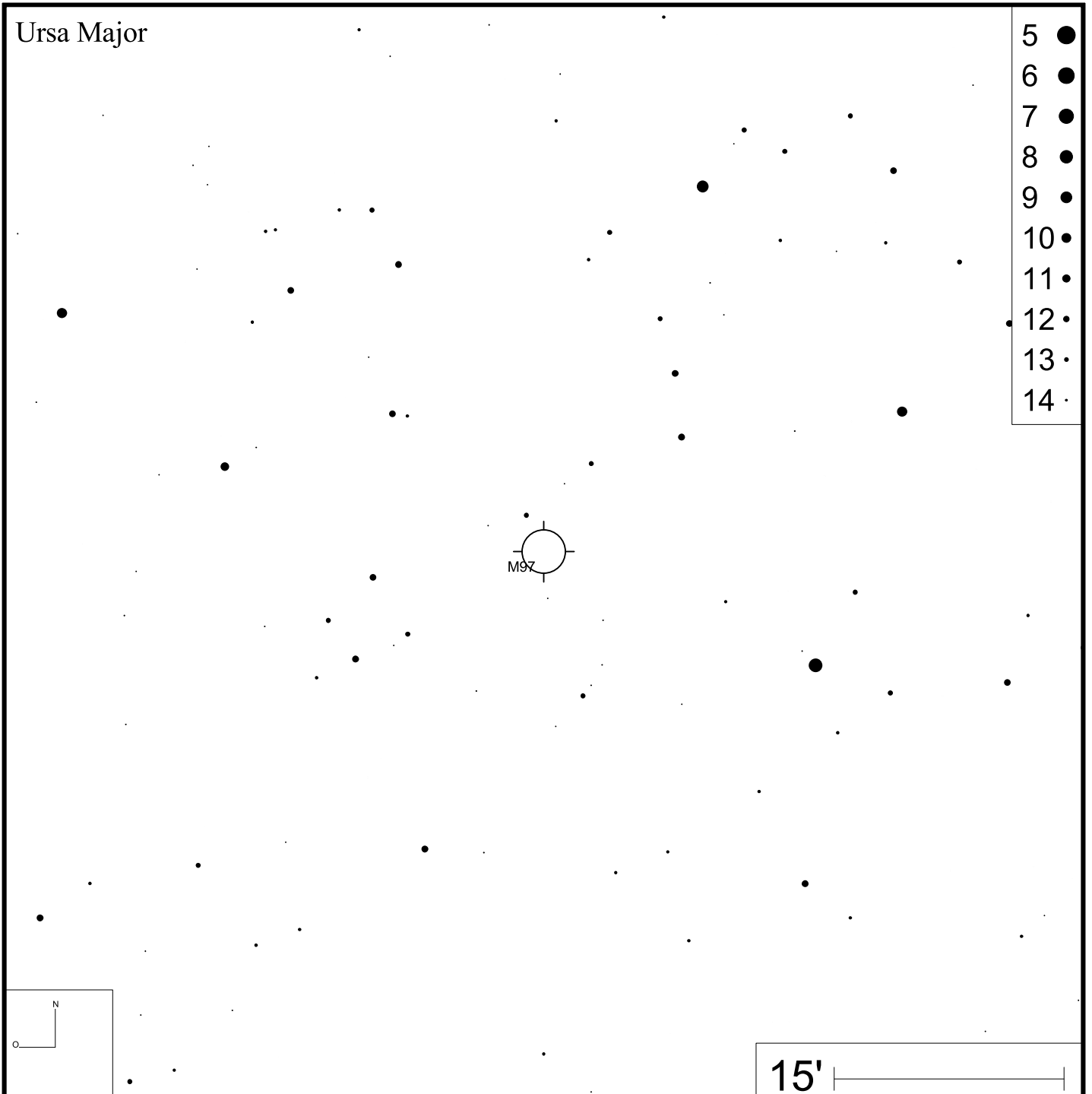


Bild: SDSS

Ursa Major



- 5 ●
- 6 ●
- 7 ●
- 8 ●
- 9 ●
- 10 ●
- 11 ●
- 12 ●
- 13 ●
- 14 ●

M97

15'

Me 1-1 (Merrill 1-1)

RA 19h39m10s

DEC +15°56'47"

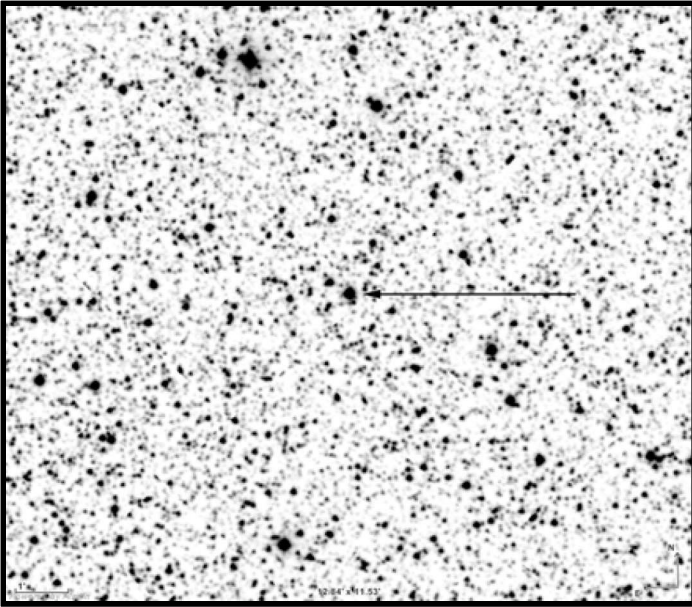


Bild: DSS

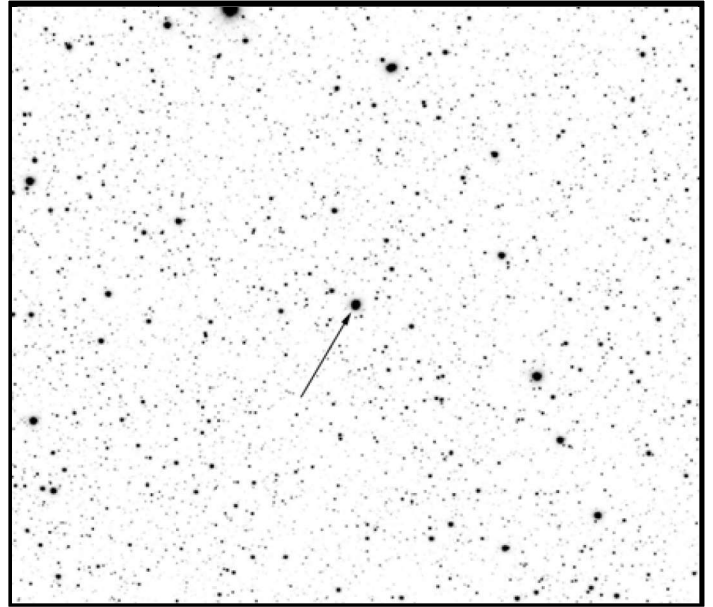
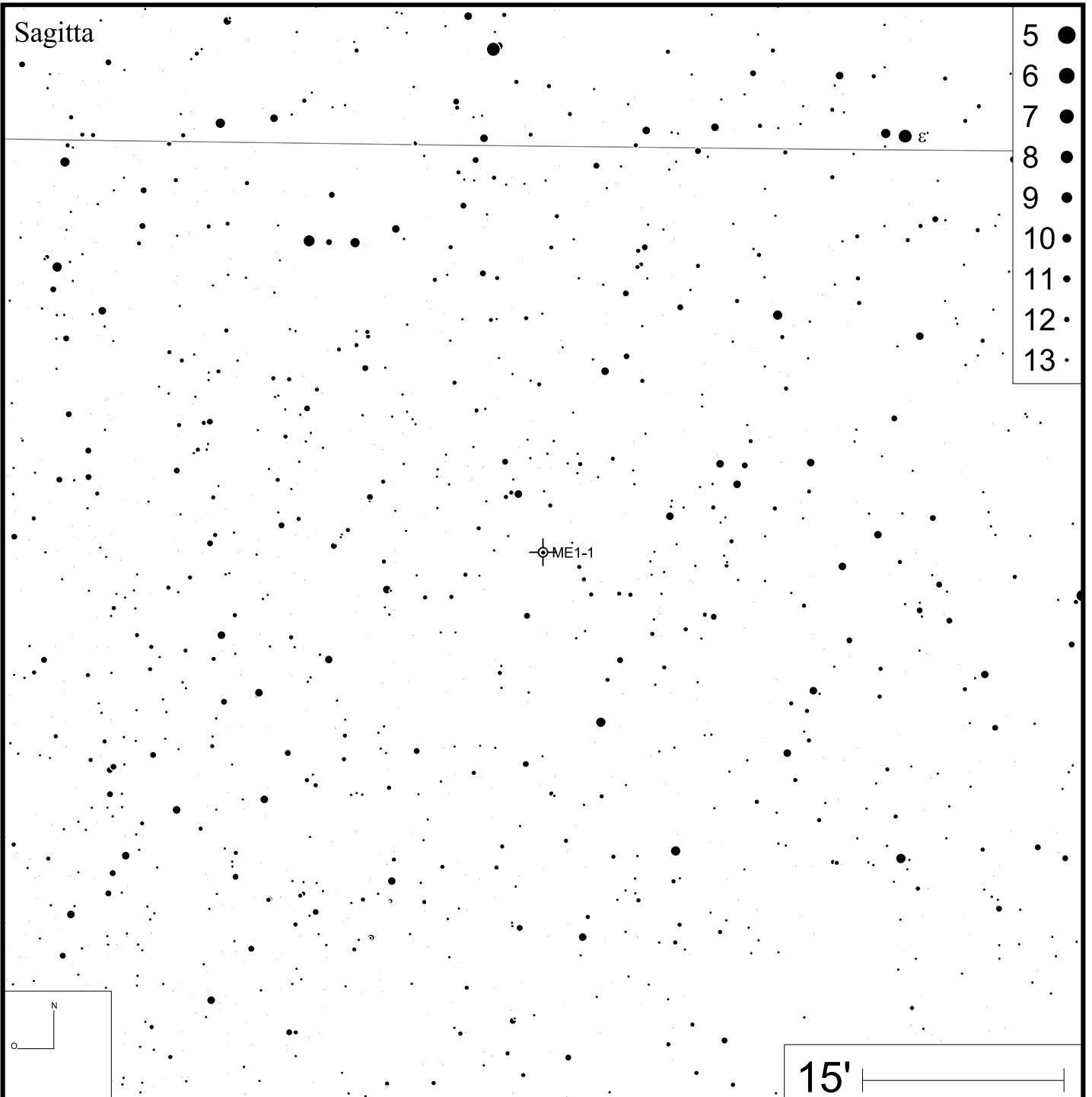


Bild: PanSTARRS



Me 2-1 (Merrill 2-1)

RA 15h22m19s

DEC -23°37'31"

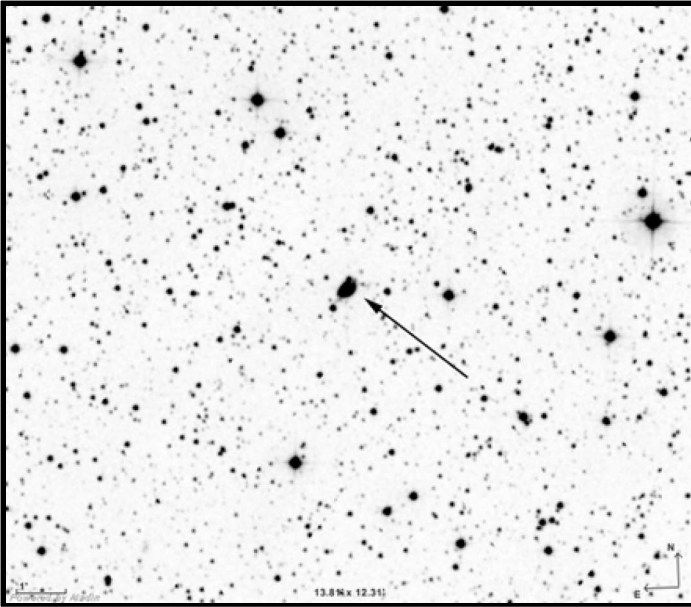
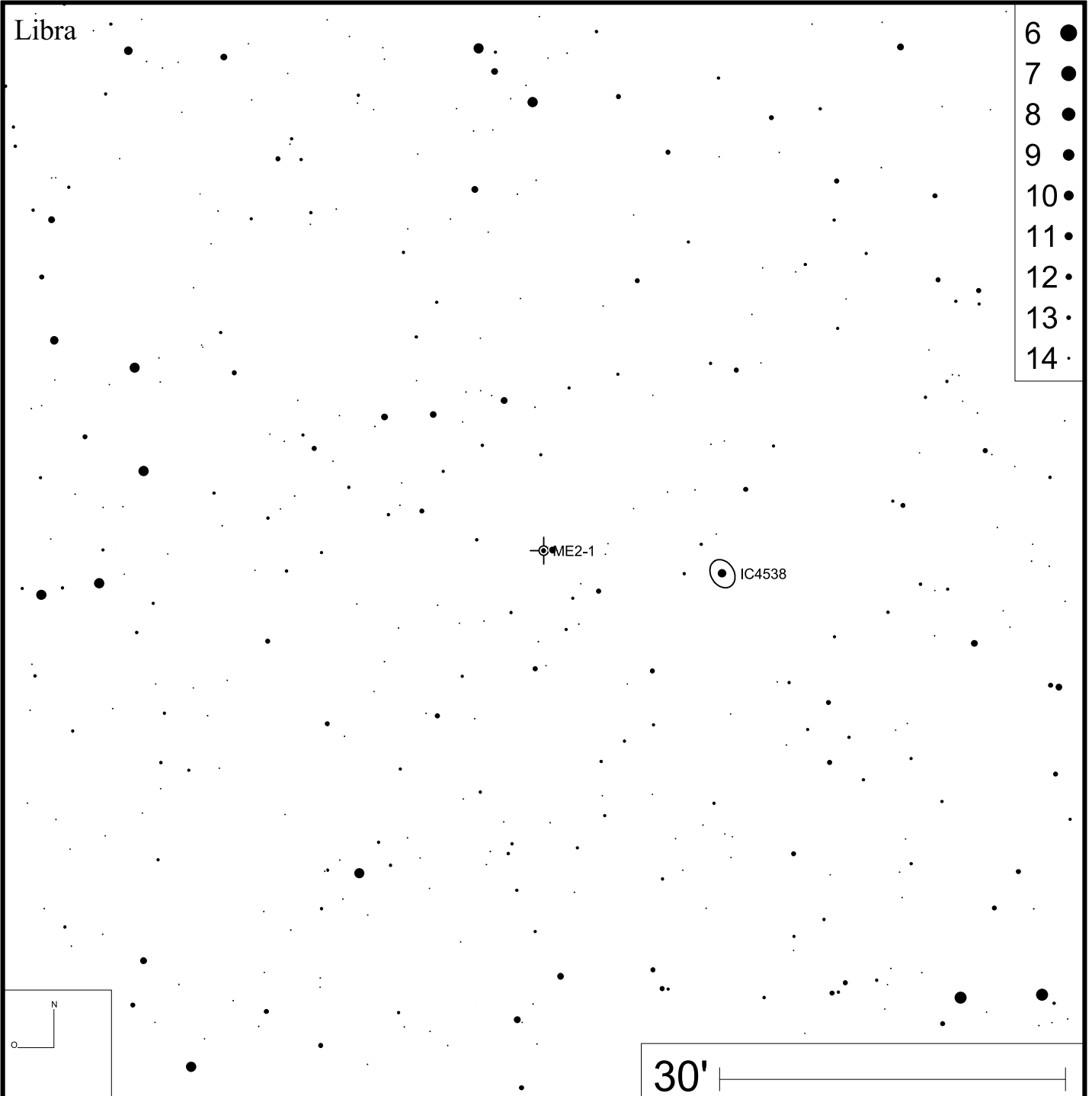
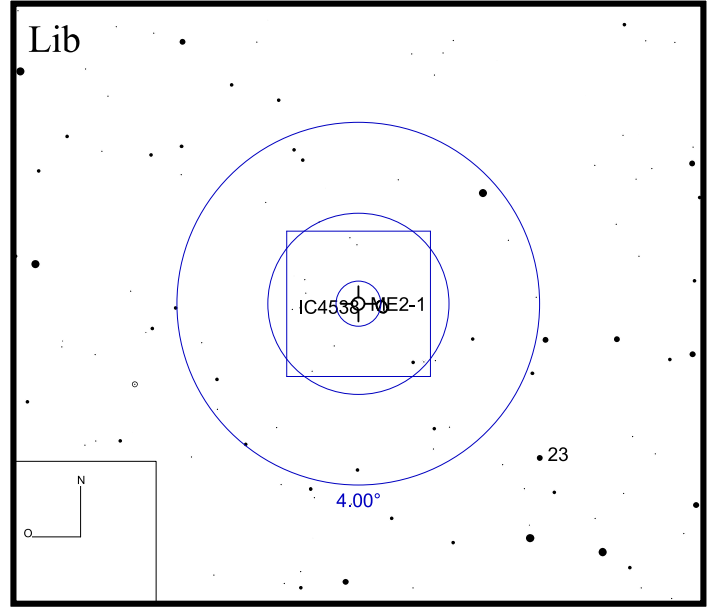


Bild: DSS



Me 2-2

RA 22h31m44s

DEC +47°48'04"

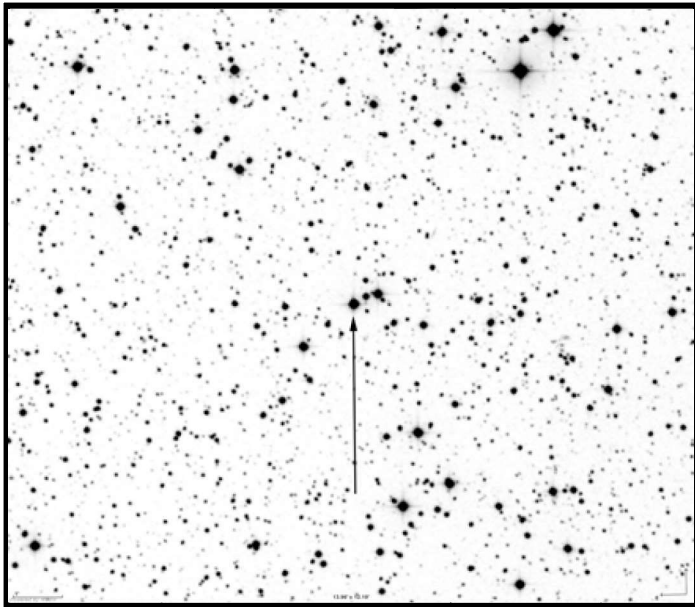
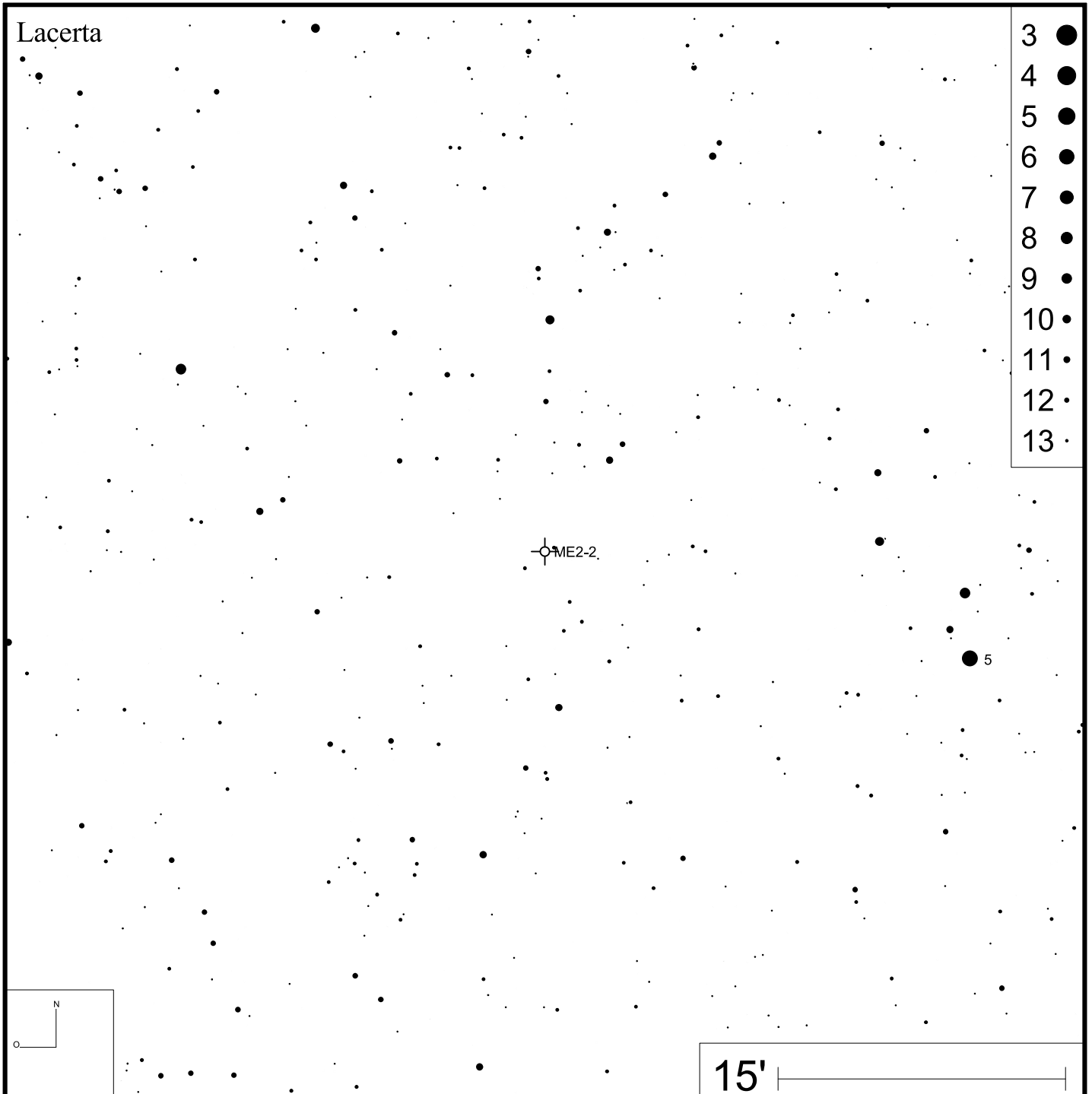
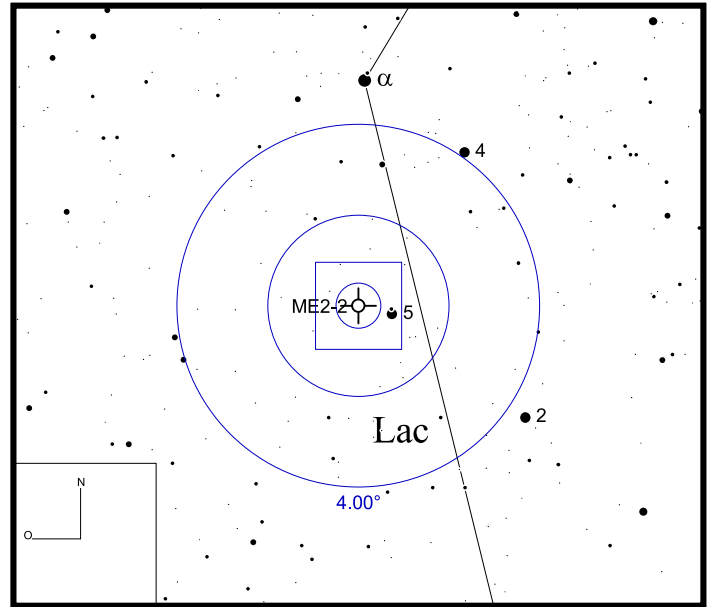


Bild: DSS



Mink 1-7

RA 06h37m21s

DEC +24°00'36"

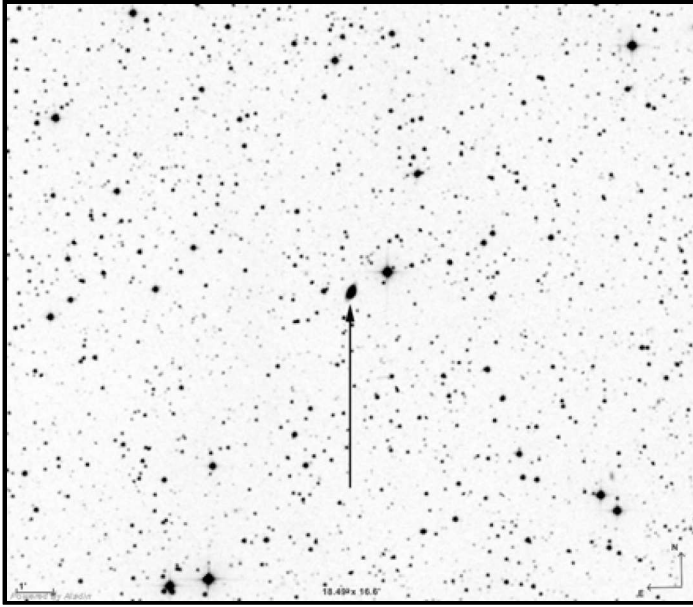
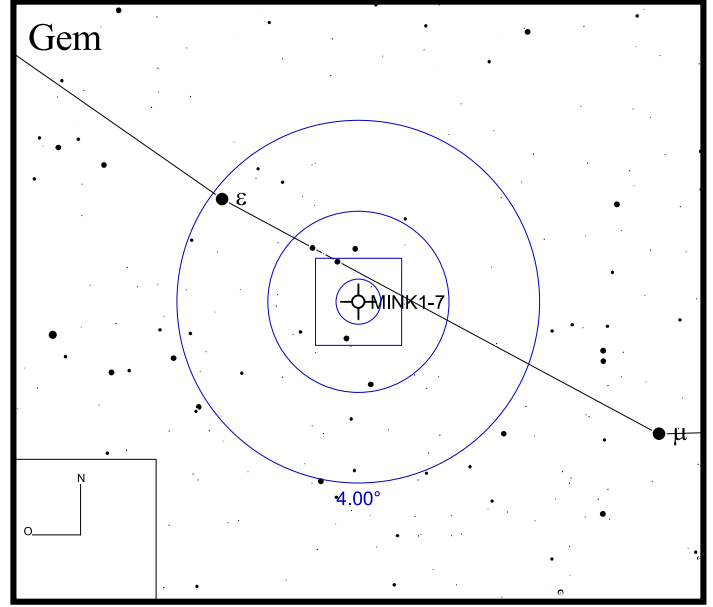
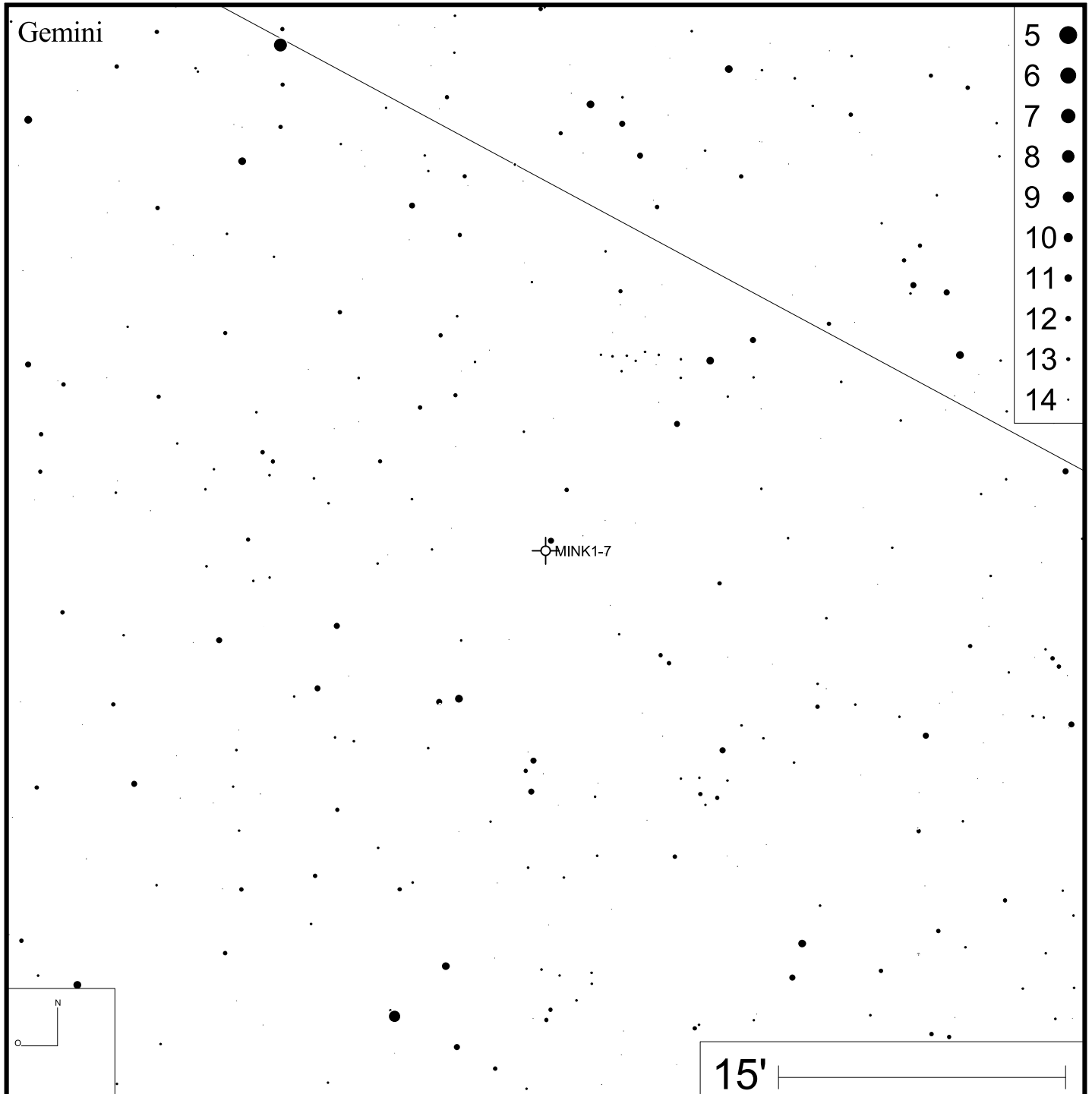


Bild: DSS



Gemini



- 5 ●
- 6 ●
- 7 ●
- 8 ●
- 9 ●
- 10 ●
- 11 ●
- 12 ●
- 13 ●
- 14 ●

Mink 1-8

RA 06h53m34s

DEC +03°08'25"

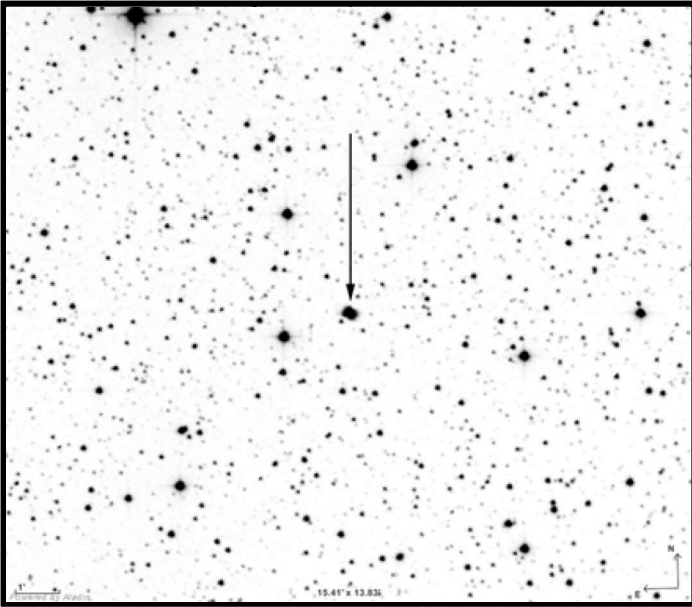


Bild: DSS

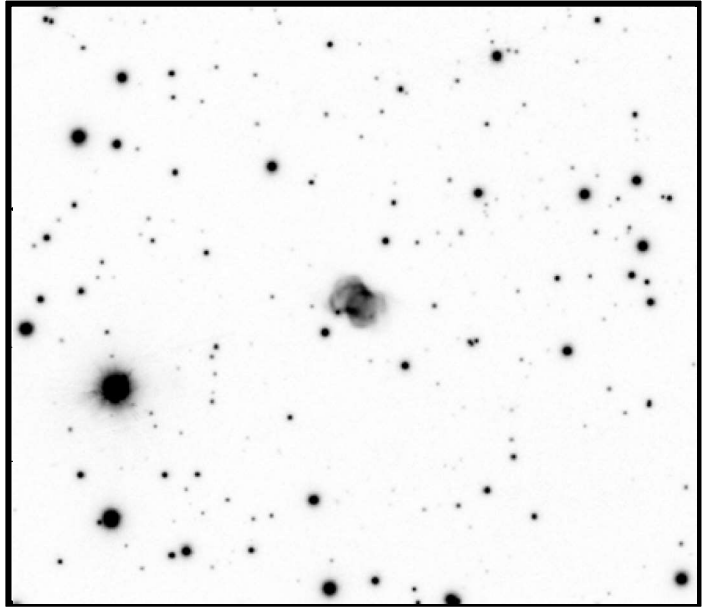
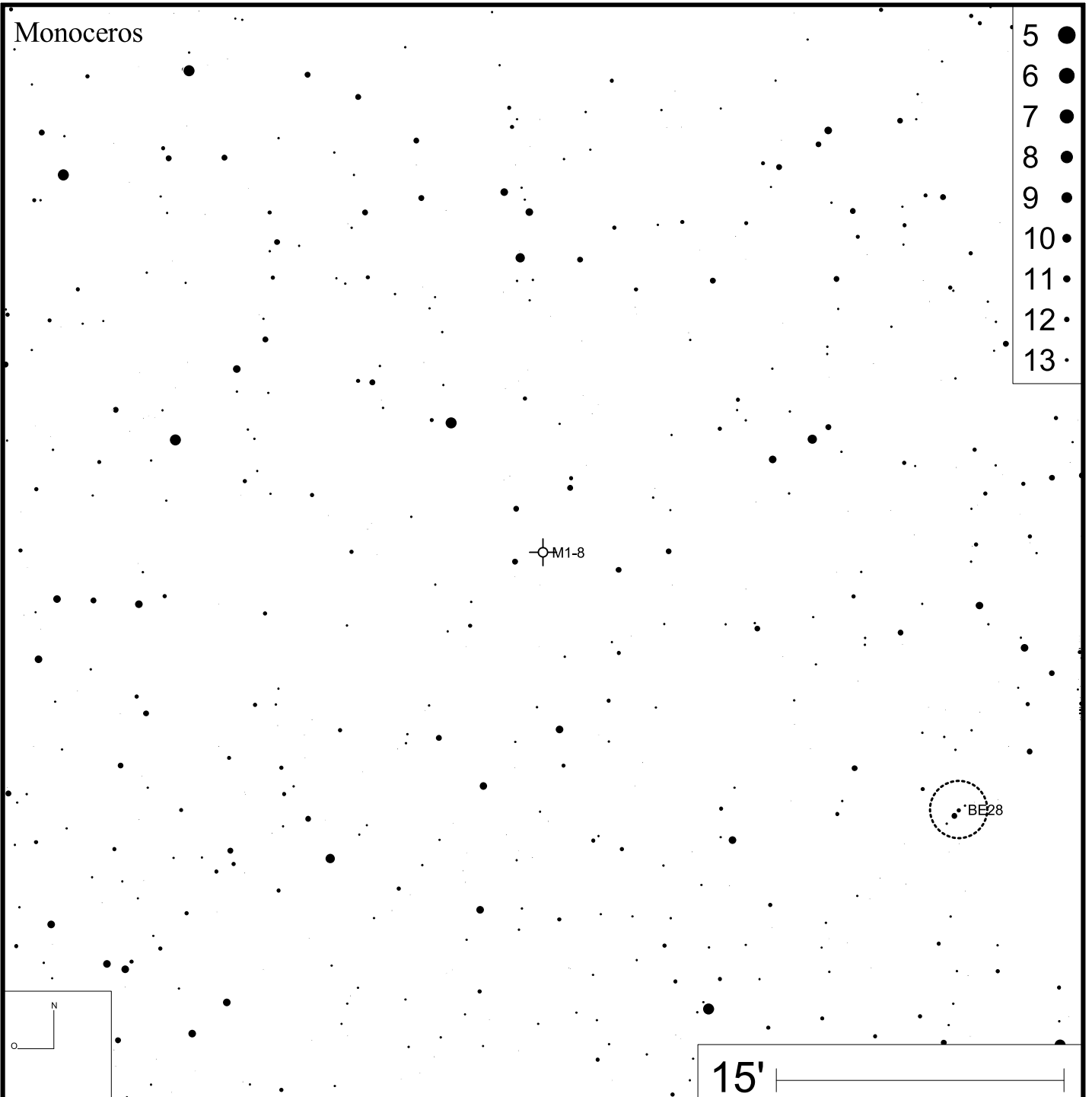


Bild: PanSTARRS (red)

Monoceros



Mink 1-9

RA 07h05m19s

DEC +02°46'59"

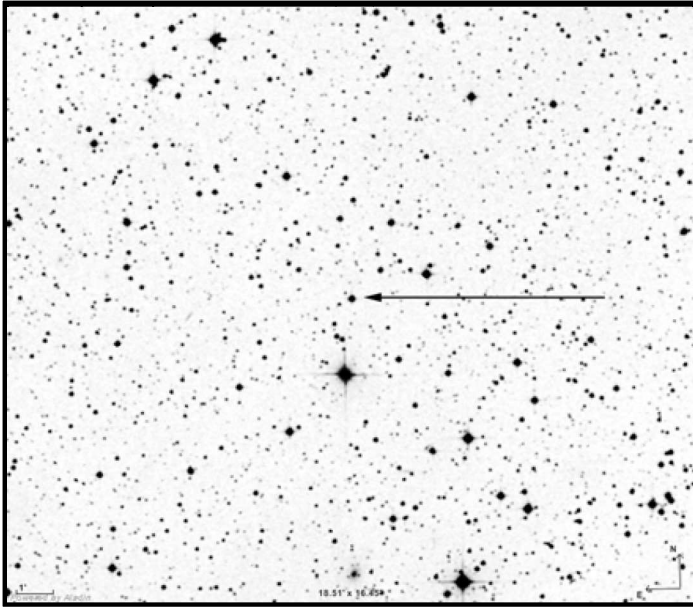
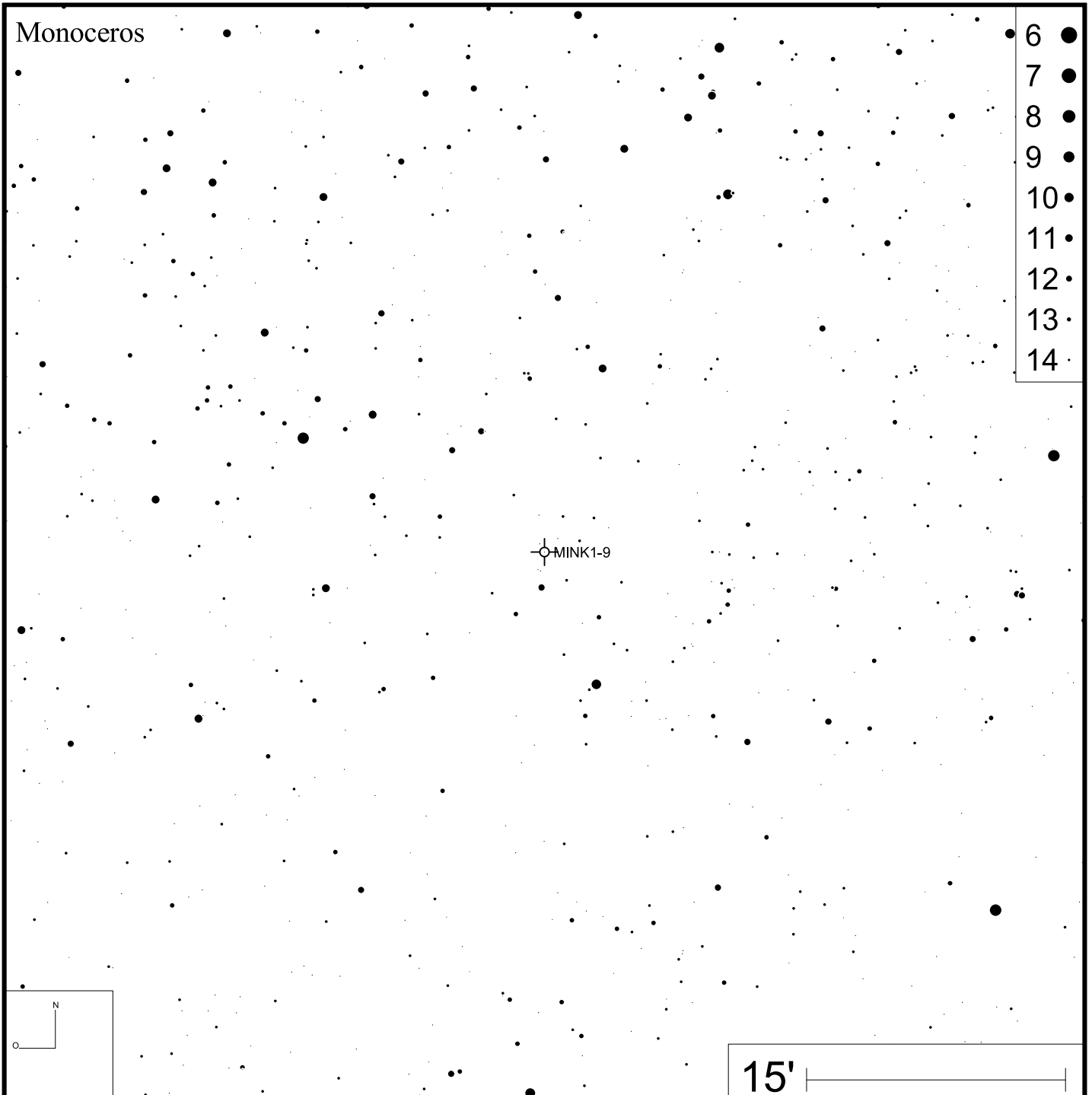
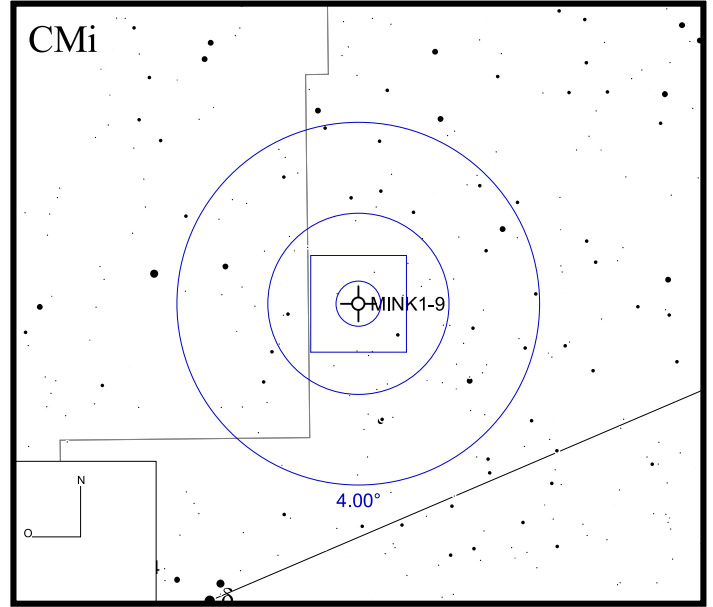


Bild: DSS



Mink 1-54

RA 18h36m08s

DEC -16°59'59"

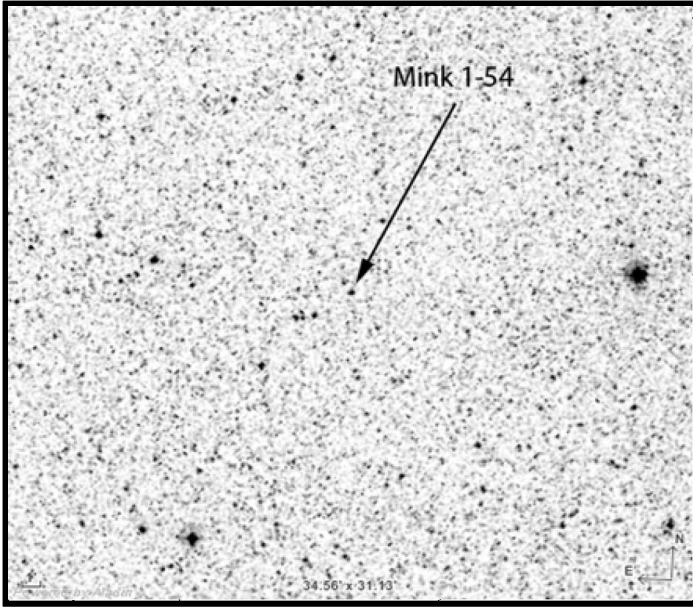
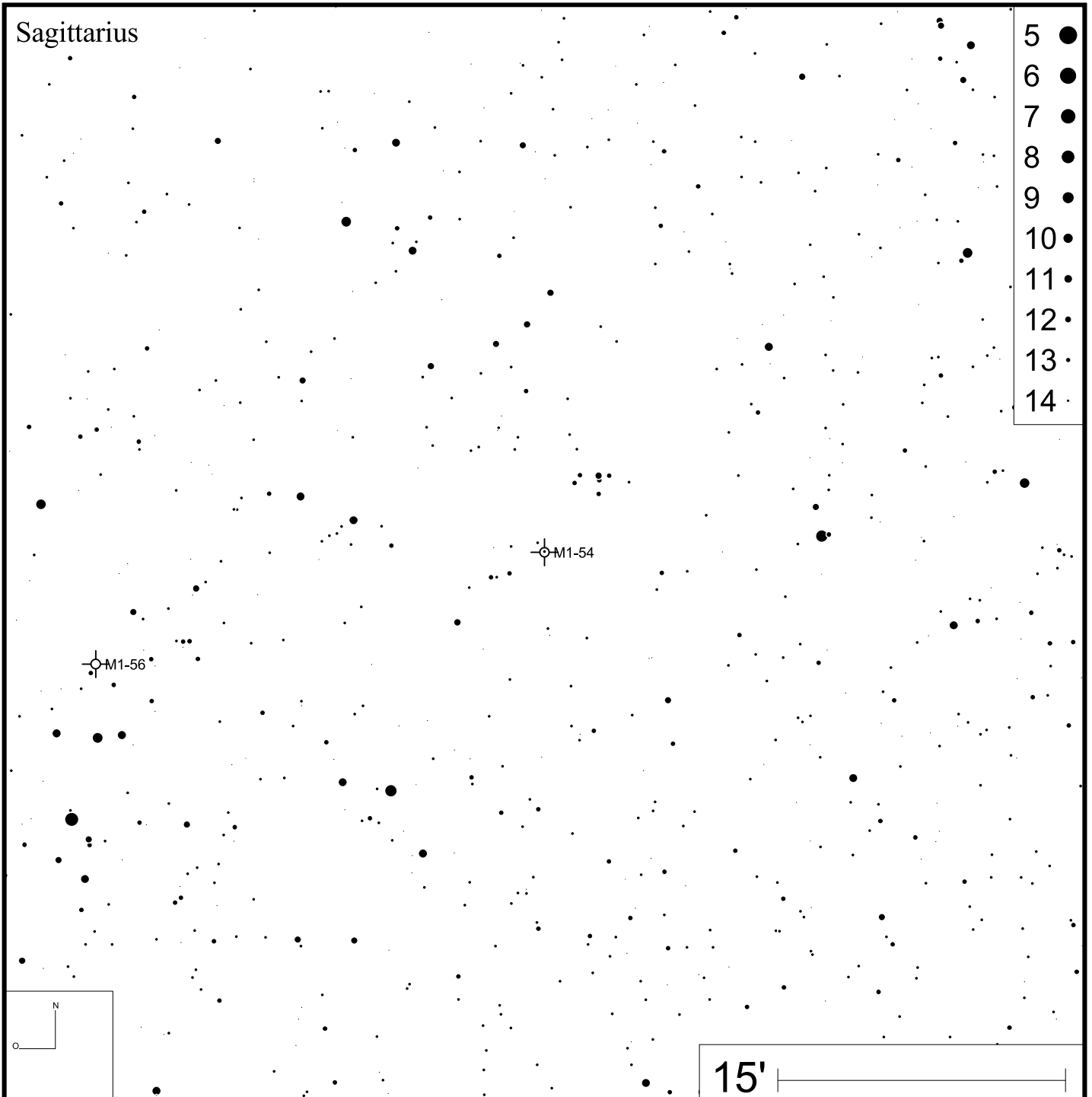
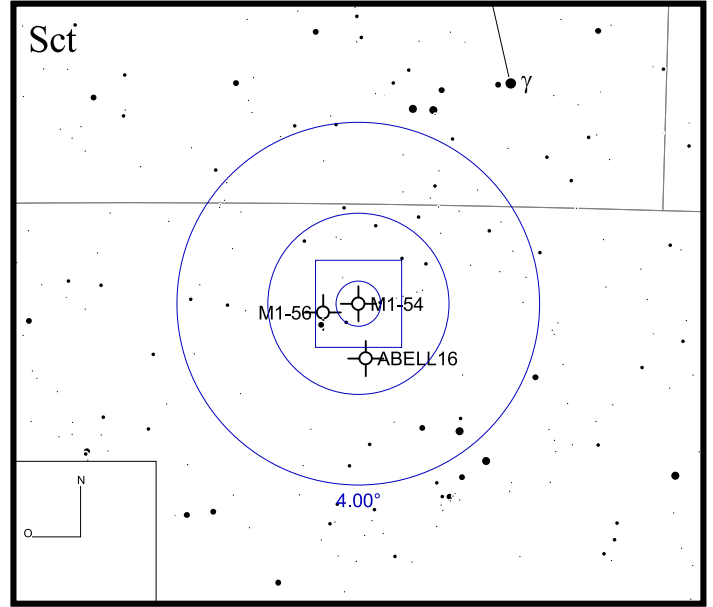


Bild: DSS



Mink 1-56

RA 18h37m47s

DEC -17°05'469"

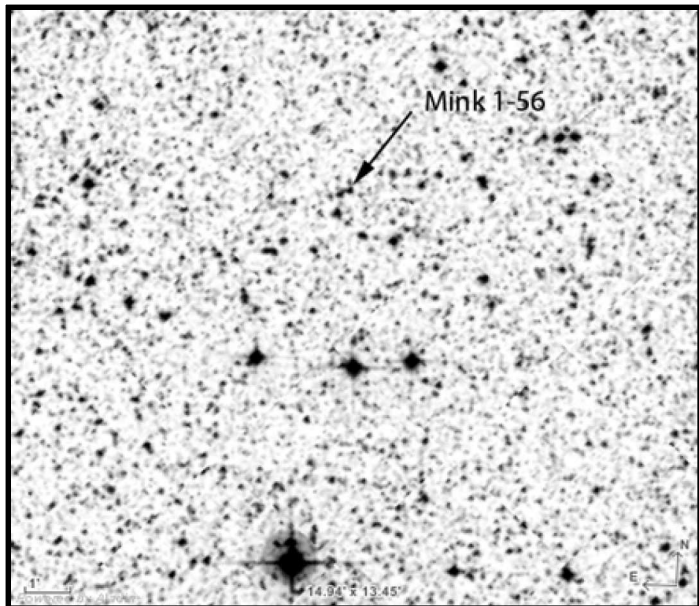
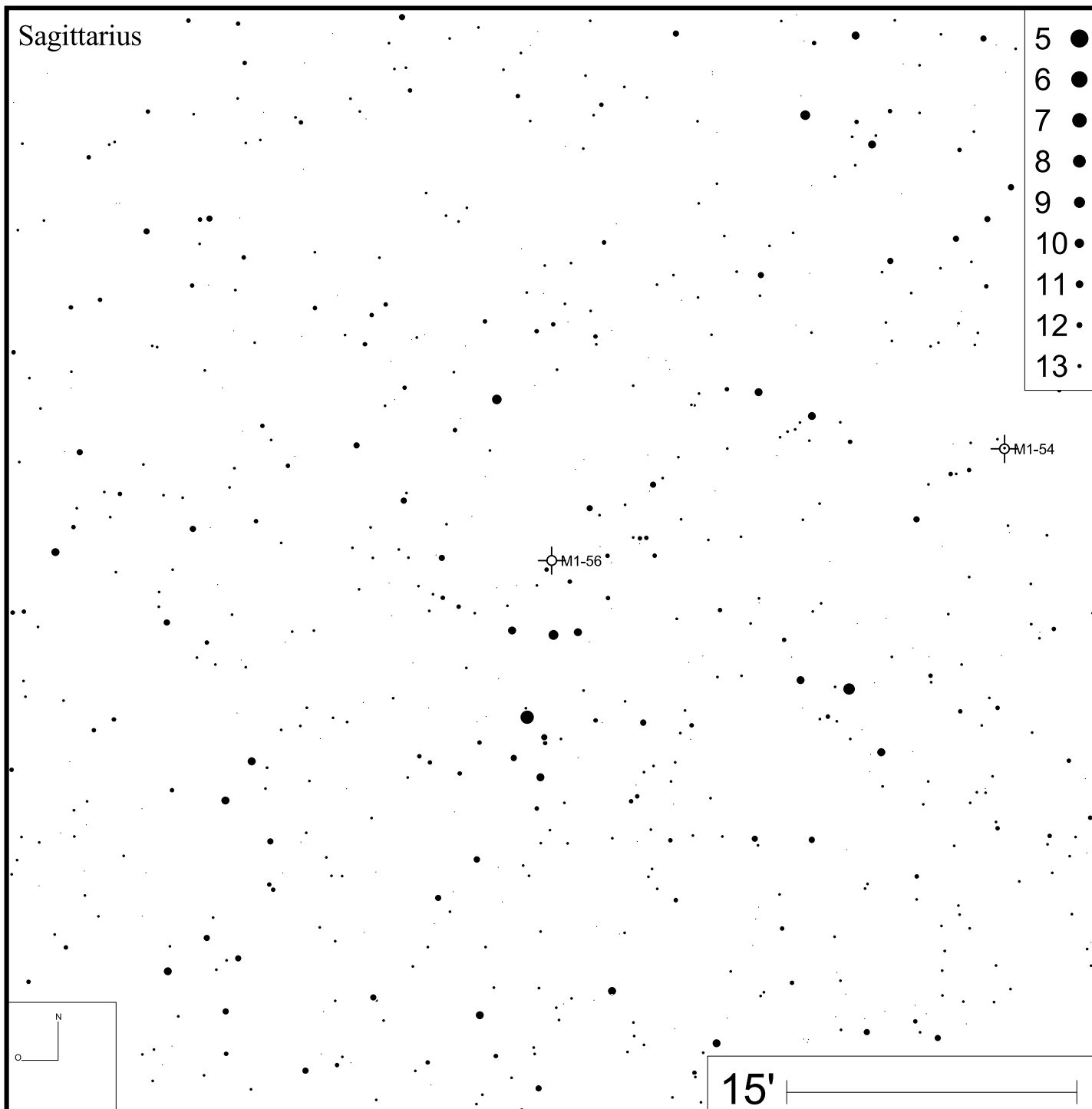
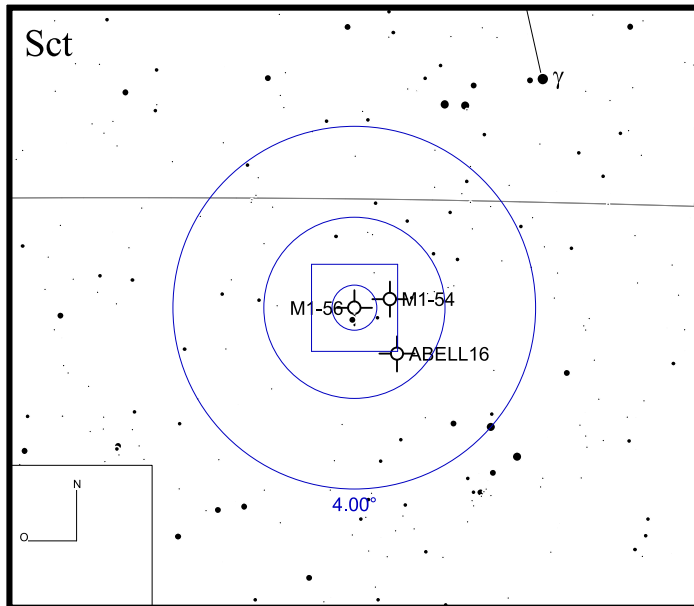


Bild: DSS



Mink 1-57

RA 18h40m20s

DEC -10°39'47"

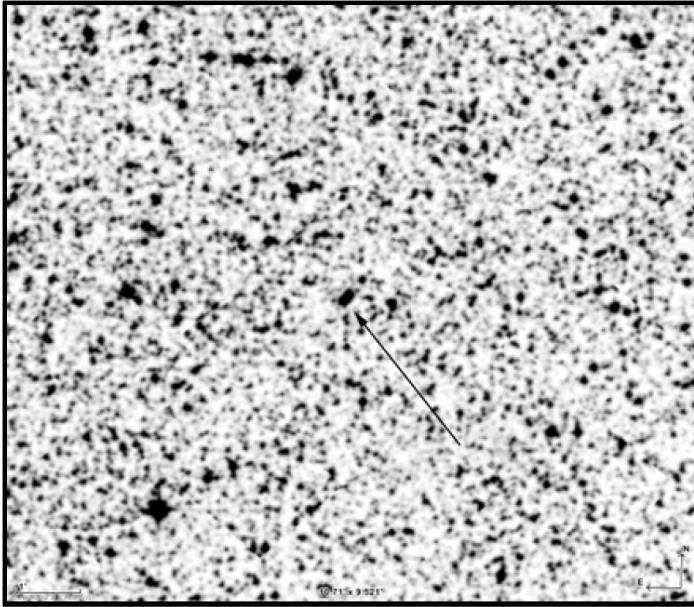


Bild: DSS

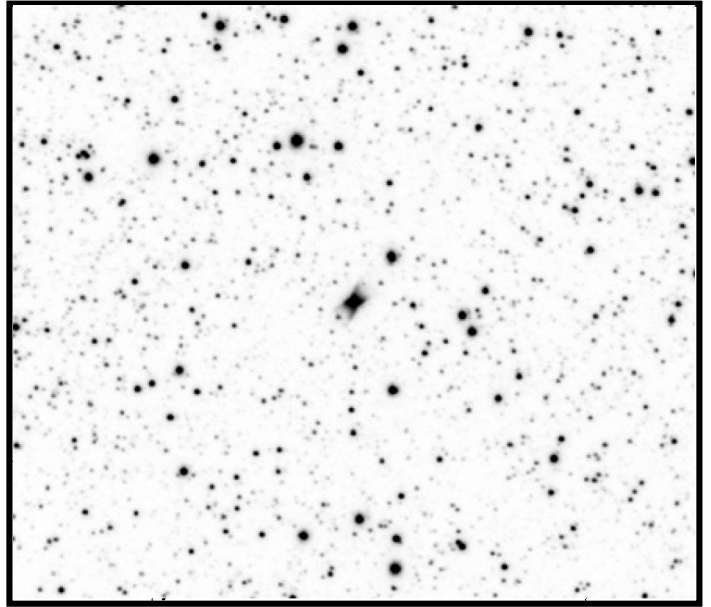
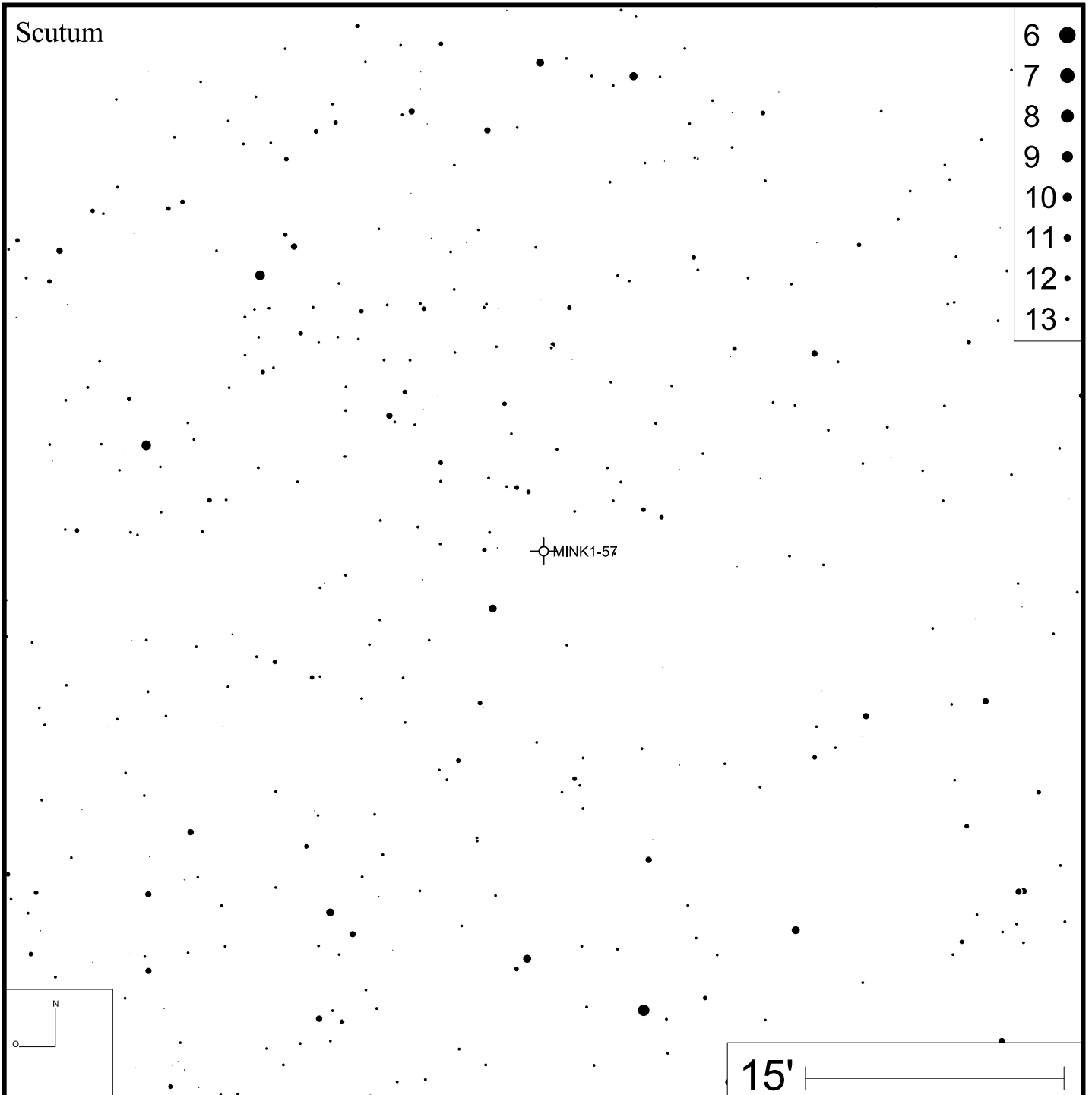


Bild: PanSTARRS (green)

Scutum



- 6 ●
- 7 ●
- 8 ●
- 9 ●
- 10 ●
- 11 ●
- 12 ●
- 13 ●

MINK1-57

15'

Mink 1-59

RA 18h43m20s

DEC -09°04'49"

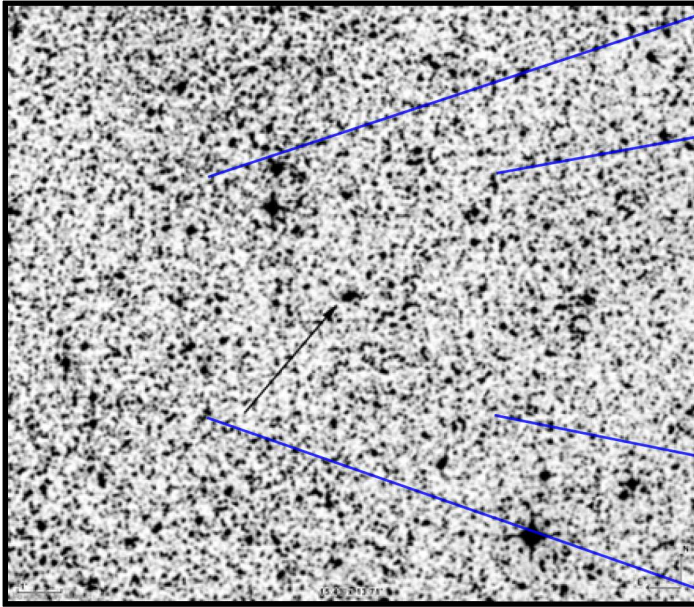


Bild: DSS

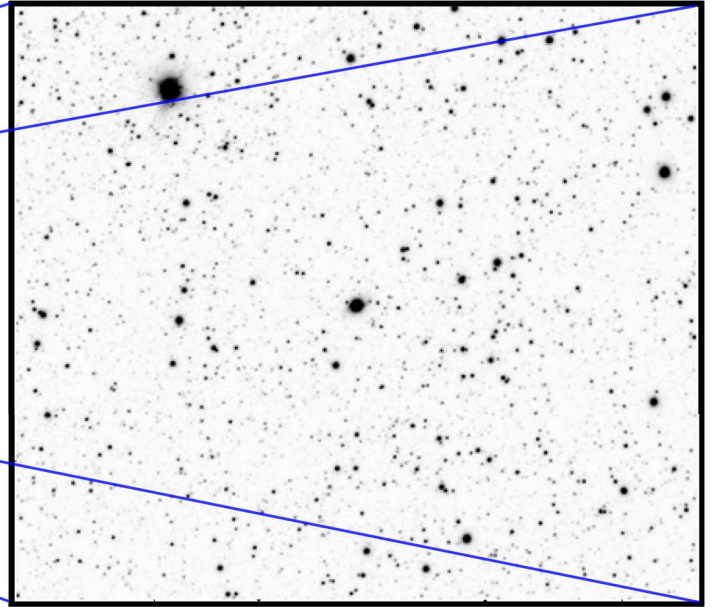
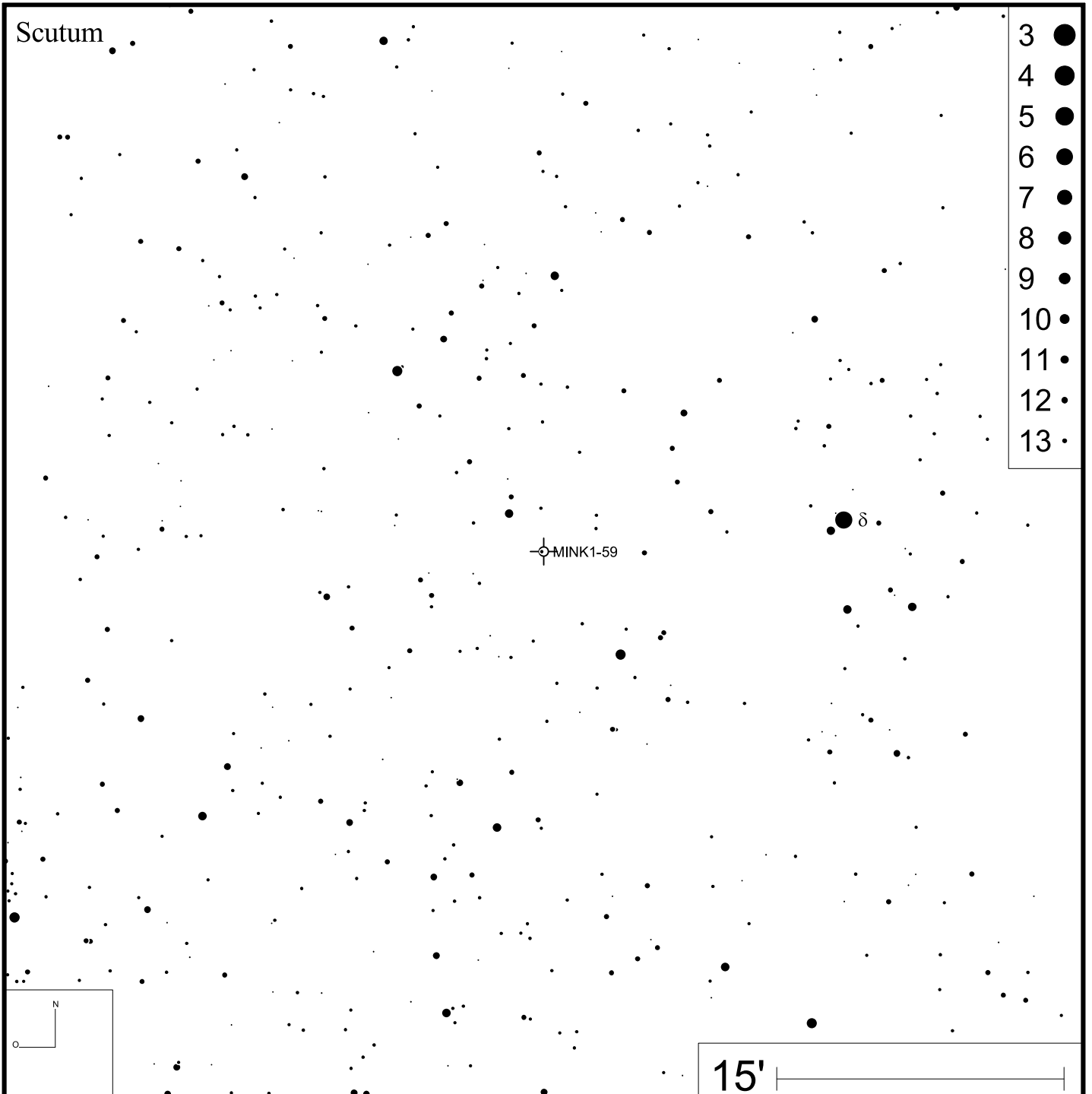


Bild: PanSTARRS



Mink 1-64

RA 18h50m02s

DEC +35°14'35"

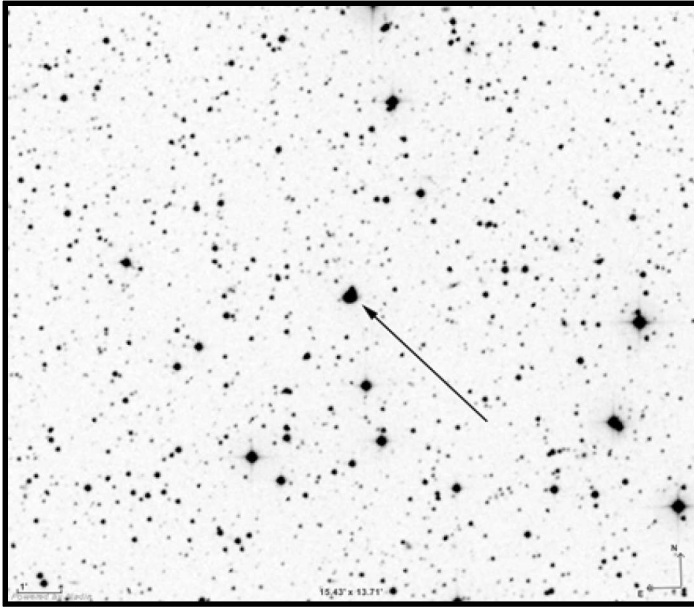
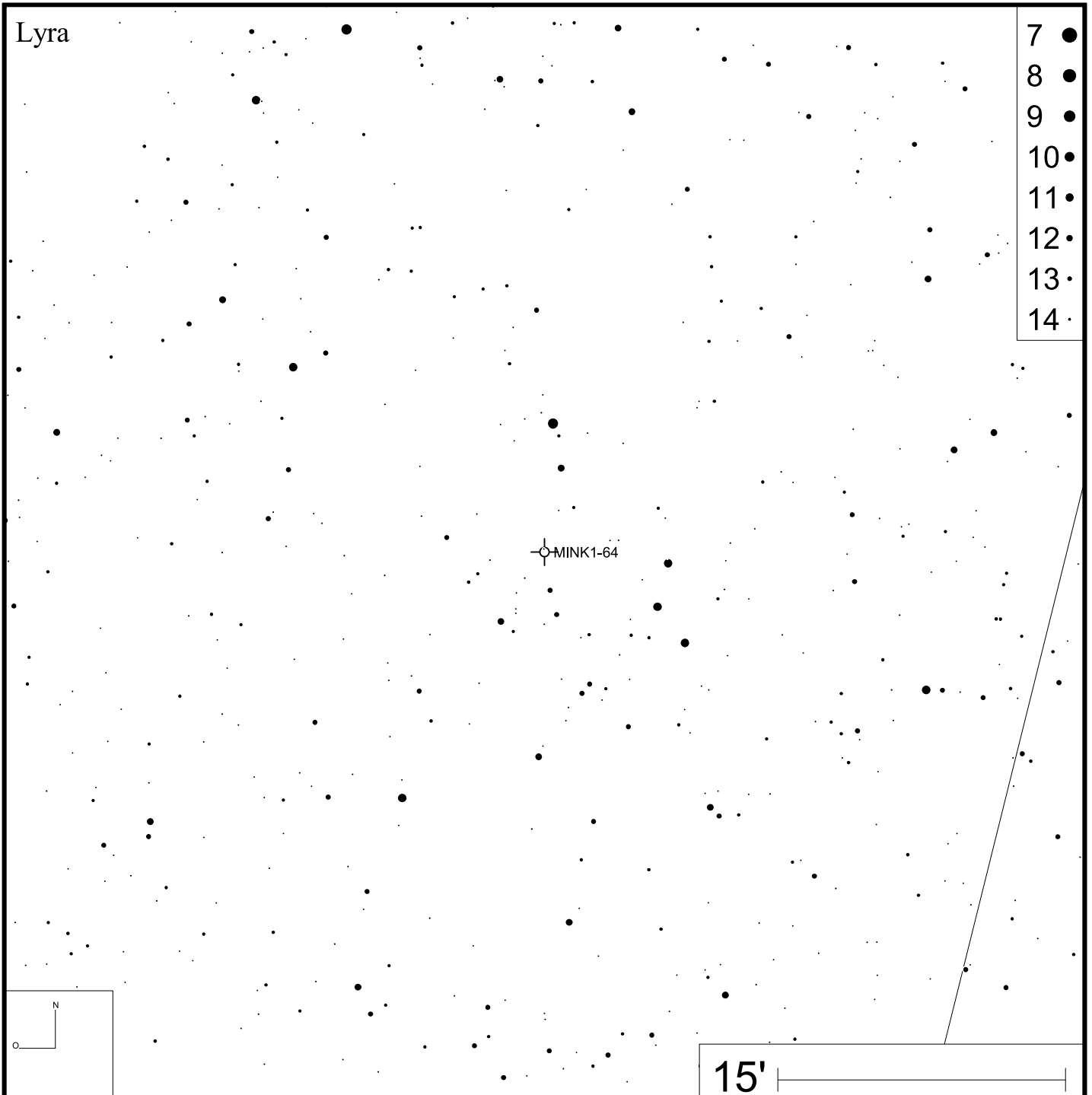
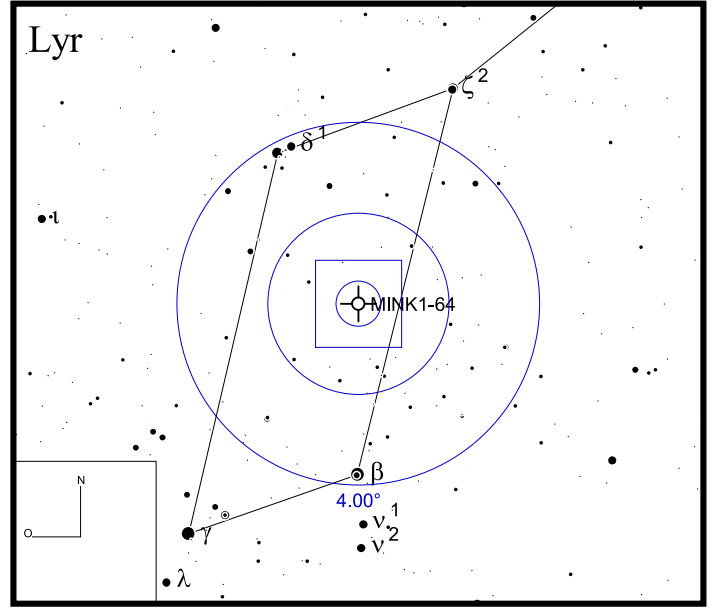


Bild: DSS



Mink 1-66

RA 18h58m26s

DEC -01°03'44"

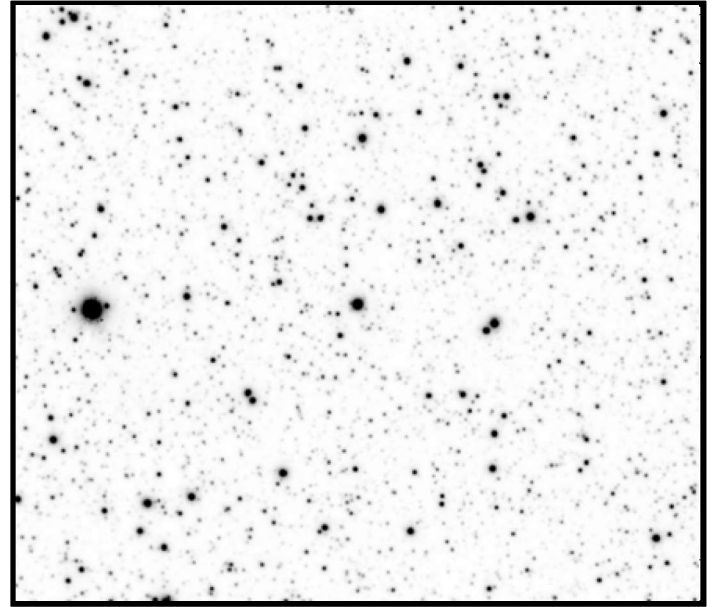
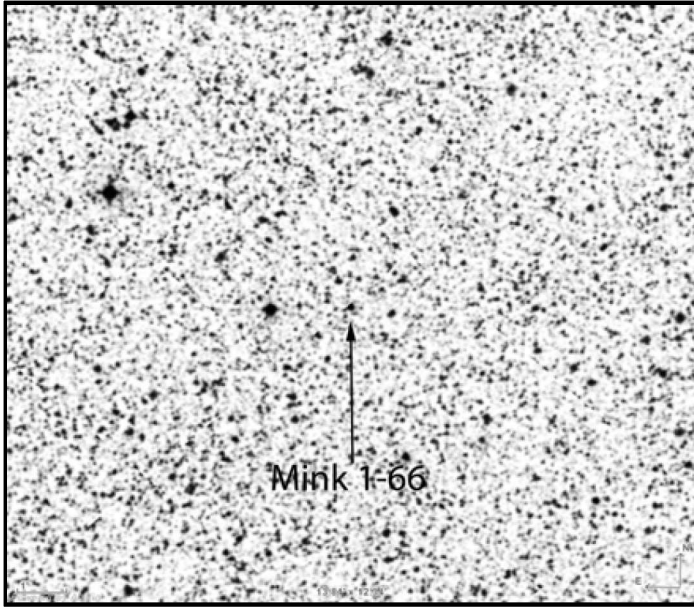
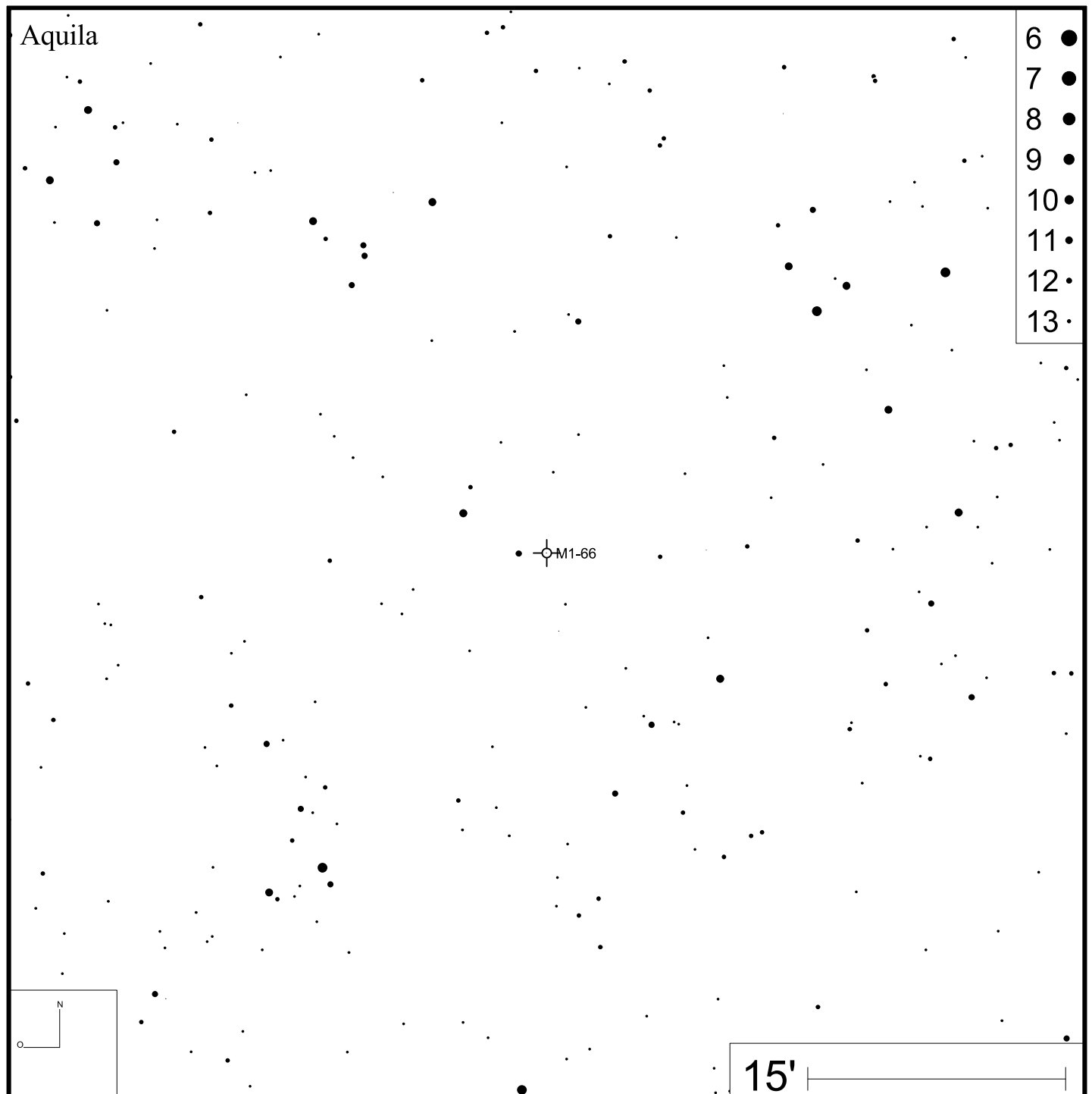


Bild: DSS

Bild: PanSTARRS



Mink 1-73

RA 19h41m09s

DEC +14°56'59"

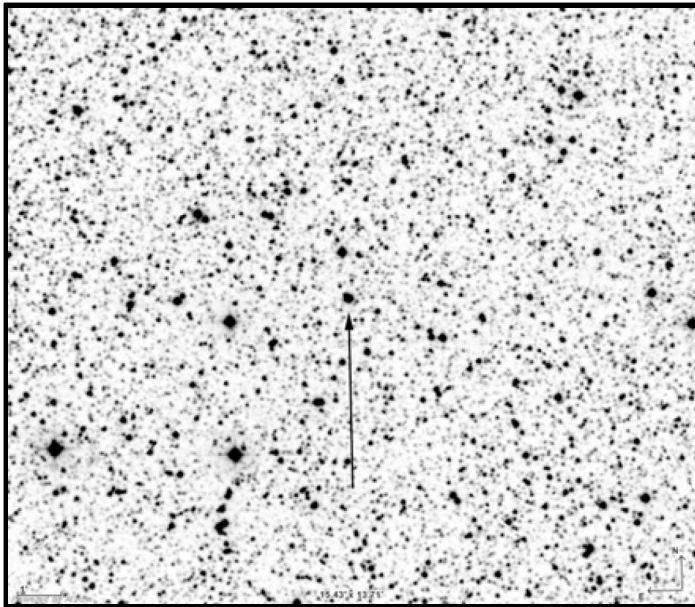
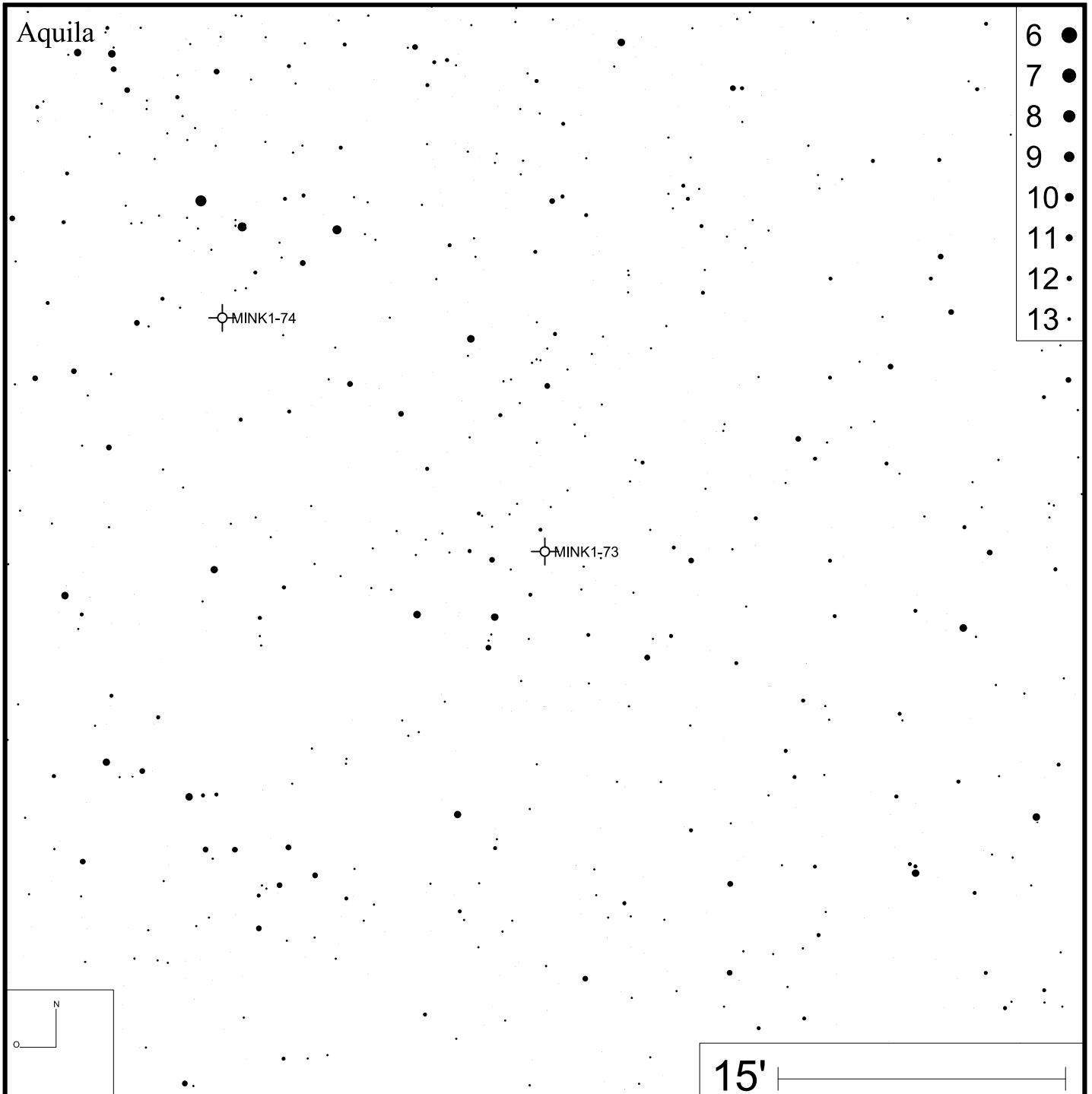
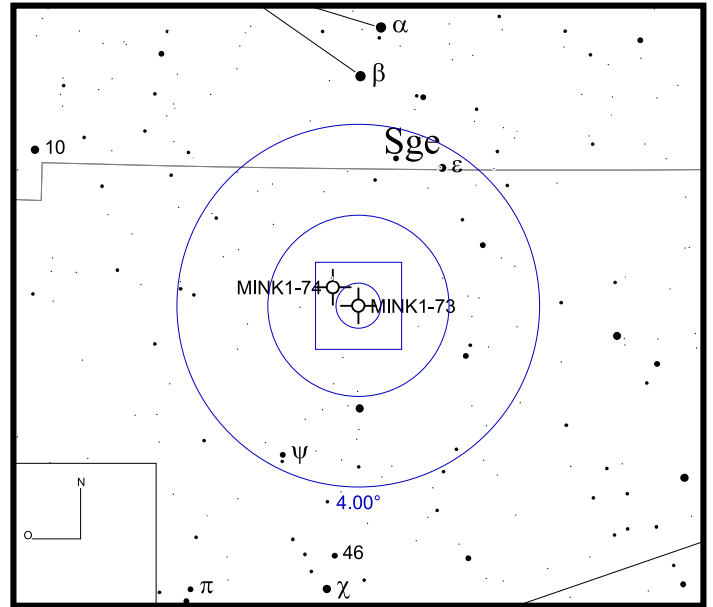


Bild: DSS



Mink 1-74

RA 19h42m19s

DEC +15°09'08"

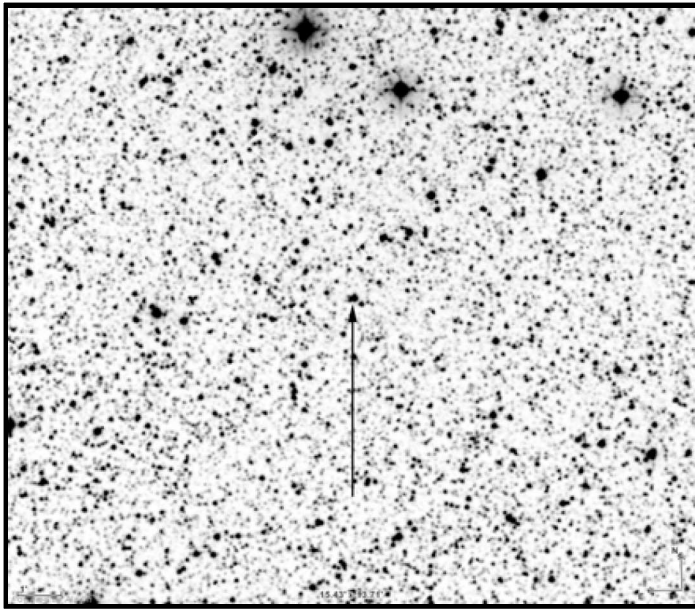
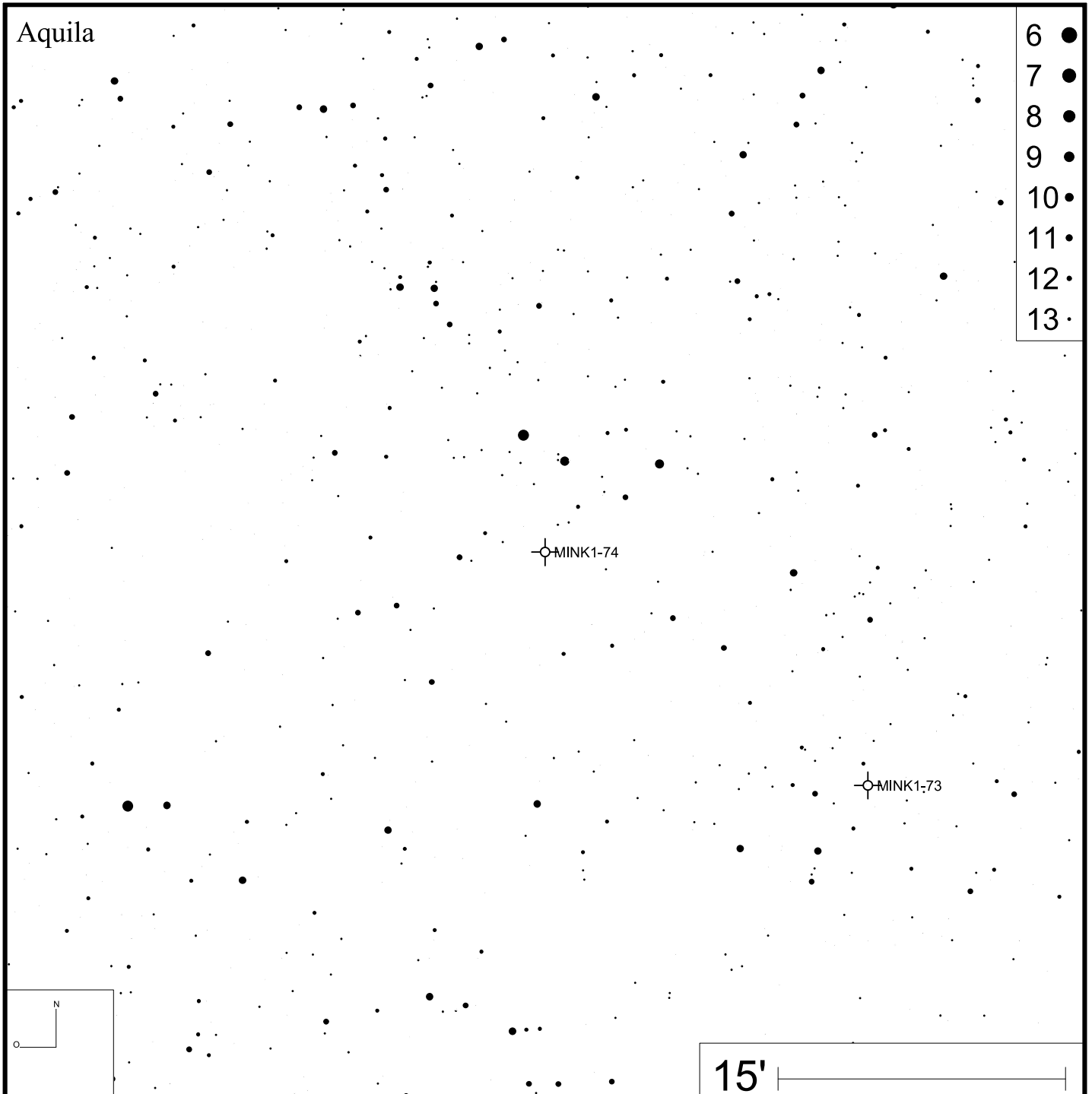
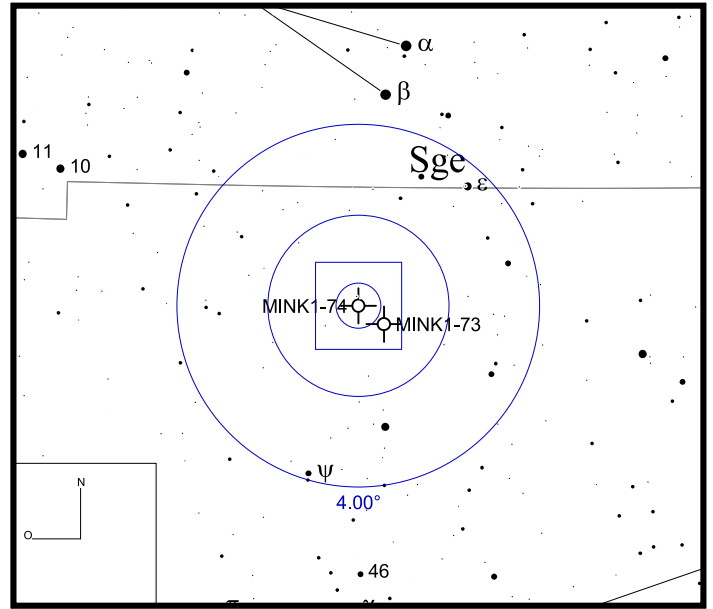


Bild: DSS



Mink 1-77

RA 21h19m08s

DEC +46°18'48"

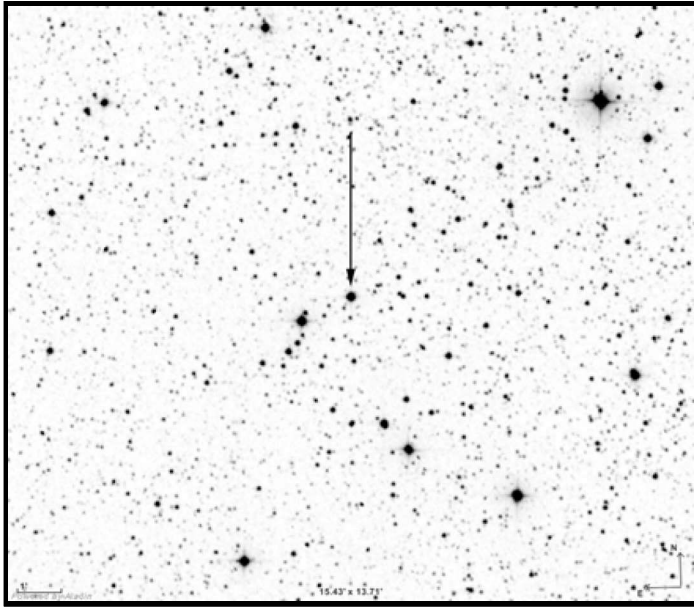
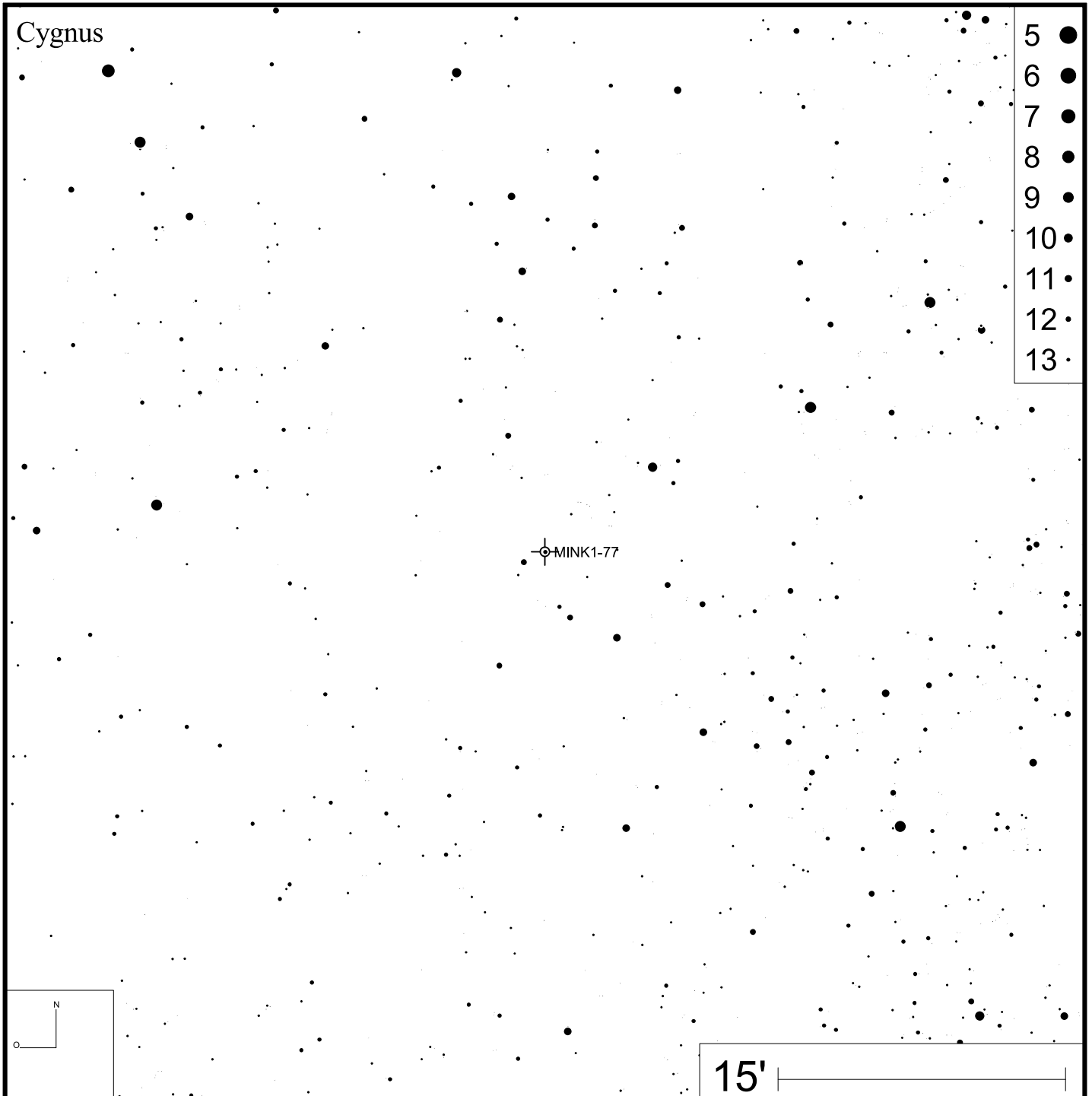
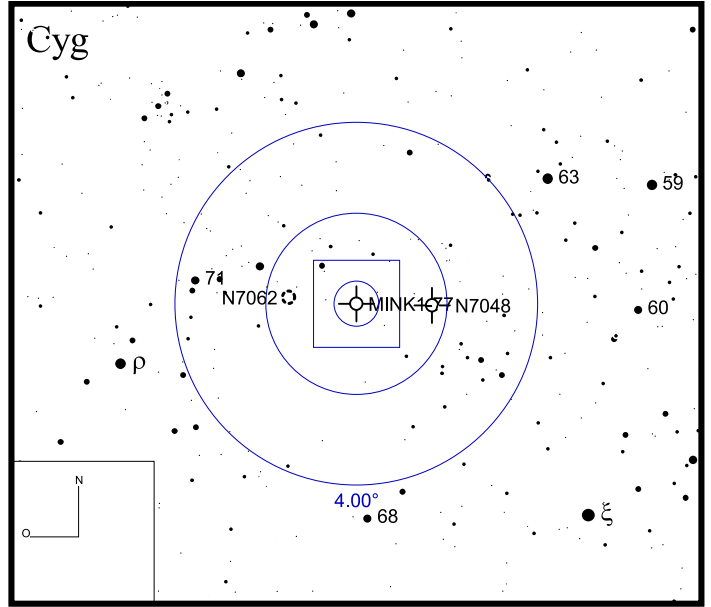


Bild: DSS



Mink 1-79

RA 21h37m01s

DEC +48°56'02"

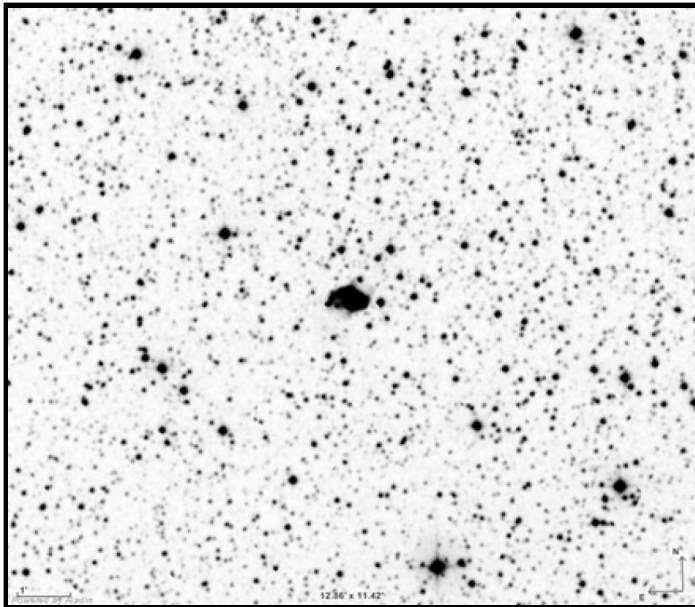
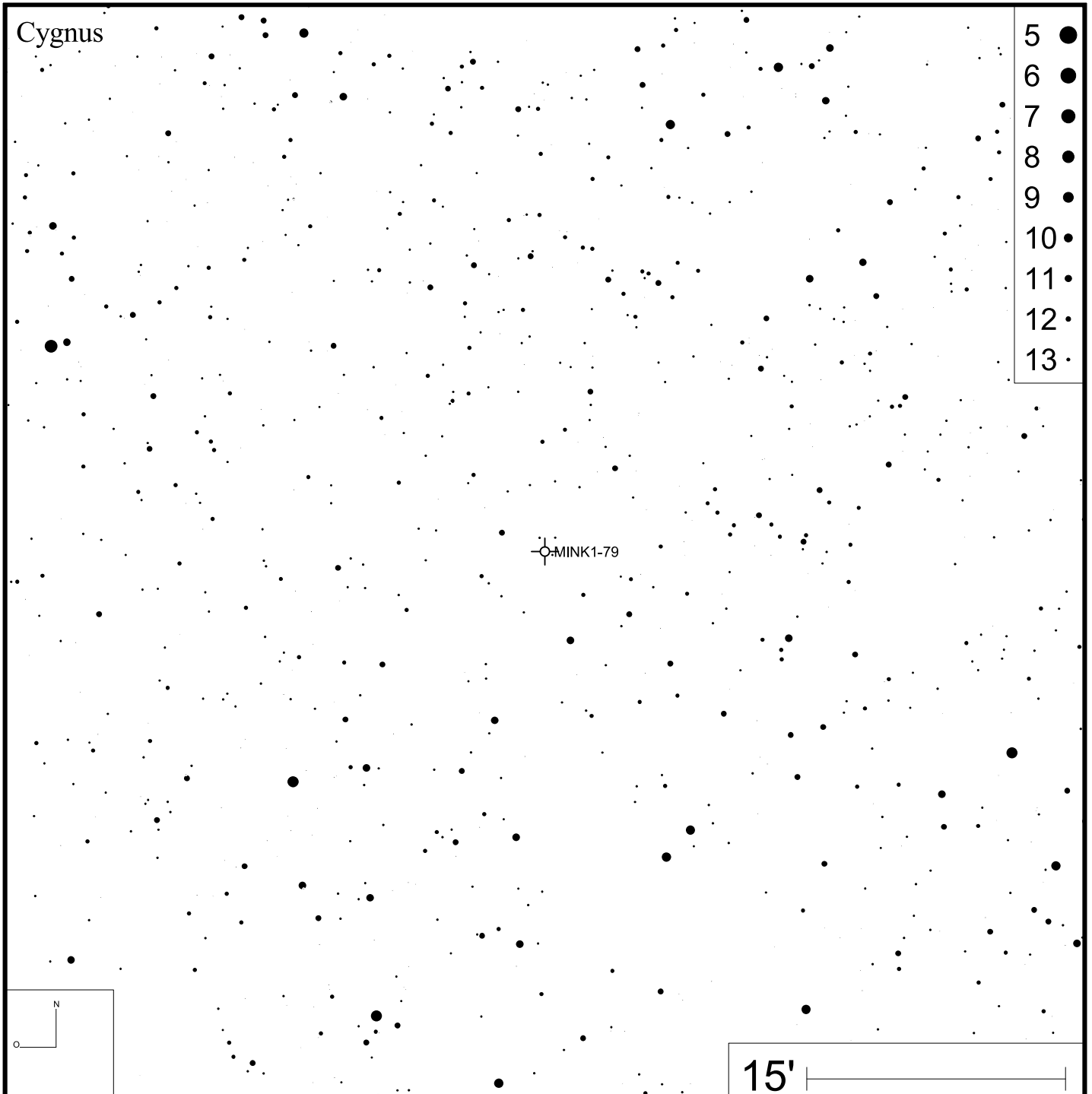
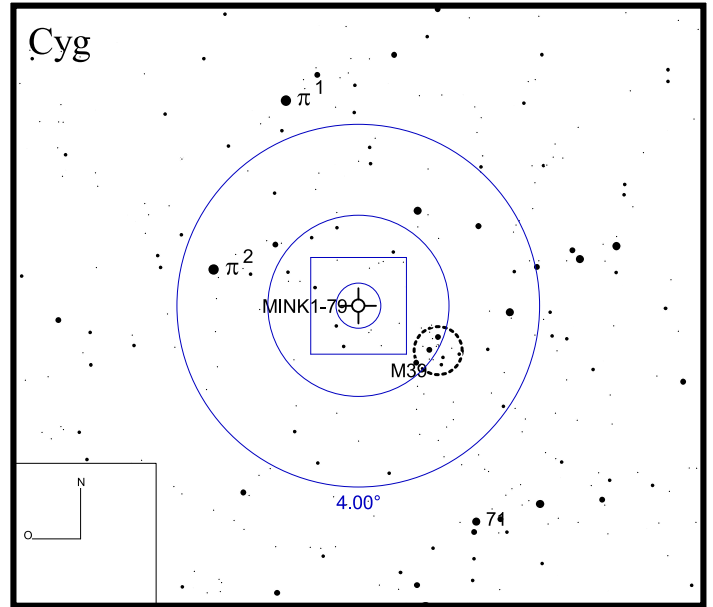


Bild: DSS



Mink 1-80

RA 22h56m20s

DEC +57°09'22"

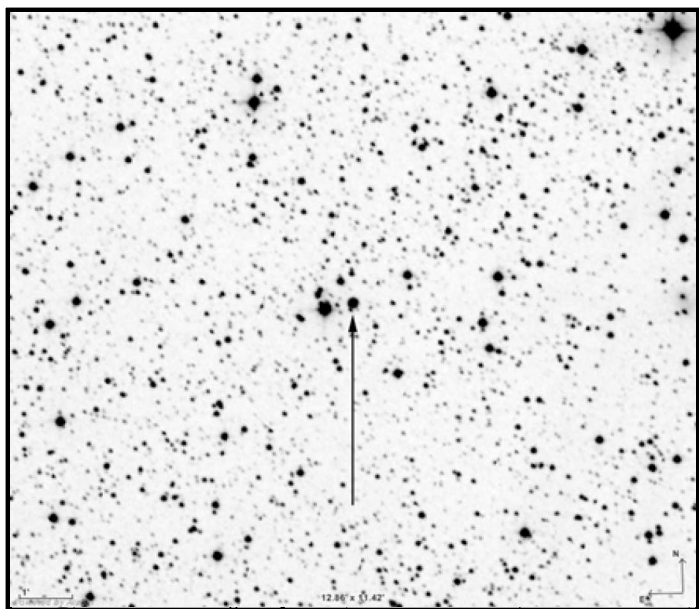
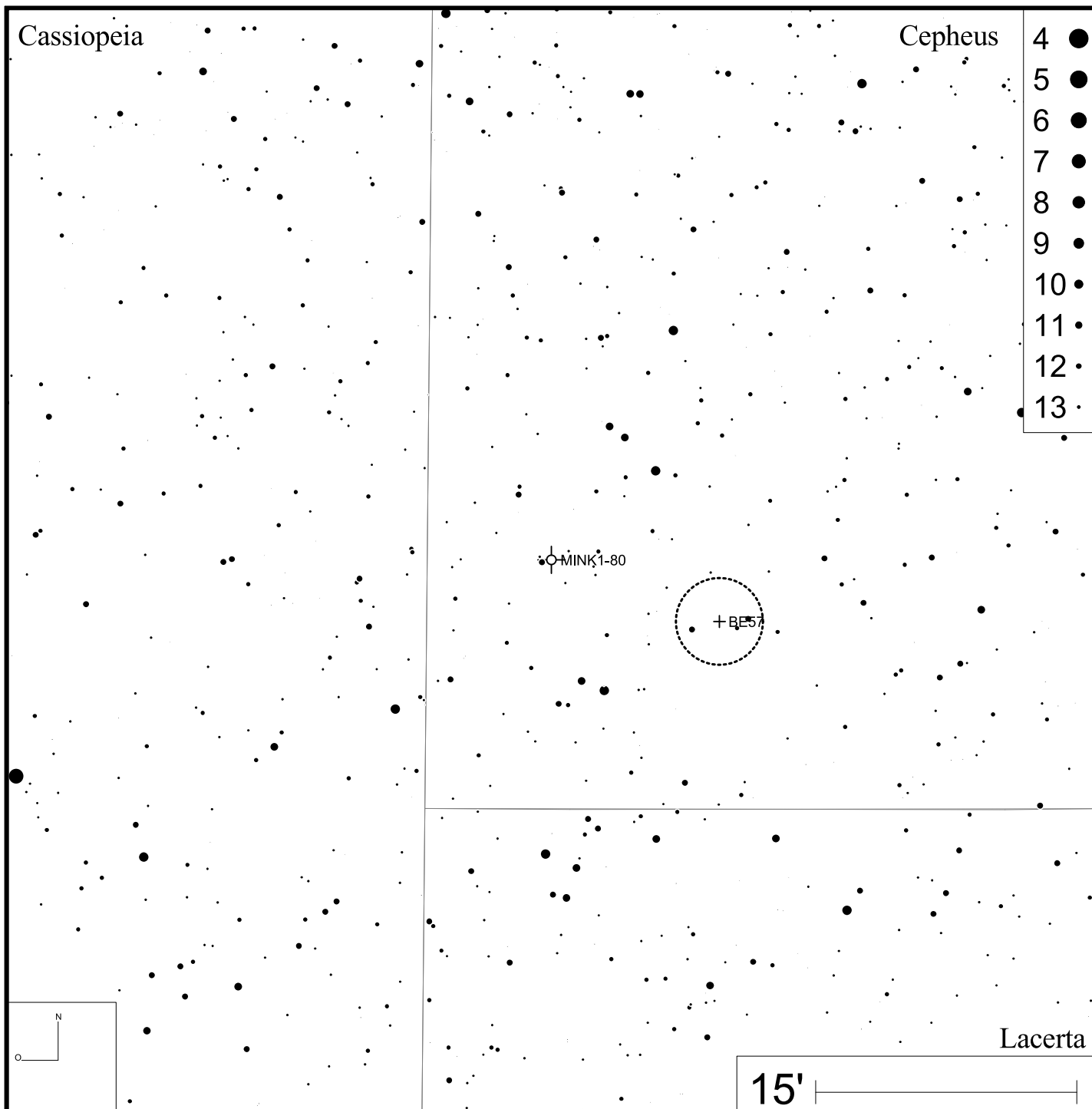
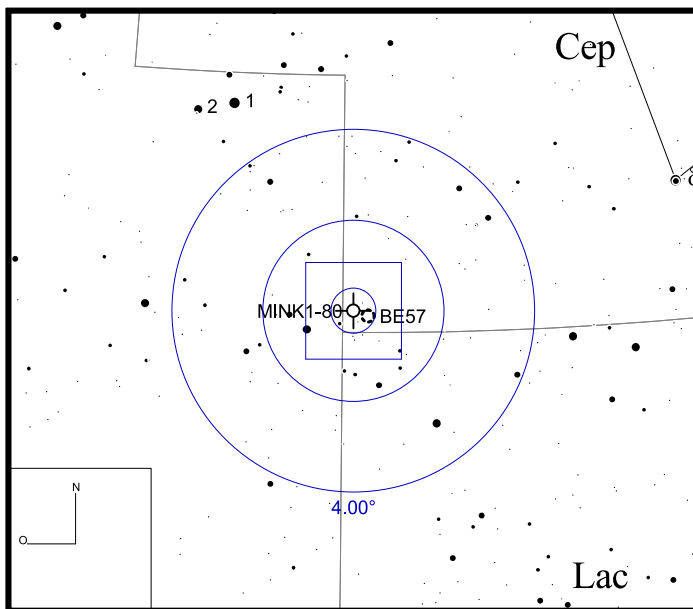


Bild: DSS



Mink 1-92

RA 19h36m19s

DEC +29°32'51"

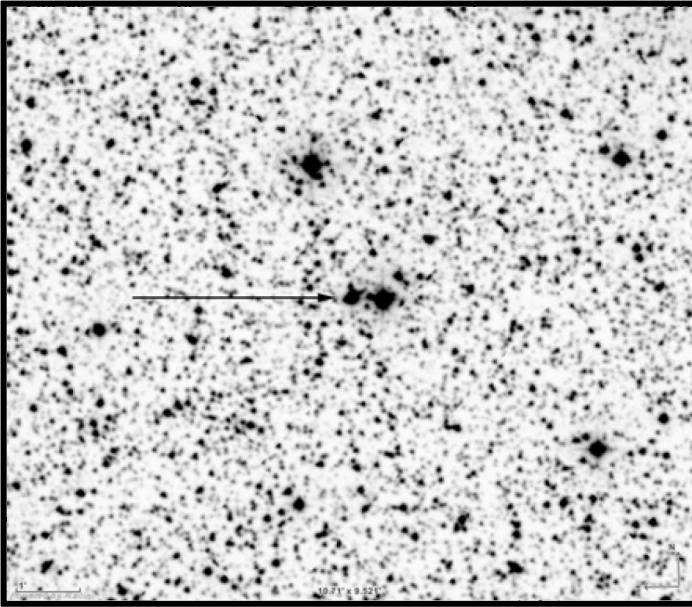
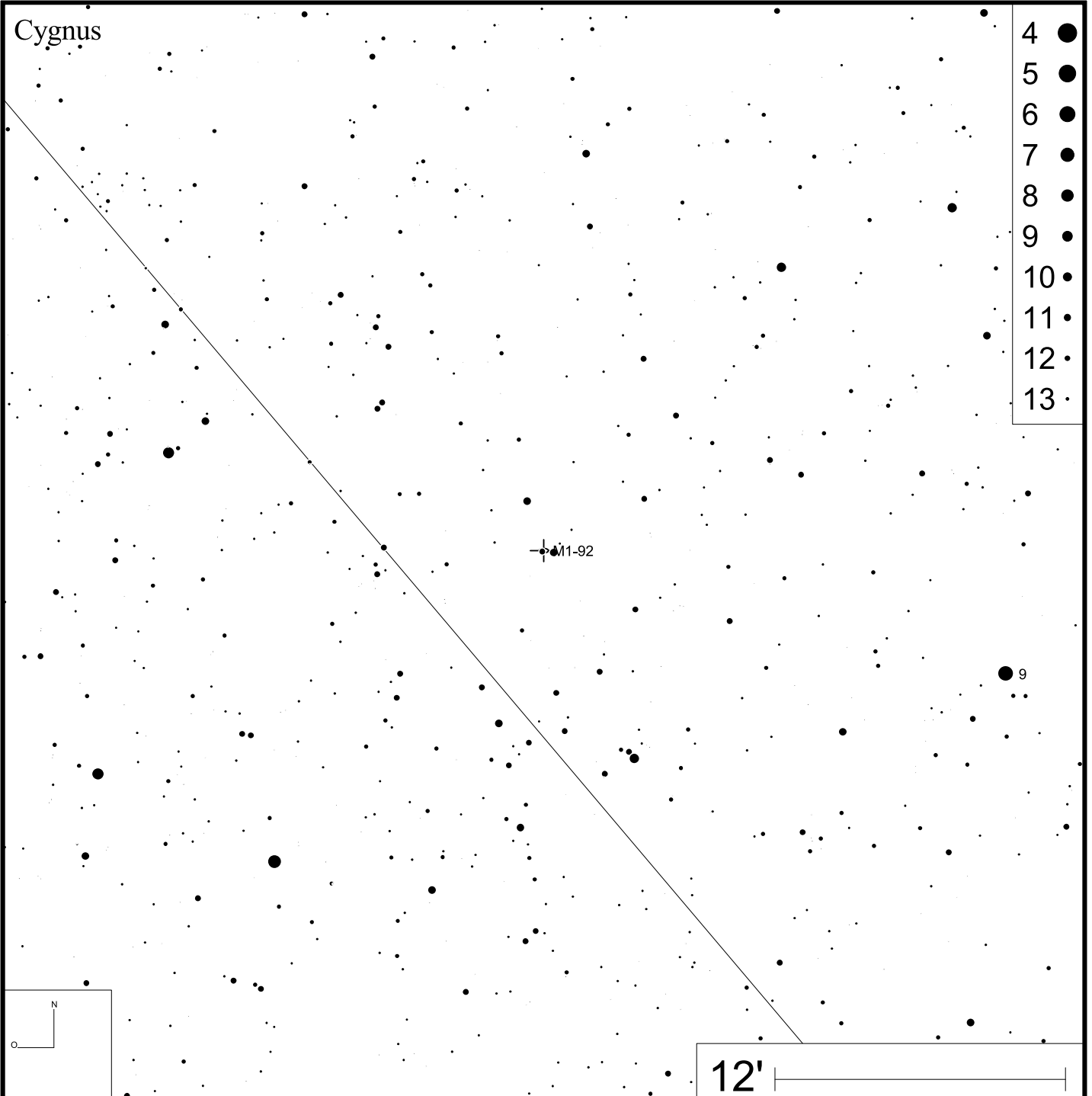
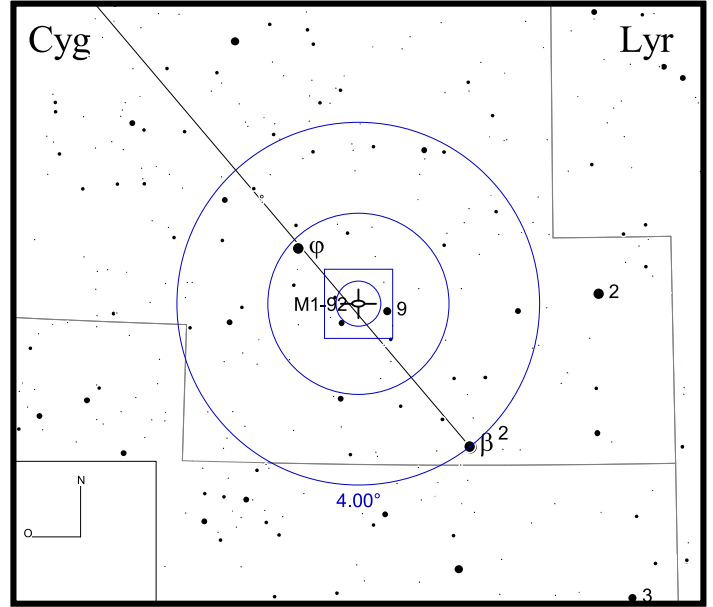


Bild: DSS



Mink 2-9

RA 17h05m38s

DEC -10°08'35"

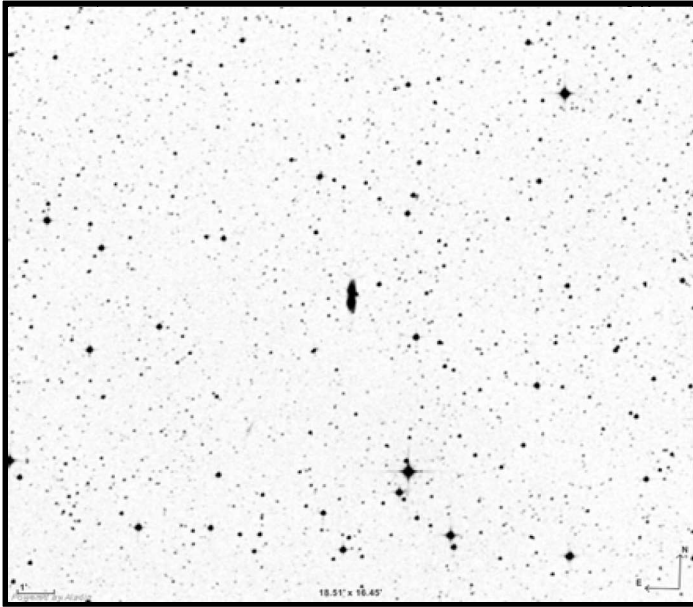


Bild: DSS

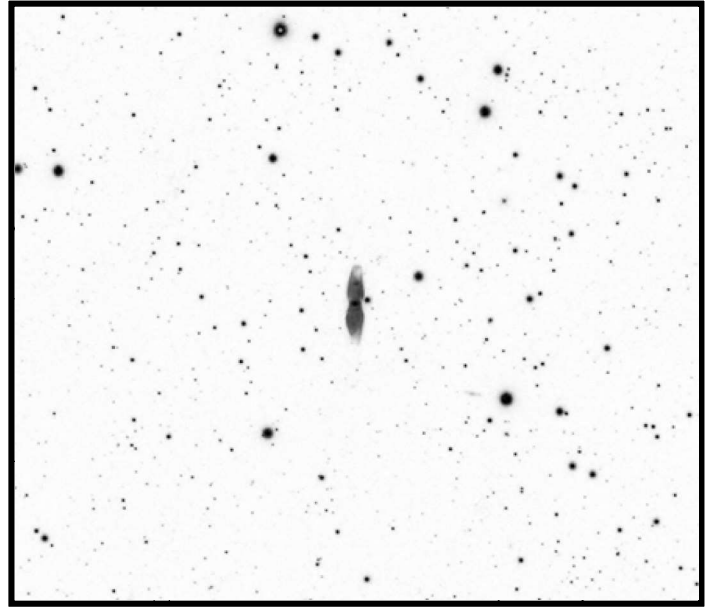
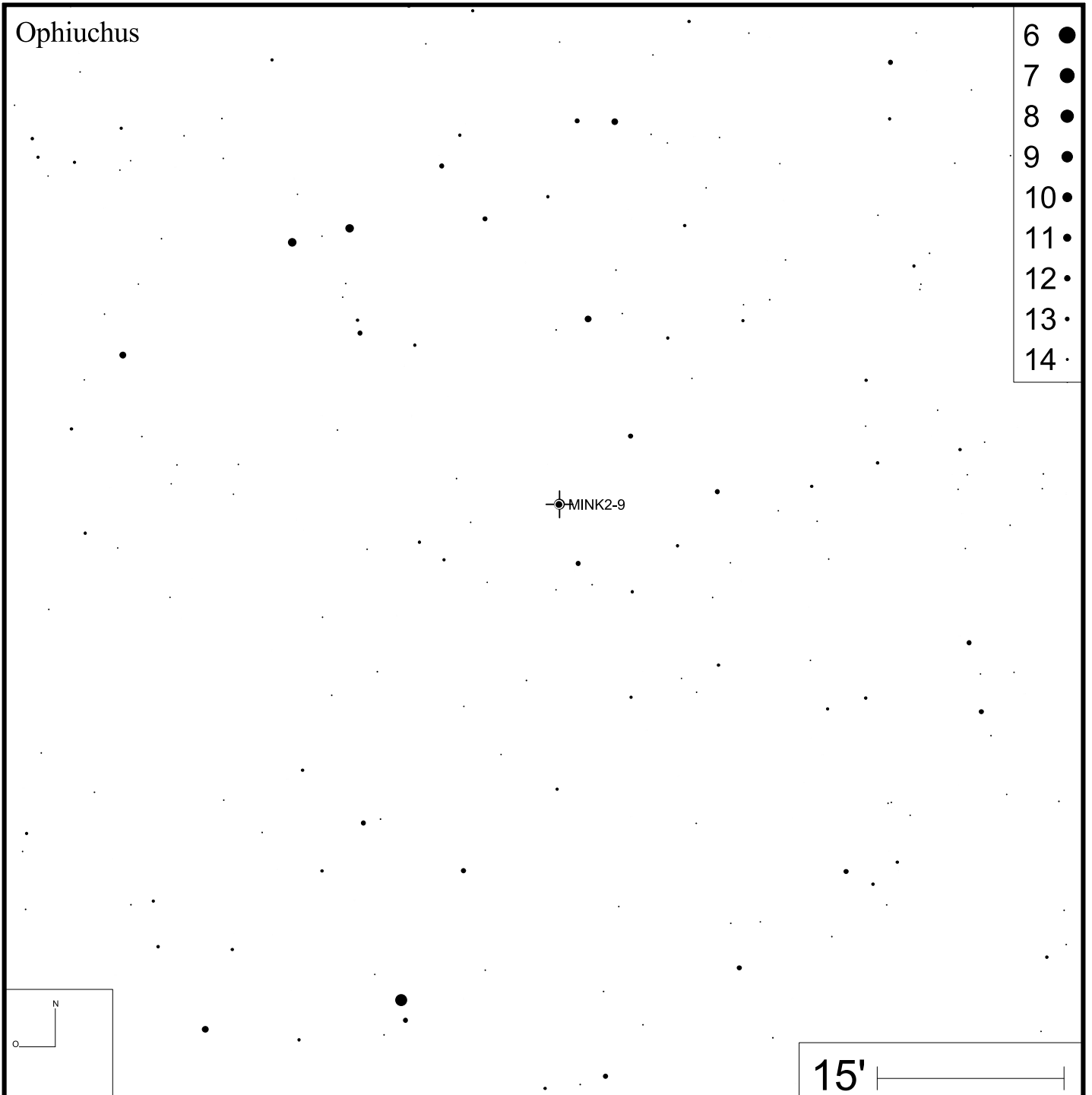


Bild: PanSTARRS

Ophiuchus



- 6 ●
- 7 ●
- 8 ●
- 9 ●
- 10 ●
- 11 ●
- 12 ●
- 13 ●
- 14 ●

⊙ MINK2-9

15' |—————|

Mink 2-51

RA 22h16m03s

DEC +57°28'41"

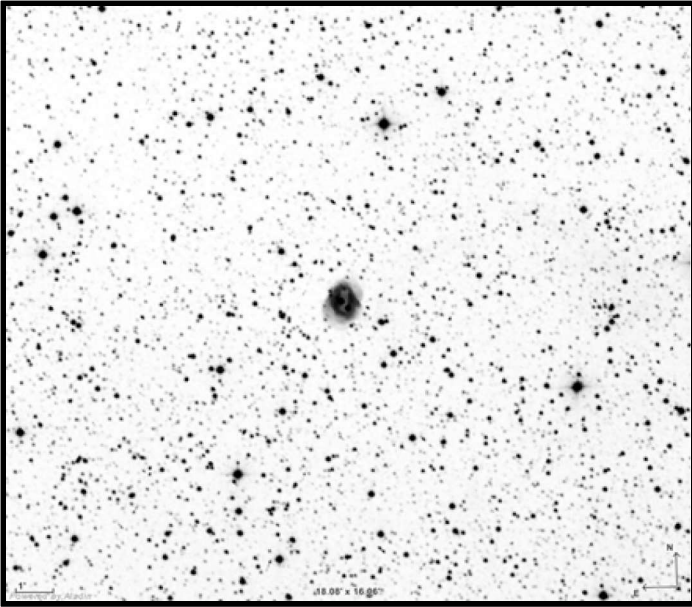


Bild: DSS

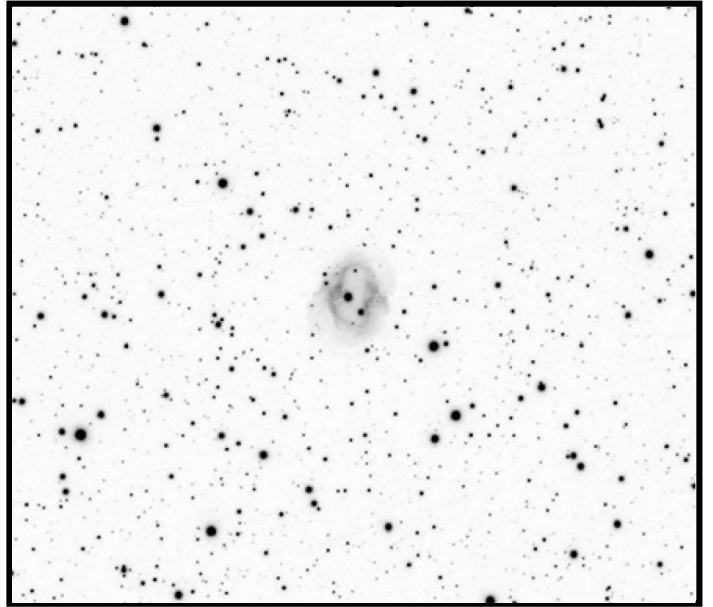
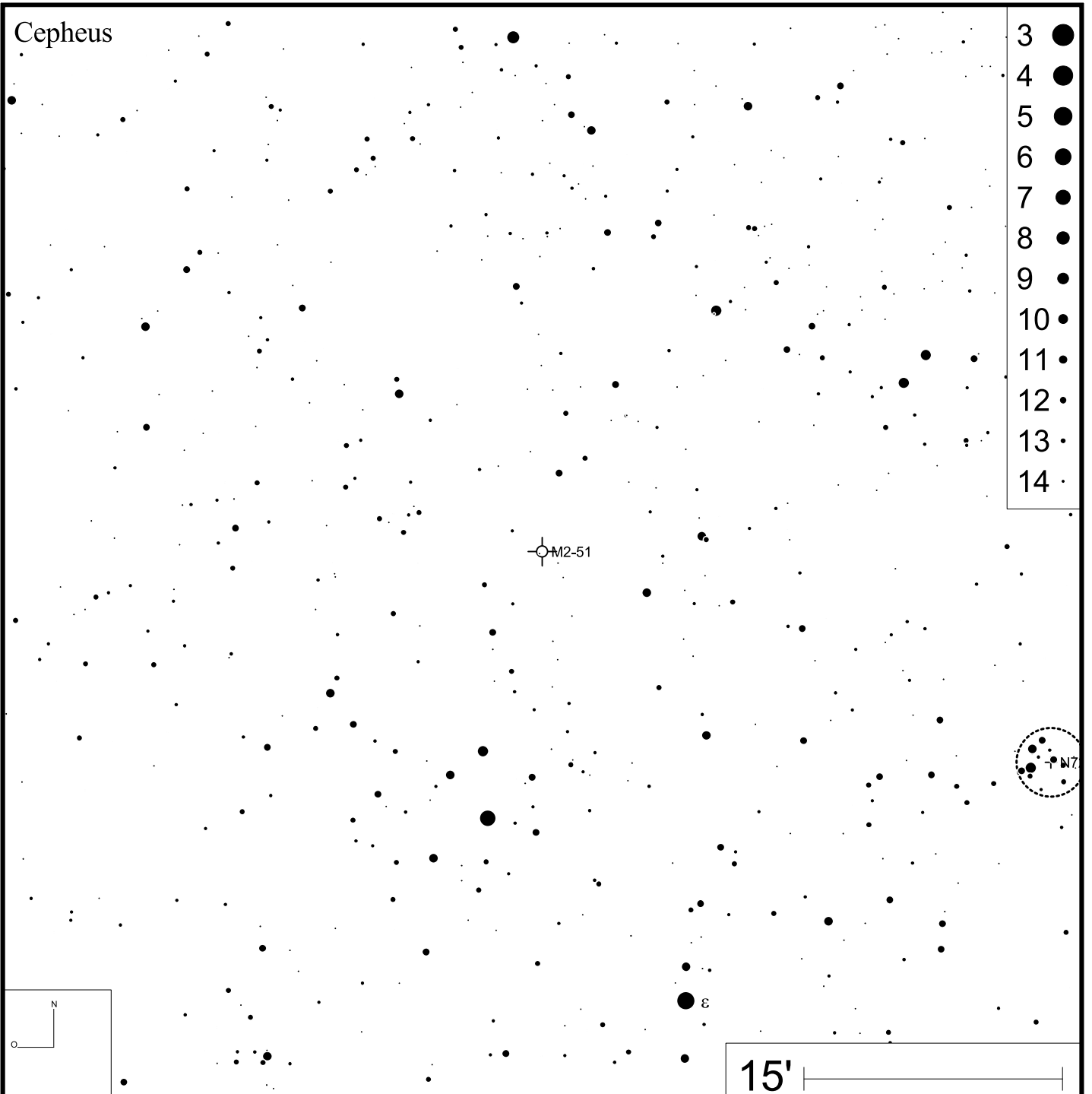


Bild: PanSTARRS



Cepheus

- 3 ●
- 4 ●
- 5 ●
- 6 ●
- 7 ●
- 8 ●
- 9 ●
- 10 ●
- 11 ●
- 12 ●
- 13 ●
- 14 ●

M2-51

M7

15'

Mink 2-52

RA 22h20m32s

DEC +57°36'19"

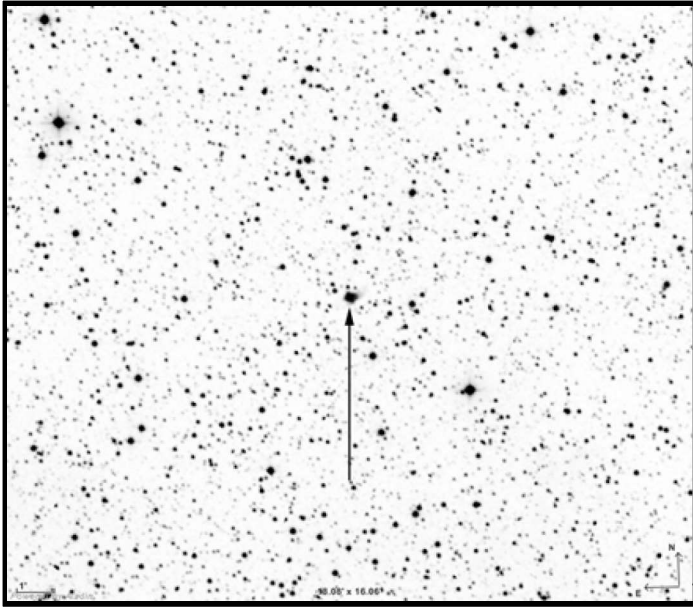


Bild: DSS

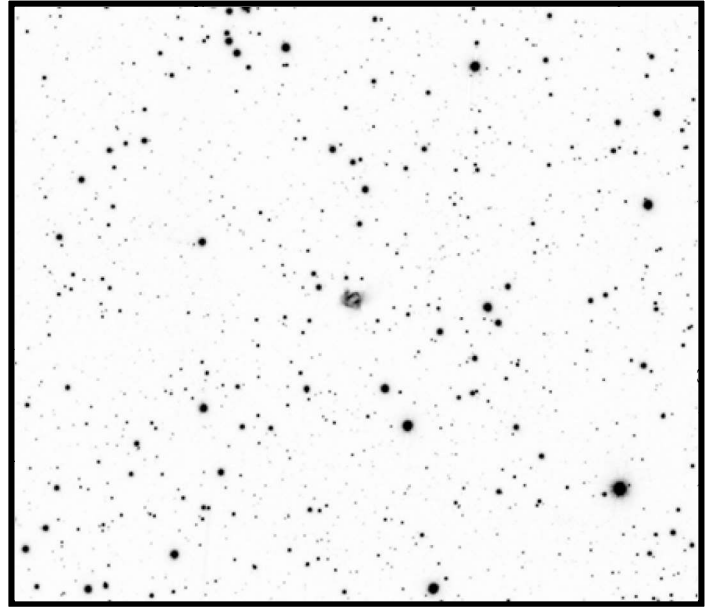
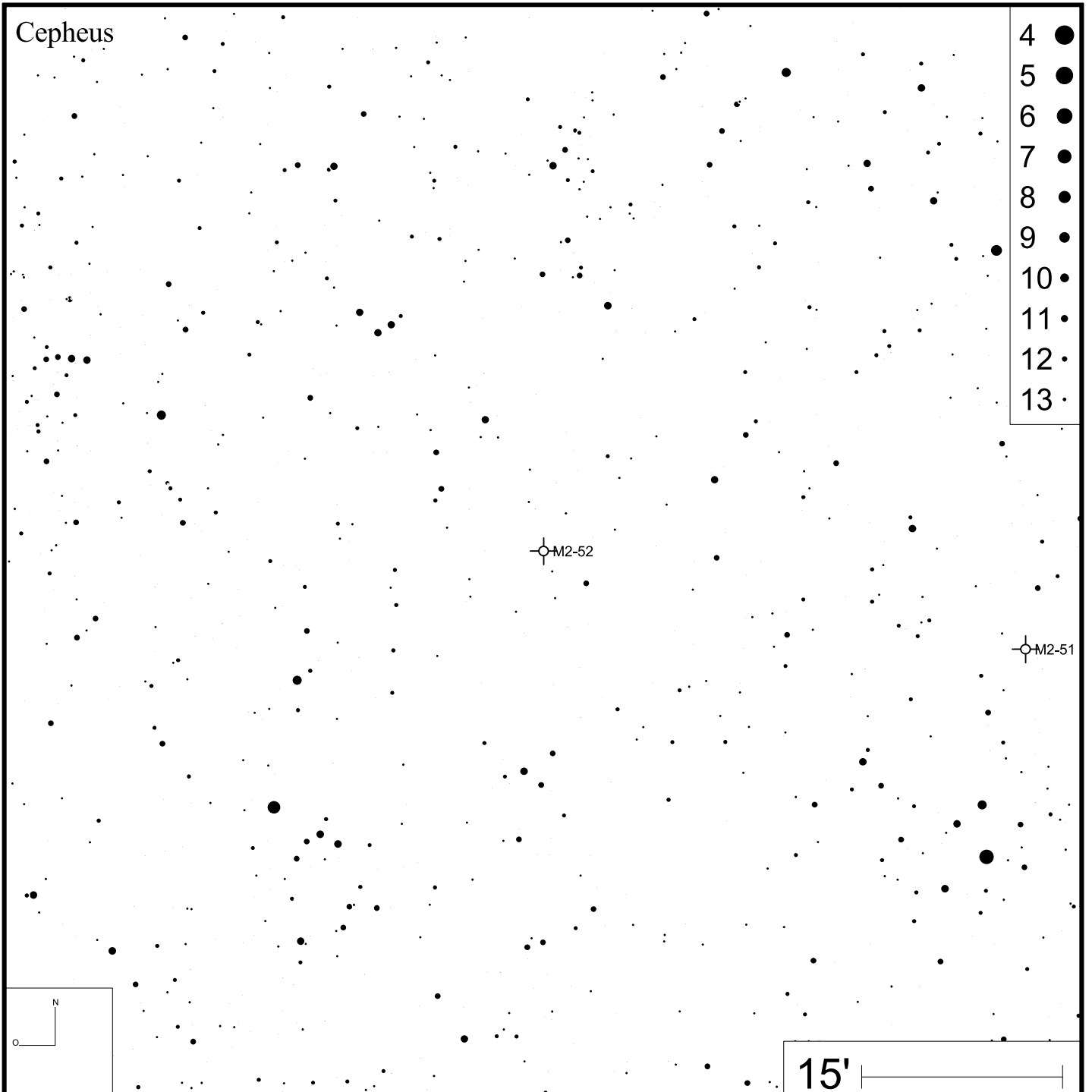


Bild: PanSTARRS



Cepheus

- 4 ●
- 5 ●
- 6 ●
- 7 ●
- 8 ●
- 9 ●
- 10 ●
- 11 ●
- 12 ●
- 13 ●

M2-52

M2-51

15'

Mink 2-55

RA 23h31m53s

DEC +70°22'10"

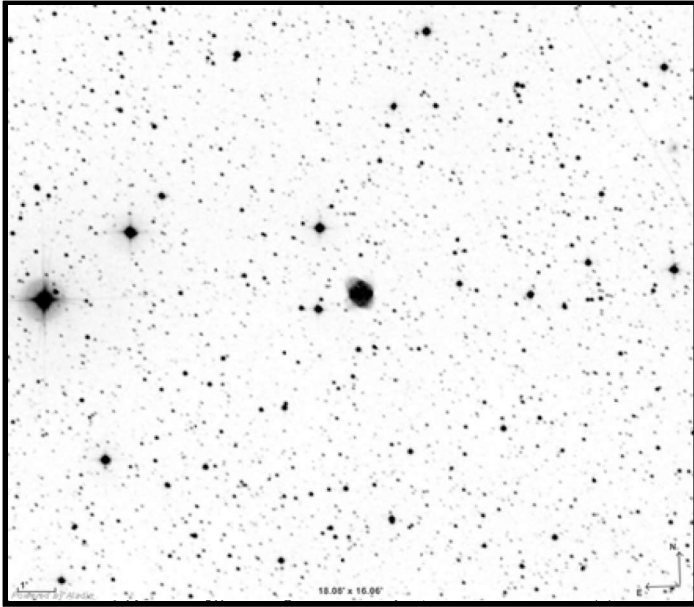
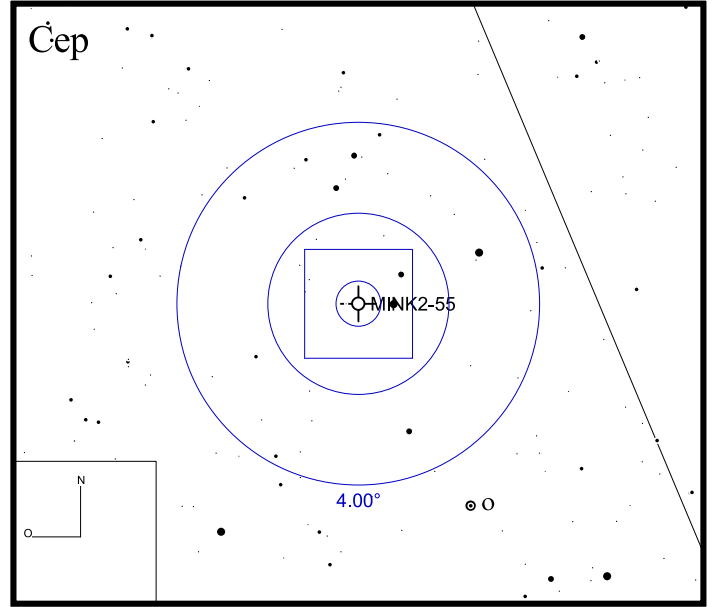
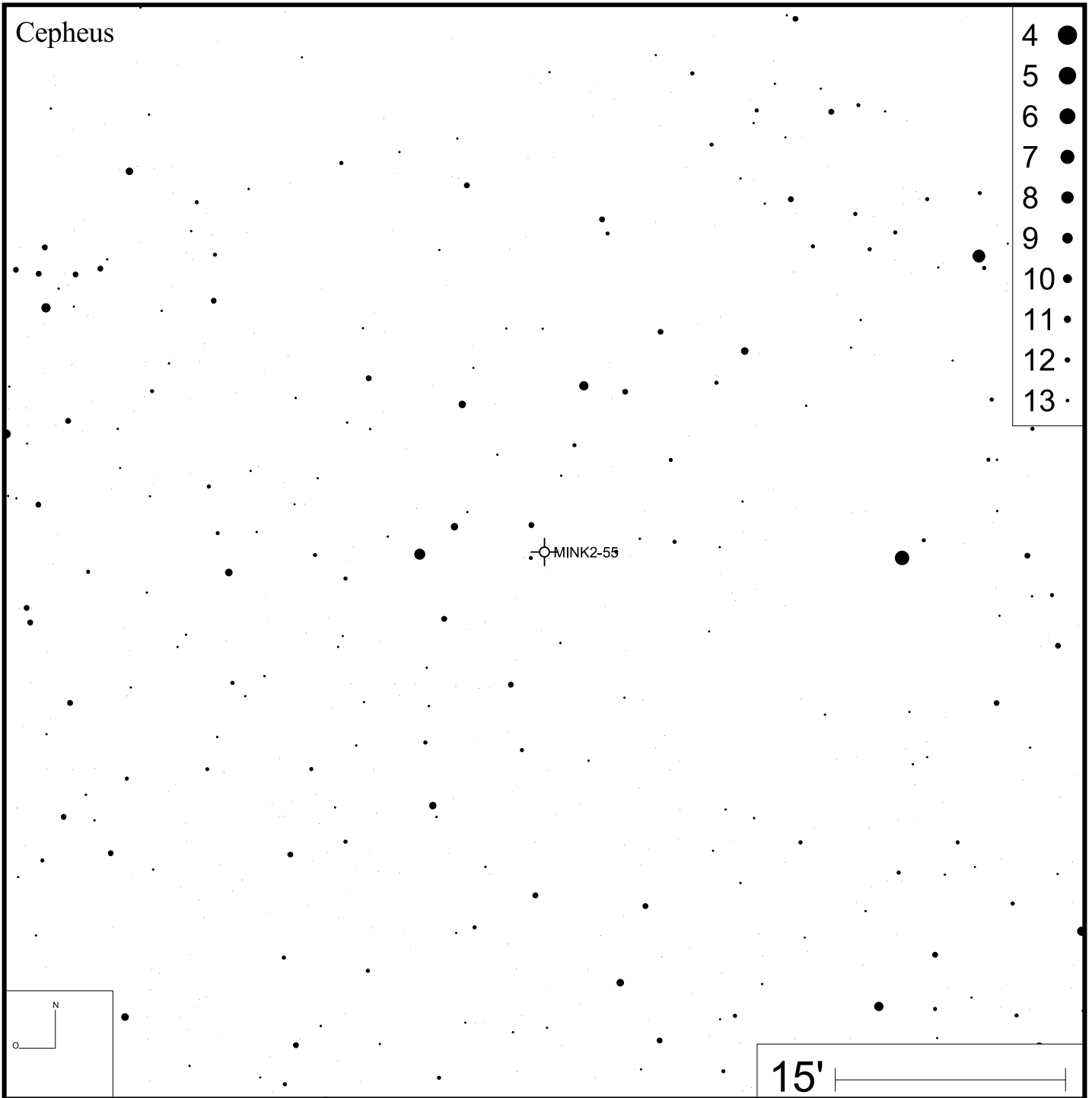


Bild: DSS



Cepheus



Mink 3-27

RA 18h27m48s DEC +14°29'07"

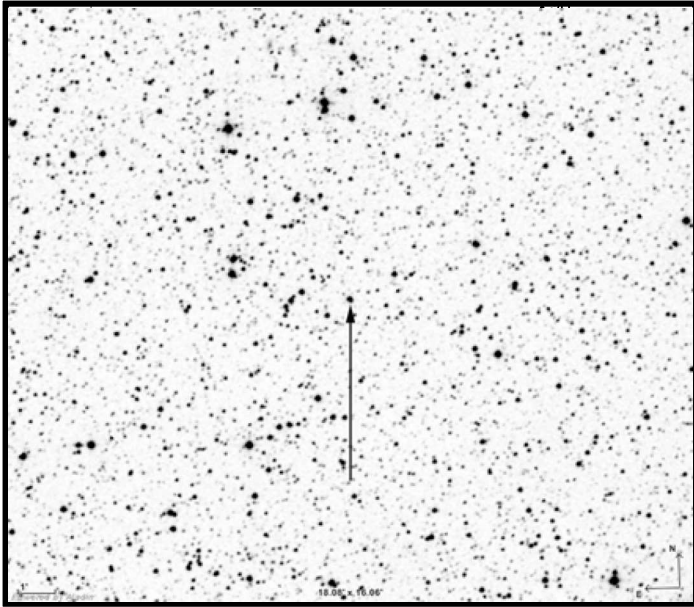
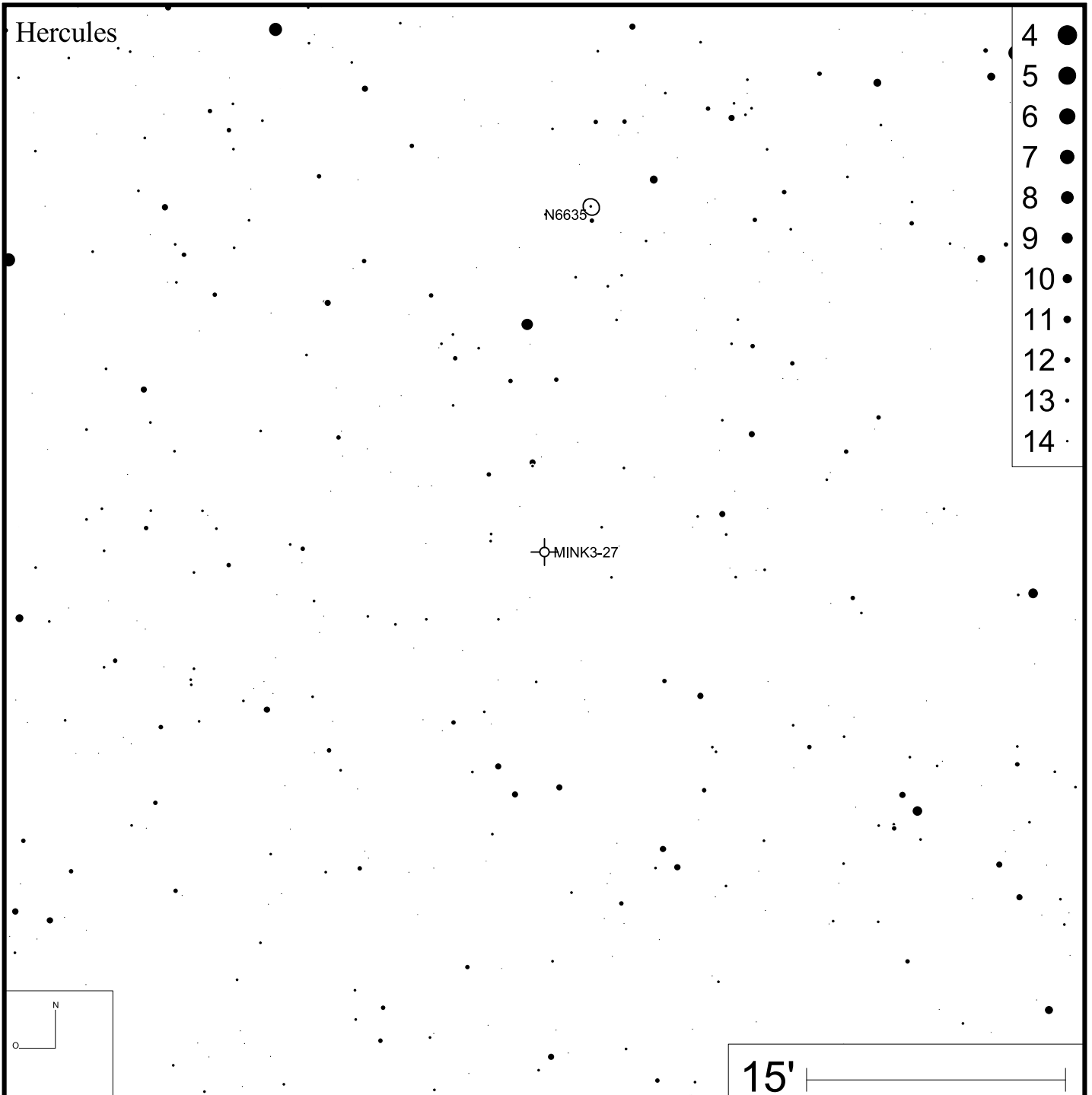
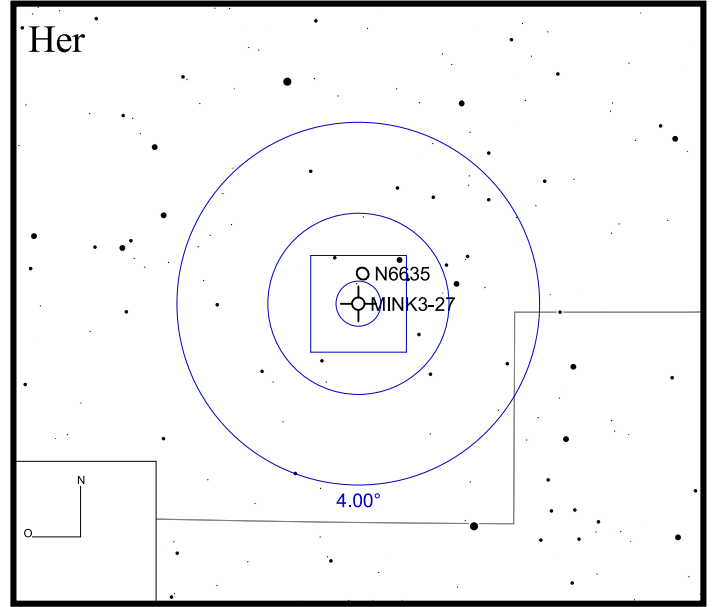


Bild: DSS



Mink 4-17

RA 20h09m02s

DEC +43°43'44"

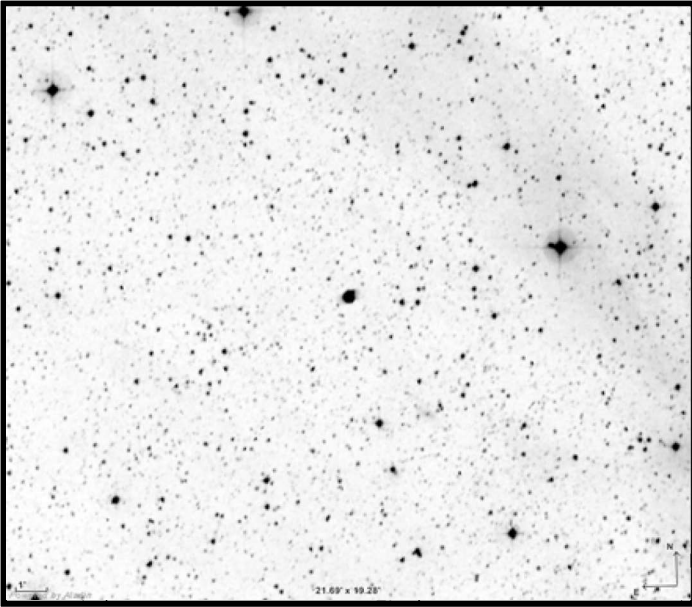


Bild: DSS

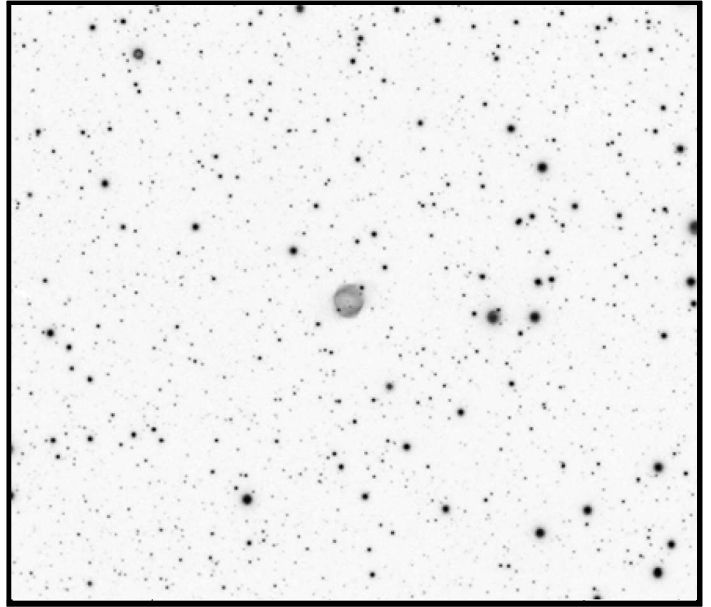
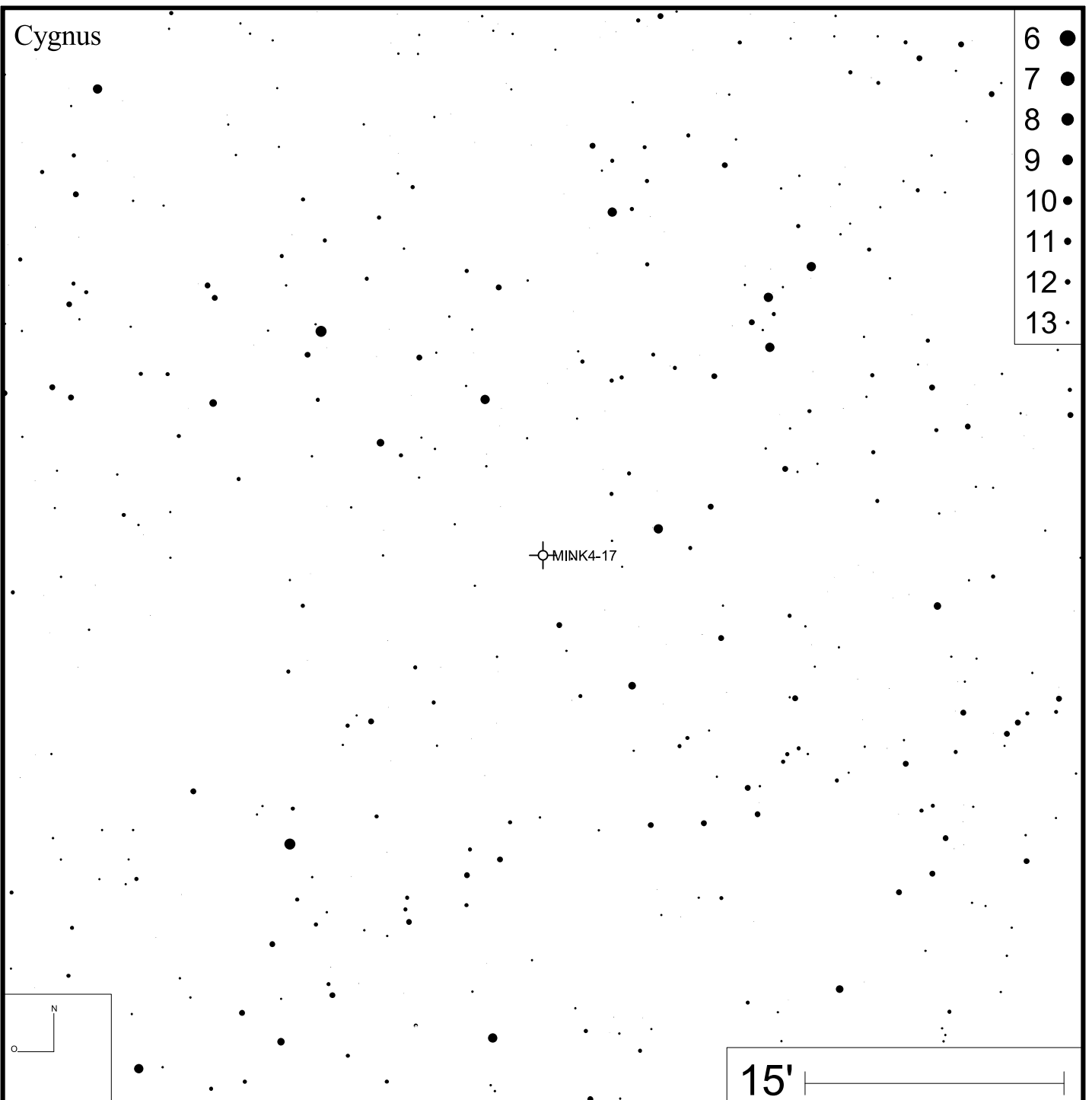


Bild: PanSTARRS



Necklace Nebula

RA 19h44m00s

DEC +17°09'01"

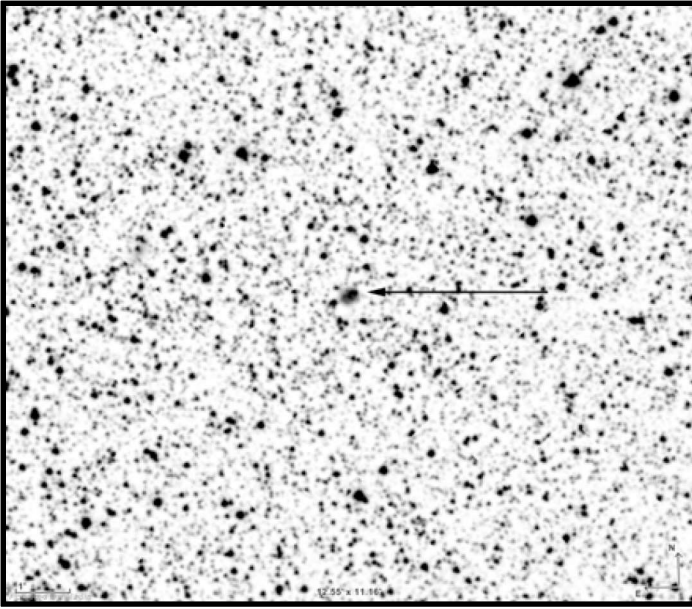


Bild: DSS

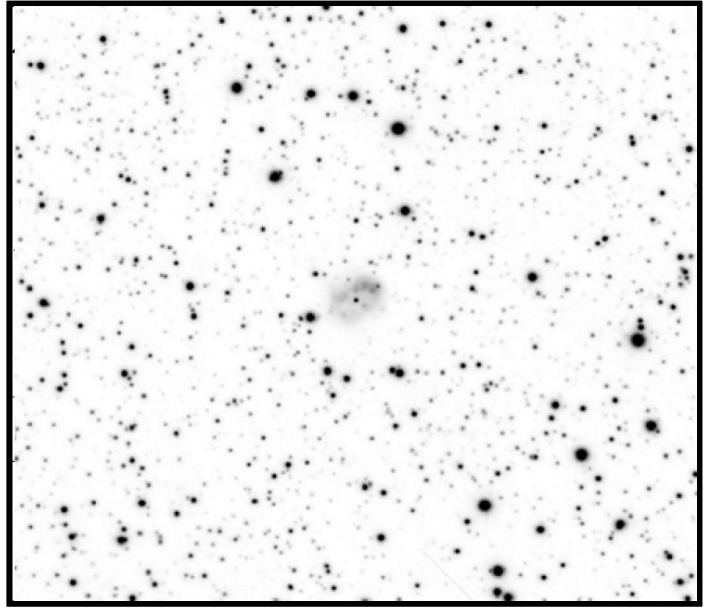
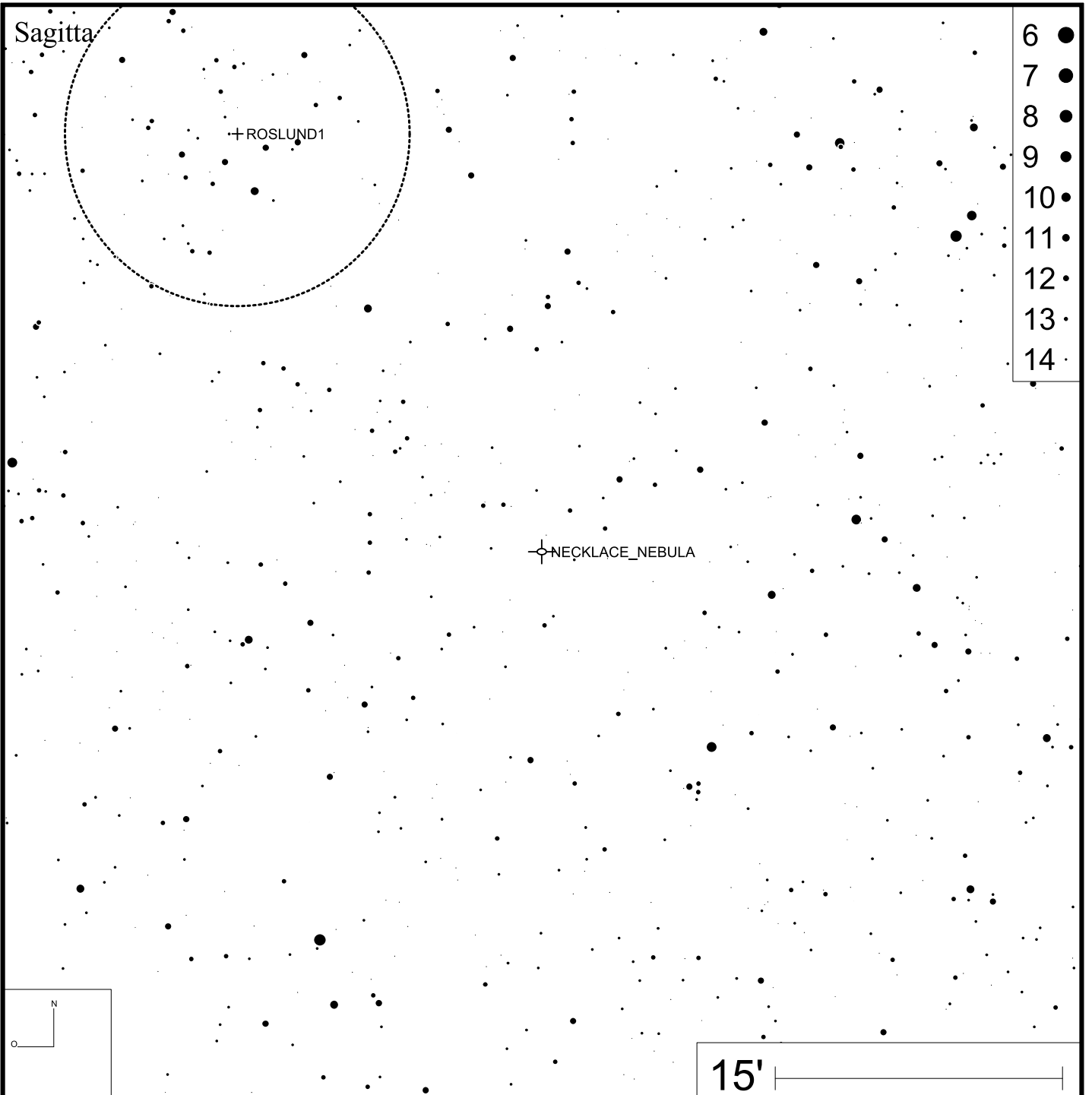


Bild: PanSTARRS (green)



NGC 40

RA 00h13m01s

DEC +72°31'19"

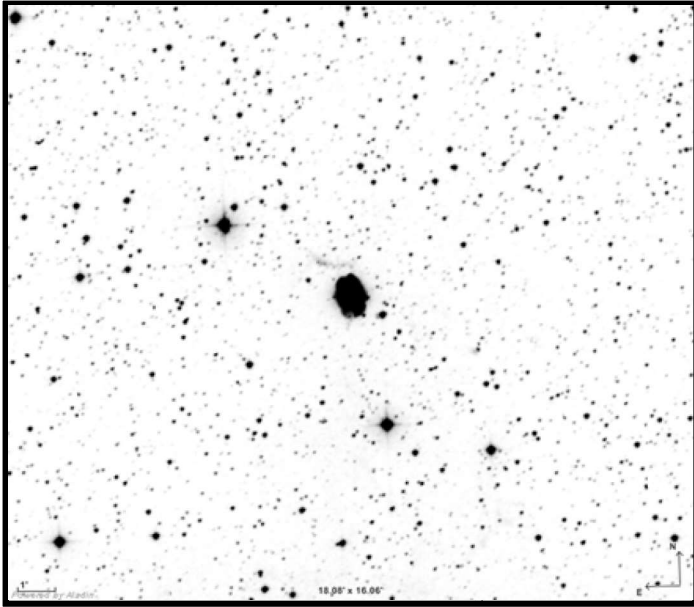
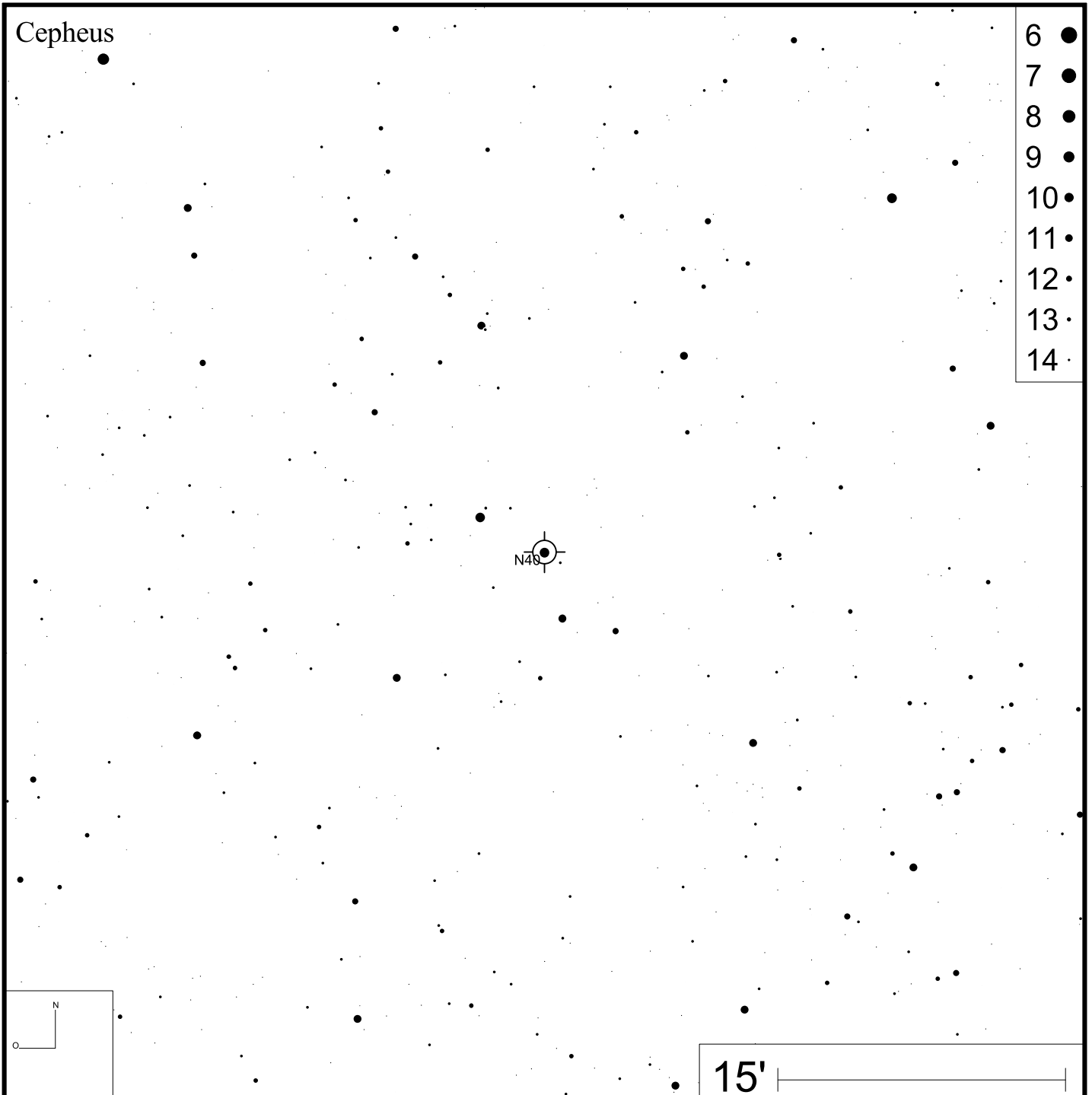
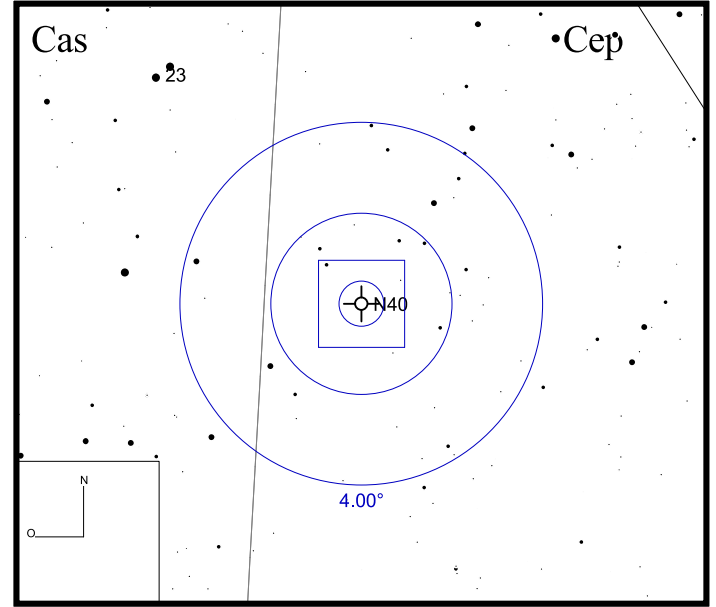


Bild: DSS



NGC 246

RA 00h47m03s

DEC -11°52'19"

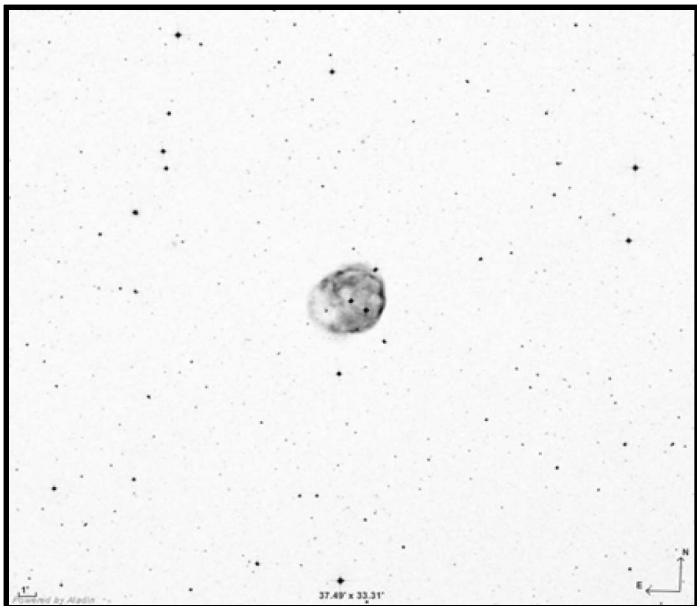
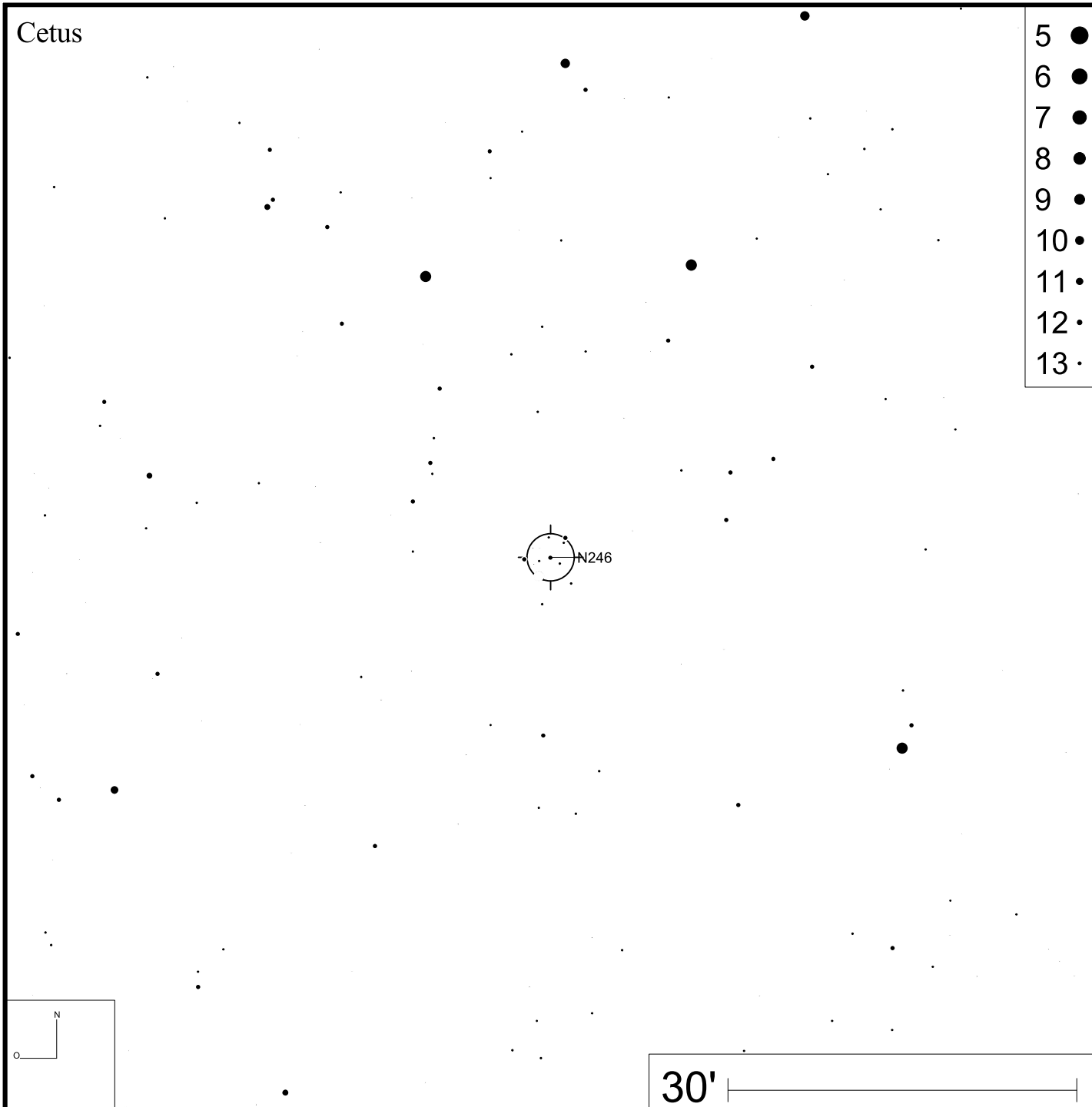
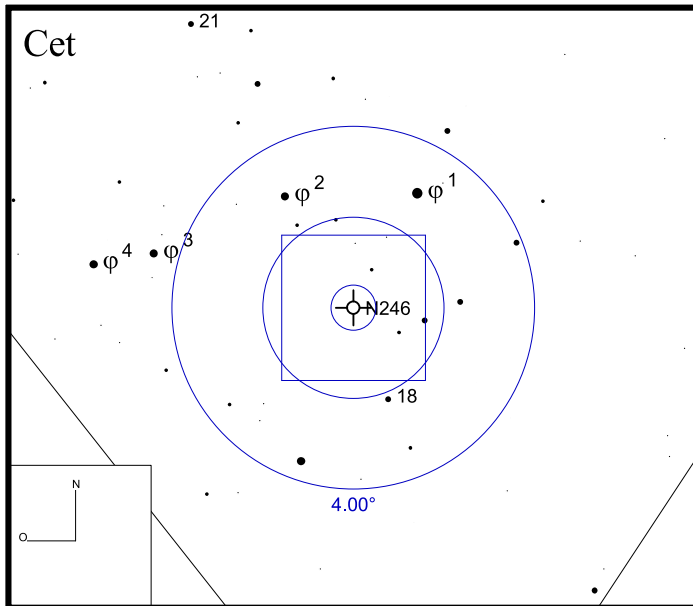


Bild: DSS



NGC 1360

RA 03h33m15s

DEC -25°52'18"

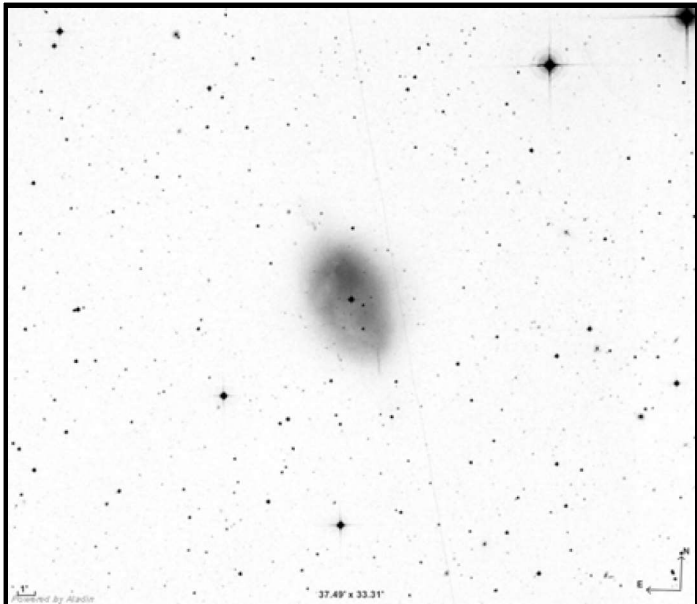
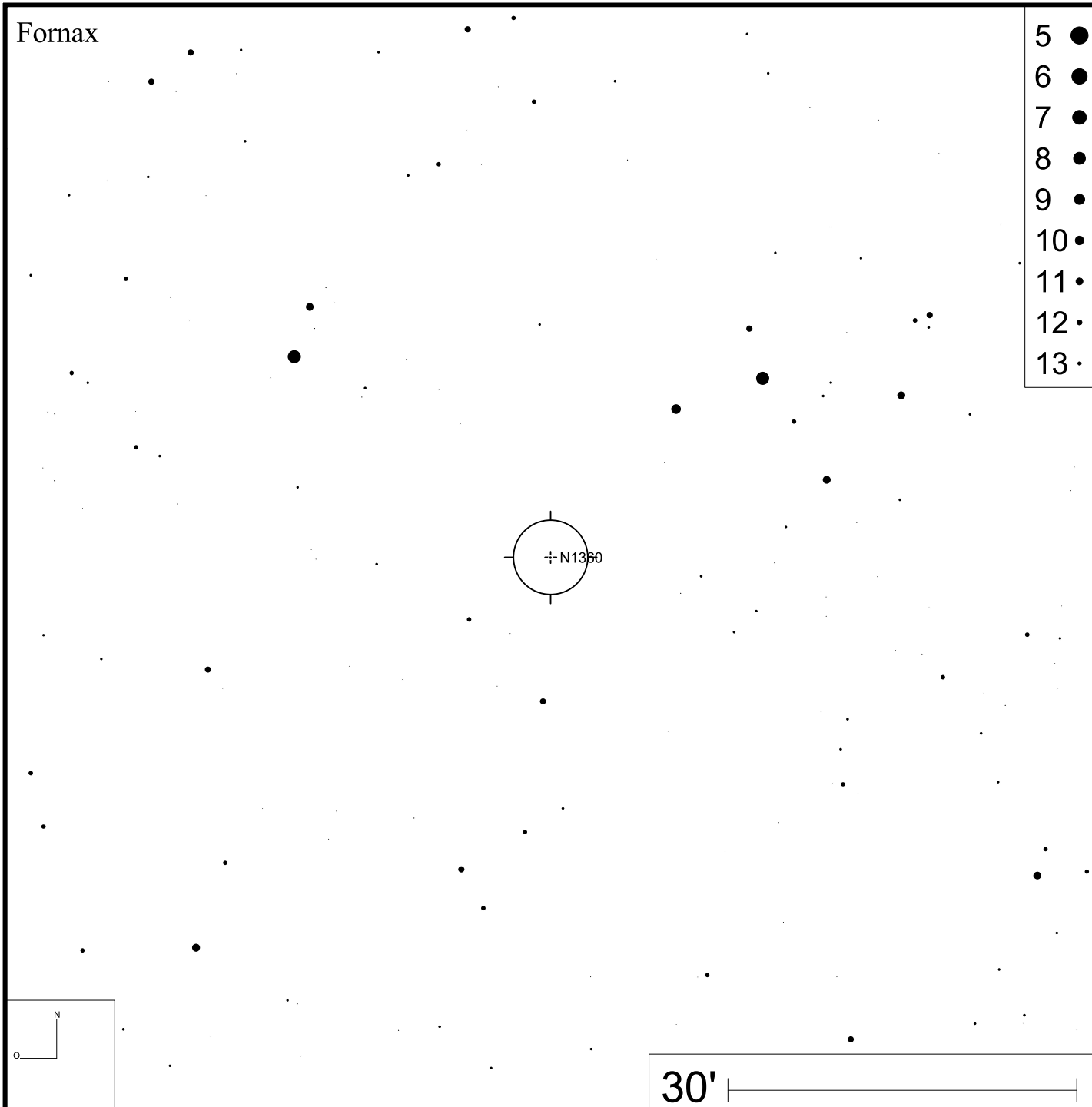
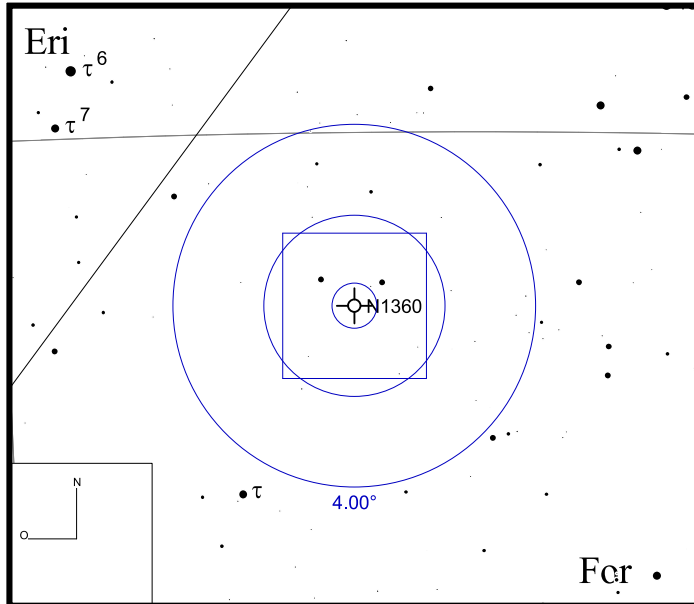


Bild: DSS



- 5 ●
- 6 ●
- 7 ●
- 8 ●
- 9 ●
- 10 ●
- 11 ●
- 12 ●
- 13 ●

NGC 1501

RA 04h06m59s

DEC +60°55'14"

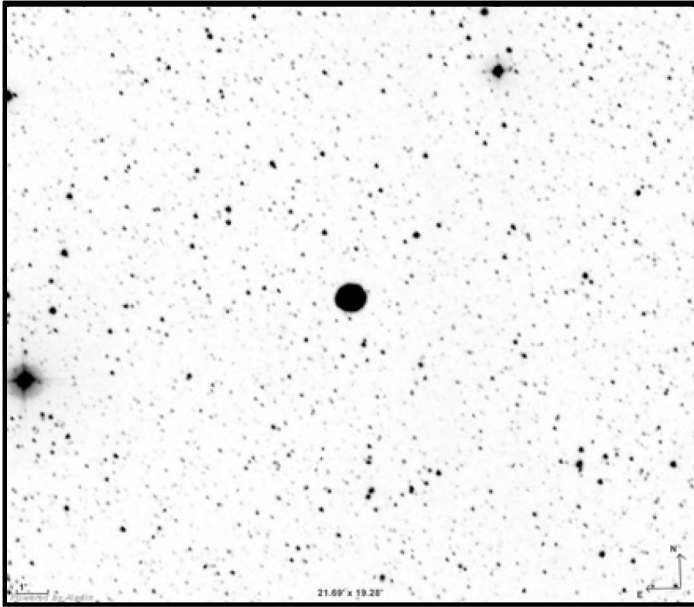


Bild: DSS

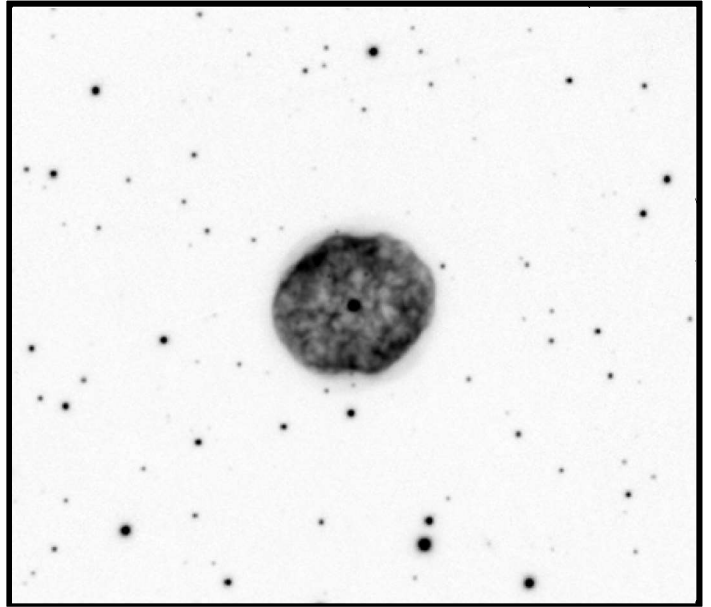
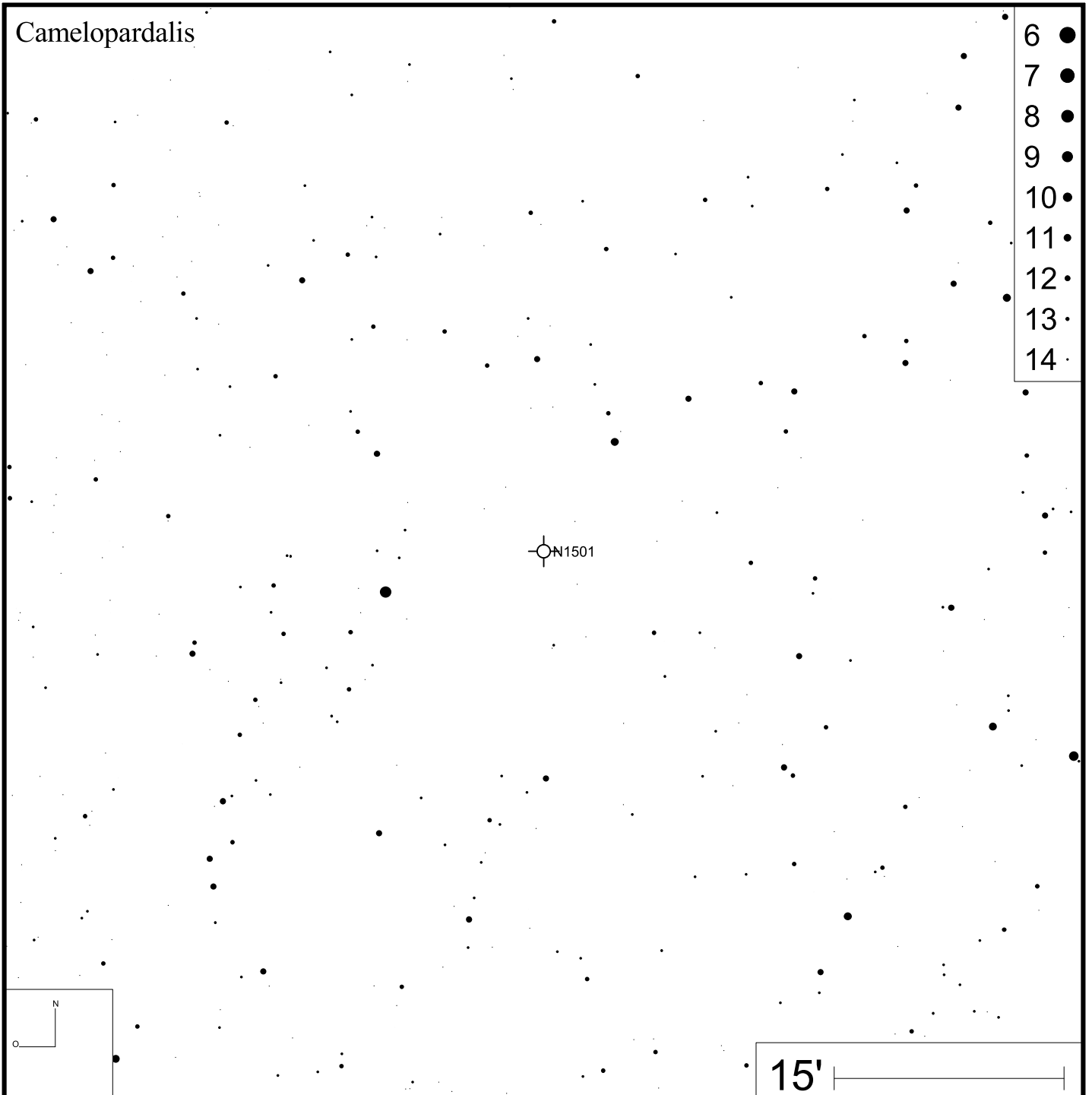


Bild: PanSTARRS

Camelopardalis



NGC 1514

RA 04h09m17s

DEC +30°46'33"

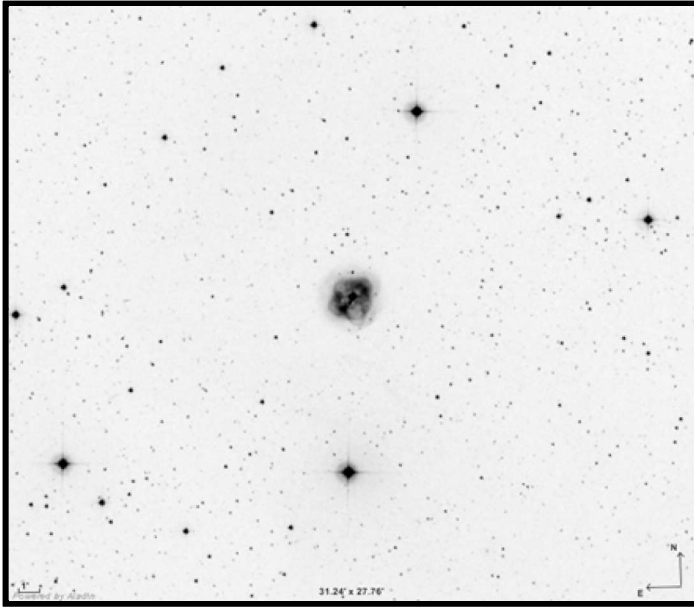
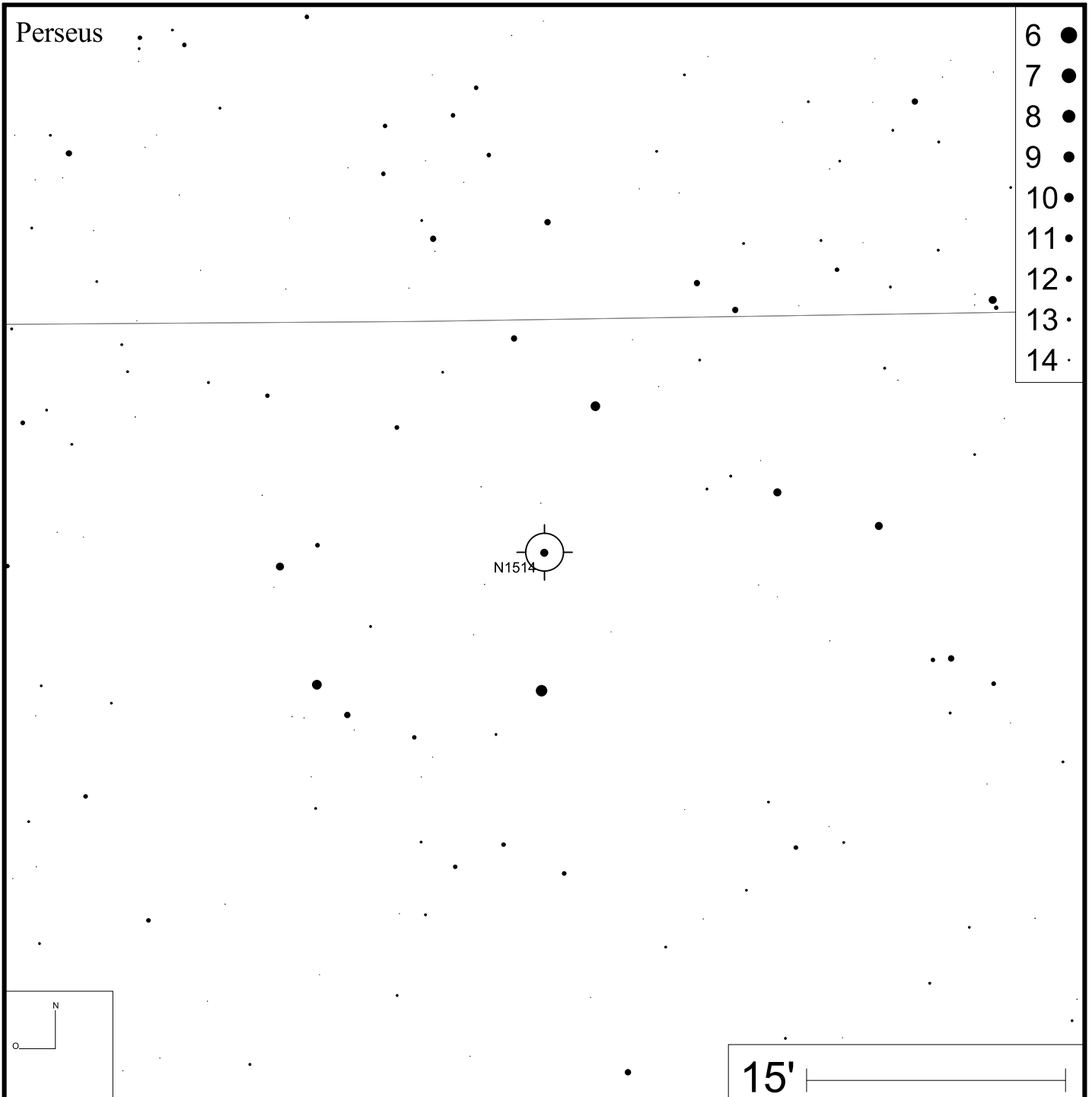
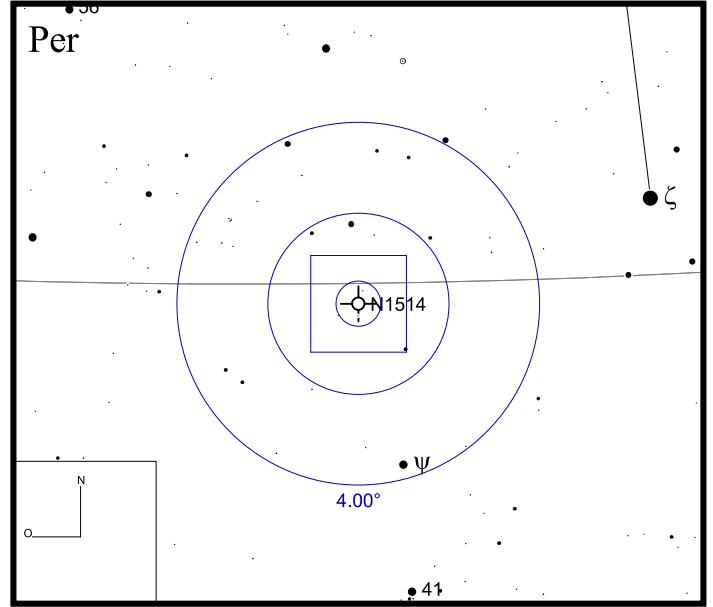


Bild: DSS



NGC 1535

RA 04h14m16s

DEC -12°44'22"

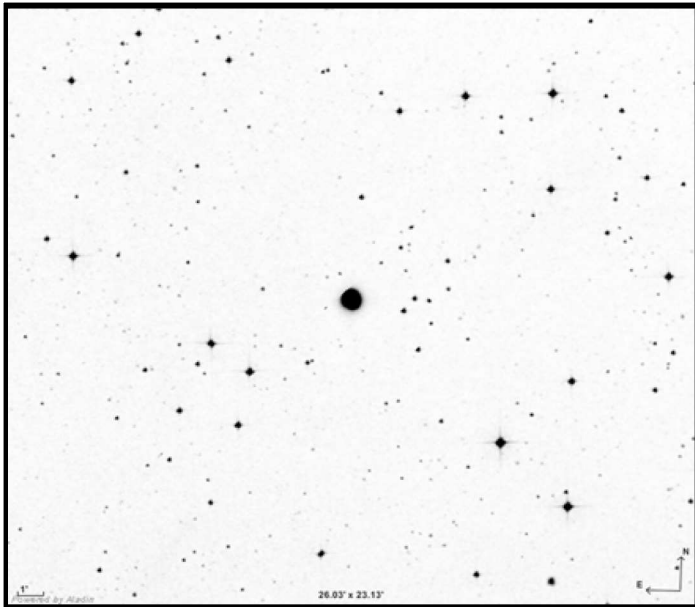


Bild: DSS

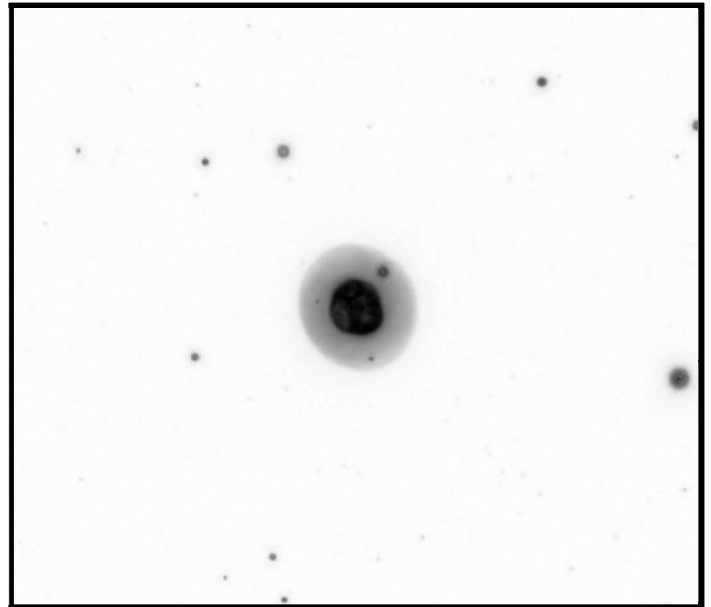
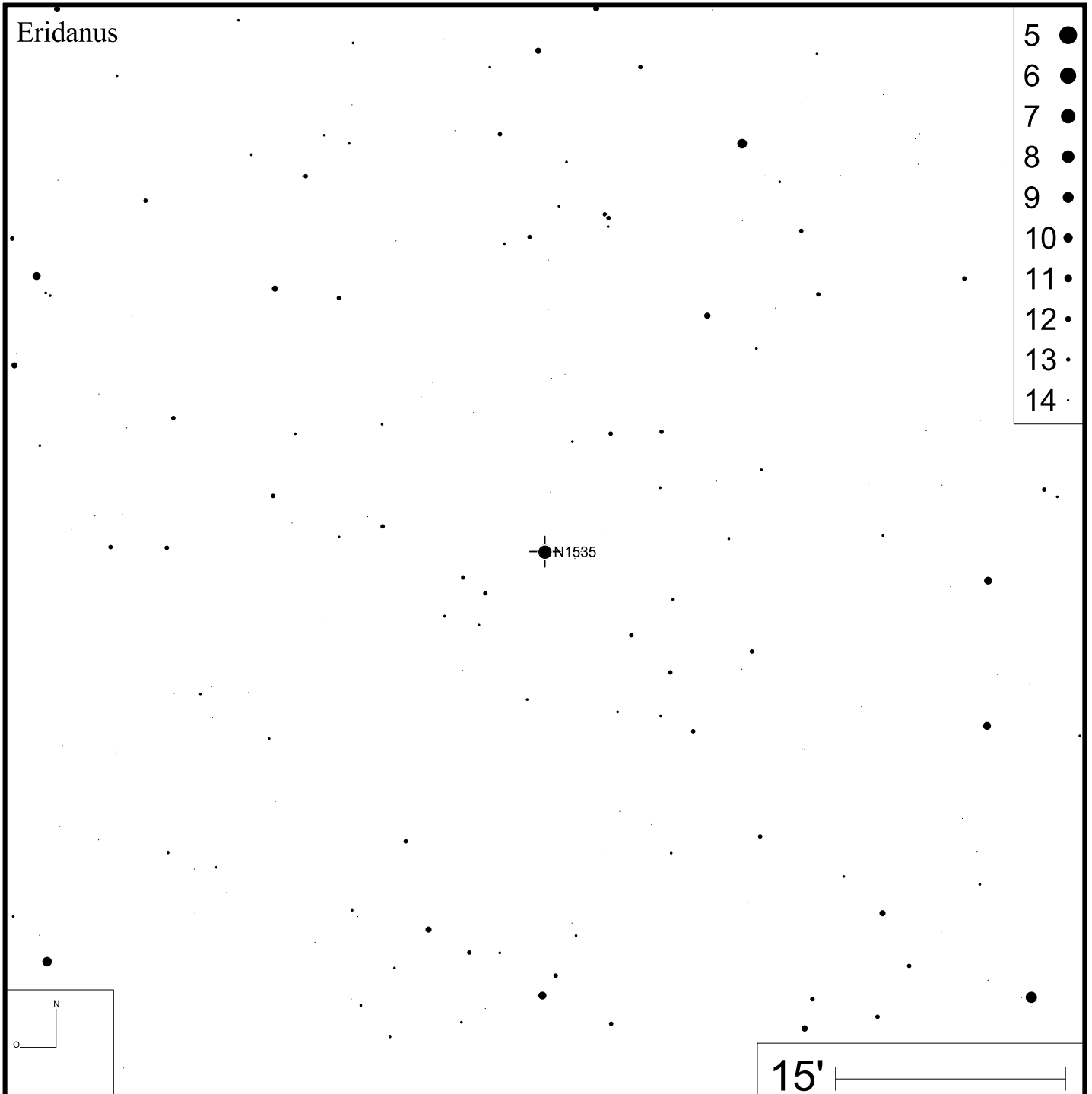


Bild: PanSTARRS



NGC 2022

RA 05h42m06s

DEC +09°05'10"

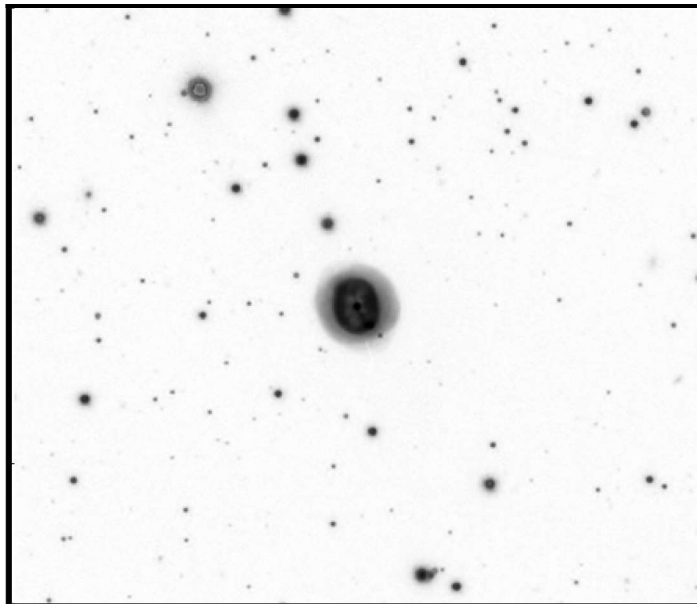
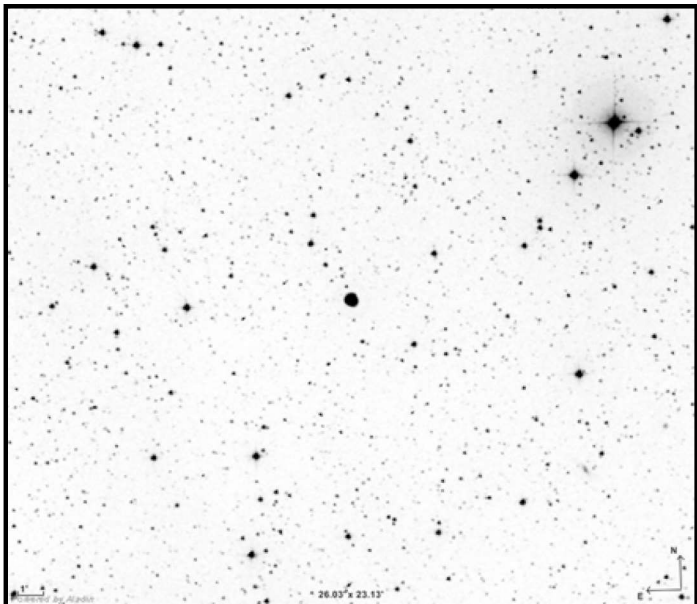
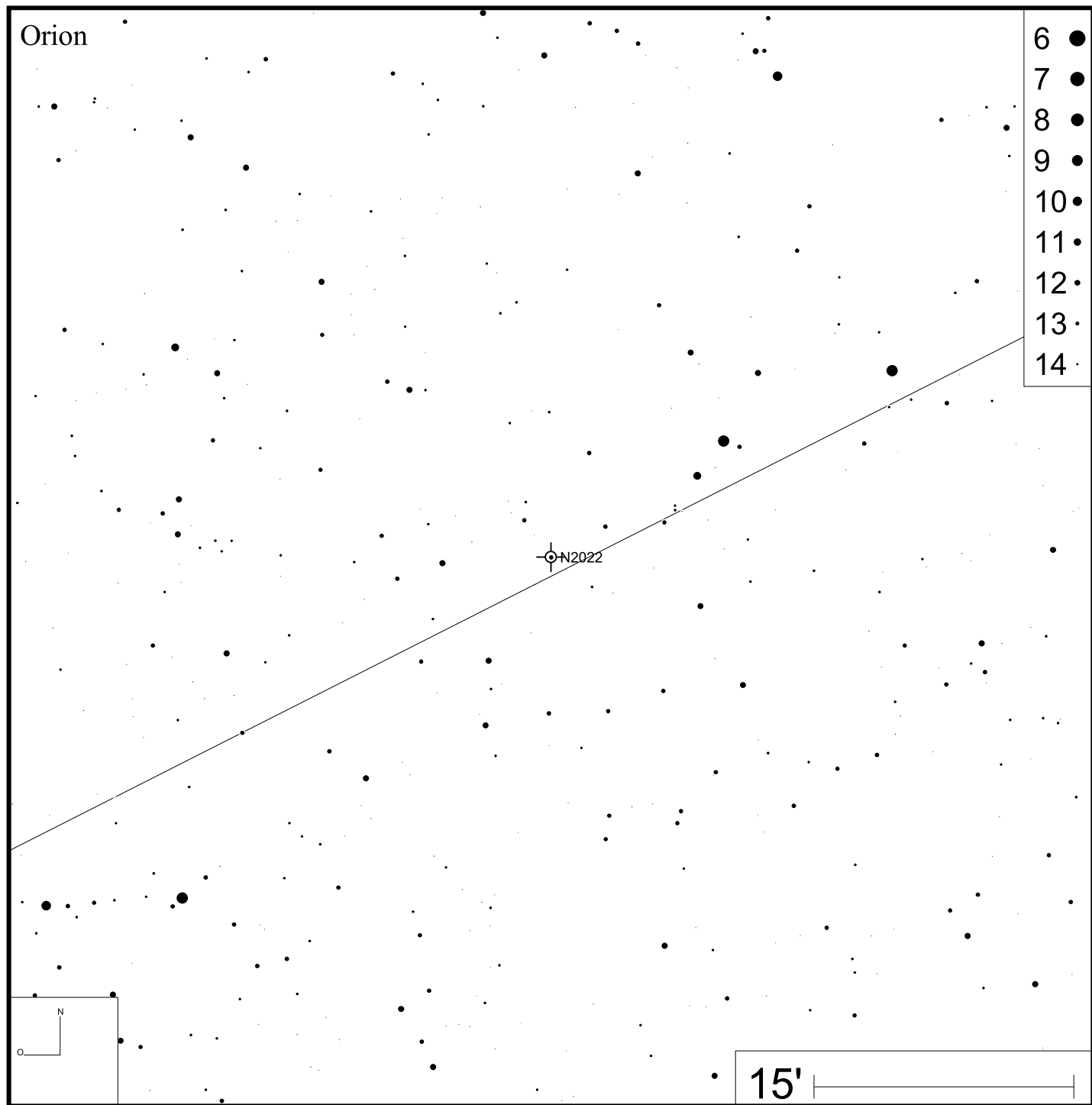


Bild: DSS

Bild: PanSTARRS



Orion

- 6 ●
- 7 ●
- 8 ●
- 9 ●
- 10 ●
- 11 ●
- 12 ●
- 13 ●
- 14 ●

NGC 2022

15'

NGC 2346

RA 07h09m23s

DEC -00°48'24"

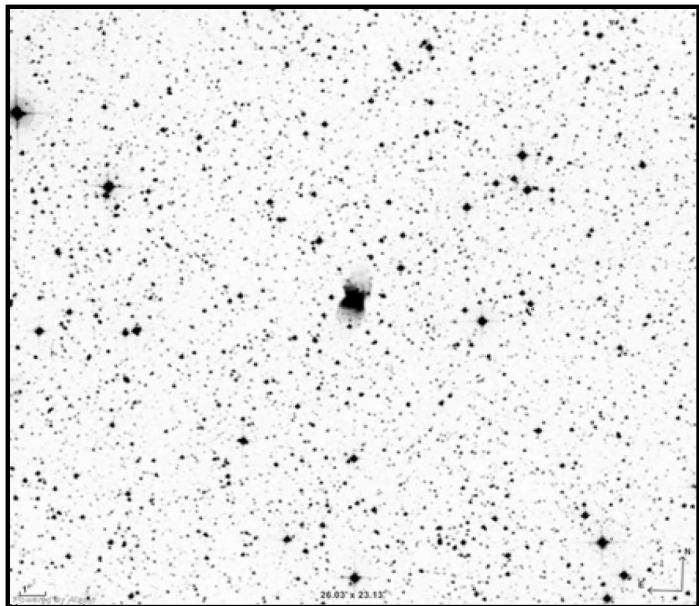
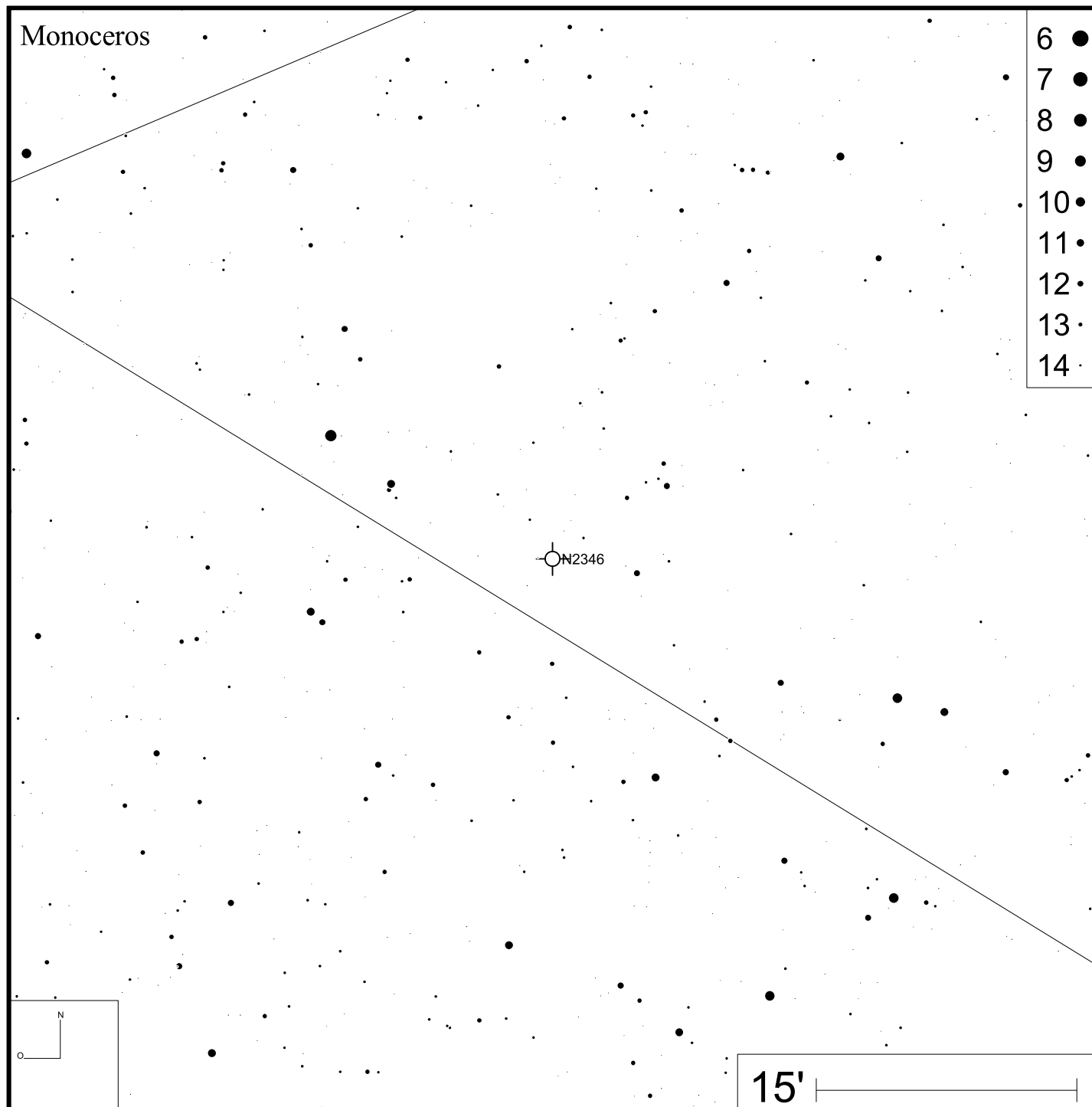
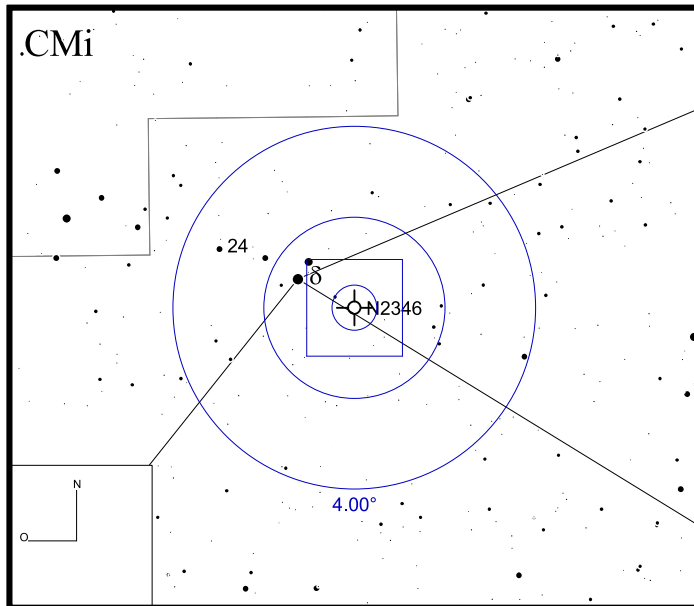


Bild: DSS



NGC 2371

RA 07h25m35s

DEC +29°29'26"

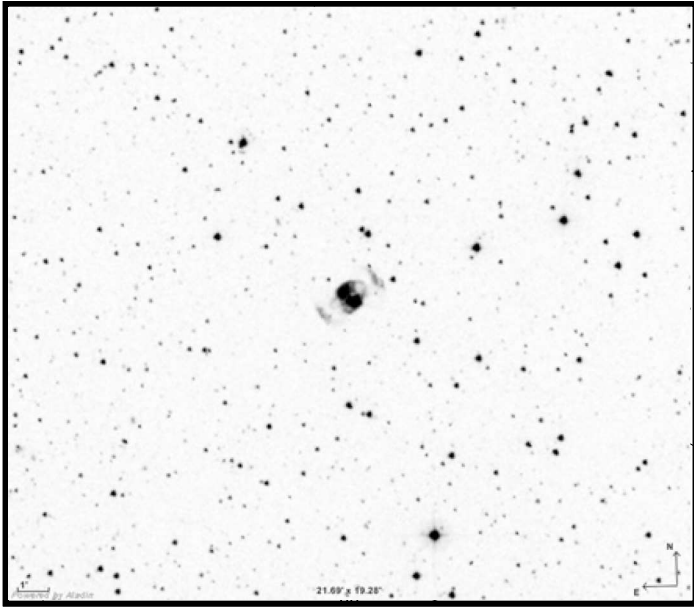
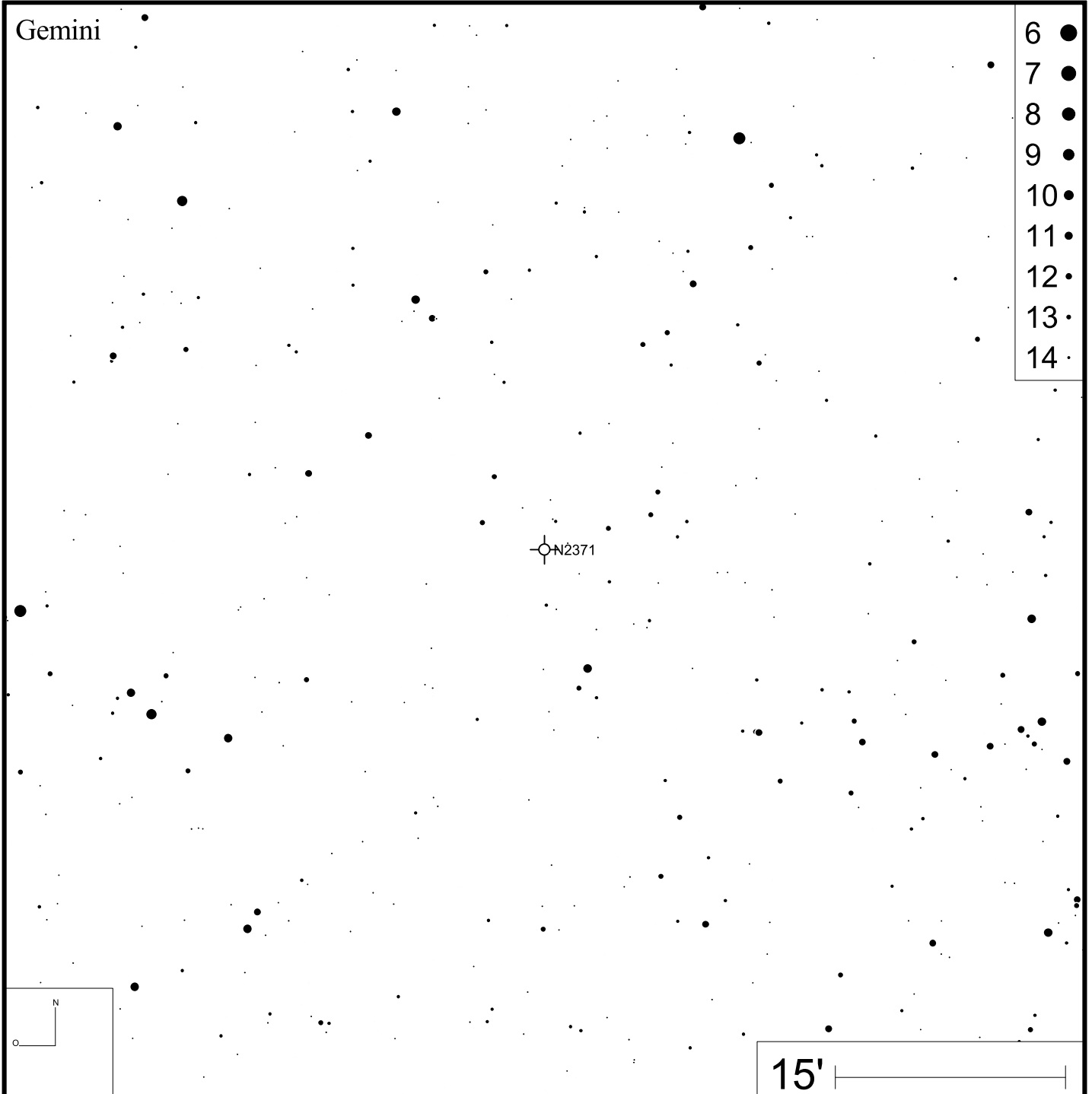
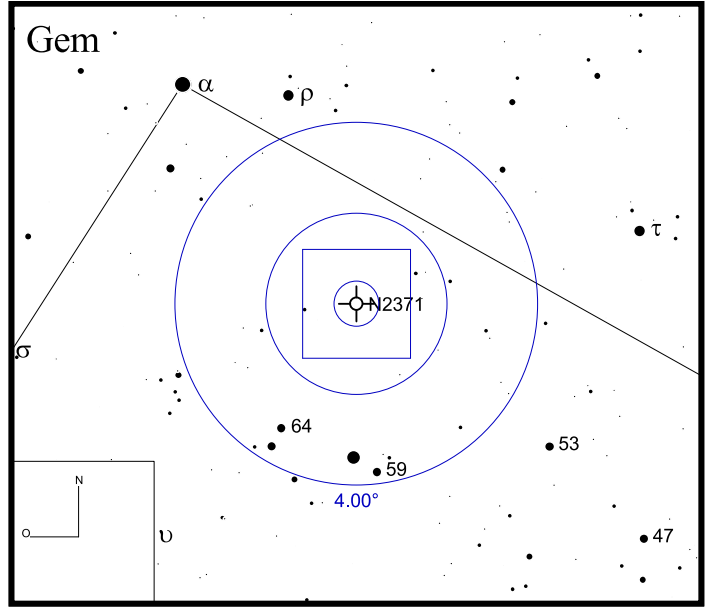


Bild: DSS



- 6 ●
- 7 ●
- 8 ●
- 9 ●
- 10 ●
- 11 ●
- 12 ●
- 13 ●
- 14 ●

NGC 2392

RA 07h29m11s

DEC +20°54'42"

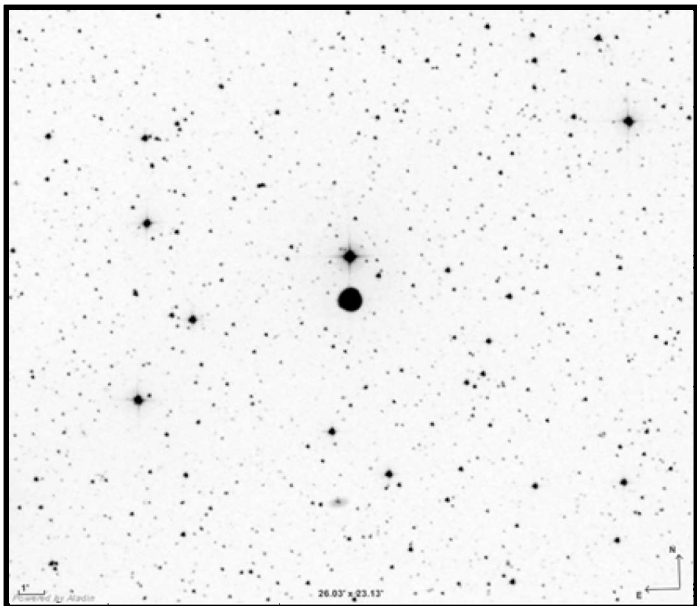
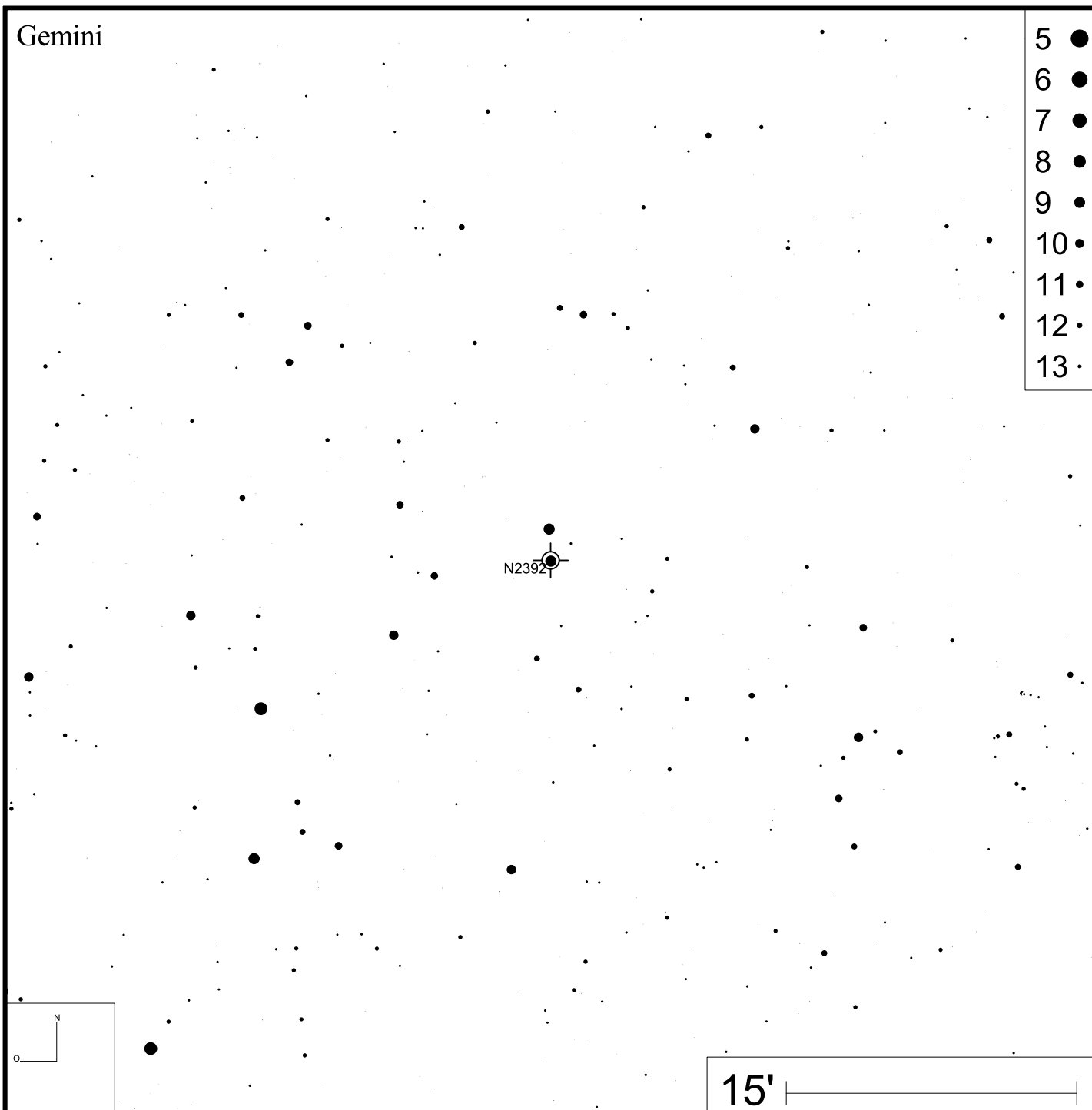
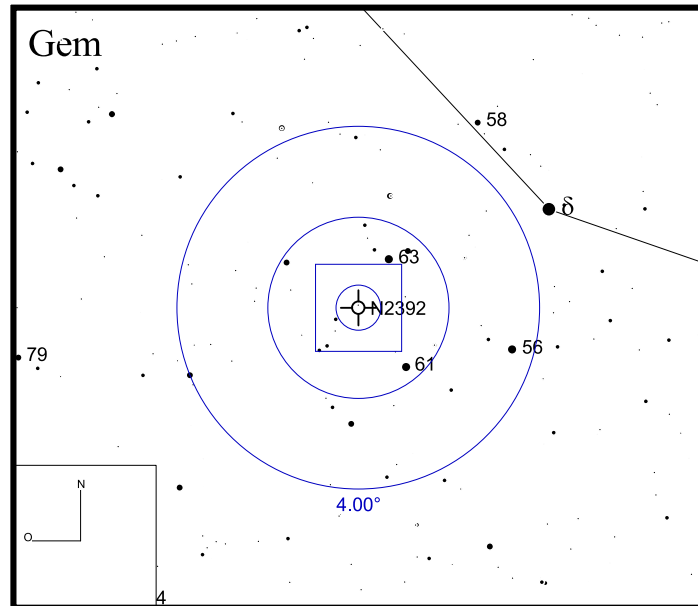


Bild: DSS



NGC 2438

RA 07h41m51s

DEC -14°44'08"

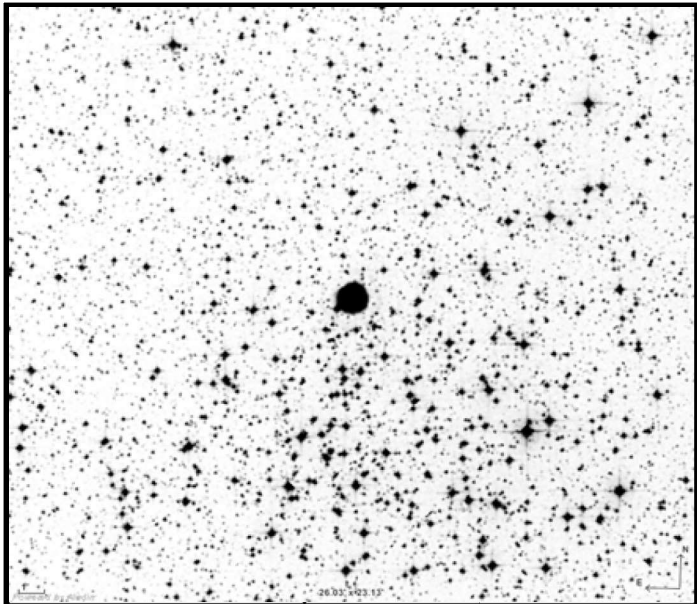


Bild: DSS

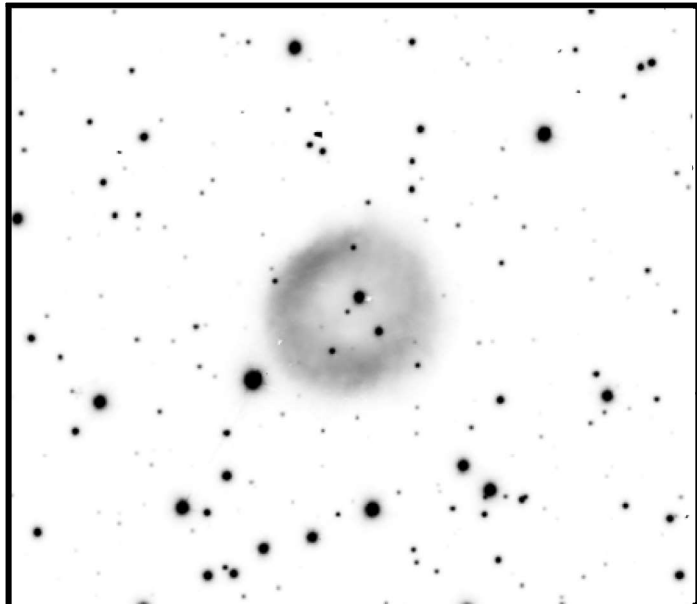
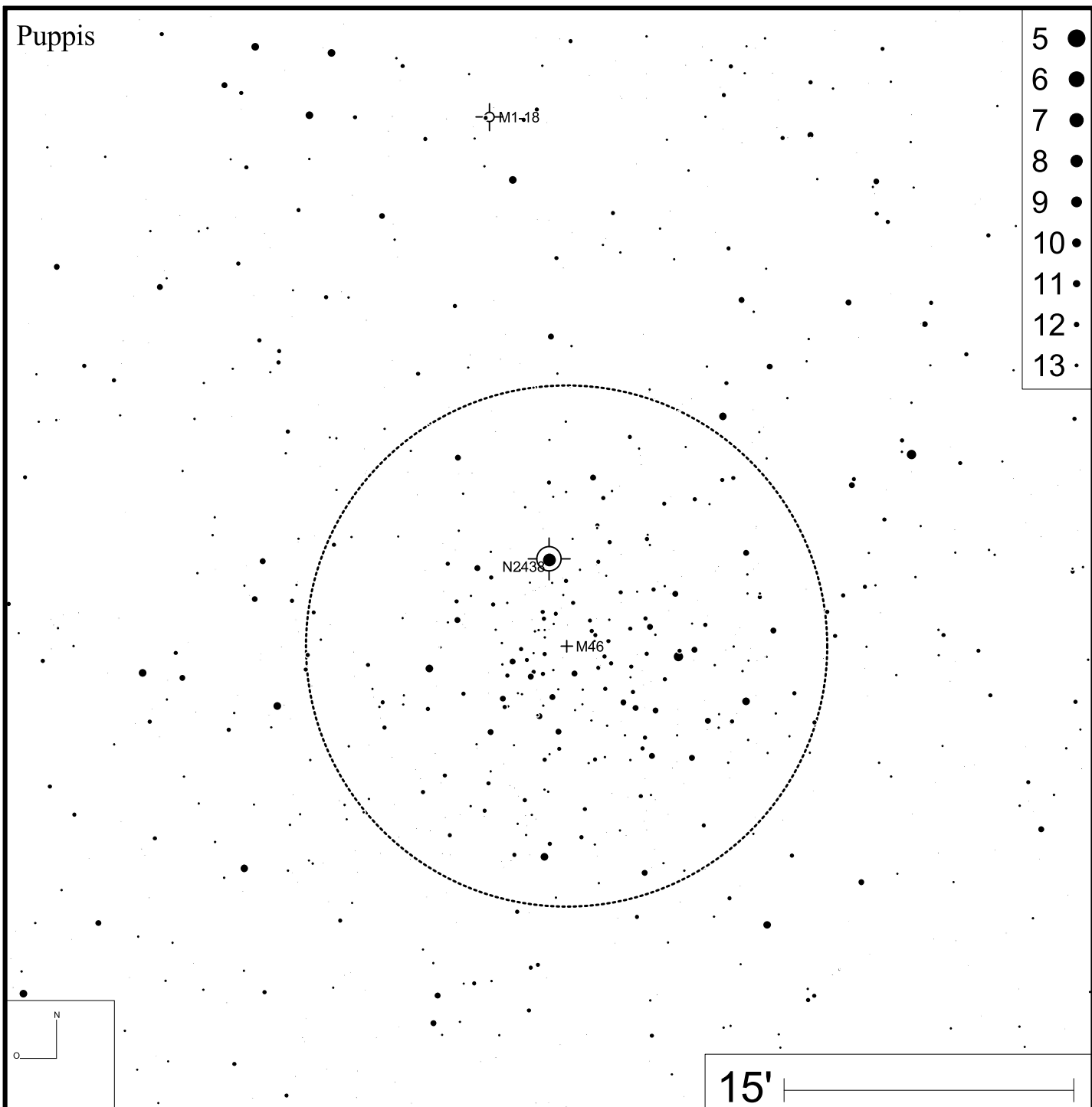


Bild: PanSTARRS (green)



NGC 2440

RA 07h41m55s

DEC -18°12'30"

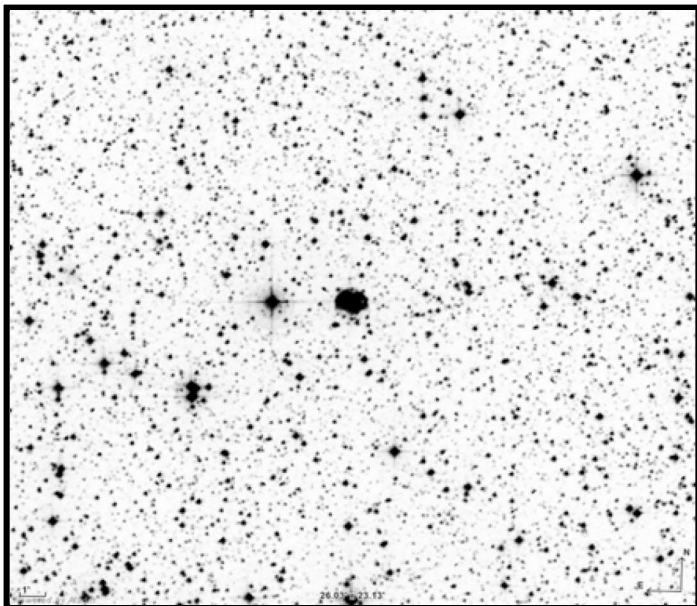


Bild: DSS

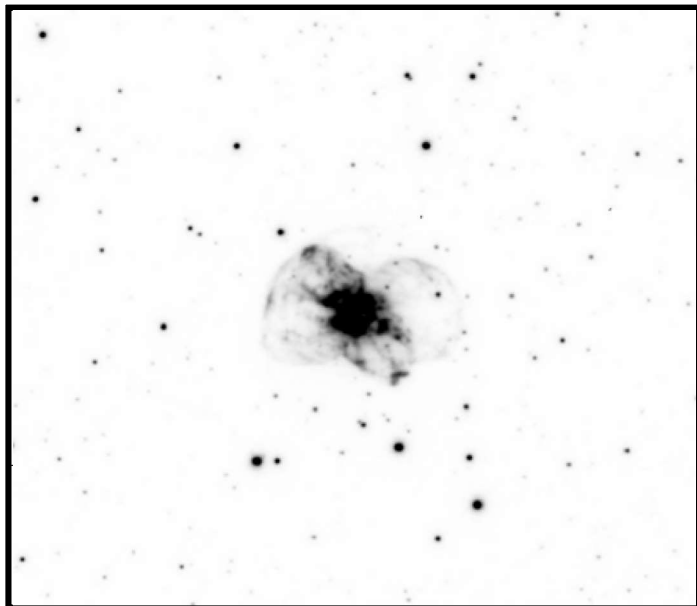
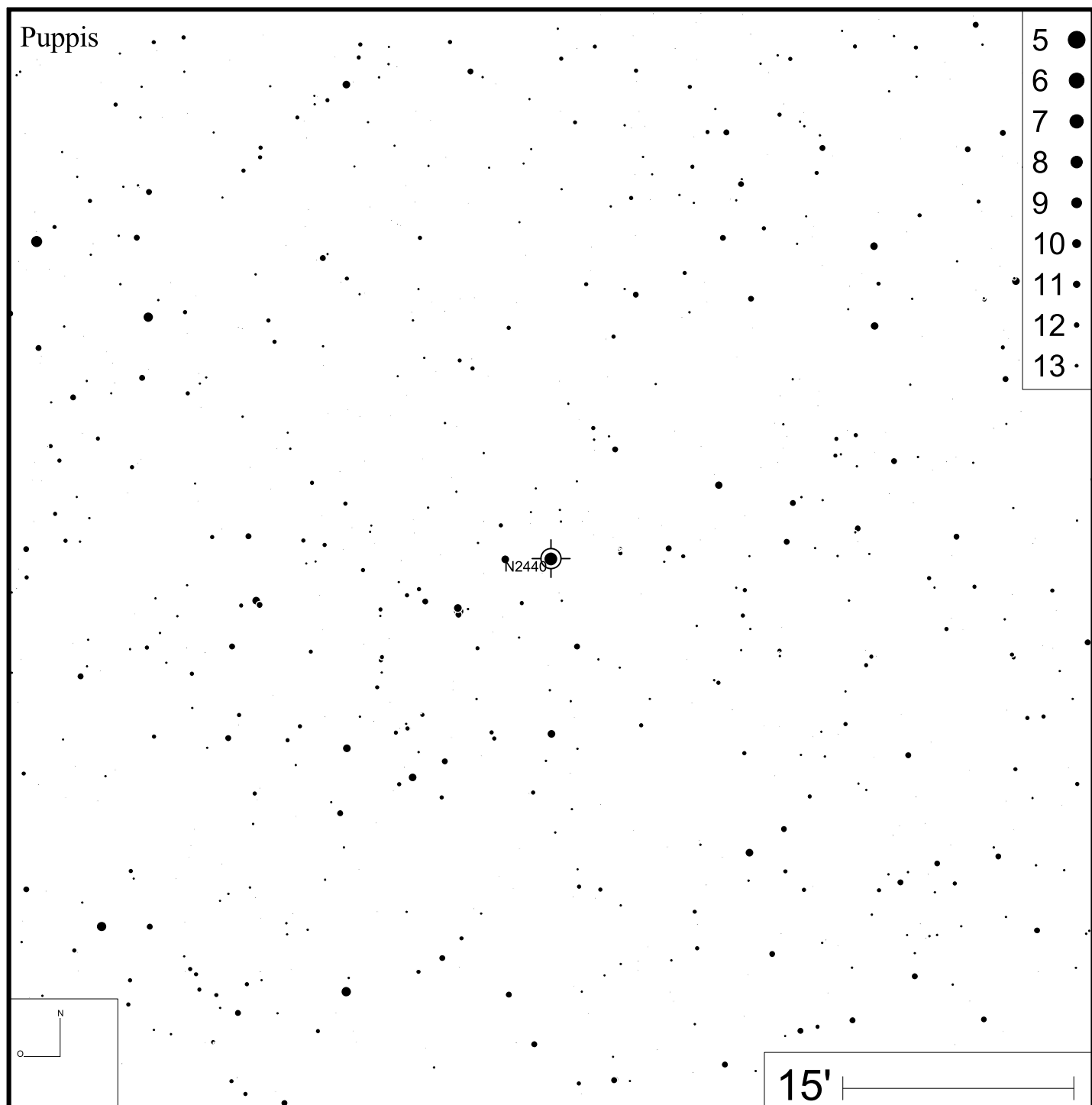


Bild: PanSTARRS (red)



NGC 2610

RA 08h33m23s

DEC -16°08'58"

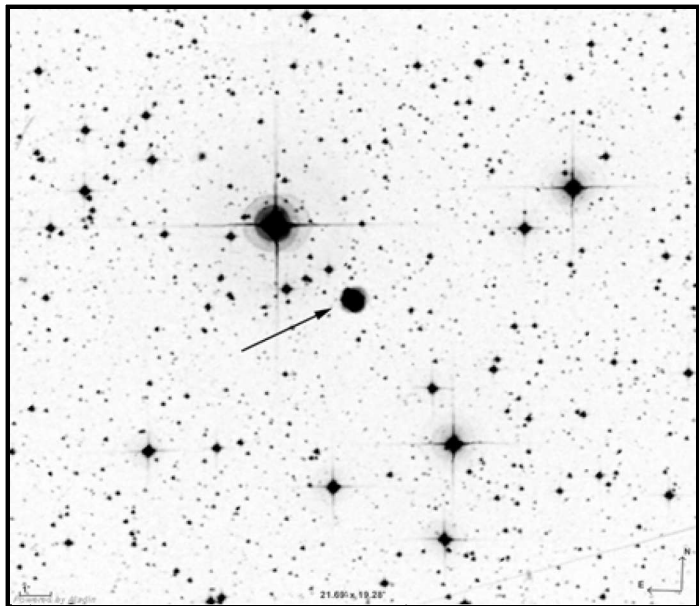


Bild: DSS

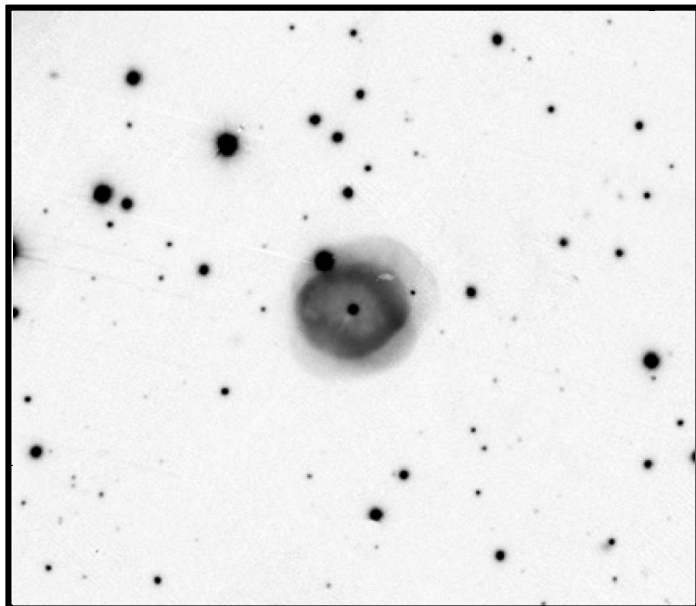
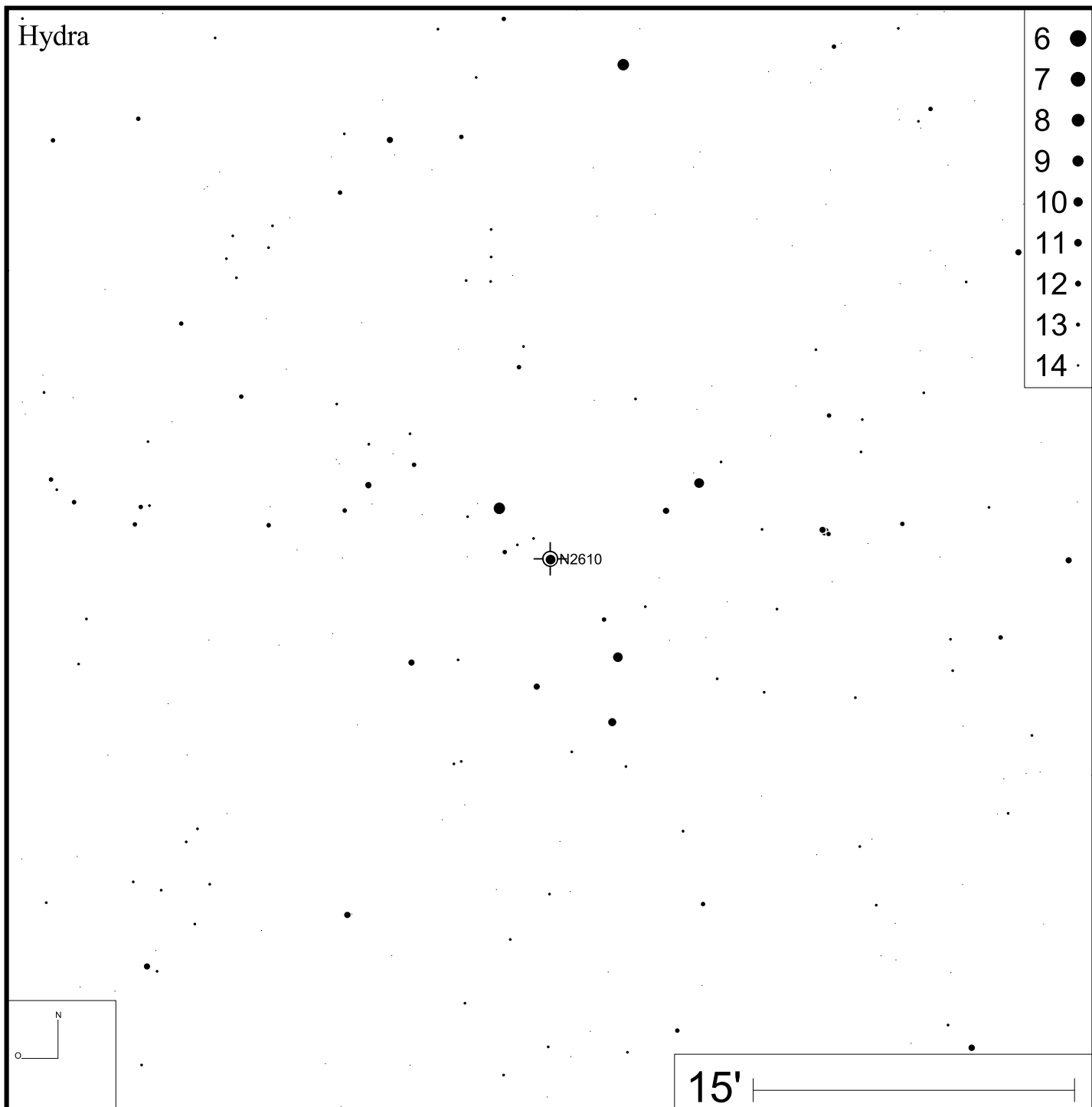


Bild: PanSTARRS (green)

Hydra



- 6 ●
- 7 ●
- 8 ●
- 9 ●
- 10 ●
- 11 ●
- 12 ●
- 13 ●
- 14 ●

NGC 2610

15'

NGC 3242

RA 10h24m46s

DEC -18°38'33"

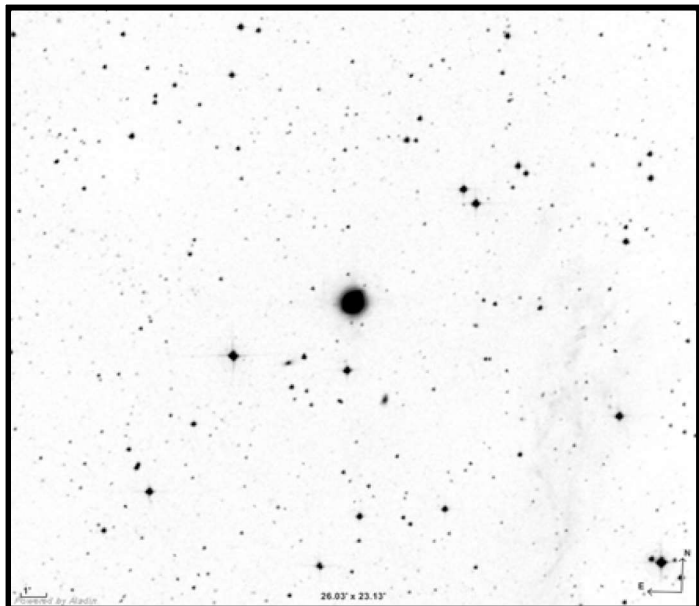


Bild: DSS

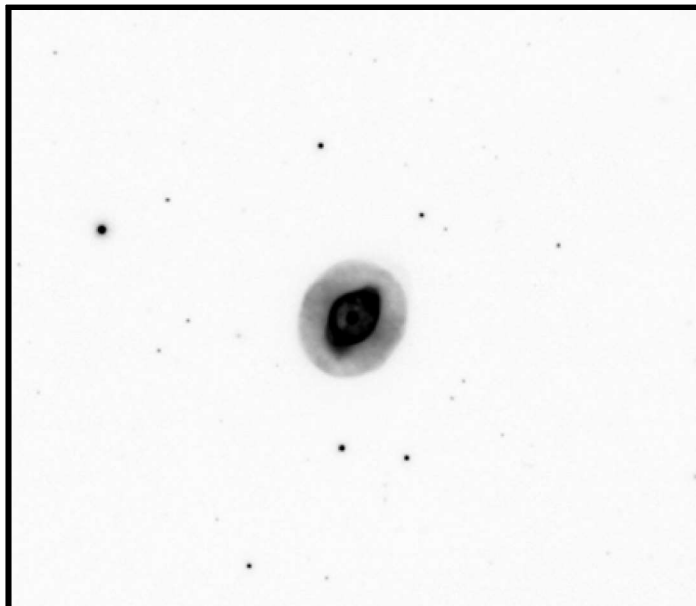
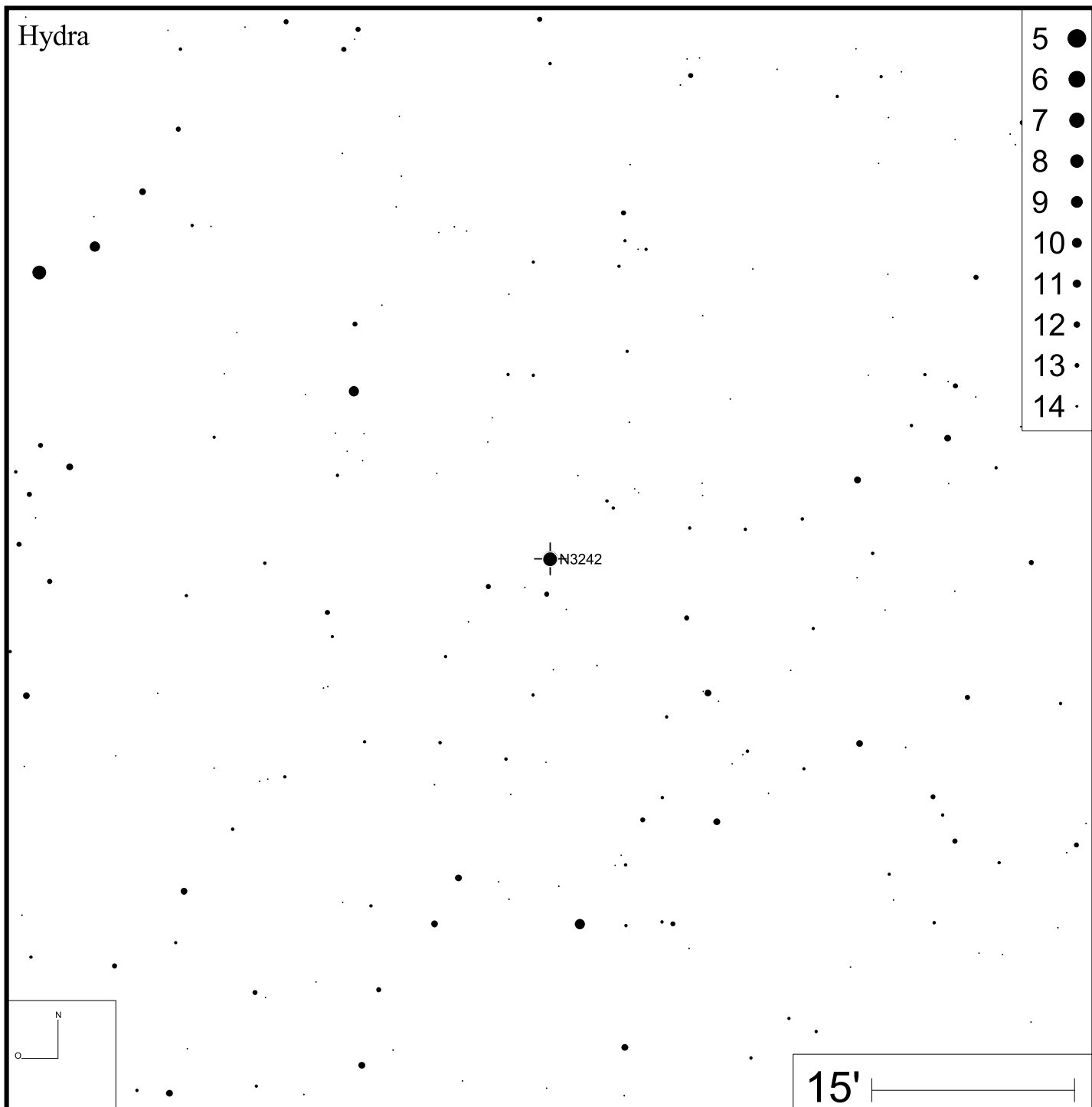


Bild: PanSTARRS



NGC 4361

RA 12h24m31s

DEC -18°47'05"

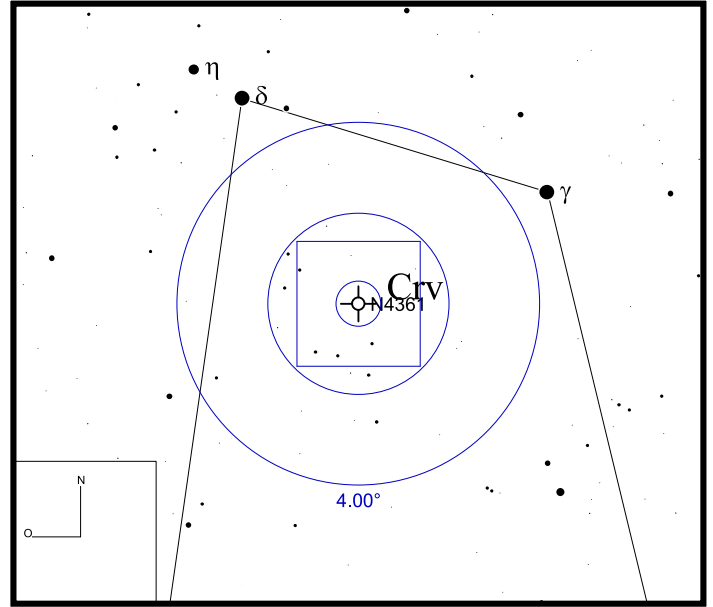
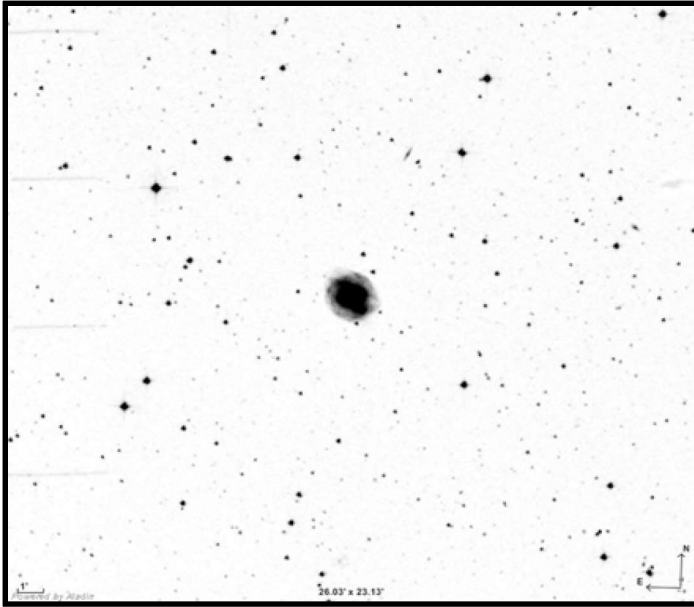
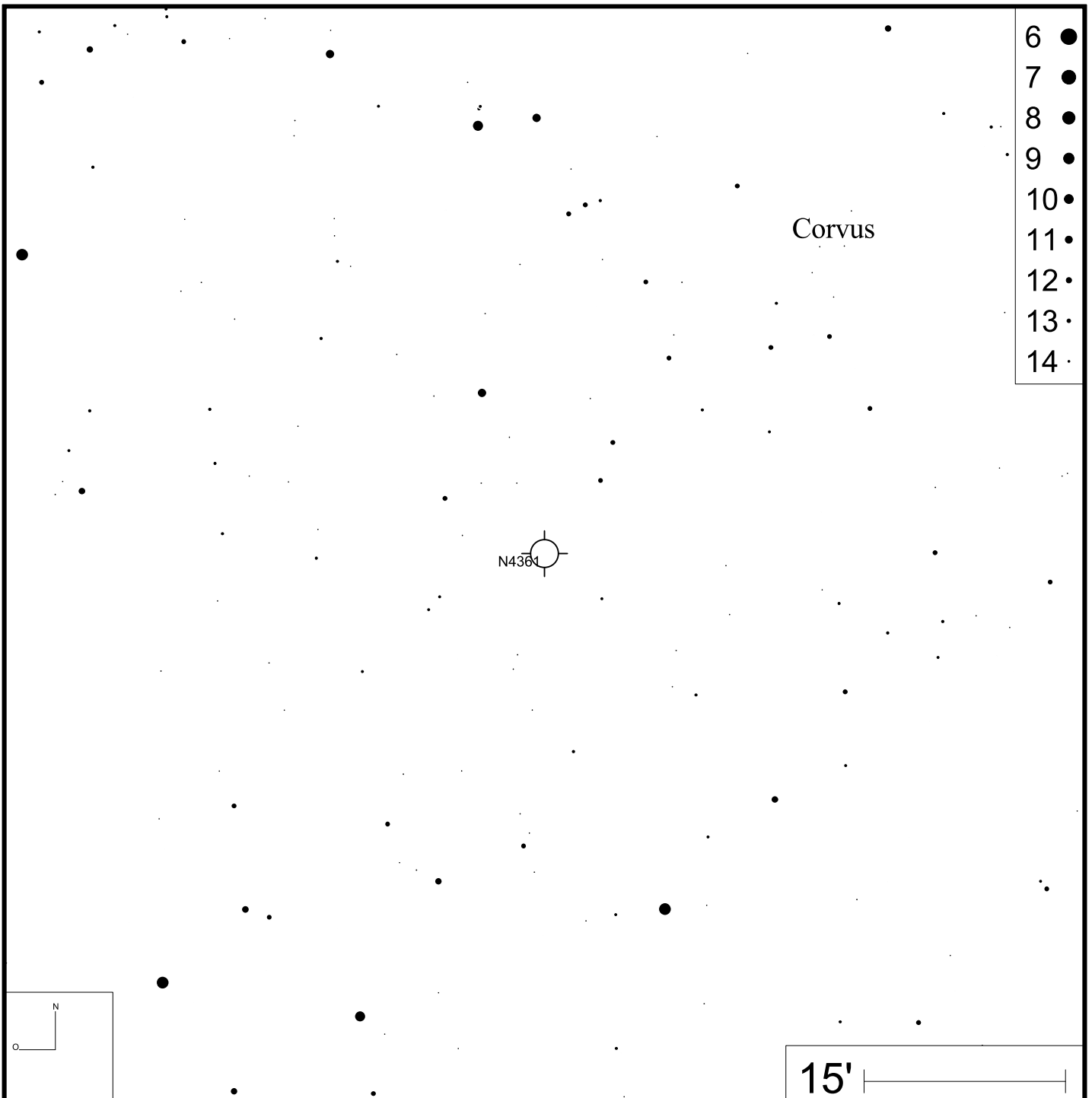


Bild: DSS



- 6 ●
- 7 ●
- 8 ●
- 9 ●
- 10 ●
- 11 ●
- 12 ●
- 13 ●
- 14 ●

15'

NGC 6058

RA 16h04m27s

DEC +40°40'56"

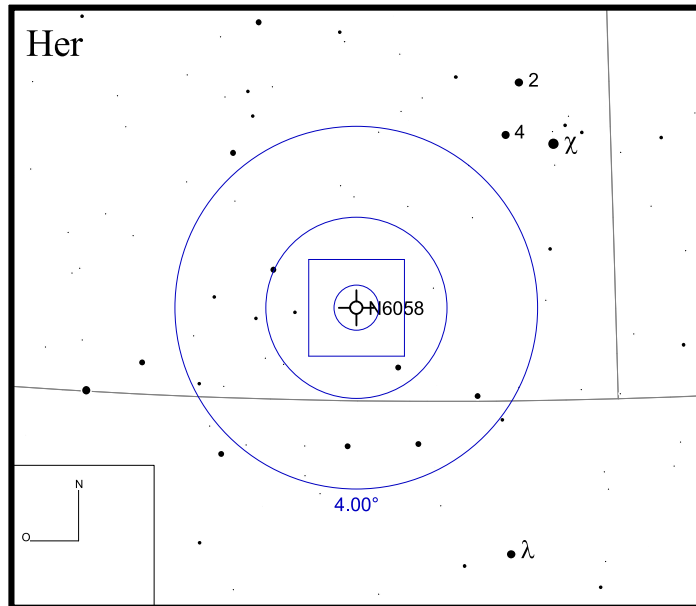
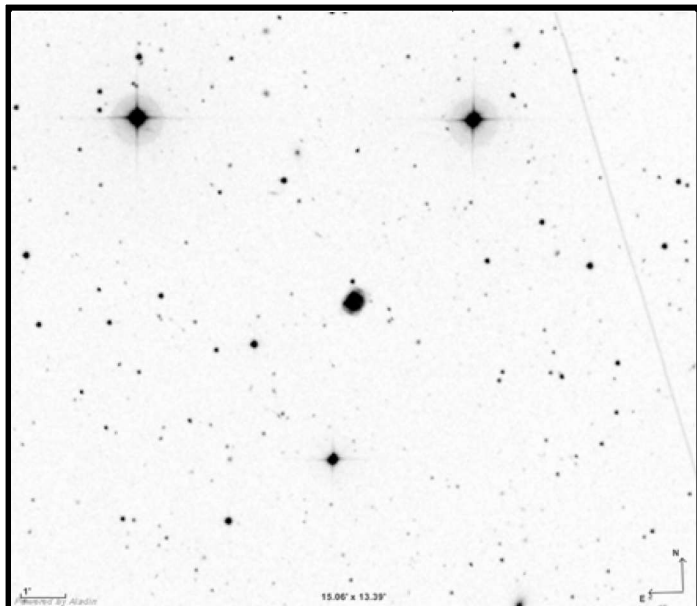
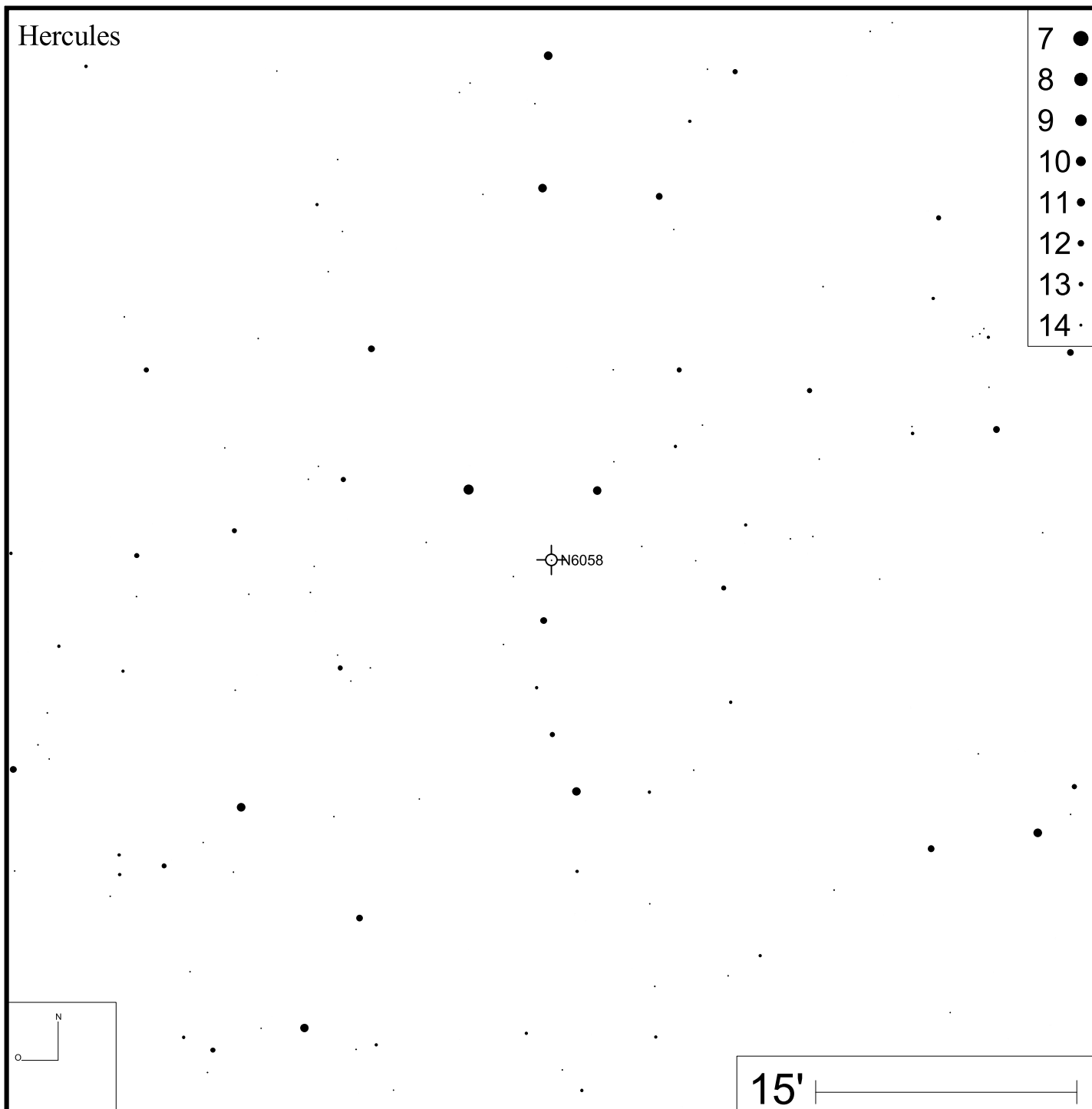


Bild: DSS

Hercules



- 7 ●
- 8 ●
- 9 ●
- 10 ●
- 11 ●
- 12 ●
- 13 ●
- 14 ●

NGC 6210

RA 16h44m29s

DEC +23°48'00"

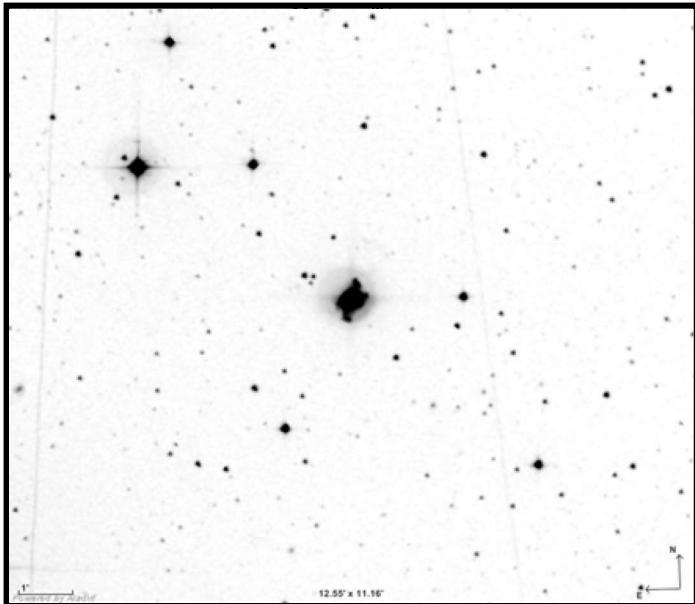
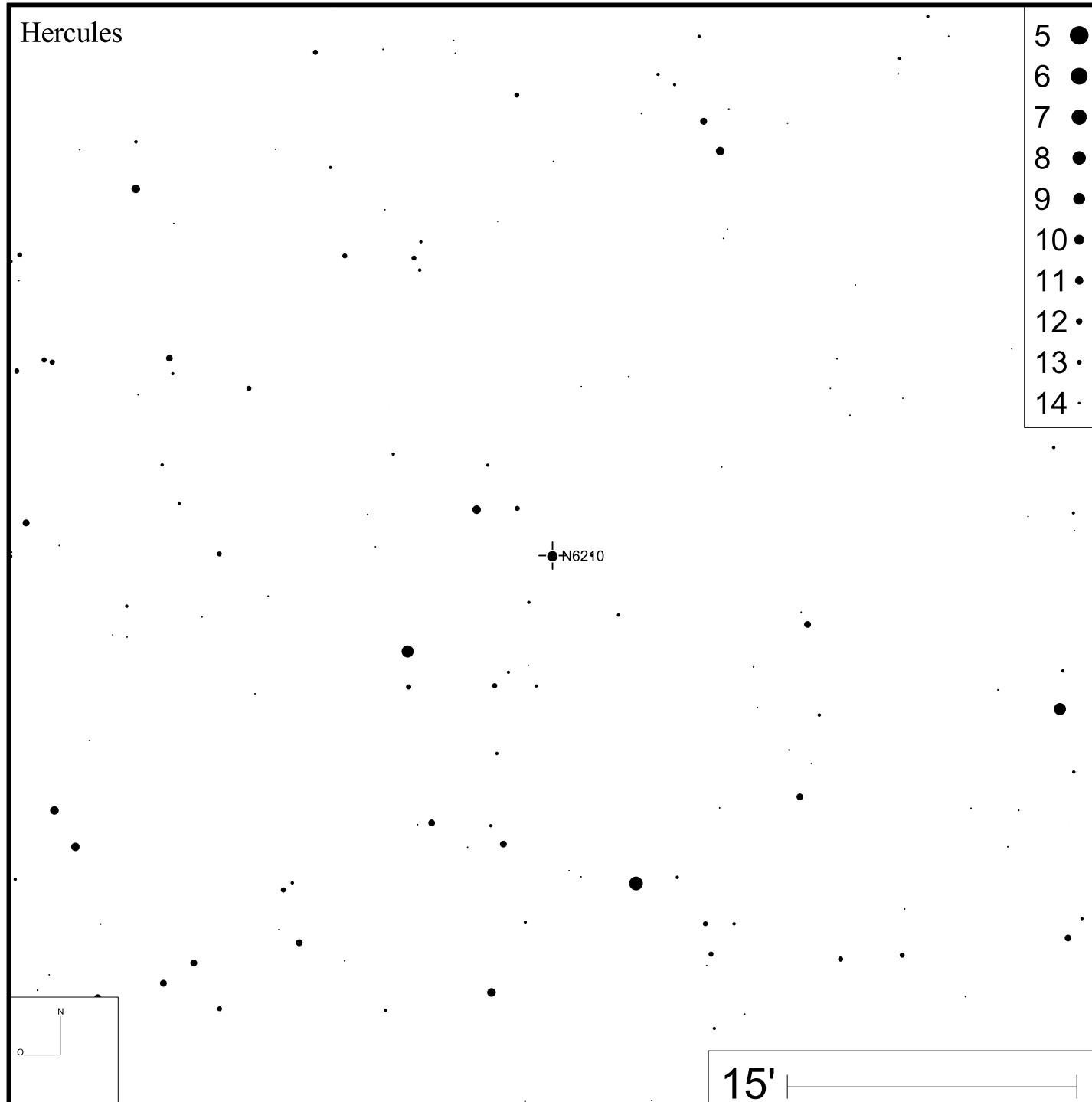
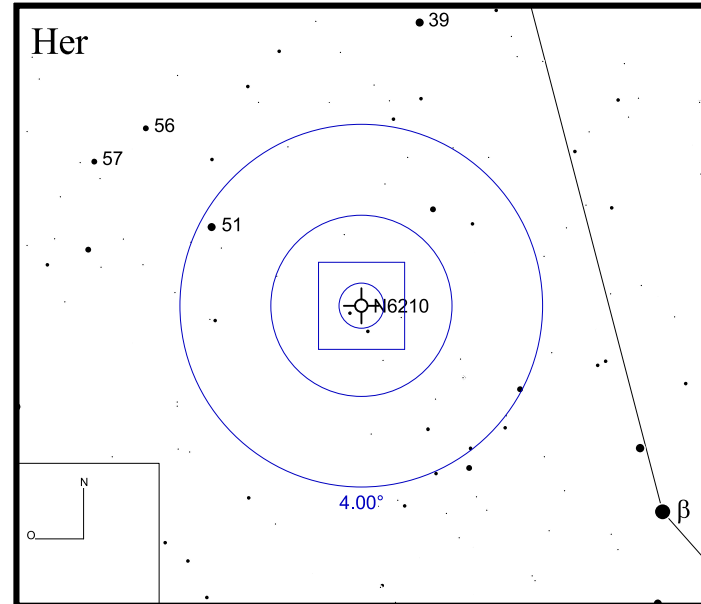


Bild: DSS



NGC 6309

RA 17h14m04s

DEC -12°54'36"

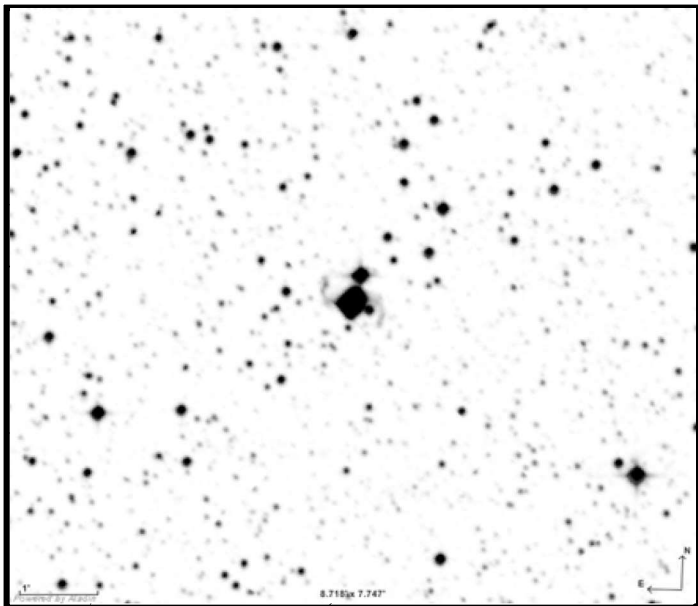
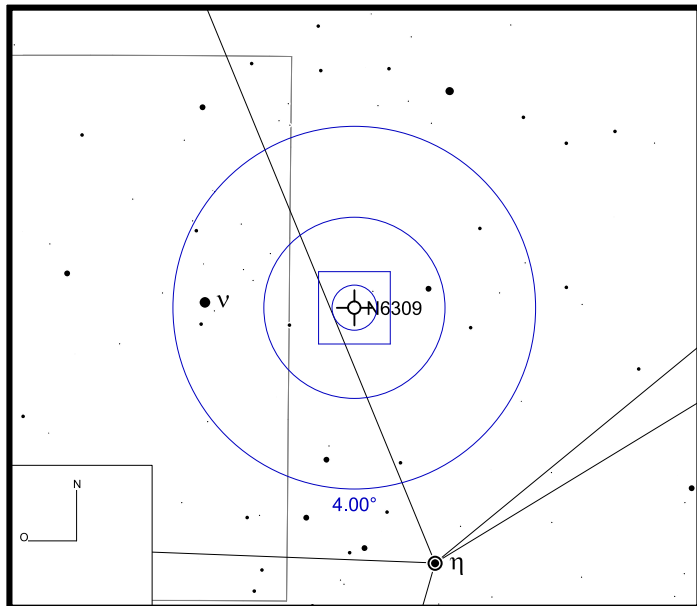
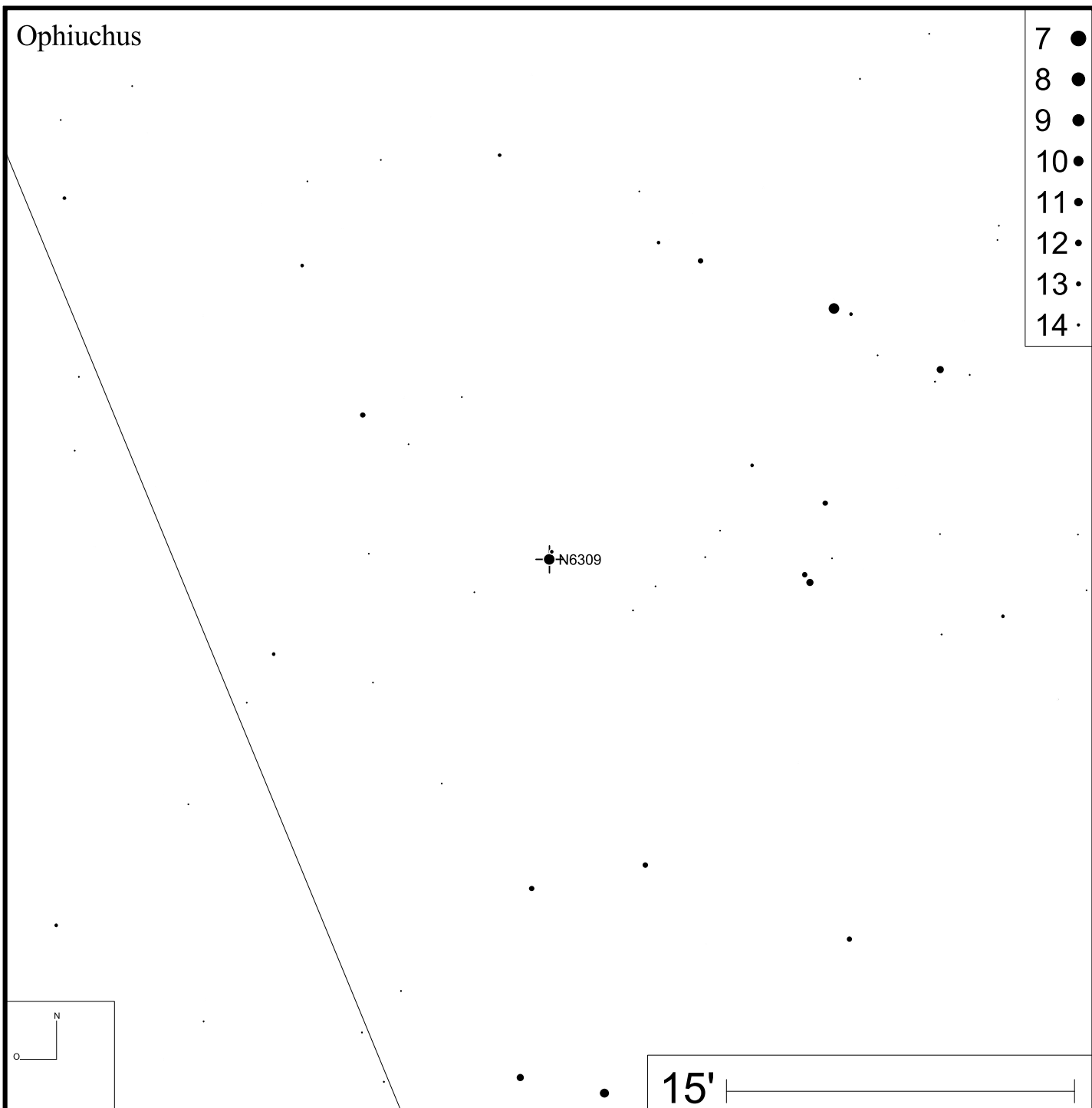


Bild: DSS



Ophiuchus



NGC 6369

RA 17h29m20s

DEC -23°45'35"

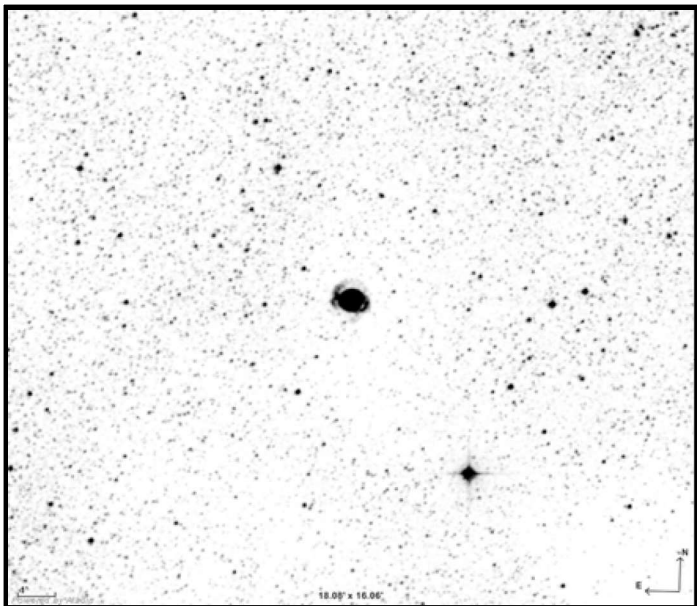


Bild: DSS

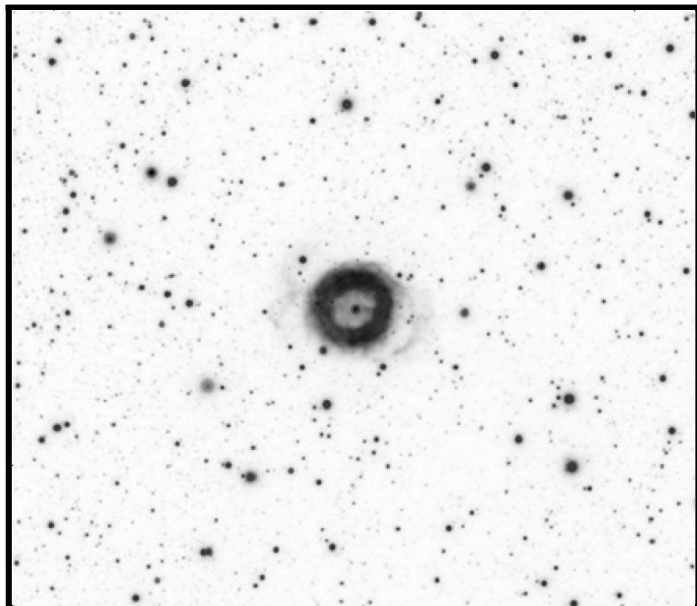
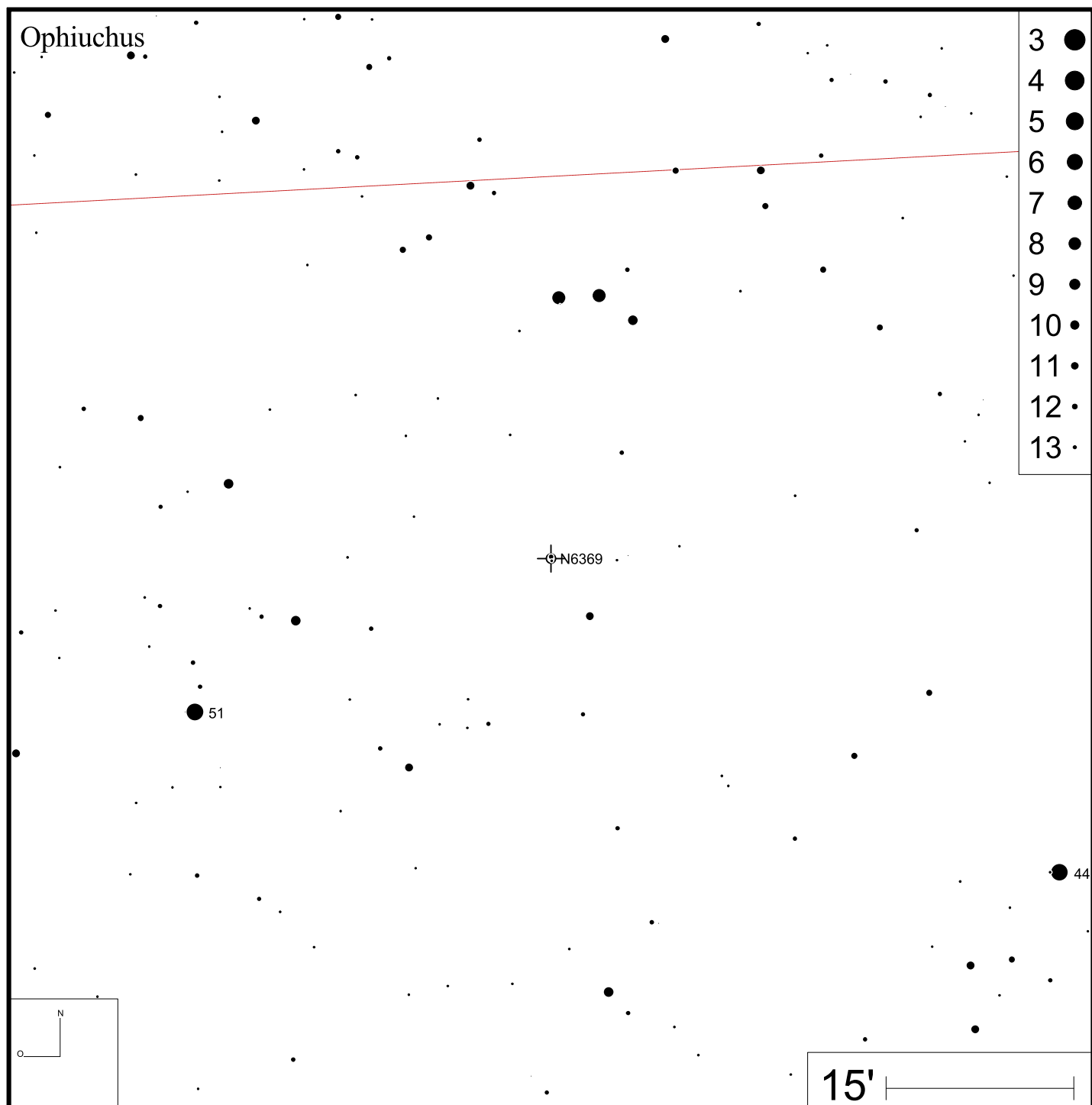


Bild: PanSTARRS



NGC 6445

RA 17h49m15s

DEC -20°00'34"

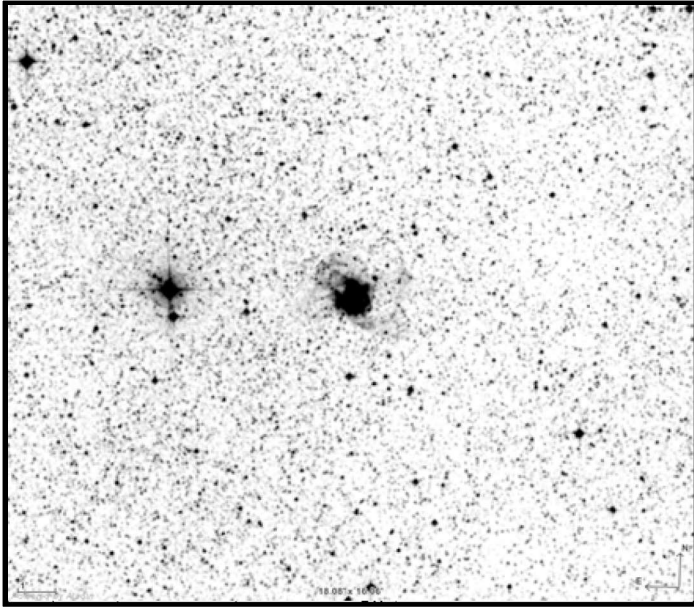


Bild: DSS

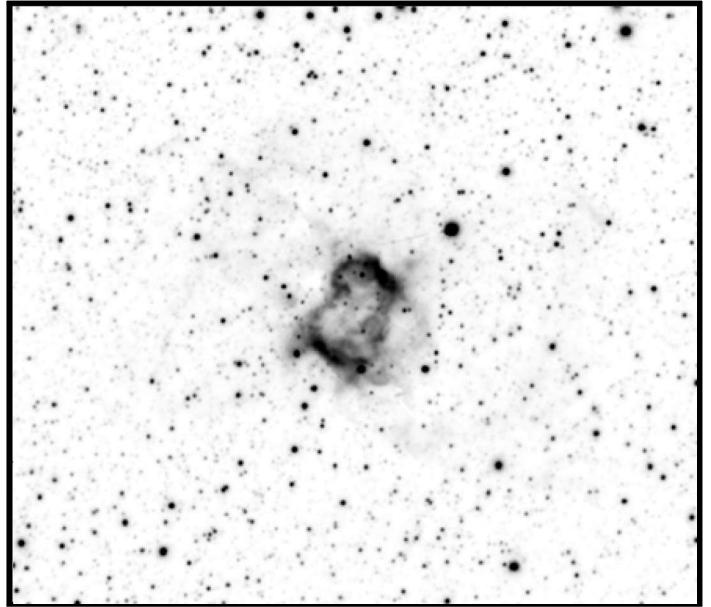
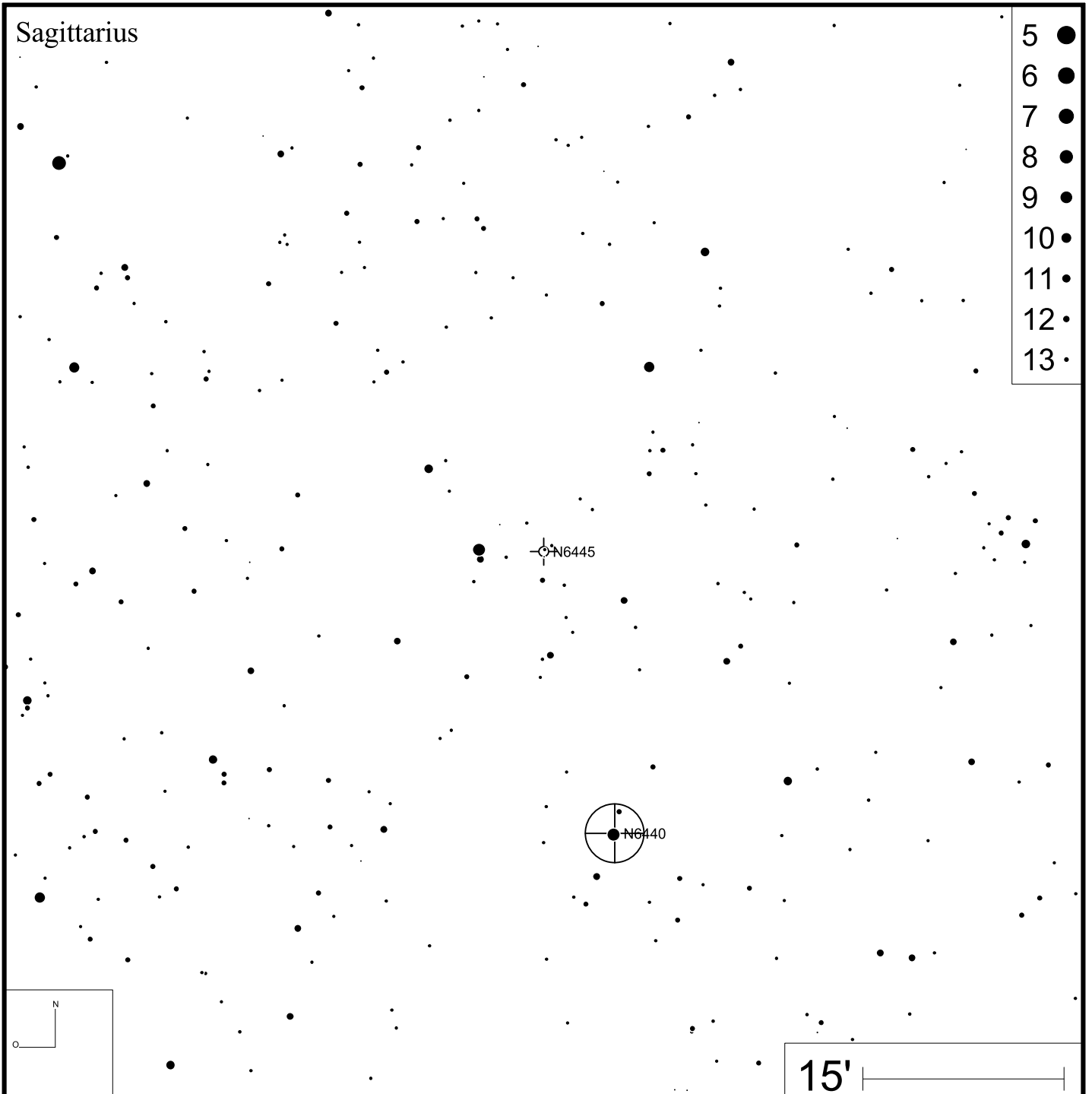


Bild: PanSTARRS (red)



Sagittarius

- 5 ●
- 6 ●
- 7 ●
- 8 ●
- 9 ●
- 10 ●
- 11 ●
- 12 ●
- 13 ●

NGC 6445

NGC 6440

15'

NGC 6537

RA 18h05m13s

DEC -19°50'35"

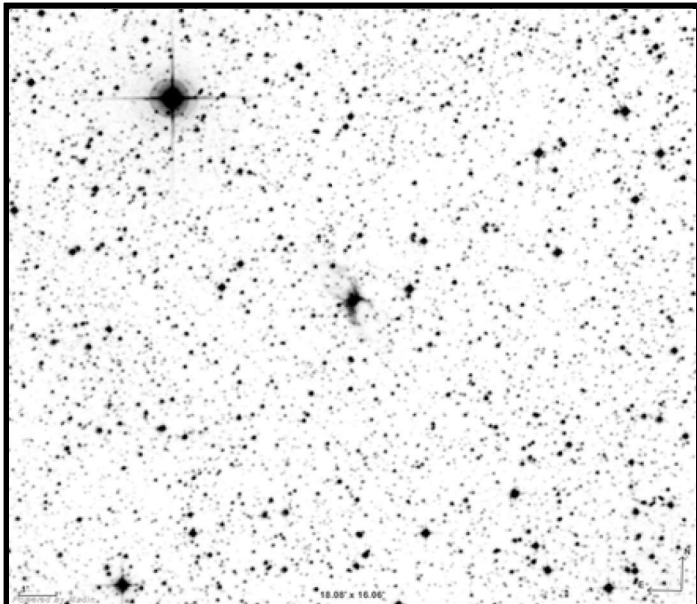
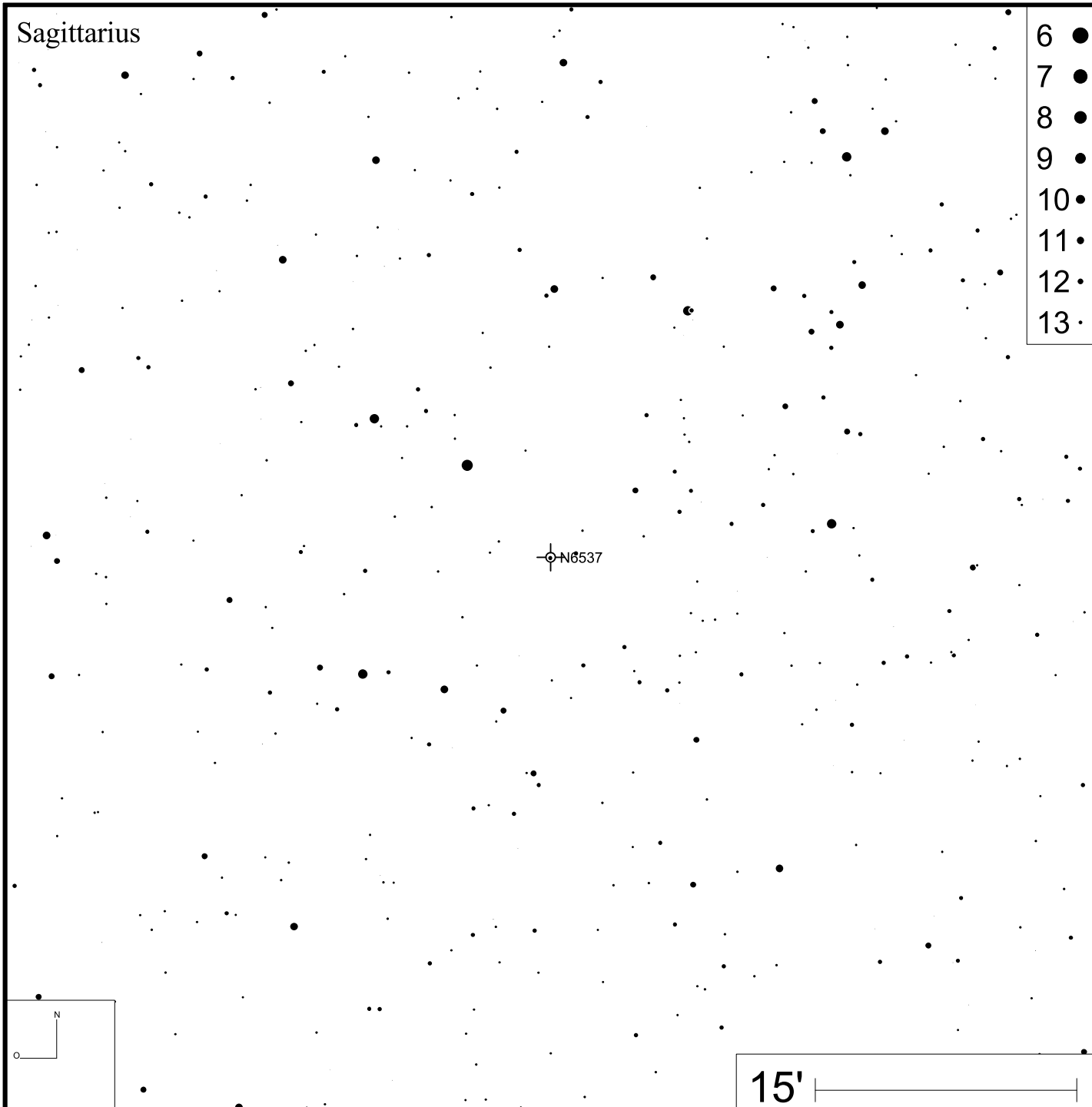
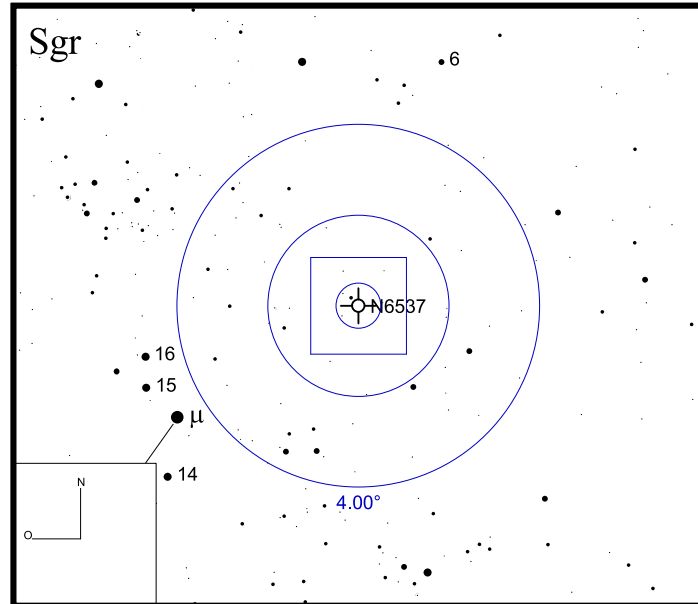


Bild: DSS



NGC 6543

RA 17h58m33s

DEC +66°38'00"

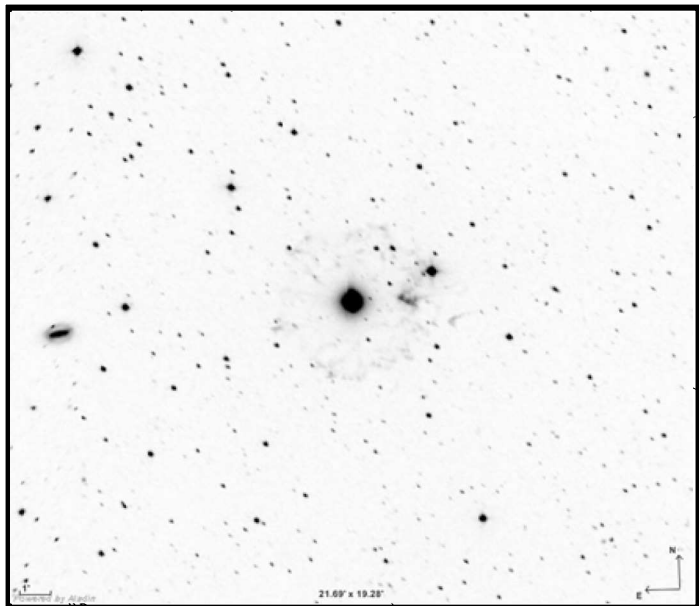
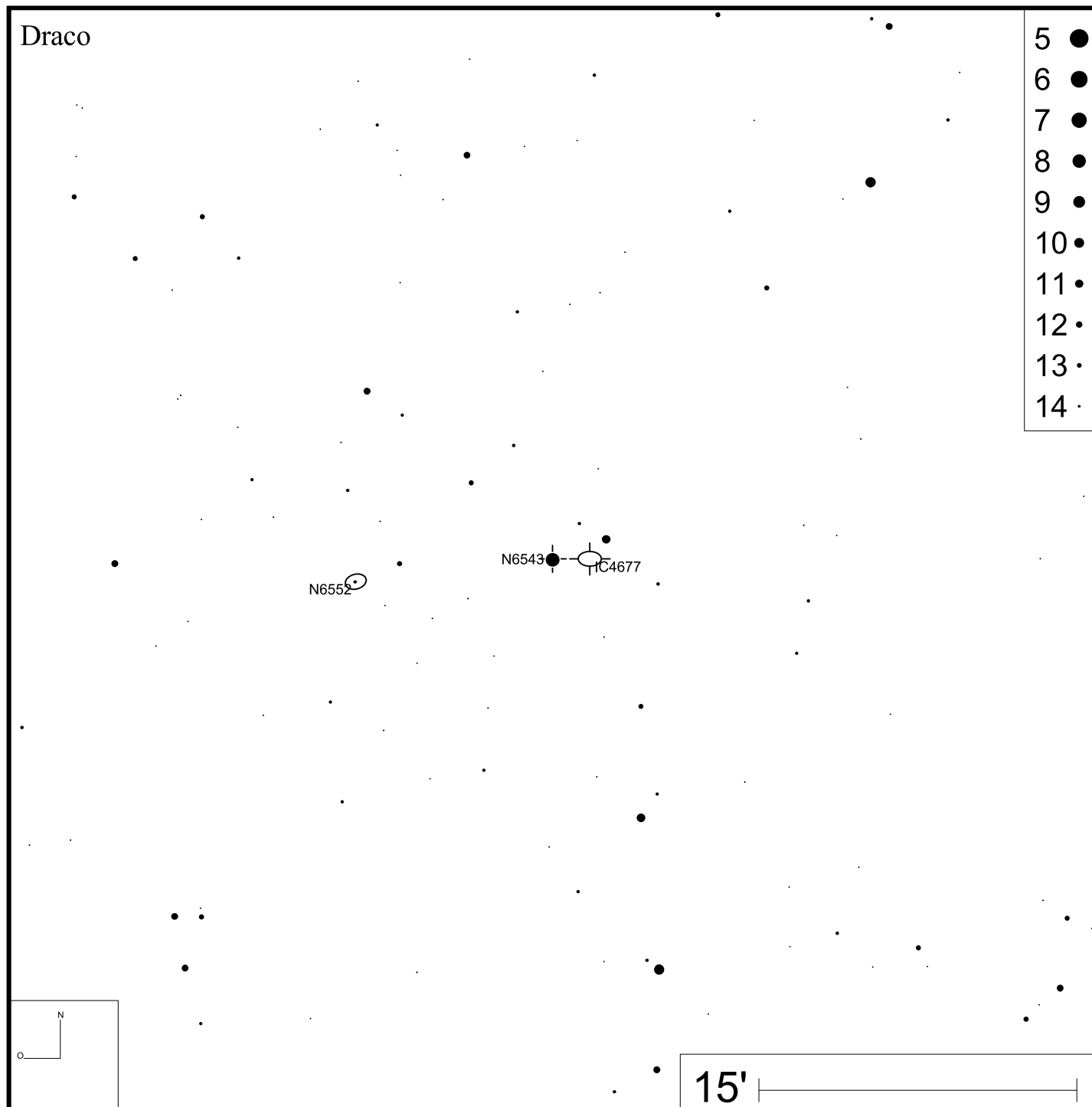
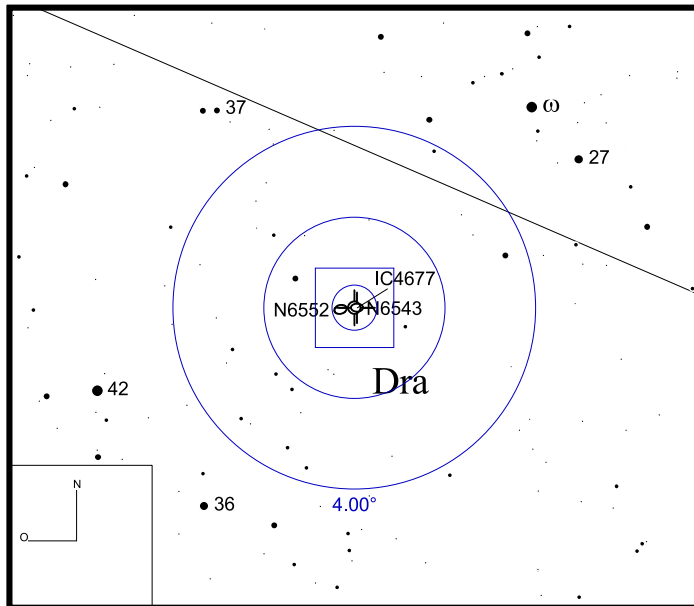


Bild: DSS



NGC 6563

RA 18h25m42s

DEC -33°52'07"

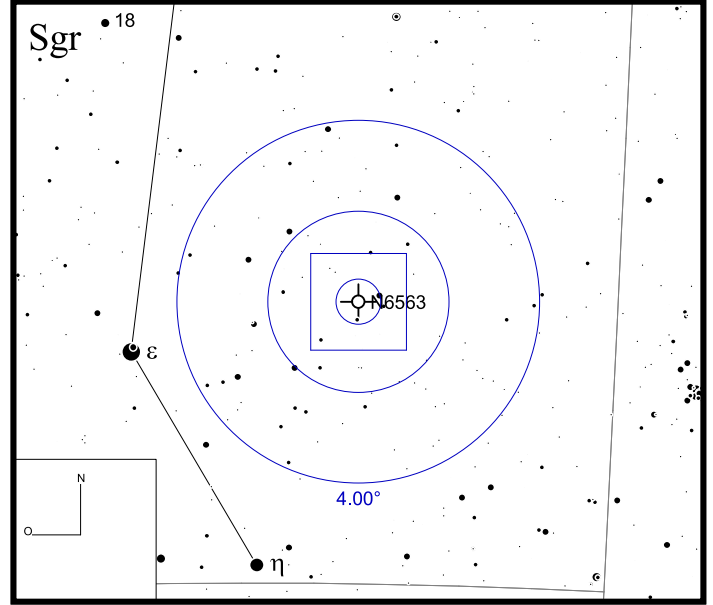
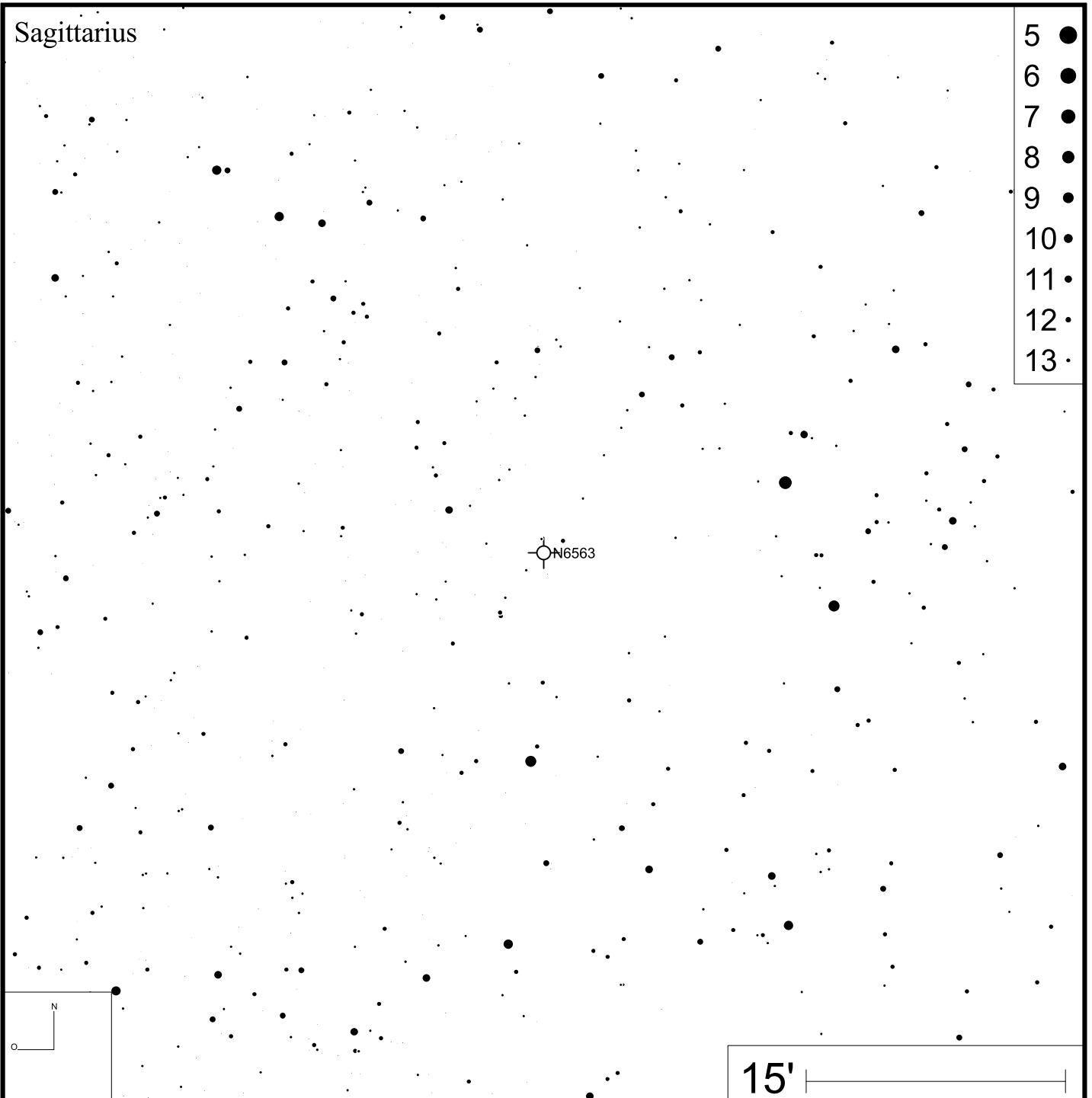


Bild: DSS



NGC 6565

RA 18h11m53s

DEC -28°10'42"

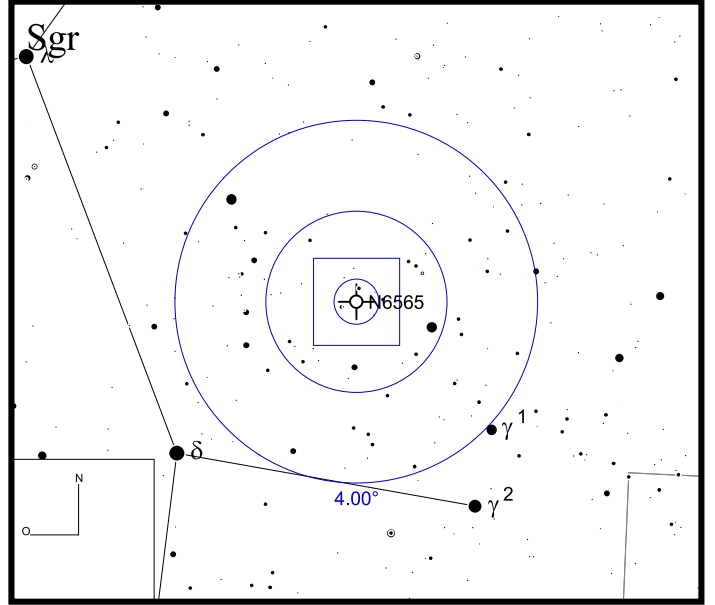
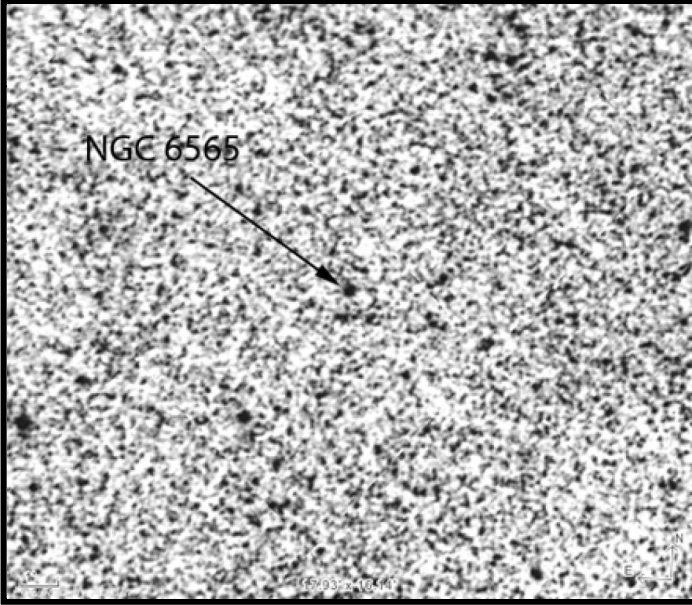
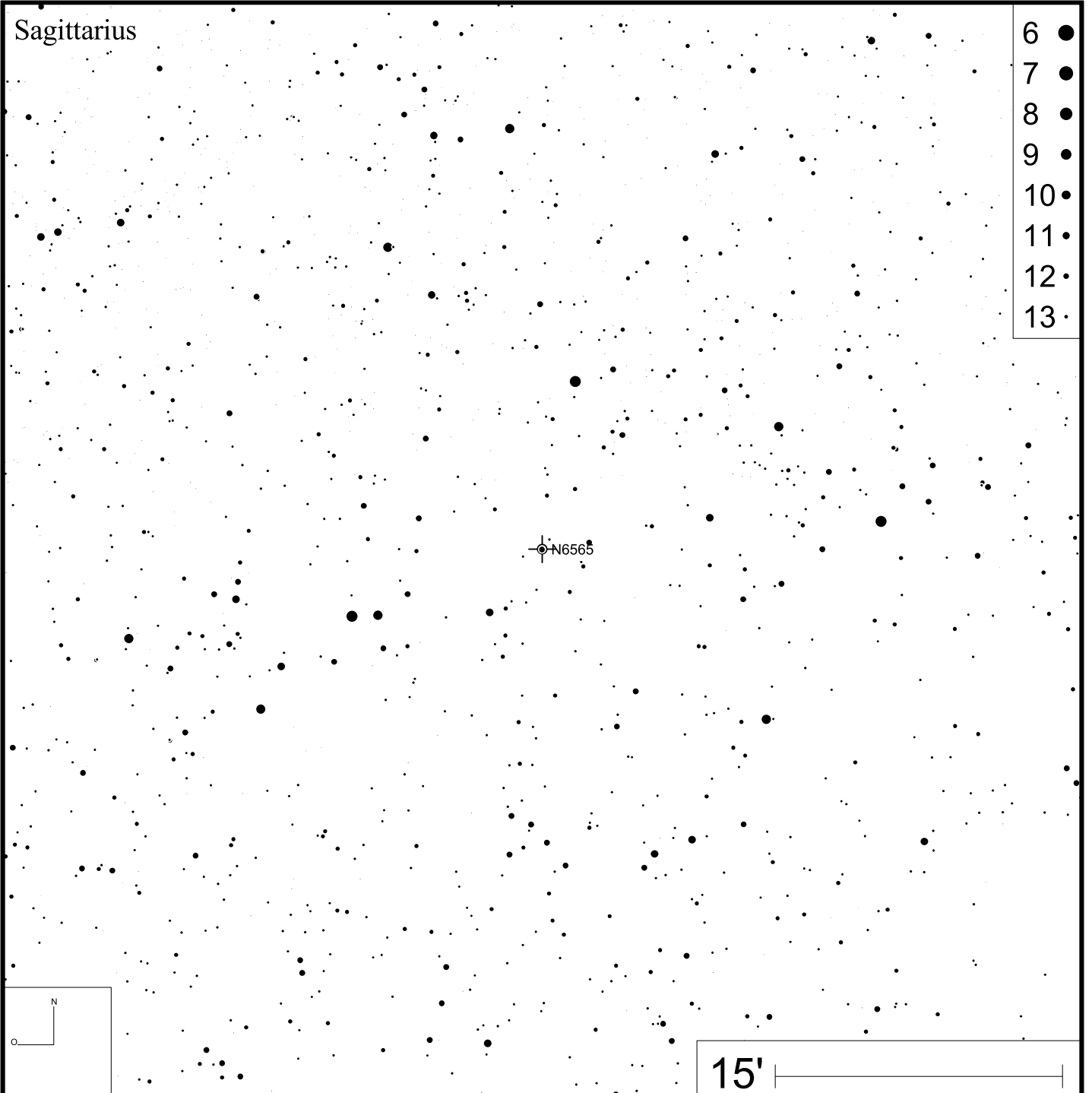


Bild: DSS



NGC 6572

RA 18h12m06s

DEC +06°51'13"

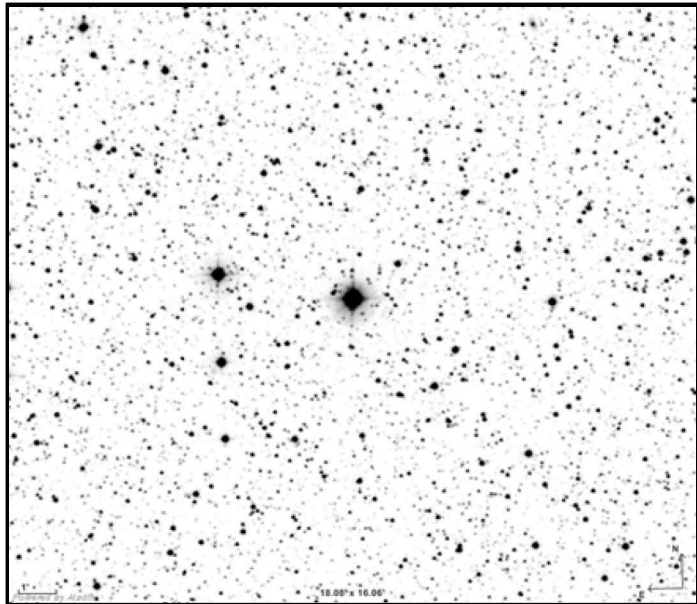
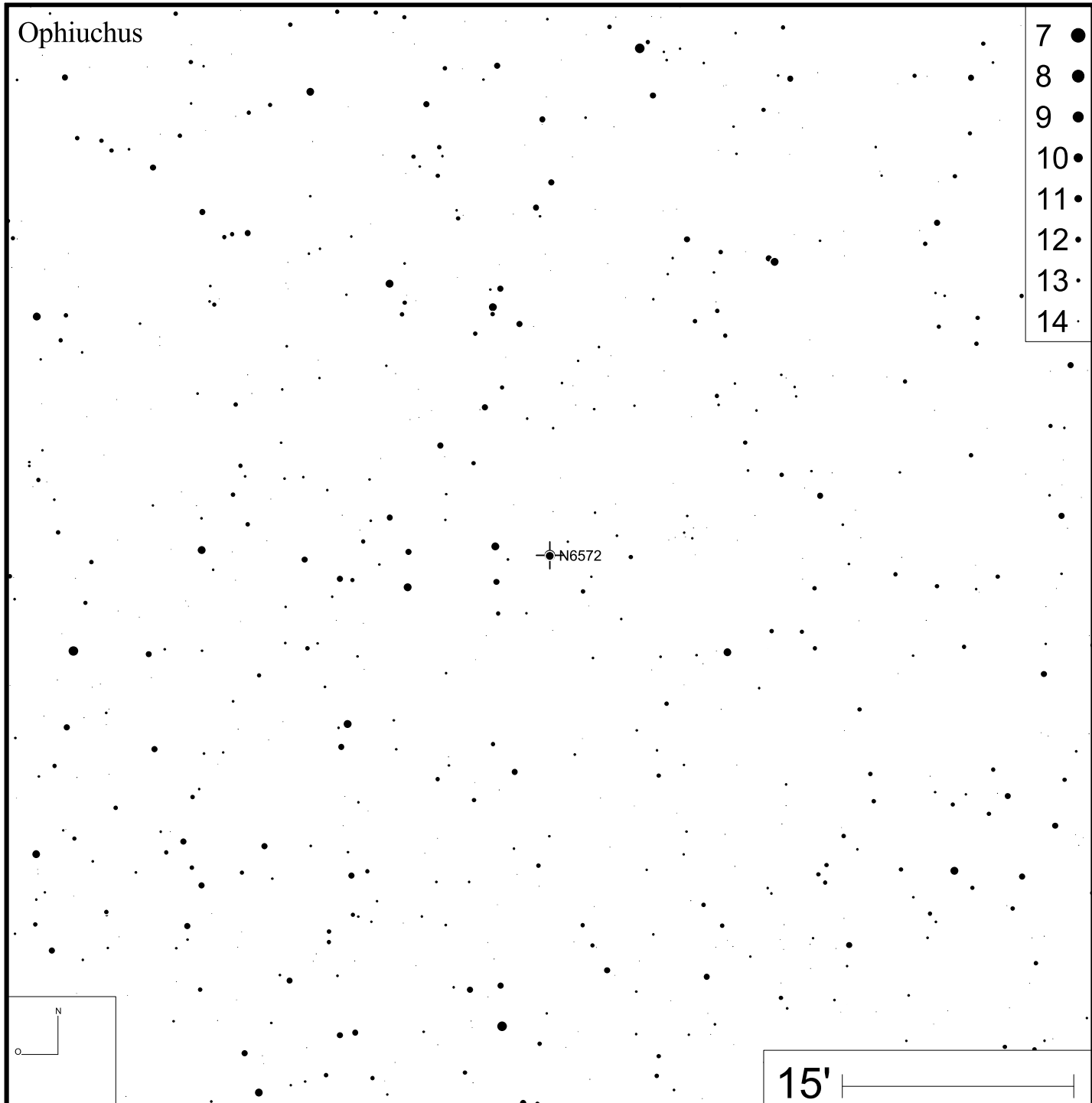
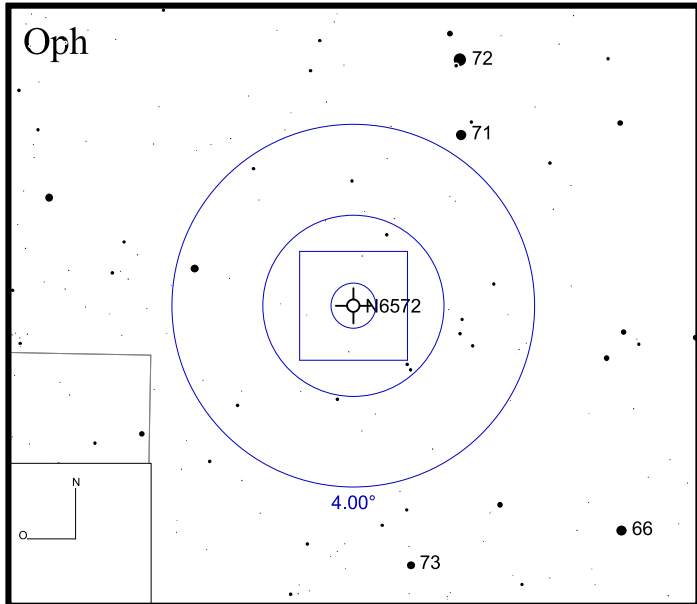


Bild: DSS



NGC 6629

RA 18h25m42s

DEC -23°12'10"

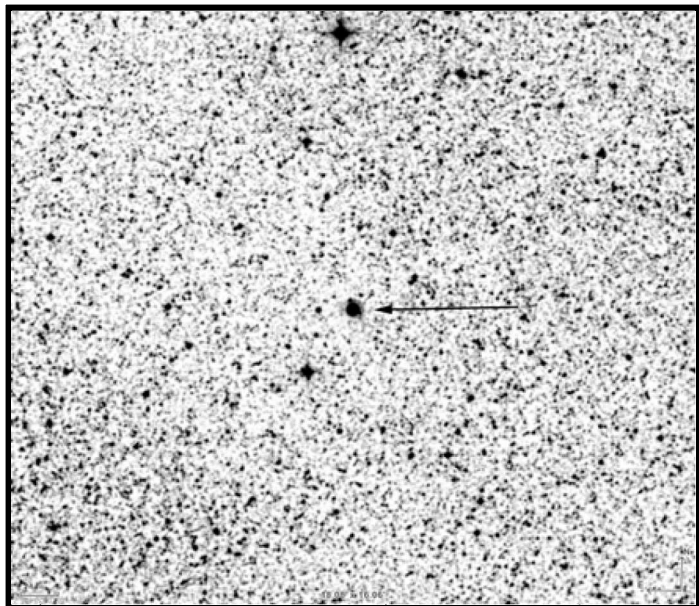
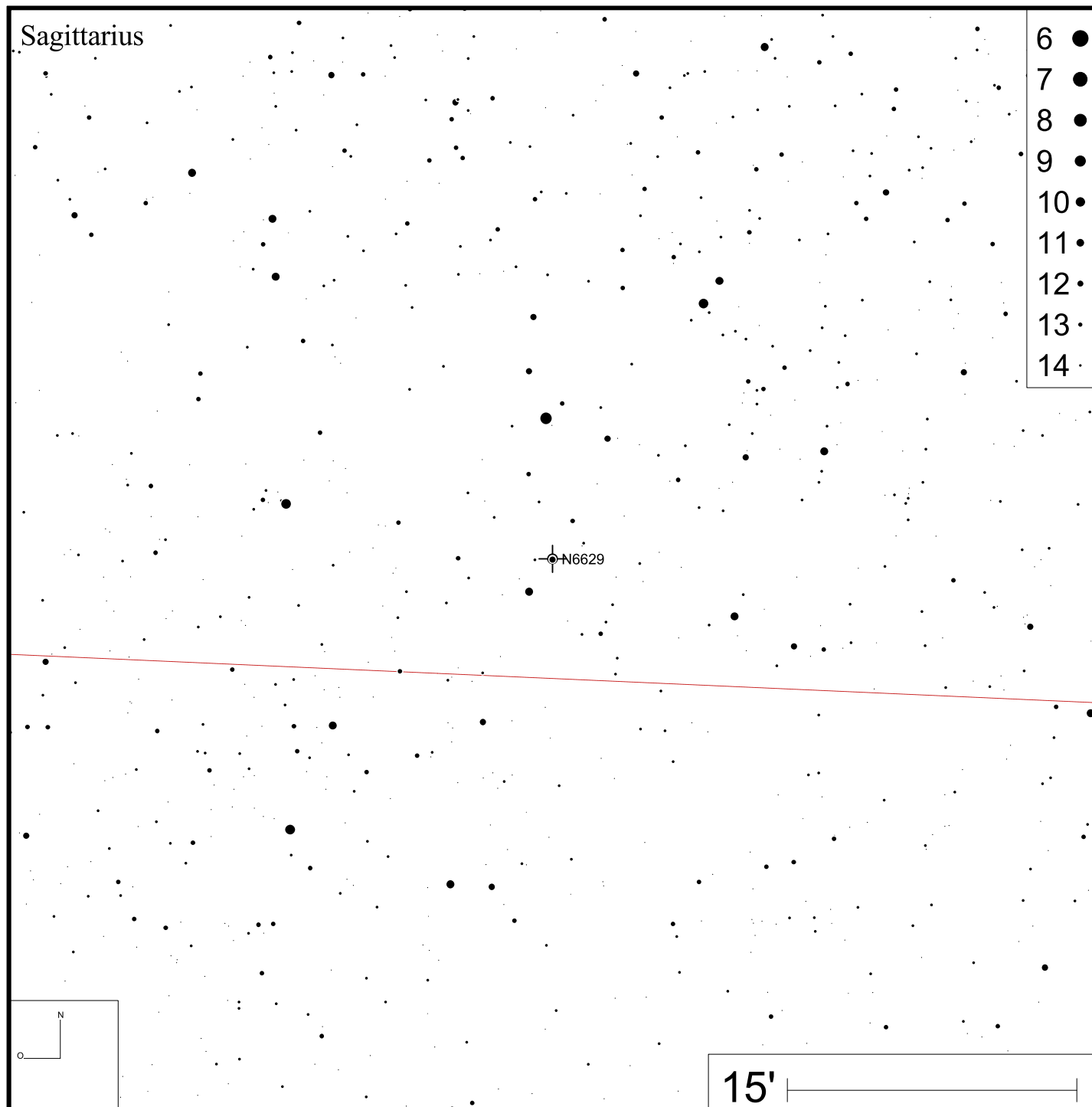
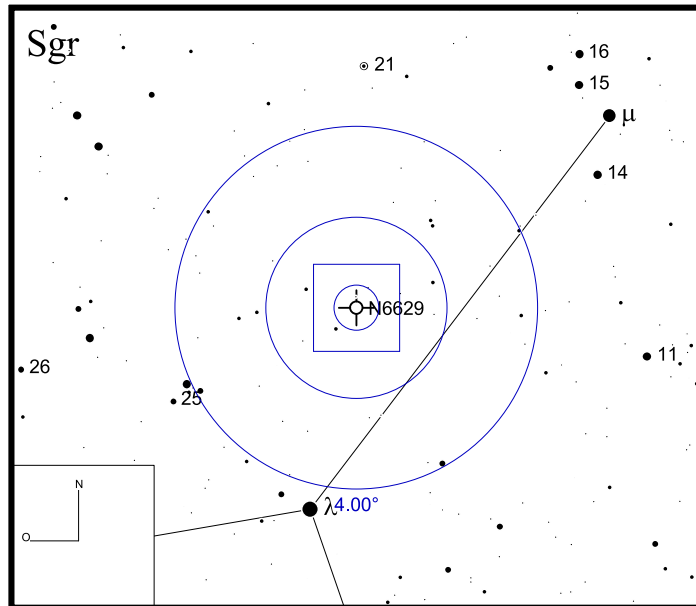


Bild: DSS



NGC 6741

RA 19h02m37s

DEC -00°26'57"

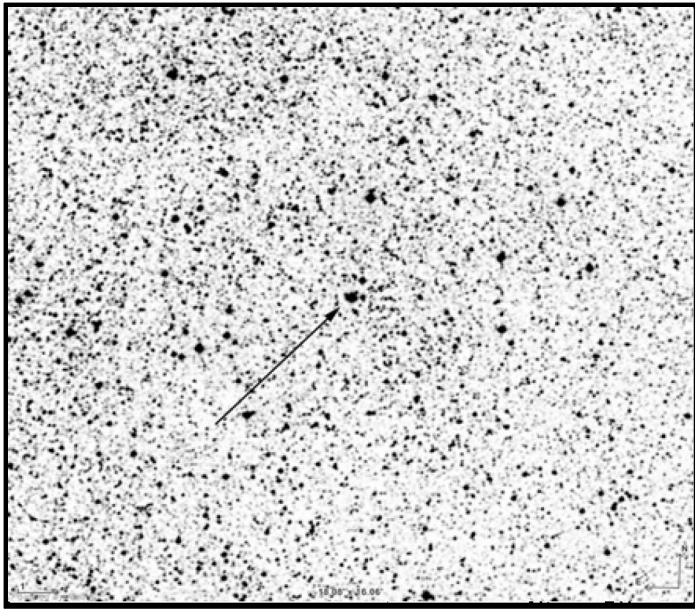
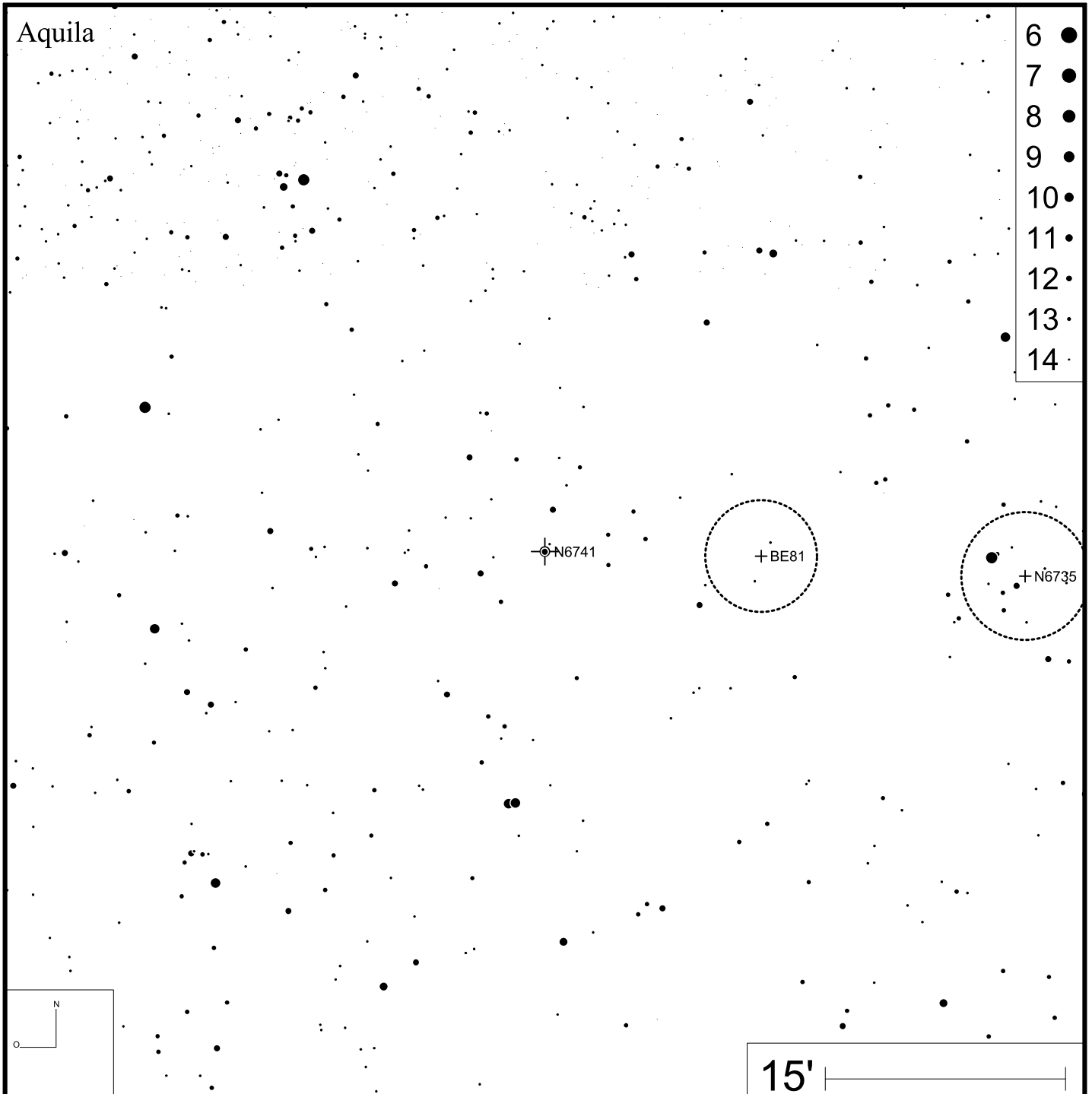
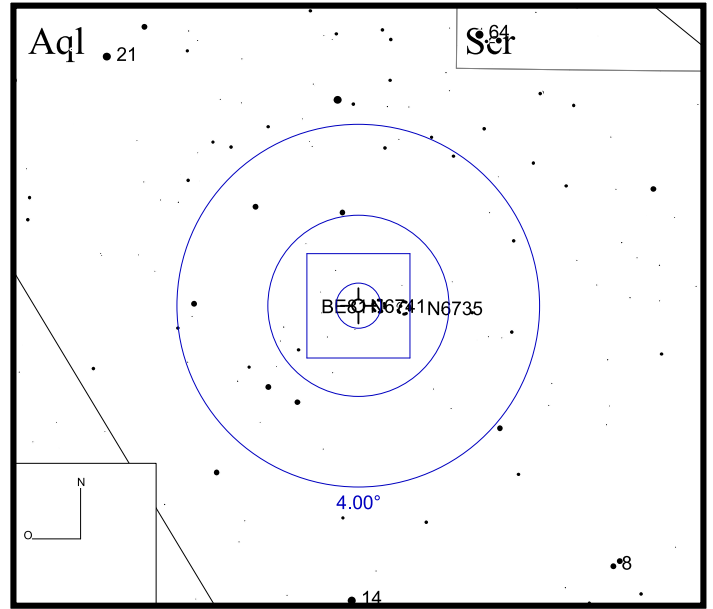


Bild: DSS



NGC 6751

RA 19h05m56s

DEC -05°59'33"

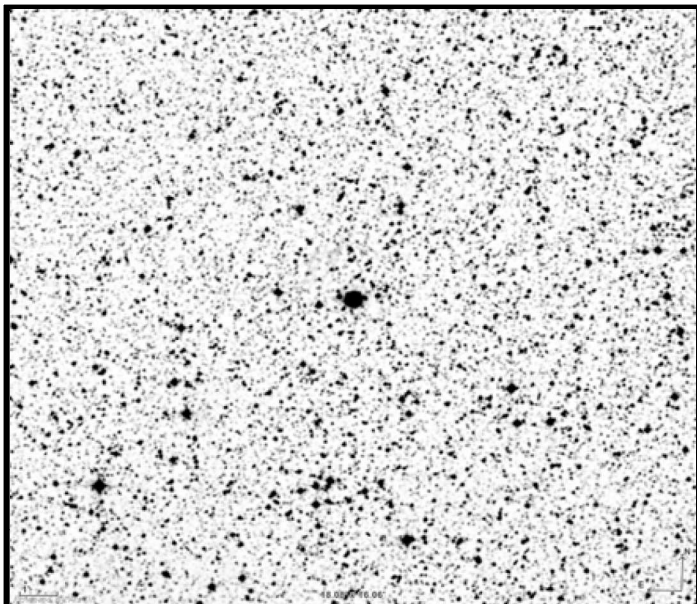


Bild: DSS

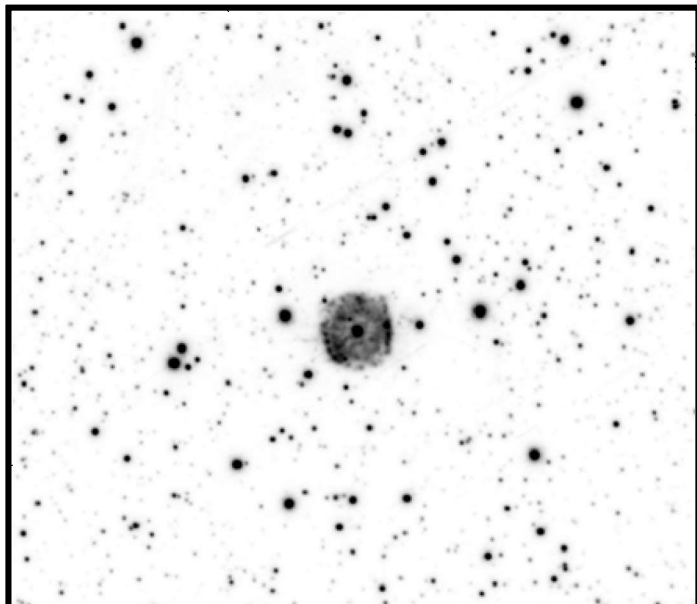
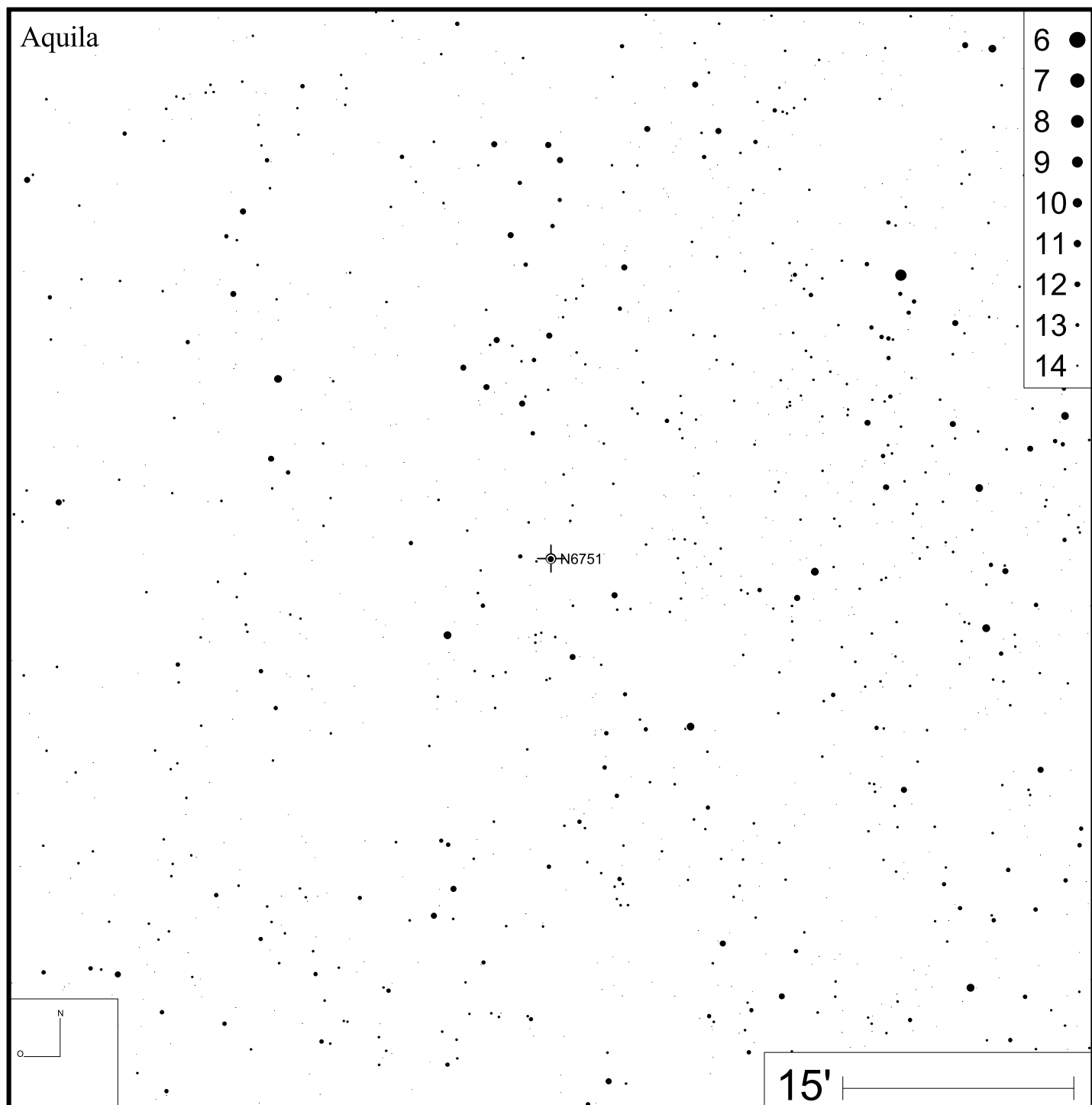


Bild: PanSTARRS (red)



NGC 6765

RA 19h11m06s

DEC +30°32'43"

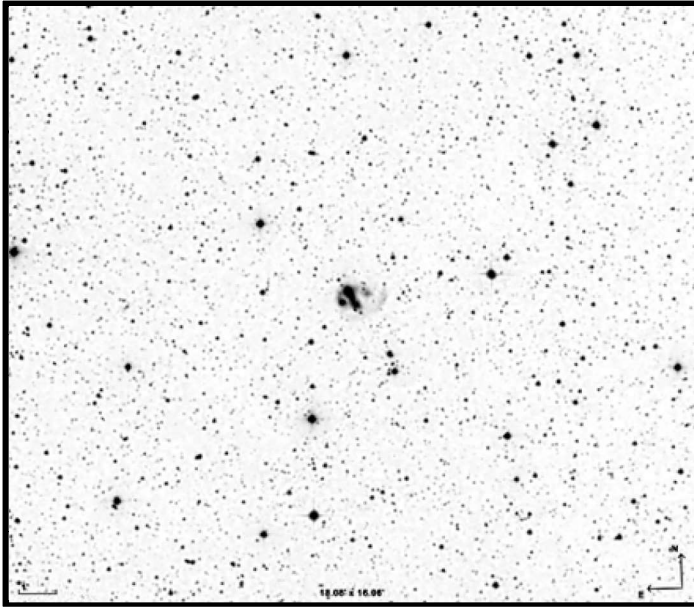


Bild: DSS

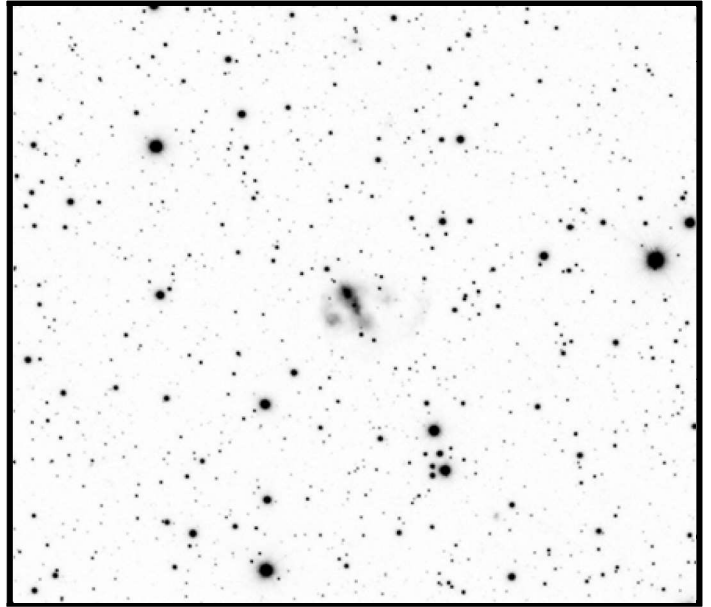
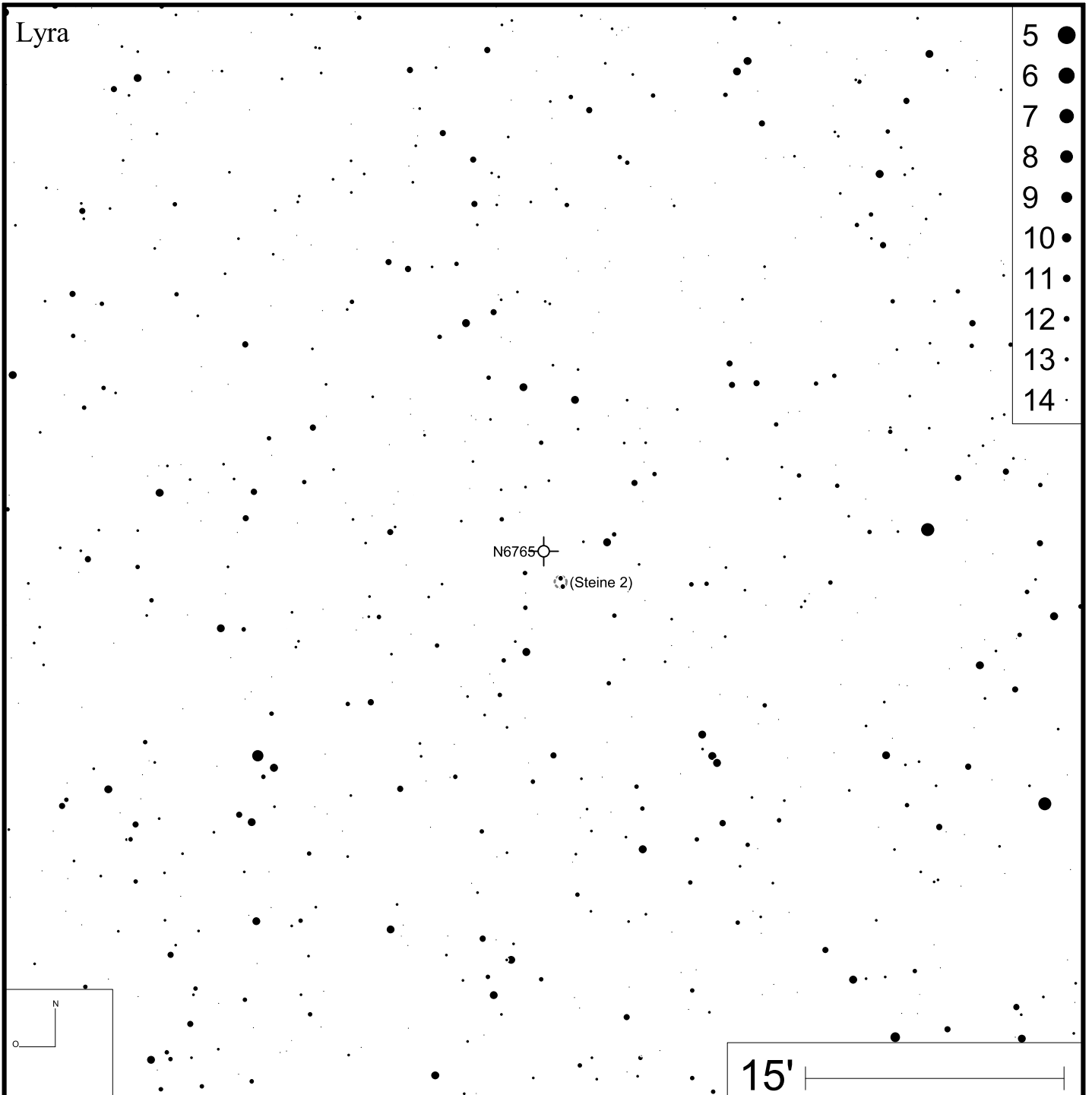


Bild: PanSTARRS (green)

Lyra



- 5 ●
- 6 ●
- 7 ●
- 8 ●
- 9 ●
- 10 ●
- 11 ●
- 12 ●
- 13 ●
- 14 ●

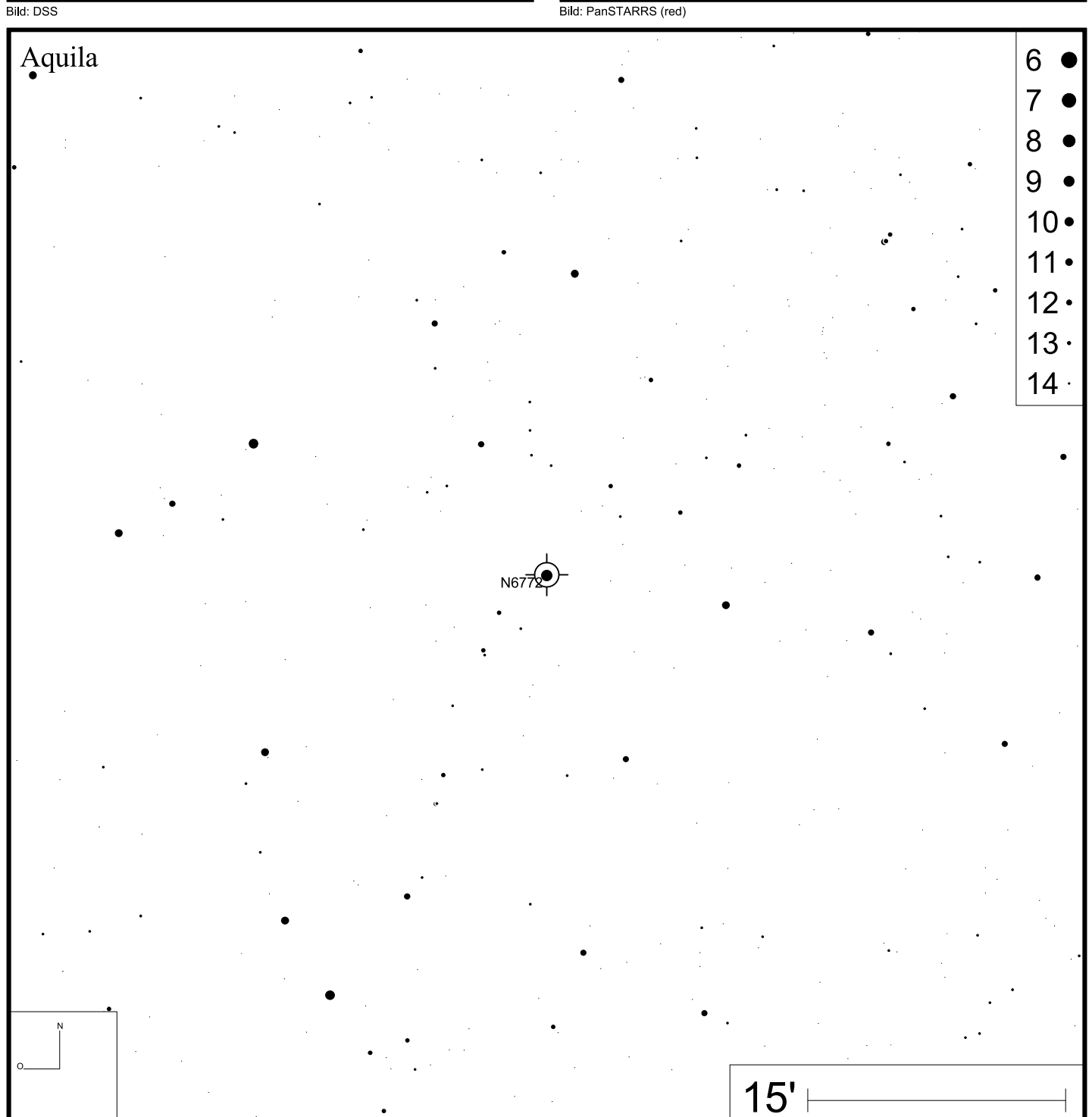
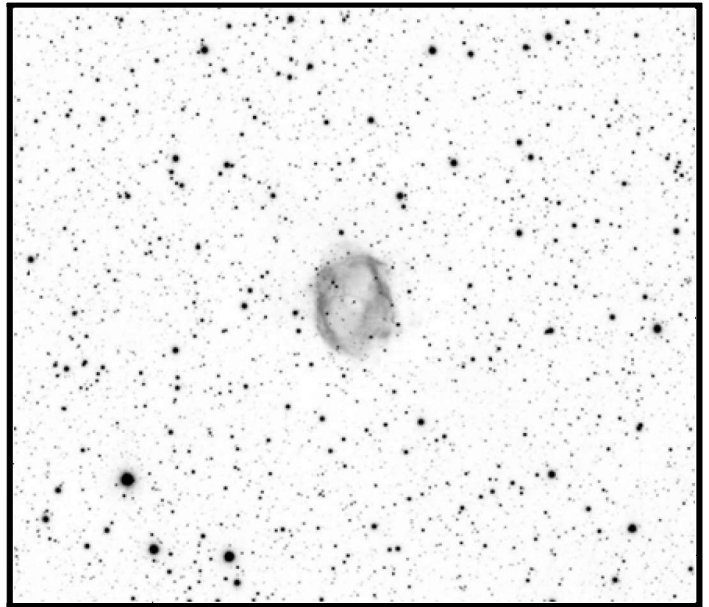
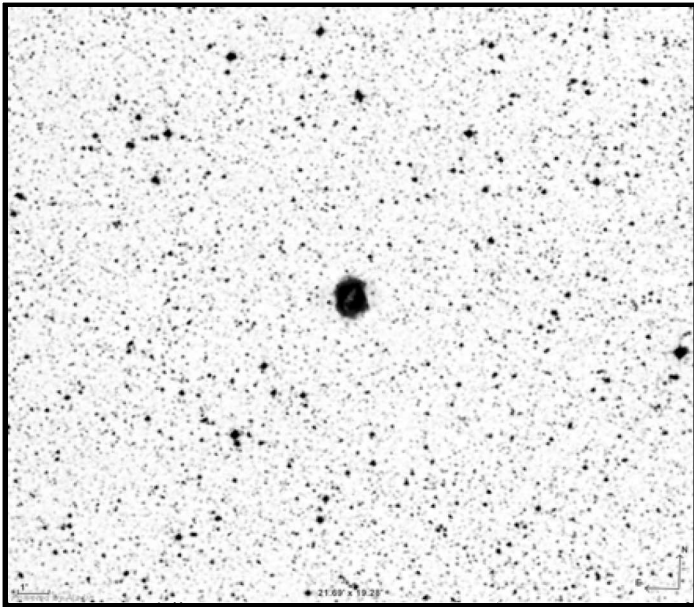
N6765
(Steine 2)

15'

NGC 6772

RA 19h14m36s

DEC -02°42'25"



NGC 6778

RA 19h18m25s

DEC -01°35'47"

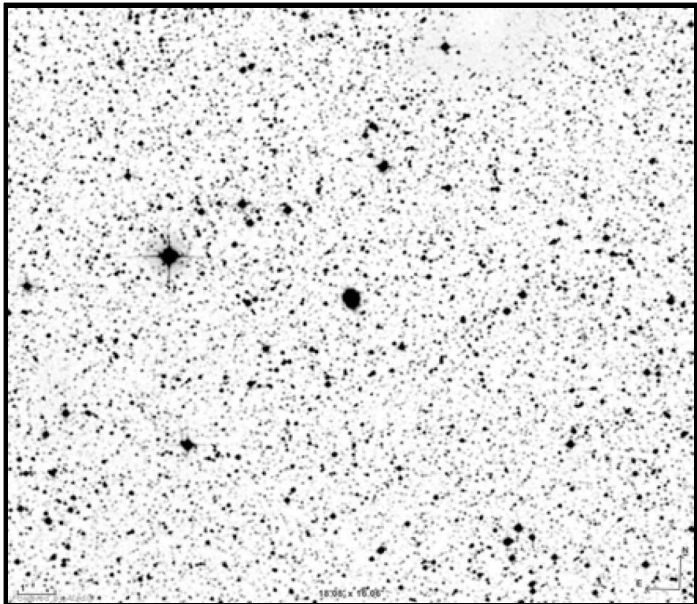
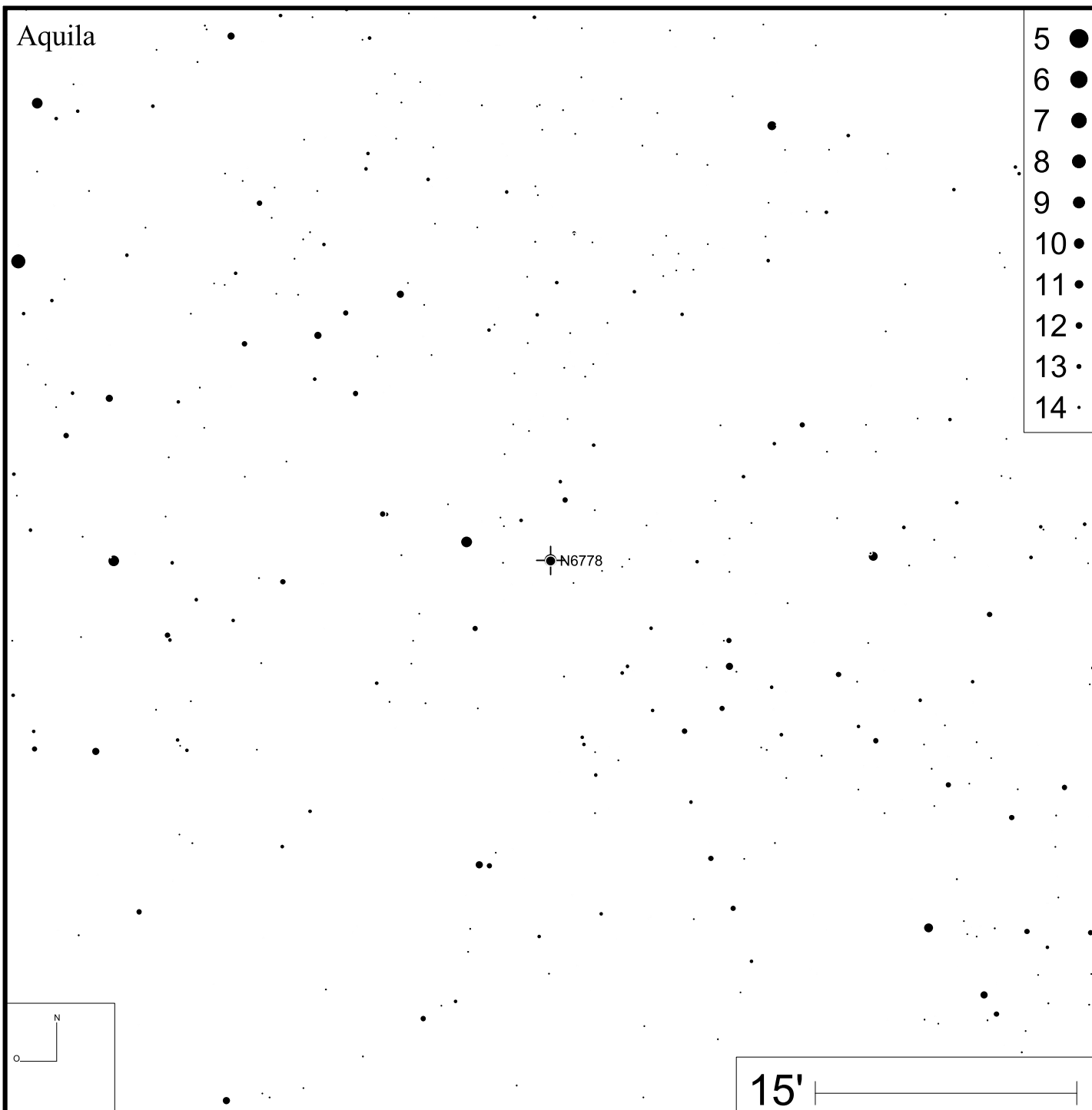
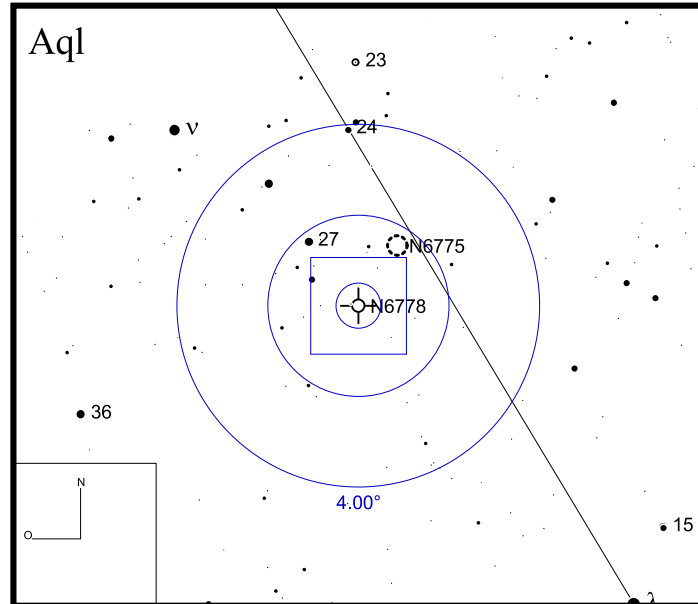


Bild: DSS



NGC 6781

RA 19h18m28s

DEC +06°32'19"

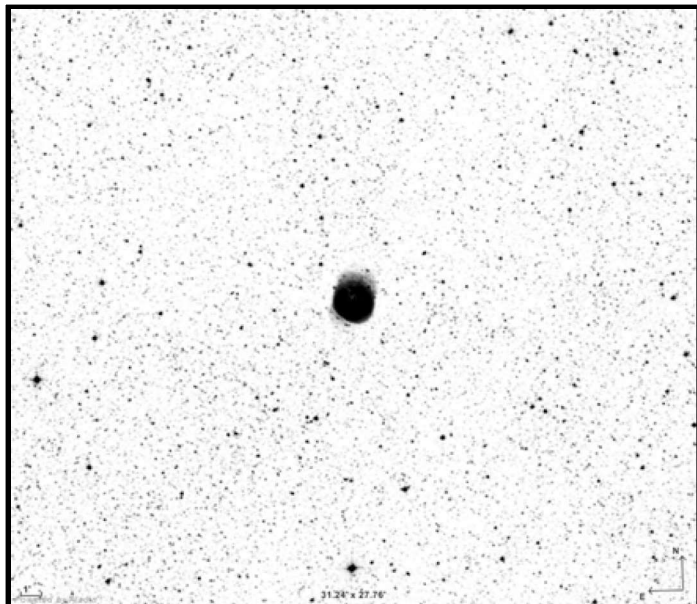


Bild: DSS

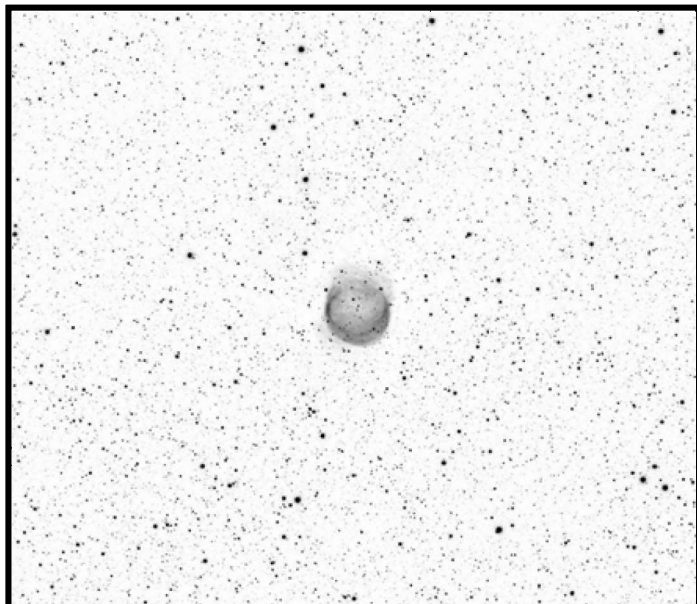
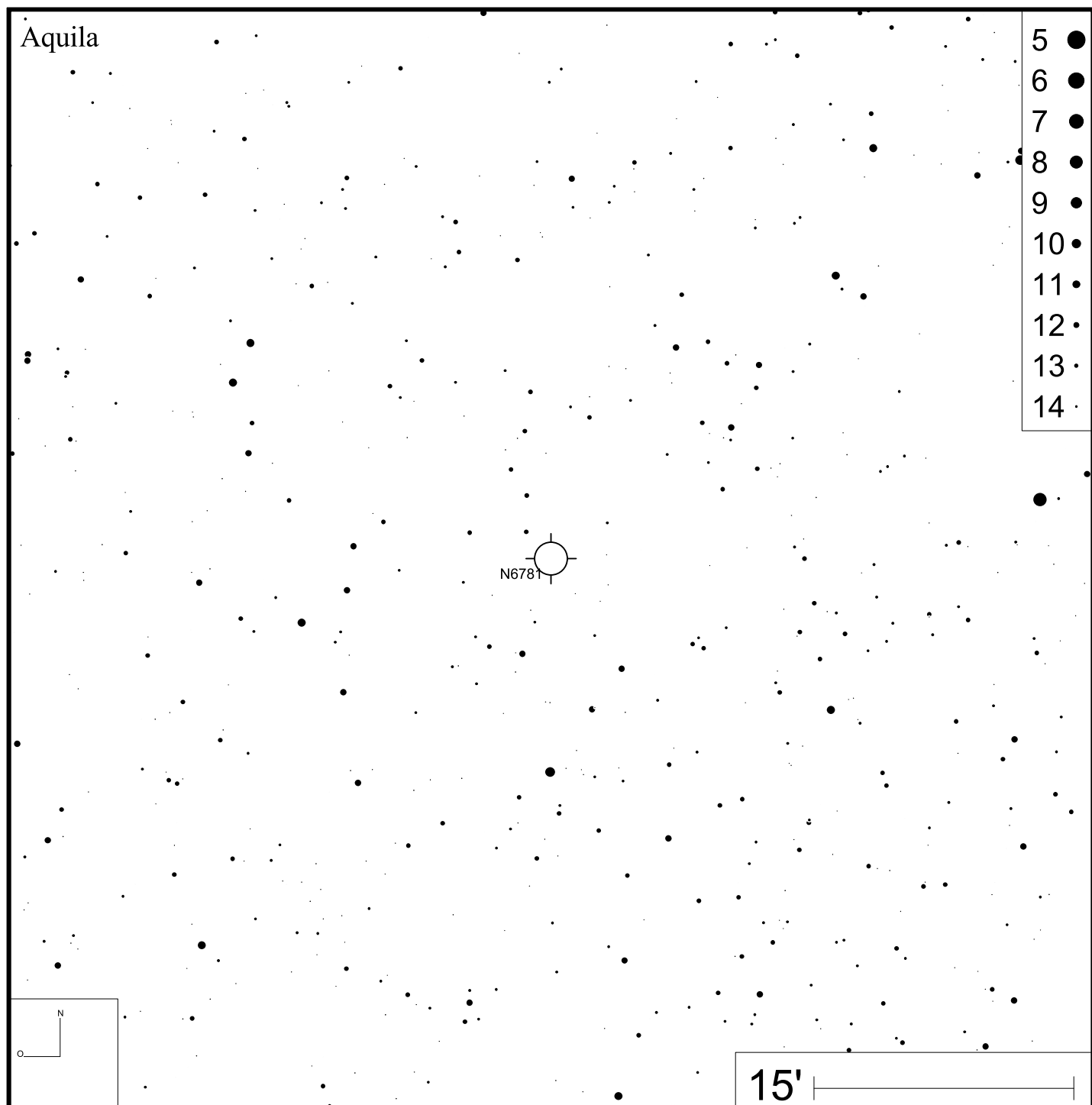


Bild: PanSTARRS (red)



NGC 6790

RA 19h22m57s DEC +01°30'46"

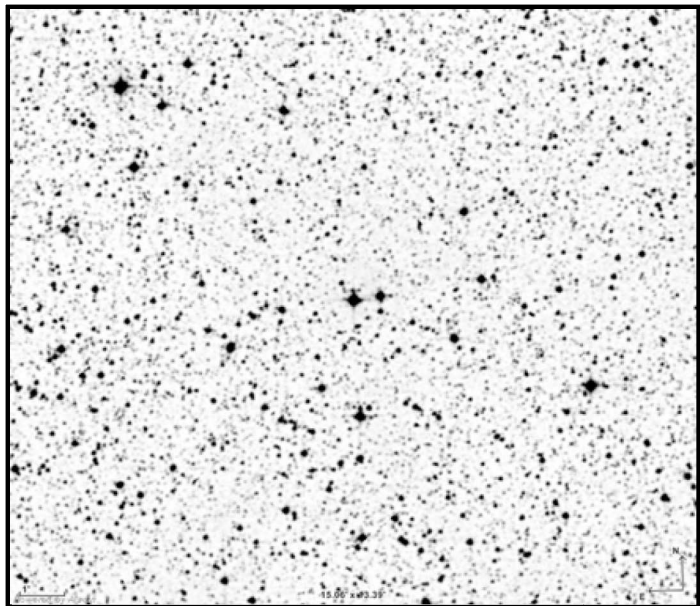
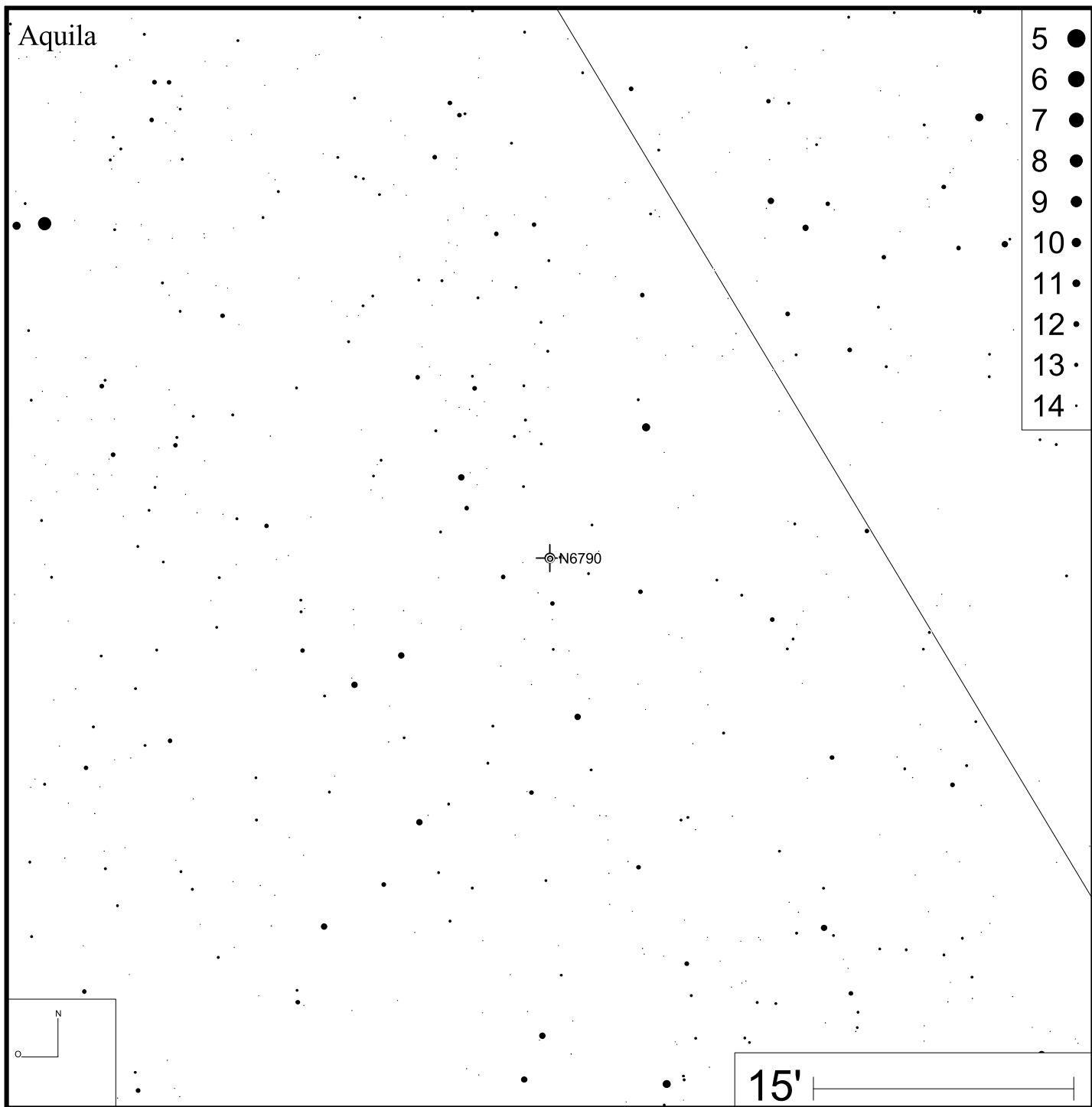
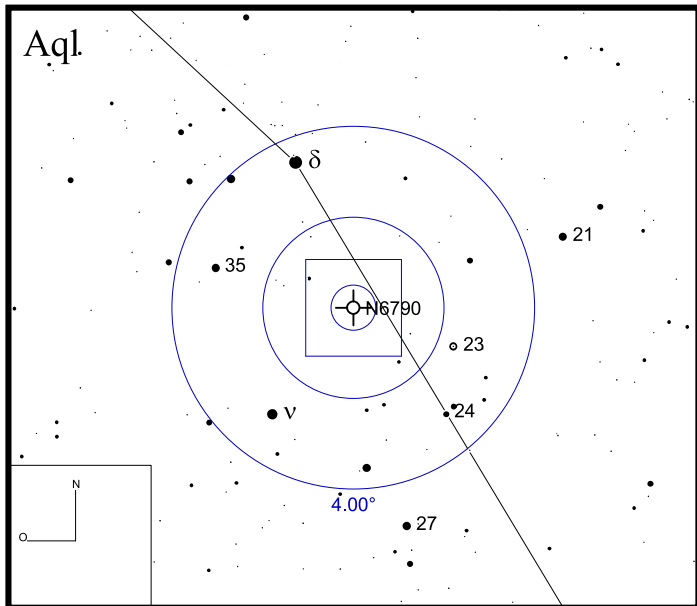


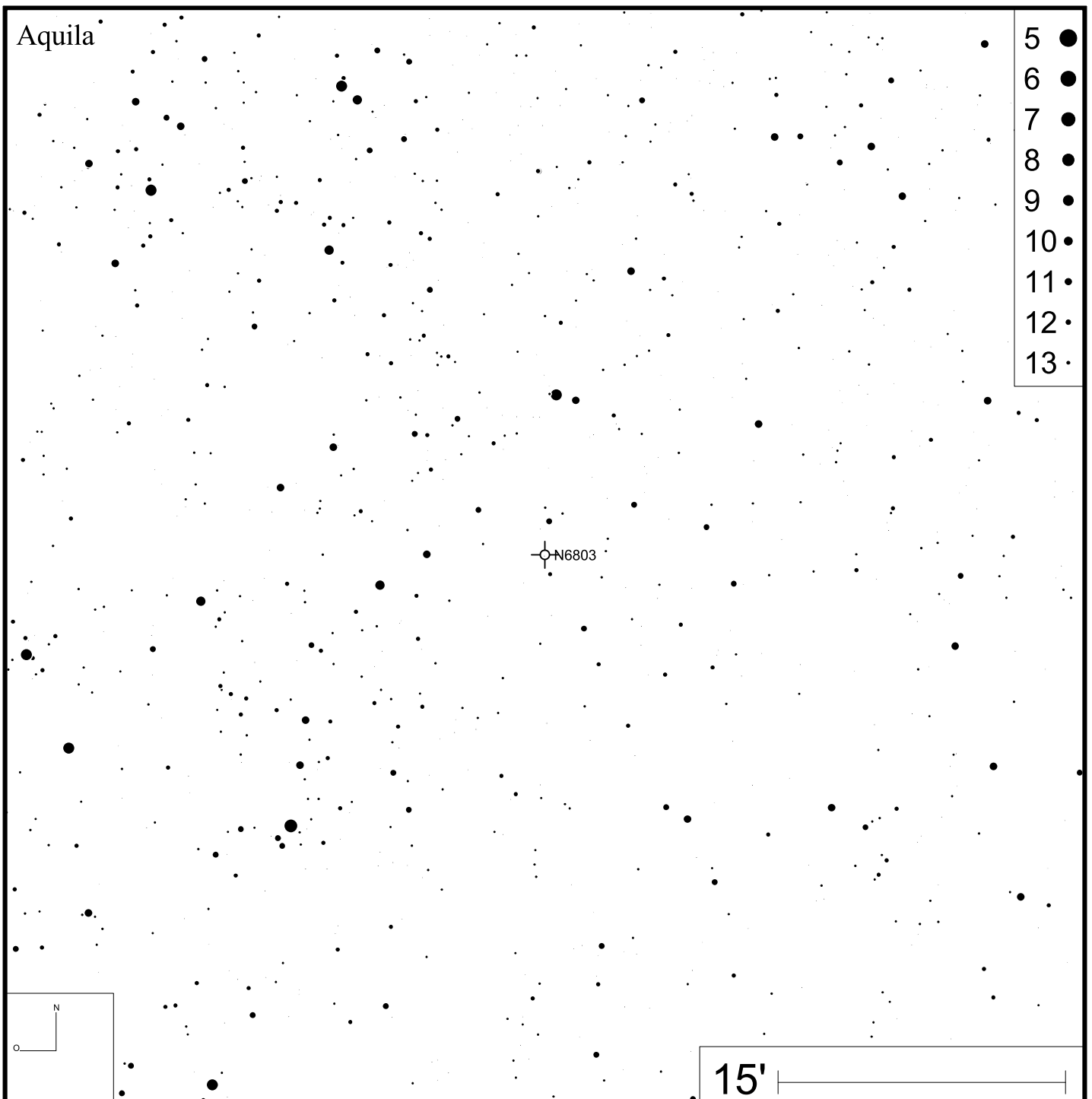
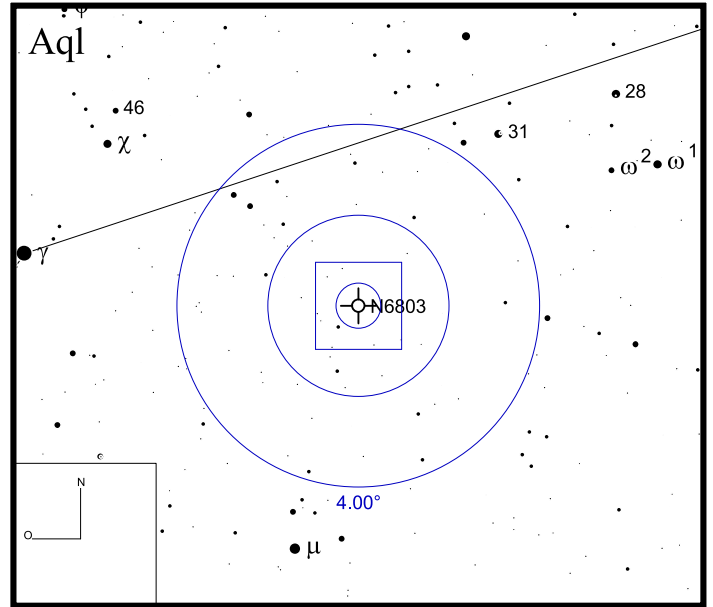
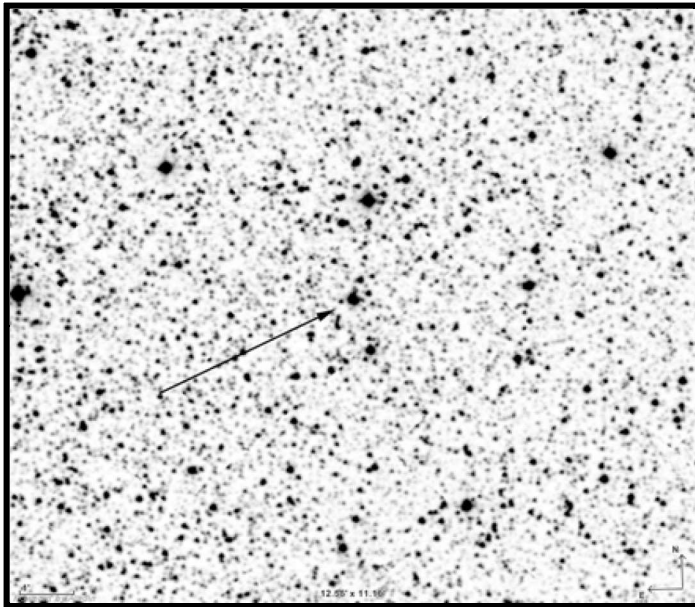
Bild: DSS



NGC 6803

RA 19h31m16s

DEC +10°03'22"



- 5 ●
- 6 ●
- 7 ●
- 8 ●
- 9 ●
- 10 ●
- 11 ●
- 12 ●
- 13 ●

NGC 6804

RA 19h31m35s

DEC +09°13'31"

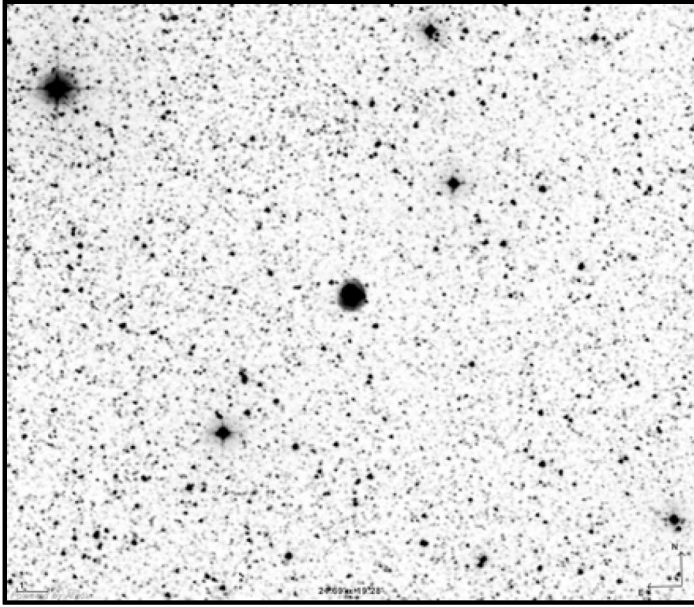


Bild: DSS

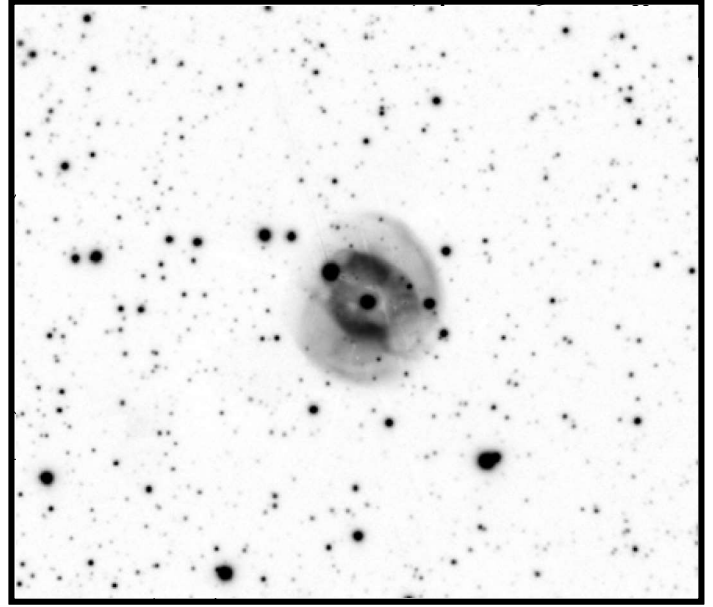
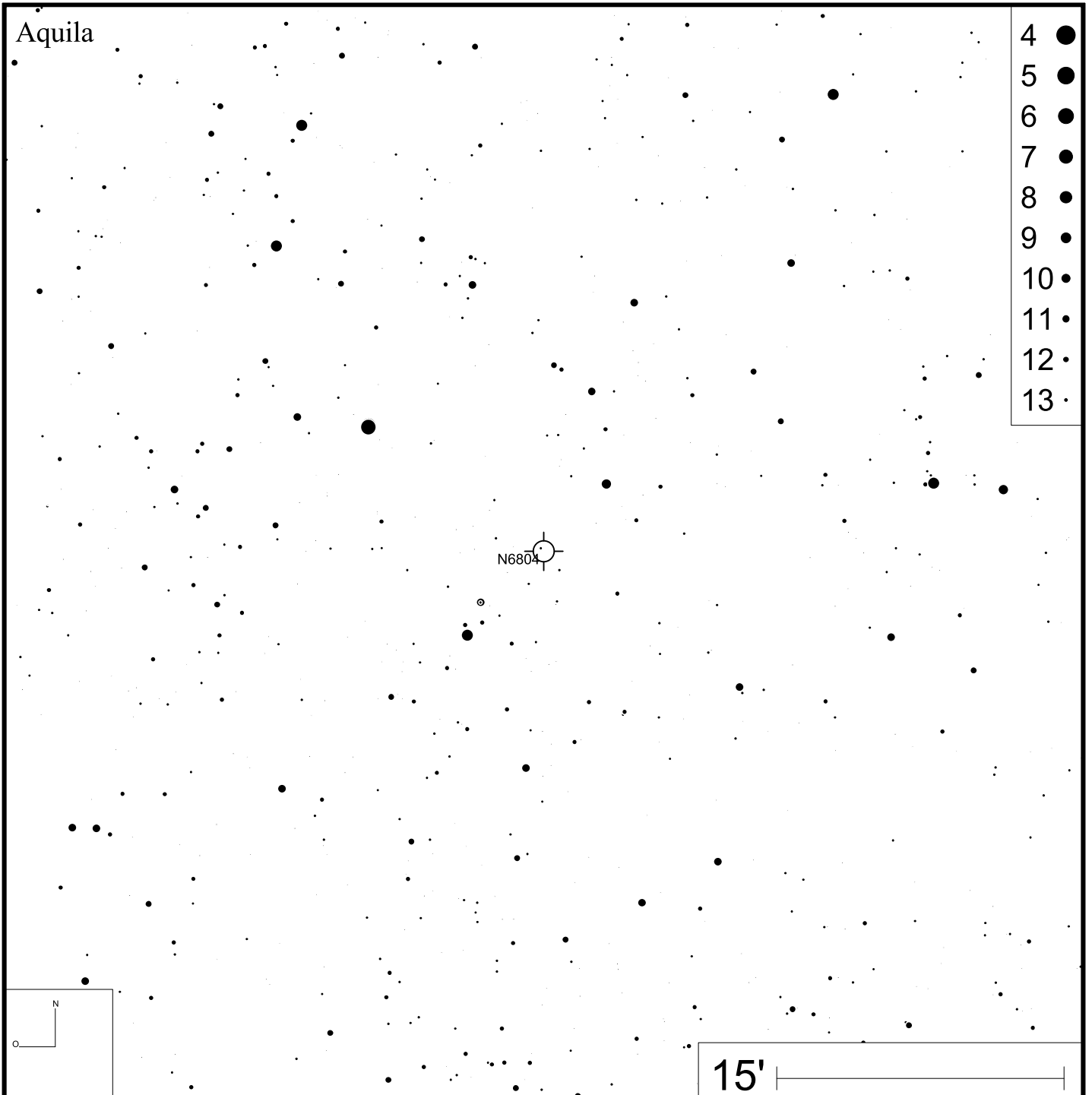


Bild: PanSTARRS (green)

Aquila



- 4 ●
- 5 ●
- 6 ●
- 7 ●
- 8 ●
- 9 ●
- 10 ●
- 11 ●
- 12 ●
- 13 ●

N6804

15'

NGC 6807

RA 19h34m34s

DEC +05°41'03"

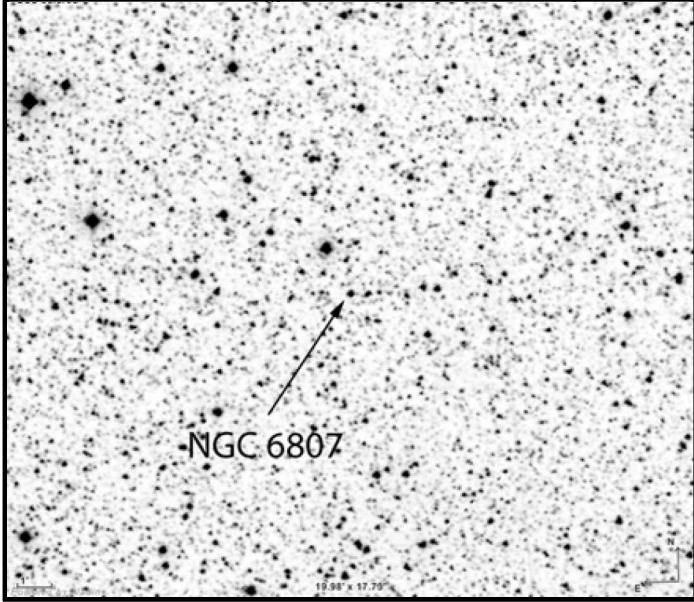
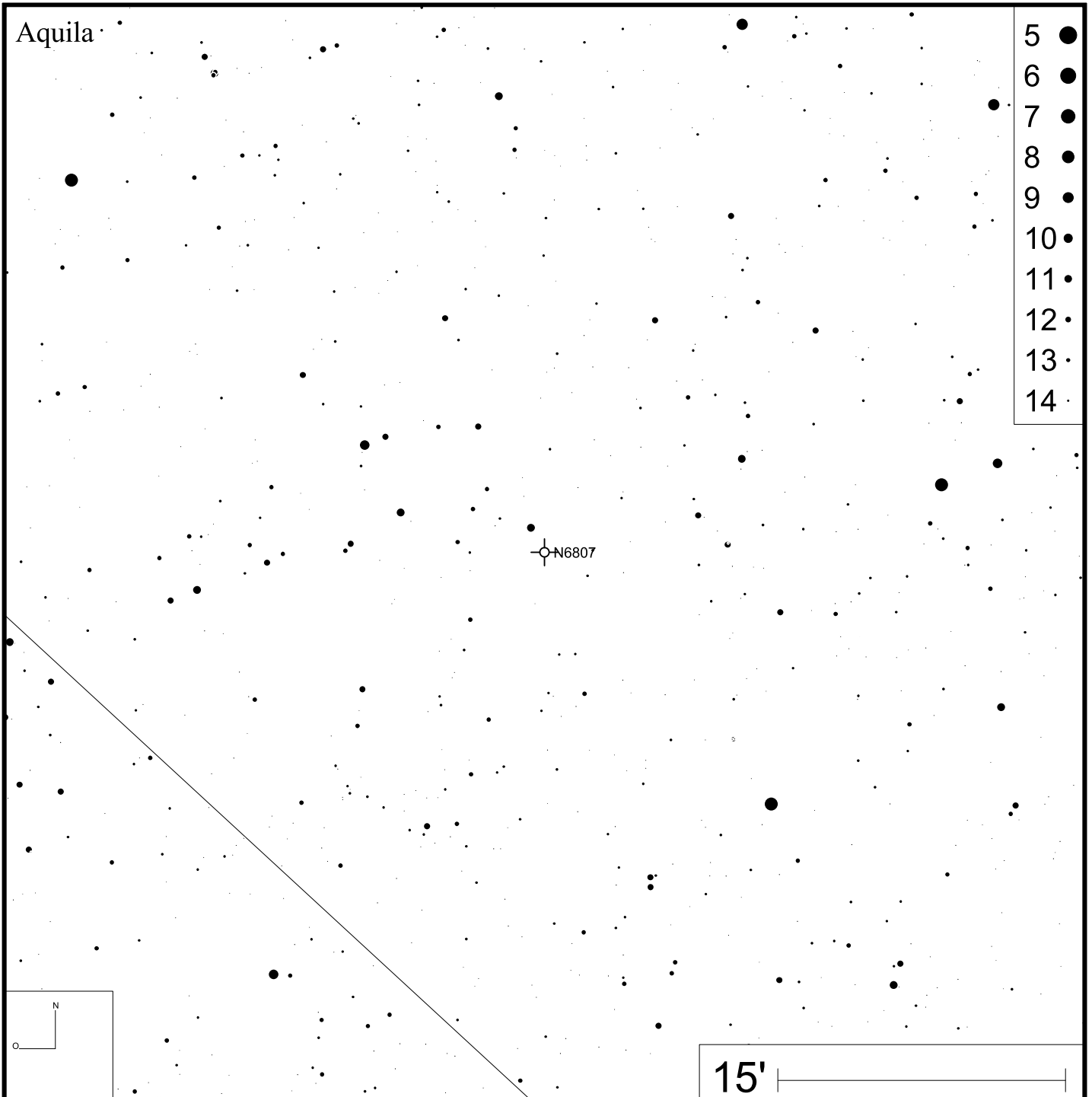
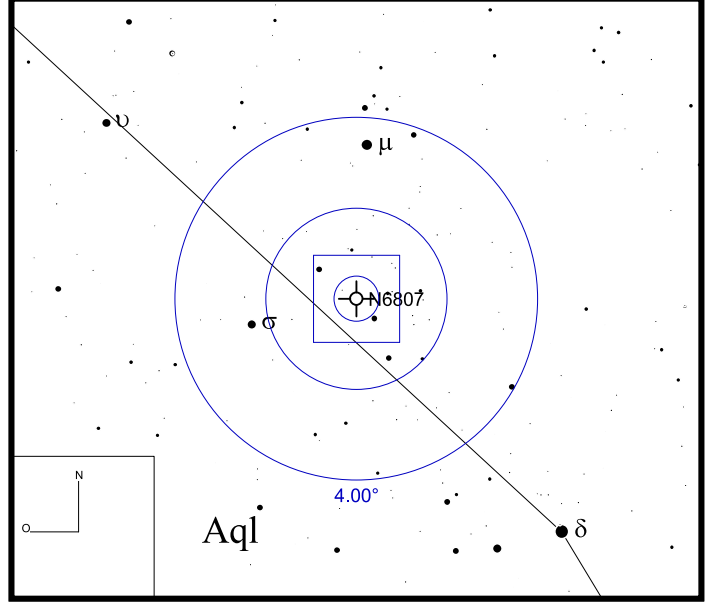


Bild: DSS



NGC 6818

RA 19h43m58s

DEC -14°09'13"

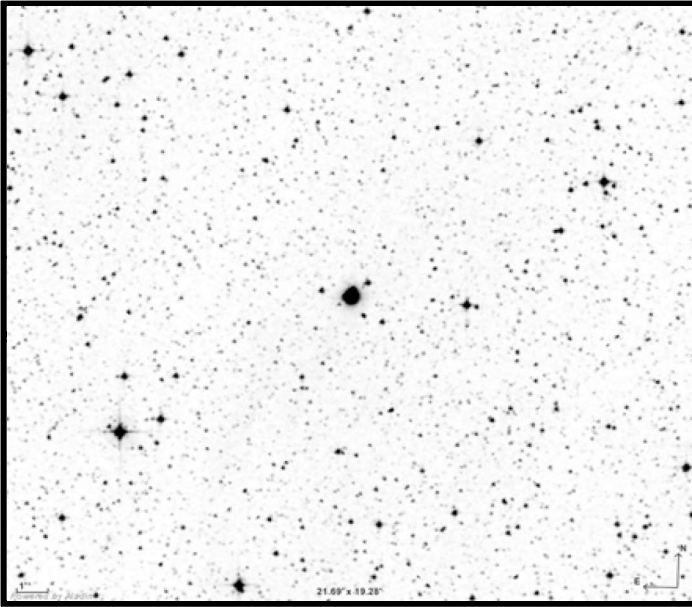
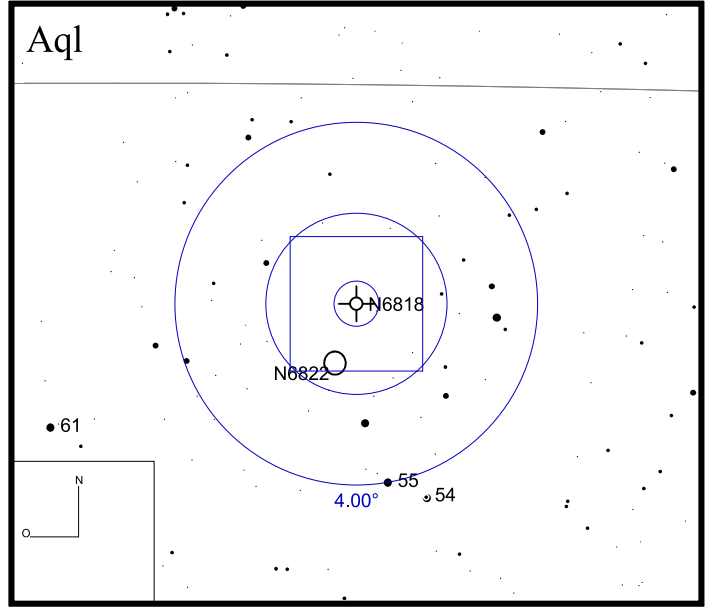
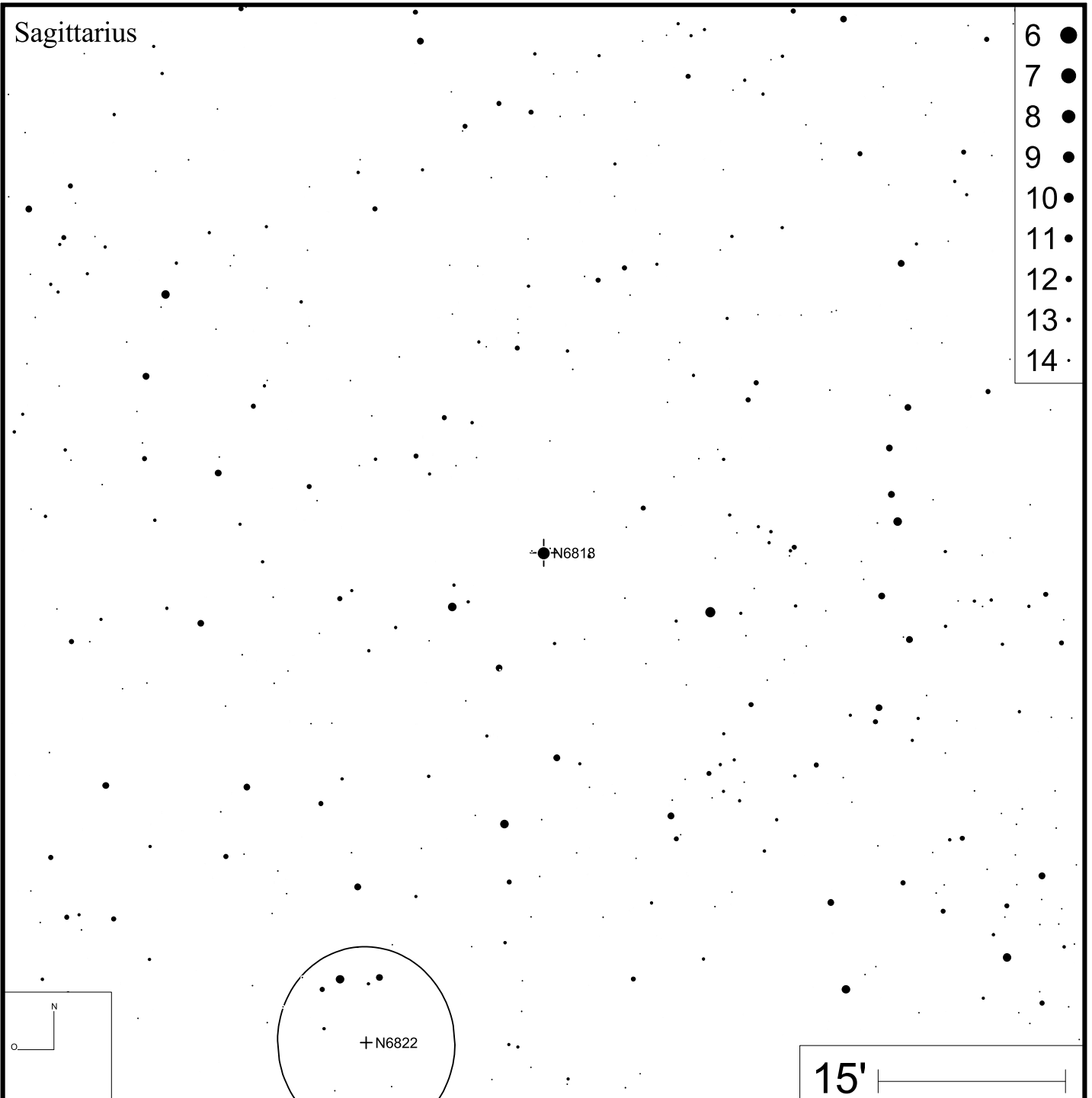


Bild: DSS

Aql



Sagittarius



- 6 ●
- 7 ●
- 8 ●
- 9 ●
- 10 ●
- 11 ●
- 12 ●
- 13 ●
- 14 ●

NGC 6826

RA 19h44m48s

DEC +51°31'30"

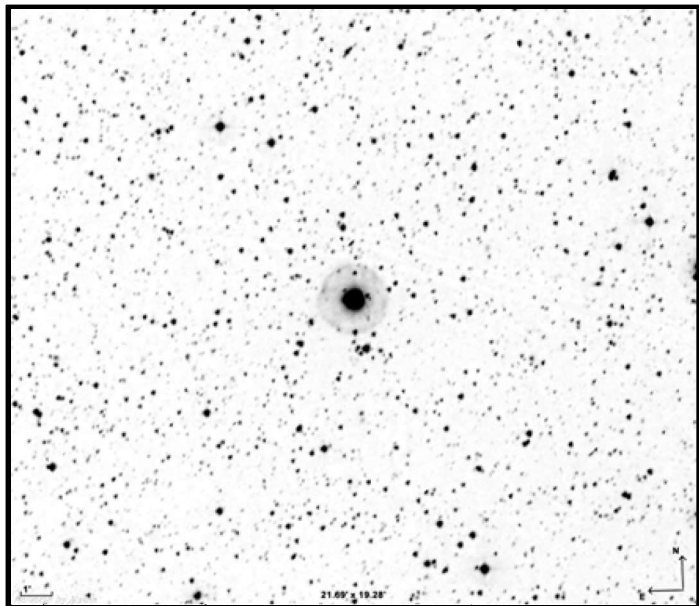
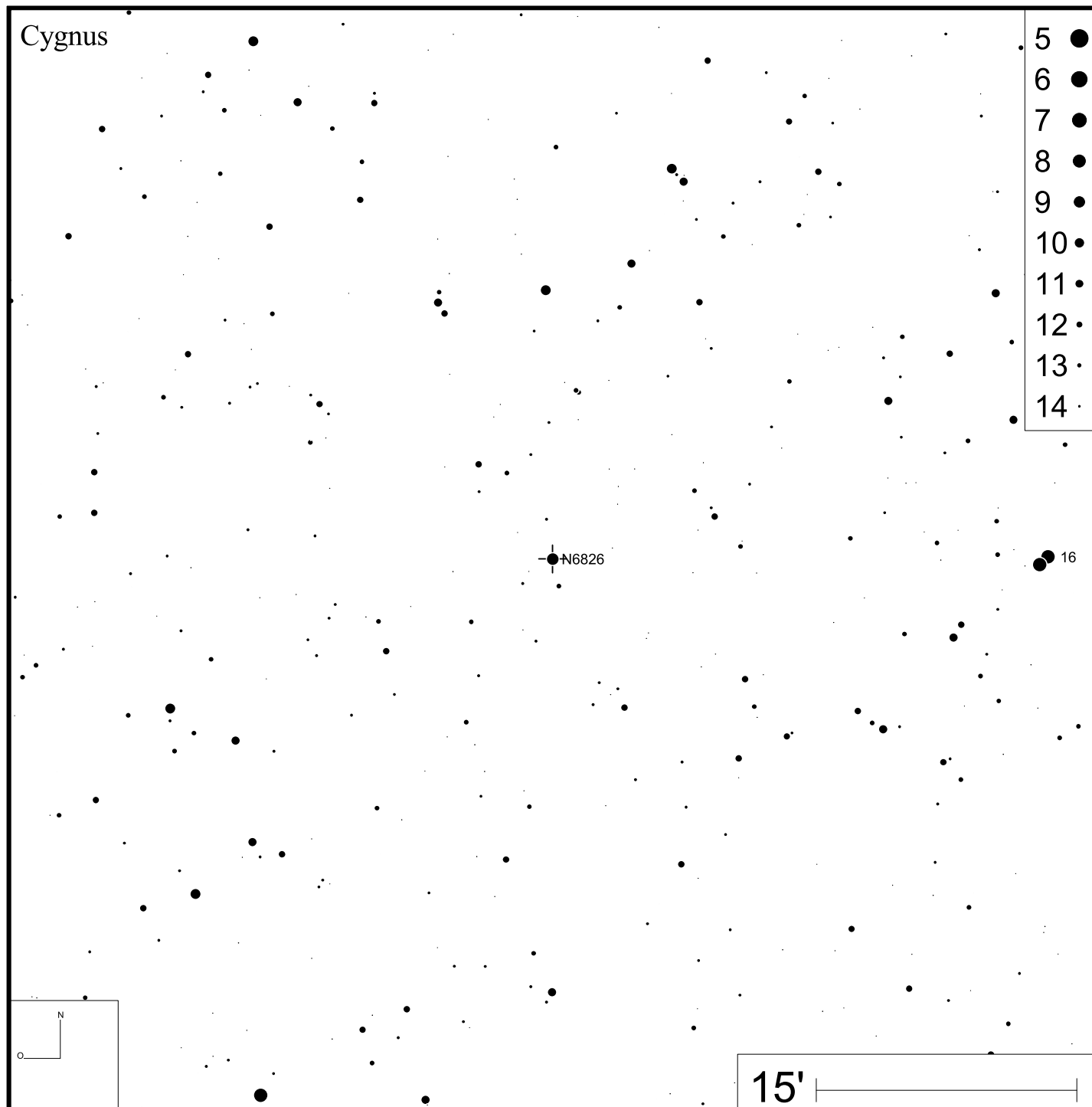
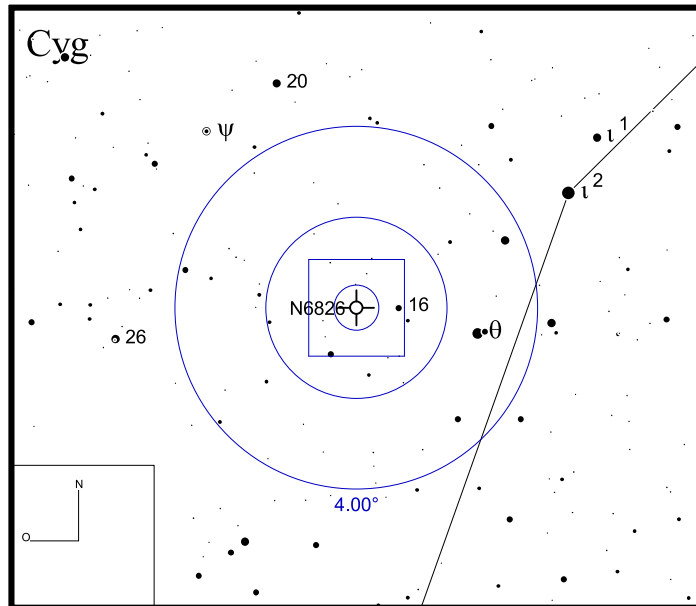


Bild: DSS



NGC 6833

RA 19h49m47s

DEC +48°57'40"

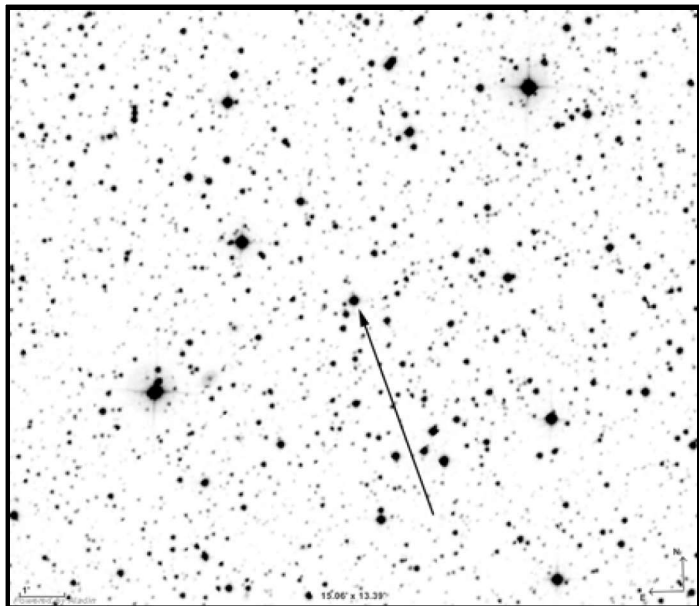
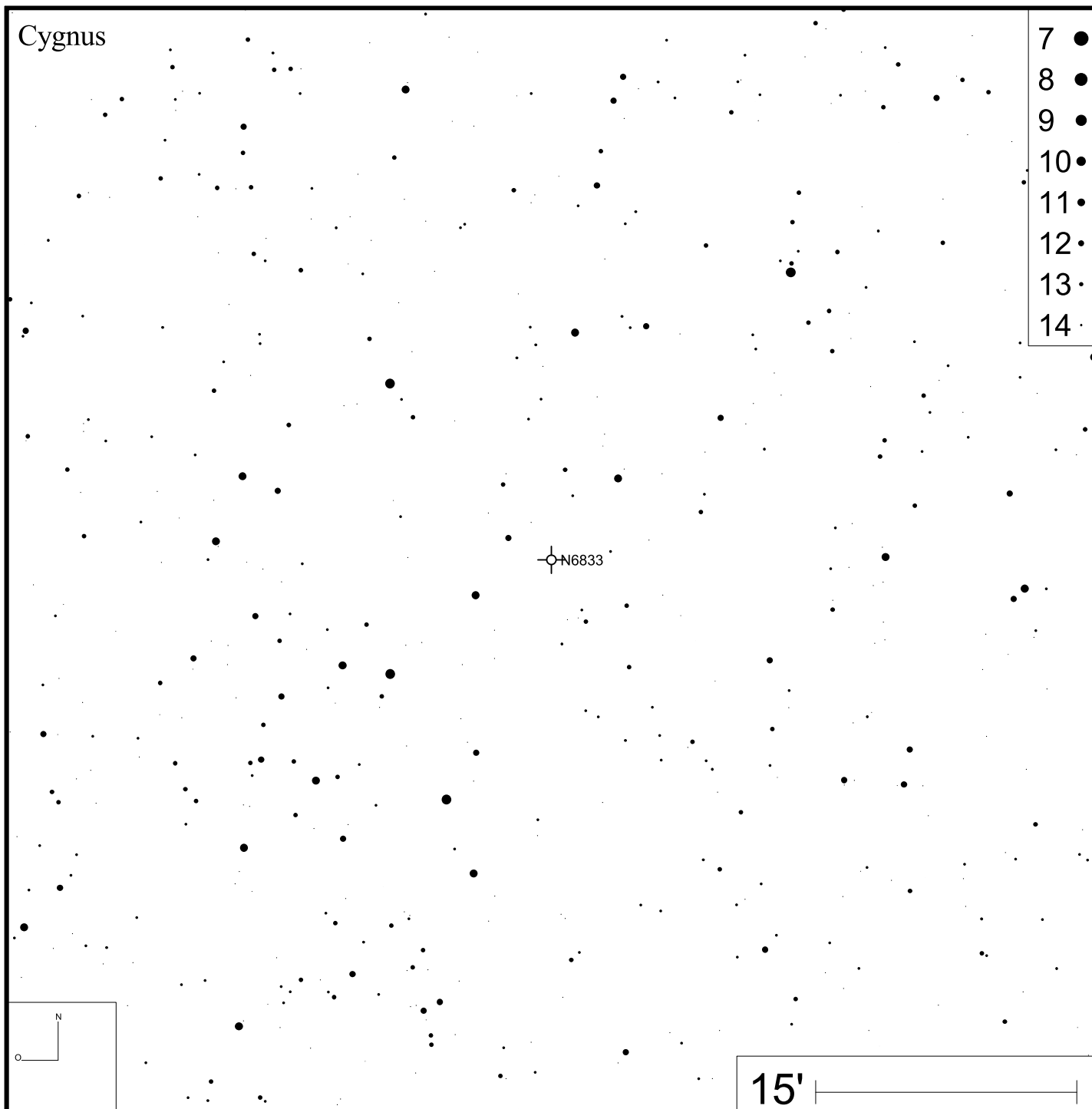
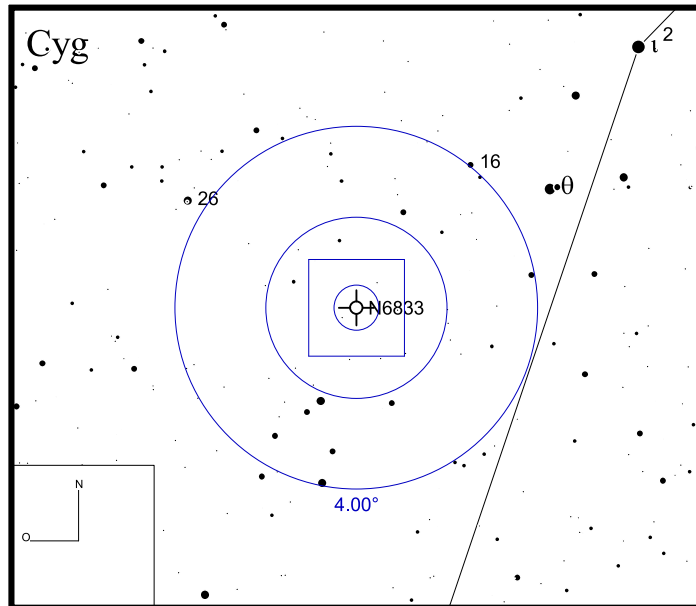


Bild: DSS



NGC 6842

RA 19h55m02s

DEC +29°17'22"

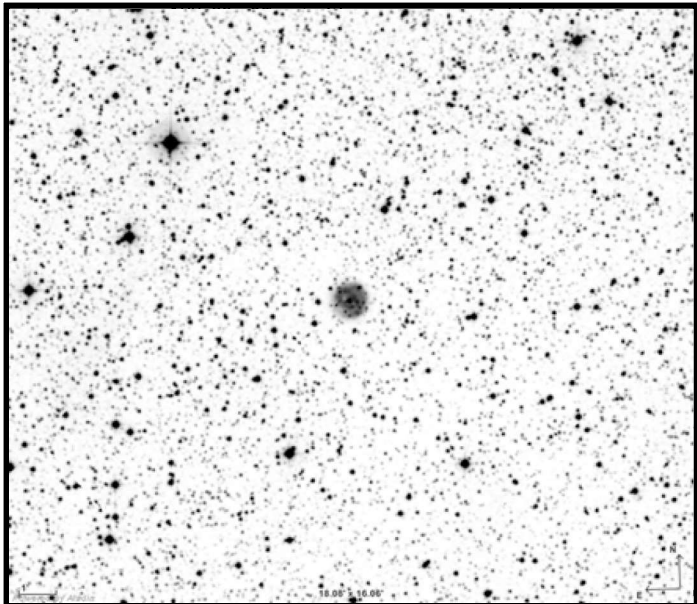


Bild: DSS

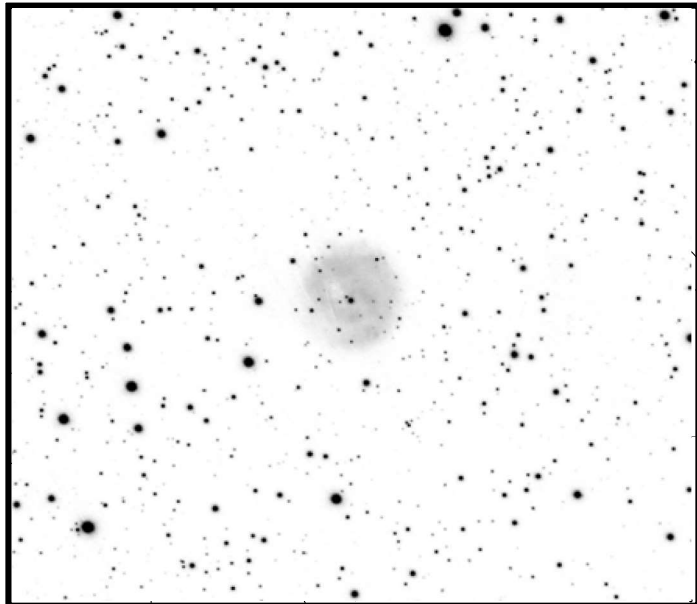
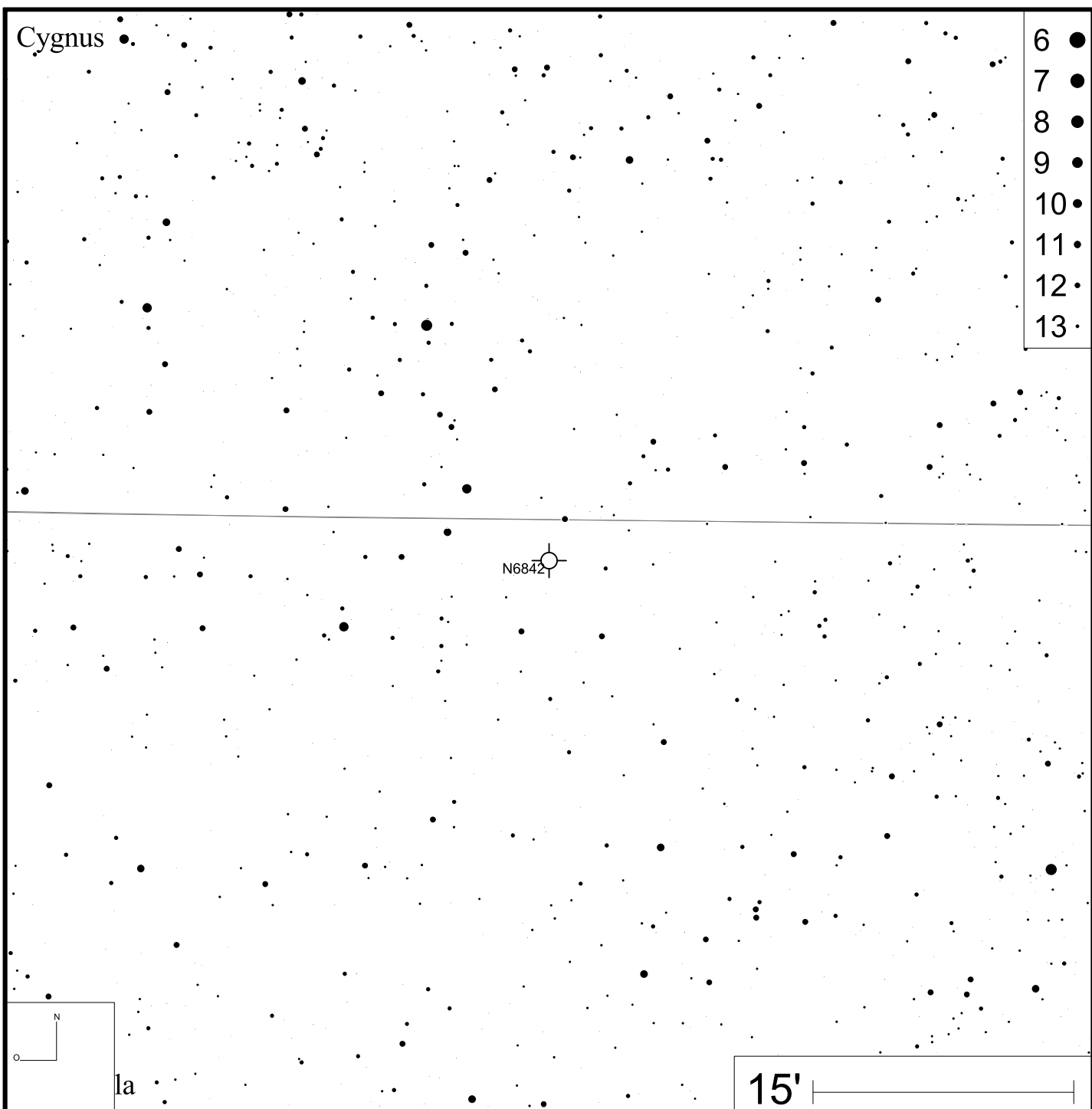


Bild: PanSTARRS (green)



NGC 6852

RA 20h00m39s

DEC +01°43'40"

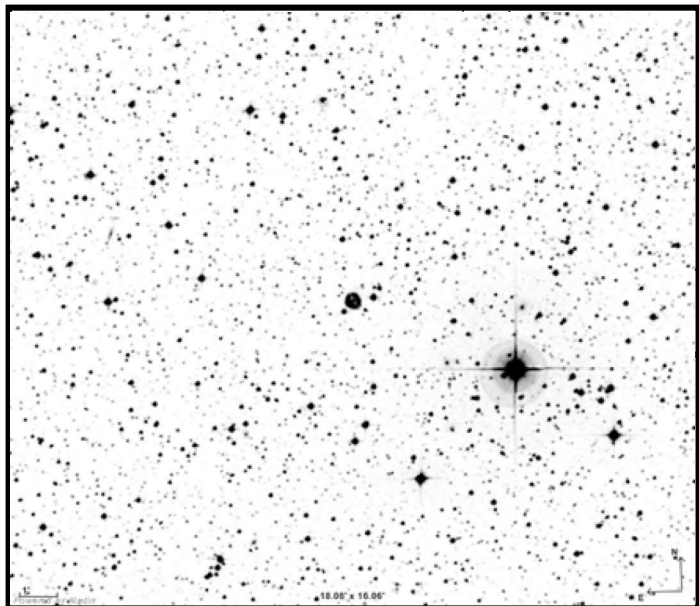


Bild: DSS

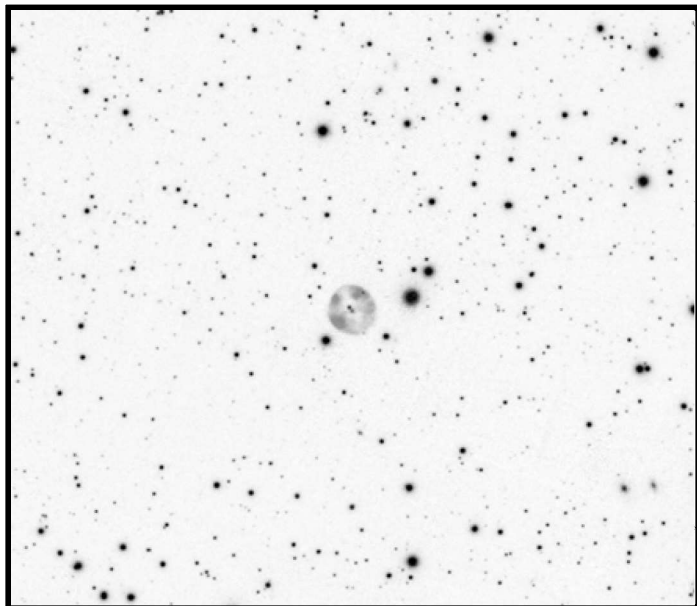
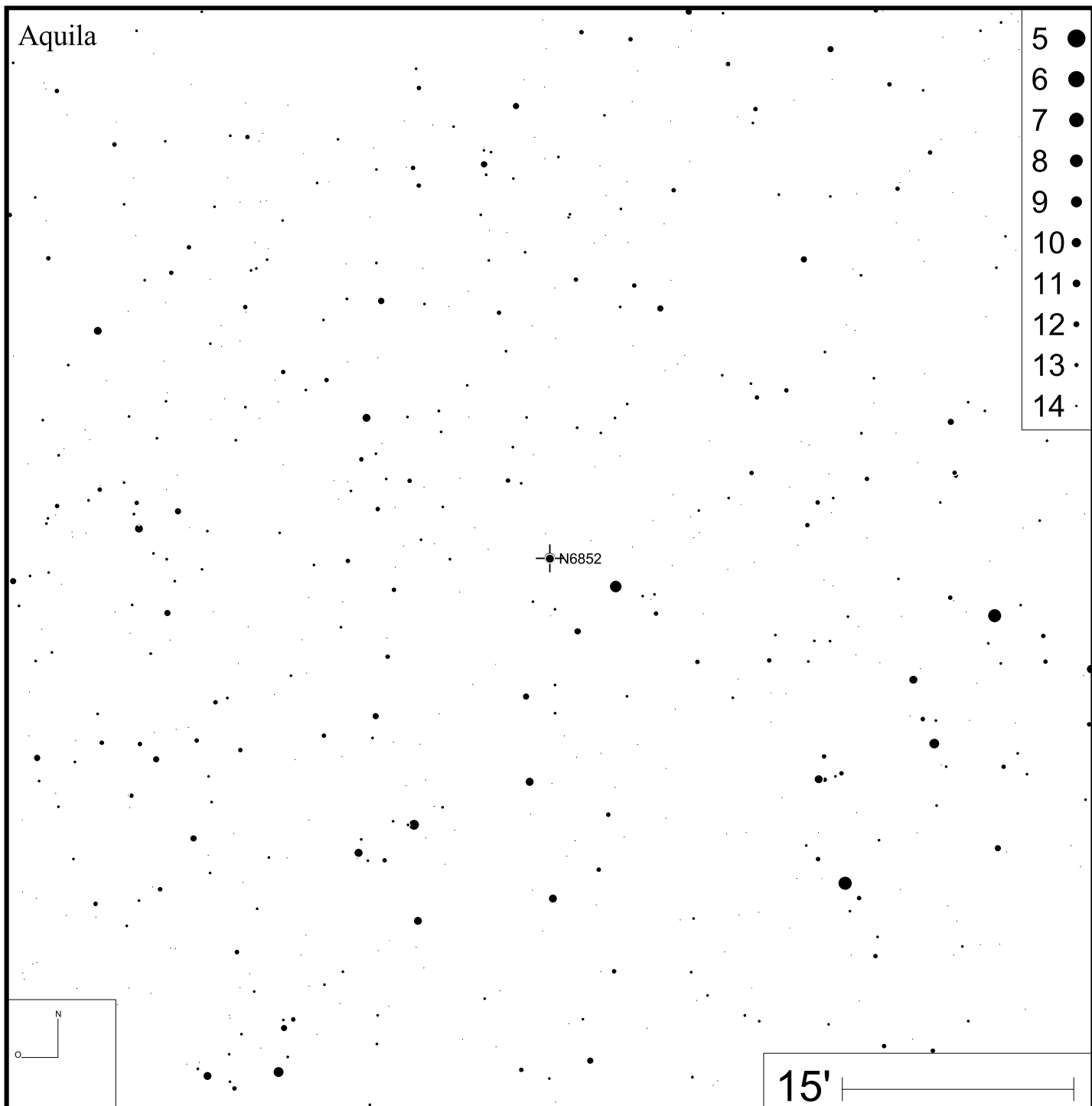


Bild: PanSTARRS

Aquila



- 5 ●
- 6 ●
- 7 ●
- 8 ●
- 9 ●
- 10 ●
- 11 ●
- 12 ●
- 13 ●
- 14 ●

NGC 6879

RA 20h10m27s

DEC +16°55'21"

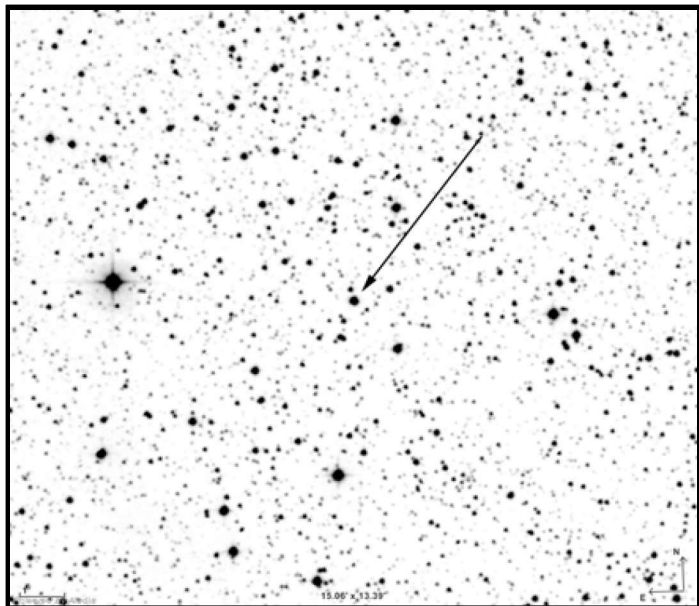
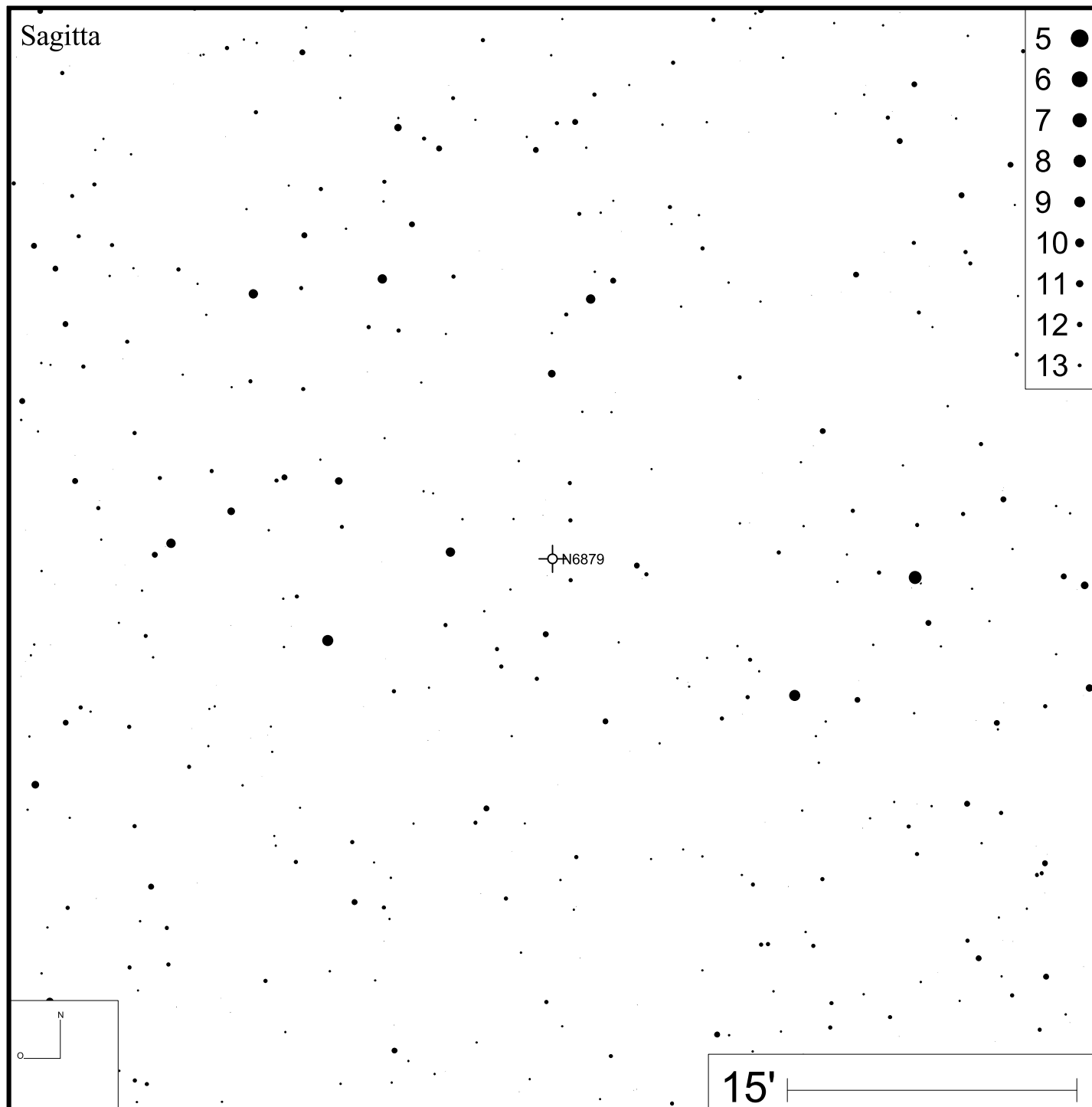
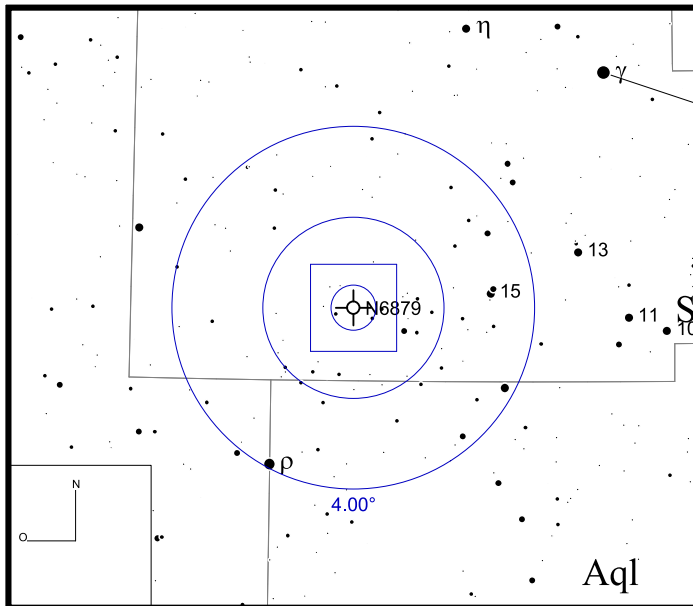


Bild: DSS



NGC 6884

RA 20h10m24s

DEC +46°27'40"

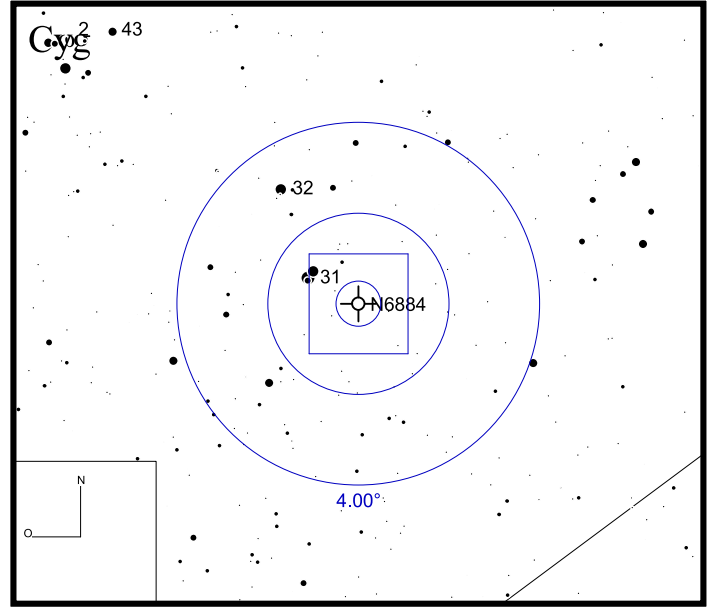
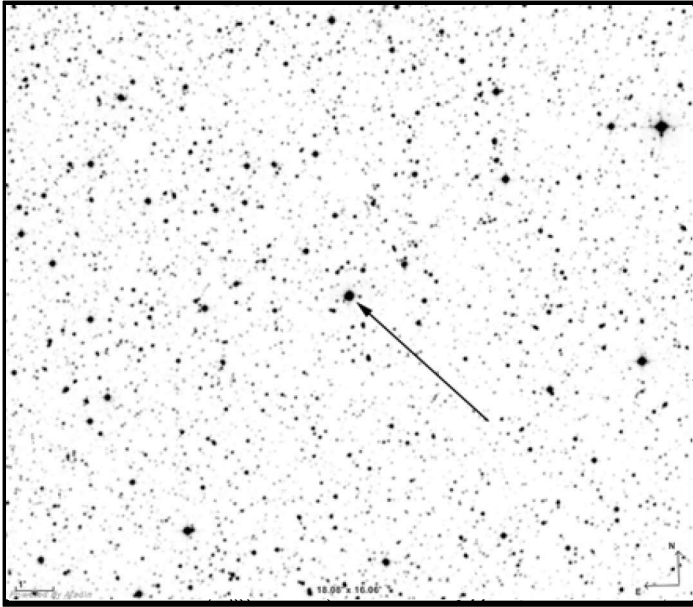
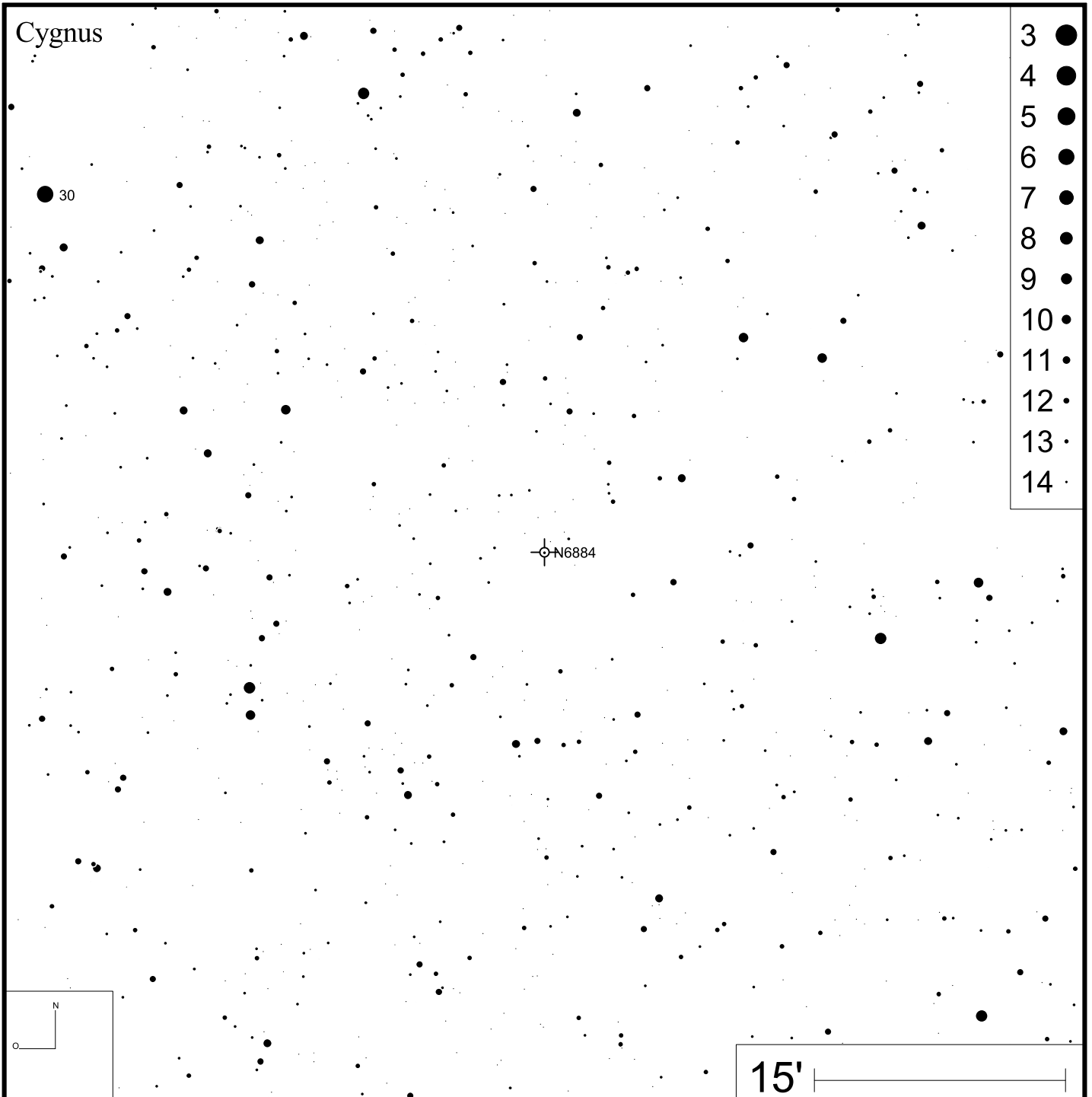


Bild: DSS



NGC 6886

RA 20h12m43s

DEC +19°59'23"

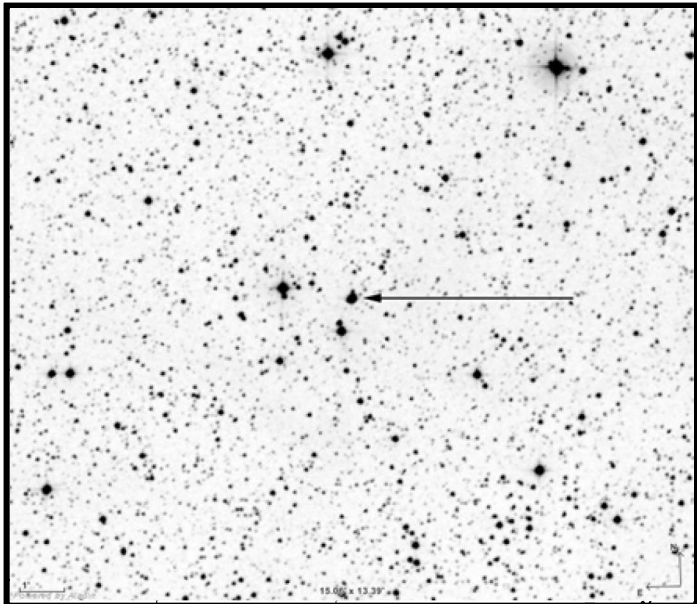
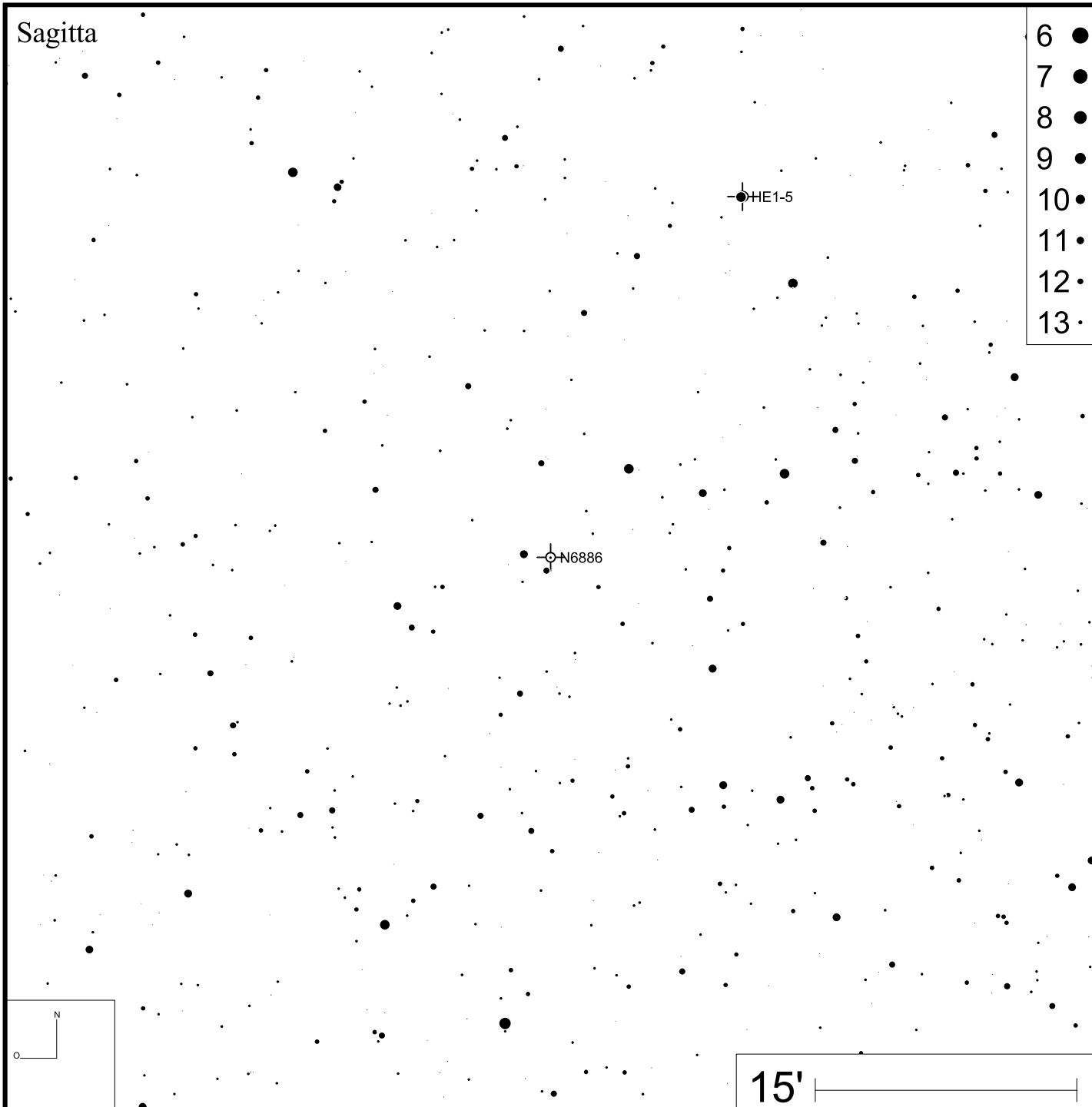
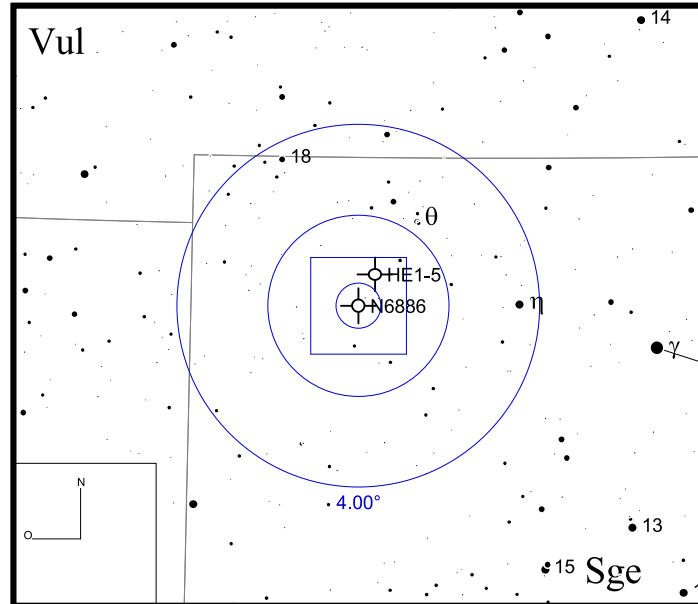


Bild: DSS



NGC 6891

RA 20h15m09s

DEC +12°42'16"

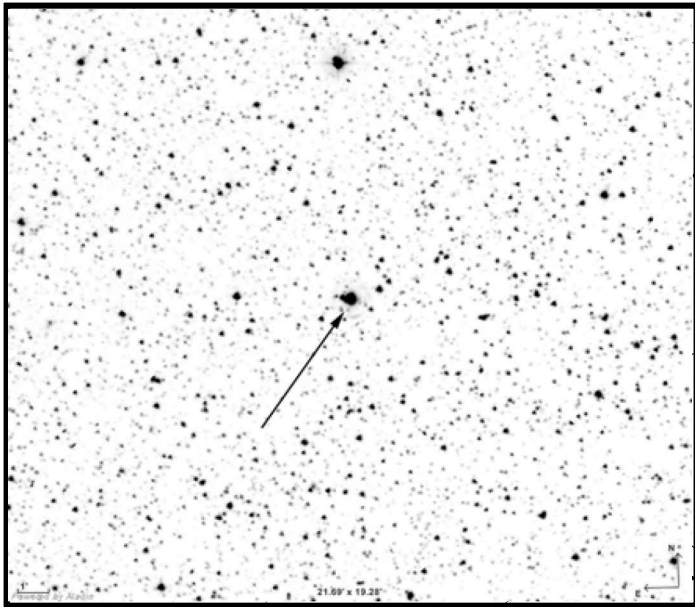
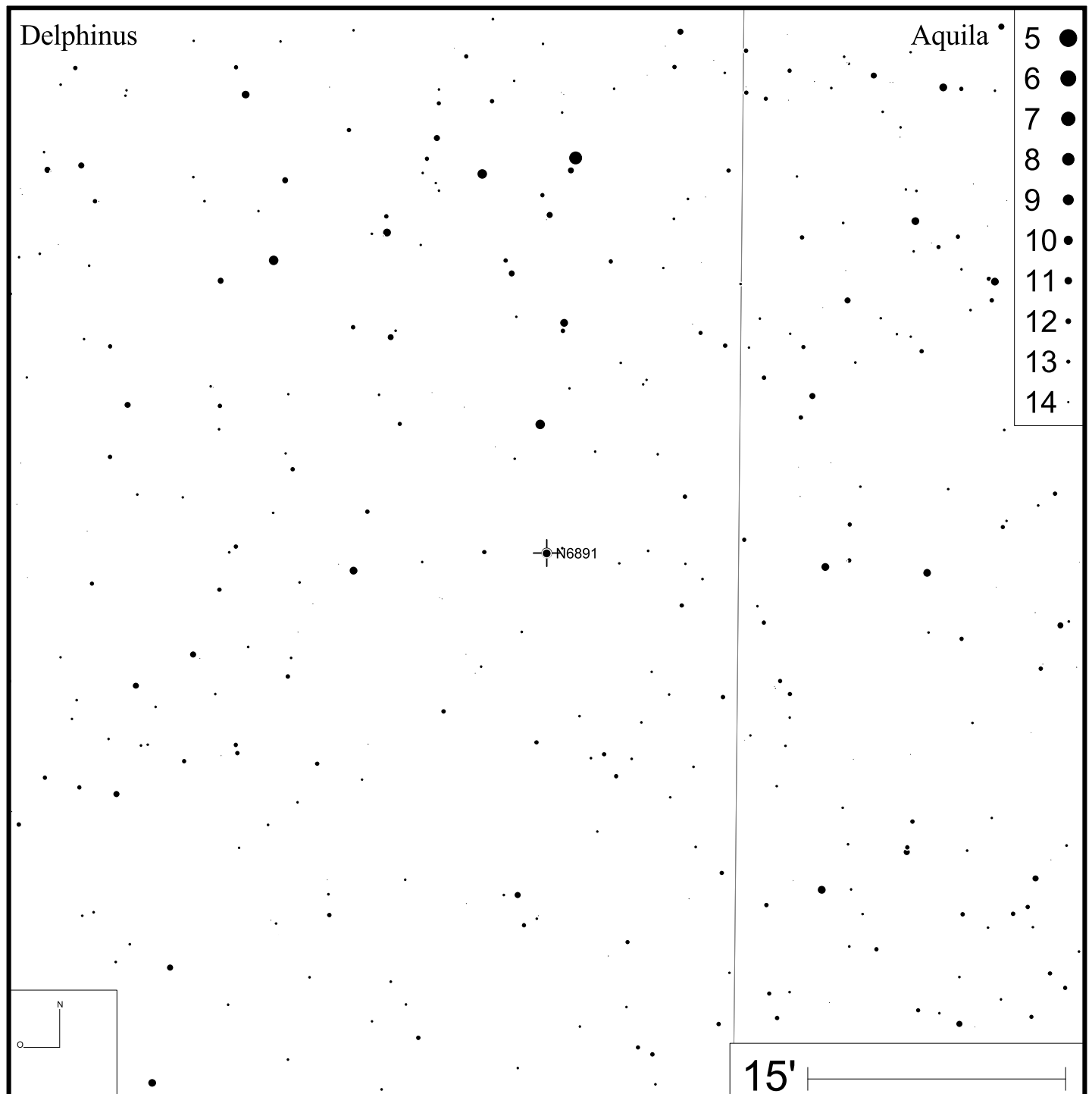
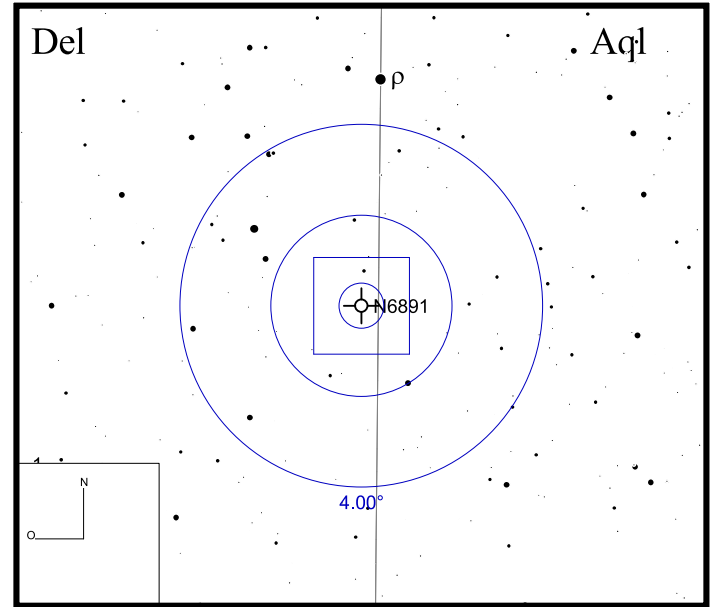


Bild: DSS



NGC 6894

RA 20h16m24s

DEC +30°33'53"

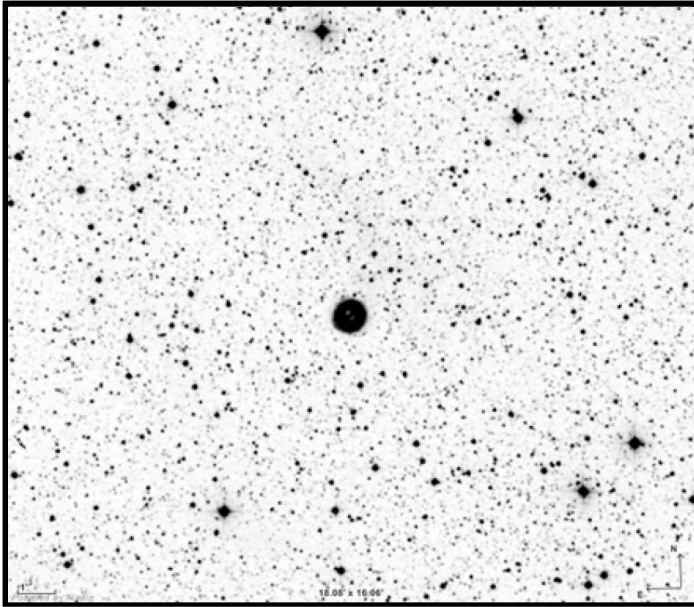


Bild: DSS

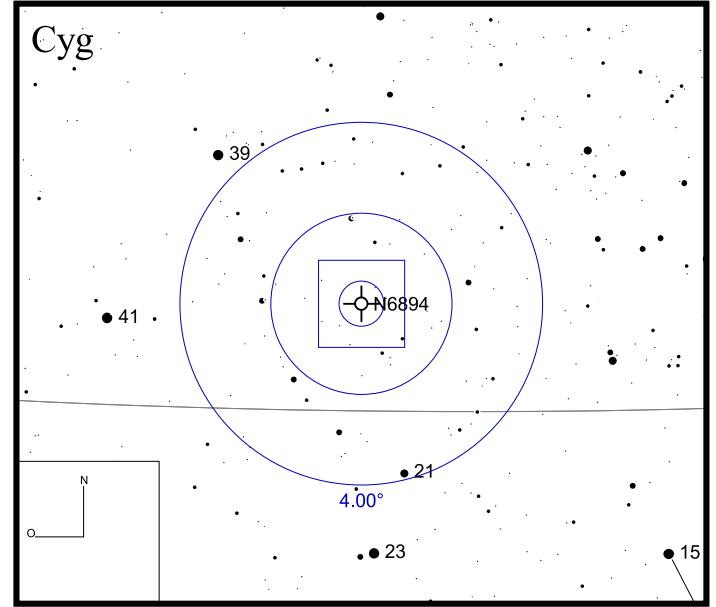
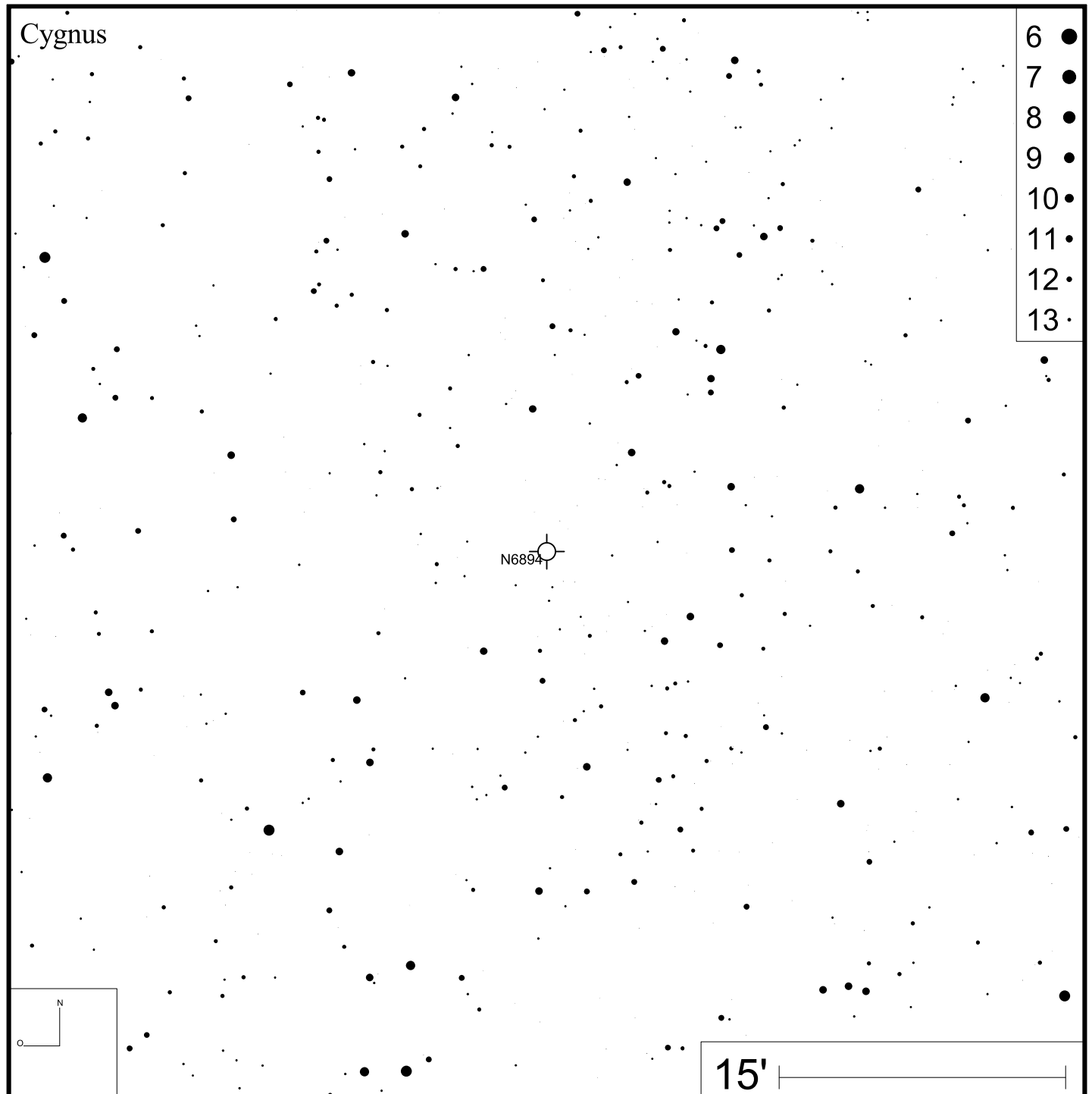


Bild: PanSTARRS (red)



NGC 6905

RA 20h22m23s

DEC +20°06'16"

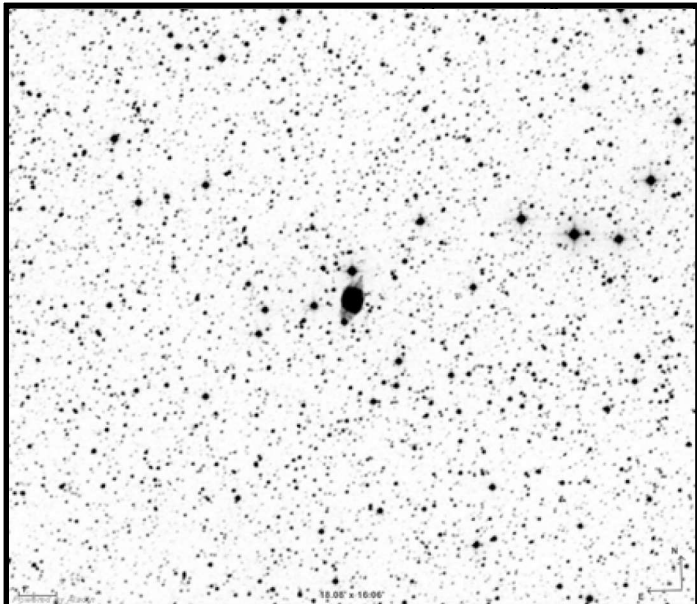


Bild: DSS

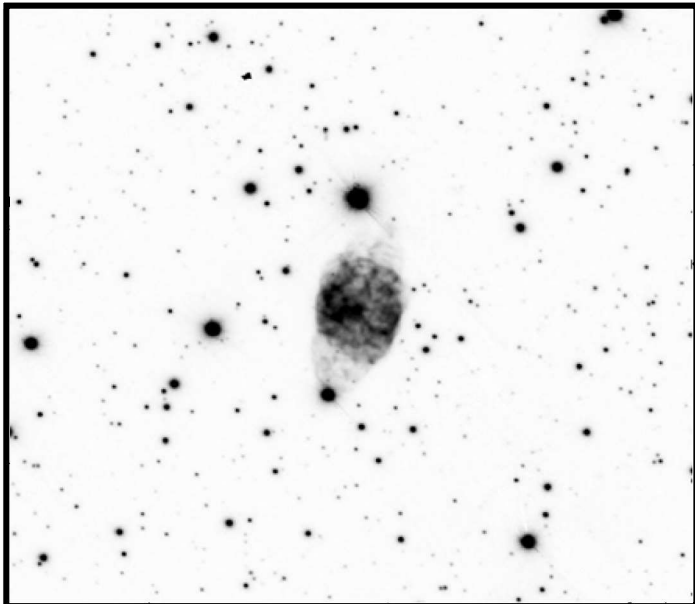
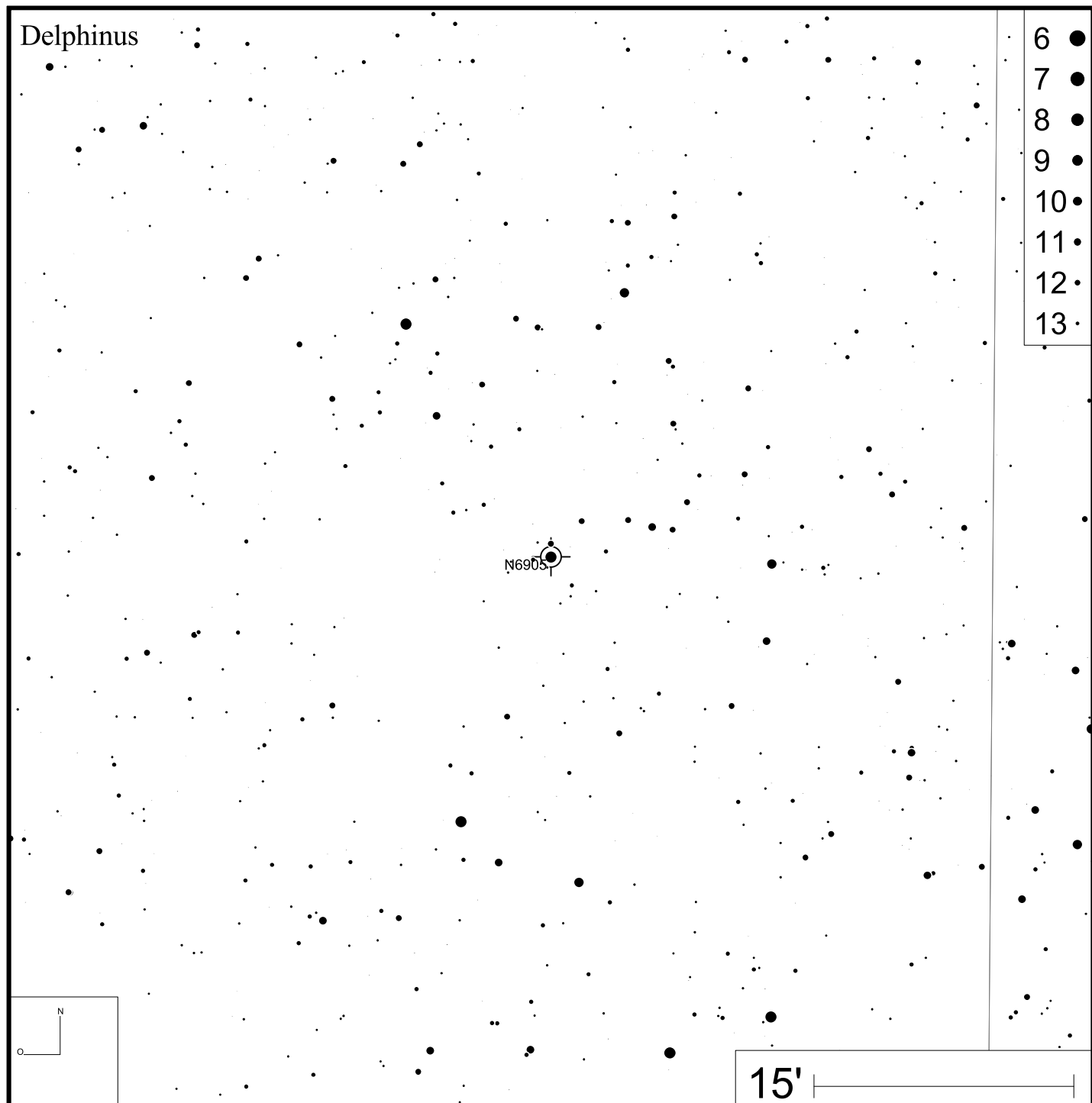


Bild: PanSTARRS (green)



NGC 7008

RA 21h00m33s

DEC +54°32'39"

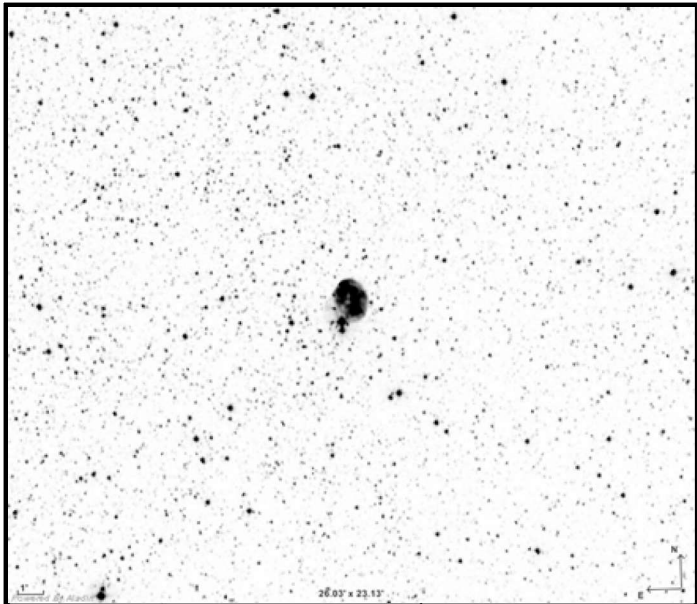


Bild: DSS

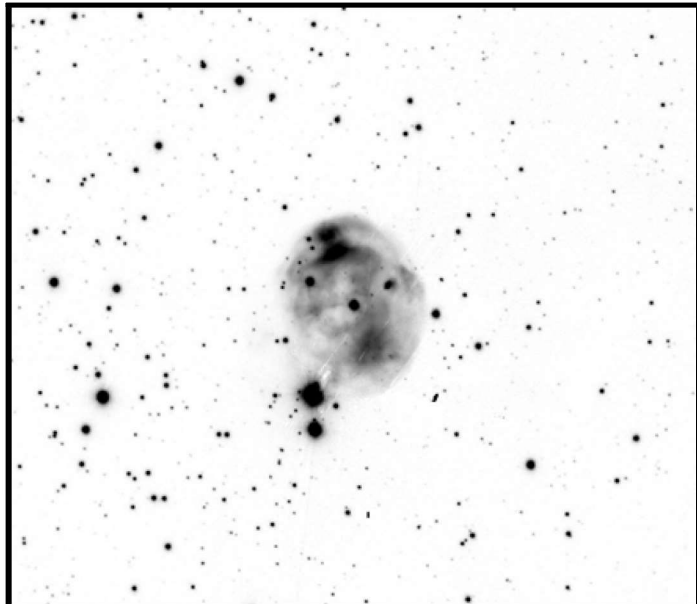
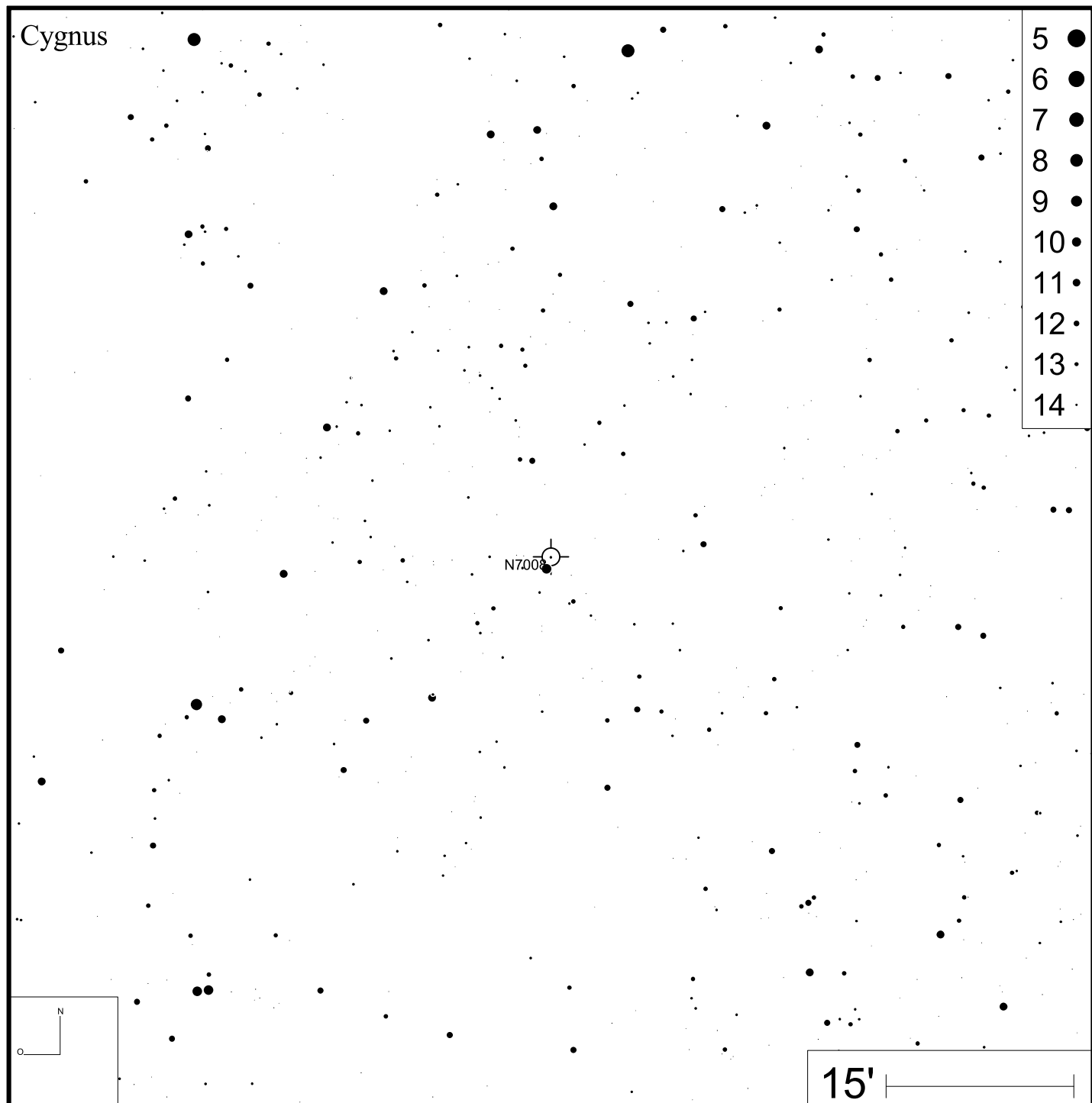


Bild: PanSTARRS (green)



NGC 7009

RA 21h04m11s

DEC -11°21'48"

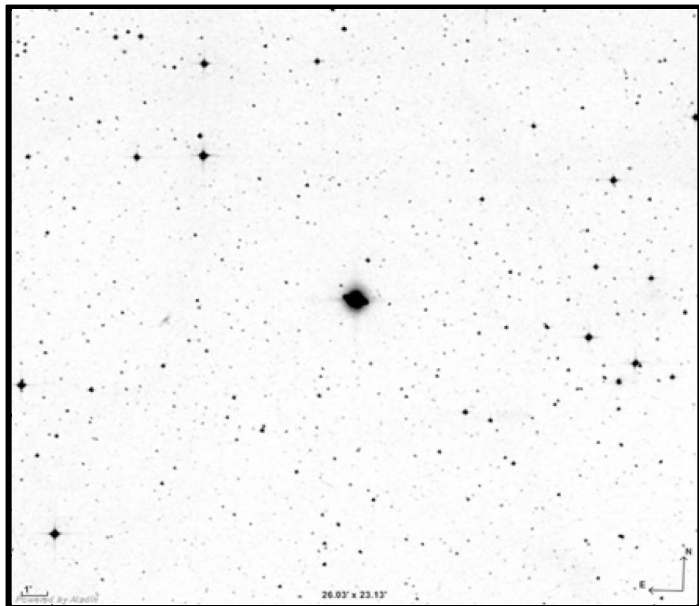
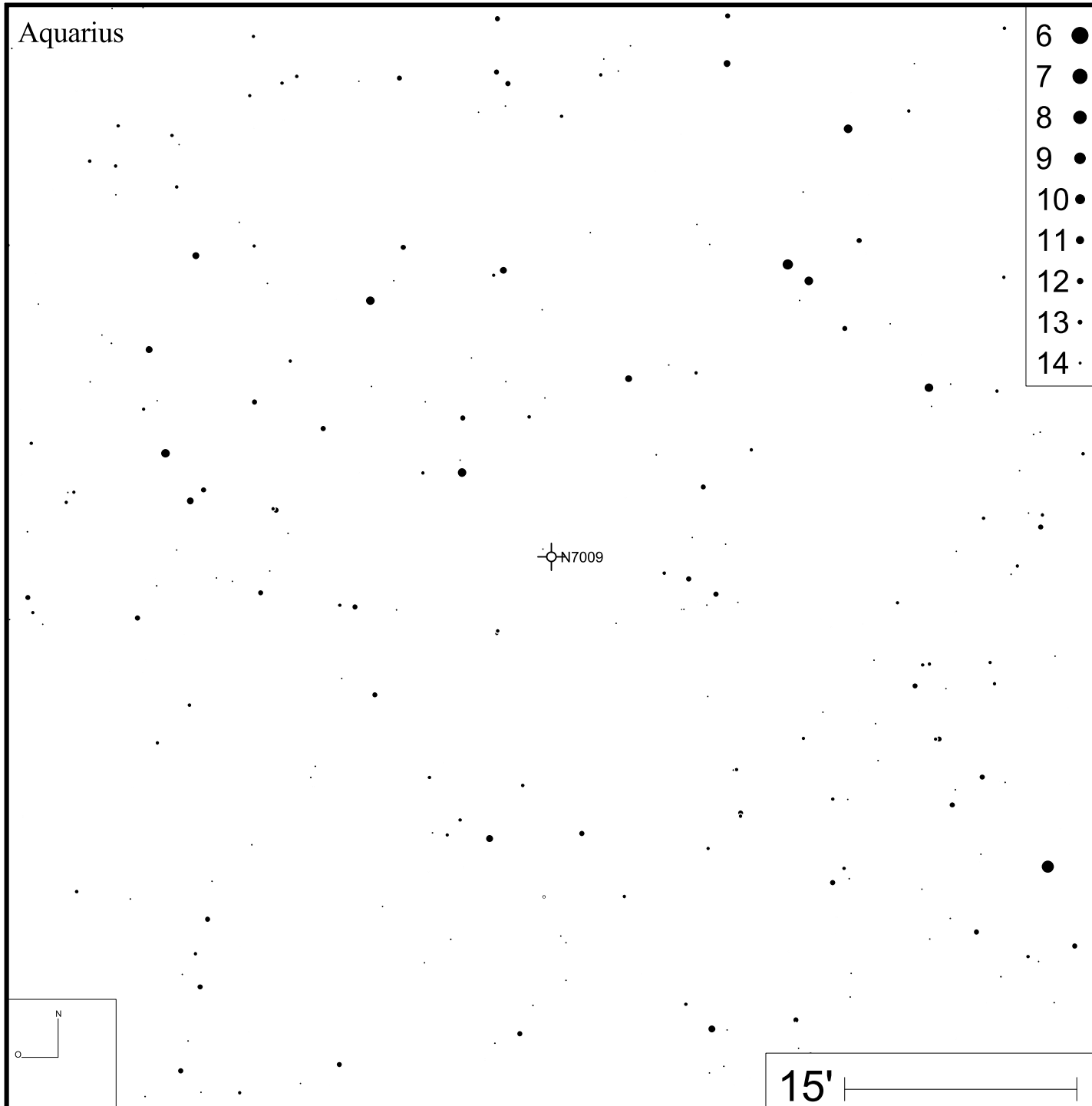
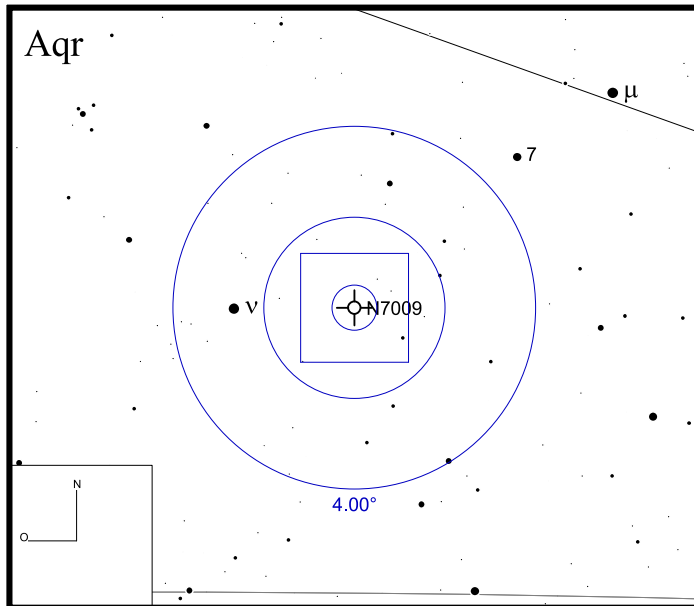


Bild: DSS



NGC 7026

RA 21h06m18s

DEC +47°51'07"

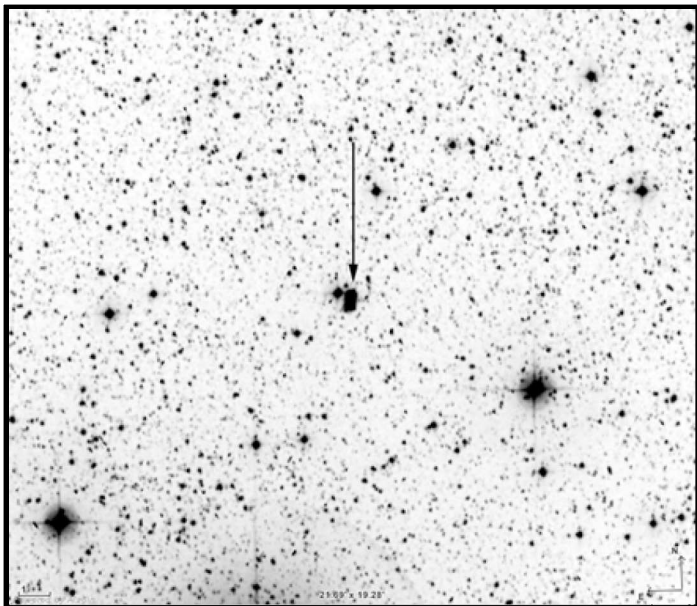


Bild: DSS

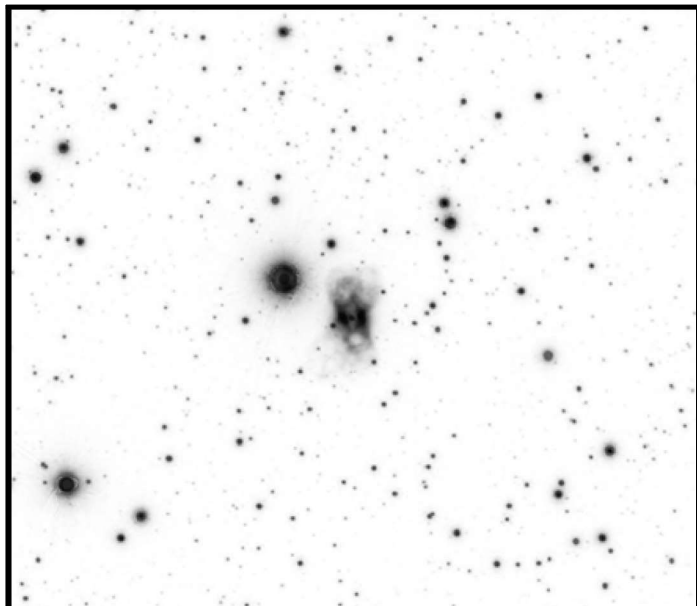
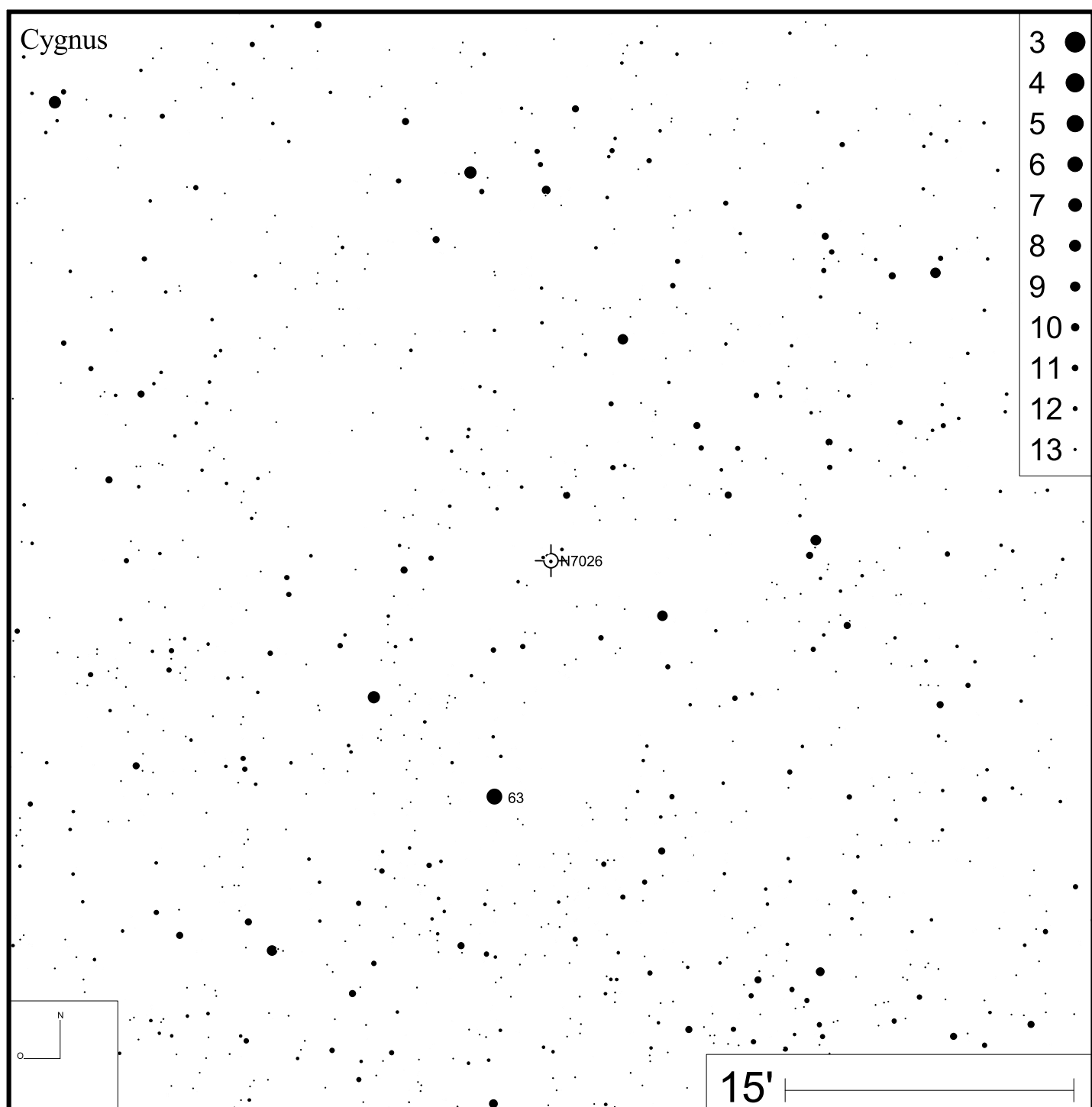


Bild: PanSTARRS



NGC 7027

RA 21h07m02s

DEC +42°14'10"

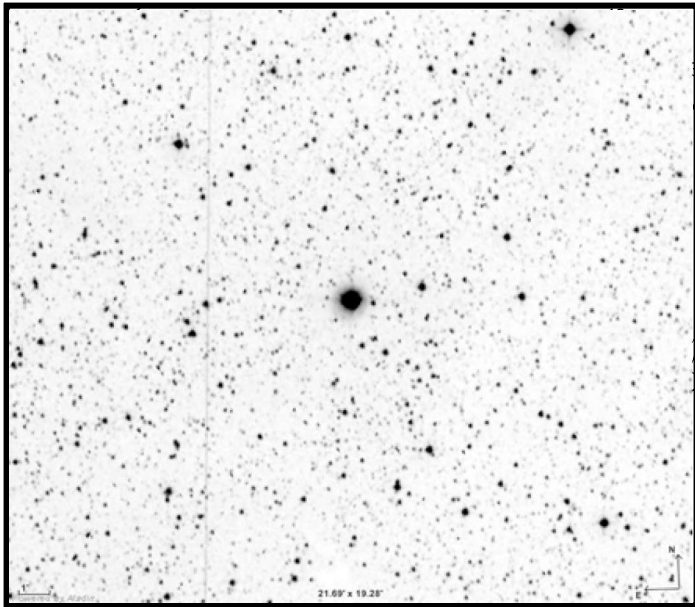
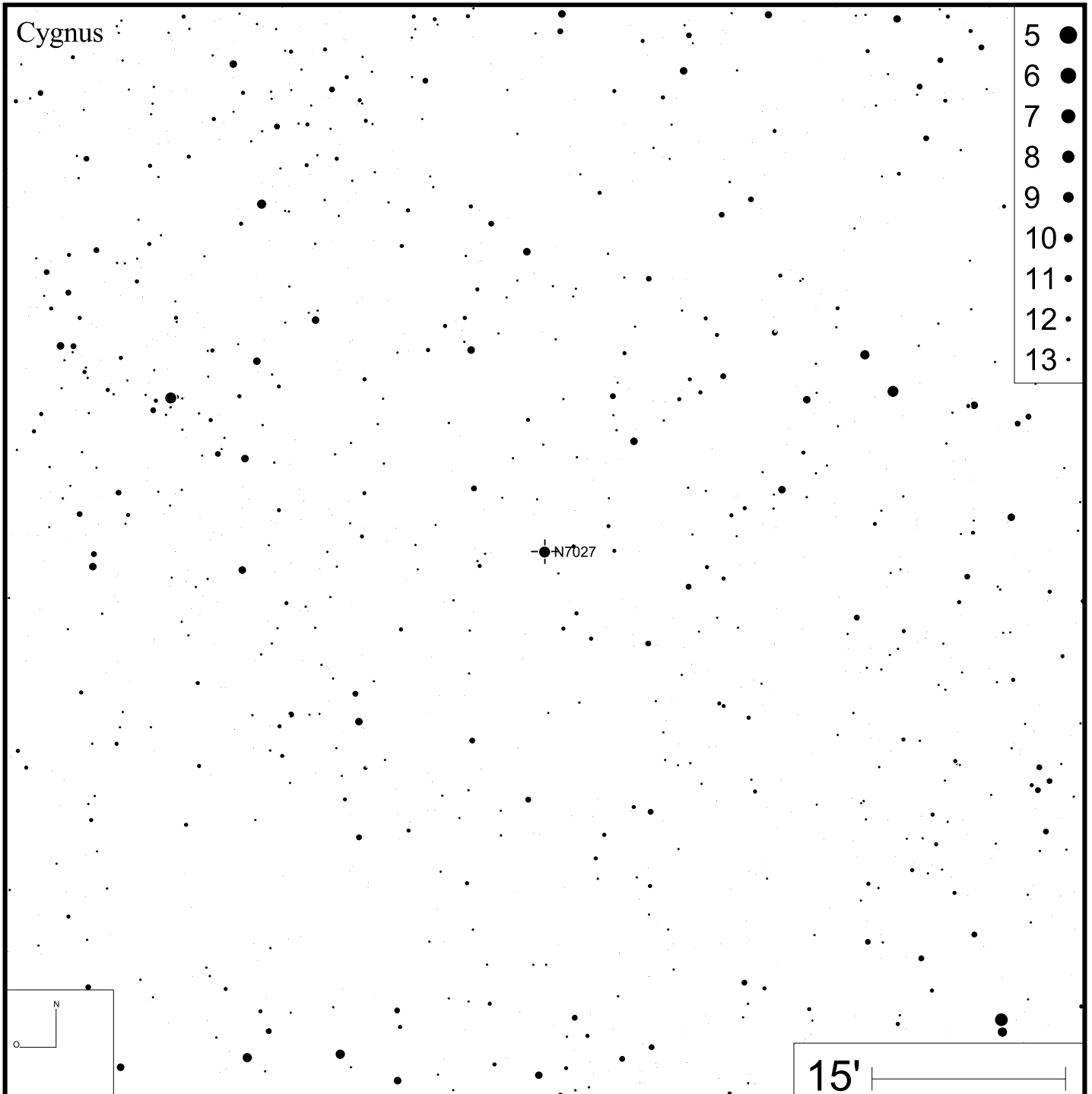
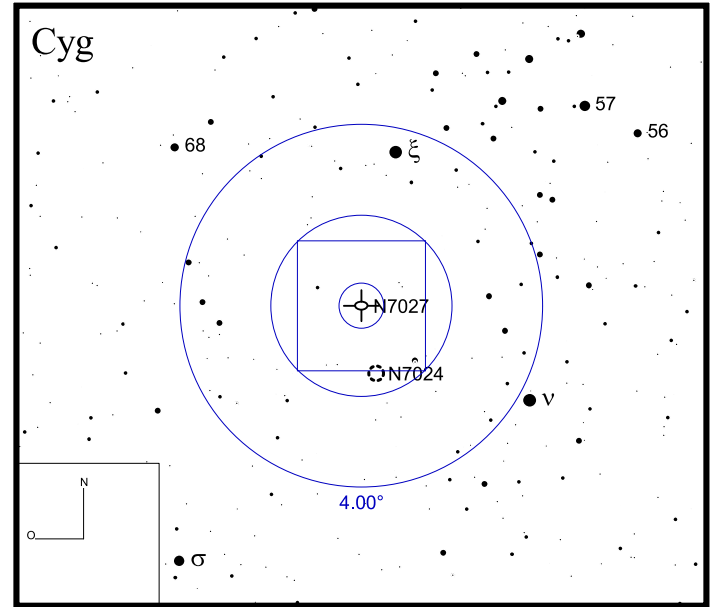


Bild: DSS



NGC 7048

RA 21h14m15s

DEC +46°17'16"

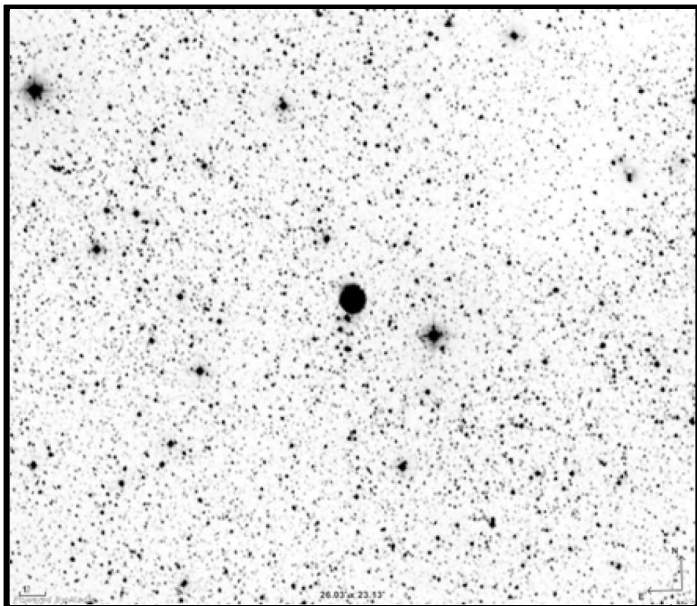


Bild: DSS

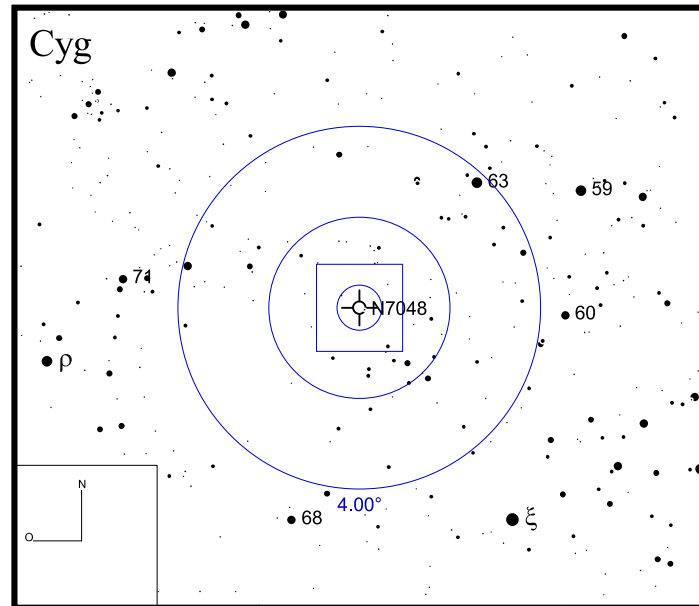
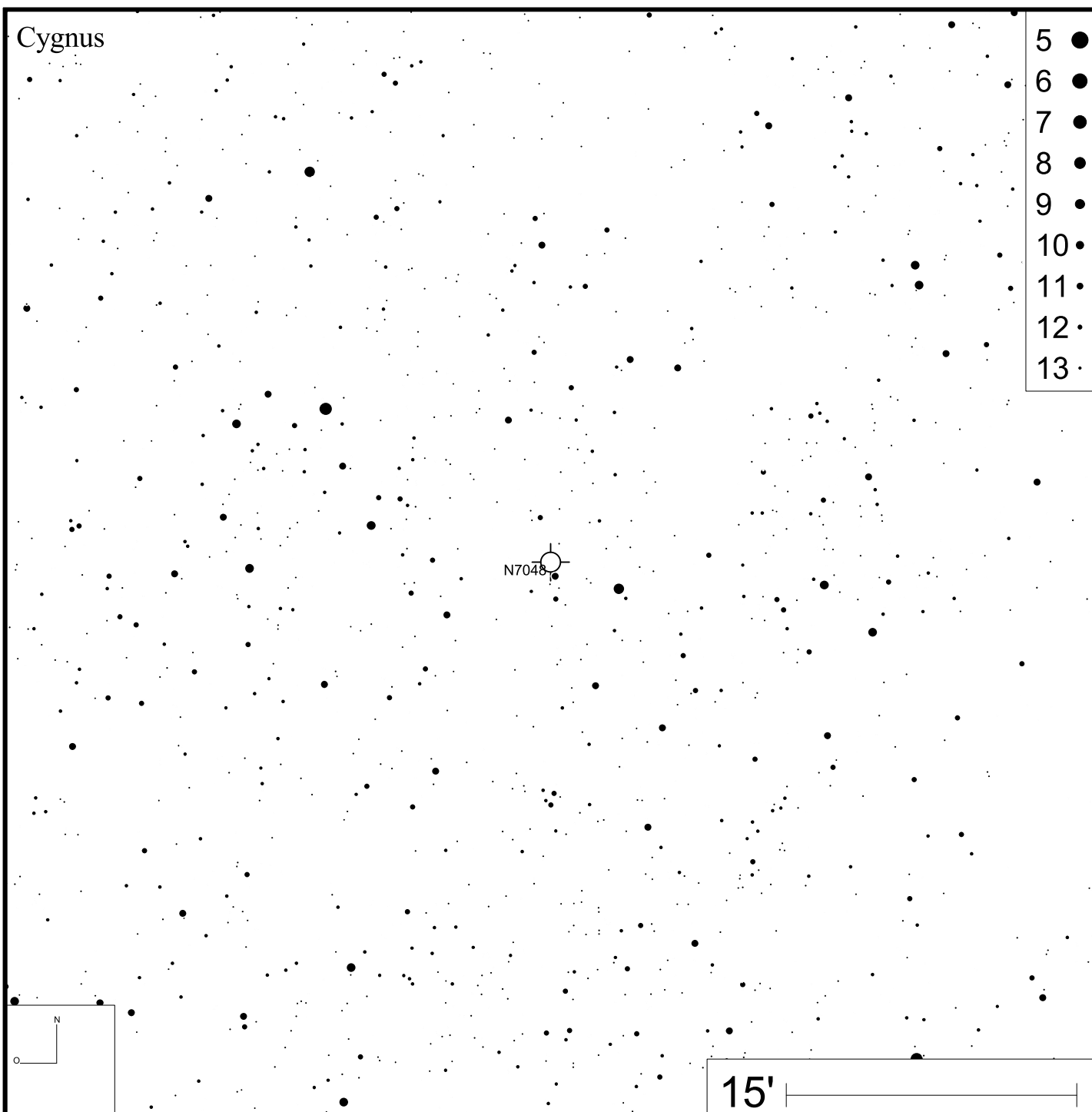


Bild: PanSTARRS (green)



NGC 7094

RA 21h36m53s

DEC +12°47'19"

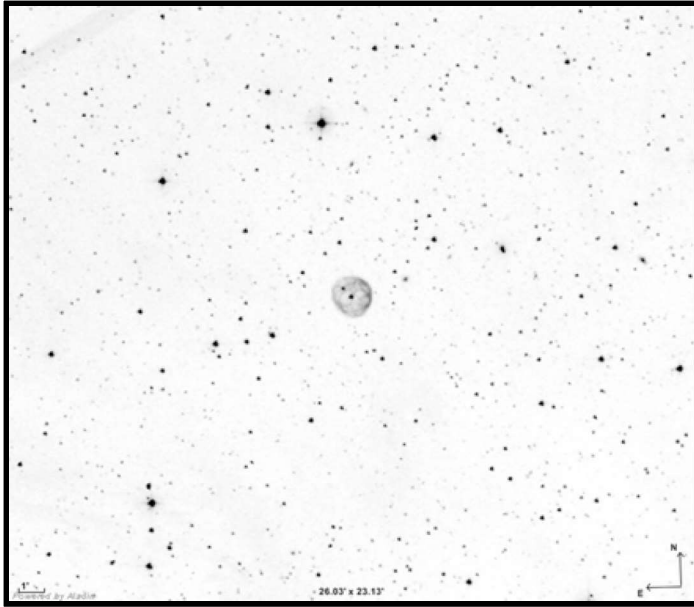
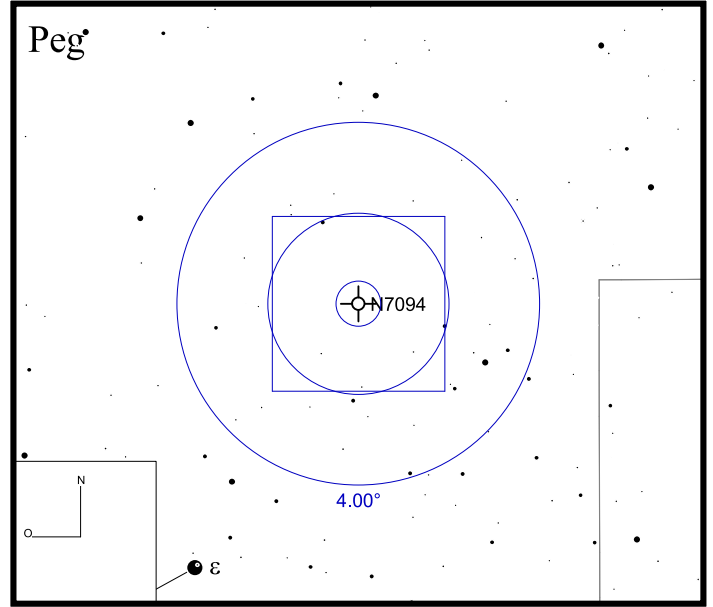
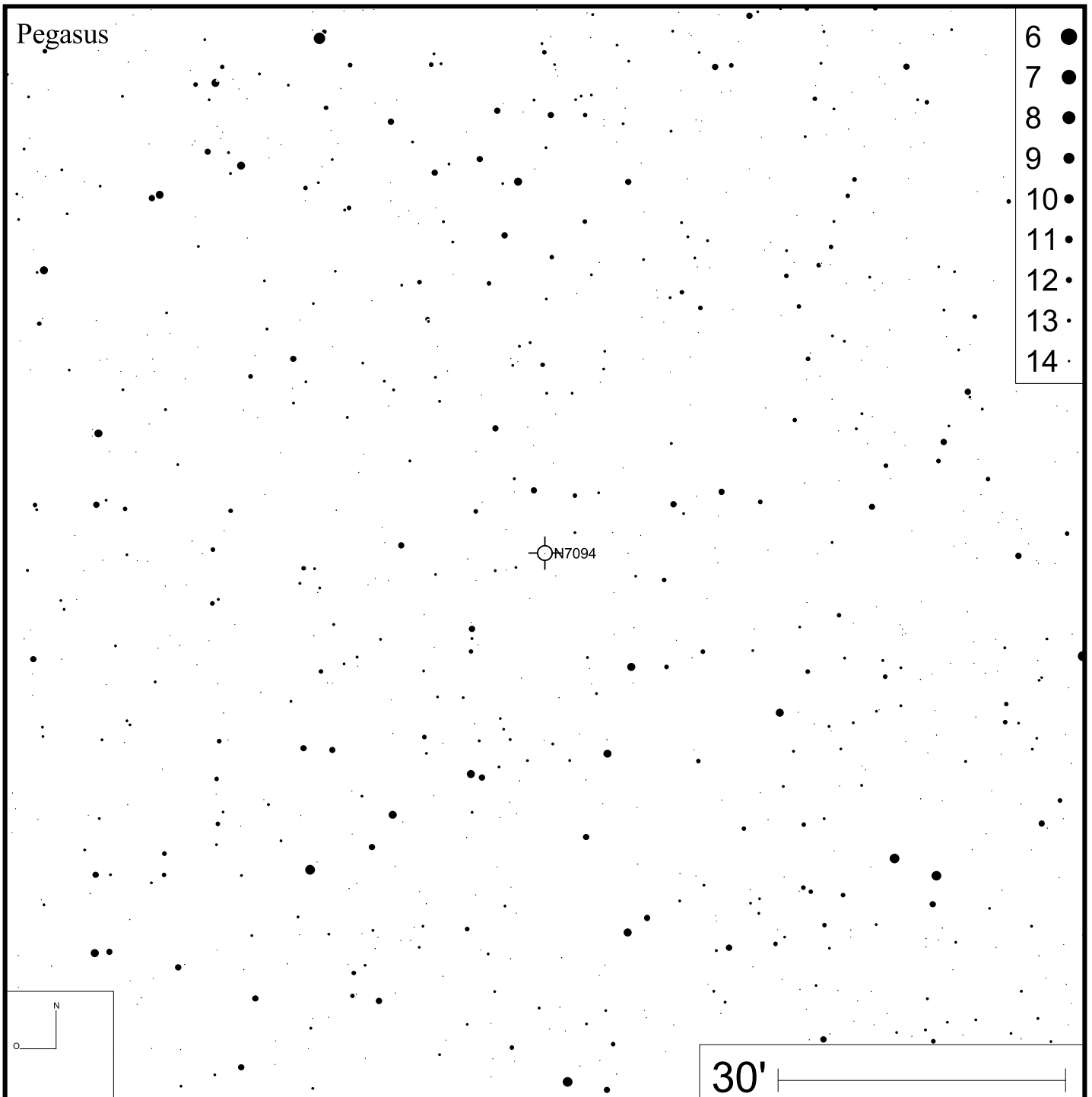


Bild: DSS



Pegasus



- 6 ●
- 7 ●
- 8 ●
- 9 ●
- 10 ●
- 11 ●
- 12 ●
- 13 ●
- 14 ●

NGC 7139

RA 21h46m09s

DEC +63°47'29"

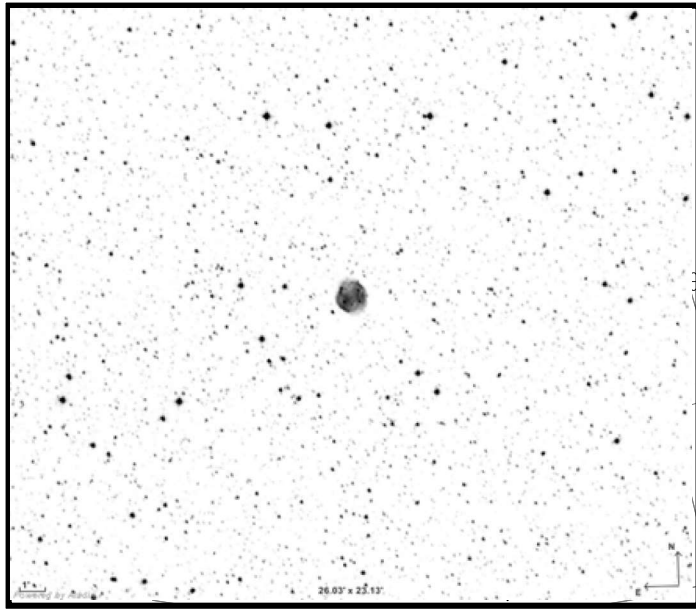
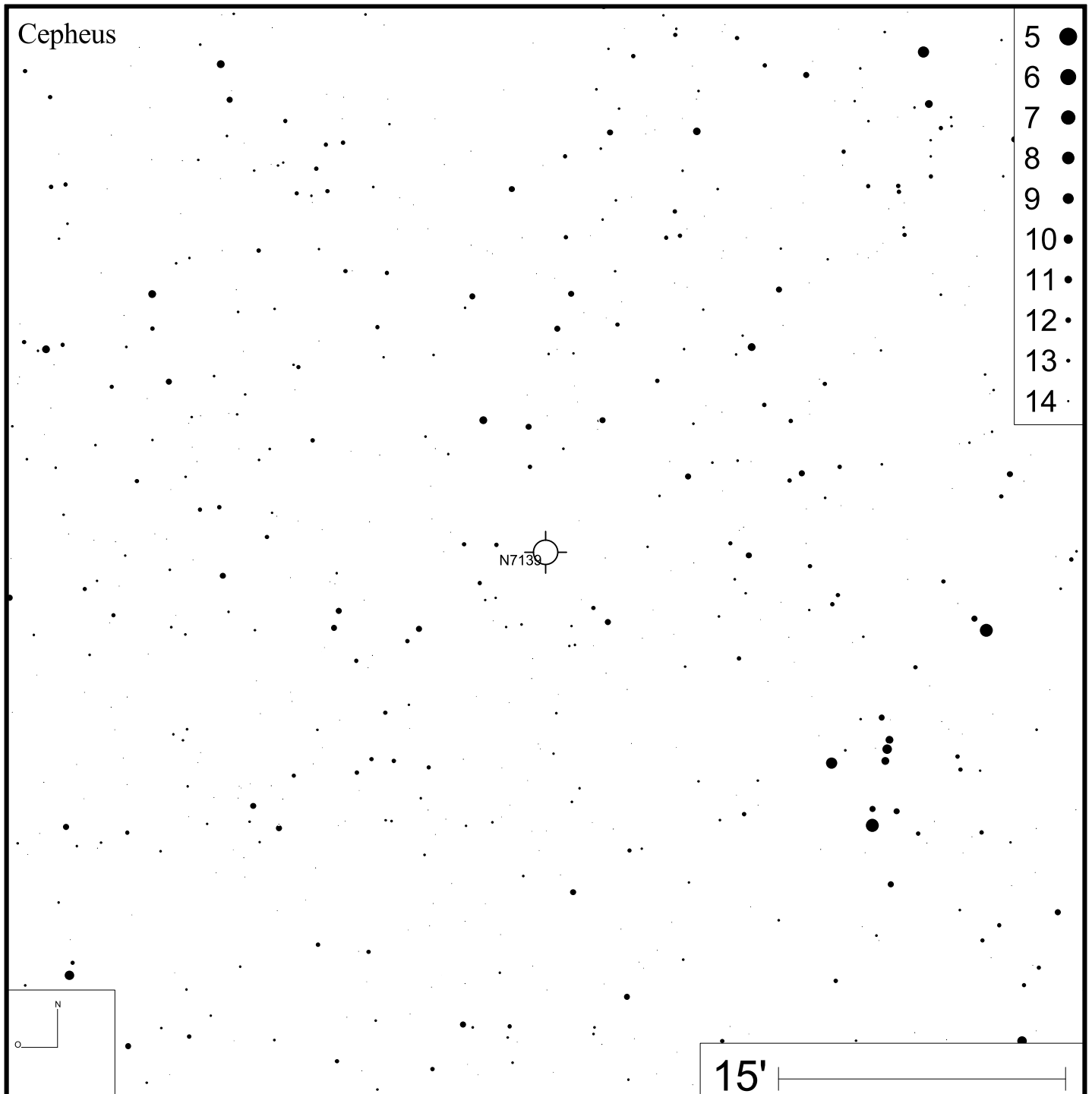
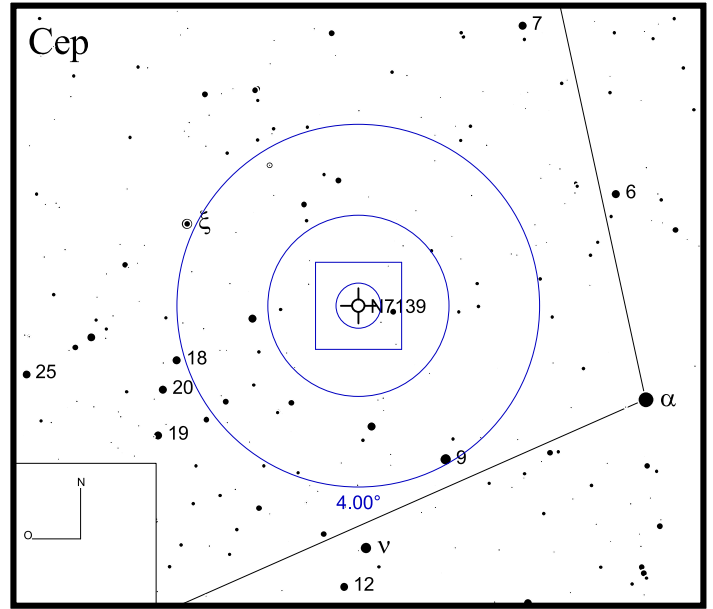


Bild: DSS



NGC 7293

RA 22h29m39s

DEC -20°29'39"

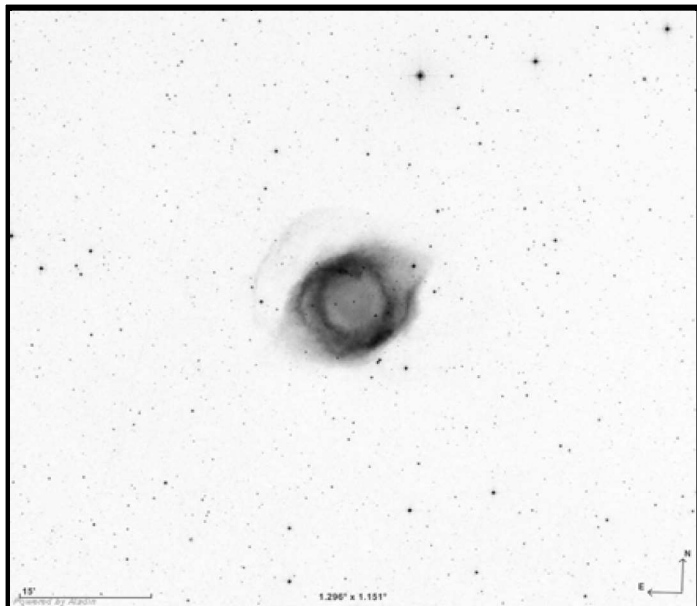
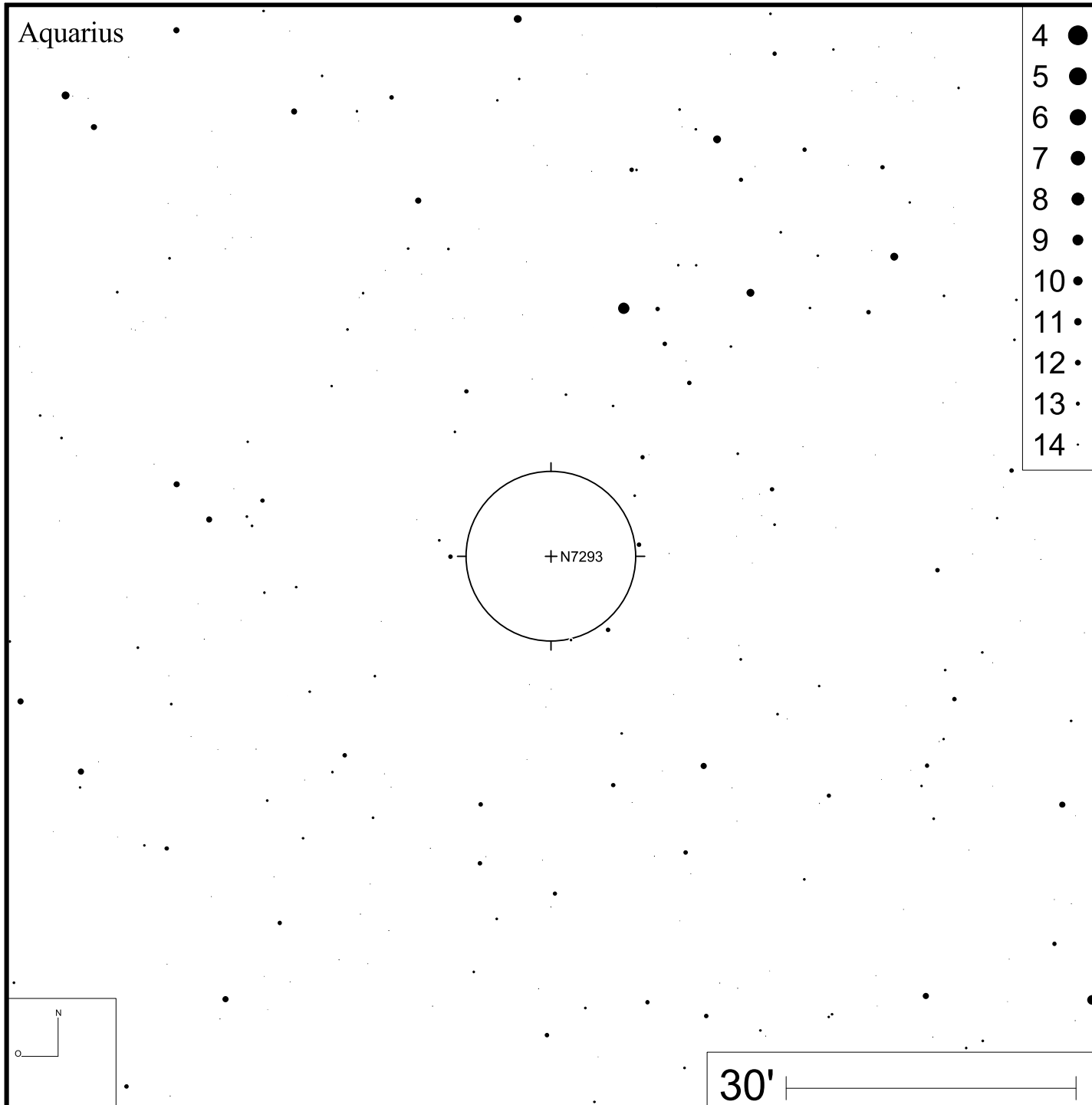
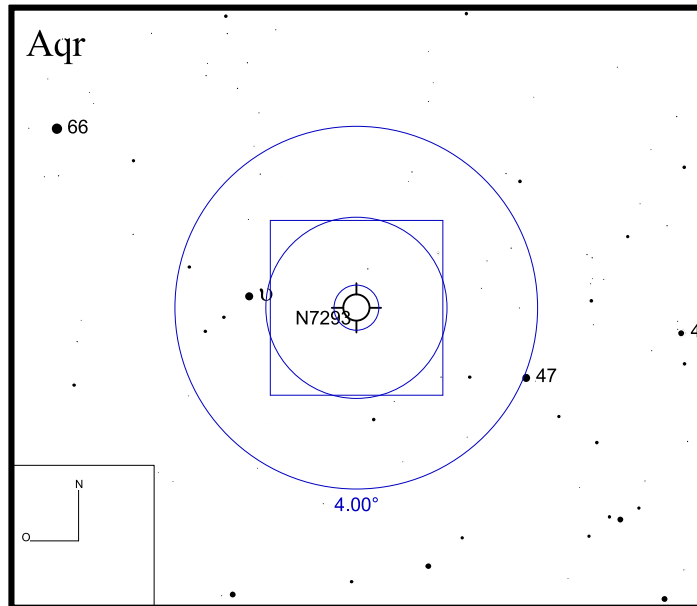


Bild: DSS



NGC 7354

RA 22h40m20s

DEC +61°17'09"

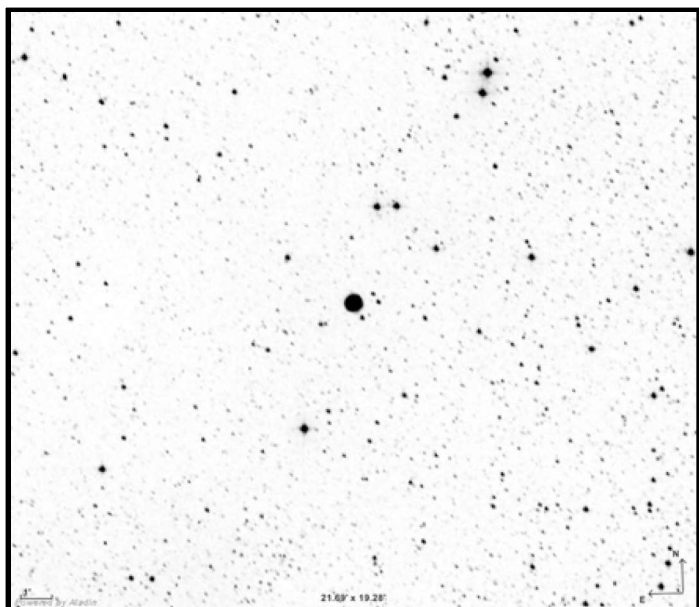


Bild: DSS

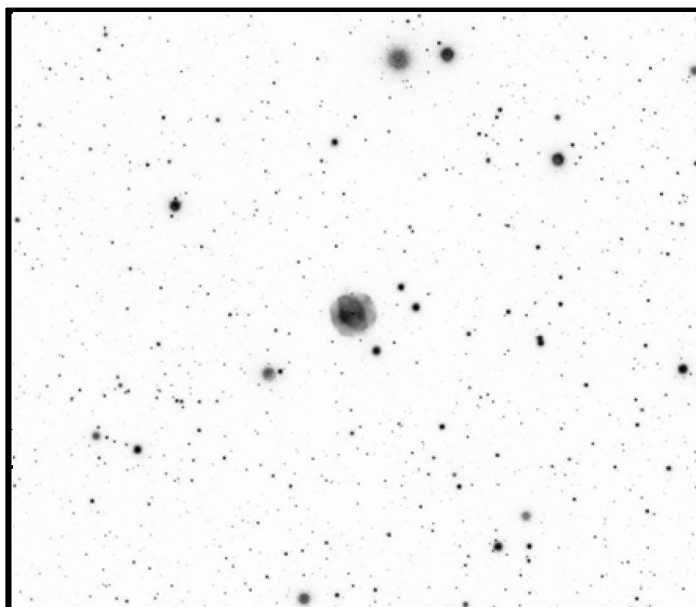
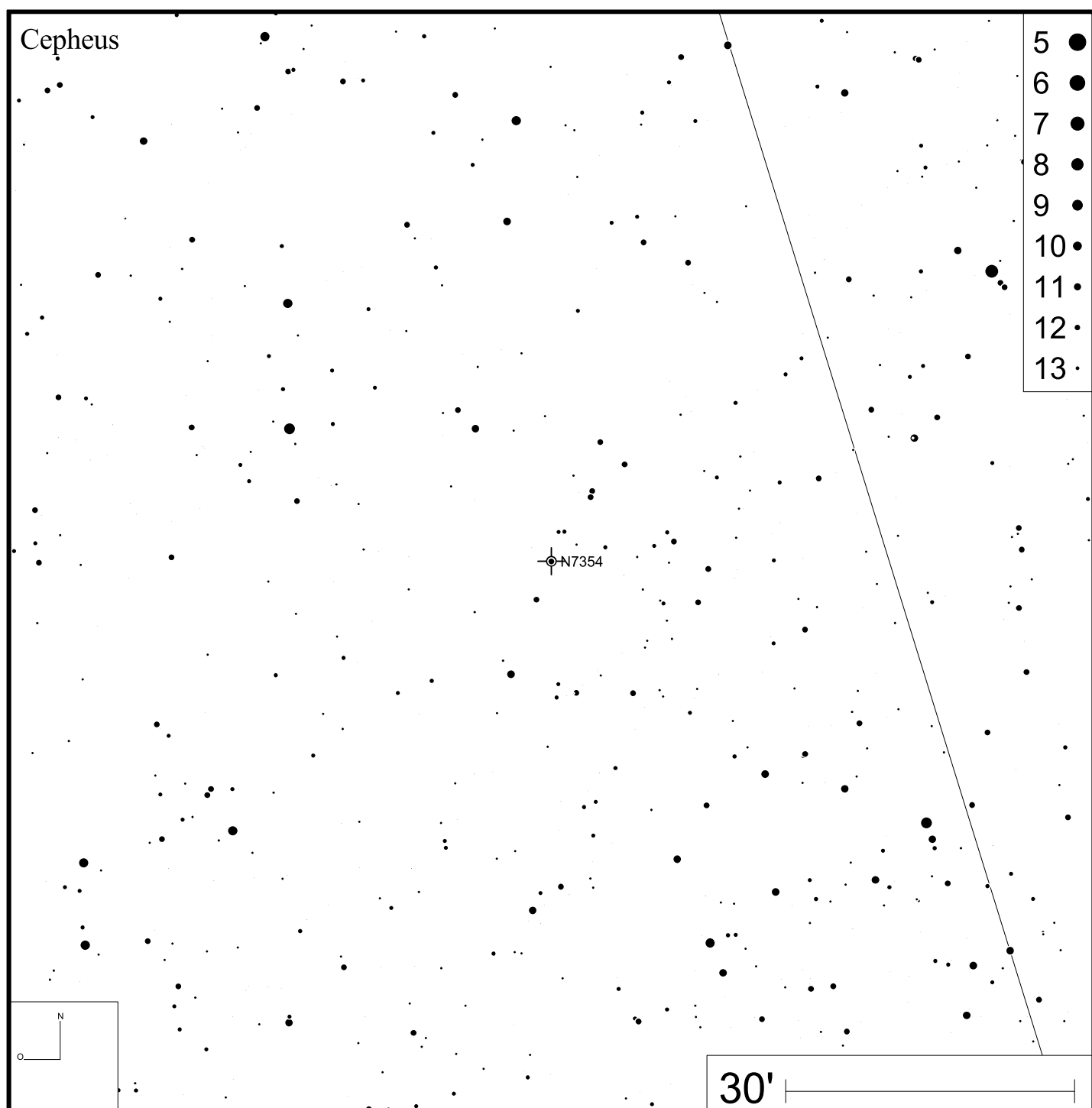


Bild: PanSTARRS



NGC 7662

RA 23h25m54s

DEC +42°32'06"

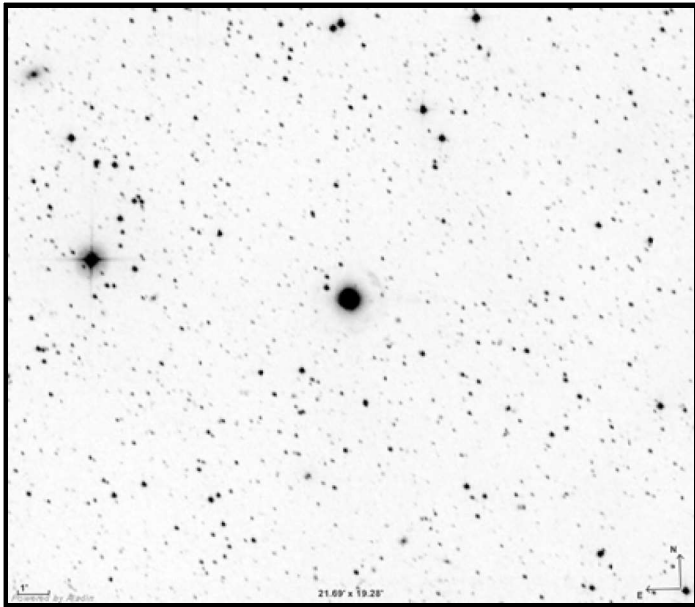
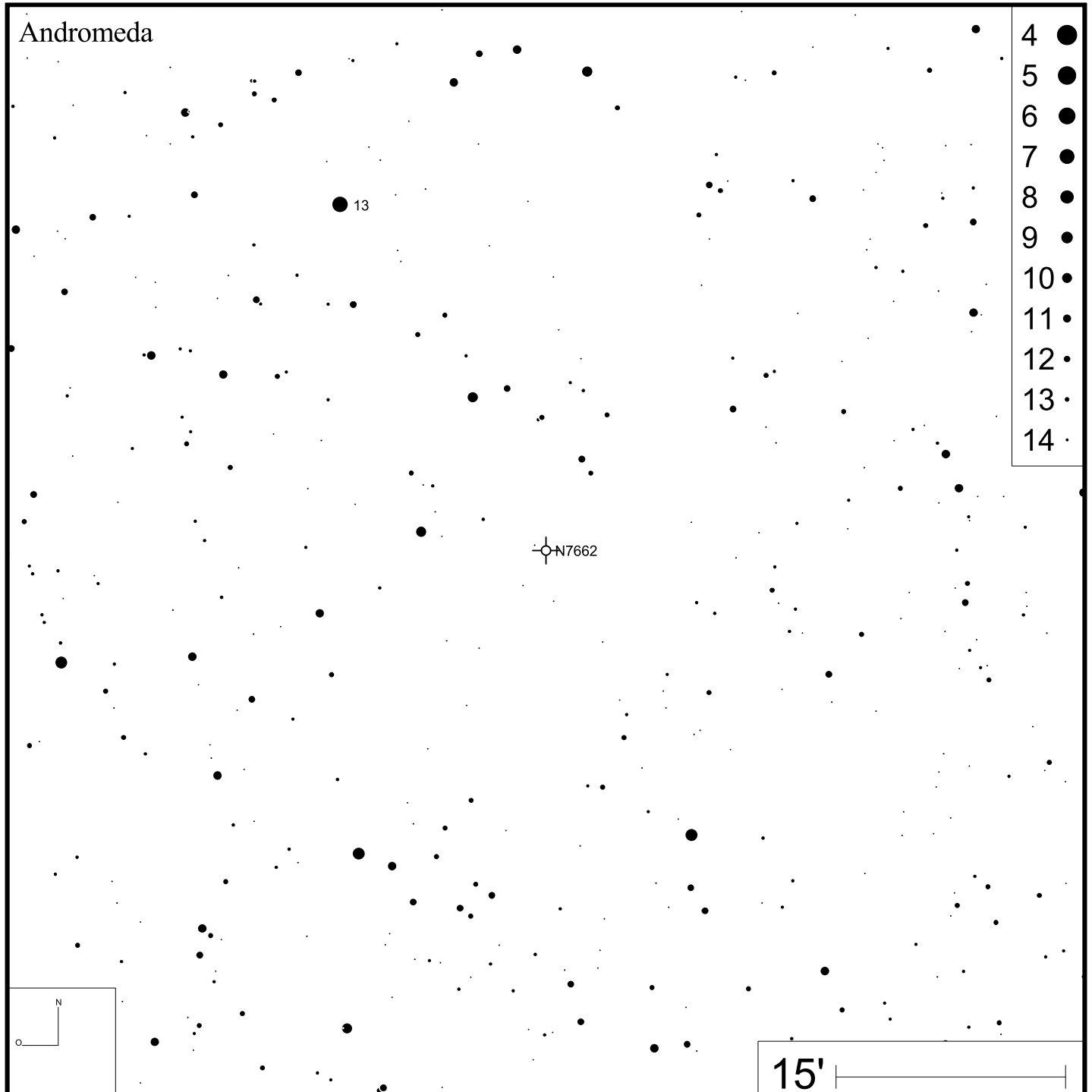
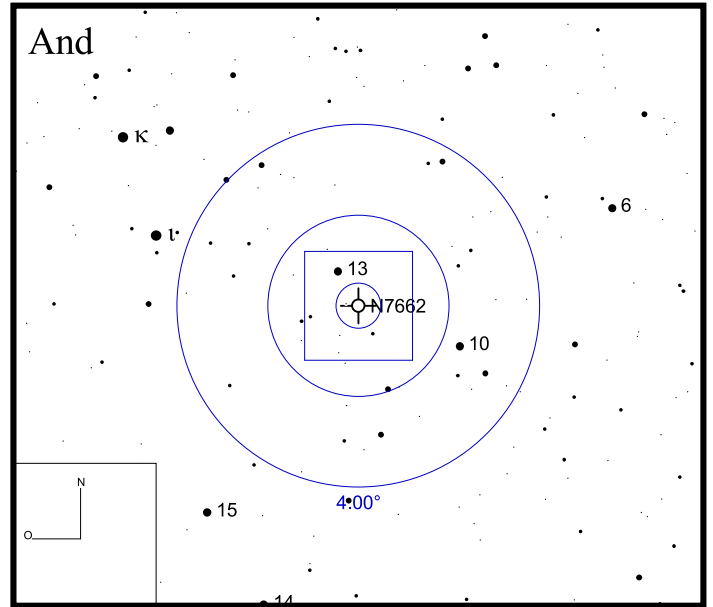


Bild: DSS



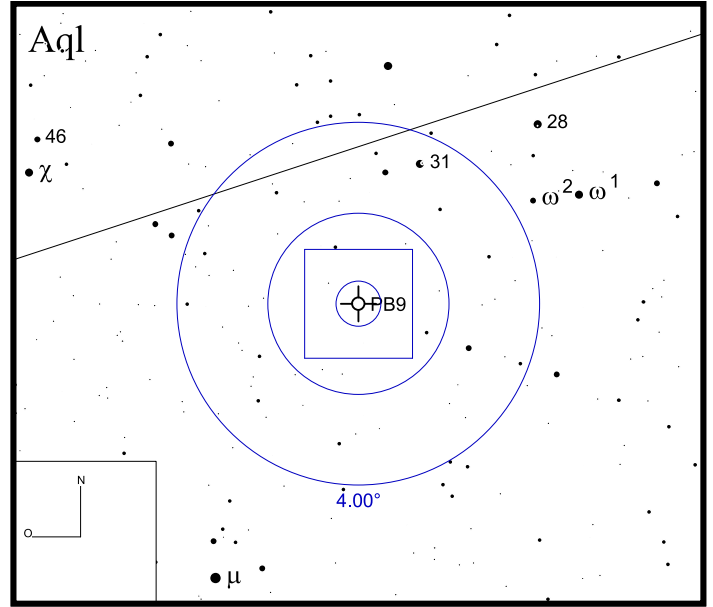
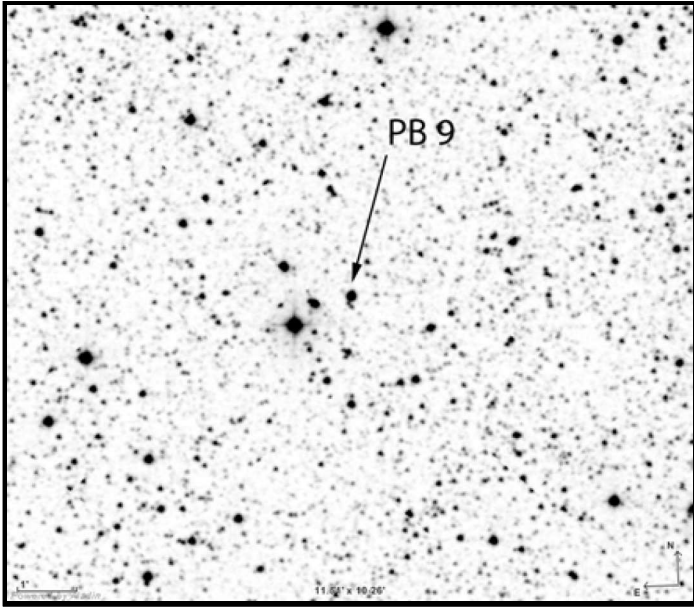
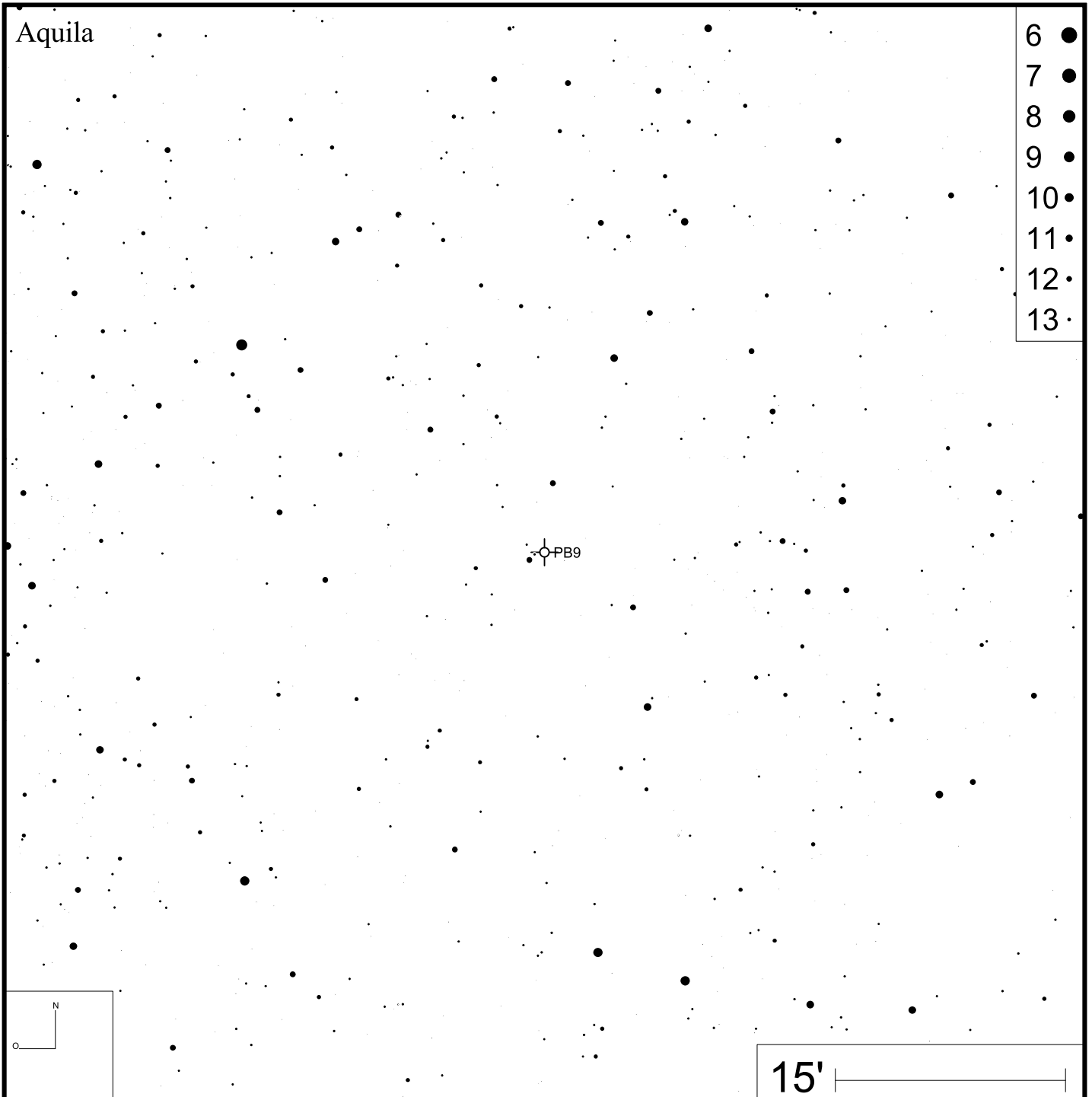
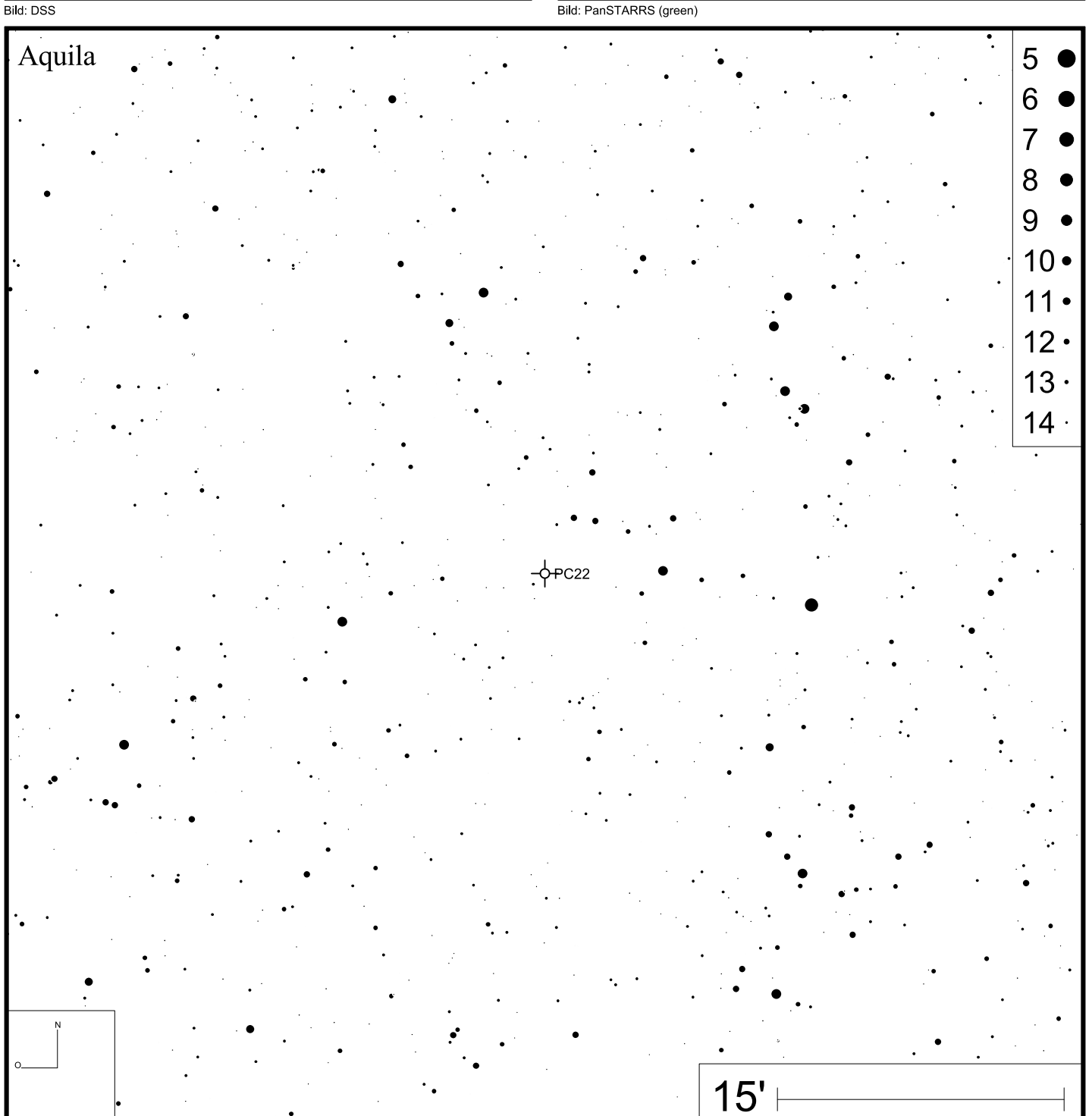
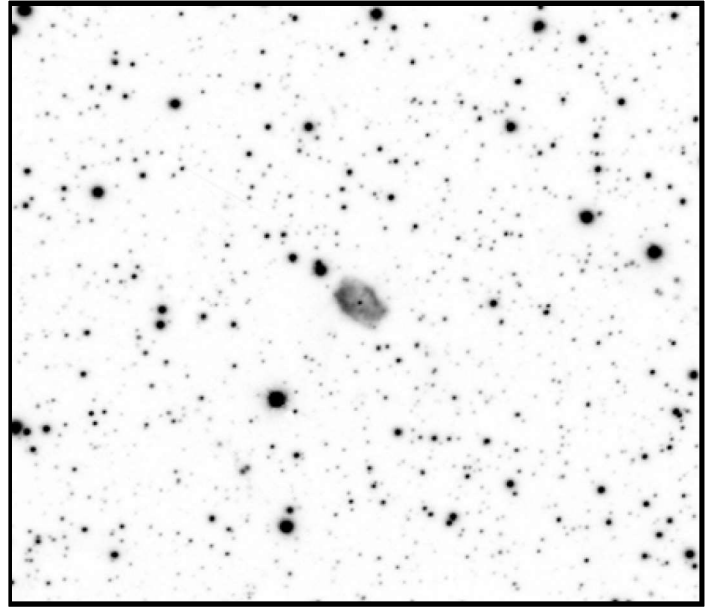
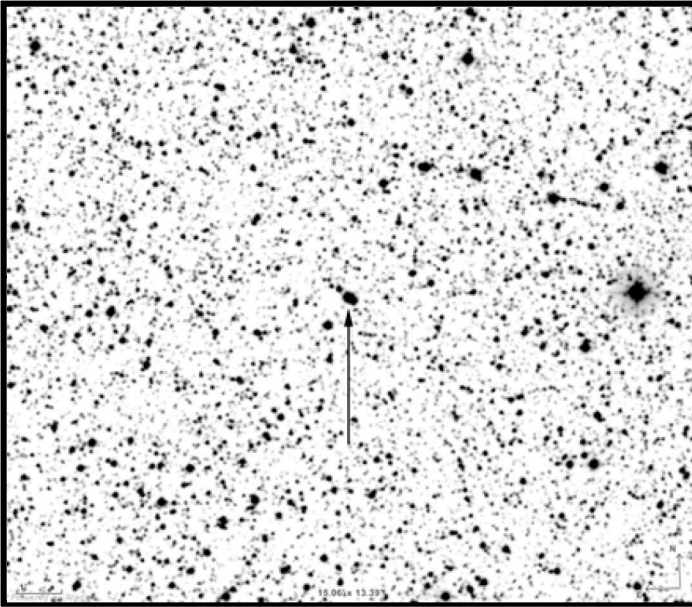


Bild: DSS





PuWe 1

RA 06h19m35s DEC +35°36'42"

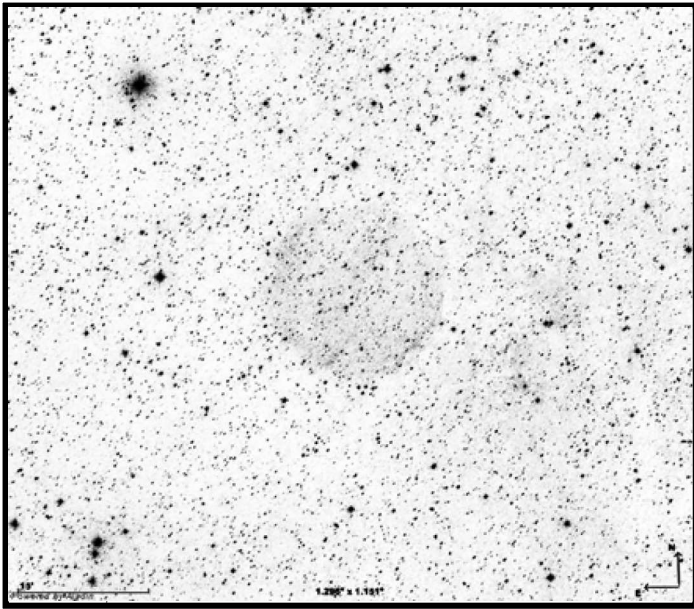
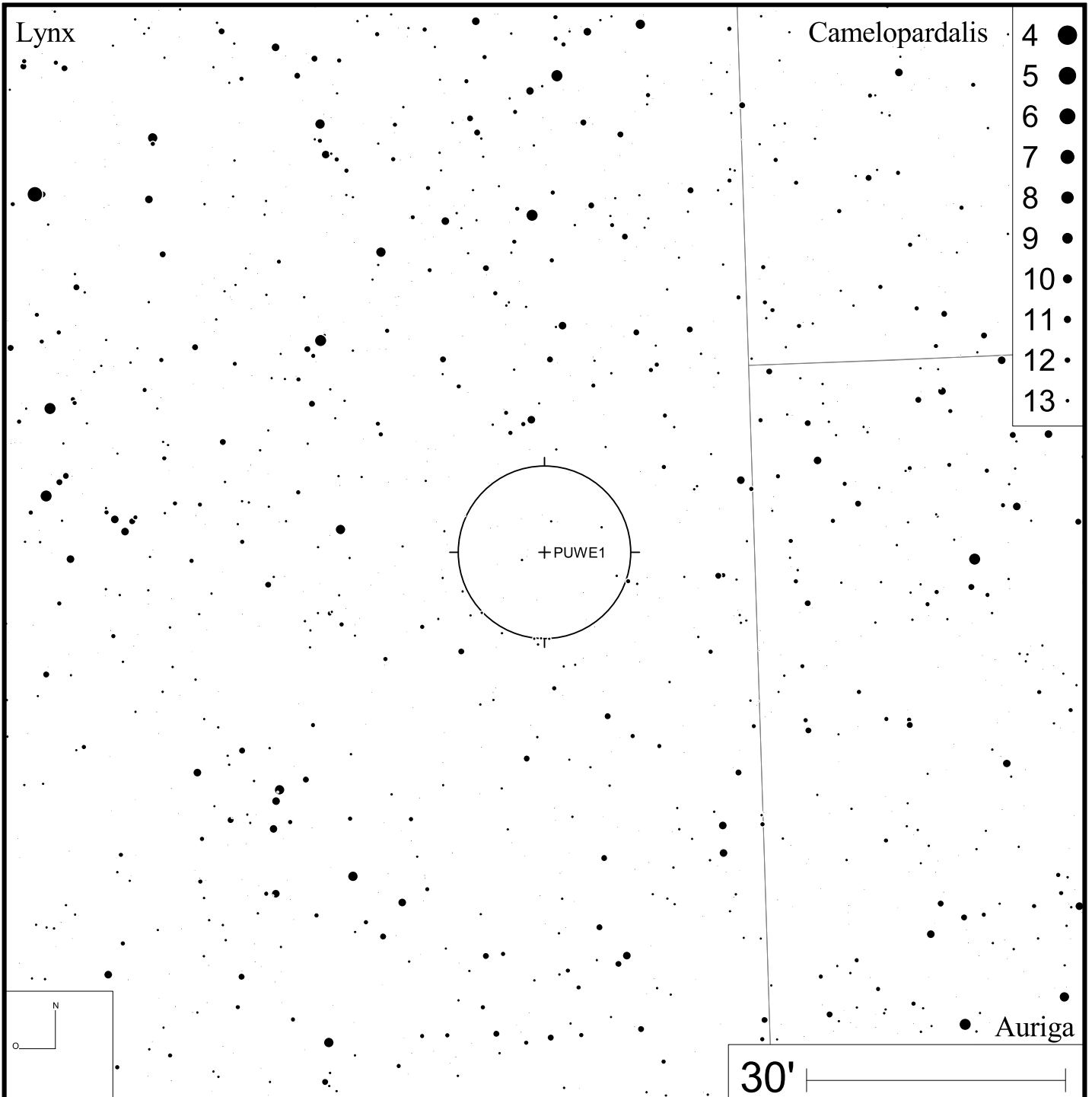
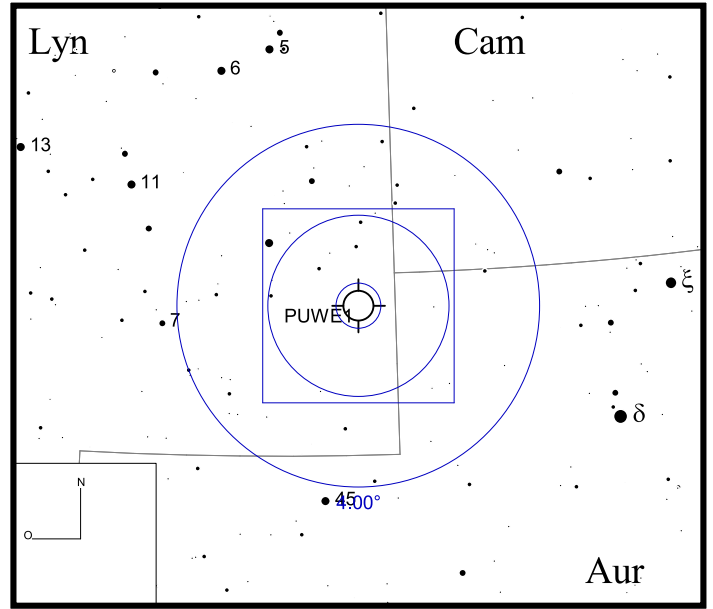


Bild: DSS (Mitteltöne stark kontrastverstärkt)



Sh 1-89

RA 21h14m08s

DEC +47°46'22"

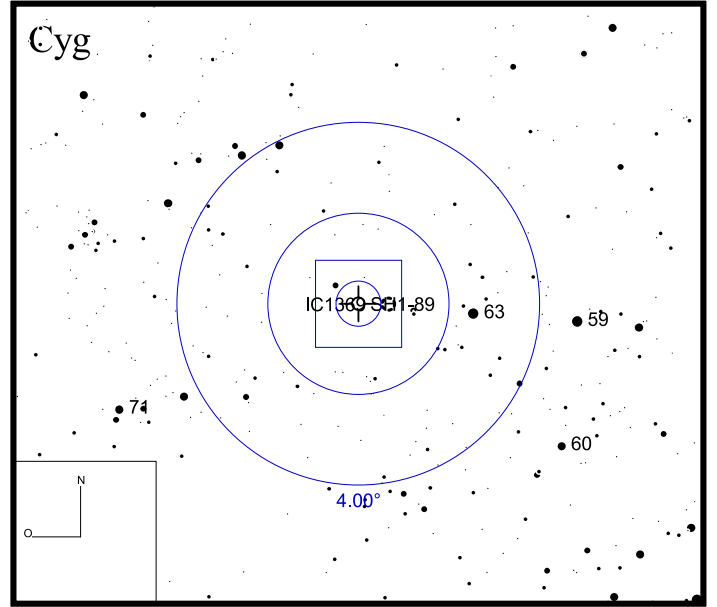
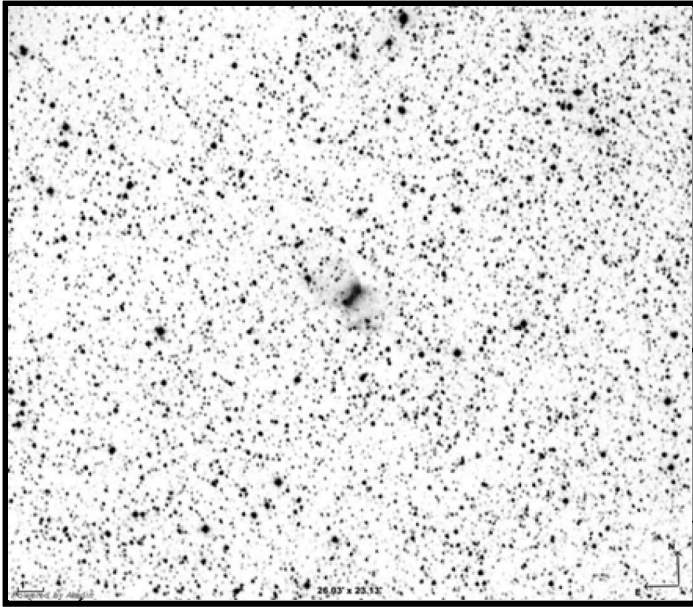
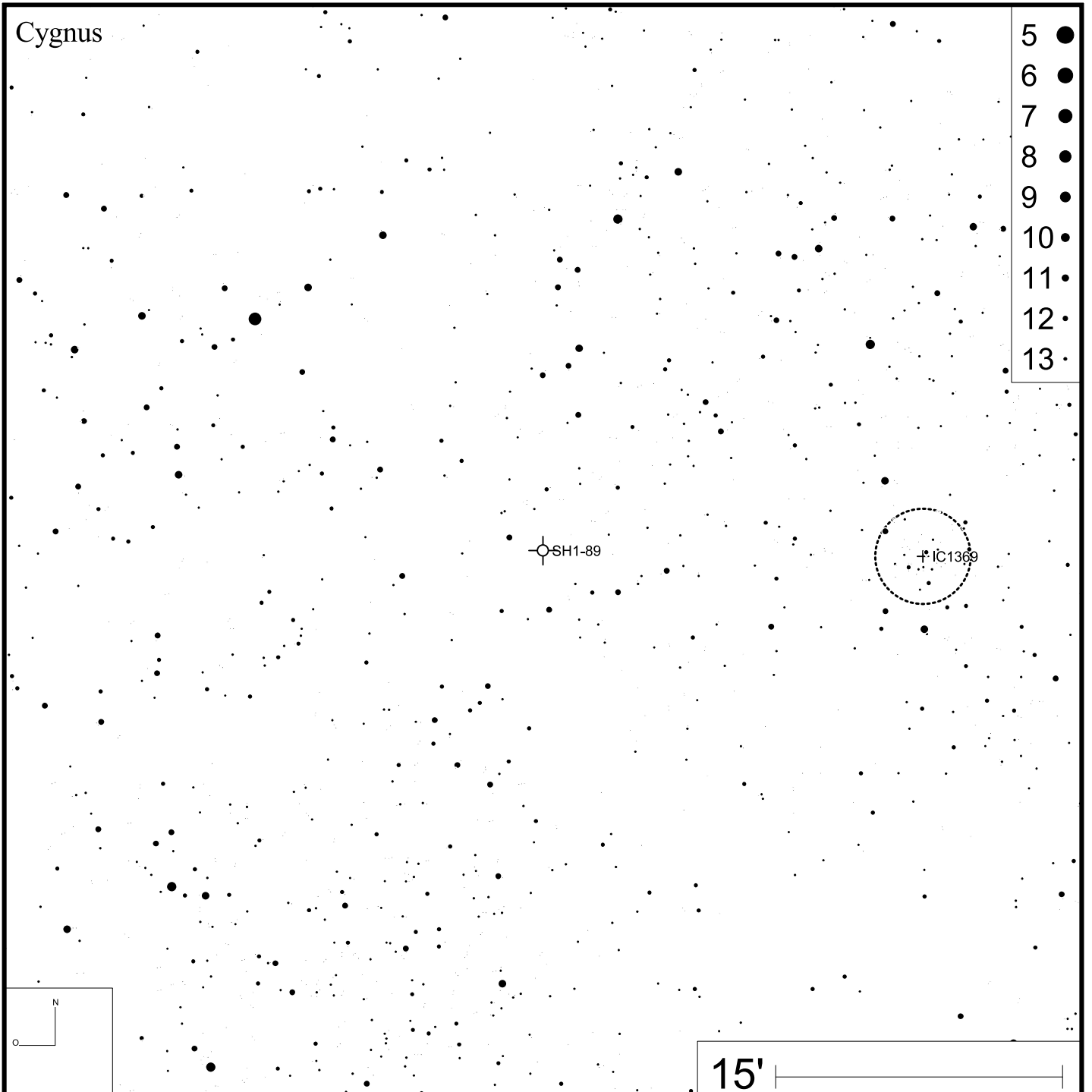


Bild: DSS



Sh 2-71

RA 19h02m00s DEC +02°09'11"

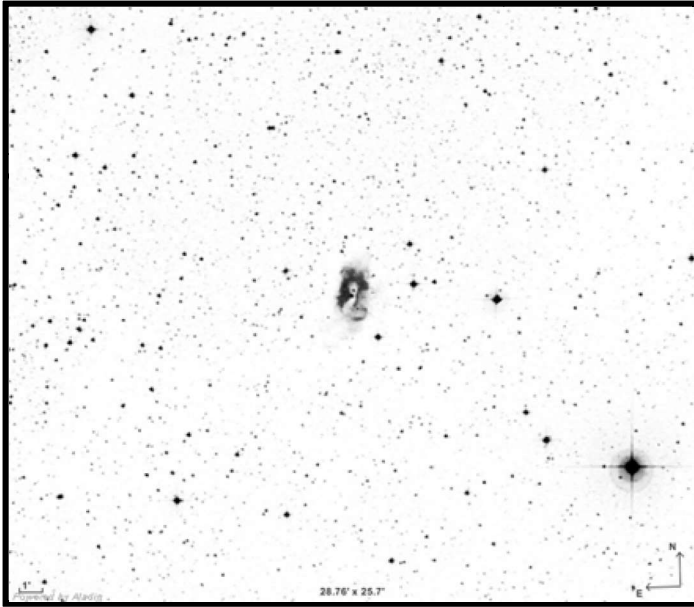
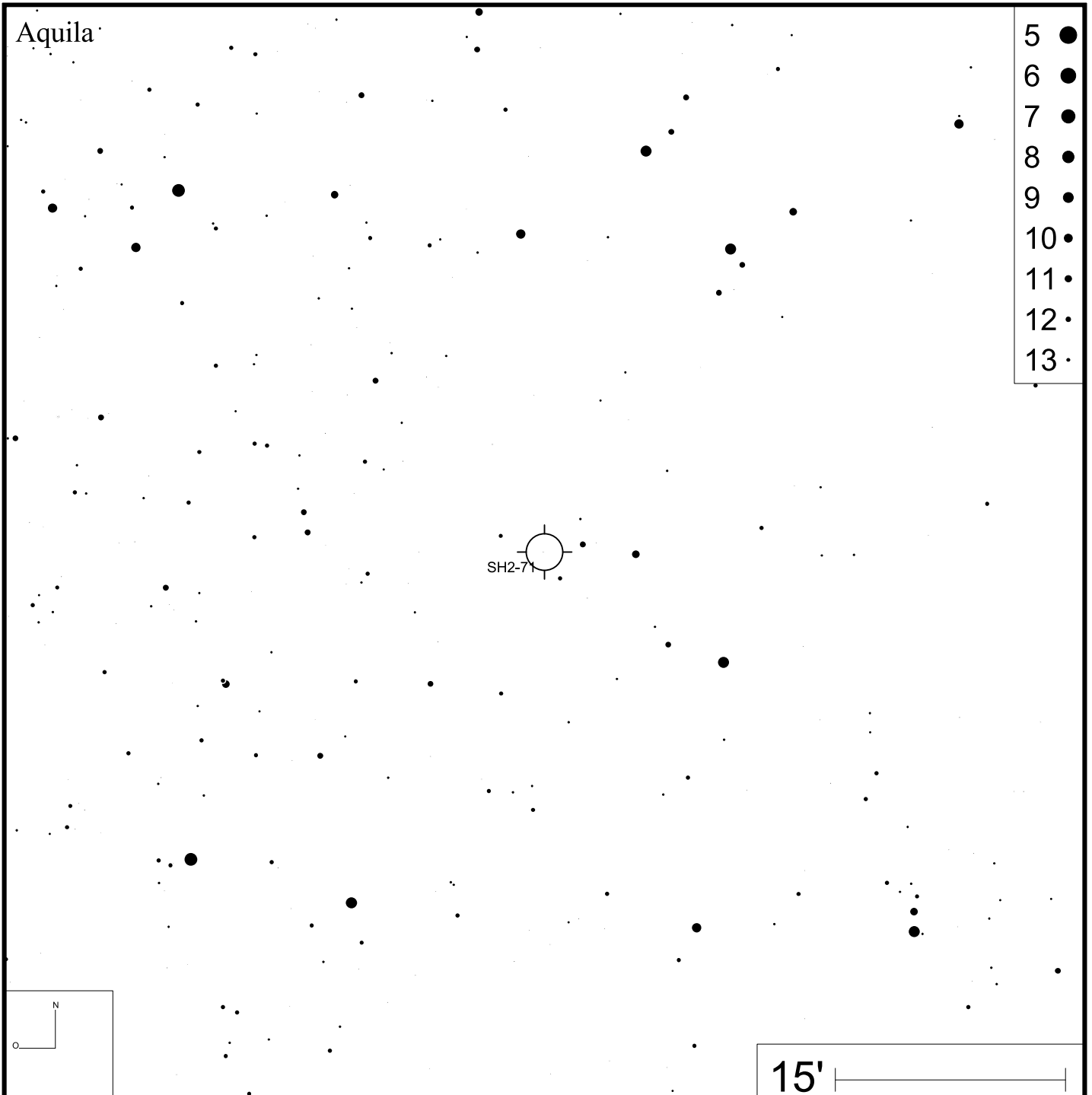
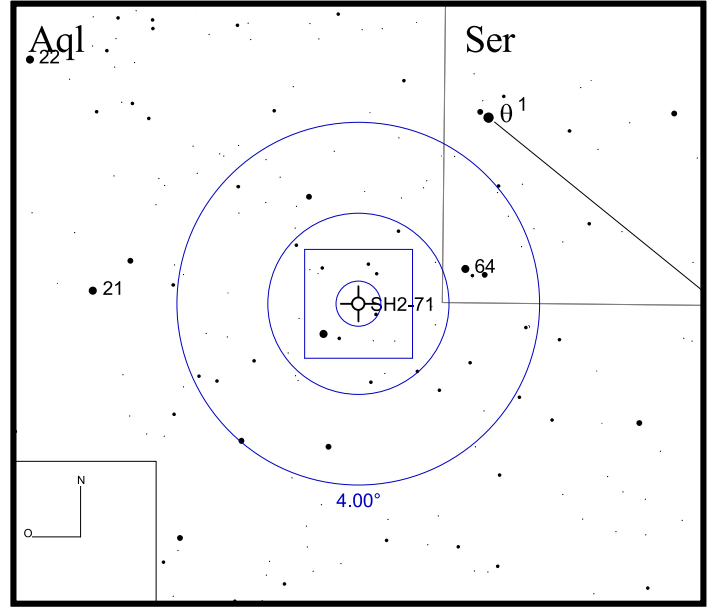


Bild: DSS



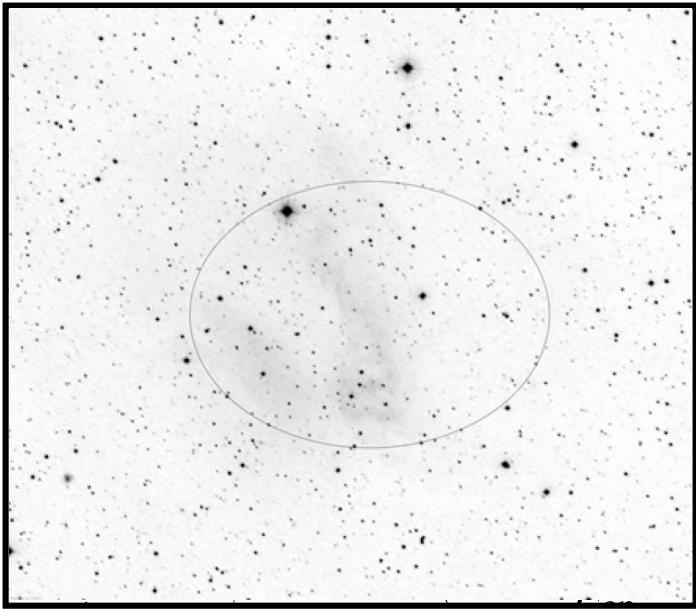
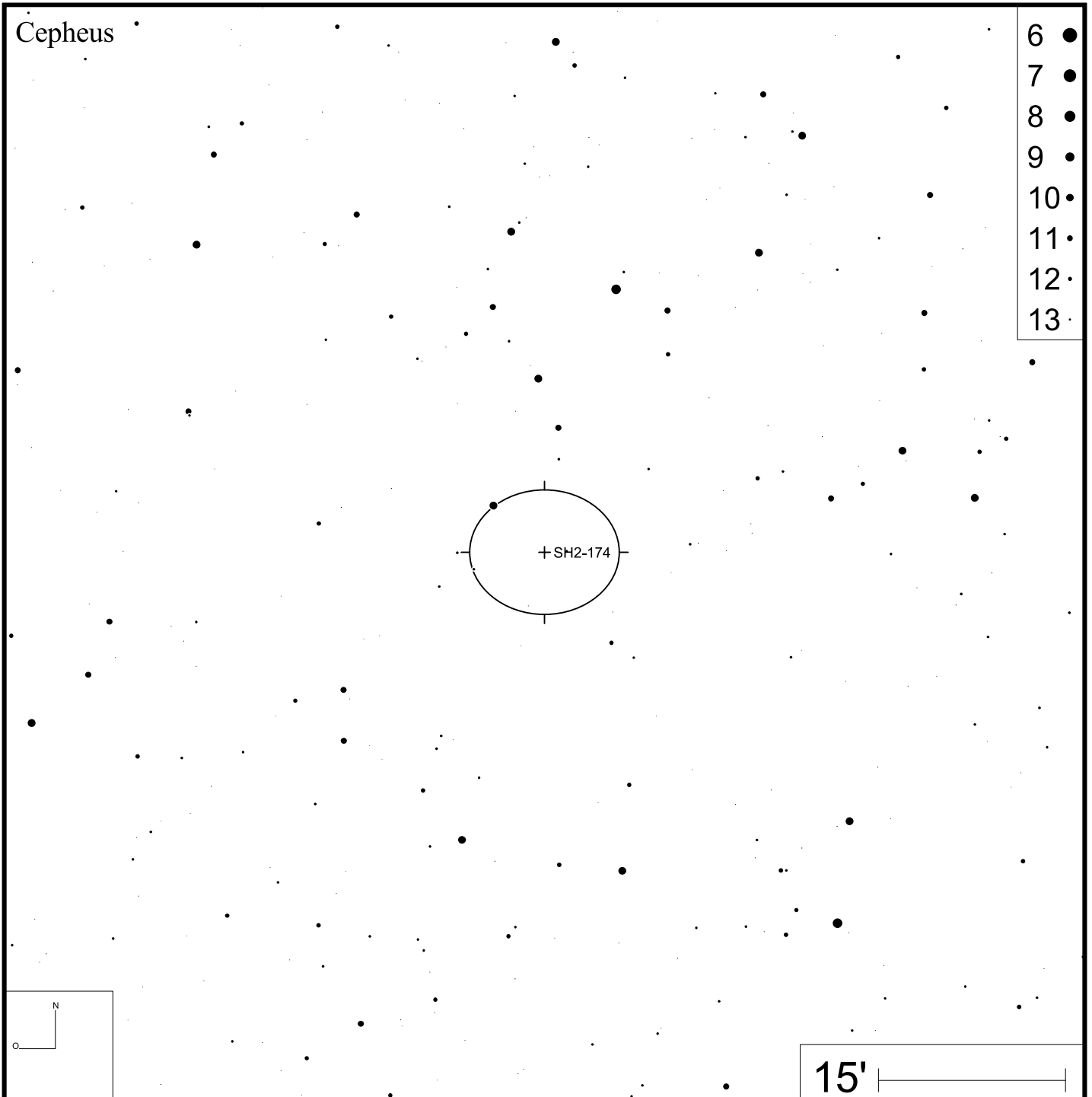
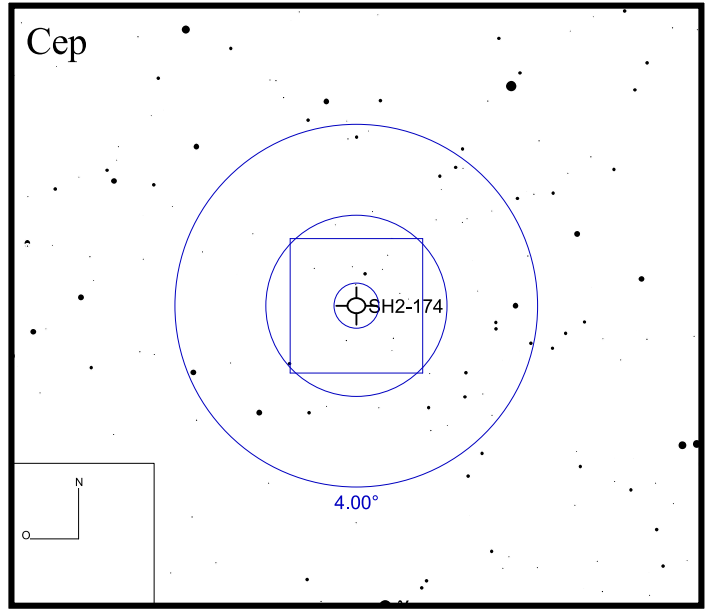


Bild: DSS (Mitteltöne stark kontrastverstärkt)



Sh 2-216

RA 04h43m21s

DEC +46°42'06"

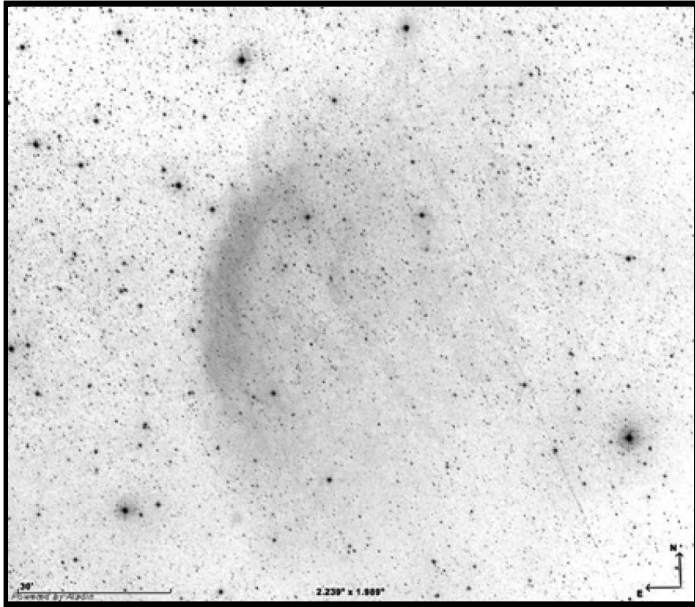
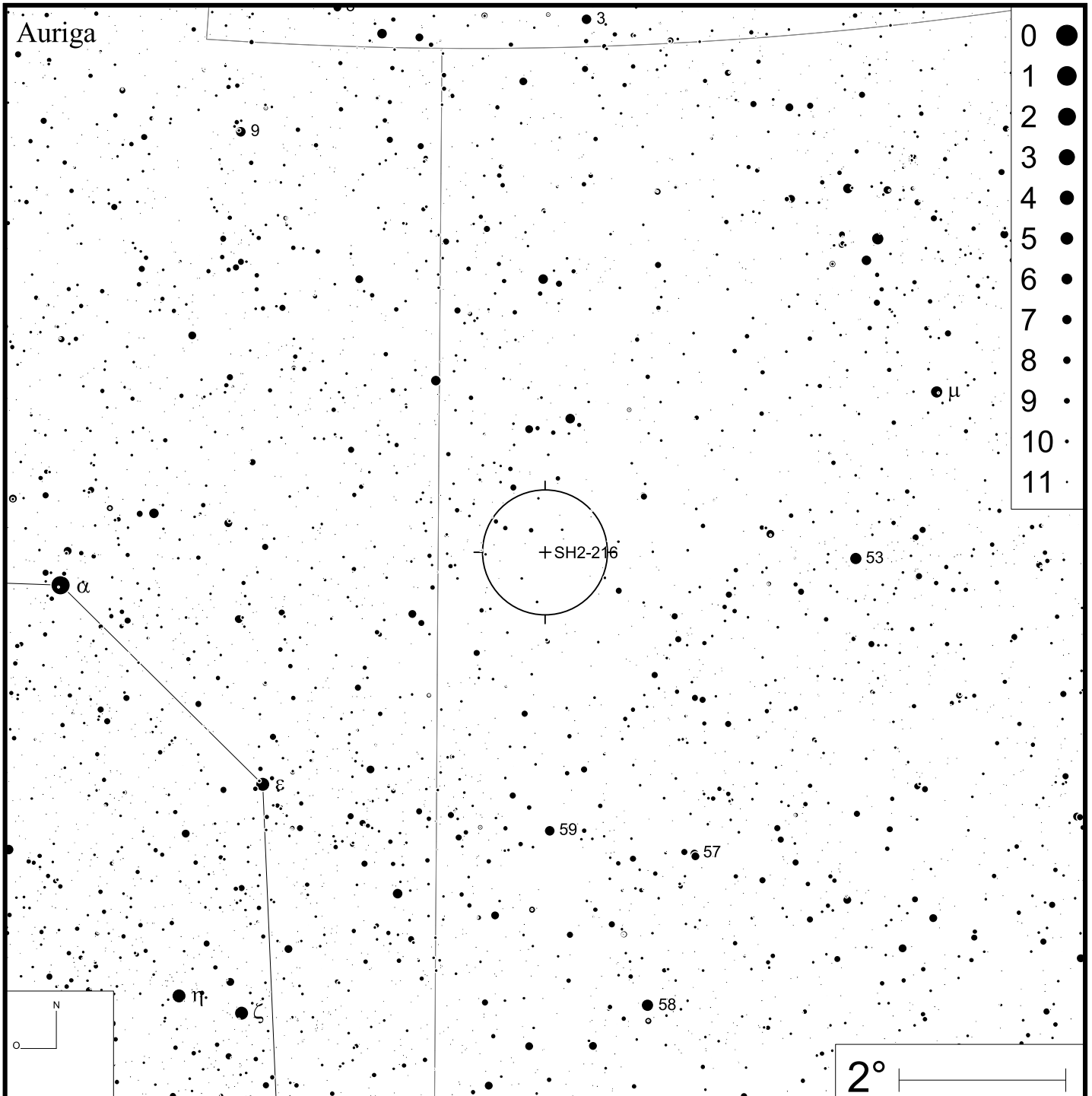
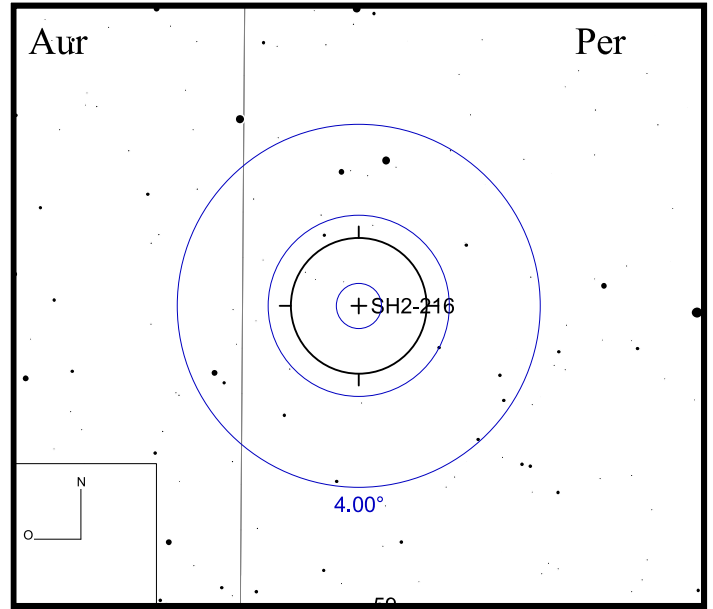


Bild: DSS (Mitteltöne stark kontrastverstärkt)



Simeis 22

RA 01h30m33s

DEC +58°24'51"

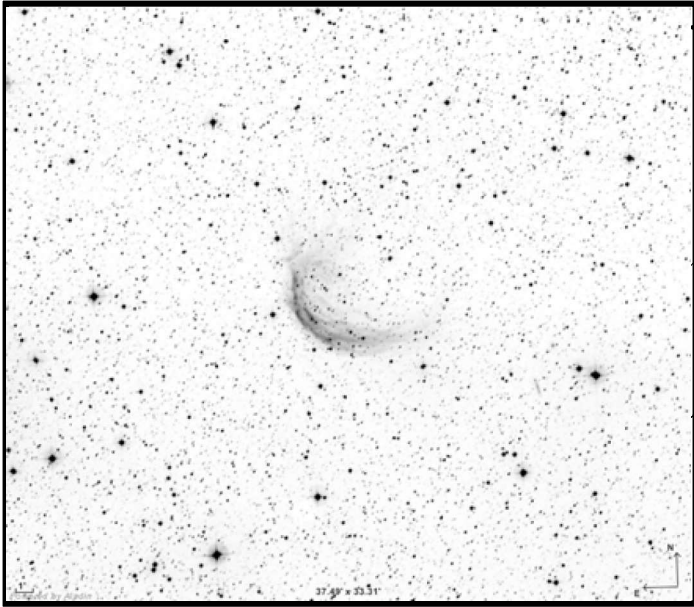
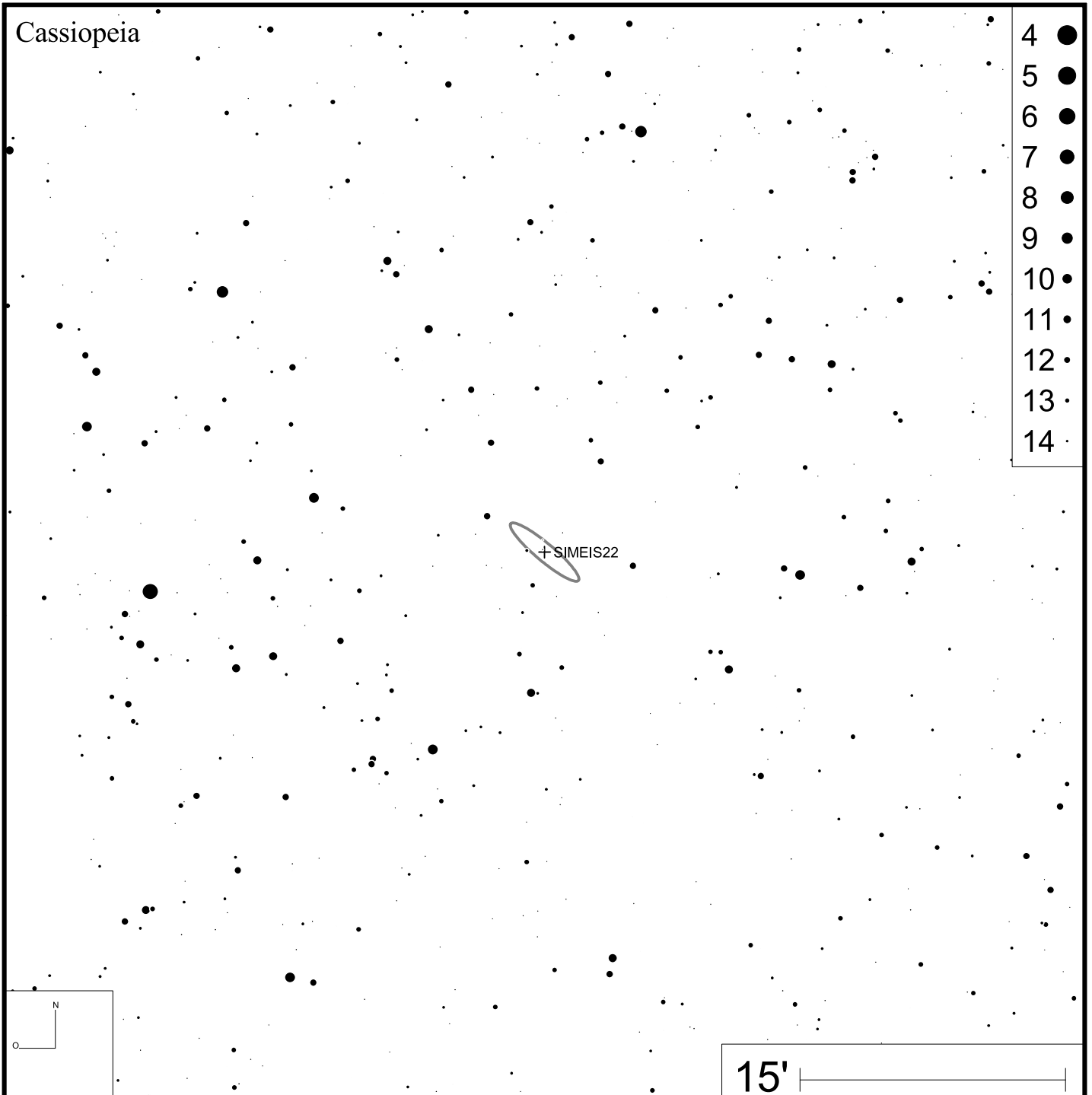
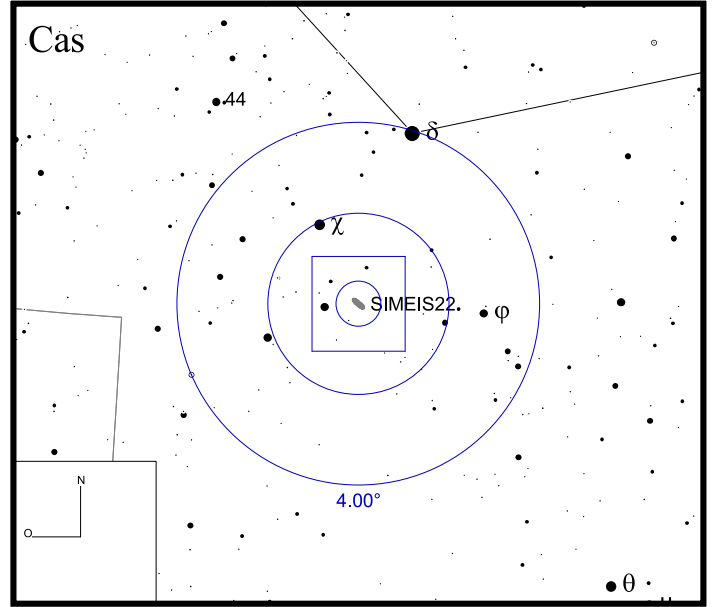


Bild: DSS



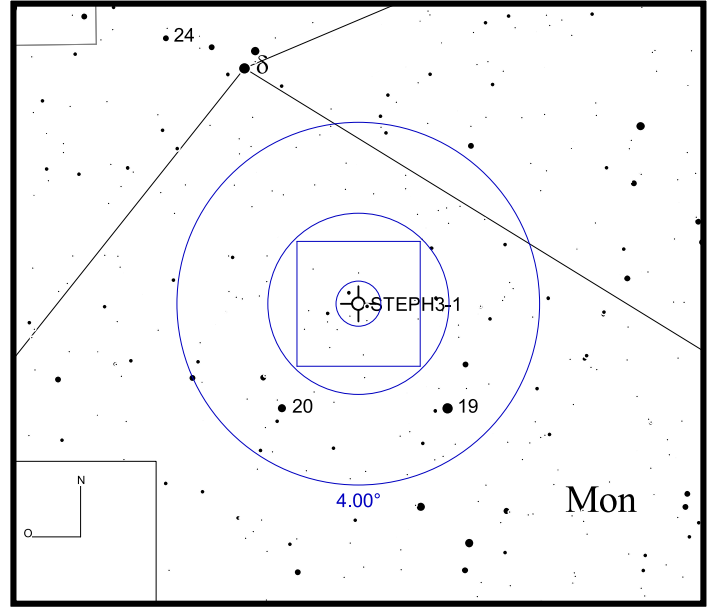
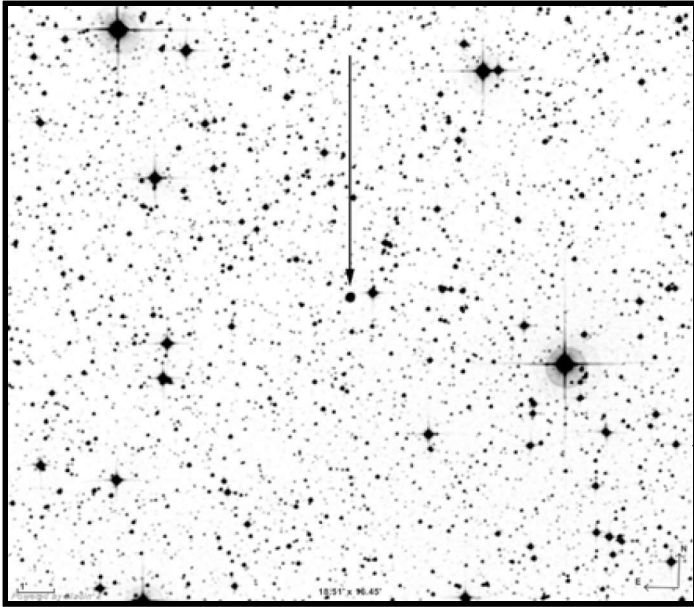
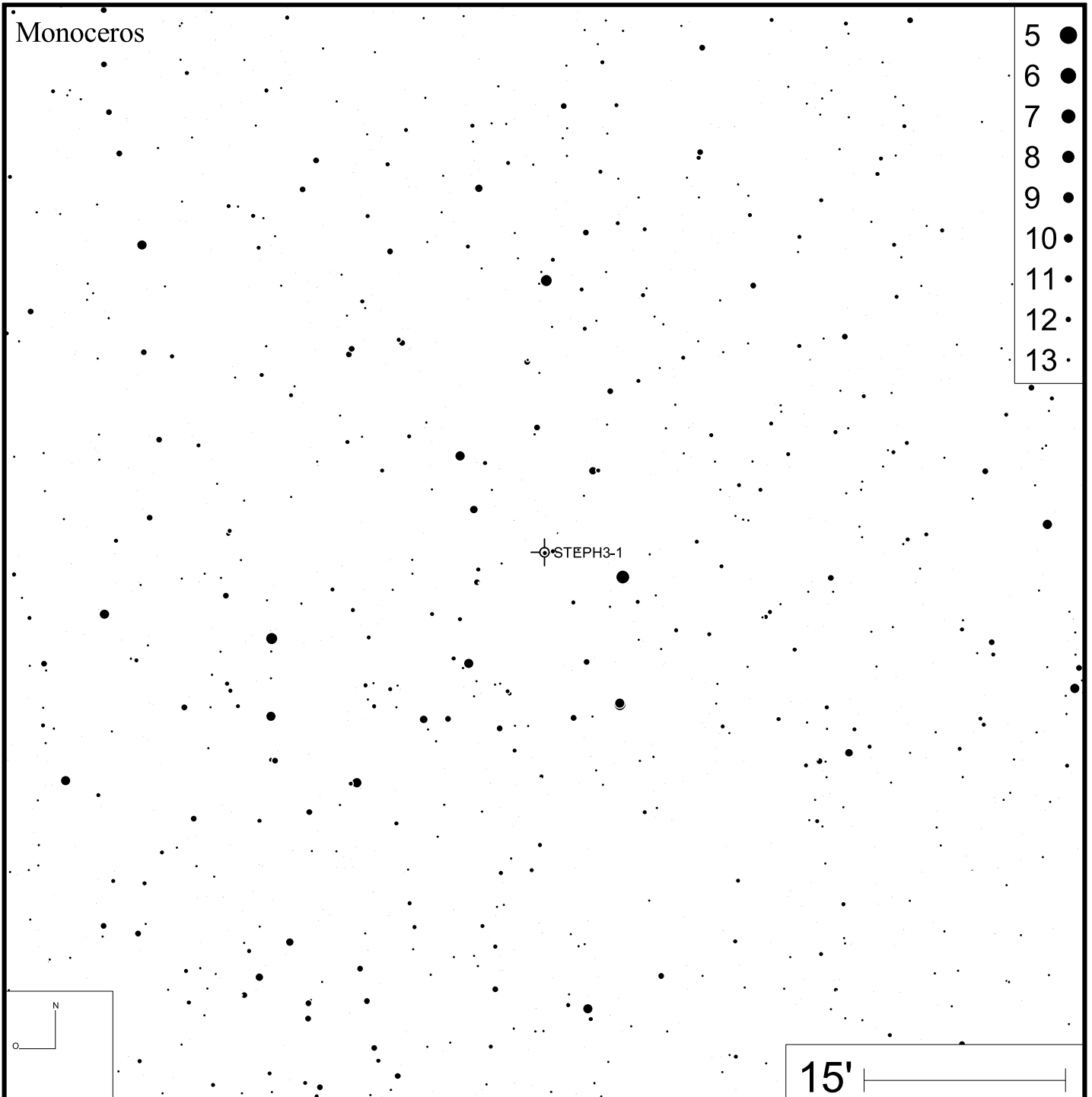


Bild: DSS



Vy 1-2

RA 17h54m23s

DEC +27°59'58"

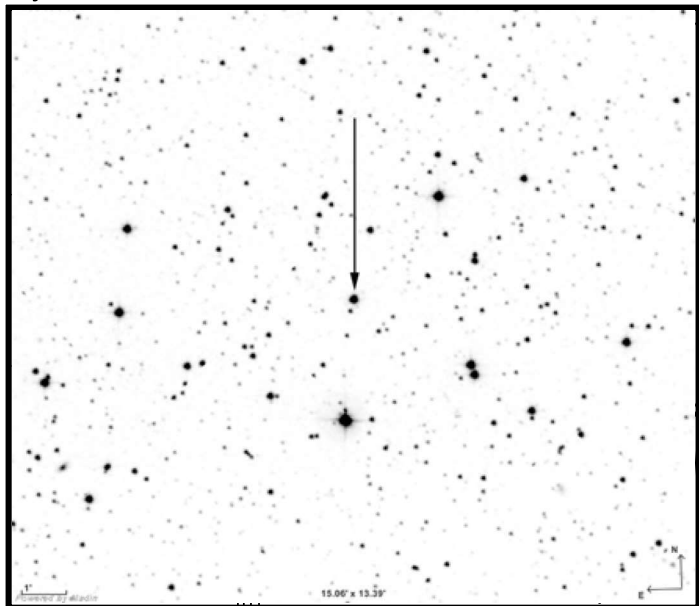
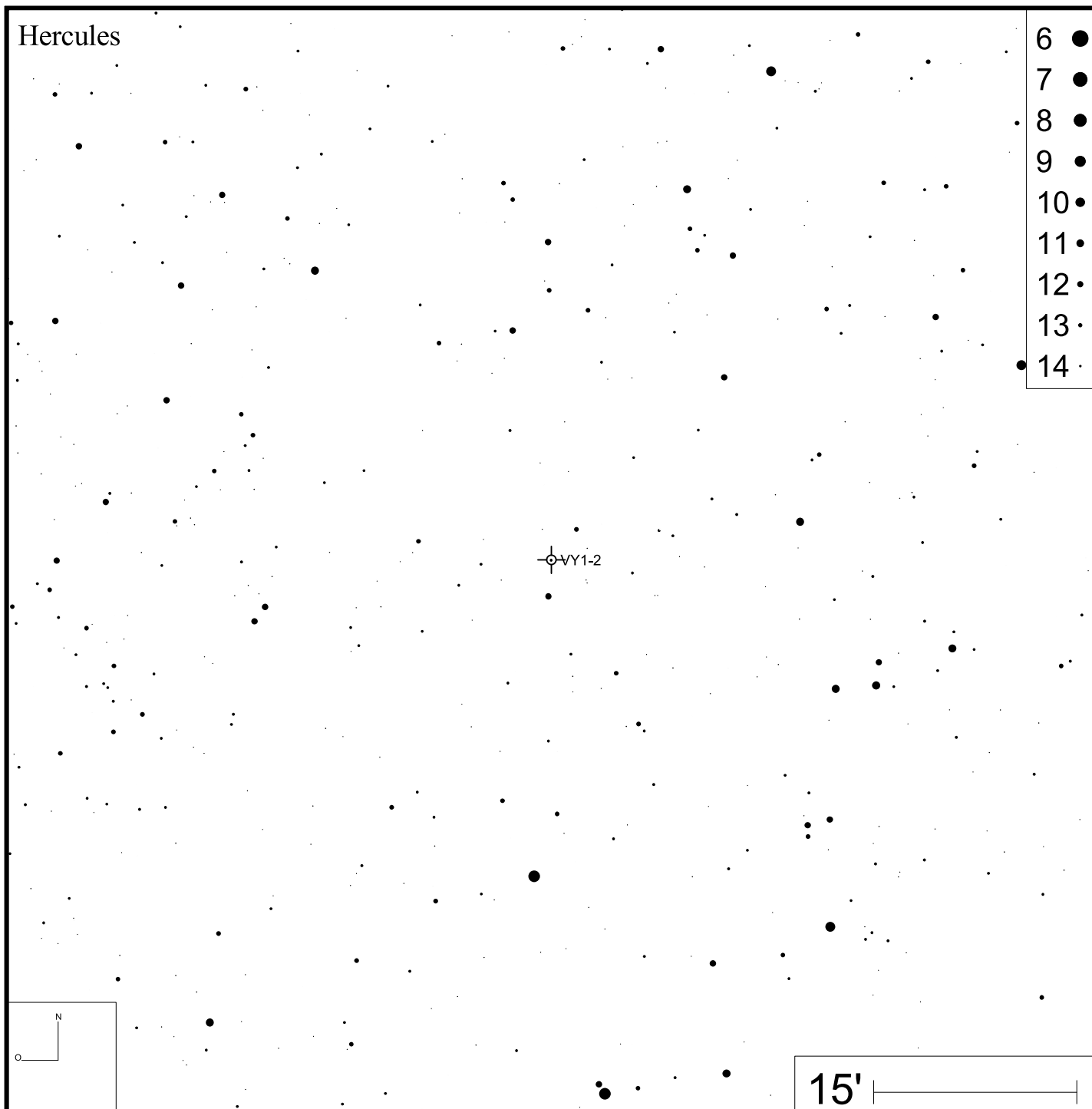
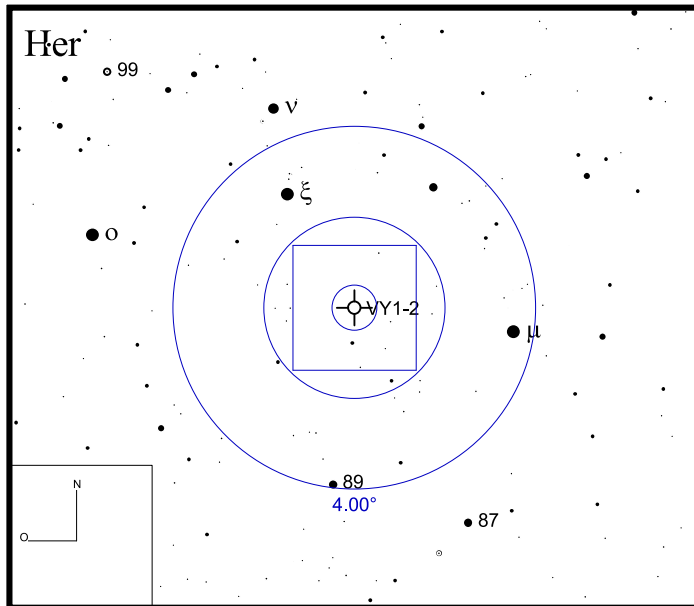


Bild: DSS



Vy 2-2

RA 19h24m22s

DEC +09°53'56"

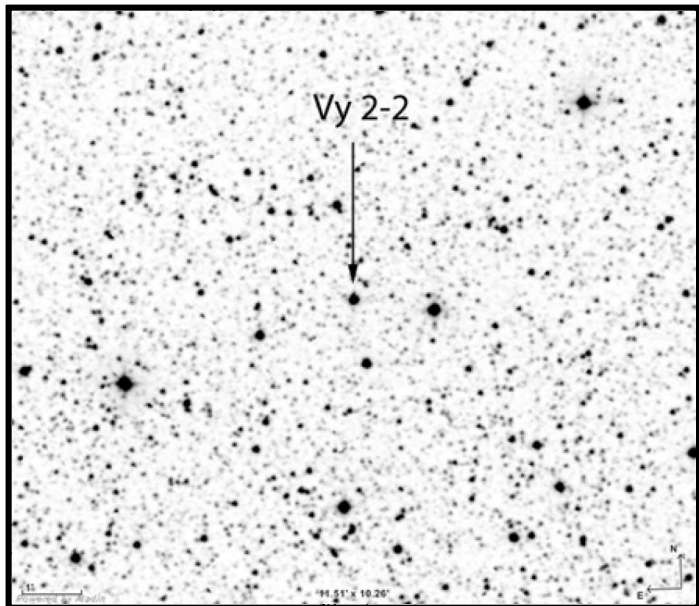


Bild: DSS

